



REDEMAT

REDE TEMÁTICA EM ENGENHARIA DE MATERIAIS

UFOP – CETEC – UEMG



Dissertação de Mestrado



**“Construção de Banco de Dados de Minerais Brasileiros
para Analisador Mineral Integrado, acoplado a Sistema
MEV-EDX Automatizado”**

Autor: Ney Pinheiro Sampaio

Orientador: Prof. Dr. Fernando Gabriel da Silva Araújo

Co-Orientador: Dr. Fernando Leopoldo von Krüger

Maio de 2016



REDEMAT

REDE TEMÁTICA EM ENGENHARIA DE MATERIAIS

UFOP – CETEC – UEMG

Ney Pinheiro Sampaio

**“Construção de Banco de Dados de Minerais Brasileiros para
Analisador Mineral Integrado, acoplado a um Sistema MEV-EDS
Automatizado”**

Dissertação de Mestrado apresentada ao Programa de Pós-Graduação em Engenharia de Materiais da REDEMAT, como parte integrante dos requisitos para a obtenção do título de Mestre em Engenharia de Materiais.

Área de Concentração: Caracterização de Materiais

Orientador: Prof. Dr. Fernando Gabriel da Silva Araújo

Ouro Preto, maio de 2016

Sampaio, Ney Pinheiro

Construção de banco de dados de minerais brasileiros para analisador mineral integrado, acoplado a sistema MEV-EDS automatizado . – Ouro Preto: UFOP, 2016
276p. : il., 0 grafs., 15tabs.,219fotos.

Dissertação (Mestrado) – Universidade Federal de Ouro Preto. Rede Temática em Engenharia de Materiais

1. _____. 2. _____
3. _____. 4. _____

Universidade Federal de Ouro Preto. Rede Temática em Engenharia de Materiais. II. Título.

CDU: _____

Catalogação SISBIN/UFOP

A meus pais, Wilson Guimarães Ferreira Sampaio e Maria Pinheiro Sampaio que mesmo em espírito sempre estiveram e estarão presentes em todas as minhas realizações. A eles, meu profundo amor e agradecimento.

Agradecimentos

Ao meu orientador e amigo de todas as horas, Prof. Dr. Fernando Gabriel da Silva Araújo, REDEMAT-UFOP, que sem medir esforços une pessoas comprometidas com a inovação tecnológica, enfrentando todas as dificuldades para dispor a Rede Temática em Engenharia de Materiais, REDEMAT – UFOP no cenário nacional, minha eterna gratidão pela mão sempre amiga, conselho sóbrio e dedicação em todas as minhas necessidades.

Ao Dr. Romero Correa Machado, Presidente de Grupo Vetorial, gratidão eterna pela confiança e mão amiga em momentos de dificuldades.

Ao Eng. Celso Carvalho Magalhães pela oportunidade de trabalho em uma empresa, a Georadar Levantamentos Geofísicos S/A.

Aos meus preciosos irmãos, Helder Pinheiro Sampaio, meu primeiro mestre em Microscopia Eletrônica de Varredura, José Pinheiro Sampaio e Bernadete dos Santos Sampaio.

À minha amada irmã, Clíce Pinheiro Sampaio, pela presença e amor incondicional.

Aos meus sobrinhos Juliana, Ana Paula e André, gratidão e amor.

Ao meu fiel companheiro e amigo de todas as horas, Douglas Eduardo Drumond, gratidão eterna.

Ao Prof. Dr. Adolpho José Melphi e Dra. Célia Montes, NUPEGEL - ESALQ- USP, pela oportunidade de aprender técnicas valiosas de caracterização em seus laboratórios na Universidade de São Paulo.

Ao Prof. Dr. Aba Cohen Israel pela oportunidade de desenvolver minhas atividades no Laboratório de Microscopia Eletrônica do Departamento de Física da UFMG.

Ao Prof. Dr. Adilson Rodrigues da Costa, da REDEMAT – UFOP, meu primeiro orientador, pela amizade, apoio e confiança.

Ao meu co-orientador Dr. Fernando Leopoldo Von Kruger pelo companheirismo e dedicação em todas as atividades deste trabalho.

Ao Prof. Dr. Carlos Antônio da Silva, do Departamento de Engenharia Metalúrgica e de Materiais da Escola de Minas, e REDEMAT -UFOP, pela dedicação, amizade e auxílio.

Agradecimentos

Ao Prof. Dr. Geraldo Lúcio de Farias, que nunca mediu esforços, abrindo as portas do Laboratório de Tratamentos Térmicos do Departamento de Engenharia Metalúrgica da Escola de Minas de Ouro Preto;

A todo corpo discente da REDEMAT, aqui representado pelos Professores Dr.

Leonardo Barbosa Godefroid, Dr. Luiz Claudio Cândido pela amizade e incentivo.

Ao Prof. Msc. Vitor Alvarenga, do Departamento de Engenharia Metalúrgica e de Materiais da Escola de Minas- UFOP, pela amizade e pelo trabalho em Difração de Raios-X.

Ao Departamento de Engenharia Geológica da Escola de Minas da UFOP, nas pessoas dos Professores Drs. Ricardo Scholz e Leonardo Martins, pela doação de amostras e pela amizade e companheirismo.

Aos bolsistas de iniciação científica Gilson Frade Moreira, discípulo e amigo, e Gabriel Gava de Castro, Departamento de Engenharia Metalúrgica e de Materiais da Escola de Minas – UFOP, pelo comprometimento, seriedade no aprender e por todo trabalho de preparação das amostras deste trabalho.

Aos Professores Dr. Ricardo Fiorotti e Dr. Guilherme Jorge Brigoline e ao Técnico Júnio Barbosa do Laboratório de Materiais de Construção Civil do Departamento de Engenharia Civil da Escola de Minas, pelo apoio técnico na preparação das amostras minerais e pela honrosa amizade e parceria.

Ao Prof. Versiane A. Leão, do Departamento de Engenharia Metalúrgica e de Materiais da Escola de Minas – UFOP, pelos ensinamentos das normas técnicas de redação.

Ao amigo de décadas, Graciliano Dimas Francisco, pela dedicação e amizade ímpar.

Aos funcionários, técnicos administrativos do Departamento de Engenharia Metalúrgica e de Materiais da Escola de Minas da UFOP, Anísio Martins, Sidney, Paulo Sérgio, Celso e Denílson Melo pela amizade e carinho.

À amada turma de graduandos em Engenharia de 1990, colegas e amigos para a eternidade.

Agradecimentos

Ao Laboratório NanoLab do Centro Mineralúrgico - CMM - REDEMAT-UFOP onde foram desenvolvidas todo o trabalho e onde exerço minhas atividades profissionais.

Ao Departamento de Pesquisa e Educação Continuada – DEPEC – Fundação Gorceix;

À Redemat – Rede Temática de Engenharia de Materiais - REDEMAT – UFOP;

Ao Conselho Nacional de Pesquisa – CNPq , pelo financiamento parcial deste trabalho;

À Universidade Federal de Ouro Preto representada por cada servidor público que leva sua missão de Ensino, Pesquisa e Extensão com seriedade e dedicação.

À Gloriosa Escola de Minas de Ouro Preto por ser meu berço e minha casa.

ÍNDICE

AGRADECIMENTOS	V
RESUMO	XII
ABSTRACT	XIV
LISTA DE FIGURAS.....	XVI
LISTA DE TABELAS	XXV
LISTA DE ABREVIATURAS	XXVI
CAPÍTULO 1. INTRODUÇÃO.....	1
1.1. CONSIDERAÇÕES INICIAIS	1
CAPÍTULO 2. OBJETIVOS.....	5
2.1. Objetivo Geral	5
2.2. Objetivos Específicos	5
2.3. Justificativas.....	5
CAPÍTULO 3. REVISÃO BIBLIOGRÁFICA	7
3.1. A Técnica.....	7
3.1.1. Sistema Automatizado Integrado MEV/EDS de Análise Mineral	7
3.1.2. Princípio e Funcionamento	9
3.1.3. Software de Análise Mineral do Sistema Automatizado Integrado MEV/ED.....	11
3.2. Preparação de amostras para análise mineral automatizada	15
3.3. Algumas aplicações dos sistemas analisadores integrados automatizados	16
3.3.1. Depósitos geometalúrgicos e depósitos de diamantes	16
3.3.2. Depósitos do tipo Carlin - sedimento hospedeiro	18
3.3.3. Depósito do tipo cobre pórfiro	20
3.3.4. Aplicações ambientais e biológicas.....	21

3.4. Uma visão geral da determinação da mineralogia do ouro por um sistema automatizado.....	23
3.4.1. Considerações acerca dos principais problemas que afetam a caracterização mineralógica de minérios de ouro.....	23
3.4.2. Considerações em um estudo mineralógico automatizado de um minério de ouro.	24
3.5. Parâmetros operacionais.....	26
CAPÍTULO 4. METODOLOGIA E PROCEDIMENTOS.....	27
4.1. Considerações iniciais.....	27
4.2. Seleção das amostras minerais	28
4.3. Preparação física das amostras	28
4.4. Difractometria de Raios-X.....	29
4.5. Analisador Mineral Integrado Automatizado.....	29
4.5.1. Aquisição de dados e procedimento de análise.....	29
4.5.2. Construção do banco de dados de minerais de procedência brasileira.....	30
CAPITULO 5. RESULTADOS E DISCUSSÃO.....	32
5.1. Banco de dados de minerais	32
5.2. Aplicações do banco de dados	48
5.2.1. Caracterização mineralógica de amostra de minério de ferro.....	48
5.2.2. Estudo de caso: Mineralogia quantitativa em faixas ultrafinas de um minério de ferro do quadrilátero ferrífero.	51
5.2.3. Caracterização de mineralógica de minérios de elementos de terras raras – ETR.....	53
5.2.4. Caracterização mineralógica automatizada de um minério de ouro.....	56
CAPÍTULO 6. CONCLUSÕES	62
CAPÍTULO 7. REFERÊNCIAS BIBLIOGRÁFICAS	64
ANEXO 1: BANCO DE DADOS - NANO LAB-ALL (VER.22)	69
1. SILICATOS	69

2.	ÓXIDOS E HIDRÓXIDOS	153
3.	SULFETOS	184
4.	CARBONATOS.....	211
5.	FOSFATOS.....	232
6.	SULFATOS	247
7.	HALÓIDES.....	252
8.	ELEMENTOS NATIVOS	257
9.	TUNGSTATOS, MOLIBDATOS E BORATOS	262

Resumo

A caracterização mineralógica dos diversos minérios de ocorrência brasileira se apresenta como uma das etapas fundamentais no dimensionamento da rota de processamento dos minérios e na melhoria do rendimento global do processo. Tais Informações são essenciais na avaliação da viabilidade técnica e econômica de um projeto mineral.

Dentre as diversas técnicas de caracterização mineralógica, os analisadores automatizados vêm ganhando grande destaque, pois fornecem dados qualitativos e quantitativos, de forma automatizada, com grande rapidez e precisão.

Tal sistema, disponibilizado no laboratório NanoLab, do Centro Mineral-Metalúrgico da REDEMAT, especificamente, denominado TIMA-MIRA, é composto de um programa de controle de varredura e análise de dados minerais (TIMA – Tescan Integrated Mineral Analyzer) e um microscópio eletrônico de varredura, com canhão de elétrons de emissão de campo, associado a dois detectores de dispersão de energia de raios X característicos (MIRA – nome comercial). O sistema se utiliza de um banco de dados minerais nas suas operações, que consiste na associação de imagens por elétrons retro espalhados dos grãos minerais, com seus respectivos espectros de Raios-X característicos e sua comparação com os espectros característicos de um banco de dados.

O equipamento conta com uma interface que permite acrescentar minerais e outros materiais a seu banco de dados básico, o que é fundamental para a acurácia dos resultados, pois o banco de dados original do equipamento, criado, apenas, com dados de amostras minerais oriundas de outros países, não identifica os minerais de procedência nacional, com seus característicos elementos majoritários e minoritários.

Estas limitações do banco de dados do analisador mineral integrado MEV/EDS automatizado motivaram a construção de um novo banco de dados, através de uma metodologia de seleção, preparação e análise, por difratometria de Raios e pelo sistema integrado, de diversas amostras do contexto geológico brasileiro.

Com a análise por difração de Raios-X, determinou-se cada mineral a ser analisado no sistema automatizado integrado de análise mineral. Com este, obteve-se os valores máximos e mínimos das intensidades de picos de elementos químicos, que compõem cada mineral analisado e, assim, estabeleceram-se novas regras de

identificação, para cada espécie selecionada, bem como adaptou-se regras existentes, para atendimento às necessidades apresentadas.

Estes resultados se validaram na caracterização de minérios selecionados do contexto geológico nacional, tais como minério de ferro, ouro, elementos de terras raras e na análise de lâminas petrográficas de rochas que aqui são apresentados, demonstrando a importância e validade de tal sistema, na caracterização de bens minerais.

Palavras Chave: caracterização mineralógica, sistema integrado automatizado, microscópio eletrônico de varredura (MEV), espectrômetro de energia dispersiva (EDS), difração de Raios-X, contexto geológico brasileiro

Abstract

The mineralogical characterization of the various Brazilian occurrence of minerals is presented as one of the key steps in the design of the minerals processing route and improving the overall efficiency of the process. Such information is essential in assessing the technical and economic viability of a mineral Project.

Among the various mineralogical characterization techniques, automated analyzers are gaining great prominence because they provide qualitative and quantitative data in an automated manner, with great speed and accuracy.

The system, available in NanoLab, laboratory of the Mining-Metallurgic Centre REDEMAT, specifically called TIMA-MIRA, is composed of a scan control program and analysis of mineral data (TIMA - Tescan Integrated Mineral Analyzer) and a scanning electron microscope with cannon field emission of electrons associated with two energy dispersive detector characteristic X-rays (MIRA - trade name). The system uses a mineral database in its operations, consisting in the association of images by back scattered electrons of the mineral grains, with their characteristic X-ray spectra and their comparison with the characteristic spectra of a database.

The equipment has an interface that allows you to add minerals and other materials to their underlying database, which is critical to the accuracy of the results because the original equipment database, created, only with data of mineral samples from other countries, does not identify minerals of national origin, with its characteristic major and minor elements.

These limitations of the database integrated mineral analyzer motivated the construction of a new database through a selection methodology, preparation and analysis by diffraction rays and the automated mineral analysis system, different context samples Brazilian geological.

With the X-Ray diffraction analysis, each mineral was determined to be analyzed in the mineral analysis integrated system. With this, we obtained the maximum and minimum values of the intensities of chemical elements peaks that make up the analyzed mineral, thus established new rules of identification for each selected species, and adapted existing rules, for meeting the needs presented.

These results were validated in the characterization of minerals selected from the national geological context, such as iron ore, gold, rare earth elements and analysis of thin sections of rocks here are presented, showing the importance and validity of such a system, the characterization mineral commodities.

Keywords: mineralogical characterization, automated, integrated, system, scanning electron microscopy, Brazilian geological context

Lista de Figuras

Figura 1- Sequência das etapas executadas em uma análise no sistema integrado automatizado MEV/EDS da análise mineral. (Modificado de Jaime <i>et al.</i> 2009).....	10
Figura 2. Porta amostras para lâminas delgadas (A) e seções polidas (B), respectivamente.....	11
Figura 3. Estrutura simplificada do software TIMA representada pelas principais guias de navegação do programa.	11
Figura 4. Imagens em falsa cor (A) e abundâncias modais com lista de minerais (B), para três amostras do <i>Pipe Letseng Satellite</i> , dos kimberlitos de Lesotho. (Hoal <i>et al.</i> 2008)	18
Figura 5. Imagens digitais em falsa cor de grãos de pirita (amarelo) e arsênio (mais escuros) do depósito <i>Chukar Forwall</i> , em Nevada. (Hoal <i>et al.</i> 2008)	20
Figura 6. Análise mineralógica modal de rochas intrusivas monazíticas de um depósito de cobre pórfiro. A alteração resultou em uma assembleia relativamente homogênea de quartzo, plagioclásio, feldspato potássico e biotita com caulinita, clorita e ilita alterada. (Hoal <i>et al.</i> , 2008)	21
Figura 7. (a) Mapa digital de fase da formação óssea do pé de um leão mostrando as diferenças de composição em apatita e (b) mapa digital de fase de dentes babuíno mostrando as diferenças de componentes esmalte e dentina. (Hoal <i>et al.</i> , 2008).....	23
Figura 8. Equipamento TIMA-MIRA instalado no NanoLab, do CMM da REDEMAT, e localizado nas dependências da Universidade Federal de Ouro Preto.	27
Figura 9. Fluxograma das etapas de classificação mineral.	31
Figura 10. Partículas do mineral lepidolita especificadas como não identificadas, apresentadas em preto.	35
Figura 11. Definição da regra de classificação do mineral lepidolita por meio de valores máximos e mínimos de intensidade de picos de elementos químicos (Guia <i>Rules</i>) e importação das propriedades do mineral do Webmineral (Guia <i>Properties</i> e <i>Composition</i>).....	36
Figura 12. Quantificação (Guia <i>Chemistry</i>) e simulação (Guia <i>Spectrum by Chemistry</i>) de espectro de raios X da partícula selecionada por meio da ferramenta <i>Spectrum Tools</i> , posteriormente adicionado ao banco de dados.	37
Figura 13. Partículas do mineral cromita corretamente classificadas são apresentadas na cor bordô.....	38

Figura 14. Partículas do mineral realgar especificadas como não classificadas são apresentadas na cor preta.....	41
Figura 15. Definição da regra de classificação do mineral realgar.	42
Figura 16. Partículas do mineral rodocrosita especificadas como não classificadas são apresentadas, na cor preta e a pirolusita na cor azul escuro.....	43
Figura 17. Correta Classificação do mineral Rodocrosita.....	44
Figura 18. Partículas do mineral frondelita especificadas como não classificadas e erroneamente como jacobsita são apresentadas, respectivamente, na cor preta e na cor verde.	45
Figura 19. Definição da regra de classificação do mineral frondelita por meio de valores máximos e mínimos de intensidade de picos de elementos químicos (Guia <i>Rules</i>) e importação das propriedades do mineral do Webmineral (Guia <i>Properties</i> e <i>Composition</i>) e sua reclassificação, com as partículas especificadas corretamente como o mineral frondelita, apresentadas na cor verde.....	46
Figura 20. Quantificação (Guia <i>Chemistry</i>) e simulação (Guia <i>Spectrum by Chemistry</i>) de espectro de raios-X da partícula selecionada por meio da ferramenta <i>Spectrum Tools</i> , posteriormente adicionado ao banco de dados.	47
Figura 21. (A) Imagem BSE e (B) imagem de fases primárias de seção polida de uma amostra de minério de ferro.	48
Figura 22. Diagrama de distribuição de massa mineral de uma amostra de minério de ferro.....	49
Figura 23 Diagrama de distribuição de massa elementar de uma amostra de minério de ferro.....	49
Figura 24. Gráfico de distribuição de tamanho de partículas de amostra de minério de ferro.....	50
Figura 25: Distribuição mássica mineralógica por faixa granulométrica.....	53
Figura 26. Parâmetros de Medição Bright Phase Search – Minério Elementos de Terras Raras.....	54
Figura 27. Mapa de Fases - modo Bright Phases Analysis – Minério sulfetado contendo ETR.....	55
Figura 28: Parâmetros de medição adotados para o Minério de Ouro	57
Figura 29: Mapeamento de Fases - Minério de Ouro - Bright Phase Search	57
Figura 30. Detalhe do Mapa de Fases com partículas inclusas de ouro na cor amarelo.	58

Figura 31: Regras de Classificação e Espectrograma da Actinolita	69
Figura 32: Regras de Classificação e Espectrograma da Aegerina	70
Figura 33: Regras de Classificação e Espectrograma da Ajoita	72
Figura 34: Regras de Classificação e Espectrograma da Alanita (Ce).....	73
Figura 35: Regras de Classificação e Espectrograma da Andalusita.....	74
Figura 36: Regras de Classificação e Espectrograma da Almandina	75
Figura 37: Regras de Classificação e Espectrograma da Almandina- Espessartina	76
Figura 38: Regras de Classificação e Espectrograma do Alumino Titanato.....	77
Figura 39: Regras de Classificação e Espectrograma da Aluminocerita- (Ce).....	78
Figura 40: Regras de Classificação e Espectrograma da Andesina	79
Figura 41: Regras de Classificação e Espectrograma da Andradita	80
Figura 42: Regras de Classificação e Espectrograma da Anorthita	81
Figura 43: Regras de Classificação e Espectrograma da Augita	82
Figura 44: Regras de Classificação e Espectrograma da Banisterita	83
Figura 45: Regras de Classificação espectrograma e difratograma da Biotita	84
Figura 46: Regras de Classificação e Espectrograma da Cancrinita	85
Figura 47: Regras de Classificação, Espectrograma, Difratograma do Clinocloro	86
Figura 48: Regras de Classificação, Espectrograma e Difratograma da Clorita	87
Figura 49: Regras de Classificação, Espectrograma do Cloritóide	88
Figura 50: Regras de Classificação, Espectrograma do Chrysocolla.....	89
Figura 51: Regras de Classificação, Espectrograma e Difratograma do Chrysotila	90
Figura 52: Regras de Classificação, Espectrograma da Cordierita.....	91
Figura 53: Regras de Classificação, Espectrograma da Danalita	92
Figura 54: Regras de Classificação, Espectrograma do Diopsídio	93
Figura 55: Regras de Classificação, Espectrograma da Dravita.....	94
Figura 56: Regras de Classificação, Espectrograma da Elbaíta	95
Figura 57: Regras de Classificação, Espectrograma da Enstatita	96
Figura 58: Regras de Classificação, Espectrograma da Enstatita (Fe).....	97
Figura 59: Regras de Classificação, Espectrograma do Epidoto	98

Figura 60: Regras de Classificação, Espectrograma do Euclásio.....	99
Figura 61: Regras de Classificação, Espectrograma da Ferro- Actinolita	100
Figura 62: Regras de Classificação, Espectrograma da Ferrocarnolita	102
Figura 63: Regras de Classificação, Espectrograma da Ferrogredita	103
Figura 64: Regras de Classificação, Espectrograma da Ferrosaponita	104
Figura 65: Regras de Classificação, Espectrograma da Fluorvesuvianita.....	105
Figura 66: Regras de Classificação, Espectrograma da Forsterita	106
Figura 67: Regras de Classificação, Espectrograma da Fuchsite.....	107
Figura 68: Regras de Classificação, Espectrograma da Garnierita.....	108
Figura 69: Regras de Classificação, Espectrograma do Grossular	109
Figura 70: Regras de Classificação, Espectrograma da Grunerite	110
Figura 71: Regras de Classificação, Espectrograma da Hastingsite.....	111
Figura 72: Regras de Classificação, Espectrograma da Hornblenda	112
Figura 73: Regras de Classificação, Espectrograma da Kaersutite	113
Figura 74: Regras de Classificação, Espectrograma da Caolinite	114
Figura 75: Regras de Classificação, Espectrograma do K Feldspato	115
Figura 76: Regras de Classificação, Espectrograma e Difractograma da Lepidolite	118
Figura 77: Regras de Classificação, Espectrograma da Leucite.....	119
Figura 78: Regras de Classificação, Espectrograma e Difractograma da Marialite.....	120
Figura 79: Regras de Classificação, Espectrograma da Magnesiohedrite	121
Figura 80: Regras de Classificação, Espectrograma e Difractograma da Microclina	122
Figura 81: Regras de Classificação, Espectrograma da Montmorillonite	123
Figura 82: Regras de Classificação, Espectrograma e Difractograma da Muscovite	124
Figura 83: Regras de Classificação, Espectrograma da Nepheline	125
Figura 84: Regras de Classificação, Espectrograma da Neotocite	126
Figura 85: Regras de Classificação, Espectrograma e Difractograma da Oliva	127
Figura 86: Regras de Classificação, Espectrograma da Paragonite	128
Figura 87: Regras de Classificação, Espectrograma Difractograma da Flogopite	129
Figura 88: Regras de Classificação, Espectrograma da Pirofilita	130

Figura 89: Regras de Classificação, Espectrograma do Piropo.....	131
Figura 90: Regras de Classificação, Espectrograma da Riebeckita.....	133
Figura 91: Regras de Classificação, Espectrograma da Roscoelita.....	134
Figura 92: Regras de Classificação, Espectrograma da Rodonita	135
Figura 93: Regras de Classificação, Espectrograma da Turmalina	136
Figura 94: Regras de Classificação, Espectrograma da Escapolita.....	137
Figura 95: Regras de Classificação, Espectrograma da Sodalita	138
Figura 96: Regras de Classificação, Espectrograma da Espessartina.....	139
Figura 97: Regras de Classificação, Espectrograma e Difratoograma do Espodumênio.....	140
Figura 98: Regras de Classificação, Espectrograma da Estauroлита	141
Figura 99: Regras de Classificação, Espectrograma e Difratoograma do Talco	142
Figura 100: Regras de Classificação, Espectrograma e Difratoograma da Titanita.....	143
Figura 101: Regras de Classificação, Espectrograma e Difratoograma do Topázio.....	144
Figura 102: Regras de Classificação, Espectrograma da Tremolita	145
Figura 103: Regras de Classificação, Espectrograma da Uvarovita	146
Figura 104: Regras de Classificação, Espectrograma e Difratoograma da Vermiculita.....	147
Figura 105: Regras de Classificação, Espectrograma da Vesuvianita.....	148
Figura 106: Regras de Classificação, Espectrograma e Difratoograma da Wollastonita	149
Figura 107: Regras de Classificação, Espectrograma e Difratoograma do Zircão	150
Figura 108: Regras de Classificação, Espectrograma da Zoisita.....	151
Figura 109: Regras de Classificação, Espectrograma da Aluminocerita (Ce).....	153
Figura 110: Regras de Classificação, Espectrograma da Badeleyita.....	154
Figura 111: Regras de Classificação, Espectrograma da Badeleyita e Pirolusita	155
Figura 112: Regras de Classificação, Espectrograma da BismutoColumbита.....	156
Figura 113: Regras de Classificação, Espectrograma da Cassiterita	157
Figura 114: Regras de Classificação, Espectrograma e Difratoograma da Cromita.....	158
Figura 115: Regras de Classificação, Espectrograma e Difratoograma da Columbita	159
Figura 116: Regras de Classificação, Espectrograma da Columbita- Mn	160
Figura 117: Regras de Classificação, Espectrograma e Difratoograma do Córridon.....	161

Figura 118: Regras de Classificação, Espectrograma e Difratoograma da Cuprita.....	162
Figura 119: Regras de Classificação, Espectrograma e Difratoograma do Diásporo	163
Figura 120: Regras de Classificação, Espectrograma e Difratoograma do Diásporo-Fe.....	164
Figura 121: Regras de Classificação, Espectrograma e Difratoograma do Diásporo-Fe- Mn	165
Figura 122: Regras de Classificação, Espectrograma da Fesrmita	166
Figura 123: Regras de Classificação, Espectrograma da Fesrmita-Nb.....	167
Figura 124: Regras de Classificação, Espectrograma da Fergusonita	168
Figura 125: Regras de Classificação, Espectrograma e Difratoograma da Gibbsita	169
Figura 126: Regras de Classificação, Espectrograma e Difratoograma da Goetita.....	170
Figura 127: Regras de Classificação, Espectrograma e Difratoograma da Hematita- Magnetita.....	171
Figura 128: Regras de Classificação, Espectrograma da Ilmenita.....	172
Figura 129: Regras de Classificação, Espectrograma da Jacobsita	173
Figura 130: Regras de Classificação, Espectrograma da Perovskita	174
Figura 131: Regras de Classificação, Espectrograma da Piromorfita	175
Figura 132: Regras de Classificação, Espectrograma da Pirolusita.....	176
Figura 133: Regras de Classificação, Espectrograma do Rutilo/ Anatásio	177
Figura 134: Regras de Classificação, Espectrograma da Rinersonita	178
Figura 135: Regras de Classificação, Espectrograma e Difratoograma da Tantalita-Fe	179
Figura 136: Regras de Classificação, Espectrograma e Difratoograma da Tantalita-Mn.....	180
Figura 137: Regras de Classificação, Espectrograma da Titanowodginita	181
Figura 138: Regras de Classificação, Espectrograma da Uraninita	182
Figura 139: Regras de Classificação, Espectrograma da Vesuvianita	183
Figura 140: Regras de Classificação, Espectrograma do Ouro Pigmento	184
Figura 141: Regras de Classificação, Espectrograma da Arsenopirita	185
Figura 142: Regras de Classificação, Espectrograma da Berndtita.....	186
Figura 143: Regras de Classificação, Espectrograma da Bornita.....	187
Figura 144 : Regras de Classificação, Espectrograma do Cinábrio	188
Figura 145: Regras de Classificação, Espectrograma e Difratoograma da Calcocita.....	189

Figura 146: Regras de Classificação, Espectrograma e Difratoograma da Calcopirita.....	190
Figura 147: Regras de Classificação, Espectrograma da Covelita	191
Figura 148: Regras de Classificação, Espectrograma da Cobaltita	192
Figura 149: Regras de Classificação, Espectrograma da Cobaltpentlandita.....	193
Figura 150: Regras de Classificação, Espectrograma da Cuprocalinitite.....	194
Figura 151: Regras de Classificação, Espectrograma da Danaita.....	195
Figura 152: Regras de Classificação, Espectrograma da Galena.....	196
Figura 153: Regras de Classificação, Espectrograma da Molibdenita	197
Figura 154: Regras de Classificação, Espectrograma da Millerita	198
Figura 155: Regras de Classificação, Espectrograma e Difratoograma da Pentlandita.....	199
Figura 156: Regras de Classificação, Espectrograma da Pirita	200
Figura 157: Regras de Classificação, Espectrograma da Pirrotita	201
Figura 158: Regras de Classificação, Espectrograma da Oregonita.....	202
Figura 159: Regras de Classificação, Espectrograma da Rammelbergita	203
Figura 160: Regras de Classificação, Espectrograma do Realgar.....	204
Figura 161: Regras de Classificação, Espectrograma da Skutterudita	205
Figura 162: Regras de Classificação, Espectrograma da Sobolevskita	206
Figura 163: Regras de Classificação, Espectrograma da Esperrilita	207
Figura 164: Regras de Classificação, Espectrograma e Difratoograma da Esfarelita	208
Figura 165: Regras de Classificação, Espectrograma da Estibinita.....	209
Figura 166: Regras de Classificação, Espectrograma da Wurtzita	210
Figura 167: Regras de Classificação, Espectrograma da Ankerita	211
Figura 168: Regras de Classificação, Espectrograma da Ankerita e argila.....	212
Figura 169: Regras de Classificação, Espectrograma da Ankerita e Argila (Fe)	213
Figura 170: Regras de Classificação, Espectrograma e Difratoograma da Azurita	214
Figura 171: Regras de Classificação, Espectrograma da Bastnasita.....	215
Figura 172: Regras de Classificação, Espectrograma e Difratoograma da Calcita	216
Figura 173: Regras de Classificação, Espectrograma da Calcioburbankita	217
Figura 174: Regras de Classificação, Espectrograma da Calcioburbankita-Ca	218

Figura 175: Regras de Classificação, Espectrograma da Calcioburbankita-Na	219
Figura 176: Regras de Classificação, Espectrograma da Calcioburbankita-Sr	220
Figura 177: Regras de Classificação, Espectrograma e Difrátograma Cerussita	221
Figura 178: Regras de Classificação, Espectrograma da Dawsonita.....	222
Figura 179: Regras de Classificação, Espectrograma e Difrátograma da Dolomita	223
Figura 180: Regras de Classificação, Espectrograma da Lantanita.....	224
Figura 181: Regras de Classificação, Espectrograma e Difrátograma da Magnesita	225
Figura 182: Regras de Classificação, Espectrograma e Difrátograma da Malaquita	226
Figura 183: Regras de Classificação, Espectrograma da Parisita	227
Figura 184: Regras de Classificação, Espectrograma da Rodocrosita	228
Figura 185: Regras de Classificação, Espectrograma da Siderita	229
Figura 186: Regras de Classificação, Espectrograma da Estrontianita.....	230
Figura 187: Regras de Classificação, Espectrograma da Synchysita	231
Figura 188: Regras de Classificação, Espectrograma da Adamita	232
Figura 189: Regras de Classificação, Espectrograma da Apatita	233
Figura 190: Regras de Classificação, Espectrograma e Difrátograma da Berillonita.....	234
Figura 191: Regras de Classificação, Espectrograma da Brazillianita	235
Figura 192: Regras de Classificação, Espectrograma da Cuprian Adamite.....	236
Figura 193: Regras de Classificação, Espectrograma da Faustita	237
Figura 194: Regras de Classificação, Espectrograma e Difrátograma da Frondelita.....	238
Figura 195: Regras de Classificação, Espectrograma e Difrátograma da Herderita.....	239
Figura 196: Regras de Classificação, Espectrograma da Lazulita.....	240
Figura 197: Regras de Classificação, Espectrograma da Montebrasita.....	241
Figura 198 : Regras de Classificação, Espectrograma e Difrátograma da Monazita.....	242
Figura 199: Regras de Classificação, Espectrograma da Piromorfita	243
Figura 200: Regras de Classificação, Espectrograma e Difrátograma da Pseudomalaquita	244
Figura 201: Regras de Classificação e Espectrograma da Theisita.....	245
Figura 202: Regras de Classificação, Espectrograma do Xenotime	246
Figura 203: Regras de Classificação, Espectrograma da Alunita	247

Figura 204: Regras de Classificação, Espectrograma da Anidrita	248
Figura 205: Regras de Classificação, Espectrograma da Barita	249
Figura 206: Regras de Classificação, Espectrograma da Celestita	250
Figura 207: Regras de Classificação, Espectrograma e Difratoograma da Gipsita	251
Figura 208: Regras de Classificação, Espectrograma da Atacamita	252
Figura 209: Regras de Classificação, Espectrograma da Adamita	253
Figura 210: Regras de Classificação, Espectrograma da Fluorita	254
Figura 211: Regras de Classificação, Espectrograma e Difratoograma da Halita	255
Figura 212: Regras de Classificação, Espectrograma da Silvita.....	256
Figura 213: Regras de Classificação, Espectrograma do Bismuto	257
Figura 214: Regras de Classificação, Espectrograma da Cromferida.....	258
Figura 215: Regras de Classificação, Espectrograma do Ouro	259
Figura 216: Regras de Classificação, Espectrograma da Prata.....	260
Figura 217: Regras de Classificação, Espectrograma e Difratoograma do Enxofre	261
Figura 218: Regras de Classificação, Espectrograma e Difratoograma da Scheelita.....	262
Figura 219: Regras de Classificação, Espectrograma Difratoograma da Wolframita	263

Lista de Tabelas

Tabela 1. Relação dos tipos de relatórios e suas respectivas descrições no software	13
Tabela 2. Número de grãos de 25 mm que podem ser analisados para dar uma precisão de 50% nas análises de imagens. (Goodal, 2007)	25
Tabela 3. Banco de dados de minerais e de associações minerais desenvolvido para o sistema TIMA- MIRA com classificação em grupos segundo Dana (1981). Minerais inseridos são complementados com sufixo “ (1) ” e minerais modificados estão complementados com sufixo “ (a) ”	33
Tabela 4. Valores da regra adotada para hematita/magnetita	40
Tabela 5. Complexidade da associação de partículas	50
Tabela 6. Liberação de partículas em função da área superficial das partículas.	50
Tabela 7. Distribuição mássica das fases minerais presentes na alimentação	52
Tabela 8: Distribuição mineral mássica por faixa granulométrica	52
Tabela 9. Distribuição mássica mineral (%) nas amostras analisadas - ETR.....	55
Tabela 10. Grau de Liberação da monazita: em função da área superficial das partículas.	56
Tabela 11. Distribuição Mássica Mineral das réplicas na amostra de minério de ouro.....	59
Tabela 12. Distribuição mássica de elementos químicos	60
Tabela 13. Tipos das associações das partículas com o ouro.....	60
Tabela 14. Distribuição de tamanho de grão do ouro nas réplicas da amostra	61
Tabela 15. Grau de Liberação da partícula de ouro	61

Lista de Abreviaturas

BSE - Backscattering Electron

CMM - Centro Mínero-Metalúrgico

DECIV - Departamento de Engenharia Civil

DEGEO - Departamento de Geologia

DEMET - Departamento de Engenharia Metalúrgica e de Materiais

EDS - Energy Dispersive X- Ray spectroscopy

FEG – Field Emission Gun

ICP-AES - *Inductively Coupled Plasma – Atomic Emission Spectrometry*

MP-SEM-IPS- Microprobe-Scanning Electron Microscope-Image Processing System

MEV: Microscópio Eletrônico de Varredura

MLA - Mineral Liberation Analyzer

NTNU - Norwegian University of Science and Technology

PDI - Processamento Digital de Imagens

PTA - Particle Texture Analysis

QEMSCAN - Qualitative Evaluation Minerals by Scanning Microscope

QEM*SEM - Quantitative Evaluation of Minerals by Scanning Electron Microscopy

REDEMAT - Rede Temática em Engenharia de Materiais

SEM - *Scanning Electron Microscopy*

TEM : Microscopia Eletrônica de Transmissão

TIMA - Tescan Integrated Mineral Analyzer

UFOP : Universidade Federal de Ouro Preto

CAPÍTULO 1. INTRODUÇÃO

1.1. CONSIDERAÇÕES INICIAIS

A caracterização tecnológica de minérios é um ramo da indústria mineral que fornece subsídios mineralógicos e texturais necessários ao preciso dimensionamento da rota e à melhoria do rendimento global do processo, através da identificação e da correção de suas etapas, constituindo-se, portanto, um passo fundamental na otimização do aproveitamento de um recurso mineral.

Uma diversidade de fatores influencia na determinação das técnicas de caracterização a serem utilizadas, dentre os quais se incluem a mineralogia e as propriedades físico-químicas do minério, o objetivo e a abrangência da caracterização, a disponibilidade de tempo e de recursos financeiros e as possíveis rotas de processamento (Neumann et al. 2004).

Dentre as várias etapas executadas na caracterização tecnológica de minérios, a caracterização mineralógica corresponde àquela que determina e quantifica toda a assembleia mineralógica – incluindo minerais de interesse e de ganga – e a distribuição dos elementos úteis entre os minerais de minério, definindo também algumas propriedades físicas e químicas destes minerais (Neumann et al. 2004). Os métodos mais comumente empregados nessa etapa são a difratometria de raios X, a microscopia óptica, a microscopia eletrônica de varredura e a microsonda eletrônica.

A difratometria de raios X baseia-se na interação de um feixe de raios X com os planos atômicos de cada fase constituinte de um material. Cada mineral cristalino apresenta um conjunto específico de valores de distância interplanar, que é identificado em um difratograma, através do qual a determinação da fase pode ser efetuada

A microscopia óptica, por sua vez, fundamenta-se na interação da radiação do espectro visível com um mineral, através de uma associação de lentes oculares e objetivas. Esse sistema possibilita a obtenção de ampliações significativas, e, dependendo da robustez do instrumento, a produção de fenômenos ópticos, como a birrefringência e o pleocroísmo, essenciais na caracterização de diversos minerais (Bradbury 1989).

A microscopia eletrônica de varredura baseia-se na interação de um feixe de elétrons com uma amostra, a partir da qual uma diversidade de sinais é produzida e utilizada na caracterização composicional, textural e topográfica desta. Atualmente, como a maioria dos microscópios eletrônicos de varredura já é comercializada com espectrômetros de raios X acoplados, seu

princípio tornou-se similar ao da microsonda eletrônica, que além do imageamento por elétrons, efetua análises químicas pontuais (Goldstein et al.1992).

Além das técnicas tradicionais, novas ferramentas de caracterização mineralógica estão comercialmente disponíveis. Os analisadores minerais integrados, usualmente referidos como sistemas de mineralogia automatizada, no corpo deste trabalho, constituem a última geração de equipamentos desenvolvidos, que proporcionam análises mineralógicas automáticas, rápidas e abrangentes. Os referidos sistemas executam análises através da conjugação das técnicas de microscopia eletrônica de varredura e espectrometria de energia dispersiva de raio X e geram volumes de dados consideravelmente maiores que os métodos anteriormente citados, no que tange às composições mineralógicas e químicas, às distribuições de elementos e partículas e à determinação dos espectros de liberação mineral (Petruk 1989, Sutherland & Gottlieb 1991).

Tais sistemas, que foram inicialmente desenvolvidos para a indústria de mineração, evoluíram substancialmente nas últimas duas décadas, ampliando suas aplicações para as áreas como a geociências e a indústria de petróleo e gás (FEI, 2015).

Nesse contexto, o presente trabalho versa sobre o desenvolvimento de uma metodologia para a criação de um banco de dados de minerais para um sistema integrado automatizado MEV/EDS, TIMA-MIRA (*Tescan Integrated Mineral Analyzer*) fabricado pela TESCAN™ e, recentemente, instalado no NanoLab do Centro Mineiro-Metalúrgico da Rede Temática de Engenharia de Materiais (REDEMAT). Tal banco de dados será destinado à microscopia quantitativa, para a análise dos diversos tipos de minérios ferrosos e não ferrosos, de procedência nacional.

O conhecimento da natureza e distribuição de elementos microestruturais em minérios é importante para o controle e o estudo de suas propriedades e, particularmente para a avaliação dos processos de beneficiamento. A microscopia quantitativa estabelece métodos que permitem obter estas distribuições, normalmente através de avaliações estatísticas, sendo necessário um número relativamente grande de medidas para que se possa ter boa precisão na análise.

No estudo de propriedades em minerais, a distribuição volumétrica dos elementos microestruturais, tais como poros e grãos, é de fundamental importância. A partir de distribuições planas destes elementos, obtidas em uma seção aleatória do material, pode-se, com o uso de métodos estereométricos, obter distribuições volumétricas. A determinação destas distribuições é uma das caracterizações necessárias ao controle dos processos de beneficiamento.

No caso da caracterização de grãos em materiais policristalinos, usam-se dois tipos de métodos. Um método trabalha com medidas diferenciais, enquanto o outro trabalha com medidas integrais. As medidas integrais são mais simples e rápidas, como no caso do intercepto linear

médio, enquanto as medidas diferenciais requerem, em alguns casos, um volume de trabalho muito grande e tedioso, por serem medidas bastante complexas. Todavia, o uso computadores de alto desempenho, aliado ao desenvolvimento de softwares, conhecidos como analisadores de imagens, tem tornado estas medidas mais acessíveis, rápidas e precisas.

No desenvolvimento de analisadores de imagens, as técnicas de processamento digital de imagens (PDI) desempenham um papel fundamental sendo que, nos dias atuais, é uma das áreas que mais oferecem avanços tecnológicos, principalmente em termos de possibilidades de aplicações. As técnicas de PDI se tornaram base das mais diversas ferramentas computacionais, de tal forma que este campo do conhecimento passou a oferecer enorme motivação para pesquisas com o objetivo de aplicações industriais, médicas, militares e até mesmo para o lazer e educação, com o recente advento de recursos de multimídia.

Ainda pouco utilizadas na indústria mineral, as técnicas de analisadores integrados de imagens minerais permitem a identificação, quantificação e a caracterização das formas de associação. Nestas, são aplicadas, principalmente, duas abordagens, a análise modal e a análise de liberação. A análise modal procura responder que minerais são encontrados no minério, se eles são “procurados” ou “não procurados”, quais são suas proporções e se o minério tem o suficiente de elementos de interesse. Por sua vez, a análise de liberação objetiva a caracterização de minério e a otimização de processo pesquisando como tornar seu processamento mais efetivo, qual o tamanho e a distribuição das partículas, se as partículas são constituídas de um ou mais minerais, se existem minerais de interesse unidos aos que não interessam, qual é a fórmula da partícula e qual é a sua textura.

Na análise de liberação, podem ser identificadas e quantificadas a associação entre as fases, as frações em peso de fases específicas nas classes de liberação, a distribuição de minerais específicos nas classes de liberação e a população de grãos/partículas em categorias de tamanho.

Utilizando-se algoritmos semelhantes aos usados no método de liberação mineral, o sistema conta ainda com o módulo de busca de fase brilhante, em que a um elemento, normalmente pesado e de alto valor específico, é atribuída uma determinada cor e só ele é identificado em uma varredura. Tal método é um importante auxiliar na otimização de processo e na busca de metais preciosos e terras raras.

Como o sistema automatizado integrado MEV-EDS de análise mineral do NanoLab é o primeiro equipamento da TESCAN instalado em nosso país, é fundamental que se crie um banco de dados com minerais de depósitos nacionais, de maneira a permitir a identificação e tratamentos adequados.

CAPÍTULO 2. OBJETIVOS

2.1. Objetivo Geral

Criar banco de dados de determinados minerais de ocorrência no Brasil, contemplando suas imagens por microscopia eletrônica de varredura, juntamente com suas composições químicas, obtidas por microsonda eletrônica.

2.2. Objetivos Específicos

- Operacionalizar o sistema automatizado integrado MEV/EDS de análise mineral do NanoLab da REDEMAT.
- Criar base de conhecimentos e de pessoal na identificação automática de minerais.
- Formar pessoal qualificado para a operação de sistemas avançados de caracterização mineral automatizada.
- Desenvolver banco de dados para caracterização automatizada de minerais ferrosos e não ferrosos, como suporte aos trabalhos no setor minero-metalúrgico, desenvolvidos nos programas de pós-graduação da UFOP

2.3. Justificativas

A TESCAN™ é uma empresa da República Tcheca e o banco de dados padrão do software do sistema automatizado integrado MEV/EDS de análise mineral apresenta um número limitado de minerais em seu banco de dados original, denominado *Tescan-All*, cuja ocorrência está associada a um contexto geológico regional.

Além disso, a maioria dos minerais, contidos neste banco de dados, apresenta apenas um espectro artificial, simulado a partir da composição química de sua fórmula teórica, importada do banco de dados Webmineral. Por conseguinte, essa restrição mineralógica não abrange uma diversidade de minerais existentes, inclusive os de ocorrência brasileira, e os espectros simulados são pouco representativos, uma vez que não contemplam as diversas

variações químicas decorrentes dos processos geológicos, que levam à substituição, à adição ou à exclusão de elementos químicos, com propriedades semelhantes da estrutura interna dos minerais. Portanto, o banco de dados padrão, Tescan_All, com suas variantes, Tescan_Gold, Tescan_Iron Ore, não representa uma condição natural, surgindo, dessa forma, a necessidade de construção de um novo banco de dados mineral, provido de espectros reais, não simulados, obtidos a partir de análise direta dos minerais em questão.

CAPÍTULO 3. REVISÃO BIBLIOGRÁFICA

3.1. A técnica

O layout dos atuais sistemas automatizados de feixe de elétrons por mineralogia quantitativa baseia-se em projetos elaborados desde a década de 1970 (Troutmann *et al.*, 1974; Grant *et al.*, 1976; Hall, 1977). O QEM*SEM (*Quantitative Evaluation of Mineralogy by Scanning Electron Microscope*) é uma tecnologia desenvolvida pela CSIRO Minerals na Austrália, em 1980 (Miller *et al.*, 1982); o MP-SEM-IPS (*MicroProbe–Scanning Electron Microscope–Induced Photoelectron Spectroscopy*) é um instrumento de análise de imagem desenvolvido pela CANMET – Recursos Naturais do Canadá, em 1980 (Petruk, 1987; 1989); e o software de Análise de Imagem Mineral e Metalúrgica é um programa desenvolvido na Universidade de Utah, no início de 1990 (King & Schneider, 1993).

Nos sistemas atuais, o MEV gera um feixe de elétrons no vácuo, normalmente de 10^{-5} mbar, que é focado por um conjunto de lentes eletromagnéticas associado a um sistema de aberturas em sua coluna e direcionado através de um padrão quadrangular de varredura em uma área específica da amostra. A área digitalizada é denominada estrutura e a diminuição de sua abrangência, ou seja, o aumento da ampliação, incrementa a resolução do quadro. Os elétrons retroespalhados (BSE) refletidos dos minerais em cada quadro são coletados em uma tela para produzir uma imagem, e os elétrons do feixe que interagem com esses minerais geram os raios-X característicos, com níveis de energia específicos dos elementos químicos presentes na amostra. O software automatizado integra as imagens e os raios-X característicos, identificando a mineralogia e mapeando sua distribuição em cada campo, bem como, estabelece quais os passos do feixe no próximo quadro, onde as mesmas medições serão efetuadas (Sylvester, 2012).

3.1.1. Sistema automatizado integrado MEV/EDS de análise mineral

Recentemente desenvolvido e fabricado pela TESCANTM, o sistema automatizado integrado MEV/EDS de análise mineral, (TIMA), como os demais existentes no mercado, foi especificamente projetado para indústria de mineração e permite rápidas análises mineralógicas quantitativas de rochas, minérios, concentrados, rejeitos, resíduos de lixiviação

e produtos de fundição. O sistema constitui-se de um software de controle de varredura e de análise de dados minerais, denominado TIMA, e de um hardware SEM/FEG-EDS integrado, comercialmente conhecido como MIRA, composto por um microscópio eletrônico de varredura, com canhão de elétrons por emissão de campo (FEG – *Field Emission Gun*), associado a dois detectores de dispersão de energia de raios X característicos (TESCAN 2015)

O TIMA é um software baseado no sistema MEV-EDS, onde os espectrômetros de energia dispersiva realizam o mapeamento dos espectros de raios-X característicos de cada elemento químico da amostra e o microscópio eletrônico de varredura efetua, simultaneamente, as imagens dos elétrons retroespalhados em altas velocidades de digitalização. Os sinais estáveis dos elétrons retroespalhados condicionam a geração de uma imagem para cada grão mineral e sua identificação é realizada através do parâmetro brilho BSE, que segue uma escala de cinzas com valores entre 0 (0 % BSE) e 256 (100 % BSE), que se encontra baseada na calibração do mesmo parâmetro junto ao padrão existente no porta amostra. As variações da escala de cinzas fornecem um rápido e eficaz método de distinção de limites entre os grãos minerais, valorizando-se por proporcionar uma identificação primária da ordem mineral. No mapeamento de raios-X, a identidade do grão mineral segmentado é avaliada através de uma única análise de raios-X ou através da varredura em um único ponto no centro geométrico ou em uma área definida do grão, quando da presença de minerais de brilho BSE (ou tonalidade de cinza) semelhantes.

Para toda partícula de interesse, a análise da imagem e a identificação mineral começam com a delimitação das fronteiras entre os diferentes grãos minerais, baseando-se em contrastes de brilho nas imagens BSE de cada campo. Segundo Sylvester (2012), o coeficiente de retroespalhamento (η) é o número de elétrons retroespalhados emitidos por um mineral (NBSE) em relação ao número de elétrons incidentes do SEM (NIE), conforme a Equação (1):

$$\eta = \frac{\text{NBSE}}{\text{NIE}} \quad (1)$$

Sendo ainda uma função do número atômico médio (Z) do mineral (Heinrich, 1966), conforme Equação (2):

$$\eta = -0,0254 + 0,016 \cdot Z (-0,000186 Z^2 + 8,3 \times 10^{-7} \cdot Z^3) \quad (2)$$

Os minerais compostos de elementos mais pesados (por exemplo, o zircão) tem um maior retroespalhamento dos elétrons incidentes do MEV (tem um valor η superior) e aparecem mais

brilhantes na imagem BSE, enquanto que os minerais compostos de elementos mais leves (por exemplo, o quartzo) tem um menor retroespalhamento de elétrons (tem um valor η inferior) e aparecem mais escuros (Fandrich *et al.*, 2007).

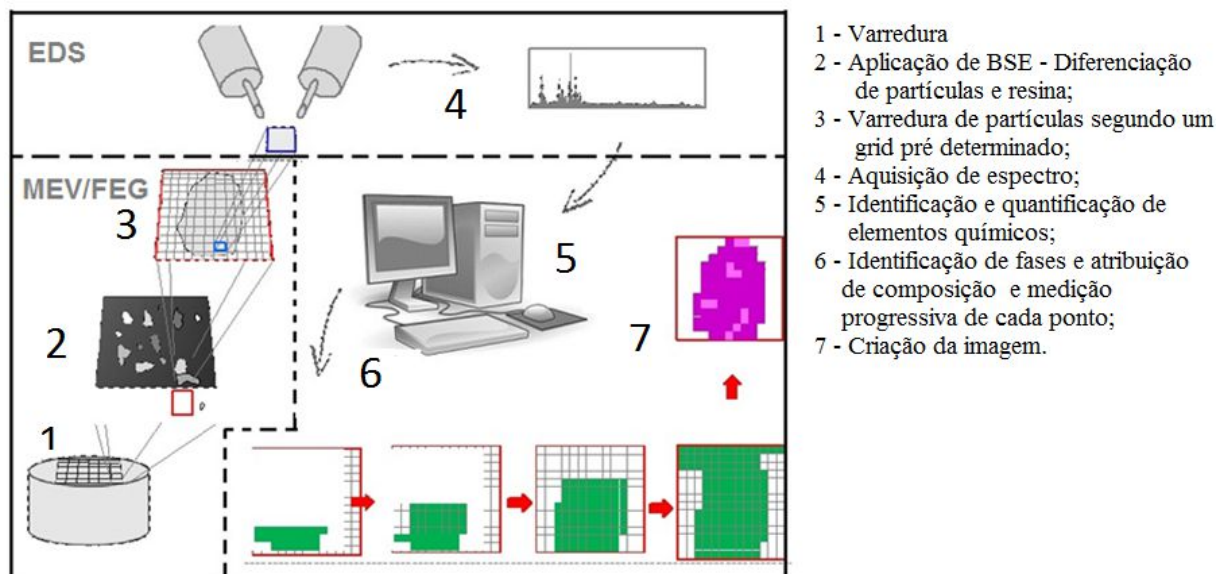
O equipamento do laboratório NanoLab – CMM - REDEMAT é um sistema SEM/FEG-EDS, onde o FEG (Field Emission Gun) produz um campo de elétrons mais coerente, menor em diâmetro e com imagens até mil vezes mais brilhantes que os feixes produzidos por filamentos de ponta de tungstênio, fatores que somados resultam em uma significativa melhora da resolução espacial e do índice de sinal-ruído da máquina. A resolução intrínseca de imagem do SEM é de 1,2 nm para a fonte FEG e 3,0 nm para a fonte térmica de tungstênio. O SEM/FEG fornece uma energia de excitação de até 30 keV para o feixe de elétrons, enquanto as condições comuns de funcionamento utilizam de uma tensão de 25 kV e de uma corrente de feixe entre 200 nA e 1 pA (Tescan Company, 2013).

3.1.2. Princípio e Funcionamento

Em termos funcionais, o SEM/FEG gera um campo eletrônico, a partir do qual se produz um feixe de elétrons, que é focalizado por um conjunto de lentes eletromagnéticas e projetado sobre uma área da amostra, na condição de um vácuo da ordem 10^{-4} Torr. Os diversos sinais produzidos na interação feixe-amostra permitem uma individualização de partículas inicial, efetuada através do nível de brilho da imagem BSE e reproduzida em uma imagem com uma escala de tons de cinza, que estão associados ao contraste dos números atômicos médios. Uma varredura pontual, segundo um *grid* pré-definido, é executada em cada partícula individualizada, para obtenção do espectro de raios X característicos no EDS. A identificação da fase mineral é realizada no software TIMA, através da comparação das intensidades dos picos dos elementos químicos do espectro obtido com os dados computados no programa, possibilitando a construção pontual de uma imagem da partícula em questão. Quando todas as partículas da área têm suas medidas adquiridas, o procedimento se repete em um novo campo (Sylvester 2012; Ferreira 2013).

A Figura 1 sumariza a sequência de operações do sistema integrado MEV/EDS automatizado de análise mineral, anteriormente descritas.

Figura 1- Sequência das etapas executadas em uma análise no sistema integrado automatizado MEV/EDS da análise mineral. (Modificado de Jaime *et al.* 2009).



A coleta da imagem de BSE no MEV e dos espectros de raio X no EDS é efetuada simultaneamente ou em etapas subsequentes, a depender da definição dos parâmetros *Analysis type* e *Acquisistion mode*. O parâmetro *Analysis type* dispõe das opções *Modal analysis*, *Liberation analysis* e *Bright Phase Search*, determinando os aspectos qualitativos dos dados coletados, enquanto o parâmetro *Acquisistion mode* dispõe das opções *High resolution mapping*, *Point spectrometry* e *Line mapping* e determina os aspectos quantitativos destes. (TIMA 2015).

Tal sistema dispõe de microscópio eletrônico de varredura (SEM) com um canhão de emissão de campo elétrico (FEG) que proporciona a produção de um campo de elétrons com maior coerência e brilho e menor diâmetro, qualitativamente superior àqueles gerados por fontes termiônicas, resultando em significativas melhoras da resolução espacial e do índice de sinal-ruído do sistema. Outro benefício é o procedimento automático de calibração, executado a partir de um padrão constituído por uma gaiola de Faraday de platina, quartzo, manganês, cobre, carbono e ouro, que auxiliam, respectivamente, no desempenho do sinal de BSE e do detector de EDS. Este procedimento, juntamente com o *design* dos porta amostras, com espaço disponível para sete seções polidas ou duas lâminas delgadas, garantem uma aquisição de dados em iguais condições (TESCAN 2015; TIMA 2015).

A Figura 2, A e B, onde A apresenta o porta amostra para lâminas com espaço para duas lâminas delgadas petrográficas e B apresenta o porta amostras, especial para 7 seções polidas.

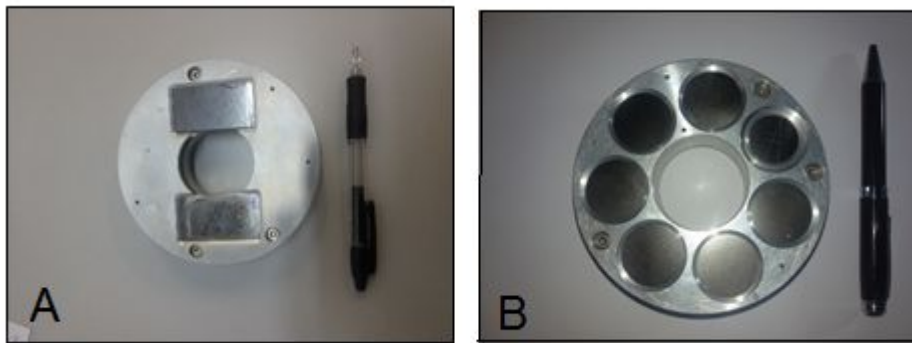


Figura 2. Porta amostras para lâminas delgadas (A) e seções polidas (B), respectivamente.

3.1.3. Software de análise mineral do sistema automatizado integrado MEV/EDS

O TIMA, (Tescan Integrated Mineral Analyser), é destinado à aquisição, gerenciamento, processamento e à apresentação dos dados, por integração ao hardware MIRA. Em sua versão mais completa, o programa encontra-se estruturado em dois módulos principais, *Data acquisition* e *Data management*, e em uma ferramenta, *Spectrum Tools*. A Figura 3 ilustra uma estrutura simplificada do software.

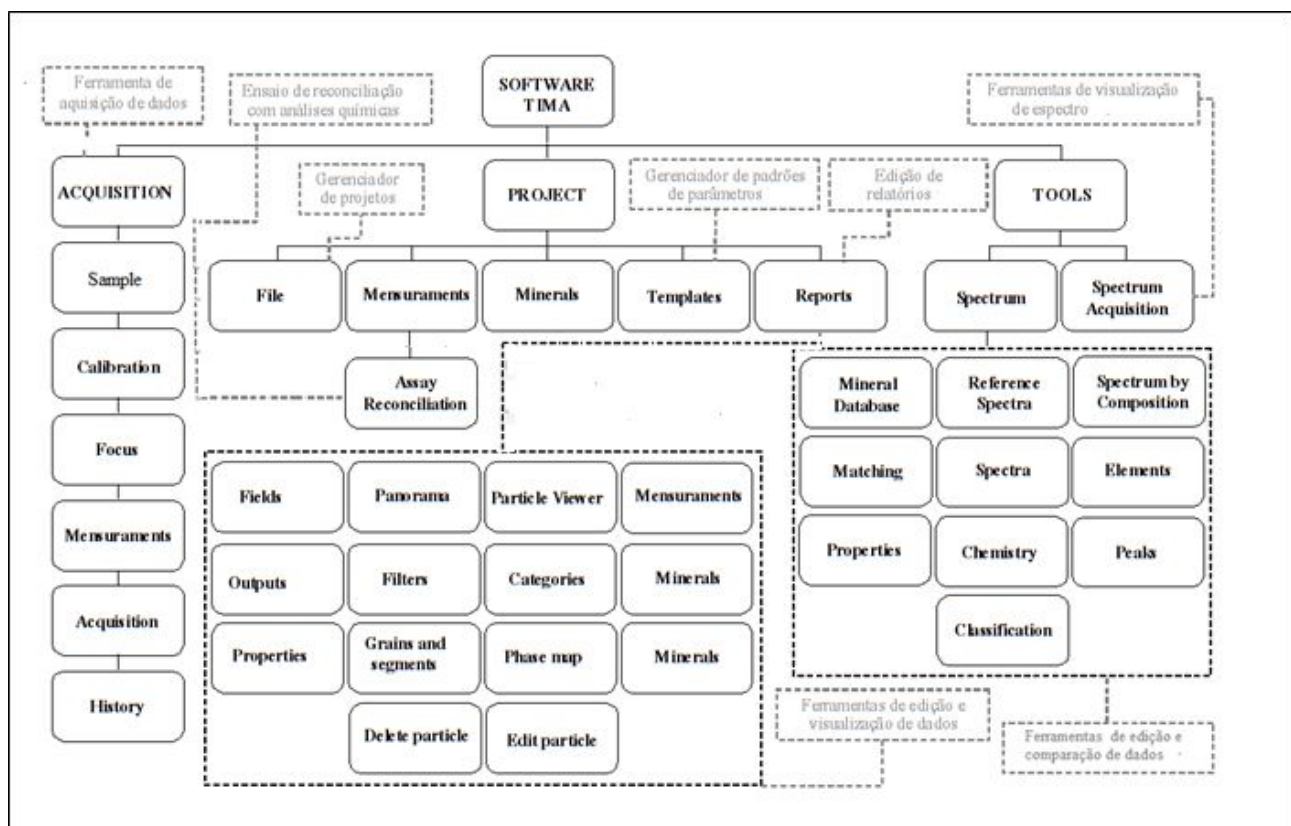


Figura 3. Estrutura simplificada do software TIMA representada pelas principais guias de navegação do programa.

Os módulos *Data acquisition*, *Data management* e a ferramenta *Spectrum tools* são acessados, respectivamente, pelas guias *Acquisition*, *Project* e *Tools*. As linhas pontilhadas delimitam guias com acesso simultâneo.

A aquisição dos dados é efetuada através do módulo *Data Acquisition* e obedece a sequência de etapas estabelecidas pelo software:

- Identificação das amostras,
- Procedimento de calibração,
- Ajuste do foco,
- Definição dos parâmetros de medidas
- Aquisição de dados

Na definição dos parâmetros de medida, três modos de aquisição estão disponíveis:

- *Modal Analysis*, que é projetado para classificar os pixels e determinar a frequência das fases, fornecendo uma avaliação detalhada dos minerais e de suas proporções na amostra, através da detecção de pequenas variações no mineral ou na composição química da mesma;
- *Liberation Analysis*, onde algoritmos de segmentação de imagem são utilizados para detectar partículas individuais, com distinção de fases efetuada através de uma combinação do nível de BSE com os espectros de raios- X característicos;
- *Bright Phase Search*, que opera de forma semelhante ao anterior, utilizando o nível de BSE, entretanto, filtrando as partículas que contenham um mineral ou elemento de interesse, como metais pesados, elementos terras raras, que em função do número atômico elevado, apresentam maiores níveis de BSE, e, por consequência, apresentam-se mais brilhantes (TESCAN 2015; TIMA 2015).

O gerenciamento, o processamento e a apresentação dos dados é realizada através do módulo *Data management*. Um conjunto de dados adquiridos é armazenado em um projeto, onde a informação, além de visualizada, pode ser manipulada através de ferramentas de edição e seleção de partículas ou de alterações no esquema de classificação mineral. Um esquema de classificação mineral constitui-se de uma lista de minerais, cada qual associado às suas regras de classificação e aos seus espectros de referência. Atributos dos minerais, que incluem propriedades como fórmula química, densidade e composição química, podem ser importados do banco de dados constante no site Webmineral, que contém mais 4700 registros. As regras de classificação e os espectros, por sua vez, são compostos a partir dos dados adquiridos.

As regras de classificação são definidas com base na intensidade dos picos dos elementos químicos que compõem a amostra. Quatro tipos de regras estão disponíveis:

- *Intensity*, que é baseada na intensidade dos picos dos elementos químicos que constituem o espécime;
- *Ratio*, que é baseada na relação das intensidades dos picos de três elementos, recomendada a minerais constituídos pelos mesmos elementos em diferentes proporções;
- *BE Level*, que é baseada na emissividade de BSE (TIMA 2015). A identificação mineralógica é efetuada através de uma varredura na lista de minerais do esquema de classificação selecionado, em ordem decrescente de complexidade de regras de classificação.
- *Sum*, que é baseada na soma das intensidades dos picos de dois elementos. Isso é útil no caso em que um mineral tem um elemento substituindo outro.

Os resultados obtidos são exibidos em relatórios individuais, expressos na forma de tabelas, gráficos e imagens. Um conjunto de relatórios compõe o *Workbook* do projeto (TIMA 2015). A Tabela 1 sumariza os tipos de relatórios disponibilizados e suas respectivas descrições.

Tabela 1. Relação dos tipos de relatórios e suas respectivas descrições no software

RELATÓRIOS	DESCRIÇÃO
<i>Mineral mass</i>	Fração em massa dos minerais
<i>Element mass</i>	Fração em massa dos elementos químicos
<i>Elemental deportment</i>	Distribuição dos elementos químicos selecionados nas fases presentes
<i>Elements maps</i>	Distribuição de todos os elementos químicos
<i>Mineral associations</i>	Relação espacial entre os minerais ou grupos minerais dentro das partículas.
<i>Mineral liberation</i>	Distribuição das fases, elementos ou partículas em categorias de liberação.

<i>Mineral release</i>	Liberação do mineral de interesse por fração de tamanho
<i>Grade-recovery curve</i>	Recuperação máxima do mineral ou elemento em um nível do processo de flotação
<i>Grain size</i>	Distribuição da população de grãos dos minerais selecionados em categorias de tamanho
<i>Particle size</i>	Divisão de partículas em categorias de tamanho
<i>Particle density</i>	Divisão de partículas em categorias baseada na densidade relativa média
<i>Particle viewer</i>	Visualização de todas as partículas individualizadas ou em faixas granulométricas e /ou químicas pré-determinadas pelo usuário
<i>Category viewer</i>	Distribuição das fases, grupos minerais ou elementos químicos em uma tabela por categorias de partículas definida pelo usuário.

O *Spectrum Tools* constitui uma ferramenta de identificação e correlação de espectros de raios X, obtidos do *Spectrum acquisition tool* ou de um conjunto de dados já adquirido, permitindo ainda obtê-los a partir das concentrações relativas de elementos químicos em uma análise semi-quantitativas, armazená-los em um diretório pré-definido e importá-los como espectros de referências, desde que totalizem um número mínimo de 1200 contagens (TIMA 2015).

3.2. Preparação de amostras para análise mineral automatizada

As amostras minerais, sendo de natureza não condutora, destinadas aos estudos no TIMA, necessitam que suas superfícies sejam desprovidas de quaisquer rugosidades, portanto polidas, e revestidas com uma fina película condutora, geralmente de carbono. O porta-amostra padrão aceita sete amostras em seções polidas por vez, com 30 mm de diâmetro (ou 26 mm de diâmetro com inserções de anéis redutores) e para o caso de lâminas petrográficas, duas, em outro porta-amostras específico.

As partículas correspondem às frações granulométricas que se justapõem e os grãos aos objetos minerais que compõem tais partículas, de maneira que uma partícula pode ser constituída de um ou mais grãos minerais. Amostras de partículas, como sedimentos ou rochas sedimentares moídas, são normalmente embutidas em resina epóxi. A montagem em resina epóxi é realizada após o peneiramento das partículas em frações de tamanhos discretos, comumente 63-125 μm (230-120 mesh), 125-177 μm (120-80 mesh), 63-177 μm (230-80 mesh) ou 177-354 μm (80-45 mesh), dependendo dos objetivos do estudo. (Petersen *et al.*, 2004)

Com o propósito de atenuar o viés associado à amostragem não representativa, à sub-amostragem e à mistura de amostras, é de grande importância realizar a perfeita homogeneização destas antes de sua montagem (Petersen *et al.*, 2004). Partículas maiores que 500 μm normalmente são descartadas desse procedimento, pois, comparativamente, poucas partículas são incluídas na pilha de homogeneização, comprometendo a representatividade estatística da granulometria em questão. Partículas menores que 15 μm ocasionam problemas práticos na montagem, devido à perda de partículas por lixamento e polimento durante a preparação.

Alternativamente, se há uma grande variação na densidade mineral da amostra (por exemplo, no caso de grãos de Au em uma amostra de sedimento), pode ser realizada a montagem

de monocamada de partículas. Nesse caso, as partículas são espalhadas sobre um pedaço de fita adesiva dupla face e dispostas em uma superfície plana de 25 ou 30 mm de diâmetro e aquelas não aderentes são removidas antes da resina ser inserida no molde (Sandmann & Gutzmer, 2012).

Para o estudo de minerais pesados em sedimentos ou rochas sedimentares, a amostra pode ser concentrada para aumentar o número de grãos disponíveis para montagem (Morton, 2012; Keulen *et al.*, 2012; Košler, 2012; Chew & Donelick, 2012; Pe-Piper & Piper, 2012), através da utilização de líquidos densos, como: (i) bromofórmio (CHBr_3), de densidade $2,889 \text{ g.ml}^{-1}$; (ii) iodeto de metileno (CH_2I_2), de densidade $3,325 \text{ g.ml}^{-1}$; (iii) substância não tóxica à base de água e LST (Politungstato de lítio), com densidade de até $2,95 \text{ g.ml}^{-1}$. Neste caso, as amostras são peneiradas e adicionadas a um recipiente com funil de separação acoplado, contendo o líquido denso e os minerais de interesse, os quais, sendo mais densos que o líquido, descendem por gravidade e são recuperados (Cabri *et al.*, 2006).

3.3. Algumas aplicações dos sistemas analisadores integrados automatizados

Por se tratar de um sistema relativamente novo no mercado, as publicações de trabalhos que utilizam o software TIMA são exíguas. Nos itens seguintes, abordam-se alguns trabalhos que fazem uso de sistemas similares, cujo princípio de funcionamento é o mesmo dos analisadores automatizados integrados ao MEV, como o QEMSCAN (*Qualitative Evaluation Minerals By Scanning Microscope*) e o MLA (*Mineral Liberation Analyzer*).

Três dos estudos apresentados encontram-se inseridos no contexto da Geometalurgia, avaliando a importância da caracterização mineral nos potenciais impactos de desenvolvimento dos processos metalúrgicos. O quarto estudo elucida uma aplicação ambiental da caracterização no cenário da Geologia Médica e das Ciências Ambientais.

3.3.1. Depósitos geometalúrgicos e depósitos de diamantes

Investigações geometalúrgicas exigem uma caracterização mineral completa de minérios e materiais geológicos, durante o desenvolvimento de seus processos (Hoal, 2008; Hoal *et al.*, 2006). Isto inclui a compreensão das relações de campo e da distribuição do minério e dos minerais de ganga em um depósito, definidos com base em atributos do processo. A mineralogia quantitativa está sendo cada vez mais aplicada ao contexto de depósitos de metais, onde o

conhecimento apurado da mineralogia tem benefícios para os estudos de liberação, de comportamento de fragmentação, de dinâmicas de flotação, entre outros processos (Hoal *et al.*, 2008).

Benvie (2007) demonstrou que a caracterização mineralógica automatizada pode ser aplicada a kimberlitos, hospedeiro litológico mais comum de depósitos primários de diamantes. Minérios de diamante são altamente variáveis em sua composição química, mineralogia, forma de grãos e tamanho de fragmentos dentro de um mesmo depósito e, ademais, kimberlitos são rochas tipicamente porosas e friáveis. Consequentemente, em um projeto diamantífero, o estudo da caracterização mineralógica auxilia no conhecimento da natureza desses materiais.

Da exploração ao processamento mineral, diversos projetos diamantíferos dizem respeito à natureza variável dos depósitos. Projetos relacionados a este bem mineral incluem finas seções de xenólitos de peridotito na mina *Premier*, na África do Sul, que possibilitam uma melhor compreensão do metamorfismo do manto e minerais relacionados, bem como da capacidade de transporte do diamante. Atualmente, a análise dos concentrados de granada, produzidos durante a exploração, permite determinar a potencialidade do local, fato que demonstra a aplicabilidade da mineralogia quantitativa na exploração de diamantes (Hoal *et al.*, 2008)..

Lâminas delgadas de kimberlitos ilustram a mineralogia variável e as relações texturais que podem impactar o processamento mineral. A Figura 4 ilustra como a mineralogia do material que compõem a matriz de granulação fina de um kimberlito, geralmente de difícil distinção por microscopia óptica, foi quantificada utilizando a técnica automatizada. As três lâminas foram polidas e analisadas com resolução de 20 µm, e a lista de minerais mostra que a rocha esteve sob processo de fluxo de corrente. A abundância modal na Figura 4 é marcada por altos percentuais de clinopiroxênio e clorita e as variações texturais relacionadas representam a presença de clastos e múltiplas fases de magma kimberlítico. Combinado à dureza dos minerais e ao modo de cominuição nas etapas de britagem e de moagem, os aspectos anteriores exercem forte influência no processamento. O *Pipe Letseng Satellite* é tomado como exemplo por ser tratar de um depósito especial, responsável pela produção de diamantes de grandes proporções.

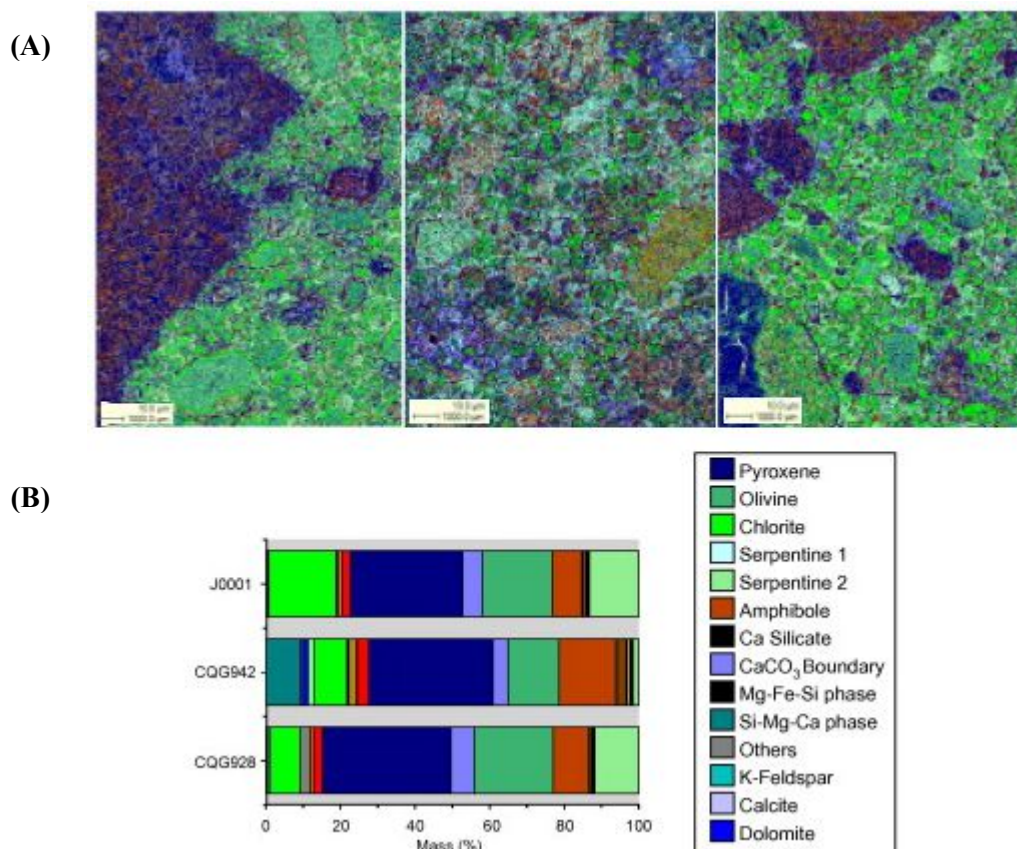


Figura 4. Imagens em falsa cor (A) e abundâncias modais com lista de minerais (B), para três amostras do *Pipe Letseng Satellite*, dos kimberlitos de Lesotho. (Hoal et al. 2008)

3.3.2. Depósitos do tipo Carlin - sedimento hospedeiro

A análise mineralógica quantitativa foi utilizada para detectar partículas de ouro em depósitos do tipo Carlin em Nevada, nos Estados Unidos, visando o entendimento da mineralização hidrotermal e da alteração dos sistemas auríferos. A mineralização de ouro em depósitos sedimentares Carlin ocorre, geralmente, como partículas de tamanho sub-micrométrico ou em halos de solução sólida de marcassita e arsenopirita (Gaguejar, 2008). Em virtude dessa relação desconhecida e do tamanho dos grãos, é difícil caracterizar a associação ouro-arsenopirita nas rochas de granulação muito fina deste tipo de depósito.

Três citações de estudos anteriores, a respeito da ocorrência de ouro sub-micrométrico em sistemas do tipo Carlin, ilustram a dificuldade em se compreender esta mineralização através da utilização de métodos analíticos tradicionais. Bakken *et al.* (1989) diz que "o número de visualizações de partículas de ouro, dentro dos limites de detecção práticos da maioria dos SEMs,

não revela a real concentração de ouro que está presente no minério, conforme determinado pelos ensaios de chama". Observou-se que as análises químicas em lâminas delgadas do minério pouco dizem sobre a real distribuição do ouro e dos elementos associados". Arehart et al. (1993) observaram que "as correlações arsênio-ouro em pirita de minérios do tipo Carlin são de difícil determinação, devido à presença de pirita livre". Nos últimos quarenta anos, inúmeras tecnologias vêm sendo aplicadas ao estudo de ouro sub-micrométrico em depósitos do tipo Carlin, incluindo a Microscopia Eletrônica de Transmissão (TEM), a Espectrometria de Massa de Íons Secundários (SIMS), a Espectroscopia de Absorção de Raios-X (XANES) e o Campo Escuro Anular de Alto Ângulo – Microscopia Eletrônica de Varredura de Transmissão (HAADF–STEM) (Hoal et al., 2008).

O tamanho sub-micrométrico das partículas de ouro no depósito de *Chukar*, em Nevada, não permitiram que as mesmas fossem detectadas por técnicas tradicionais de microscopia óptica e eletrônica de varredura. Entretanto, em função da relação arsênio-ouro neste depósito, utilizou-se o sistema QEMSCAN para detectar vestígios de arsênio em sulfetos, empregados como farejadores de ouro. Inicialmente, o sistema analisou as seções delgadas com uma resolução de 10 µm para obter informações mineralógicas e texturais, aumentando, posteriormente, o limite de retroespalhamento para identificar vários sulfetos na amostra. Subsequentemente, o sistema verificou e digitalizou separadamente os grãos de sulfeto dos minerais de ganga, possibilitando que a pirita e outros minerais sulfetados fossem reanalisados com uma resolução 1 µm para detectar possíveis enriquecimentos em arsênio (Figura 5). A resolução máxima do feixe de elétrons utilizada pelo instrumento foi de 0,5 µm, muito baixa para detectar grãos de ouro individuais, mas suficiente para o sistema identificar e orientar a presença de arsênio e, consequentemente, dos potenciais grãos de ouro, analisáveis posteriormente com uma maior resolução. A técnica aplicada mostra um método de localização e análise de espécies minerais individuais, a partir de um material sólido e quimicamente heterogêneo (Hoal et al., 2008).



Figura 5. Imagens digitais em falsa cor de grãos de pirita (amarelo) e arsênio (mais escuros) do depósito *Chukar Forrwall*, em Nevada. (Hoal *et al.* 2008)

3.3.3. Depósito do tipo cobre pórfiro

A microscopia óptica e a análise mineralógica quantitativa estão sempre integradas nos estudos para determinação das relações existentes entre as características mineralógicas ou entre as litologias dos diferentes tipos de minério em uma mina de cobre pórfiro.

Depósitos tipo pórfiro são grandes, em geral maiores que 100 Mt, e podem ocorrer na forma de mineralização disseminada, em brechas e também hospedada em veios de quartzo associados a corpos intrusivos do tipo granitoides, dentre outros. Na maioria estes depósitos estão encaixados em profundidades menores que 10 km (até 5 km, em geral) (Geomundo, 2013)

Em um sistema integrado de análise, a caracterização mineralógica quantitativa fornece informações sobre as associações mineralógicas e texturais dos materiais comumente não aparentes nas técnicas analíticas tradicionais, como as abundâncias modais de minério e ganga, a distribuição das fases secundárias e de alteração e a distribuição de fratura e veios.

Medições preliminares realizadas em domínios geometalúrgicos de monazita $[(Ce,La,Nd,Th)PO_4]$ mostram que a alteração potássica das rochas intrusivas resulta em uma assembleia mineral bastante homogênea, contento feldspato potássico, plagioclásio, quartzo, biotita e argilas (Figura 6). As proporções relativas desses minerais e a distribuição de fraturas e veios são os mais prováveis atributos que contribuem para o comportamento da fragmentação. Medições mineralógicas em rochas encaixantes metamorfizadas, incluindo amostras de calcário e quartzito, mostram que a mineralogia é altamente variável, o que dificulta sua correlação com os testes de ruptura. A caracterização mineralógica quantitativa detalhada, integrada com testes

de fragmentação, pode ilustrar melhor as associações de sulfeto, levando a uma maior capacidade de previsão (Hoal *et al.*, 2008).

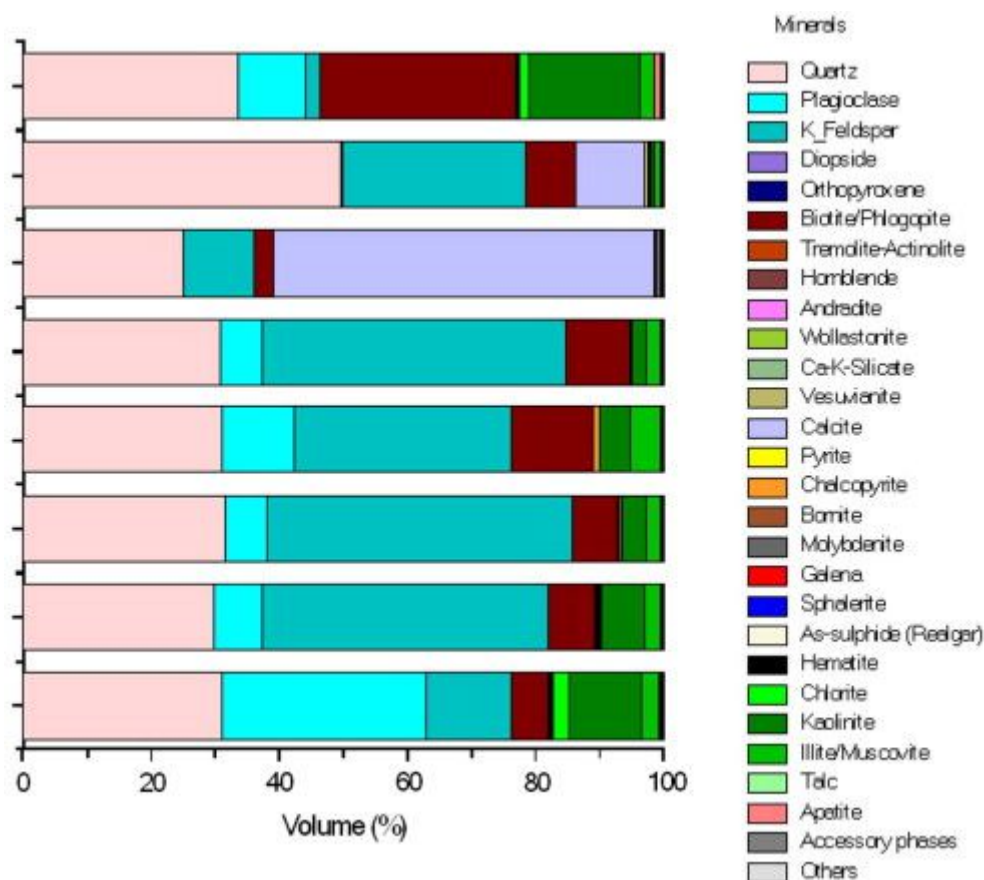


Figura 6. Análise mineralógica modal de rochas intrusivas monazíticas de um depósito de cobre pórfiro. A alteração resultou em uma assembleia relativamente homogênea de quartzo, plagioclásio, feldspato potássico e biotita com caulinita, clorita e illita alterada. (Hoal *et al.*, 2008)

3.3.4. Aplicações ambientais e biológicas

A análise mineralógica quantitativa automatizada vem sendo utilizada em várias aplicações biológicas e ambientais, dentre as quais: solos e vegetação, dentes e ossos e doenças infecciosas. Por exemplo, quando existe uma diferença na mineralogia e na química dos solos, o sistema QEMSCAN demonstra que também há diferença entre espécies vegetais dominantes, enquanto as análises via ICP-AES (*Inductively Coupled Plasma – Atomic Emission Spectrometry*) mostram as mesmas tendências. Outros estudos confirmam ainda que a composição química da vegetação reflete a química do solo (Alvarez *et al.*, 2003).

Em um estudo preliminar, visando à avaliação do uso de mineralogia quantitativa em aplicações biológicas, foram utilizadas experimentalmente amostras de dentes e de ossos do dedo do pé de babuínos e leões africanos, respectivamente. A partir do mesmo foi possível distinguir e quantificar os componentes do esmalte e da dentina dos babuínos (Figura 7a), bem como diferenciar os tipos de apatita que compõem os ossos do leão (Figura 7 b). Enquanto o esmalte e a dentina se diferem essencialmente em relação à presença de pequenas quantidades de magnésio e sódio, os resultados da análise dos ossos do leão mostram, no mínimo, três tipos de apatita, distintas relativamente à presença de cloro, sódio e magnésio.

Esses resultados mostram que a técnica é utilizável com eficácia para estabelecer a relação entre vegetação e química do solo e para identificar pequenas diferenças de composição dos tecidos biológicos duros. Em função disso, uma aplicação adicional envolve a investigação da composição mineral de lesões causadas por tuberculose bovina, presentes em tecidos moles e duros de mamíferos infectados, já que tem sido demonstrado que níveis elevados de determinados elementos químicos no solo podem aumentar a prevalência da tuberculose bovina em mamíferos (Purdey, 2006). Por conseguinte, a análise mineralógica quantitativa pode ser utilizada para produzir um banco de dados de minerais do solo, relacionáveis à prevalência da tuberculose bovina em mamíferos de um determinado local. Em suma, o objetivo do estudo é investigar a relação existente entre a mineralogia do solo, a distribuição da vegetação local e a composição e ocorrência de lesões de tuberculose bovina nos tecidos de grandes mamíferos africanos (Hoal *et al.*, 2008)

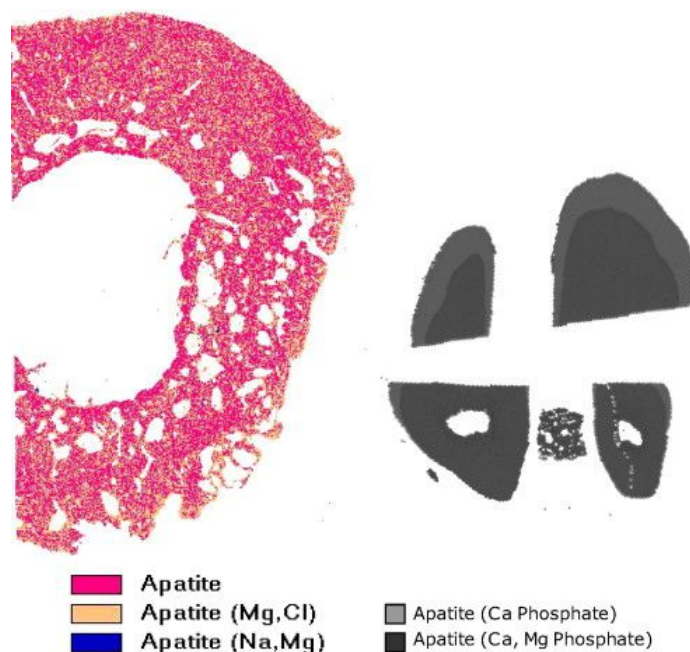


Figura 7. (a) Mapa digital de fase da formação óssea do pé de um leão mostrando as diferenças de composição em apatita e (b) mapa digital de fase de dentes babuíno mostrando as diferenças de componentes esmalte e dentina. (Hoal *et al.*, 2008).

3.4. Uma visão geral da determinação da mineralogia do ouro por um sistema automatizado.

3.4.1. Considerações acerca dos principais problemas que afetam a caracterização mineralógica de minérios de ouro

A mineralogia dos minérios de ouro é um fator chave na predição de seu comportamento durante o processamento mineral. Embora essa questão esteja amplamente compreendida, o custo associado à caracterização completa dos minérios de ouro reflete que uma análise mineralógica adequada não é efetuada até que se estabeleça o problema do processamento. Nesse contexto, o aumento da velocidade de análise e a redução do custo surgiram com as técnicas mineralógicas automatizadas, constituindo um grande benefício para a indústria de mineração, especialmente, com o aumento da ocorrência de minérios complexos e refratários.

Marsden & House (1992) definem o ouro livre de moagem como as ocorrências em que 95 % do mesmo pode ser recuperado por cianetação, enquanto que o ouro refratário corresponde aquele que recuperação é menos eficiente. Minérios refratários podem ser ainda classificados como ligeiramente refratário - com recuperação entre 80 % e 95 %, moderadamente refratário - com recuperação entre 50 % e 80 % ou fortemente refratário - com menos de 50 % de recuperação (Vaughan, 2004). Por sua vez, minérios complexos são definidos como minérios de ouro que contêm várias populações de ouro de diferentes formas de refratariedade.

A refratariedade de minérios de ouro pode ser causada por uma diversidade de fenômenos mineralógicos. Geralmente, esses minérios são sulfetados e contêm alguma ocorrência carbono. As causas mais comuns são físicas, como os revestimentos de ouro, a alteração de minerais hospedeiros, a presença de materiais carbonáticos e de ligas ou compostos insolúveis. Uma breve descrição de cada uma dessas prováveis causas é fornecida abaixo:

- O bloqueio físico do ouro ocorre quando finas partículas permanecem encapsuladas no interior de uma fase hospedeira, sua liberação pode ocorrer através da moagem ultrafina do minério. O ouro também pode estar presente em uma solução sólida no

interior da matriz mineral, na forma molecular ou “invisível”, exigindo completa destruição do mineral para ser liberado (Cook e Chryssoulis, 1990).

- A passivação do ouro durante a lixiviação pode ser causada pela formação de revestimentos insolúveis, na forma de carbonatos, sulfuretos, óxidos ou complexos de metal-cianeto, que inibem o processo de cianetação (Lorenzen & Van Deventer, 1992).
- A decomposição de minerais hospedeiros na presença de cianeto pode levar ao aumento do consumo de reagente e, conseqüentemente, à redução da eficiência da lixiviação. Os minerais de cobre, zinco, chumbo, arsênio e antimônio podem reagir com cianeto para formar complexos de metal-cianetos que, por sua vez, geram problemas ambientais. O oxigênio também pode ser consumido na oxidação de minerais, como a pirrotita (Marsden e House, 1992).
- A presença de material carbonático em minérios de ouro pode levar a um fenômeno conhecido como *preg-robbing*, em que os componentes do minério absorvem o complexo aurodicianida de uma solução (Goodall *et al.*, 2005a).
- O ouro pode se tornar refratário devido à lenta cinética de lixiviação em soluções gaseificadas de cianeto, quando se apresenta como uma liga na forma de telureto, elétron ou aurostibita (Marsden e House, 1992).

Todas essas causas são controladas pela mineralogia da rocha hospedeira. Portanto, uma análise abrangente, incluindo a mineralogia da ganga, é essencial para identificação do caminho de processamento mais eficiente a ser utilizado. Tal afirmação objetiva identificar a tecnologia disponível para determinação automática da mineralogia e as técnicas complementares que podem ser utilizadas em benefício da indústria de mineração de ouro. Para garantir a abrangência, são consideradas estritamente as técnicas complementares que apresentem uma evidente melhoria na eficácia e na eficiência do estudo do comportamento do ouro.

3.4.2. Considerações em um estudo mineralógico automatizado de um minério de ouro.

A precisão estatística da amostragem é um grande problema na execução das análises dos minérios de ouro. A amostragem é parte fundamental do estudo do comportamento do ouro, os erros em sua metodologia ou a ocorrência de amostragem inconsistente em qualquer etapa do processo geram uma cadeia de erros, onde os efeitos comprometem todo o estudo.

As estatísticas por trás da obtenção da representatividade do tipo de minério estudado são intensamente afetadas pela natureza das partículas de ouro, fenômeno conhecido como “efeito

pepita”, e os resultados da análise do ouro são sensíveis a tais variações de amostragem. As dificuldades de amostragem agravam-se ainda à medida que as partículas de ouro aumentam de tamanho e diminuem a quantidade em massa da amostra. Tal fato é especialmente importante na caracterização por análise de imagem, onde são avaliadas seções polidas. Jones & Cheung (1988) quantificaram esse problema investigando as estatísticas de interceptos de partículas de ouro em seções polidas. A partir de seus resultados, em um minério de ouro contendo 50 % de quartzo e 50 % de pirita e com todo ouro presente na forma de partículas livres, o número de seções de 25 mm que devem ser polidas e analisadas para se atingir uma precisão de $\pm 50\%$ é dada na Tabela 2.

Tabela 2. Número de grãos de 25 mm que podem ser analisados para dar uma precisão de 50% nas análises de imagens. (Goodal, 2007)

Diâmetro do grão de ouro (μm)	Concentração de ouro na amostra		
	1 ppm	10 ppm	100 ppm
	<i>Número de seções analisadas por varredura</i>		
1	2	<1	<<1
10	200	20	2
100	20.000	2000	200

As conclusões do Jones & Cheung (1988) mostram que para depósitos de baixo teor de ouro e de partículas grossas, a amostragem representativa é praticamente impossível. Para depósitos de maior teor com uma distribuição de ouro fino as dificuldades são menos pronunciadas, mas merece o devido cuidado na amostragem.

A aplicação do sistema de caracterização mineralógica automatizado na caracterização de minérios de suporte de ouro vem se tornando mais robusto, como o tempo de análise e os custos são reduzidos. Esta visão geral, não visando proporcionar um único método abrangente para caracterização do comportamento ouro, tem objetivo de dar uma avaliação das opções disponíveis para o mineralogista ou metalurgista para avaliação das associações de ouro e sua distribuição. Embora as técnicas de micro feixes não sejam estritamente automatizadas na caracterização mineralógica, elas são essenciais na prestação de um quadro abrangente na caracterização de ouro. O ponto fundamental com qualquer estudo envolvendo análise de ouro é que nenhuma técnica pode proporcionar estatisticamente resultados precisos que definam todas as populações do ouro presente. O uso de técnicas complementares é, portanto, de extrema importância.

A comercialização de sistemas baseados SEM automatizados, tais como QEMSCAN e o MLA, resultou em um futuro muito brilhante para mineralogia automatizada. Esta concorrência saudável no mercado resultou em um desenvolvimento rápido de ambas as técnicas. Com pesquisa e desenvolvimento contínuo, espera-se que as técnicas mineralógicas automatizadas tornem-se um padrão para todos os estudos de caracterização. (Goodal, 2007)

3.5. Parâmetros operacionais

Em analisador automatizado, o número de campos ou quadros analisados é definido limitando-se o tempo de análise ou especificando-se o número de partículas a serem medidas da amostra. O tempo normal de execução da análise modal de um mosaico de partículas é inferior a 3 horas, com exceção da aquisição de imagens de alta resolução, abrangendo aproximadamente 100-150 campos, com proporções de 1,5 x 1,5 mm cada e resolução de 800 x 800 pixels. O tamanho dos campos depende do tamanho das partículas que se queiram medir, normalmente 100 partículas por quadro. Por conseguinte, os tamanhos dos campos variam entre 1 e 2 mm.

Com base nesses parâmetros, aproximadamente 10.000-20.000 partículas são analisadas em frações mais finas, como 63-177 μm , e 5.000-10.000 partículas em frações mais grossas, como 177-354 μm . O tempo normal de execução para uma análise de mapeamento de raios-X de todos os grãos minerais de fração fina, com seção de 27 x 46 mm, é de cerca de 6 horas (para um SEM com uma fonte convencional de filamento de tungstênio) ou 2,5-3 horas (para um SEM com uma fonte FEG), abrangendo aproximadamente 250-300 quadros, com proporções de 2 x 2 mm cada e resolução de 400 x 400 pixels. Neste caso, a resolução espacial primária da imagem BSE é 5 μm , enquanto que a resolução secundária é de aproximadamente 50 μm , baseando-se em um tamanho de passo de 10 pixels (Sylvester, 2012).

CAPÍTULO 4. METODOLOGIA E PROCEDIMENTOS

4.1. Considerações iniciais

A metodologia do trabalho consistiu na seleção de amostras de minerais para análise no sistema automático de aquisição, instalado no NanoLab, do Centro Mineralógico da REDEMAT, especificamente o sistema denominado TIMA-MIRA, composto de um programa de controle de varredura e análise de dados minerais (TIMA – Tescan Integrated Mineral Analyzer) e um microscópio eletrônico de varredura, com canhão de elétrons de emissão de campo, associado a dois detectores de dispersão de energia de raios X característicos (MIRA – nome comercial). A Figura 17 é uma fotografia do sistema instalado no NanoLab.

As análises, para aferição dos dados, foram seguidas, quando necessário, de análise em bancada por técnicas complementares, como difratometria de raios-X. Após confirmação das identificações das fases dos materiais estudados, foi constituído um banco de dados denominado Nanolab-all, tendo como base de início de estudo o banco de dados do sistema, Tescan_All e suas variantes, com suas imagens e espectros de raios-X característicos, obtidos pelo sistema TIMA-MIRA e desenvolvidos protocolos para seus usos em suas respectivas classes de materiais.



Figura 8. Equipamento TIMA-MIRA instalado no NanoLab, do CMM da REDEMAT, e localizado nas dependências da Universidade Federal de Ouro Preto.

O procedimento de preparação física, adequação granulométrica e confecção de seções polidas foi executado nos laboratórios de Construção Civil e de Tratamentos Térmicos, respectivamente, dos Departamento de Engenharia Civil (DECIV) e do Departamento de Engenharia Metalúrgica e de Materiais (DEMET). A difratometria foi efetuada nos Laboratórios de Difração de Raios X do Departamento de Engenharia Geológica (DEGEO) e do Departamento de Engenharia Metalúrgica e de Materiais (DEMET) e as demais operações no NanoLab do CMM - REDEMAT.

4.2. Seleção das amostras minerais

A princípio, foram selecionadas 193 amostras, em sua maioria, monominerálicas ou com pequena quantidade de minerais associados. Foram analisadas amostras cedidas pelo Laboratório de Mineralogia do Departamento de Geologia, adquiridas junto a colecionadores no mercado de minerais, e amostras de lâminas petrográficas delgadas, amplamente descritas por técnicas de microscopia ótica por docentes e discentes do DEGEO.

Tais constituem minerais de minério e ganga dos bens minerais de maior ocorrência no Brasil, dentre os quais se incluem os minérios de ferro, alumínio, chumbo, zinco, cobre, ferro, manganês, níquel, ouro, nióbio-tântalo e titânio, dentre outros.

4.3. Preparação física das amostras

As amostras “in natura” adquiridas, foram submetidas à cominuição por processos mecânicos que incluíram: britagem em britador de mandíbulas modelo BB50 (Retsch, Alemanha), com redução de partículas à frações inferiores a 0,15 mm; peneiramento a seco em peneiras vibratórias circulares modelo 4655 (Soloteste, Brasil), com seleção do material passante na peneira de 48 mesh e retido na peneira de 100 mesh, correspondendo à frações granulométricas entre -300 e +150 μm ; e a pulverização em almofariz com pistilo em ágata de fração destes, quando destinadas à difratometria de raios X, que exige frações granulométricas por volta de 325 mesh.

Subsequentemente, as amostras de fração -300 e +150 μm foram embutidas a frio em resina EpoxySet (Allied, USA). A resina e o catalisador foram misturadas em proporção 7:1,

especificada pelo fabricante, e transferidas para um molde de silicone, resultando, após tempo de cura, em um embutimento de 30 mm de diâmetro.

Esses embutimentos foram desbastados manualmente, em via úmida, por revestimentos abrasivos (lixas), modelo Água T223 (Norton, Brasil) de granulometria de até 1200 mesh e polidos em politrizes modelo Aropol (Arotec, Brasil) com pasta de diamante de 1 μm e $\frac{1}{4} \mu\text{m}$, gerando, assim, seções polidas com superfícies suficientemente planas e lisas, adequadas às posteriores análises.

Após a preparação, as seções polidas foram recobertas com uma película de carbono, da ordem de 150-300 Å, em vaporizadora/metalizadora modelo Q150RES (Quorum Technologies, Inglaterra) para análise no sistema TIMA-MIRA.

4.4. Difratometria de Raios-X

As amostras pulverizadas foram submetidas à difratometria de raios X, utilizada como técnica complementar de identificação das amostras dos minerais “in natura” selecionados. As análises foram realizadas em difratômetros modelos XRD-6100 (Shimadzu, Japão), Empyrean (PANalytical, Inglaterra) e D2-Phaser (Biller, Bélgica). As varreduras foram efetuadas entre 2° e 80°. Os difratogramas dos minerais referenciados no Capítulo 5, de resultados, são apresentados no ANEXO I, conjuntamente com o Banco de dados mineral NanoLab_all (Ver.22).

4.5. Analisador Mineral Integrado Automatizado

4.5.1. Aquisição de dados e procedimento de análise

A aquisição dos dados dos minerais selecionados para o desenvolvimento do banco de dados, bem como os procedimentos de análise microestrutural e de caracterização mineralógica de minérios de ouro, terras raras, níquel oxidado e minério de ferro, constantes neste trabalho, foi executada no analisador mineral integrado modelo TIMA (software versão 1.4.2.9), (TESCAN, República Tcheca), acoplado a um microscópio eletrônico de Varredura MIRA3 - Schottky field emission, utilizando-se uma tensão de aceleração de 25kV e corrente incidente de 200nA, condições estas, pré estabelecidas pelo sistema..

4.5.2. Construção do banco de dados de minerais de procedência brasileira

A construção do banco de dados segue diversos estágios, gerenciados a partir de um módulo específico do sistema integrado. O fluxograma da Figura 19 sumariza a sequência dos estágios envolvidos nessa etapa. Para fins de simplificação, o esquema de classificação mineral é utilizado como sinônimo de banco de dados neste trabalho, sendo que o esquema de classificação denominado *Tescan_All*, originário do sistema, foi a base para a construção do banco de dados de minerais brasileiros, *Nanolab-all*, objeto deste estudo. Esse foi desenvolvido em etapas, originando várias versões, que culminaram em uma versão final, *NanoLab_all* (ver. 22), aqui apresentada.

Assim, tal versão do banco de dados utilizada, contempla todos os minerais que estão no banco de dados originário do sistema, bem como, os minerais inseridos e ou adaptados, corrigidos às condições dos minérios de depósitos brasileiros, juntamente com suas propriedades, regras e espectros de referência, apresentado no Anexo I.

O primeiro estágio é comum a todas as amostras e consiste na entrada de dados através da criação de um projeto (Project) - um máximo de sete amostras são alocadas para definição dos parâmetros de análise. A combinação dos parâmetros *Analysis type*, *Acquisition mode* e *Pixel spacing* selecionados, respectivamente, como *Liberation analysis*, *High resolution mapping* e 3 μm , determinaram uma aquisição de dados precisa, fornecendo uma individualização de partículas, por algoritmos de segmentação, e a distinção de fases, por associação entre EDS e níveis de BSE, ambos em resolução de 3 μm . Além dos parâmetros anteriormente descritos, definem-se as intensidades mínimas e máximas de brilho de BSE, respectivamente, 15 % e 100 %, e o número de contagens de raios X, 1500 por pixel. Com tais parâmetros de análise adequadamente definidos as aquisições são executadas.

Por conseguinte, segue-se a avaliação das fases, tomando-se como base os resultados obtidos pela técnica de difratometria de raios X, bem como consulta ao site Webmineral, que servem como confirmação das espécies ou associações minerais selecionadas.

As fases não automaticamente identificadas, uma vez corretamente classificadas, pelas intensidades dos picos de elementos químicos constantes em cada espécime, foram inseridas no banco de dados designado *Nanolab-All*, em suas diversas versões, que ganhavam nova nomeação à medida que lotes de novos minerais a ele eram inseridos, totalizando um número de 20 versões. Suas propriedades foram importadas de modo automatizado do site Webmineral.

As fases incorretamente classificadas foram reajustadas, através da edição das regras do próprio mineral, caso o mesmo se encontrasse inserido no banco de dados, ou através de sua adição ao banco de dados, de forma análoga à interior.

Fases não identificadas e incorretamente classificadas, após a reclassificação e inserção de suas propriedades, como composição, brilho BSE e espectros de EDS, foram incorporadas ao banco de dados *NanoLab-All*. O fluxograma da figura 9 exemplifica as etapas aplicadas à classificação mineral.

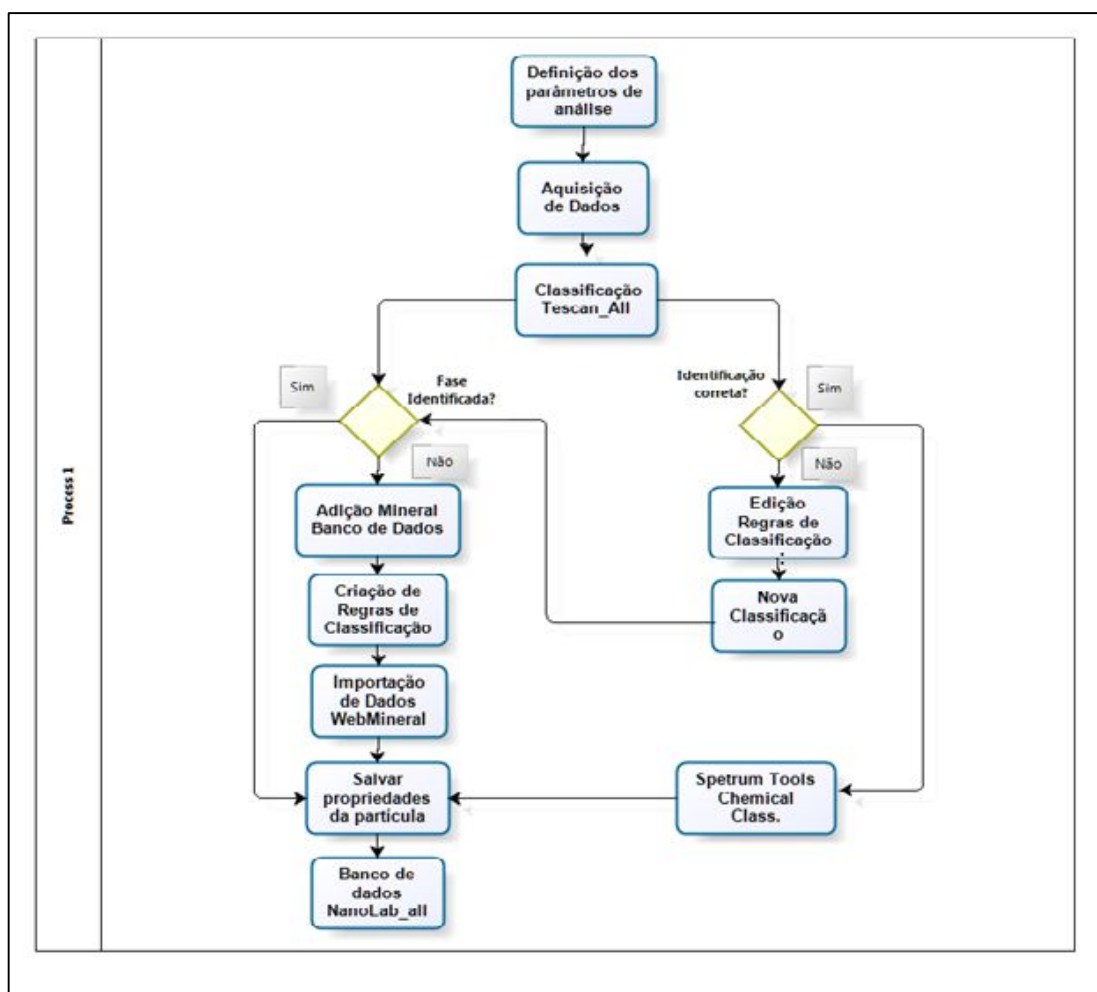


Figura 9. Fluxograma das etapas de classificação mineral.

CAPITULO 5. RESULTADOS E DISCUSSÃO

5.1. Banco de dados de minerais

A metodologia apresentada foi aplicada na identificação e inserção no banco de dados de 193 diferentes espécies e associações minerais, resultando em um banco de dados com minerais de procedência brasileira e constantes nos diversos depósitos geológicos.

Desse total, 110 tiveram suas regras de identificação definidas e foram inseridos no banco de dados, com suas propriedades, importadas do Webmineral, bem como informações coletadas no sistema MEV/EDS, 60 tiveram suas regras alteradas à realidade dos depósitos geológicos nacionais e 23 constantes no banco de dados original do sistema, Tescan- All, que foram mantidos.

Desse montante, alguns minerais selecionados exibiram inconsistências, impossibilitando sua inserção individual no banco de dados com a metodologia especificamente desenvolvida neste estudo. A Tabela 3 apresenta a relação dos minerais e as associações minerais, presentes no banco de dados desenvolvido, onde minerais com sufixo (1) foram os acrescentados, com sufixo (a) foram modificados em suas regras de classificação e os minerais sem sufixo são originários do banco de dados do sistema. Os nomes dos minerais foram mantidos em inglês, para preservar a consistência com os demais no sistema.

A organização das espécies em classes minerais apresentada baseia-se na classificação de acordo com Dana (1981).

Tabela 3. Banco de dados de minerais e de associações minerais desenvolvido para o sistema TIMA- MIRA com classificação em grupos segundo Dana (1981). Minerais inseridos são complementados com sufixo “ (1) ” e minerais modificados estão complementados com sufixo “ (a) ”.

BANCO DE DADOS NANOLAB_ALL

SILICATES	<i>Actinolite(a)</i>	<i>Chrysotile(1)</i>	<i>Kaolinite(a)</i>	<i>Scapolite-Ca-Na(1)</i>
	<i>Aegirine(a)</i>	<i>Cordierite (1)</i>	<i>K Feldspar(1)</i>	<i>Silimanite(1)</i>
	<i>Albite(a)</i>	<i>Danalite(1)</i>	<i>Kianite(1)</i>	<i>Sodalite(1)</i>
	<i>Ajoite(1)</i>	<i>Diopside(a)</i>	<i>Labradorite(1)</i>	<i>Sperssatine(1)</i>
	<i>Allanite-(Ce(a))</i>	<i>Dravite</i>	<i>Lepidolite(1)</i>	<i>Spodumene(1)</i>
	<i>Andalusite(a)</i>	<i>Elbaite(1)</i>	<i>Leucophoenicite(1)</i>	<i>Staurolite(1)</i>
	<i>Almandine(1)</i>	<i>Enstatite(a)</i>	<i>Marialite(1)</i>	<i>Talc(1)</i>
	<i>Almandine_Spessartine(1)</i>	<i>Enstatite-(Fe)</i>	<i>Magnesiogedrite</i>	<i>Titanite(a)</i>
	<i>Anandite(1)</i>	<i>Euclase(1)</i>	<i>Microcline(1)</i>	<i>Topaz(1)</i>
	<i>AluminiumTitanate</i>	- <i>Ferro-Actinolite(a)</i>	<i>Montmorillonite(1)</i>	<i>Tremolite(1)</i>
	<i>Andradite (a)</i>	<i>Ferrobustamite(1)</i>	<i>Muscovite(a)</i>	<i>Tetraferriphlogopite(1)</i>
	<i>Antigorite- (1)</i>	<i>Ferrocapholite</i>	<i>Nepheline (1)</i>	<i>Uvarovite(1)</i>
	<i>Andesine(1)</i>	<i>Ferrogedrite</i>	<i>Neotocite(1)</i>	<i>Vermiculite(1)</i>
	<i>Andratite (a)</i>	<i>Ferrosaponite (a)</i>	<i>Olivine(a)</i>	<i>Versuvianite(1)</i>
	<i>Anorthite(a)</i>	<i>Fluorversuvianite(1)</i>	<i>Oligoclase(1)</i>	<i>Wollastonite(a)</i>
	<i>Augite(1)</i>	<i>Forsterite(1)*</i>	<i>Paragonite(1)</i>	<i>Zircon (a)</i>
	<i>Bannisterite (a)</i>	<i>Fuchsite(1)</i>	<i>Prehnite(1)</i>	<i>Zoisite(1)</i>
	<i>Biotite(a)</i>	<i>Ganierite(1)</i>	<i>Pyrophyllite(1)</i>	<i>Zunyite</i>
	<i>Bariumbannisterite</i>	<i>Grossular(1)</i>	<i>Pyrope (a)</i>	
	<i>Cancrinite</i>	<i>Grunerite(1)</i>	<i>Quartz(a)</i>	
	<i>Chlinochlore(1)</i>	<i>Hastingsite(1)</i>	<i>Riebeckite(1)</i>	
	<i>Chlorite(1)</i>	<i>Halloysite(1)</i>	<i>Roscoelite(1)</i>	
	<i>Chloritoide(1)</i>	<i>Hornblende(a)</i>	<i>Rhodonite(1)</i>	
	<i>Chrysocola</i>	<i>Kaersutite</i>	<i>Schorl(a)</i>	
OXIDES AND HYDROXIDES	<i>Anatase(1)</i>	<i>Corundum(a)</i>	<i>Goethite(1)</i>	<i>Romanechite(1)</i>
	<i>Aluminocerite (Ce)(1)</i>	<i>Cuprite (a)</i>	<i>Hematite(1)</i>	<i>Rutile(a)</i>
	<i>Baddeleyite(a)</i>	<i>Diaspore-(Fe)</i>	<i>Ilmenite (a)</i>	<i>Rynersonite</i>
	<i>Bismutocolumbite(a)</i>	<i>Diaspore-(Fe-Mn)(1)</i>	<i>Jacobsite (a)</i>	<i>Tantalite-(Fe)</i>
	<i>Cassiterite(a)</i>	<i>Diaspore(a)</i>	<i>Magnetite(1)</i>	<i>Tantalite-(Mn)(1)</i>
	<i>Chromite(a)</i>	<i>Fersmite</i>	<i>Magnesiochromite(1)</i>	<i>Titanowodginite</i>
	<i>Cryptomelane(1)</i>	<i>Fersmite-(Nb)</i>	<i>Perovskite (1)</i>	<i>Uraninite(a)</i>
	<i>Columbite(a)</i>	<i>Fergusonite (a)</i>	<i>Pyromorphite(1)</i>	<i>Vesuvianite(1)</i>
	<i>Columbite-Mn (1)</i>	<i>Gibbsite(1)</i>	<i>Pyrolusite(1)</i>	

SULFIDES	<i>Arsenopyrite(1)</i>	Covellite (1)	Pentlandite(a)	<i>Skutterudite</i>
	<i>Berndtite (a)</i>	Cobaltpentlandite(1)	<i>Pyrite(a)</i>	<i>Sobolevskite</i>
	<i>Bornite(a)</i>	Cuprokalinitite(1)	<i>Pyrrhotite(1)</i>	<i>Sperryllite(a)</i>
	<i>Cinnabar (1)</i>	Danaite(1)	<i>Oregonite</i>	<i>Sphalerite(a)</i>
	<i>Chacocite(a) Chalcopyrite(a)</i>	Galena(a)	<i>Orpiment(1)</i>	<i>Stibinite(a)</i>
	Chalcopyrite+As(a)	Molybdenite(a)	<i>Rammelsbergite</i>	<i>Wurtzite</i>
		Millerite(1)	<i>Realgar(1)</i>	
CARBONATES	<i>Ankerite(a)</i>	<i>Calcite(a)</i>	<i>Cerussite(1)</i>	<i>Parisite(1)</i>
	<i>Ankerite+clay(Fe) (1)</i>	<i>Calcioburbankite</i>	<i>Dawsonite (a)</i>	<i>Rhodochrosite(1)</i>
	<i>Ankerite+clay (a)</i>	<i>Calcioburbankite-Sr</i>	<i>Dolomite(a)</i>	<i>Siderita(1)</i>
	<i>Azurite(1)</i>	<i>Calcioburbankite-Ca</i>	<i>Lanthanite(1)*</i>	<i>Strontianite</i>
	<i>Bastnasite (1)</i>	<i>Calcioburbankite-Na</i>	<i>Kutnohorite(1)</i>	<i>Synchysite</i>
			<i>Malachite(1)</i>	
PHOSPHATES	<i>Amblygonite(1)</i>	<i>Frondelite(1)</i>	<i>Pyromorphite(1)</i>	
	<i>Apatite(a)</i>	<i>Herderite(1)</i>	<i>Pseudomalachite(1)</i>	
	<i>Beryllonite(1)</i>	<i>Lazulite(1)</i>	<i>Theisite(1)</i>	
	<i>Brazilianite(1)</i>	<i>Montebrasite(1)</i>	<i>Xenotime-(Y) (a)</i>	
	<i>Faustite (1)</i>	<i>Monazite(a)</i>		
SULFATES	<i>Alunite</i>	<i>Antlerite(1)</i>	<i>Celestite</i>	
	<i>Anhydrite(1)</i>	<i>Baryte(a)</i>	<i>Gypsum(1)</i>	
HALIDES	<i>Atacamite(a)</i>	<i>Halite(1)</i>	<i>Adamite(1)</i>	
	<i>Fluorite(a)</i>	<i>Sylvite(1)</i>	<i>Cuprian Adamite(1)</i>	
NATIVE ELEMENTS	<i>Bismuth (a)</i>	<i>Gold (a)</i>	<i>Sulphur(1)</i>	
	<i>Chromferide</i>	<i>Silver (a)</i>		
TUNGSTATES	<i>Gaudefroyite(1)</i>	<i>Hubnerite(1)</i>	<i>Scheelite(1)</i>	<i>Wolframite(1)</i>
MOLIBDATES				
BORATES				

Os *silicatos* selecionados apresentaram diferentes respostas quanto à classificação, após a análise no sistema, em função, principalmente, de suas variedades. Os minerais inseridos nessa classe são constituídos por estruturas tetraédricas, compostas por silício e oxigênio e unidas em configurações de diferentes graus de complexidade, cujos interstícios encontram-se preenchidos,

essencialmente, por átomos de alumínio, magnésio, ferro, manganês, cálcio, potássio e sódio (Dana 1981). Da combinação entre a complexidade estrutural e composição química resultam os diversos minerais que compõem esta classe, caracterizada pela presença de espécies isomorfas, polimorfas e de soluções sólidas.

Os minerais selecionados que apresentam composição química definida não produziram impedimentos quanto à classificação, sendo suas regras normalmente estabelecidas pela atribuição de valores máximos e mínimos das intensidades dos elementos químicos que as compõem. A exemplo, tem-se o mineral lepidolita $[K (Li, Al)_3(Si, Al)_4O_{10}(F, OH)_2]$, que teve suas partículas inicialmente especificadas como fases não classificadas. Para cada pixel das partículas em questão foi determinado o espectro de raios-X e foram quantificados os picos de intensidade dos elementos químicos.

A Figura 10 ilustra os dados obtidos para o mineral lepidolita, na análise no sistema TIMA-MIRA, utilizando o banco de dados do sistema. Deve ser ressaltado o fato de que todas as partículas colorizadas em preto, na figura 20, correspondem a fases não identificadas pelo sistema original, em função de suas regras de seleção não contemplarem as particularidades da lepidolita analisada.

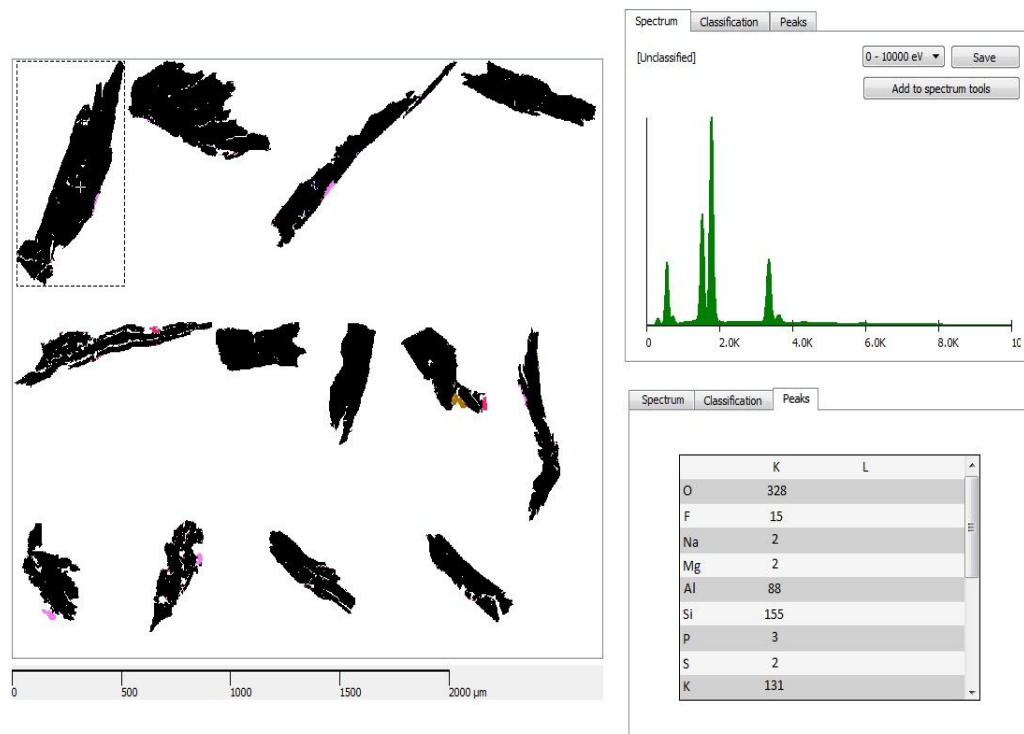


Figura 10. Partículas do mineral lepidolita especificadas como não identificadas, apresentadas em preto.

Para o ponto selecionado no interior da partícula inserida no enquadramento pontilhado foi atribuído um espectro de raios- X (Guia *Spectrum*) e um conjunto de intensidade de picos de elementos químicos (Guia *Peaks*), bem como para as demais partículas apresentadas como não classificadas.

Um conjunto de medidas representativas das intensidades dos picos dos elementos químicos que compõem a fórmula química do mineral lepidolita foi coletado em cada partícula. Os valores de intensidade mínimo e máximo de cada elemento foram utilizados para compor sua regra de classificação, selecionada como *Intensity* pelas considerações expostas no item 3.1.4, e para inserção do mineral no novo banco de dados, denominado NanoLab_all, juntamente com suas propriedades importadas do Webmineral. Após a reclassificação, utilizando-se a nova base de dados as partículas foram corretamente identificadas como o mineral lepidolita, sendo todas as partículas foram colorizadas automaticamente conforme a legenda do mineral (Figura 11).

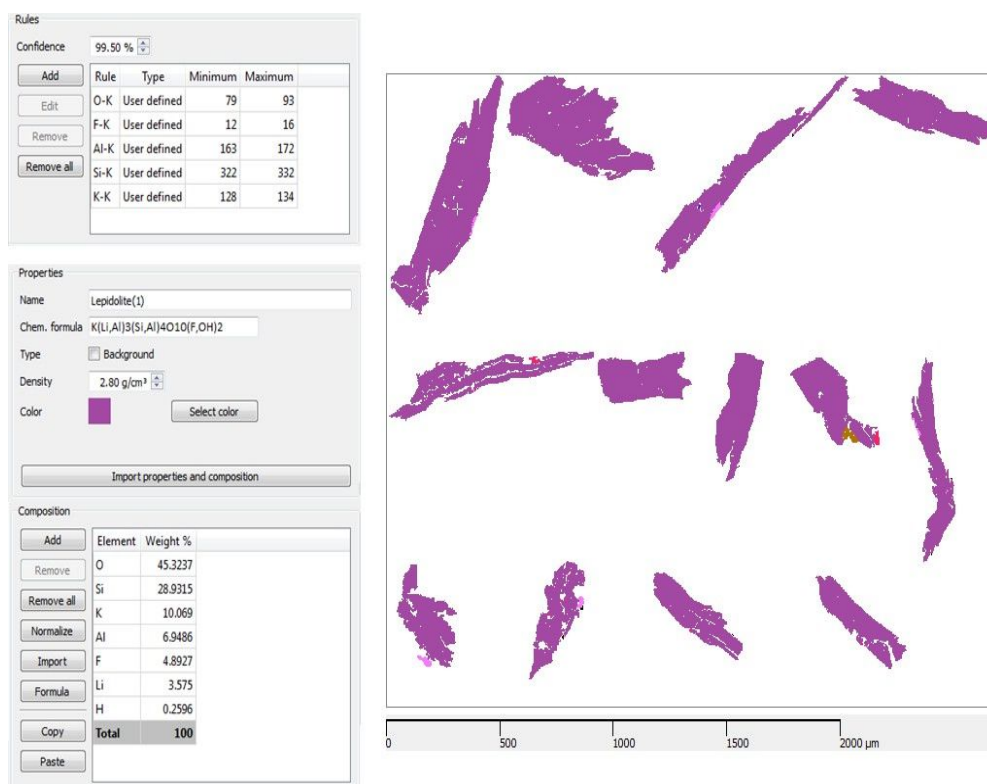


Figura 11. Definição da regra de classificação do mineral lepidolita por meio de valores máximos e mínimos de intensidade de picos de elementos químicos (Guia *Rules*) e importação das propriedades do mineral do Webmineral (Guia *Properties* e *Composition*).

Diferentes espectros de raios-X foram coletados a partir das variações das composições químicas em cada partícula, obtidas pela análise semi-quantitativa na ferramenta *Spectrum tools* e, após, foram importados para o novo banco de dados, conforme ilustrado na Figura 12.

Esses espectros não são utilizados na classificação de fases minerais por análises no sistema, que executa a classificação por meio da regra anteriormente definida, e sim para comparar espectros obtidos da mesma espécie mineral em próximas análises no sistema, evidenciando as variações químicas decorrentes de processos geológicos.

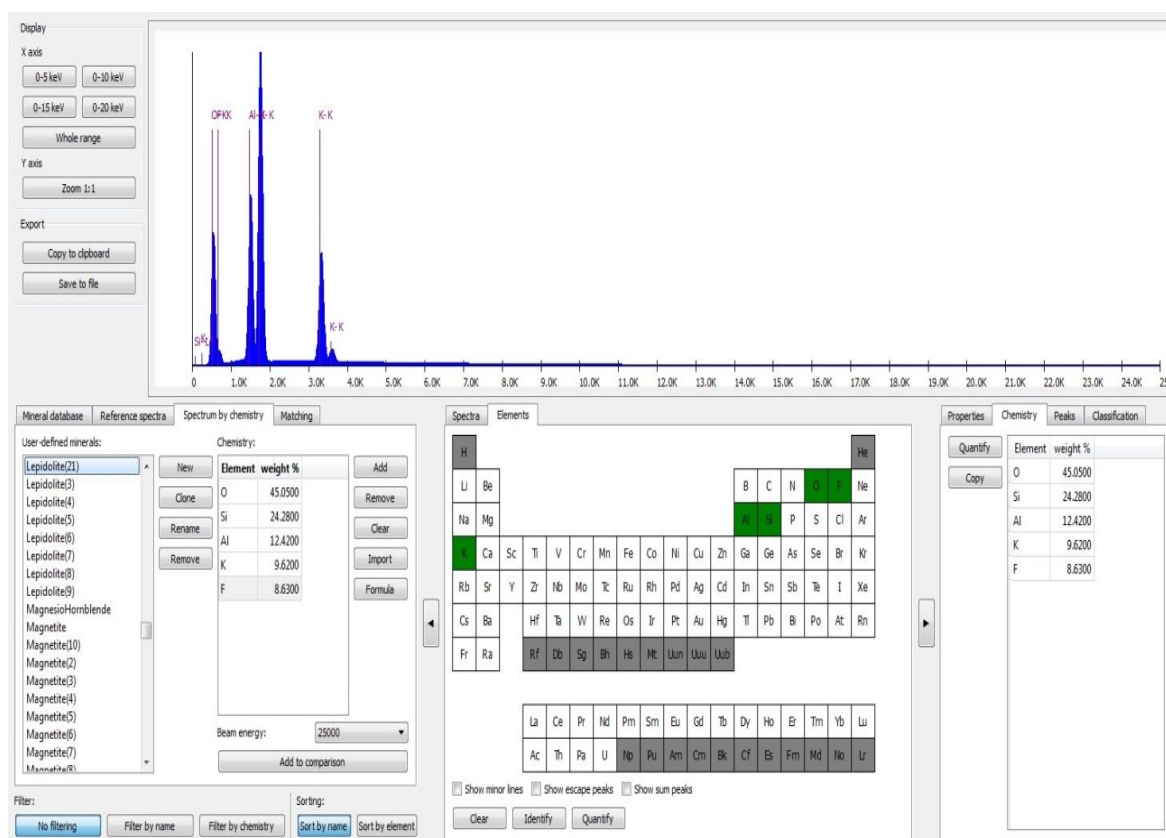


Figura 12. Quantificação (Guia *Chemistry*) e simulação (Guia *Spectrum by Chemistry*) de espectro de raios X da partícula selecionada por meio da ferramenta *Spectrum Tools*, posteriormente adicionado ao banco de dados.

As principais inconsistências identificadas relacionam-se com a distinção de minerais polimorfos, caracterizados pela mesma composição química, como crisotila - antigorita, cianita - andalusita - similanita, que não apresentam diferenças substanciais de intensidades dos picos dos elementos químicos e, portanto, não são identificados distintamente, sendo agrupados em

uma única fase; e com a individualização dos membros de soluções sólidas contínuas, como a série forsterita-faialita, onde a ausência de membros da série inviabiliza o estabelecimento de regras de classificação individuais, sendo, neste caso, mantido o nome do grupo mineral, olivina.

. Entretanto, para soluções sólidas descontínuas, como a série albita-anortita, a individualização foi viabilizada pela presença de membros de composição química definidas, como já executado, em parte, pela inserção dos minerais anortita, labradorita, oligoclásio, andesina e albita, que constituem a série.

Os óxidos selecionados constituem fases minerais não individualizadas ou não classificadas, por não se encontrarem discriminados ou inseridos no banco de dados original do sistema, à exceção de algumas espécies.

Como o mineral cromita já se encontrava inserido no banco de dados original, a maioria de suas partículas foi corretamente classificada após à análise no sistema TIMA-MIRA, conforme ilustrado na Figura13. Os espectros de raios-X foram coletados a partir das análises químicas semi-quantitativas, obtidas na ferramenta *Spectrum tools* e importados para o banco de dados, de forma análoga àquela apresentada na Figura 12.

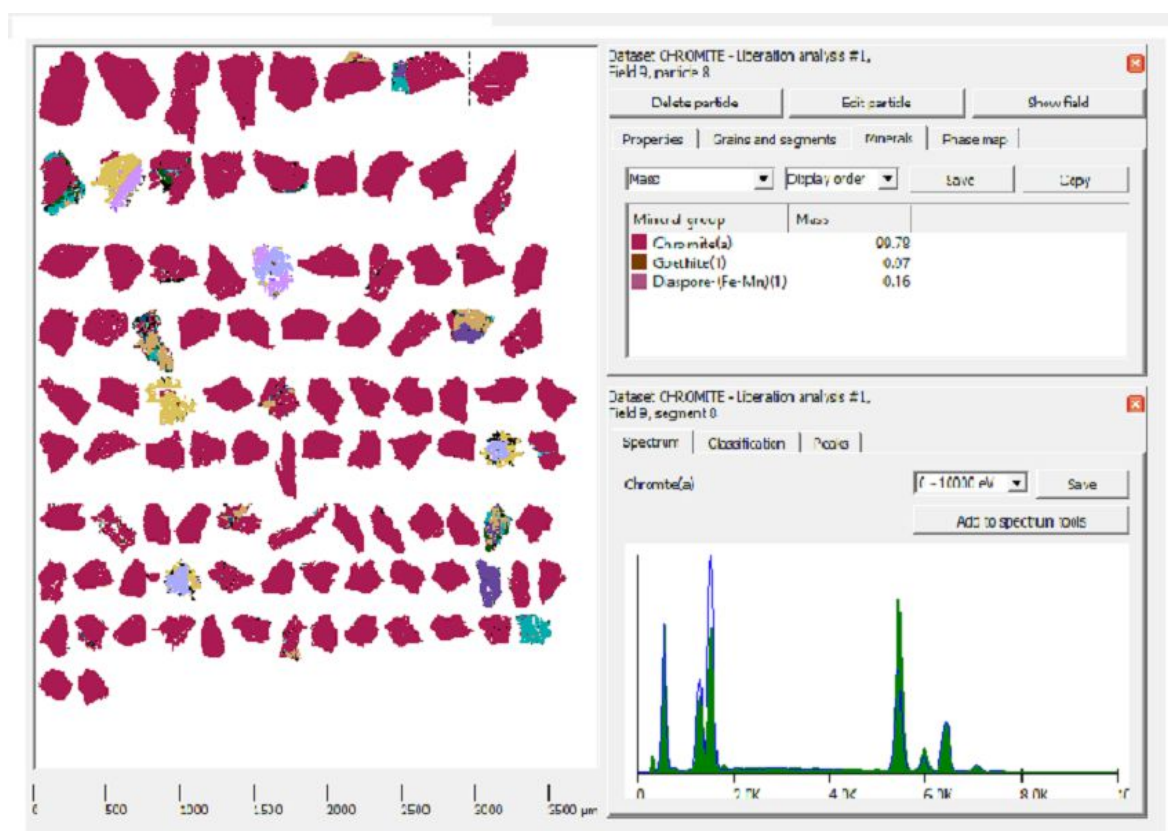


Figura 13. Partículas do mineral cromita corretamente classificadas são apresentadas na cor bordô

O ponto selecionado no interior da partícula inserida no enquadramento pontilhado exibe a comparação entre o espectro obtido, em verde, e o espectro padrão do banco de dados, em azul (Guia *Spectrum*).

Como os constituintes dessa classe apresentam, em parte, composições químicas semelhantes, até mesmo em termos proporcionais, não há diferenças significativas de brilho de BSE e de intensidades de picos de elementos químicos, que possibilitem sua individualização imediata. Portanto, a definição das regras de classificação de alguns minerais selecionados exigiu maior acurácia na seleção e no processamento dos dados adquiridos.

Para os óxidos e hidróxido de ferro, um grande número de informações foi coletado de amostras de magnetita, hematita e goetita de diferentes depósitos minerais, com a finalidade de contemplar dados estatisticamente representativos adotando-se as seguintes regras de identificação propostas pelo software do sistema:

- Regra baseada em faixas de nível de brilho BSE (BSE Level): Como individualmente os óxidos Magnetita ($\text{Fe}_2\text{O}_3 \cdot \text{FeO}$), Hematita (Fe_2O_3) e o hidróxido, goetita ($\text{FeO}(\text{OH})$) apresentam formulações químicas semelhantes, com os mesmos elementos majoritários, e teores em ferro bem distintos, o nível de brilho BSE, foi utilizado, a princípio, para diferenciá-los. Separadamente, estabeleceu-se as faixas de nível BSE para cada espécime, através de uma coleta de dados em massas mono minerais para cada um destes. Tal relação, na análise de uma assembleia mineral, onde tais óxidos estavam presentes, misturados, não se mostrou eficiente para diferenciá-los, pois o nível de brilho BSE mostrou ser influenciado, tanto pela granulometria da partícula, quanto pela posição da partícula no embutimento, ocorrendo uma superposição de tais faixas de valores máximos e mínimos
- Regra baseada na relação Fe/O (Ratio), conjuntamente com o nível de brilho BSE (BSE Level) nos vários experimentos, notou-se que programa TIMA não se utiliza das diferenças químicas entre os espécimes, logo, as faixas de valores máximos e mínimos estabelecidas se sobrepuseram, não sendo possível tal diferenciação, entre os citados óxidos de ferro, pela técnica apresentada.

Aplicando esta regra, os valores ficaram como apresentados na tabela 5.

Tabela 5. Valores da Regra Ratio Fe/O e Brilho BSE para hematita e magnetita obtidos

	Fe/O		Brilho BSE	
	Máximo	Mínimo	Mínimo	Máximo
Hematita	2.0	9.85	31.0	38.9
Magnetita	4.3	5.80	35.0	47.0

A tabela 4 apresenta os valores da regra para a identificação dos óxidos de ferro, em conjunto, hematita/magnetita

Tabela 4. Valores da regra adotada para hematita/magnetita

Hematita/Magnetita	Fe/O		Brilho BSE	
	Mínimo	Máximo	Mínimo	Máximo
	2	9.85	30	47

- Regra baseada na intensidade dos picos dos principais elementos químicos constituintes do espécime (*Intensity*). Como a goetita possui em sua constituição, elementos químicos distintos dos óxidos, dentre outros, tais como fósforo (P), Bário (Ba) com picos de intensidades relevantes, foi possível criar uma regra, distinguindo-a dos óxidos de ferro, hematita e Magnetita.

Donskoi et al. (2011) efetuaram um estudo comparativo entre análises de minério de ferro via analisador automatizado e análise de imagens de microscopia ótica de luz refletida, utilizando para tal duas amostras de minério hematítico-goetítico (sinter fines) de Pilbara, na Austrália. As imagens obtidas no microscópio ótico foram analisadas por um software que diferencia os minerais pelas propriedades de reflexão da luz. Segundo os autores, apesar de distinguir os principais óxidos e hidróxidos de ferro, o analisador automatizado apresentou dificuldades na distinção entre minerais ferrosos cujo conteúdo de 78 oxigênios é muito próximo, podendo classificar erroneamente minerais com composições químicas semelhantes, por exemplo, classificar hematita como magnetita.

Assim, tendo em vista, tais limitações consideraremos os óxidos de ferro, hematita e magnetita como um único espécime no banco de dados, hematite/magnetite.

Os sulfetos mais comuns já se encontravam no banco de dados original e foram corretamente classificados após a análise no sistema, apresentando poucas alterações relativas às regras de classificação ou à composição de espectros de EDS. Segundo Dana (1981), os minerais desse grupo são definidos pela associação de um elemento metálico ou de um elemento semi-metálico, contemplando as subclasses dos sulfetos, arsenetos, antimonetos, selenetos e teluretos. Suas composições químicas são definidas por diferentes cátions, à exceção de algumas espécies, circunstância que favorece a distinção destes minerais por regras de intensidade de pico de elementos químicos, já que os mesmos apresentam níveis de brilho de BSE equivalentes, variando

entre 40 e 60 %. Mesmo para minerais com composições químicas semelhantes, como pirita e pirrotita, foi possível estabelecer regras de classificação por intensidades de pico de elementos químicos, sem que houvesse sobreposição dos valores selecionados para cada espécie. A título de exemplo, as partículas do mineral realgar [AsS] foram inicialmente especificadas como fases não classificadas. Para cada ponto, nas diversas partículas, foi determinado um espectro de raios-X e foram quantificados os picos de intensidade dos elementos químicos. A Figura 14 ilustra os dados obtidos para o mineral realgar na análise no sistema TIMA-MIRA, com o banco de dados original.

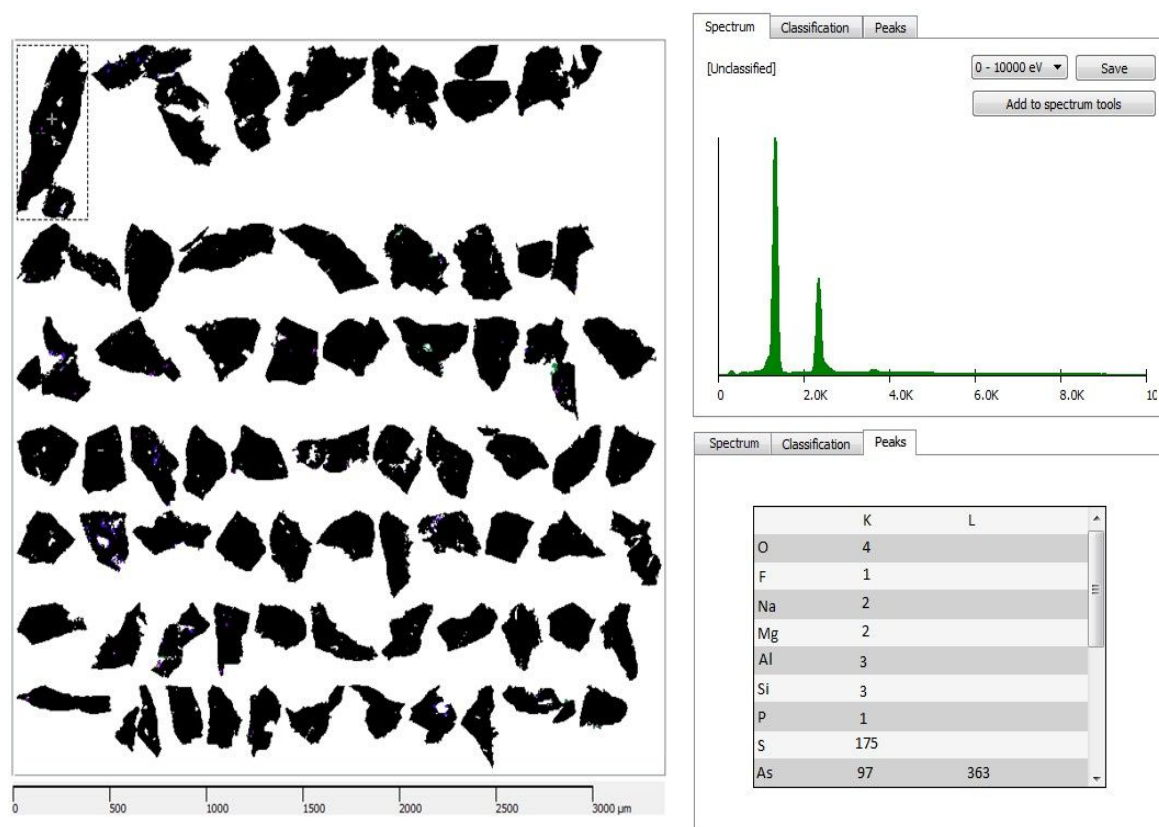


Figura 14. Partículas do mineral realgar especificadas como não classificadas são apresentadas na cor preta.

Um conjunto de medidas representativas das intensidades dos picos dos elementos que compõem a fórmula química do mineral realgar foi adquirido e os valores de intensidade mínimo e máximo de cada elemento foram utilizados para compor sua regra de classificação, selecionada como *Intensity*, pelas considerações expostas no item 3.1.4 para, assim, inseri-lo no banco de dados NanoLab_all, juntamente com suas propriedades importadas do Webmineral.

Após a reclassificação, as partículas foram corretamente identificadas como o mineral realgar e colorizados em azul. (Figura 15).

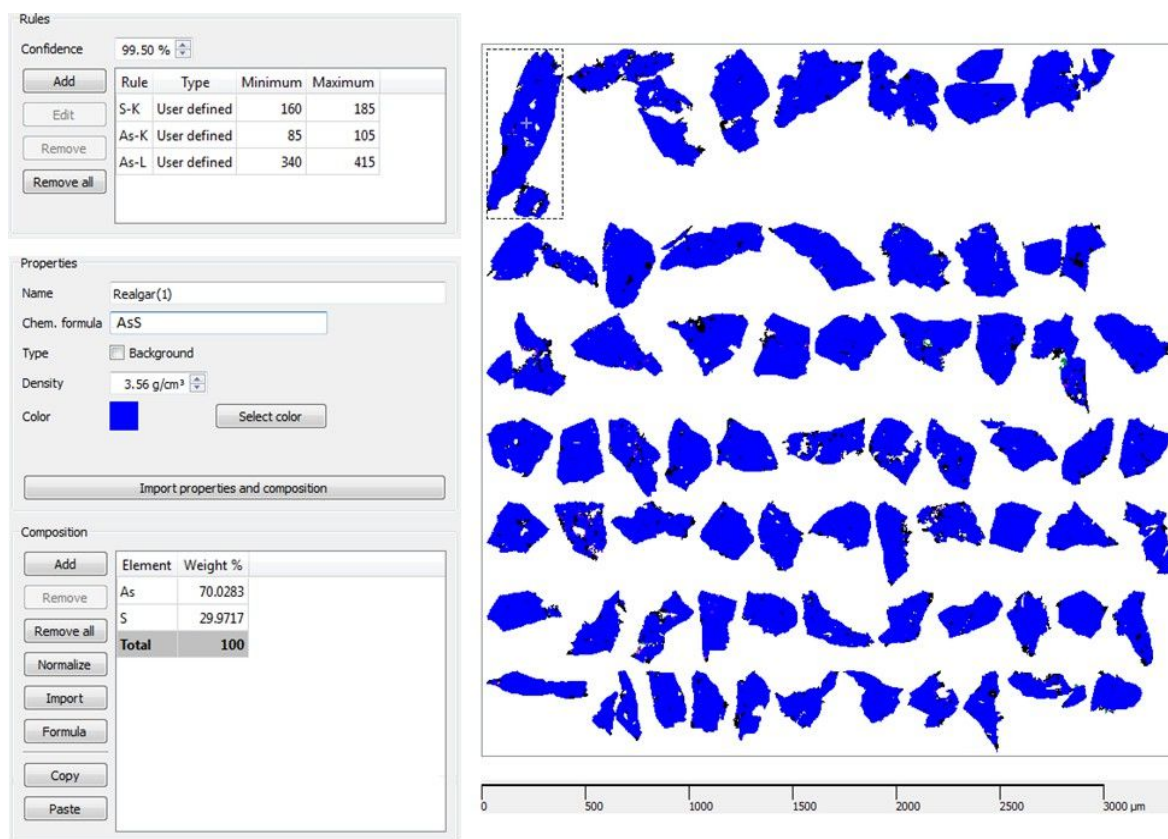


Figura 15. Definição da regra de classificação do mineral realgar.

Os espectros de raios-X coletados a partir das composições químicas foram obtidas pela análise semi-quantitativa de suas diversas partículas na ferramenta *Spectrum tools* e, após isso, foram importados para o banco de dados, juntamente com níveis de BSE, fundamentais na distinção dos sulfetos das espécies de outras classes minerais. Outros sulfetos, foram obtidos de forma análoga àquela ilustrada na Figura 12, bem como os níveis de BSE, como na Figura 13.

Os carbonatos selecionados constituem minerais de composição química simples, entretanto, verificou-se algumas discrepâncias relativas à não quantificação do elemento carbono pelo sistema. De tal forma, que as regras de classificação dos carbonatos foram, eventualmente, sobrepostas às regras dos minerais da classe dos óxidos. Solucionou-se tal problema pela criação de regras de classificação que incluem outros elementos químicos, além dos elementos da fórmula química do mineral em questão. Para tais elementos, que apresentam significativas variações na intensidade dos picos obtidos nos resultados das diferentes classes, analogamente ao método utilizado pelo fabricante para a definição do mineral calcita,

estabeleceram-se valores mínimos e máximos para os elementos cálcio, oxigênio, estanho e antimônio.

Analogamente, as partículas do mineral rodocrosita [MnCO_3] foram especificadas, em parte, como partículas não classificadas e, em parte, erroneamente, como o mineral pirolusita [MnO_2] como apresentado na Figura 16.

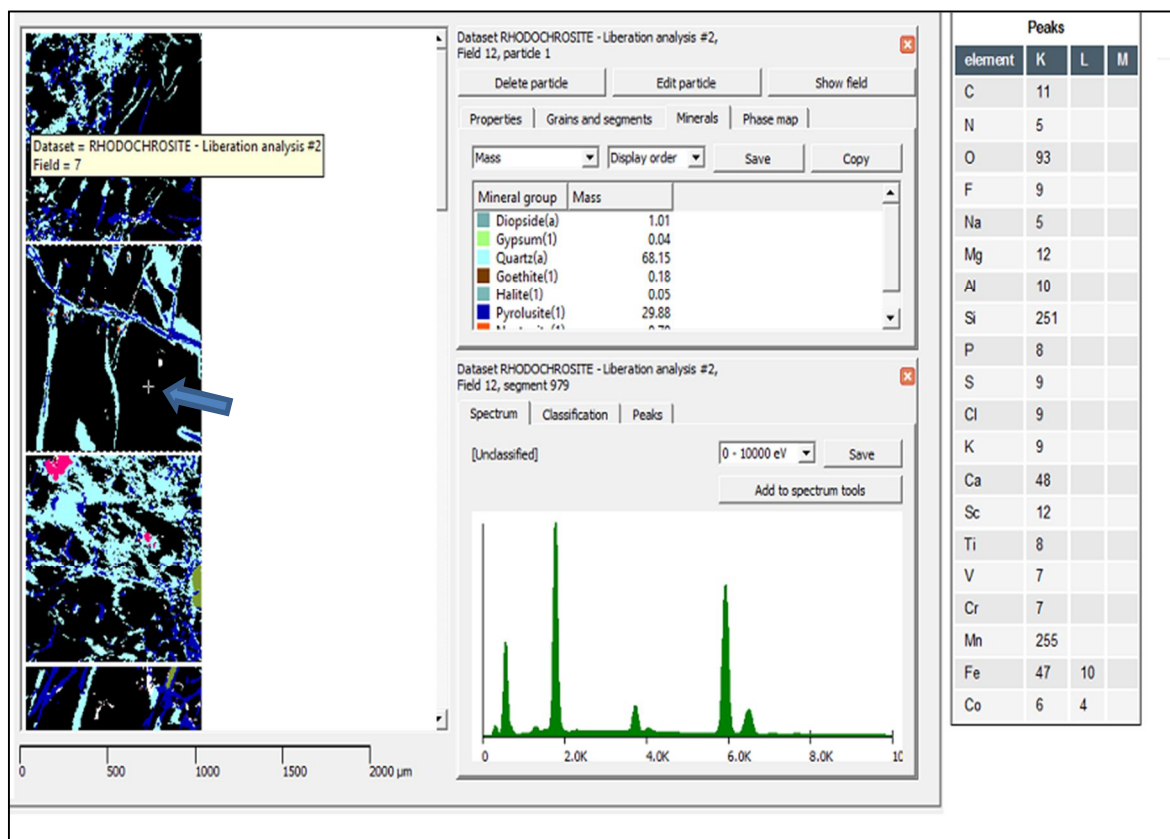


Figura 16. Partículas do mineral rodocrosita especificadas como não classificadas são apresentadas, na cor preta e a pirolusita na cor azul escuro. Para o ponto selecionado no interior da partícula, indicado pela seta, foram atribuídos um espectro de raios-X (Guia *Spectrum*) e um conjunto de intensidade de picos de elementos químicos (Guia *Peaks*).

Um conjunto de medidas representativas das intensidades dos picos dos elementos que compõem a fórmula química do mineral rodocrosita foi adquirido e para tal não ser especificado erroneamente como o mineral pirolusita, já que o elemento carbono não é quantificado, em sua regra, além dos elementos manganês e oxigênio, incluiu-se o elemento rubídio, que apresenta valores de intensidade de picos superiores àqueles detectados na pirolusita. Assim, utilizou-se os valores de intensidade mínimo e máximo de cada elemento para compor a regra de sua

classificação, inserindo-o no novo banco de dados, juntamente com suas propriedades importadas do Webmineral.

Após a reclassificação, as partículas foram corretamente identificadas como o mineral Rodocrosita (Figura 17). Coletou-se os espectros de raios-X a partir das composições químicas de cada partícula pela análise semi-quantitativa na ferramenta *Spectrum tools*, importando-os, após, para o banco de dados.

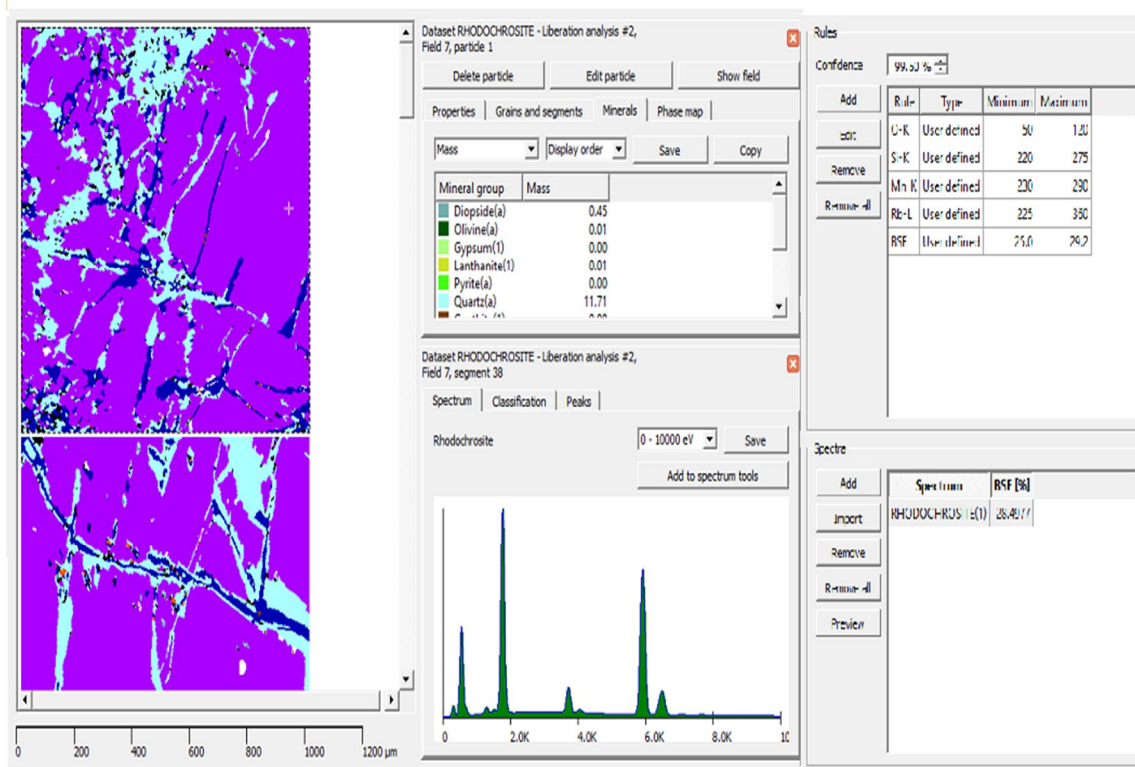


Figura 17. Correta Classificação do mineral Rodocrosita

Os fosfatos, sulfatos, halóides e elementos nativos não apresentaram dificuldades no estabelecimento das regras de identificação por intensidade de pico de elementos químicos, em função de suas composições químicas bem definidas, facilmente reconhecidas e interpretáveis na análise do sistema. Pequenas variações na composição química dos minerais, como monazita, foram contempladas com a adição de espectros de EDS juntamente à definição do mineral no banco de dados. No entanto, o mineral frondelita $[\text{Mn}^{2+}\text{Fe}_4(\text{PO}_4)_3(\text{OH})_5]$ foi, em parte, especificado como fase não classificada e, em parte, classificado incorretamente como o mineral jacobsita $[\text{Mn}^{2+}\text{Fe}_2^{3+}\text{O}_4]$, após a análise pelo sistema (Figura 18).

O mineral jacobscita apresenta uma regra de classificação constituída por oxigênio, manganês e ferro, e como o mineral frondelita apresenta os mesmos elementos químicos em sua composição, houve uma sobreposição parcial da intensidade de picos desses elementos.

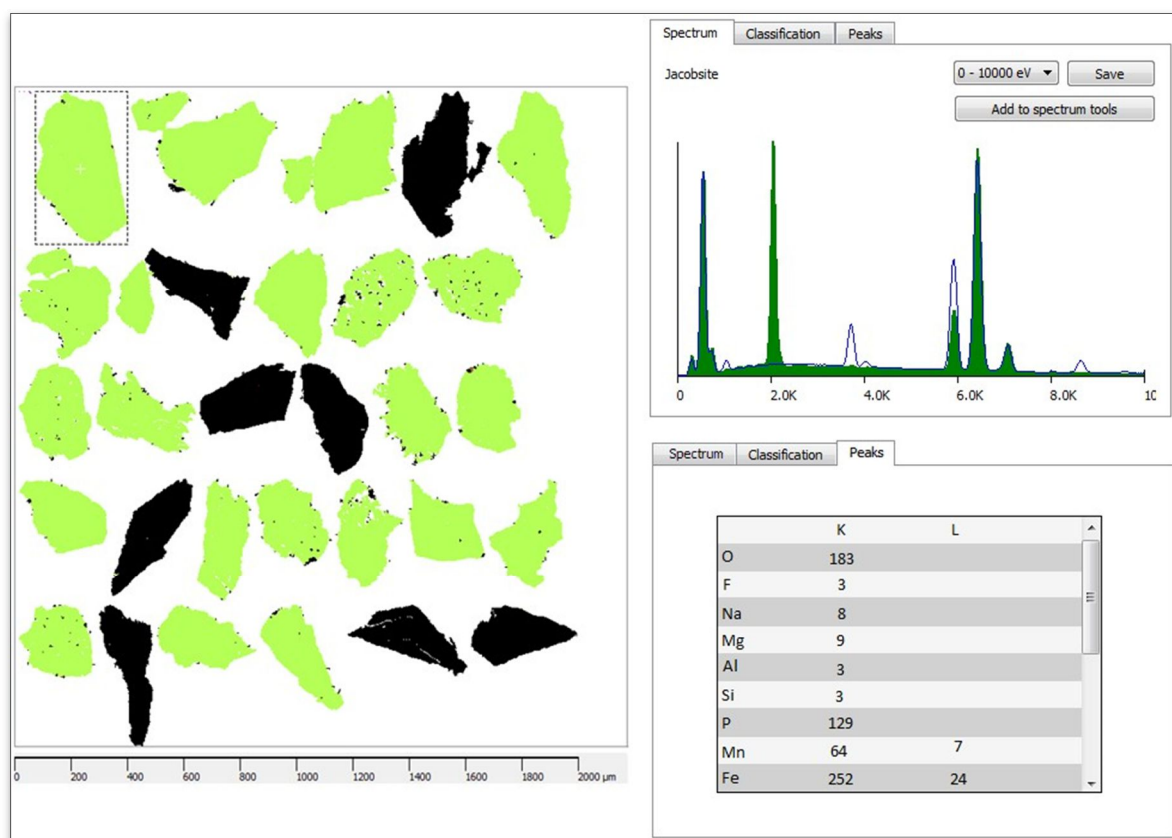


Figura 18. Partículas do mineral frondelita especificadas como não classificadas e erroneamente como jacobscita são apresentadas, respectivamente, na cor preta e na cor verde. Para o ponto selecionado no interior da partícula inserida no enquadramento pontilhado foi atribuído um espectro de raios-X (Guia *Spectrum*) e um conjunto de intensidade de picos de elementos químicos (Guia *Peaks*), bem como para todas as partículas classificadas erroneamente e as não classificadas.

Um conjunto de medidas representativas das intensidades dos picos dos elementos componentes da fórmula química do mineral frondelita foi adquirido e os valores de intensidade mínimo e máximo de cada elemento em cada partícula deste, e analogamente aos casos anteriores, utilizou-se tais, para compor a sua regra de classificação, selecionada como *Intensity*, inserindo-o no banco de dados, juntamente com os espectros característicos das partículas.

Após a reclassificação, tais partículas foram identificadas de forma correta, como o mineral frondelita (Figura 19), diferenciando-se da jacobscita pela inserção do elemento fósforo em sua

regra de classificação, cujos valores definidos não se sobrepõem aos verificados para a frondelita.

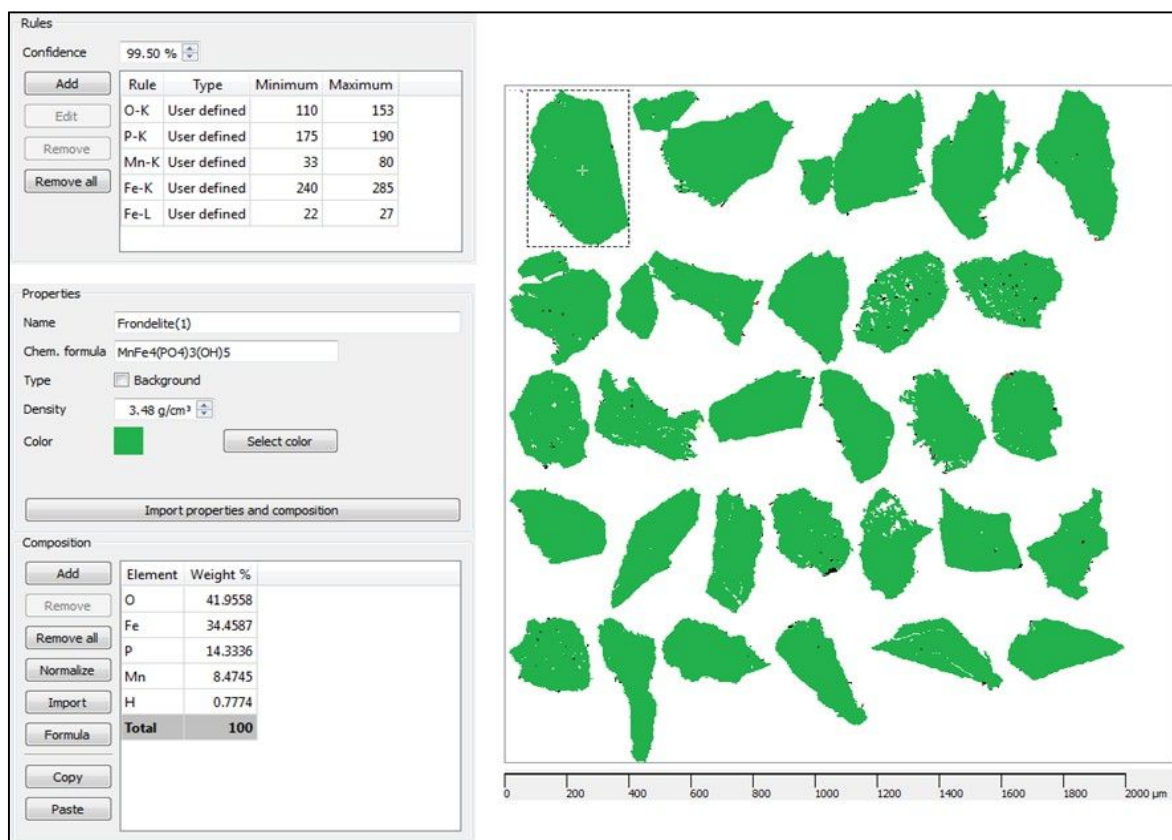


Figura 19. Definição da regra de classificação do mineral frondelita por meio de valores máximos e mínimos de intensidade de picos de elementos químicos (Guia *Rules*) e importação das propriedades do mineral do Webmineral (Guia *Properties* e *Composition*) e sua reclassificação, com as partículas especificadas corretamente como o mineral frondelita, apresentadas na cor verde.

Neste caso, em particular, verifica-se que o espectro de raios-X é uma ferramenta de comparação entre um resultado obtido e uma fase que se encontra inserida no banco de dados do sistema, como exposto na figura 20.

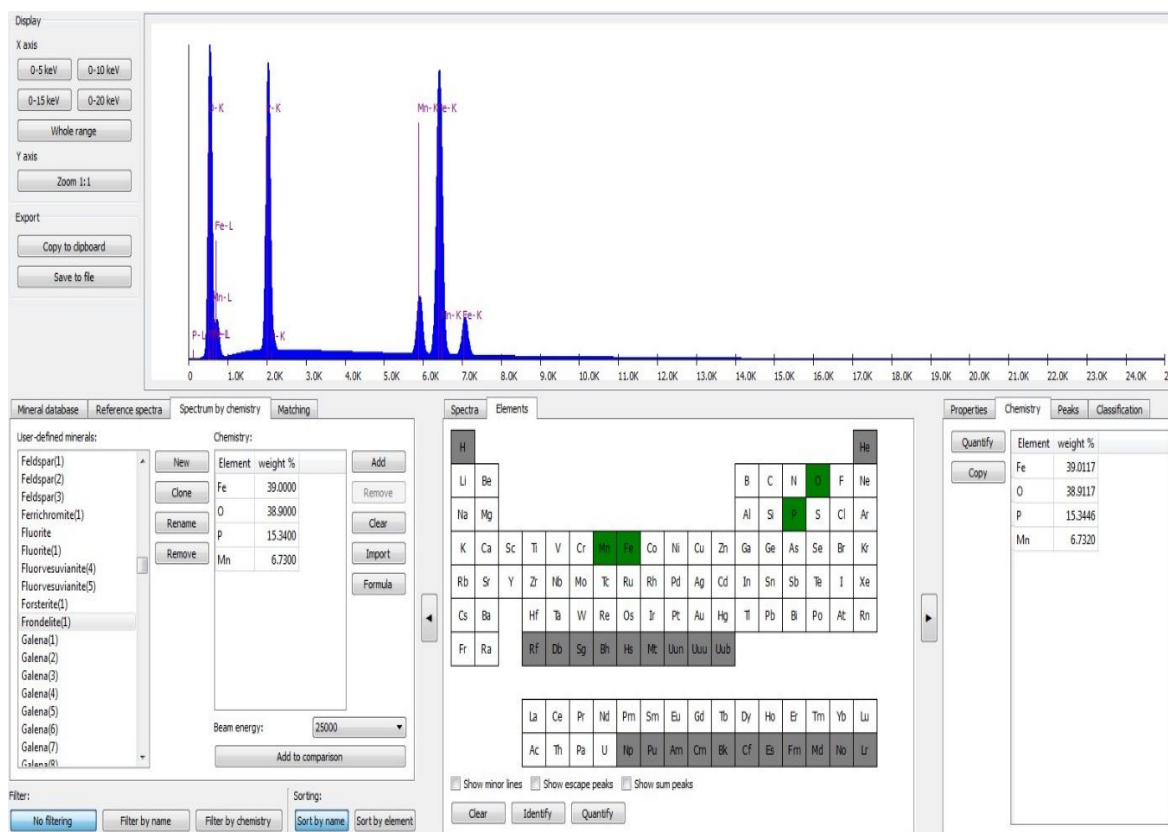


Figura 20. Quantificação (Guia *Chemistry*) e simulação (Guia *Spectrum by Chemistry*) de espectro de raios-X da partícula selecionada por meio da ferramenta *Spectrum Tools*, posteriormente adicionado ao banco de dados.

5.2. Aplicações do banco de dados

5.2.1. Caracterização mineralógica de amostra de minério de ferro

5.2.1.1. Mapeamento de Raios-X das fases minerais

Para apresentação dos dados de uma Análise de Liberação, utilizando o novo banco de dados de classificação mineral, foi selecionada uma amostra de minério de ferro, de granulometria superior a 53 micrômetros. As imagens BSE e de fases primárias (Figura 22 A e B), o mosaico multi-imagem (Figura 21), os diagramas de distribuição de massa mineral e de massa elementar (Figuras 22 e 23), o gráfico de distribuição do tamanho de partículas (Figura 24), a complexidade de associação de partículas e a liberação de partículas (Tabelas 5 e 6) são mostrados a seguir.

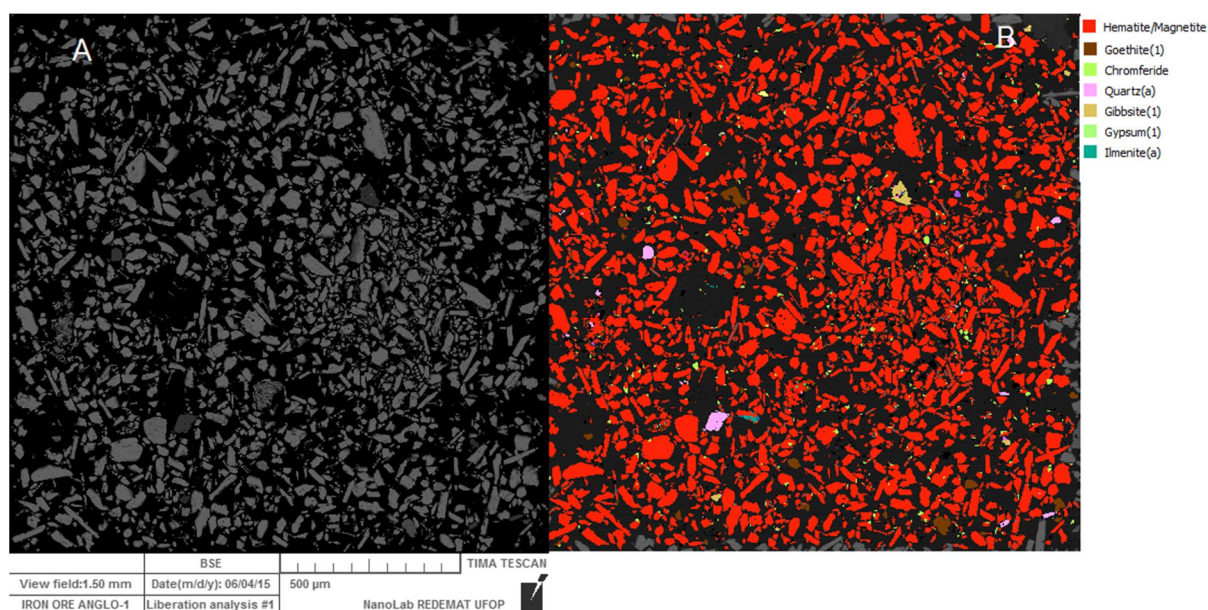


Figura 21. (A) Imagem BSE e (B) imagem de fases primárias de seção polida de uma amostra de minério de ferro.

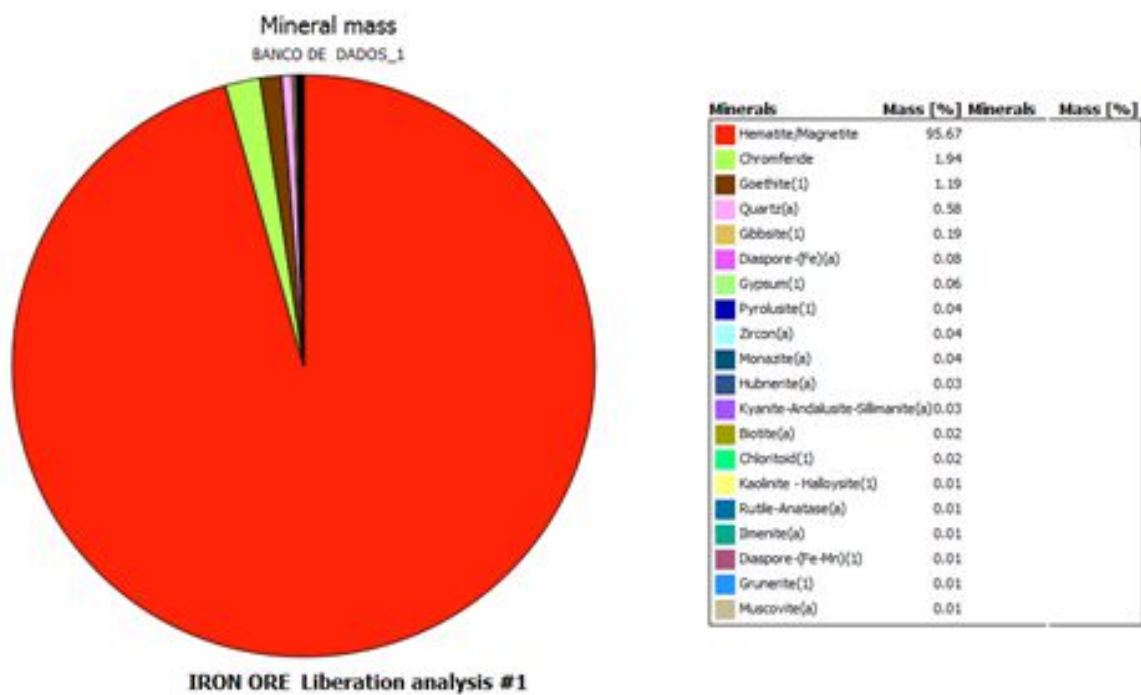


Figura 22. Diagrama de distribuição de massa mineral de uma amostra de minério de ferro.

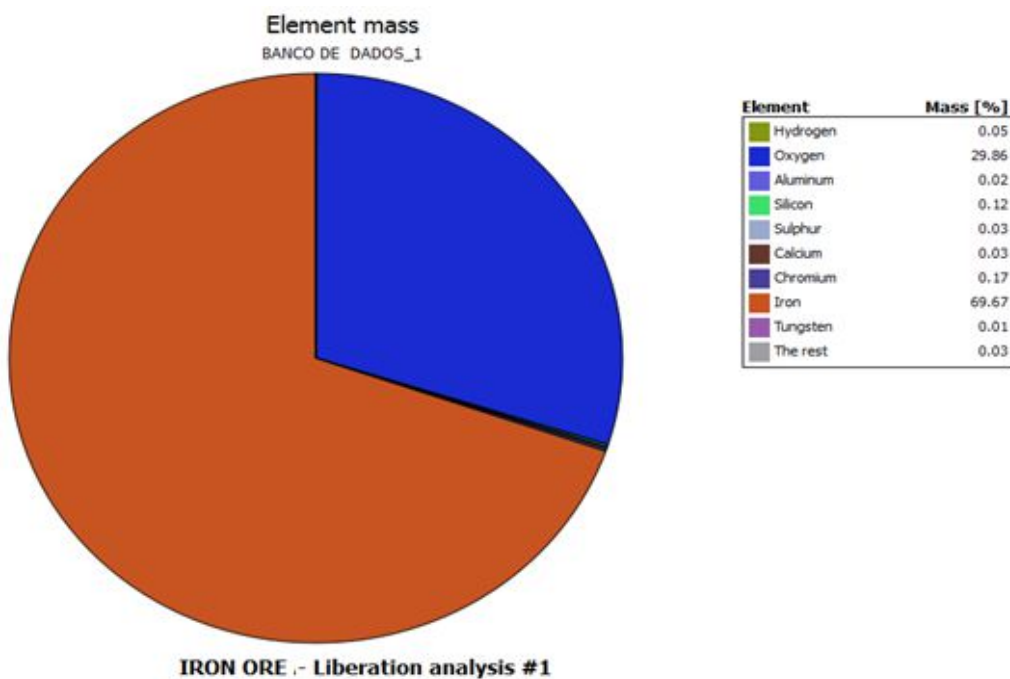


Figura 23 Diagrama de distribuição de massa elementar de uma amostra de minério de ferro.

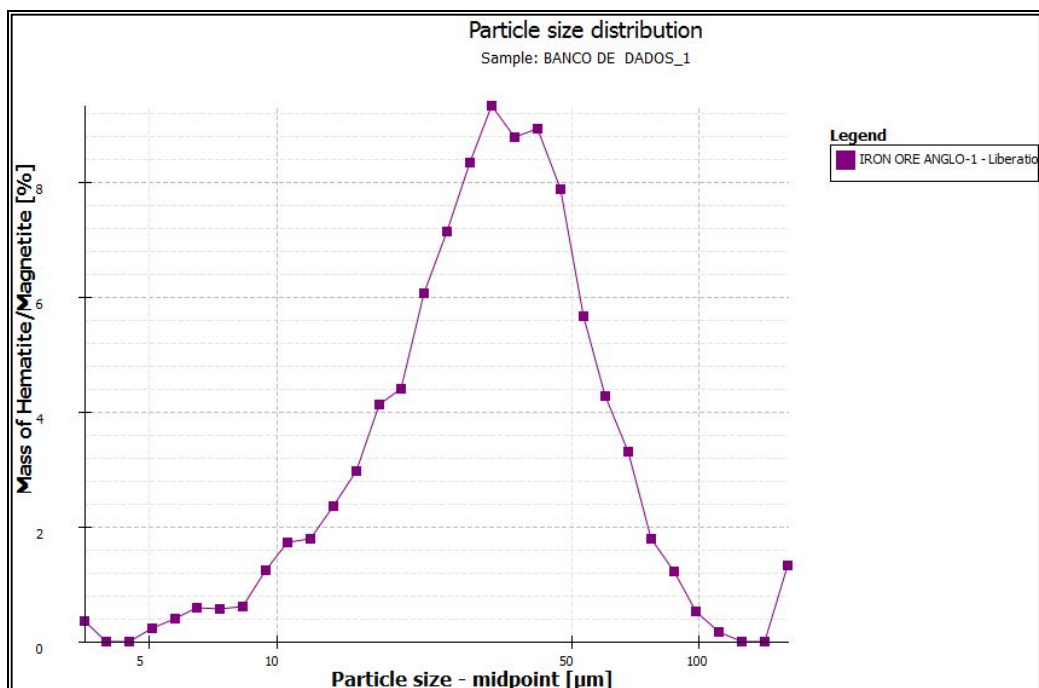


Figura 24. Gráfico de distribuição de tamanho de partículas de amostra de minério de ferro

Tabela 5. Complexidade da associação de partículas

Min. groups / Mass [%]	Hematite/Magnetite
IRON ORE	
Liberation analysis #1	
Free particles	72.35
Binary particles	21.78
Complex particles	5.87
Total	100.00

Tabela 6. Liberação de partículas em função da área superficial das partículas.

Surface area of Hematite/Magnetite [%] / Mass of Hematite/Magnetite [%]	IRON ORE - Liberation analysis #1
<10 %	0.03
>10<20 %	0.04
>20<30 %	0.05
>30<40 %	0.09
>40<50 %	0.11
>50<60 %	0.20
>60<70 %	0.56
>70<80 %	0.75
>80<90 %	4.31
>90<100 %	19.96
Liberated	73.90
Total	100.00

5.2.2. Estudo de caso: Mineralogia quantitativa em faixas ultrafinas de um minério de ferro do quadrilátero ferrífero.

Os minérios de ferro brasileiros são constituídos basicamente de hematita (Fe_2O_3) e quartzo (SiO_2). A maioria das empresas de mineração tem utilizado o processo de concentração por flotação reversa, que consiste em separar os compostos minerais de ganga "deprimindo" o mineral de valor (hematita). Porém, a maioria desses minérios é friável, e geram grandes quantidades de ultrafinos que prejudicam tratamentos posteriores e, portanto, são retirados do processamento através de separação em hidro ciclones (deslamagem).

Em todas as etapas do processo é de grande importância a caracterização mineralógica desse material. Normalmente a mineralogia quantitativa é realizada a partir da separação por faixas granulométricas através dos processos de peneiramento e ciclosizer, seguida da caracterização mineralógica pelas técnicas de microscopia ótica.

Neste estudo de caso, apresenta-se uma análise mineralógica automatizada por *mev/eds*, tendo como base um banco de dados minerais desenvolvido especificamente para o material analisado, dispensando a necessidade da separação prévia das partículas por faixas granulométricas.

Para este minério, foram consideradas apenas as fases de concentração superior a 0,2% e ainda definidas fases minerais por associação de mais de um mineral individual, de forma a apresentar apenas dados mineralógicos relevantes ao processo mineral subsequente.

Por limitação da tecnologia, como, anteriormente, exposto, os minerais hematita e magnetita foram agrupados, bem como definiu-se o grupo agrega complementar, para distinção dos minerais hematita e magnetita cujo conhecimento é de fundamental importância para muitos processos minerais. Para a amostra específica vale salientar que análises por microscopia ótica da fração global identificaram menos de 2% de magnetita, no entanto, sendo manteve-se a nomenclatura Hematita/Magnetita, por ser um resultado oriundo apenas da técnica aqui desenvolvida.

Abaixo, na tabela 7 apresenta-se a distribuição mássica percentual de cada uma das fases minerais presentes.

Tabela 7. Distribuição mássica das fases minerais presentes na alimentação

Minerals / Mass [%]	Iron Ore
Hematita Magnetita	83,03
Goethite(1)	12,4
Quartz	3,6
Clay Aggregate	0,68
Muscovite	0,22
Enstatite-(Fe)(a)	0,02
The rest	0,05
Total	100

A tabela 8 e a Figura 25 apresentam, por sua vez, a distribuição mássica por faixas granulométricas de necessidade de separação física por faixas granulométricas. Tal avanço tecnológico dispensa a necessidade de separação física por faixas granulométricas para o estudo de caracterização mineralógica do material em estudo.

Tabela 8: Distribuição mineral mássica por faixa granulométrica

Room						
Granulometric Range	Hematite/Magnetite	Goethite	Quartz	Clay Aggregate	Muscovita	Enstatita
<3.0 μm	0,26	1,46	0,01	0,12	0,03	0
>3.0<4.6 μm	0,68	1,96	0,01	0,11	0,04	0
>4.6<6.9 μm	2,85	2,96	0,06	0,13	0,06	0
>6.9<11 μm	7,25	2,48	0,12	0,05	0,04	0,01
>11<16 μm	15,25	1,98	0,21	0,03	0,03	0
>16<24 μm	23,57	1,03	0,47	0,02	0,01	0
>24<37 μm	21,12	0,37	0,69	0,01	0	0
>37<57 μm	9,41	0,09	1,05	0,02	0,01	0
>57<86 μm	1,9	0,07	0,89	0,19	0	0
>86<131 μm	0,73	0	0,08	0	0	0
>131<200 μm	0	0	0	0	0	0

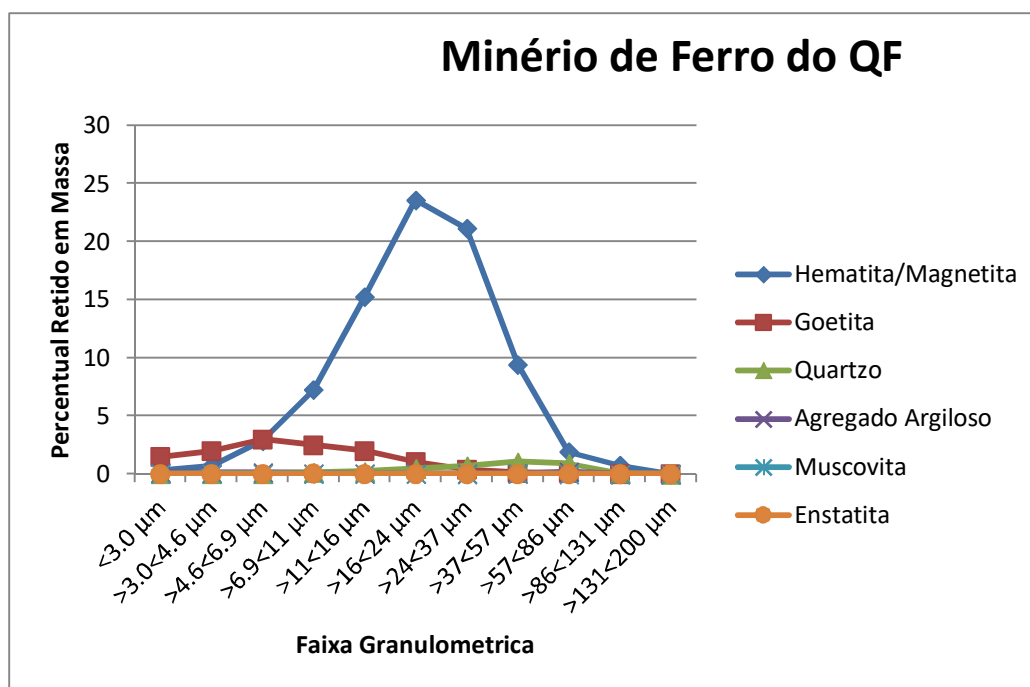


Figura 25: Distribuição mássica mineralógica por faixa granulométrica

5.2.3. Caracterização de mineralógica de minérios de elementos de terras raras – ETR

As terras-raras compreendem um grupo de 17 elementos químicos metálicos, de ampla distribuição na crosta terrestre, mas a baixas concentrações. Os elementos de terras-raras ou metais de terras-raras (abreviadas como TR) formam um conjunto de 17 elementos químicos que incluem o escândio (símbolo químico Sc), o ítrio (Y) e os 15 elementos da série dos lantanídeos [do lantânio (La) ao lutécio (Lu)]. O cério (Ce) é o mais abundante dos elementos de TR e o 25º elemento mais abundante na crosta terrestre. Por sua instabilidade isotópica, o promécio (Pm) é o mais raro dos elementos de TR. Os elementos de TR são conhecidos desde 1787, quando o mineralogista sueco Carl Axel Arrhenius descobriu o mineral gadolinita, um silicato de cério e ítrio, na localidade de Ytterby, na Suécia. Entretanto, somente em 1913, com o uso da espectrografia de raios-X, pelo físico inglês Henry Moseley, foi possível determinar o número exato de lantanídeos que completaria o conjunto de elementos de TR. Ainda que abundantes, os minerais portadores de elementos de TR são difíceis de extrair, o que encarece sua produção. (Rocio, M.A.R, et al, 2012).

5.2.3.1. Caracterização Mineralógica Automatizada

Neste trabalho foram analisadas 5 seções polidas de amostras de um minério sulfetado contendo elementos terras raras, ETR, utilizando-se os parâmetros de medidas constantes na Figura 26

measurement		Bright phase search	
Measurement type	Bright phase search - pa...	Minimum brightness[%]	60
Comment		Maximum brightness[%]	100
Fields		Min. bright phase area[px]	Unlimited
Layout	Automatic	Min. bright phase size[μm]	Unlimited
Width[μm]	1500	extra images	
Gap[μm]	0	Channels	Not used
Safe guard[μm]	0	Attenuation	Not used
Overlap[μm]	0	Tail reduction	Not used
Optimization	Speed	Acquisition time estimation	
Empty fields	Keep	Bright phases per field	2
Acquisition		Avg. particle size[μm]	100
Pixel spacing[μm]	3	Particles per field	20
Minimum brightness[%]	15	Sample type	Resin block 30 mm
Maximum brightness[%]	100	Shape	Circle
X-ray mapping resolution	High resolution mapping	Sample diameter	26
X-ray counts	1000	Hardware profile	
Constraints		Calibration set point	Standard set point
Maximum minutes	Unlimited		
Maximum particles	Unlimited		
Maximum fields	Unlimited		
Phases			
Separation of phases	10		
Particle detection			
Separation of touching particles	1		
Minimum particle size[μm]	Unlimited		
Maximum particle size[μm]	Unlimited		
Boundary particles	Measure		

Figura 26. Parâmetros de Medição Bright Phase Search – Minério Elementos de Terras Raras.

A figura 27 apresenta o mapeamento de todas as fases com brilho BSE na faixa admitida, entre 60 e 100%, classificadas através do Banco de Dados NanoLab All (Ver.22).

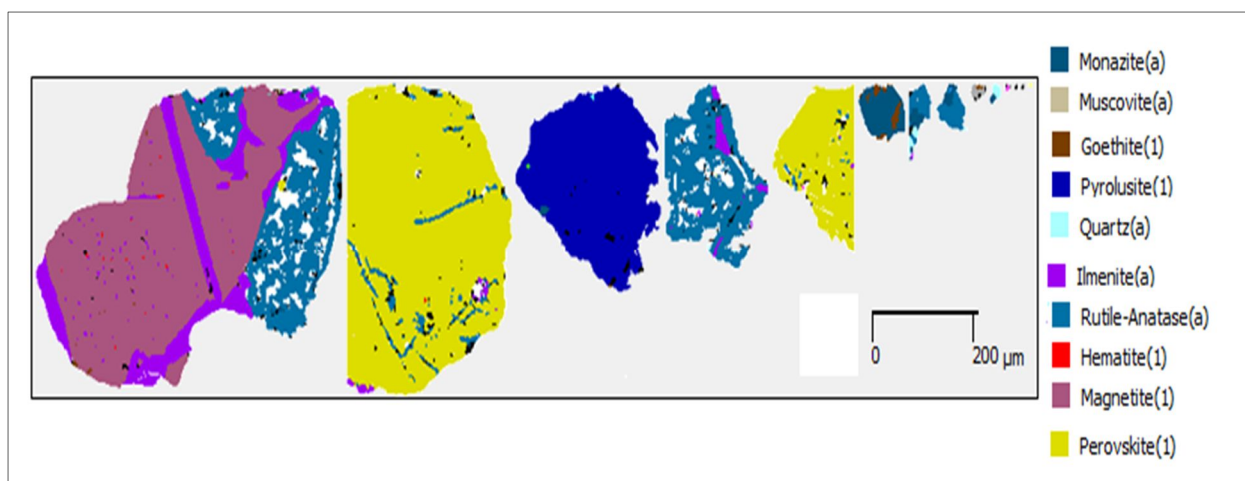


Figura 27. Mapa de Fases - modo Bright Phases Analysis – Minério sulfetado contendo ETR.

A Tabela 9 expressa a distribuição mássica mineral (%) de todas amostras do minério sulfetado contendo ETR.

Tabela 9. Distribuição mássica mineral (%) nas amostras analisadas - ETR

Minerals / Mass [%]	SAL110C-1	SAL110C-2	SAL110C-3	SAL120D-4	SAL120D-6
Monazite (a)	0.17	1.10	96.97	0.43	1.40
Diaspore-(Fe-Mn)(1)	0.00	0.00	0.00	0.00	0.16
Galena(a)	0.11	0.00	0.00	0.00	0.00
Goethite(1)	0.00	0.08	3.03	0.18	1.37
Pyrolusite(1)	0.00	0.00	0.00	97.85	0.03
Ilmenite(a)	0.36	12.65	0.00	0.00	8.59
Rutile-Anatase(a)	3.98	29.48	0.00	0.00	35.50
Hematite(1)	0.38	1.33	0.00	0.00	20.22
Magnetite(1)	0.00	55.09	0.00	0.00	28.25
Gypsum(1)	0.00	0.01	0.00	0.00	0.10
Quartz(a)	0.11	0.12	0.00	0.00	0.03
Apatite(1)	0.00	0.00	0.00	0.00	2.88
Perovskite(1)	94.87	0.08	0.00	0.00	1.27
Silver(a)	0.00	0.00	0.00	1.50	0.00
The rest	0.02	0.06	0.00	0.03	0.19
Total	100.00	100.00	100.00	100.00	100.00

A tabela 10 expressa o grau de liberação da partícula de interesse, Monazita (La, Ce, Nd) PO₄ em função da área superficial.

Tabela 10. Grau de Liberação da monazita: em função da área superficial das partículas.

Surface area of Monazite(a) [%] / Mass of Monazite(a) [%]	SAL110C- 1	SAL110C- 2	SAL110C- 3	SAL120D- 4	SAL120D- 6
<10 %	100.00	58.11	0.00	100.00	37.74
>10<20 %	0.00	0.00	0.00	0.00	19.39
>20<30 %	0.00	41.89	0.00	0.00	1.66
>30<40 %	0.00	0.00	0.00	0.00	1.74
>40<50 %	0.00	0.00	0.00	0.00	1.21
>50<60 %	0.00	0.00	0.00	0.00	3.79
>60<70 %	0.00	0.00	0.00	0.00	0.60
>70<80 %	0.00	0.00	0.00	0.00	1.58
>80<90 %	0.00	0.00	0.00	0.00	1.68
>90<100 %	0.00	0.00	100.00	0.00	4.48
Liberated	0.00	0.00	0.00	0.00	26.12
Total	100.00	100.00	100.00	100.00	100.00

5.2.4. Caracterização mineralógica automatizada de um minério de ouro

Nesta etapa foram analisadas 9 seções polidas contendo porções de uma amostra de minério de ouro, proveniente da região norte do estado do Pará, designadas pela nomenclatura PP-A a PP-J, todas réplicas de uma mesma amostra.

A amostra foi homogeneizada e quarteada, fornecendo as 9 réplicas citadas. Para tal análise adotaram-se os parâmetros de medição constantes na Figura 28.

Measurement type	Bright phase search...	Bright phase search	
Comment		Minimum brightness[%]	60
Fields		Maximum brightness[%]	100
Layout	Manual	Min. bright phase area[px]	Unlimited
Width[μm]	1500	Min. bright phase size[μm]	Unlimited
Gap[μm]	Not applicable	Max. bright phase size[μm]	Unlimited
Safe guard[μm]	Not applicable	Phase filter	No filter
Overlap[μm]	Not applicable	Extra images	
Optimization	Speed	Channels	Not used
Empty fields	Keep	Attenuation	Not used
Acquisition		Tail reduction	Not used
Pixel spacing[μm]	2	Acquisition time estimation	
Minimum brightness[%]	60	Bright phases per field	10
Maximum brightness[%]	100	Avg. particle size[μm]	100
X-ray mapping resolution	High resolution m...	Particles per field	20
X-ray counts	2000	Sample type	Resin block 30 mm
Constraints		Shape	Circle
Maximum minutes	Unlimited	Sample diameter	26
Maximum particles	Unlimited	Hardware profile	
Maximum fields	Unlimited	Calibration set point	Standard set point
Phases		Fields count	Unknown
Separation of phases	10	Estimated time per field	Unknown
Particle detection		Estimated total time	Unknown
Separation of touching particles	1		
Minimum particle size[μm]	Unlimited		
Maximum particle size[μm]	Unlimited		
Boundary particles	Discard		

Figura 28: Parâmetros de medição adotados para o Minério de Ouro .

As figuras 29 e 30 apresentam o mapeamento de todas as fases associadas com o ouro, em todas as réplicas analisadas e classificadas, através do banco e dados NanoLab_all (Ver.22)

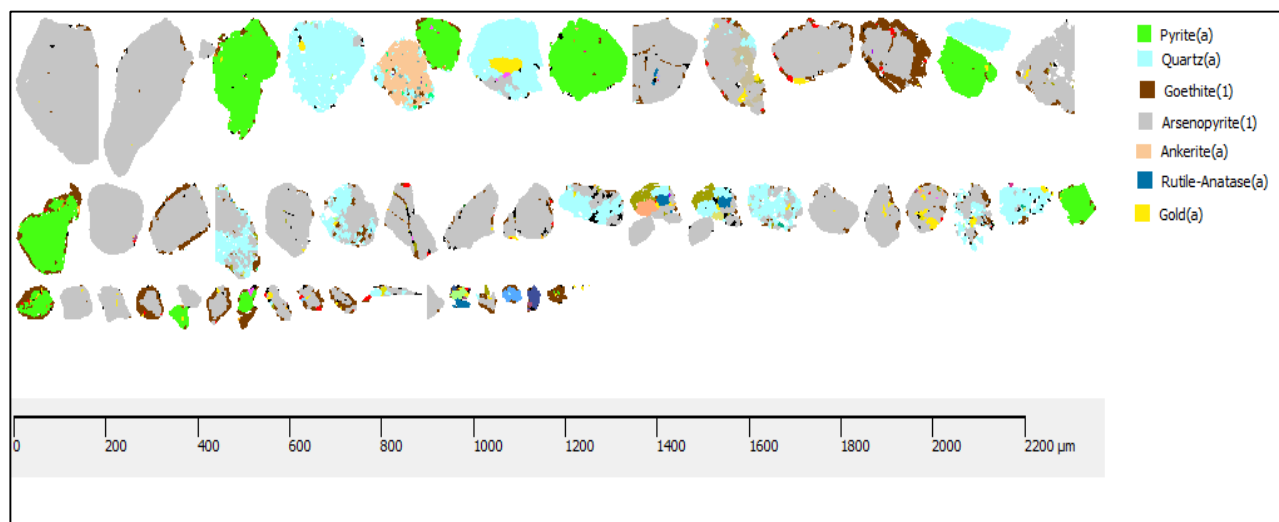


Figura 29: Mapeamento de Fases - Minério de Ouro - Bright Phase Search

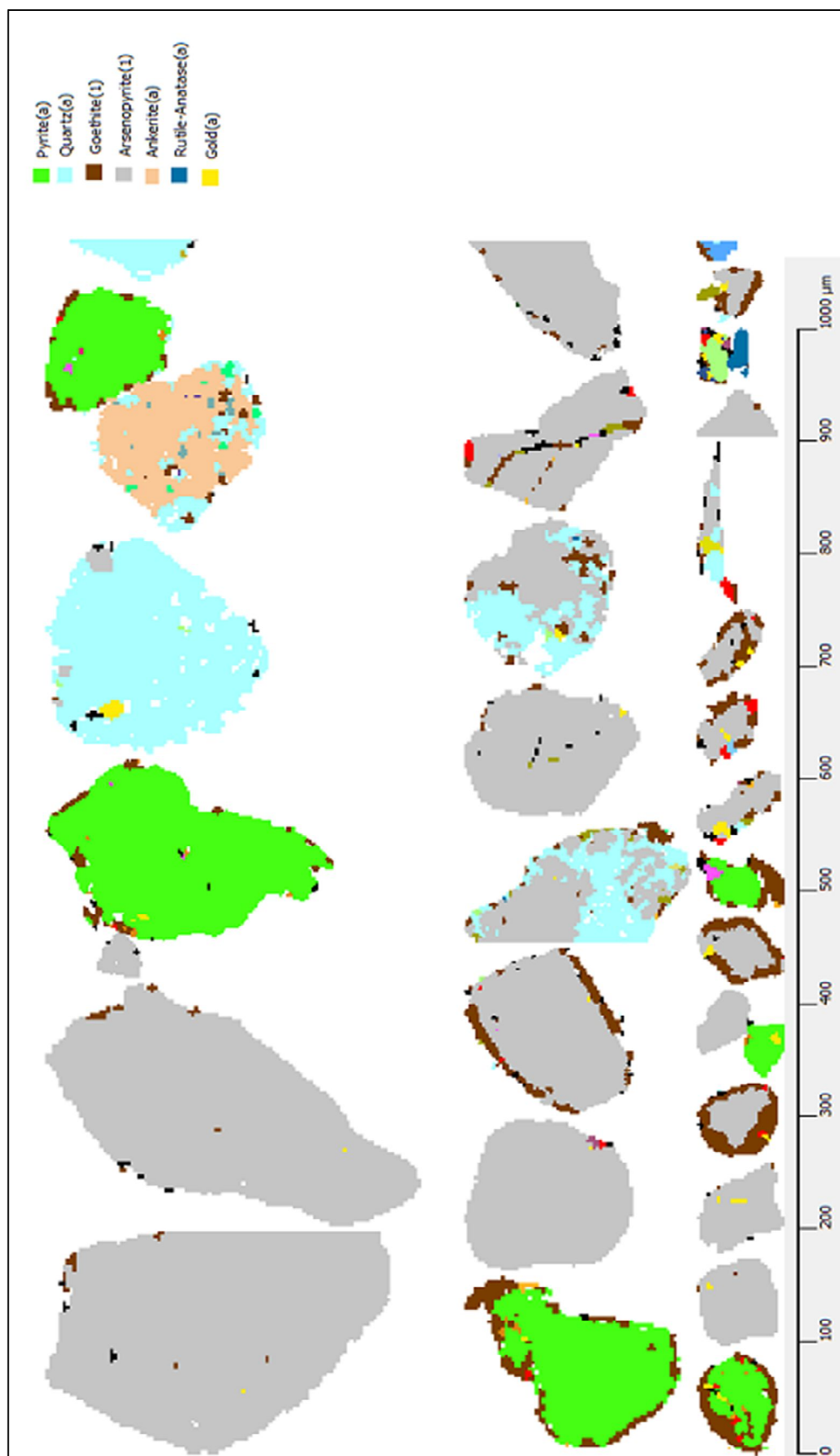


Figura 30. Detalhe do Mapa de Fases com partículas inclusas de ouro na cor amarelo.

A tabela 11 apresenta a distribuição mineralógica mássica nas réplicas da amostra de minério de ouro.

Tabela 11. Distribuição Mássica Mineral das réplicas na amostra de minério de ouro

Minerals /Mass [%]	PP-A	PP-B	PP-C	PP-D	PP-E
Moscovita(a)	0.00	0.00	0.00	0.05	0.15
Goethite(1)	14.12	0.00	4.97	3.44	4.25
Lepidolite(1)	0.00	0.00	0.00	0.19	0.00
Arsenopyrite(1)	46.32	0.00	92.63	70.94	85.53
Ilmenite(a)	0.10	0.00	0.00	0.00	0.00
Hematite/Magnetite(1)	0.80	0.00	0.38	0.00	0.01
Gypsum(1)	0.13	0.00	0.02	0.12	0.06
Quartz(a)	35.72	0.00	0.04	23.63	4.50
Biotite(a)	0.00	0.00	0.13	1.34	0.64
Gold(a)	2.78	0.00	1.73	0.11	4.55
The rest	0.04	0.00	0.09	0.17	0.05
Total	100.00	0.00	100.00	100.00	100.00

Minerals / Mass [%]	PP-F	PP-G	PP-H	PP-I	PP-J
Moscovita(a)	0.00	0.00	2.05	0.00	0.02
Goethite(1)	8.55	2.04	2.66	1.88	5.50
Ankerite(a)	0.00	2.70	0.03	0.00	0.00
Lepidolite(1)	0.04	0.01	0.25	0.00	0.00
Arsenopyrite(1)	34.40	59.83	73.72	88.11	62.43
Cassiterite(a)	0.00	0.61	0.00	0.00	0.04
Galena(a)	0.07	0.25	0.03	0.00	0.42
Microcline(1)	0.00	0.00	0.75	0.00	0.01
Wolframite(1)	2.41	0.00	0.00	0.00	0.00
Baryte(a)	0.00	0.00	0.00	0.10	0.00
Chalcopyrite(a)	0.00	0.01	0.12	0.00	0.00
Hematite(1)	0.50	0.11	1.00	0.45	0.30
Magnetite(1)	0.32	0.00	0.05	0.14	0.00
Rutile- Anatase(a)	0.72	0.00	1.18	0.22	0.12
Wurtzite	0.00	0.00	0.00	0.10	0.00
Gypsum(1)	0.45	0.00	0.01	0.00	0.07
Pyrite(a)	43.28	23.32	0.00	7.06	0.00
Pyrrhotite(a)	0.35	0.07	0.00	0.00	0.00
Quartz(a)	4.79	7.38	5.83	0.06	18.68
Biotite(a)	0.00	0.07	2.33	0.05	0.24
Hubnerite(a)	0.18	0.00	0.00	0.00	0.00
Gold(a)	3.72	3.33	8.92	1.82	12.00
Arsp-Au(1)	0.00	0.00	0.98	0.00	0.00
The rest	0.23	0.25	0.08	0.02	0.17
Total	100.00	100.00	100.00	100.00	100.00

A tabela 12 apresenta a distribuição mássica de elementos químicos nas réplicas da amostra de minério de ouro.

Tabela 12. Distribuição mássica de elementos químicos

Element / Mass [%]	PP-A	PP-B	PP-C	PP-D	PP-E	PP-F	PP-G	PP-H -	PP-I	PP-J
Oxygen	24.46	0.00	2.03	14.66	4.40	7.02	6.23	1.03	7.35	12.31
Aluminum	0.00	0.00	0.02	0.12	0.07	0.03	0.02	0.01	0.66	0.05
Silicon	16.69	0.00	0.07	11.39	2.26	2.29	3.52	PP-I	3.92	8.82
Sulphur	9.15	0.00	18.25	13.99	16.85	30.13	24.31	21.17	14.56	12.36
Potassium	0.00	0.00	0.01	0.15	0.07	0.01	0.01	0.00	0.54	0.04
Calcium	0.03	0.00	0.01	0.03	0.01	0.11	0.55	0.00	0.01	0.02
Titanium	0.05	0.00	0.00	0.05	0.03	0.43	0.00	0.13	0.72	0.08
Iron	25.36	0.00	35.16	26.59	32.06	38.42	33.25	35.11	27.90	25.11
Arsenic	21.31	0.00	42.62	32.64	39.35	15.83	27.53	40.54	33.92	28.72
Tungsten	0.00	0.00	0.00	0.00	0.00	1.51	0.00	0.00	0.00	0.00
Gold	2.78	0.00	1.73	0.11	4.55	3.72	3.33	1.82	9.90	12.00
The rest	0.16	0.00	0.11	0.27	0.35	0.51	1.24	0.14	0.52	0.50
Total	100.00	0.00	100.00	100.00	100.00	100.00	100.00	100.00	100.00	100.00

A tabela 13 apresenta os tipos e complexidades das partículas associadas ao ouro em todas as réplicas da amostra analisada.

Tabela 13. Tipos das associações das partículas com o ouro

Min. groups / Mass [%]	Gold(a)	Min. groups / Mass [%]	Gold(a)
PP-A - Bright phase search - particles		PP-F - Bright phase search - particles	
Free particles	0.00	Free particles	5.92
Binary particles	0.00	Binary particles	0.00
Complex particles	100.00	Complex particles	94.08
Total	100.00	Total	100.00
PP-B - Bright phase search - particles		PP-G - Bright phase search - particles	
Free particles	0.00	Free particles	0.39
Binary particles	0.00	Binary particles	0.00
Complex particles	0.00	Complex particles	99.61
Total	0.00	Total	100.00
PP-C - Bright phase search - particles		PP-H - Bright phase search - particles	
Free particles	0.00	Free particles	1.15
Binary particles	0.00	Binary particles	0.00
Complex particles	100.00	Complex particles	98.85
Total	100.00	Total	100.00
PP-D - Bright phase search - particles		PP-I - Bright phase search - particles	
Free particles	0.00	Free particles	0.00
Binary particles	0.00	Binary particles	0.00
Complex particles	100.00	Complex particles	100.00
Total	100.00	Total	100.00
PP-E - Bright phase search - particles		PP-J - Bright phase search - particles	
Free particles	0.00	Free particles	0.00
Binary particles	0.00	Binary particles	0.00
Complex particles	100.00	Complex particles	100.00
Total	100.00	Total	100.00

A tabela 14 apresenta a distribuição do tamanho de grão das partículas de ouro nas 8 réplicas da amostra analisada.

Tabela 14. Distribuição de tamanho de grão do ouro nas réplicas da amostra

Size range / Mass of Gold(a) [%]	Midpoint [μm]	PP-A	PP-B	PP-C	PP-D	PP-E
>0.10<2.0 μm	0.4	0.0	0.0	0.0	0.0	0.0
>2.0<40 μm	8.9	100.0	0.0	100.0	100.0	100.0
>40<800 μm	178.9	0.0	0.0	0.0	0.0	0.0

Size range / Mass of Gold(a) [%]	Midpoint [μm]	PP-F	PP-G	PP-H	PP-I
>0.10<0.36 μm	0.2	0.0	0.0	0.0	0.0
>0.36<1.3 μm	0.7	0.0	0.0	0.0	0.0
>1.3<4.7 μm	2.5	4.7	1.6	5.1	1.2
>4.7<17 μm	8.9	95.3	10.9	94.9	48.1
>17<61 μm	32.3	0.0	87.5	0.0	50.8
>61<222 μm	116.6	0.0	0.0	0.0	0.0
>222<800 μm	421.0	0.0	0.0	0.0	0.0
Total		100.0	100.0	100.0	100.0

A tabela 15 apresenta o grau de liberação da partícula de ouro nas réplicas da amostra analisada.

Tabela 15. Grau de Liberação da partícula de ouro

Surface area of Gold(a) [%] / Mass of Gold(a) [%]	PP-A	PP-B	PP-C	PP-D	PP-E	PP-F	PP-G	PP-H	PP-I
<10 %	2.8	0.0	1.7	0.1	4.6	3.5	3.3	1.8	8.8
>10<20 %	0.0	0.0	0.0	0.0	0.0	0.0	0.0	0.0	0.0
>20<30 %	0.0	0.0	0.0	0.0	0.0	0.0	0.0	0.0	0.0
>30<40 %	0.0	0.0	0.0	0.0	0.0	0.0	0.0	0.0	0.0
>40<50 %	0.0	0.0	0.0	0.0	0.0	0.0	0.0	0.0	0.0
>50<60 %	0.0	0.0	0.0	0.0	0.0	0.0	0.0	0.0	0.0
>60<70 %	0.0	0.0	0.0	0.0	0.0	0.0	0.0	0.0	0.0
>70<80 %	0.0	0.0	0.0	0.0	0.0	0.0	0.0	0.0	0.0
>80<90 %	0.0	0.0	0.0	0.0	0.0	0.0	0.0	0.0	0.0
>90<100 %	0.0	0.0	0.0	0.0	0.0	0.0	0.0	0.0	0.0
Liberated	0.0	0.0	0.0	0.0	0.0	0.2	0.0	0.0	0.1
Total	2.8	0.0	1.7	0.1	4.6	3.7	3.3	1.8	8.9

CAPÍTULO 6. CONCLUSÕES

Neste trabalho foi desenvolvida uma metodologia específica de criação do banco de dados de minerais do sistema TIMA-MIRA, com uma abordagem mais abrangente de espécies e associações minerais associadas ao contexto geológico brasileiro. Esta metodologia envolveu uma sequência de etapas, desde a seleção, a preparação e análise de amostras minerais até o desenvolvimento sistemático do banco de dados, que tornou possível a identificação de novos minerais e a distinção de minerais anteriormente não efetuada com as limitações do banco de dados padrão do sistema, especialmente, no que diz respeito às espécies pertencentes à classe dos óxidos, que compõem um grande número de reservas e jazidas minerais brasileiros.

Neste processo, parte dos minerais selecionados foram normalmente inseridos no banco de dados, em função de suas composições químicas definidas, com suas intensidades picos de elementos químicos específicos, possibilitando a definição direta de suas regras de classificação. Entretanto, foram identificadas dificuldades associadas ao polimorfismo, às soluções sólidas e às composições químicas semelhantes.

Referente aos óxidos de ferro, hematite e magnetita, nos vários experimentos e aplicação de regras de classificação comprovou-se que o programa não se utiliza das diferenças químicas entre os espécimes, logo, as faixas de valores máximos e mínimos estabelecidas se sobrepueram, não sendo possível tal diferenciação, entre os citados óxidos de ferro, pela técnica apresentada, sendo necessário a utilização de outras técnicas para tal.

Devidos às limitações da técnica, esta se mostra importante como uma técnica auxiliar na caracterização mineral, por sua rapidez, não se alijando do processo quaisquer outras técnicas complementares, como a microscopia ótica de luz refletida, difração de raios-X e o estudo cristalográfico por EBSD;

É importante enfatizar que o método desenvolvido não deve ser utilizado unicamente no estudo dos materiais de interesse, uma vez que em qualquer método de caracterização mineralógica, a qualidade dos resultados obtidos dependente da experiência e do conhecimento técnico-científico do operador, não prescindindo, pois, de validações subsequentes por técnicas complementares;

O processo de inserção de novos minerais é contínuo e sempre estará associado ao contexto geológico do minério estudado.

A aplicação da técnica abre novos campos de caracterização de materiais tais como compósitos, metálicos, as diversas escórias metálicas e até materiais biológicos, onde haja uma diferenciação química que possa ser detectada pelo sistema, não se restringindo apenas à caracterização mineral.

CAPÍTULO 7. REFERÊNCIAS BIBLIOGRÁFICAS

- Álvarez, E., Fernández Marcos, M.L., Vaamonde, C., Fernández-Sanjurjo, M.J., 2003.* Heavy metals in the dump of an abandoned mine in Galicia (NW Spain) and in spar, opens new areas for understanding the geological conditions the spontaneously occurring vegetation. *The Science of the Total Environment and processes that are the keys to understanding ores and other* 313, 158–197.
- Arehart, Greg B. ; Chrysosoulis, Stephen L. ; Kesler, Stephen E., 1993,* Gold and arsenic in iron sulfides from sediment-hosted disseminated gold deposits; implications for depositional processes. University of Michigan, Department of Geological Sciences Economic Geology and the Bulletin of the Society of Economic Geologists, Vol.88(1), pp.171-185
- Bradbury S. 1989. An Introduction to the Optical Microscope.* Oxford, Royal Microscopy Society. 57 p
- Bakken, B.M., Hochella, M.F., Marsall, A.F., Turner, A.M., 1989.* High- resolution microscopy of gold in unoxidised ore from the Carlin Mine, and the potential for reduction of false positive readings Nevada. *Economic Geology* 84 (1), 71–179
- Benvie, B. 2007.* Mineralogical imaging of kimberlites using SEM-based techniques *Minerals Engineering*, Vol.20 (5), pp.435-443.
- Bersan, S. M., et all, 2011. Estudo petrográfico/mineralógico das rochas mineralizadas de depósito Cu – Au Alemão, Carajás, PA, Brasil. Trabalho de conclusão de curso, Monografia n Universidade Federal de Ouro Preto, Departamento de Engenharia Geológica
- Bowen, N.L., 1913.* The melting phenomena of the plagioclase feldspars. *American and mineral compositional changes can be related to geological Journal of Science* 35, 577–599.
- Butcher A.R., Helms T.A., Gottlieb P., Bateman R., Ellis S., Johnson, N.W. 2000,* Advances in the quantification of gold deportment by QEMSCAN. *In Seventh Mill Operators Conference, Kalgoorlie, AusIMM*, p. 267–272.
- Bradbury J.P. 1989,* Late Quaternary lacustrine paleo environments in the Cuenca de México *Quaternary Science Reviews*, Vol.8(1), pp.75-100

- Cabri L.J., Rudashevsky N.S., Rudashevsky V.N., Gorkovetz V.Y. 2008. Study of native gold from the Luopansuo deposit (Kostomuksha area, Karelia, Russia) using a combination of electric pulse disaggregation (EPD) and hydroseparation (HS). *Minerals Eng.* **21**, 463–470.
- Cabri L.J., Rudashevsky N.S., Rudashevsky V.N., Lastra R. 2006. Hydroseparation: a new development in process mineralogy of platinum-bearing ores. *CIM Bull.* **99** (1092), 1–7.
- Chew D.M., Donelick R.A. 2012. Combined apatite fission track and U-Pb dating by LA-ICP-MS and its application in apatite provenance analysis. In: Quantitative Mineralogy and Microanalysis of Sediments and Sedimentary Rocks (P. Sylvester, Ed.). *Min. Assoc. Can. Short Course Series Volume* **42**, 219–248.
- Cook, N., Chrysosoulis, S. 1990, Concentrations of invisible gold in the common sulfides. *Canadian Mineralogist*, Vol.28, pp.1-16
- Dana J. D. *Manual de Mineralogia*. São Paulo, Livros Técnicos e Científicos Editora S.A. 642 p.
- Donskoi, E., Manuel, J.R., Austin, P., Poliakov, A., Peterson, M.J., Hapugoda, S., Comparative Study of Iron Ore Characterization by Optical Image Analysis and QEMSCAN™, Iron Ore Conference, Perth, WA, 11-13 July, 2011.
- Fandrich R., GU Y., Burrows, D., Moeller K. 2007. Modern SEM-based mineral liberation analysis. *Internat. J. Min. Process.* **84**, 310 – 320. FEI COMPANY (2012): Product datasheets for MLA 650 and 650F instruments.
- FEI. 2015. Disponível em <<http://www.fei.com/>> Acesso em: 27 de maio de 2015
- Figuera A., Moeller K., Buhot M., Gloy G., Haberal D. 2011. Advanced discrimination of hematite and magnetite by automated mineralogy. In Proceedings, 10th International Congress for Applied Mineralogy (ICAM), (M. Broekmans, ed.) 1-5 August 2011, Trondheim, Norway, p 197- 204.
- Ford F.D., Wercholz C.R., Lee A. 2011. Predicting process outcomes for Sudbury platinum-group minerals using grade-recovery modelling from Mineral Liberation Analyzer (MLA) data. *Can Mineral* **49**, 1627 - 1642.
- Gaudin, A.M., 1958. Principles of Mineral Processing. McGraw Hill, New York, N.Y., pp. 70-90.
- Ginibre, C., Wörner, G. ; Kronz, A. Crystal zoning as an archive for magma evolution elements, August 2007, Vol.3(4), pp.261-266

- Goodall W. R., Scales, P. J. 2007. An overview of the advantages and disadvantages of the determination of gold mineralogy by automated mineralogy.
- Gottlieb P., Wilkie G., Sutherland D., Ho Tun, E. 2000. Using quantitative electron microscopy for process mineralogy applications. *J. Minerals & Materials Characterisation & Engineering* **52**, 24–27.
- Grant G., Hall J. S., Reid A. F., Zuiderick M. 1976. Multicompositional particle characterisation using the SEM microprobe. In *Scanning Electron Microscopy – Workshop on techniques for particulate studies in SEM*. IIT Research Institute, Chicago, Illinois, 159–170.
- Gu Y. Automated scanning electron microscopy based mineral liberation analysis. Na introduction to JKMRC/FEI Mineral Liberation Analyser. *J. Minerals & Materials Characterization & Engineering* **2**, 33–41.
- Gu Y., Napier-Munn T. 1997. JK/Philips mineral liberation analyzer – an introduction. In *Minerals Processing '97 Conf.*, Cape Town, SA, p. 2.
- Jones, M.P., Cheung, T.S., 1988. Automatic method for finding gold grains in ores and mill products. *Asian Mining*, 73–81
- Hall J. S. 1977. *Composite mineral particles – analysis by automated scanning electron microscopy*. PhD thesis, JKMRC, The University of Queensland, Brisbane.
- Heinrich K. F. J. 1966. *X-ray optics and microanalysis*. In 4th International Congress on X-ray Optics and Microanalysis (R. Castaing, P. Deschamps & J. Philibert, eds.), Hermann, Paris, p. 1509.
- Hoal K.O., Stammer J.G., Appleby S.K., Botha J., Ross J.K., Botha P.W. 2008. Research in quantitative mineralogy: Examples from diverse applications. *Minerals Engineering*, **22**, 402–408.
- Hoal, K.O., McNulty, T.P., Schmidt, R., 2006. Metallurgical Advances and their Impact on Mineral Exploration and Mining. *Society of Economic Geologists Special Volume 12*. pp. 243–261.
- Kelvin M.A., Sylvester P.J., Cabri L.J. 2011. Mineralogy of rare occurrences of precious-metal-enriched massive sulfide in the Voisey's Bay Ni-Cu-Co Ovoid Deposit, Labrador, Canada. *Can Mineral* **49**, 1505 – 1522
- Keulen N., Frei D., Riisager P., Knudsen C. 2012. Analysis of heavy minerals in sediments by Computer-controlled Scanning Electron Microscopy (CCSEM): principles and applications. In *Quantitative Mineralogy and Microanalysis of Sediments and*

- Sedimentary Rocks (P. Sylvester, Ed.). *Min. Assoc. Can. Short Course Series Volume 42*, 167-184 (this volume).
- King R.P., Schneider C.L. 1993. An effective SEM-based image analysis for quantitative mineralogy. *KONA* **11**, 165-177.
- Lorenzen, L., van Deventer, J.S.J, june 1992, Electrochemical interactions between gold and its associated minerals during cyanidation *Hydrometallurgy*, Vol.30(1-3), pp.177-194
- Luhr, J.F., Melson, W.G., 1996. Mineral and composition in June 15, 1991 pumices: evidence for dynamic disequilibrium in the Pinatubo dacite. In: Punogbayan, Gold Deposit. Northeastern Nevada, Colorado School of Mines, Master of R.S, Fire and Mud Eruptions of Lahars of Mount Pinatubo, Science Thesis, 85 pp. 1993. Philippines, pp. 733–750.
- Marsden, J., House, I., 1992. The Chemistry of Gold Extraction. Ellis Horwood Ltd., Chichester, West Susse
- Miller, P. R., Reid A. F., Zuiderwyk M. A. 1982. QEM-SEM Image Analysis in the Determination of Modal Assays, Mineral Associations and Mineral Liberation. In: IMPC, 14, Toronto, 3(8): 8-23
- Neumann, et al. The Evolution of the Upper Mantle beneath the Canary Islands: Information from Trace Elements and Sr isotope Ratios in Minerals in Mantle Xenoliths *Journal of Petrology*, 2004, Vol.45 (12), pp.2573-261
- Nery G. P., Ulsen C., Kahn H., Tassinari M. M., Uliana D. 2014. Caracterização de ouro por análise de imagem automatizada por feixe de elétrons. *Holos*, **3**: 35-43
- Petersen L., Dahl C. K., Esbensen K. H. 2004. Representative mass reduction in sampling: a critical survey of techniques and hardware. *Chemometrics and Intelligent Laboratory Systems*, **74**, 95-114
- Petruk, W., 1989. The MP-SEM-IPS image analysis system: short course handbook. Image analysis in earth science. In: W. Petruk (Ed.) CANMET, Ottawa, Canada, 16, pp. 37–42
- Purdey, M., 2006, Anti-lactoferrin toxicity and elevated iron: The environmental prerequisites which activate susceptibility to tuberculosis infection *Medical Hypotheses*, Vol.66(3), pp.513-517.
- Rocio, M.A.R., et al., 2012, "Terras-raras: situação atual e perspectivas." *BNDES Setorial*, n. 35, p. 369-420.
- Sandman D., Gutzmer J. 2013. Use of Mineral Liberation Analysis (MLA) in the Characterization of Lithium-Bearing Micas.

- Sutherland D. N., Gottlieb P. 1991. Application of automated quantitative mineralogy in mineral processing. Minerals Engineering, 4(7): 753-762.*
- Sylvester P. J., 2012. Chapter 1: Use of the mineral liberation analyzer (MLA) for mineralogical studies of sediments and sedimentary rocks. Mineralogical Association of Canada Short Course, 42, St. John's NL, p. 1-16*
- TESCAN. 2015. Disponível em < <http://www.tescan.com/en> > Acesso em 30 de maio de 2015.*
- TIMA. 2015. TIMA User's Manual. Brno, TESCAN Brno s.r.o 172p*
- Troutmann S., Johnson G. G. M. White, E W., Lebieczik J. 1974. Automated quantitative SEM characterization of complex particular samples. American Laboratory 6, 31–38.*
- Vaughan, J., 2004, The process mineralogy of gold: The classification of ore types JOM, Vol.56(7), pp.46-48*
- Mineral Database, Webmineral. 2015. Disponível em <<http://webmineral.com>> Acesso 15 de outubro de 2015*
- Geomundo. 2016. Disponível em <<https://geodomundo.wordpress.com/2013/05/09/depositos-porfiríticos/> > Acesso em 25 de abril de 2016.*

ANEXO 1: BANCO DE DADOS - NanoLab-All (ver.22)

1. SILICATOS

1.1 Actinolita

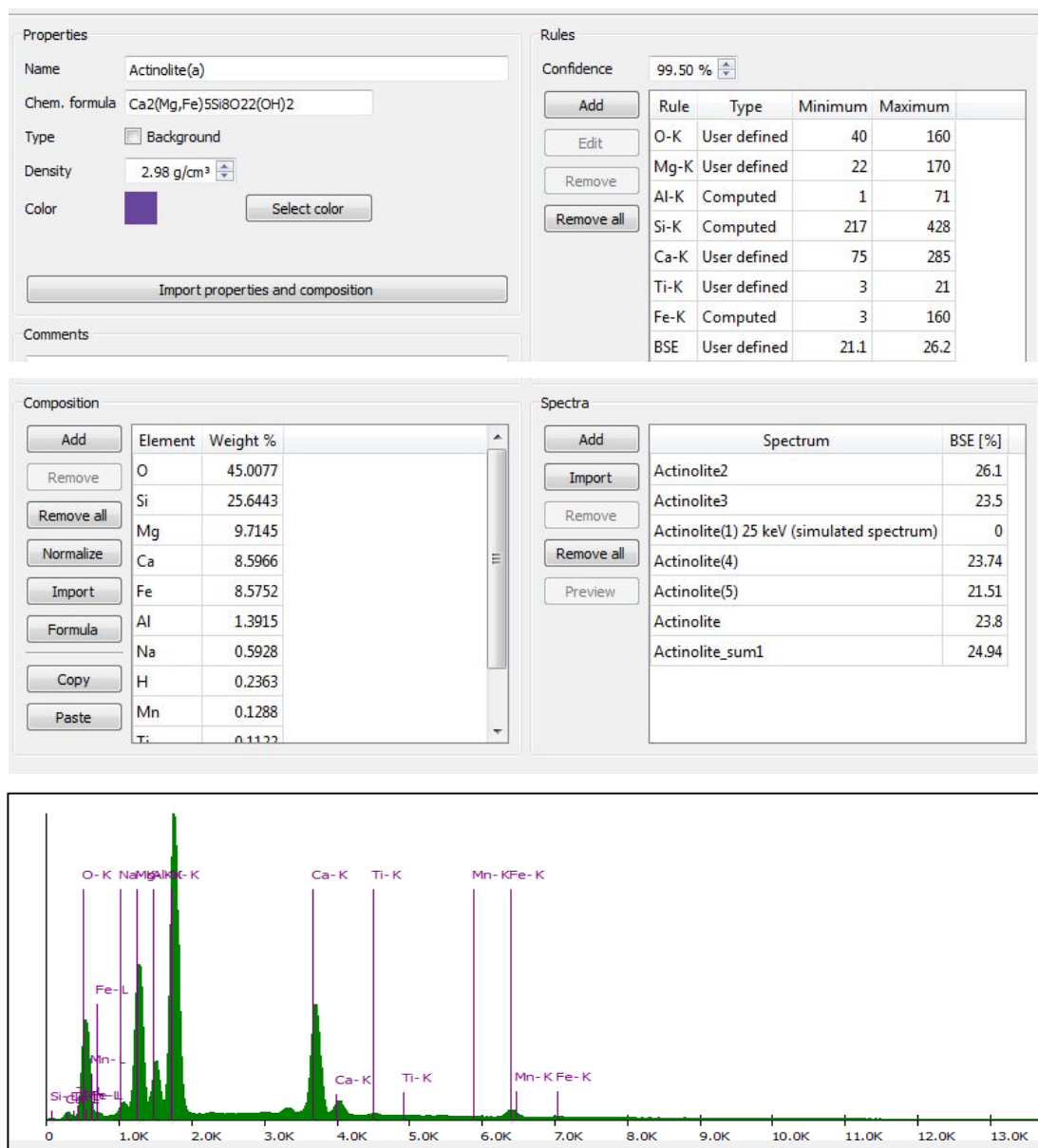


Figura 31: Regras de Classificação e Espectrograma da Actinolita

1.2 Aegerina

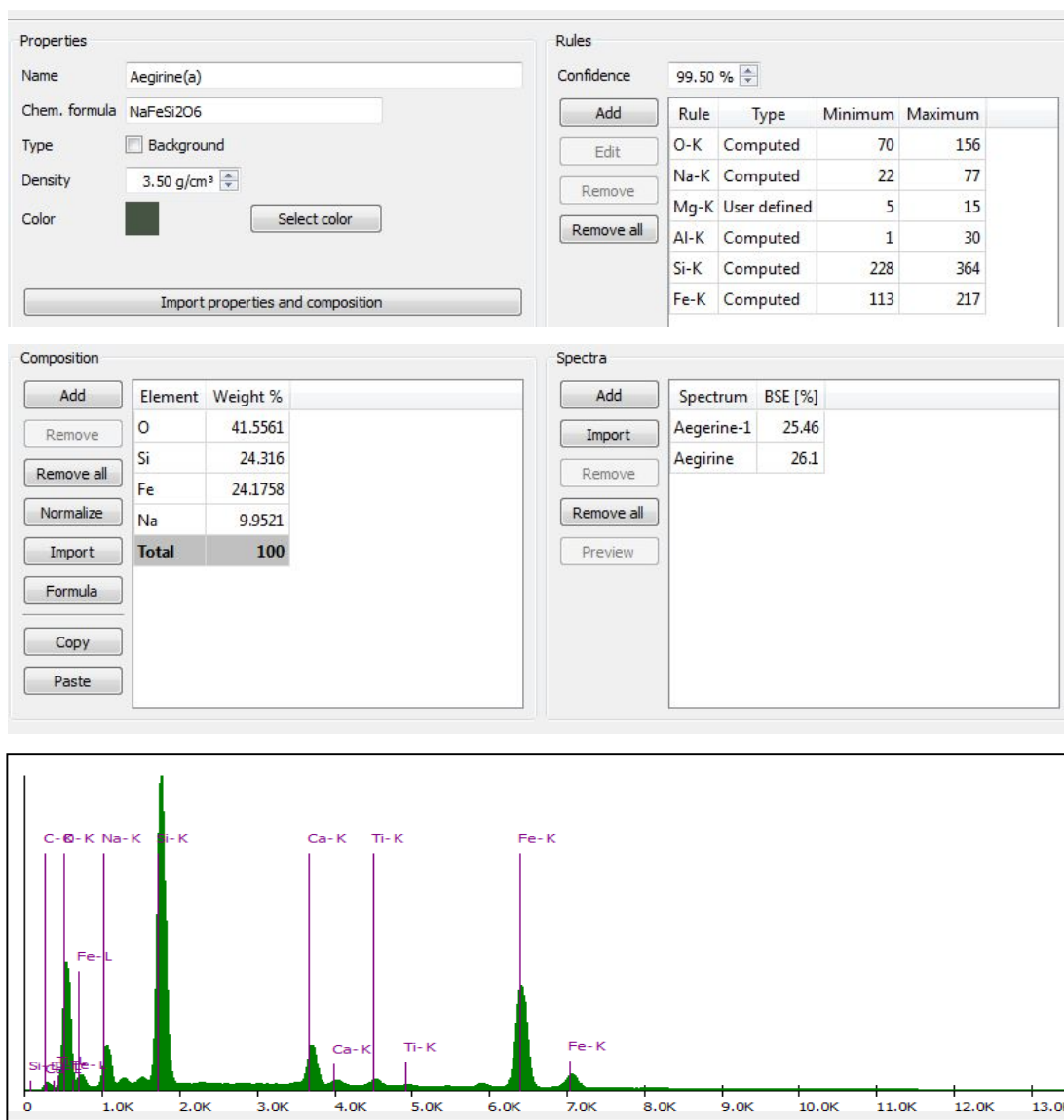


Figura 32: Regras de Classificação e Espectrograma da Aegerina

1.3 Albite

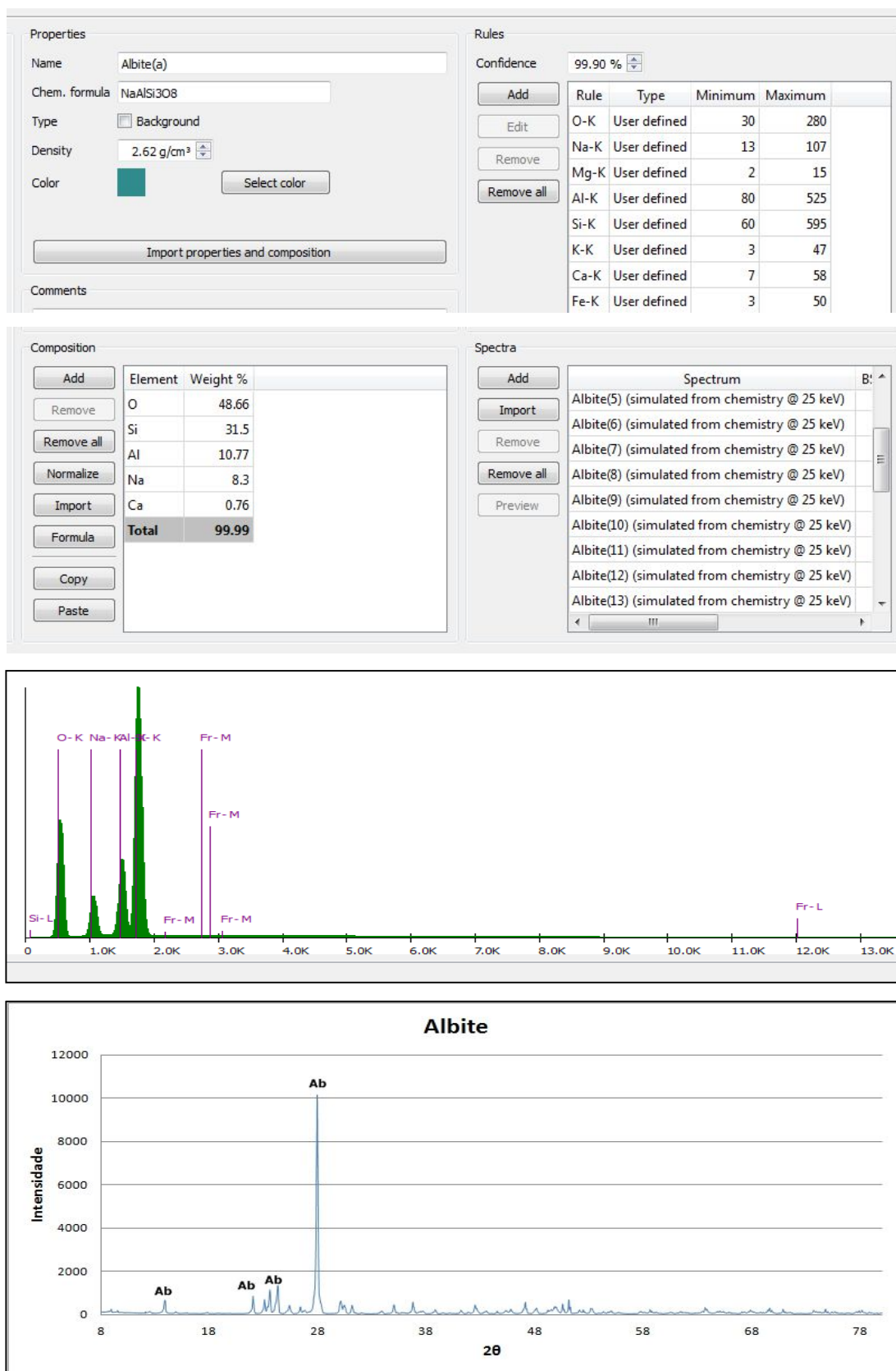


Figura 40: Regras de Classificação, Espectrograma e Difratoograma - Albite

1.4. Ajoita

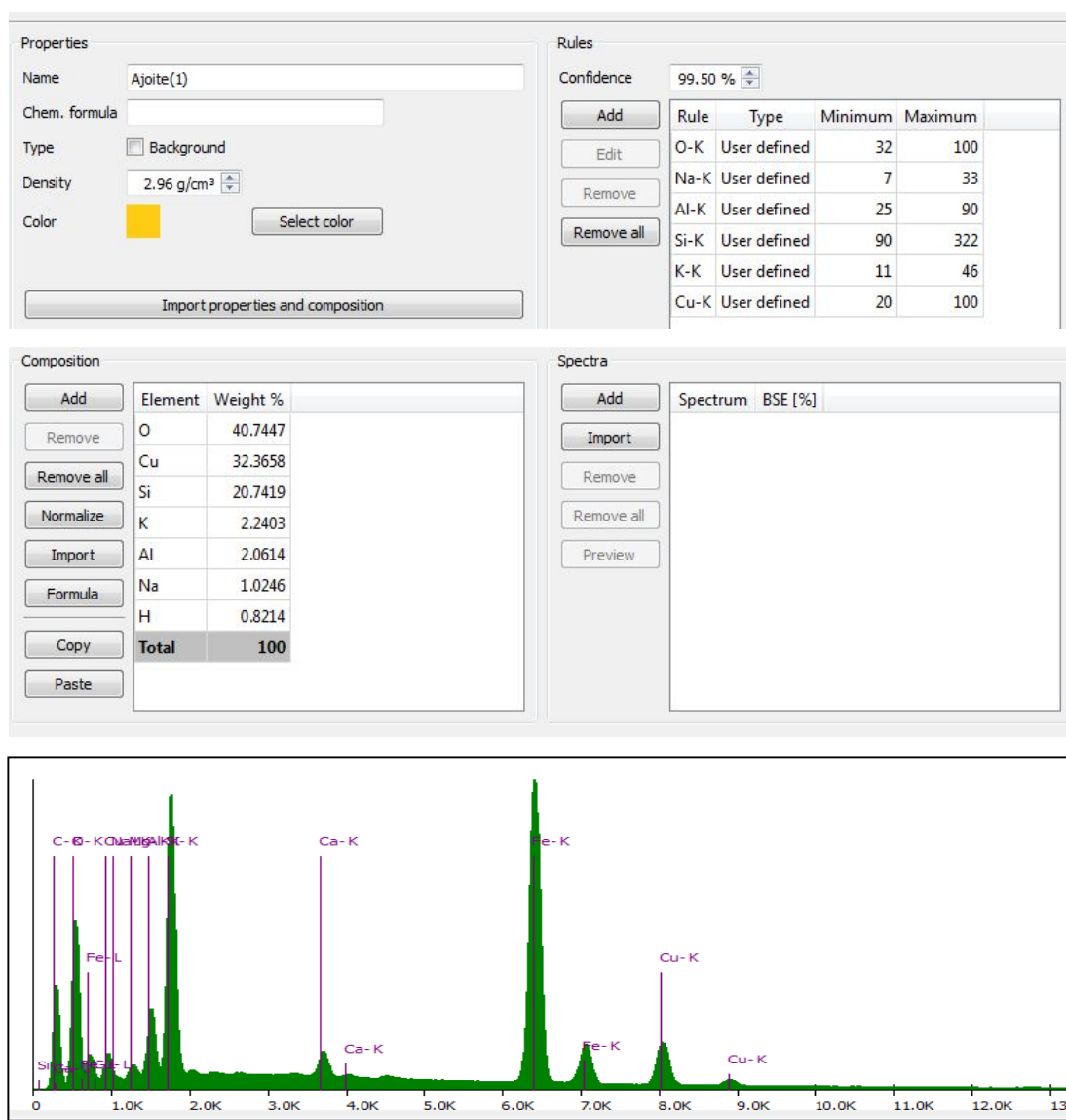


Figura 33: Regras de Classificação e Espectrograma da Ajoita

1.5 Alanita- (Ce)

Properties

Name:

Chem. formula:

Type: ☐ Background

Density:

Color:

Rules

Confidence: 99.50 %

Rule	Type	Minimum	Maximum
O-K	Computed	41	153
Al-K	Computed	45	131
Si-K	Computed	103	247
Ca-K	Computed	67	229
Fe-K	Computed	34	146
Ce-L	Computed	41	124

Composition

Element	Weight %
O	33.84
Ce	27.35
Si	13.71
Al	9.88
Fe	6.81
Y	4.34
Ca	3.91
H	0.16
Total	100

Spectra

Spectrum	BSE [%]
Allanite1	0
Allanite2	34.3
Allanite(1) 25 keV (simulated spectrum)	0

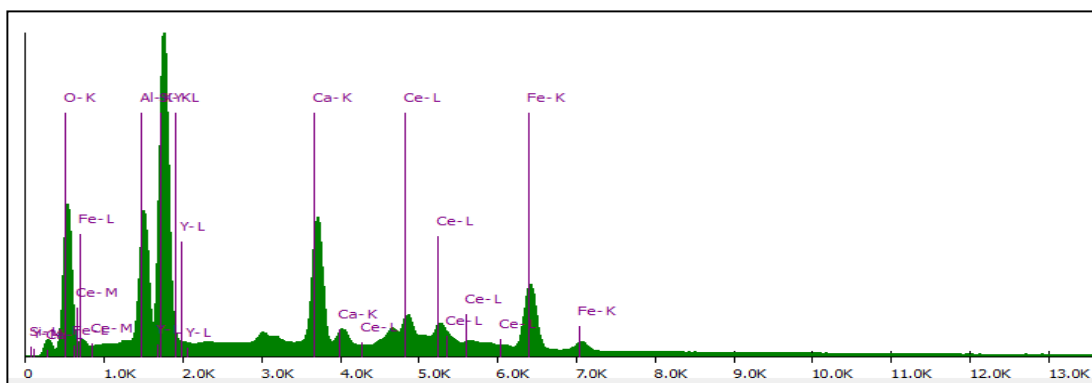


Figura 34: Regras de Classificação e Espectrograma da Alanita (Ce)

1.6 Andalusita

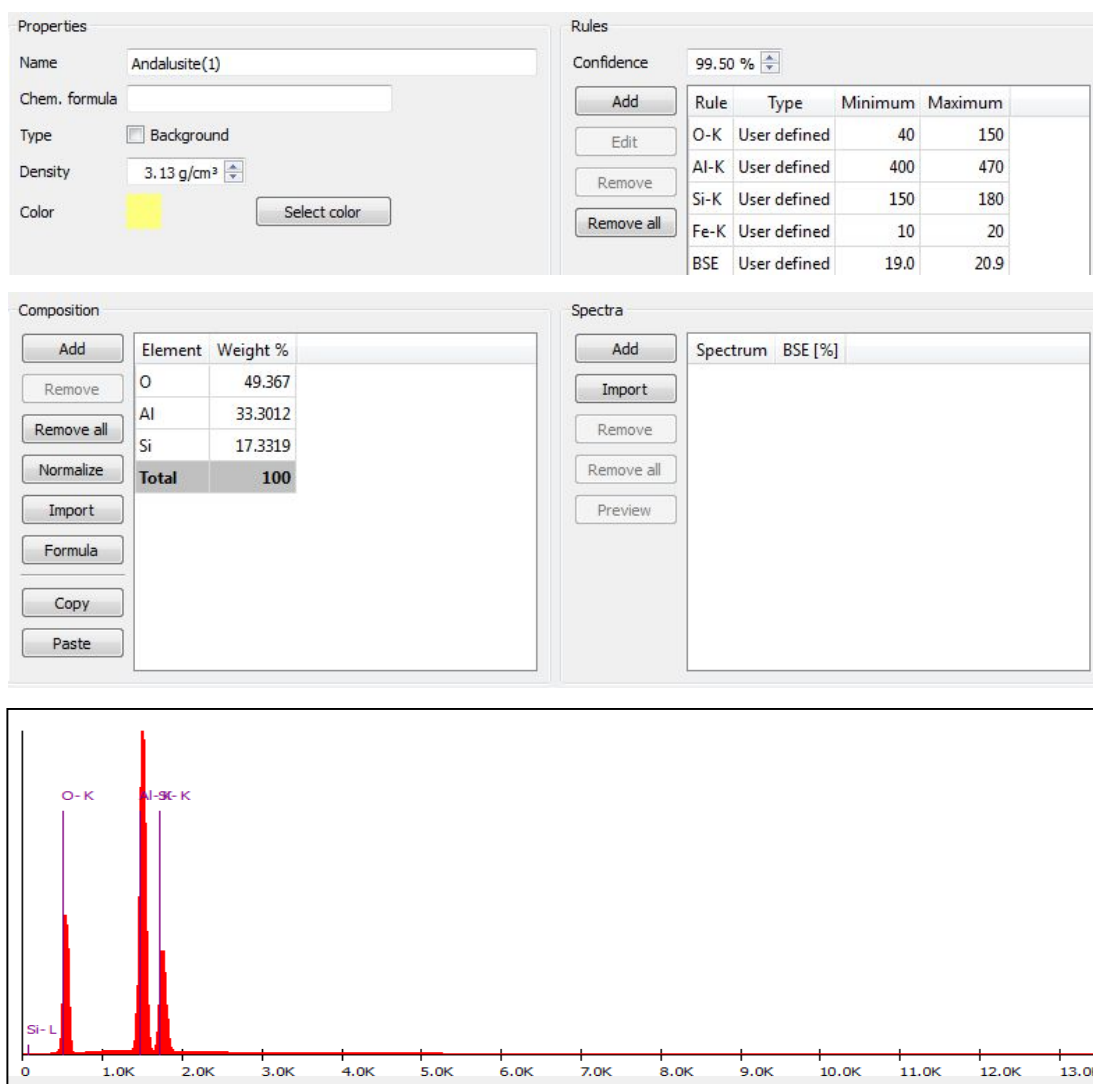


Figura 35: Regras de Classificação e Espectrograma da Andalusita

1.7 Almandina

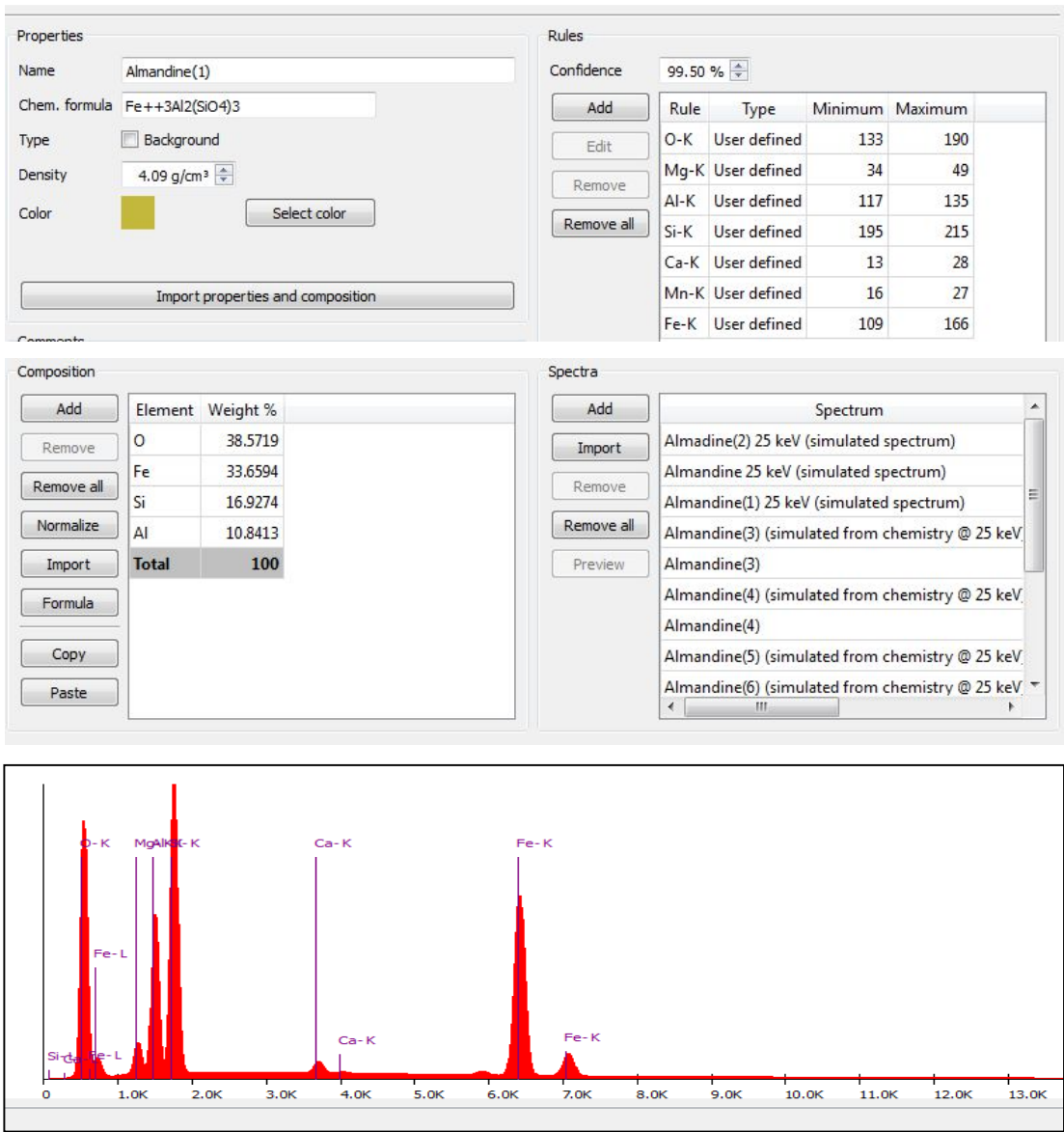


Figura 36: Regras de Classificação e Espectrograma da Almandina

1.8 Almandina-Espessartina

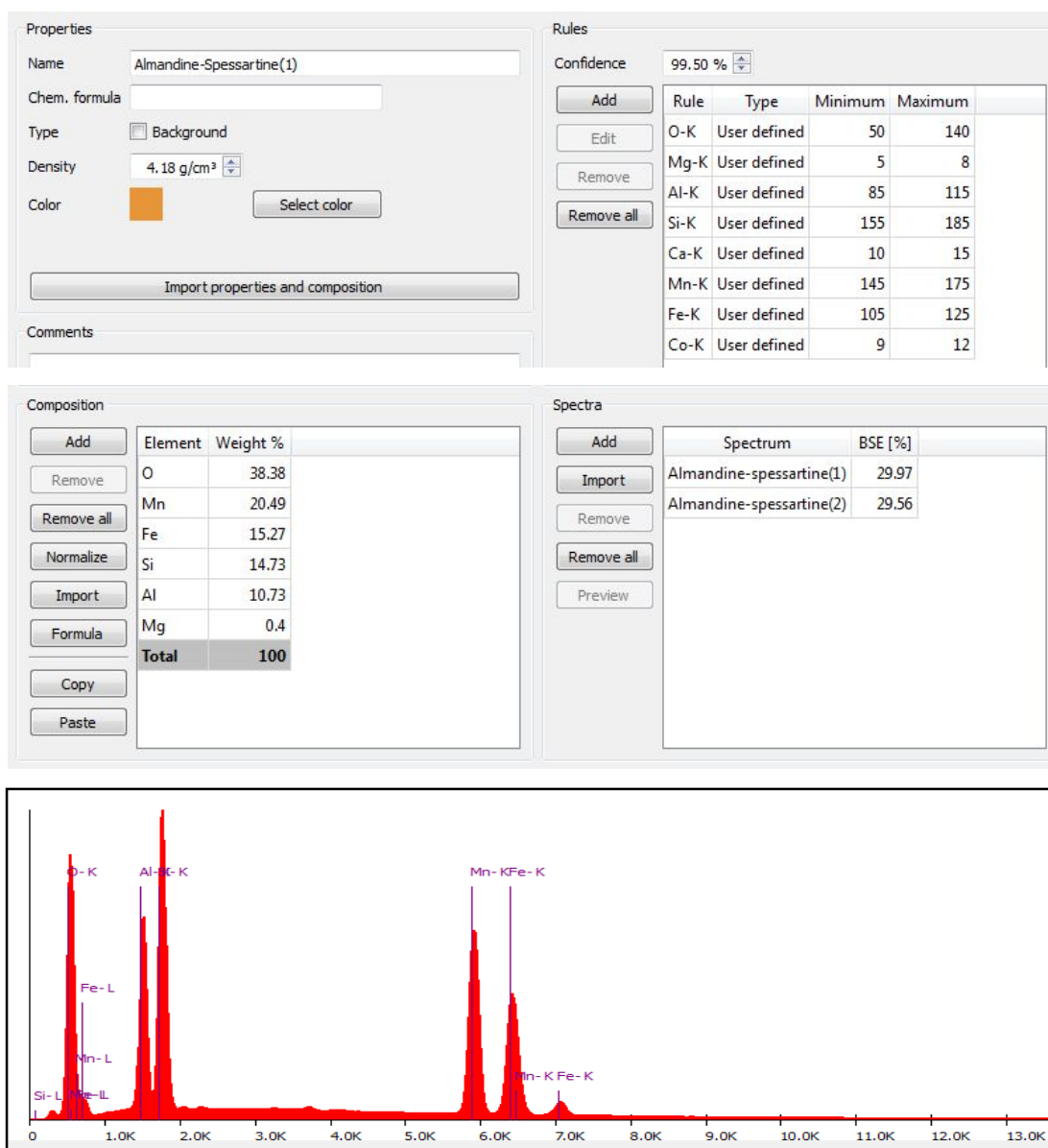


Figura 37: Regras de Classificação e Espectrograma da Almandina- Espessartina

1.9 Aluminio Titanato

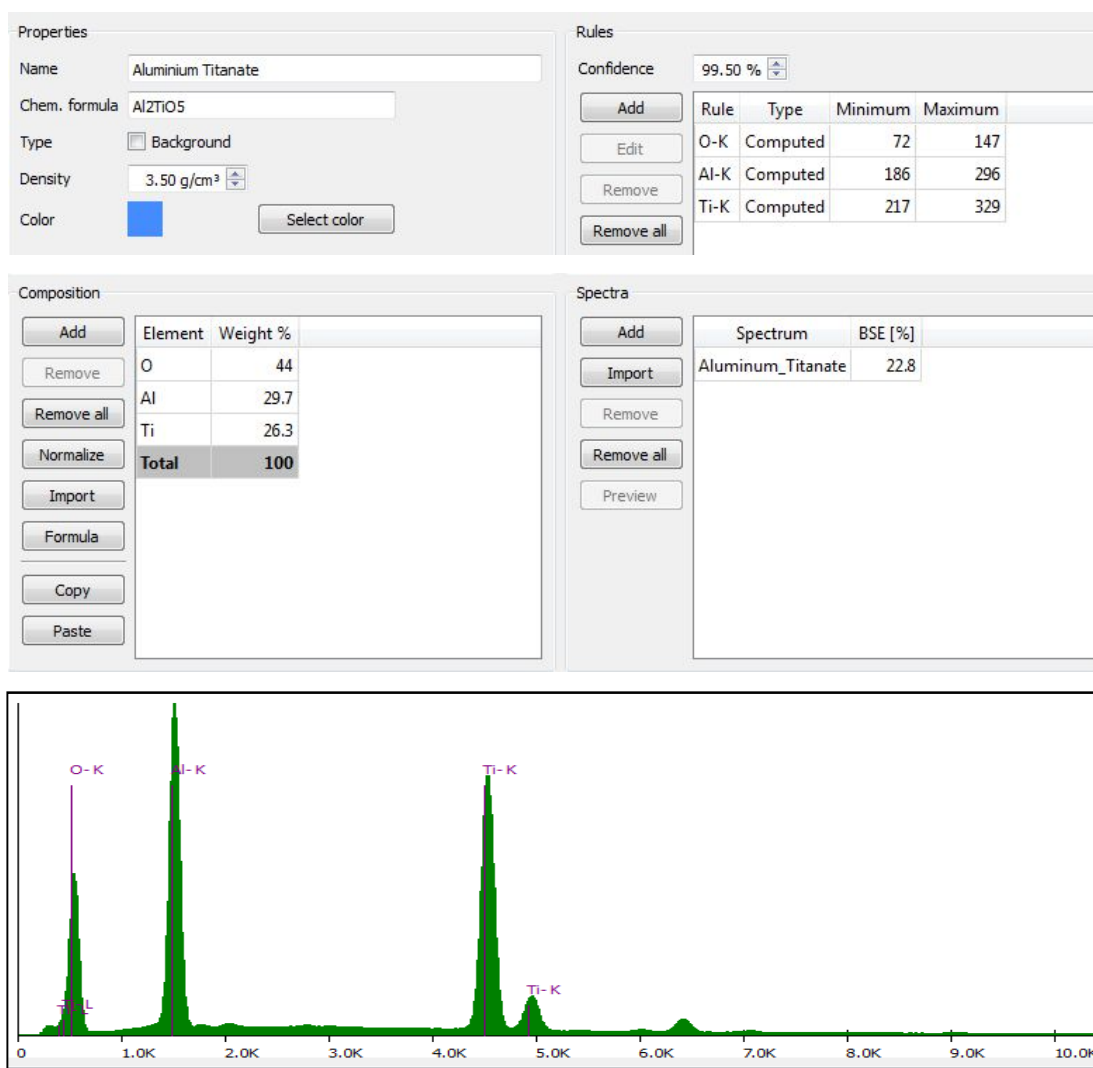


Figura 38: Regras de Classificação e Espectrograma do Alumino Títanato

1.10 Aluminocerita- (Ce)

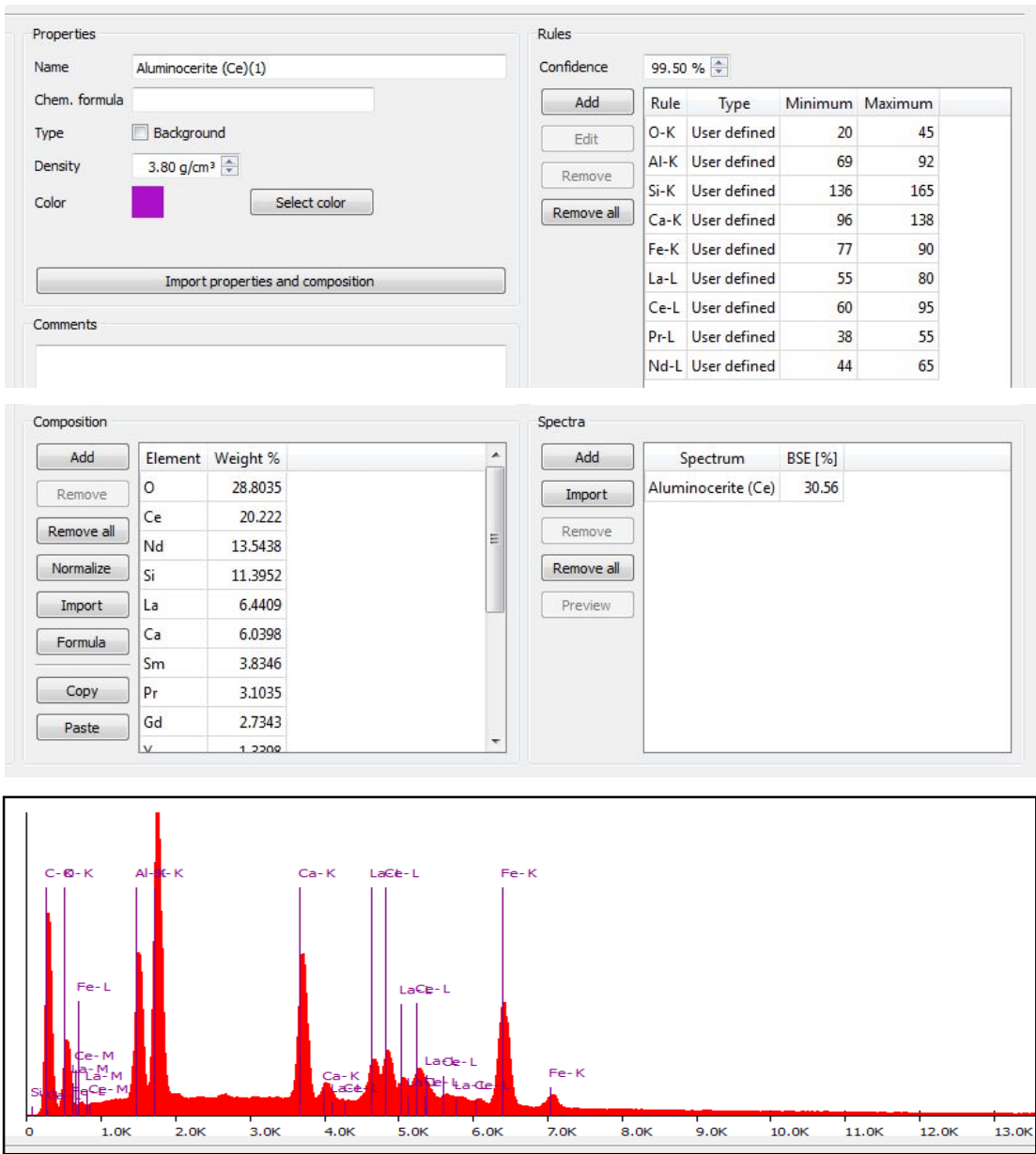


Figura 39: Regras de Classificação e Espectrograma da Aluminocerita- (Ce)

1.6 Andesina

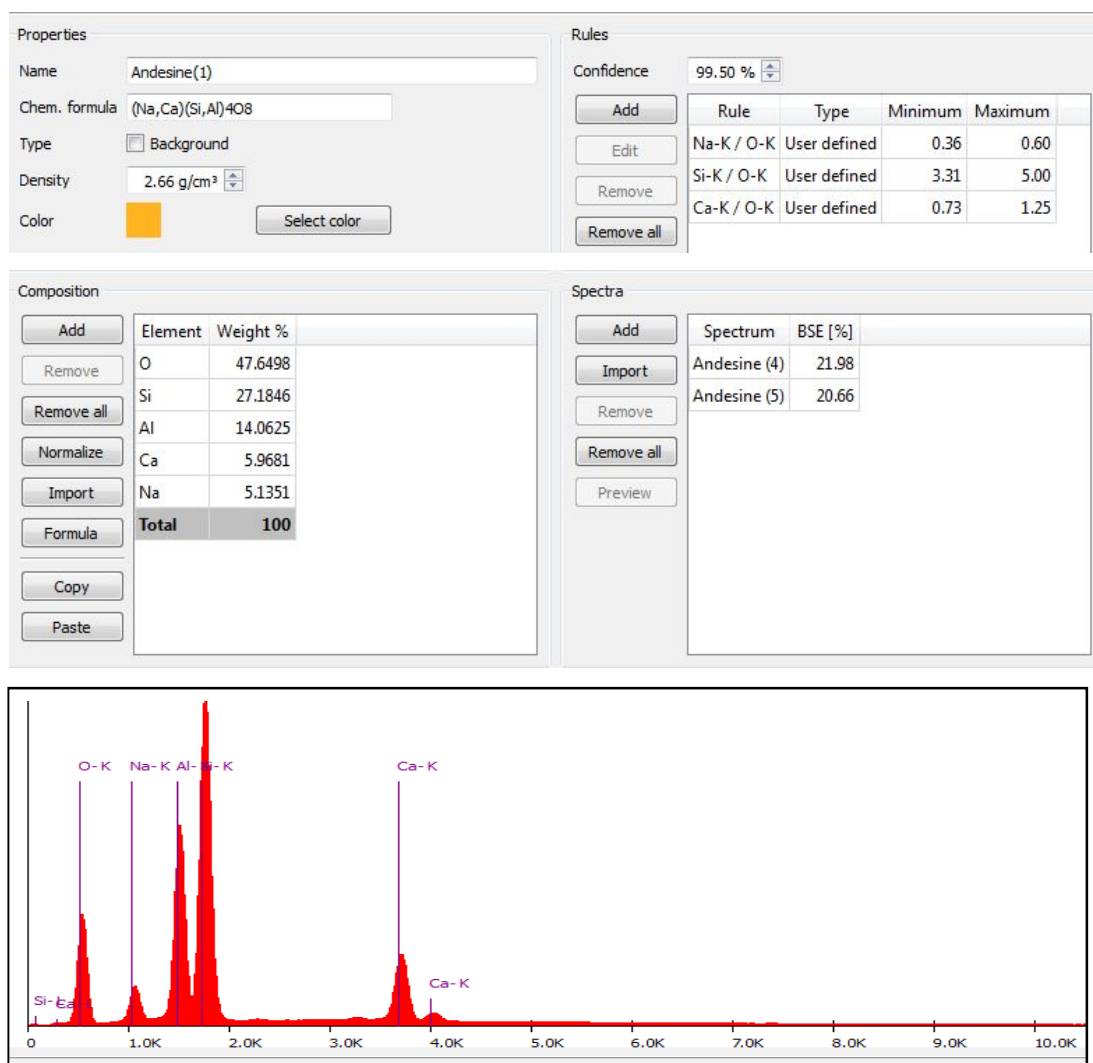


Figura 40: Regras de Classificação e Espectrograma da Andesina

1.7 Andradita

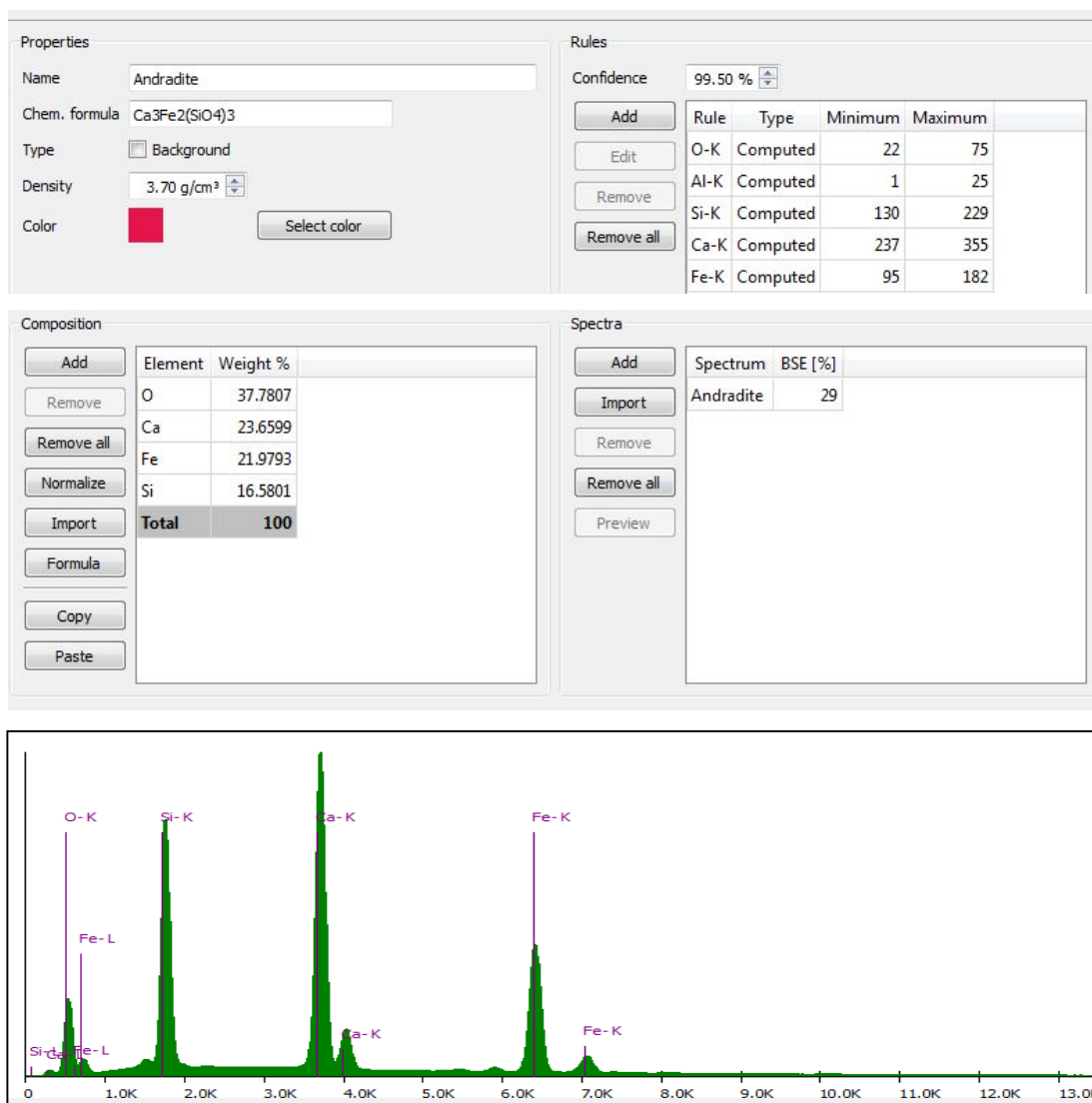


Figura 41: Regras de Classificação e Espectrograma da Andradita

1.8 Anortita

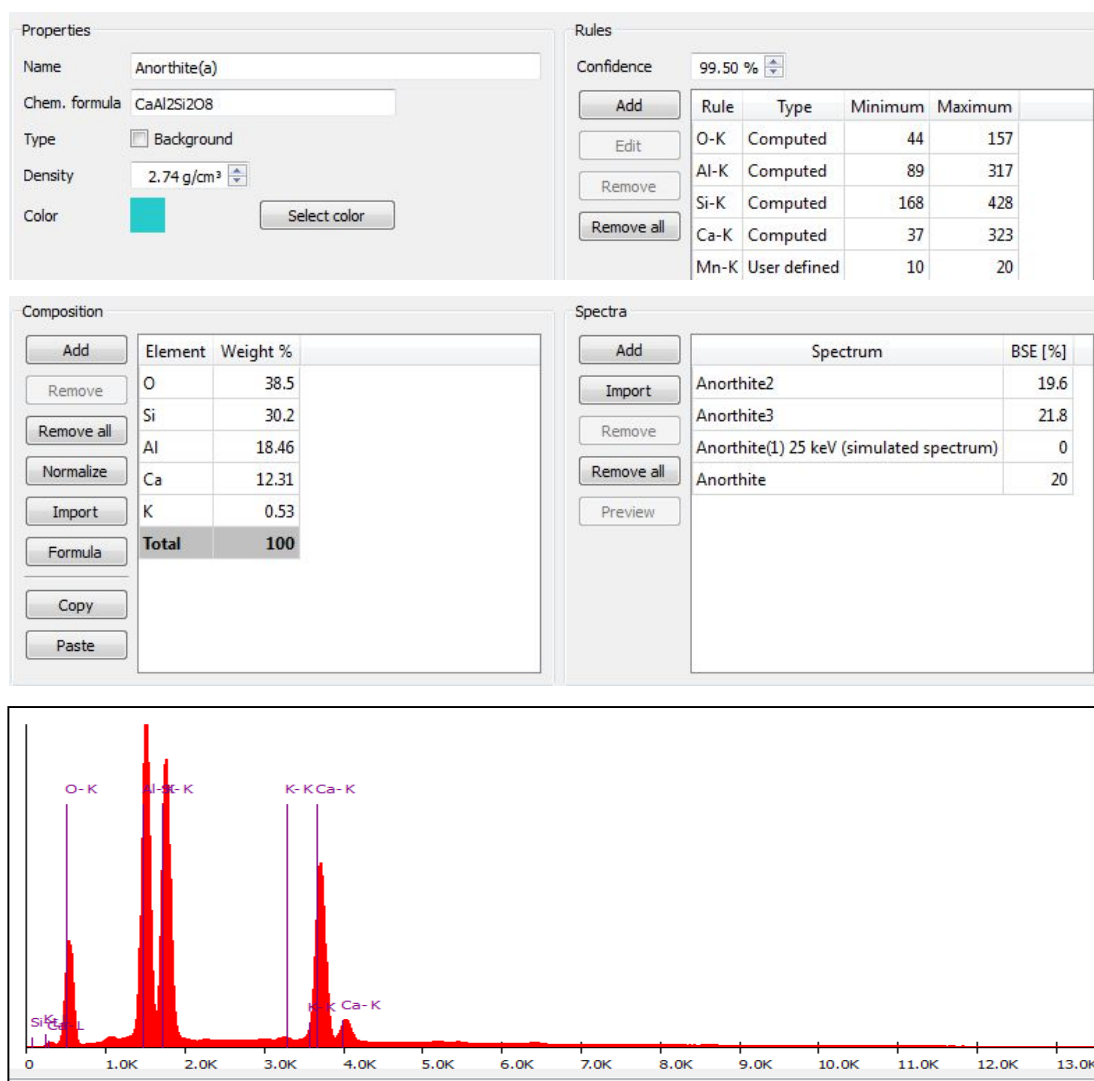


Figura 42: Regras de Classificação e Espectrograma da Anorthita

1.9 Augita

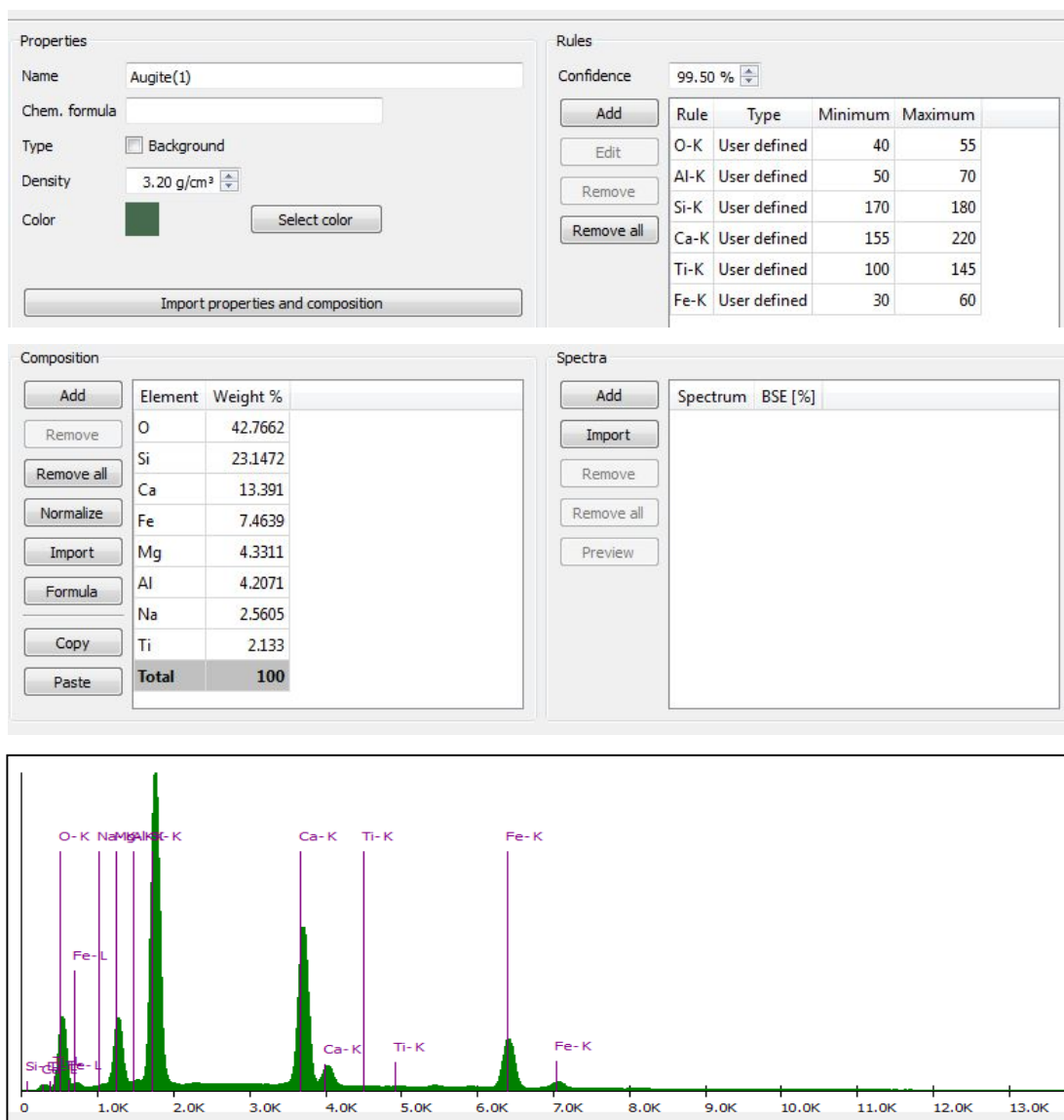


Figura 43: Regras de Classificação e Espectrograma da Augita

1.10 Bannisterita

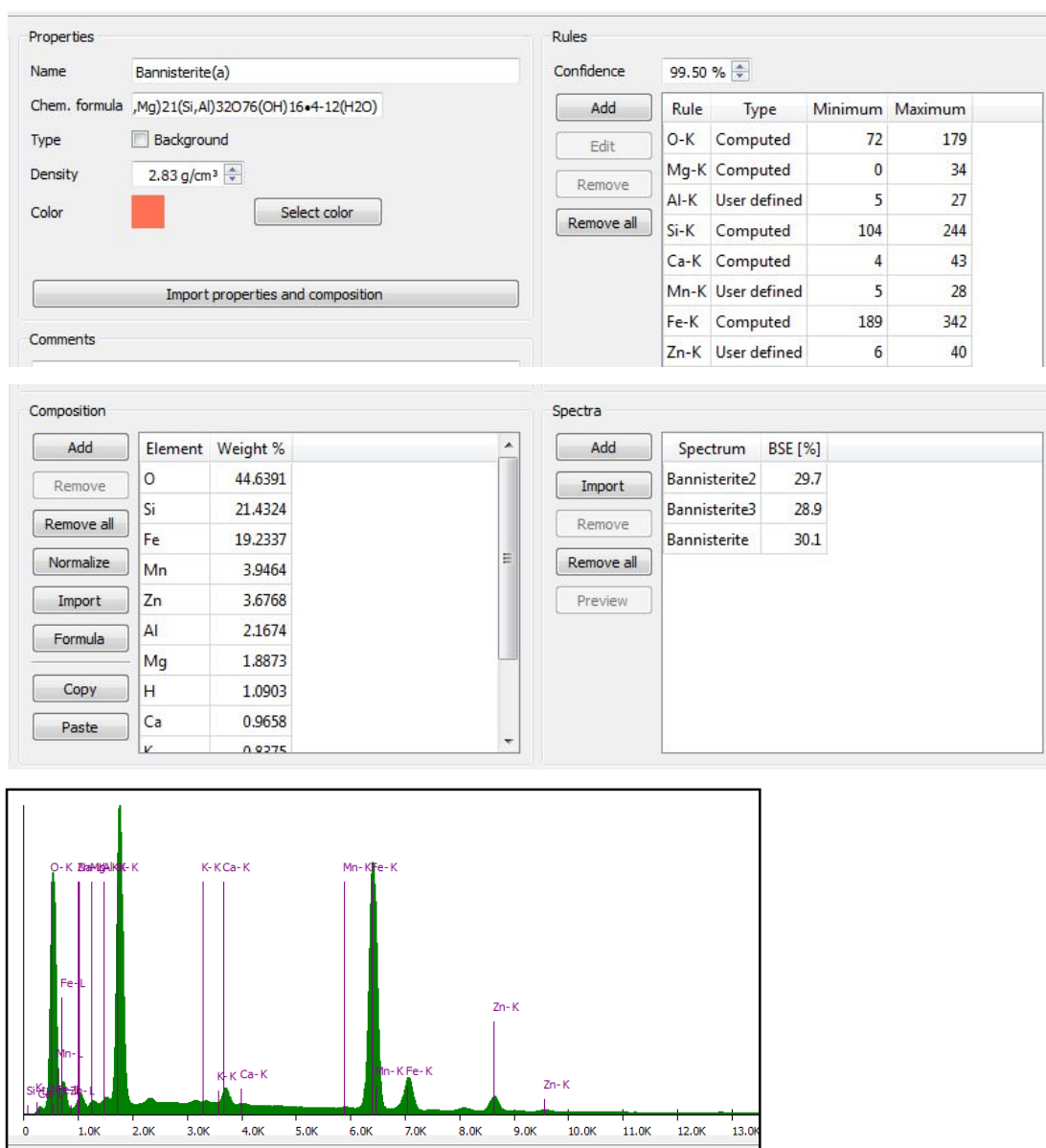


Figura 44: Regras de Classificação e Espectrograma da Banisterita

1.11 Biotita

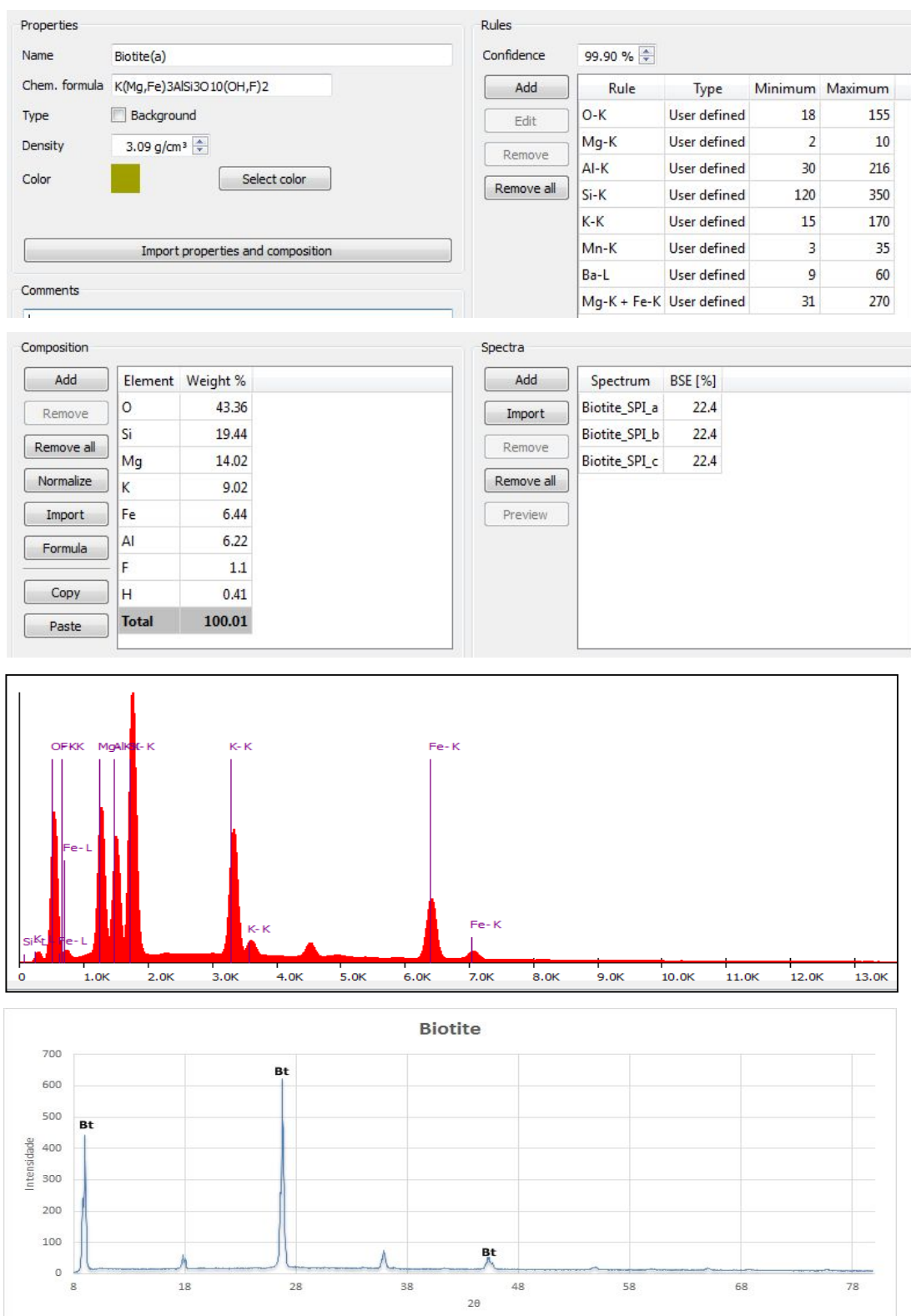


Figura 45: Regras de Classificação espectrograma e difratograma da Biotita

1.12 Cancrinita

Properties

Name: Cancrinite

Chem. formula: Na6Ca2Al6Si6O24(CO3)2

Type: ☐ Background

Density: 2.40 g/cm³

Color: Select color

Rules

Confidence: 99.50 %

Rule	Type	Minimum	Maximum
O-K	Computed	94	179
Na-K	Computed	97	183
Al-K	Computed	132	232
Si-K	Computed	139	242
S-K	Computed	18	63

Composition

Element	Weight %
O	45.604
Si	16.0107
Al	15.3814
Na	13.1058
Ca	7.6158
C	2.2824
Total	100

Spectra

Spectrum	BSE [%]
Cancrinite	20.2

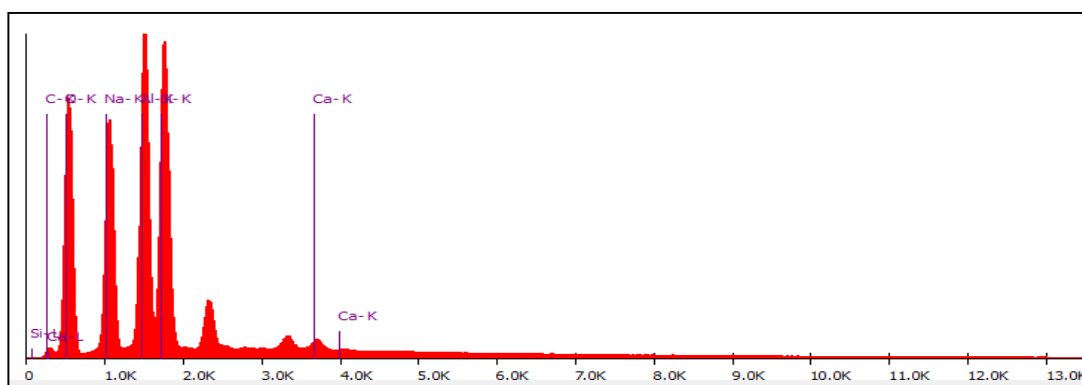


Figura 46: Regras de Classificação e Espectrograma da Cancrinita

1.13 Clinocloro

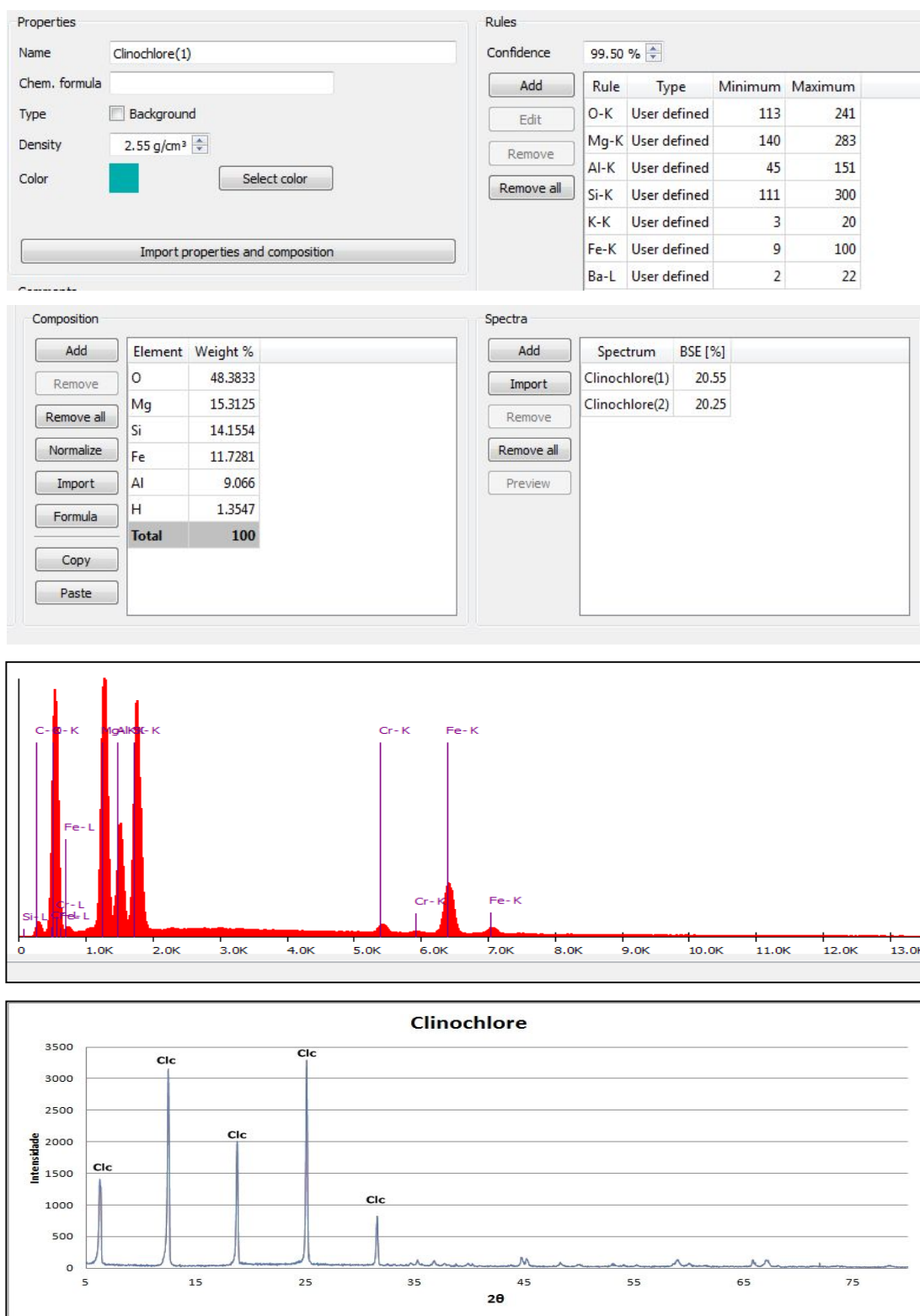


Figura 47: Regras de Classificação, Espectrograma, Difratoograma do Clinocloro

1.14 Clorita

Properties

Name: Chlorite(a)

Chem. formula: $(\text{Mg,Fe})_5\text{Al}(\text{Si}_3\text{Al})\text{O}_{10}(\text{OH})_8$

Type: ☐ Background

Density: 2.65 g/cm³

Color: Select color

Import properties and composition

Rules

Confidence: 99.90 %

Add Edit Remove Remove all

Rule	Type	Minimum	Maximum
O-K	User defined	70	250
Mg-K	User defined	25	282
Al-K	User defined	45	151
Si-K	User defined	110	240
K-K	User defined	5	100
Fe-K	User defined	9	250

Composition

Add Remove Remove all Normalize Import Formula Copy Paste

Element	Weight %
O	48.38
Mg	15.31
Si	14.16
Fe	11.73
Al	9.07
H	1.35
Total	100

Spectra

Add Import Remove Remove all Preview

Spectrum	BSE [%]
Chlorite_SPI_a	18.8
Chlorite_SPI_b	18.8
Chlorite_SPI_c	18.8

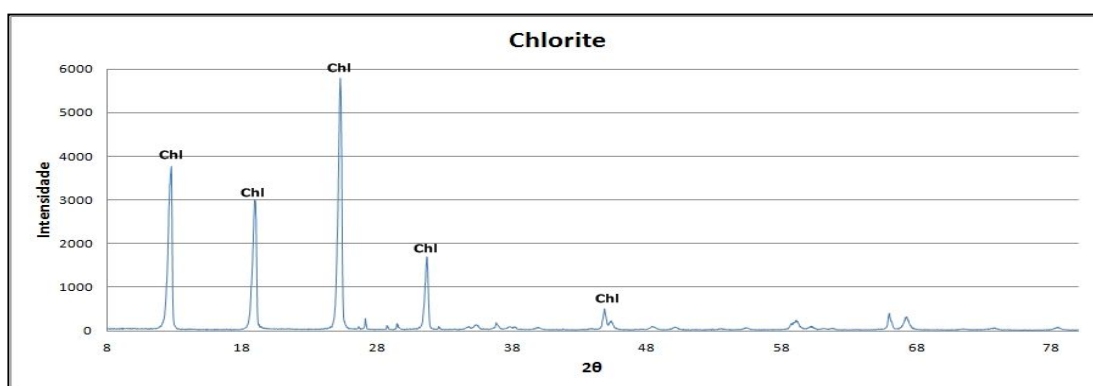
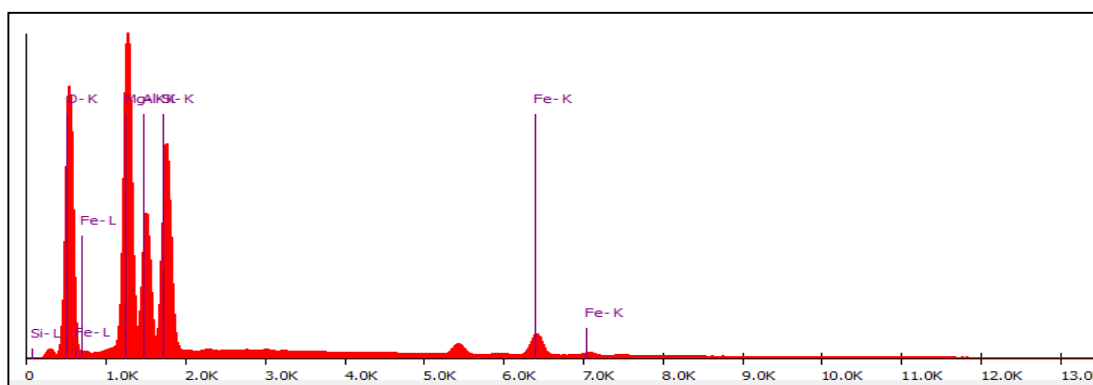


Figura 48: Regras de Classificação, Espectrograma e Difratoograma da Clorita

1.15 Cloritoide

Properties

Name: Chloritoid(1)

Chem. formula:

Type: ☐ Background

Density: 3.52 g/cm³

Color: Select color

Import properties and composition

Comments

Rules

Confidence: 99.50 %

Add Edit Remove Remove all

Rule	Type	Minimum	Maximum
O-K	User defined	60	220
F-K	User defined	4	20
Mg-K	User defined	3	40
Al-K	User defined	100	310
Si-K	User defined	35	230
Ca-K	User defined	5	10
Mn-K	User defined	4	30
Fe-K	User defined	30	260

Composition

Add Remove Remove all Normalize Import Formula Copy Paste

Element	Weight %
O	46.2117
Al	22.2662
Fe	13.8262
Si	11.5886
Mg	3.0086
Mn	2.2669
H	0.8318
Total	100

Spectra

Add Import Remove Remove all Preview

Spectrum BSE [%]

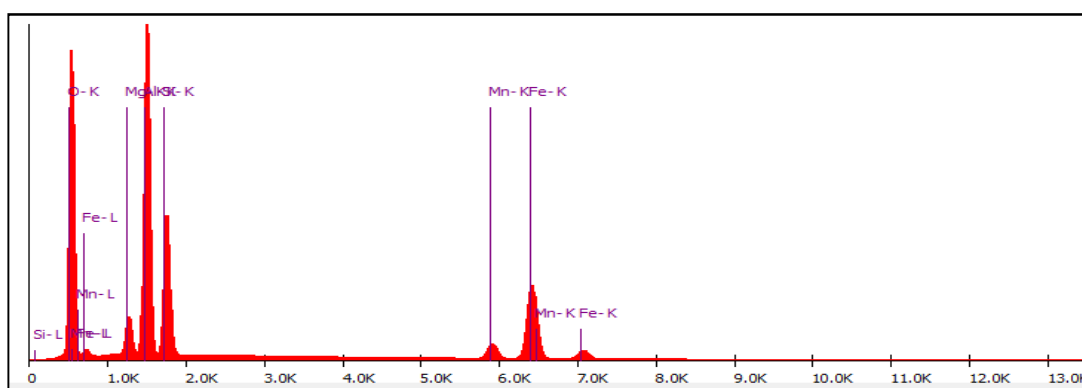


Figura 49: Regras de Classificação, Espectrograma do Cloritóide

1.16 Chrysocolla

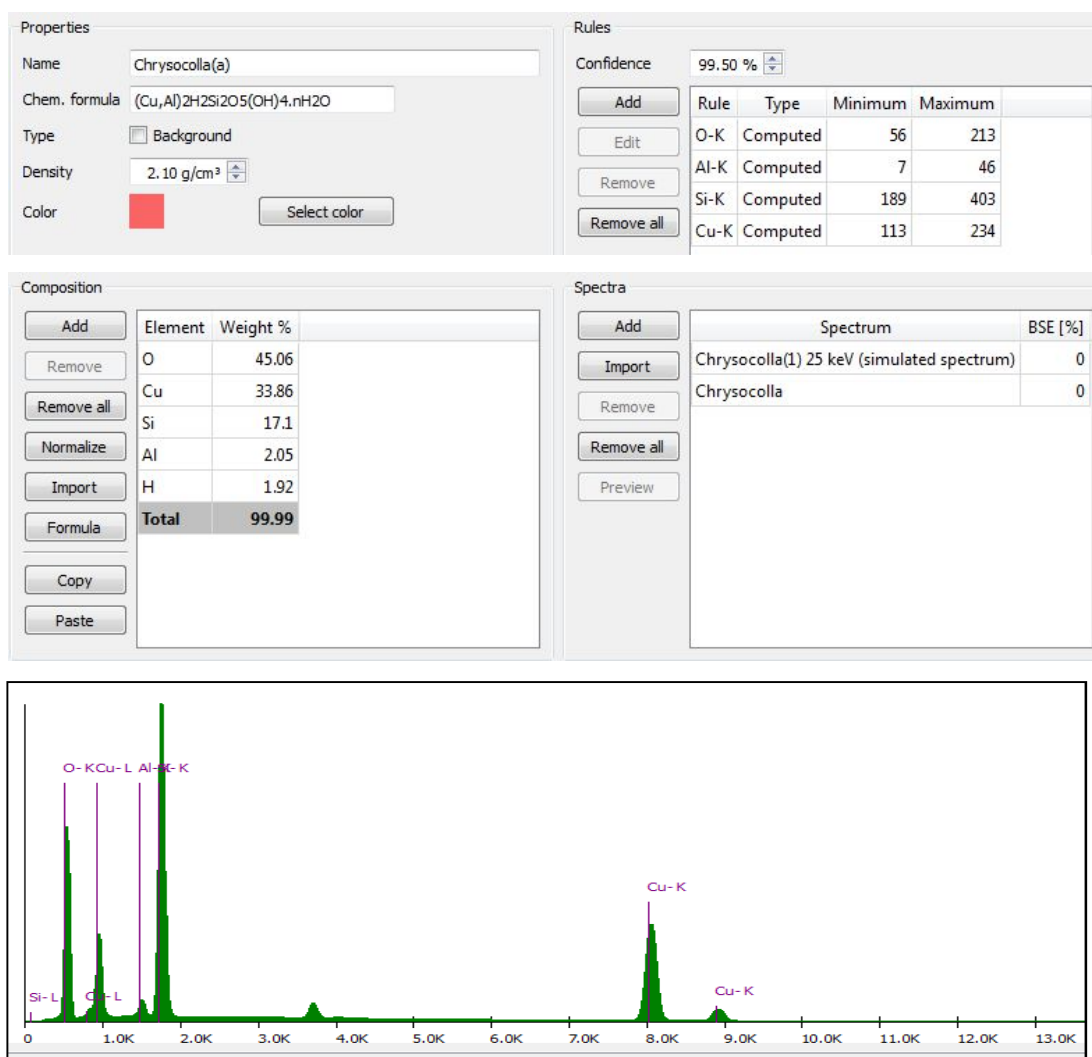


Figura 50: Regras de Classificação, Espectrograma do Chrysocolla

1.17 Chrysotila

Properties

Name: Chrysotile(1)

Chem. formula:

Type: ☐ Background

Density: 2.53 g/cm³

Color: Select color

Import properties and composition

Comments

Antigorite similar

Rules

Confidence: 99.50 %

Add Edit Remove Remove all

Rule	Type	Minimum	Maximum
O-K	User defined	110	160
Mg-K	User defined	195	215
Si-K	User defined	272	390
Ca-K	User defined	7	32
Fe-K	User defined	17	55
BSE	User defined	18.6	20.0

Composition

Add Remove Remove all Normalize Import Formula Copy Paste

Element	Weight %
O	51.9625
Mg	26.3124
Si	20.2701
H	1.4549
Total	99.9999

Spectra

Add Import Remove Remove all Preview

Spectrum	BSE [%]
----------	---------

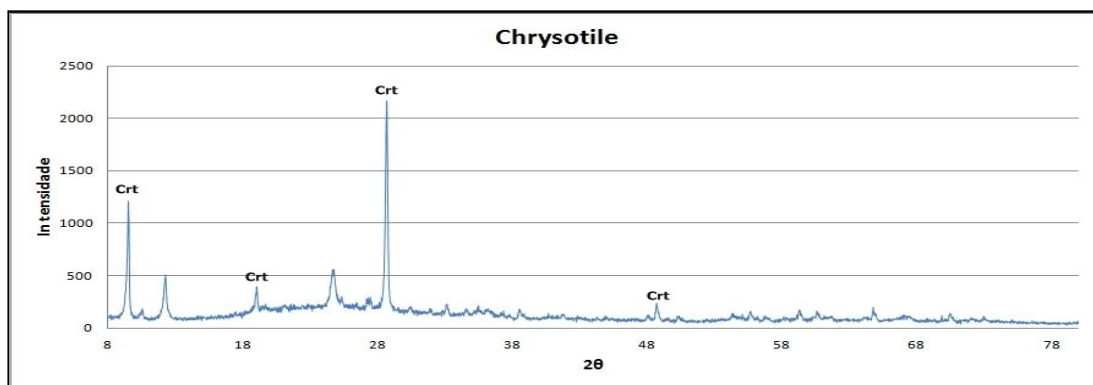
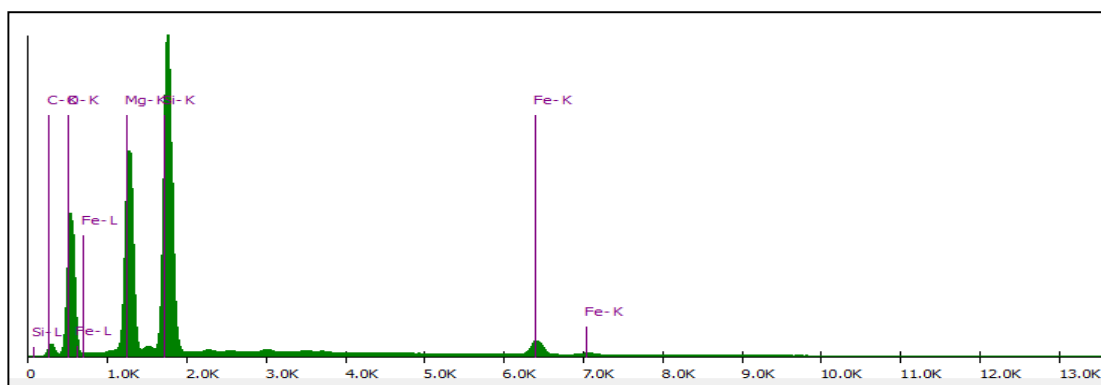


Figura 51: Regras de Classificação, Espectrograma e Difratoograma do Chrysotila

1.18 Cordierita

Properties

Name: Cordierite(1)

Chem. formula:

Type: ☐ Background

Density: 2.55 g/cm³

Color: Select color

Import properties and composition

Rules

Confidence: 99.50 %

Add Edit Remove Remove all

Rule	Type	Minimum	Maximum
O-K	User defined	129	155
Mg-K	User defined	70	80
Al-K	User defined	220	230
Si-K	User defined	260	265
Fe-K	User defined	30	36
BSE	User defined	20.4	22.2

Composition

Add Remove Remove all Normalize Import Formula Copy Paste

Element	Weight %
O	49.2329
Si	24.0066
Al	18.4504
Mg	8.3101
Total	100

Spectra

Add Import Remove Remove all Preview

Spectrum	BSE [%]
Cordierite(1)	21.31
Cordierite-(Fe)_sum1	21.32

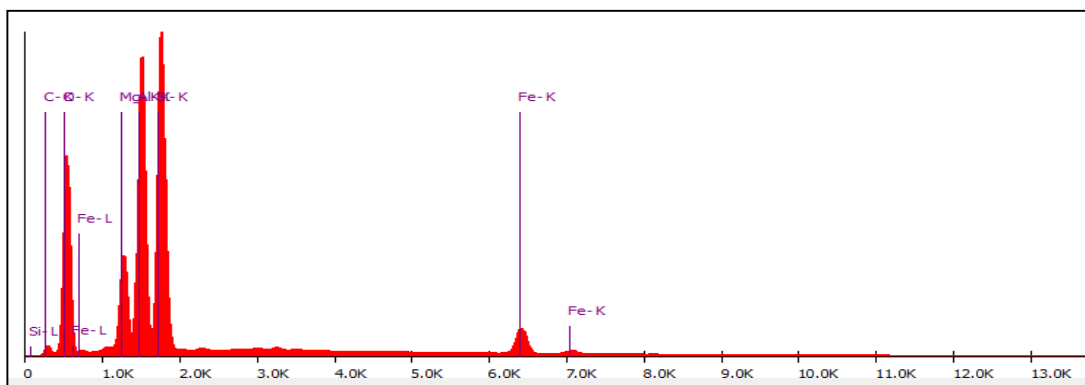


Figura 52: Regras de Classificação, Espectrograma da Cordierita

1.19 Danalita

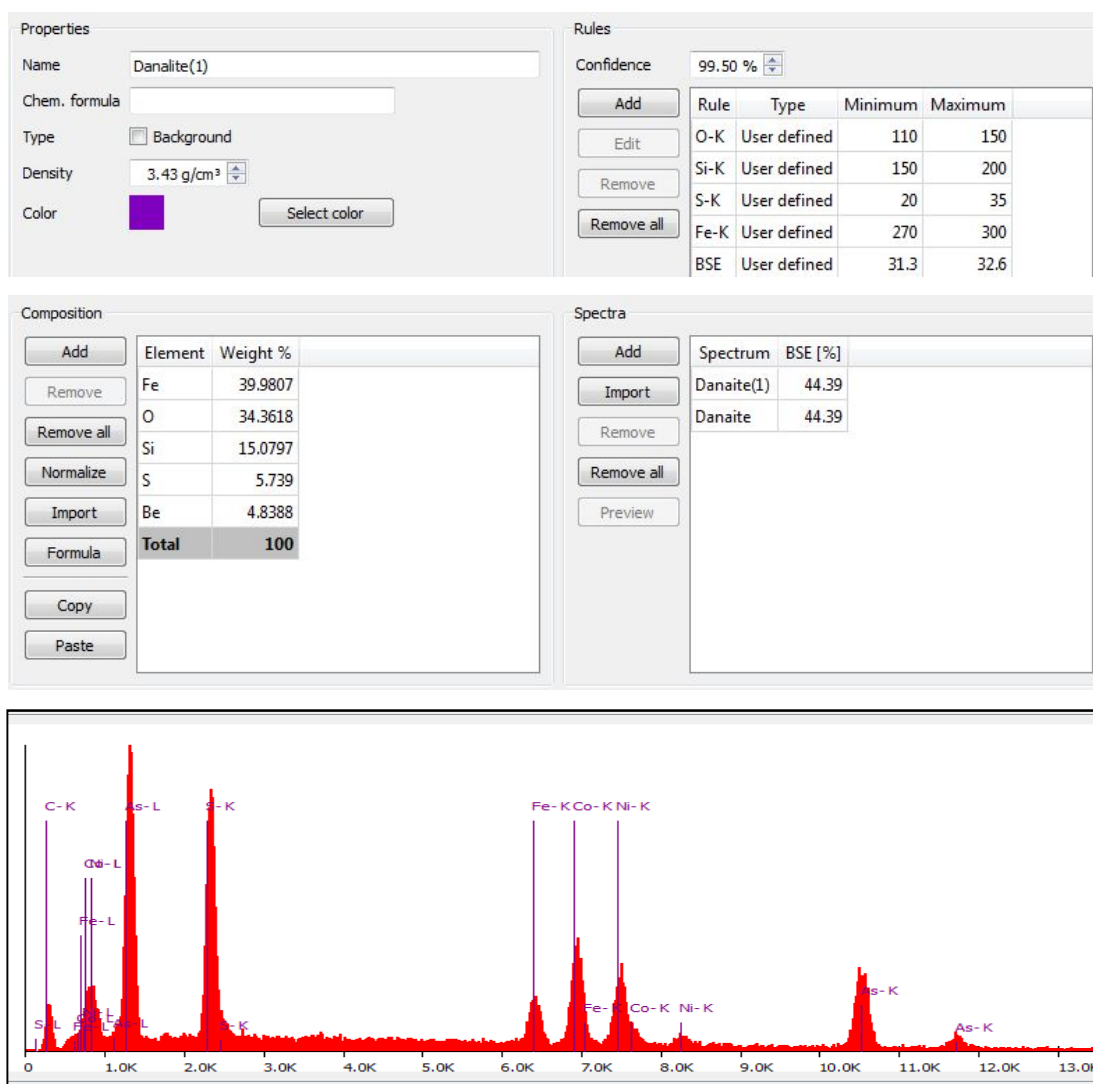


Figura 53: Regras de Classificação, Espectrograma da Danalita

1.20 Diopsídio

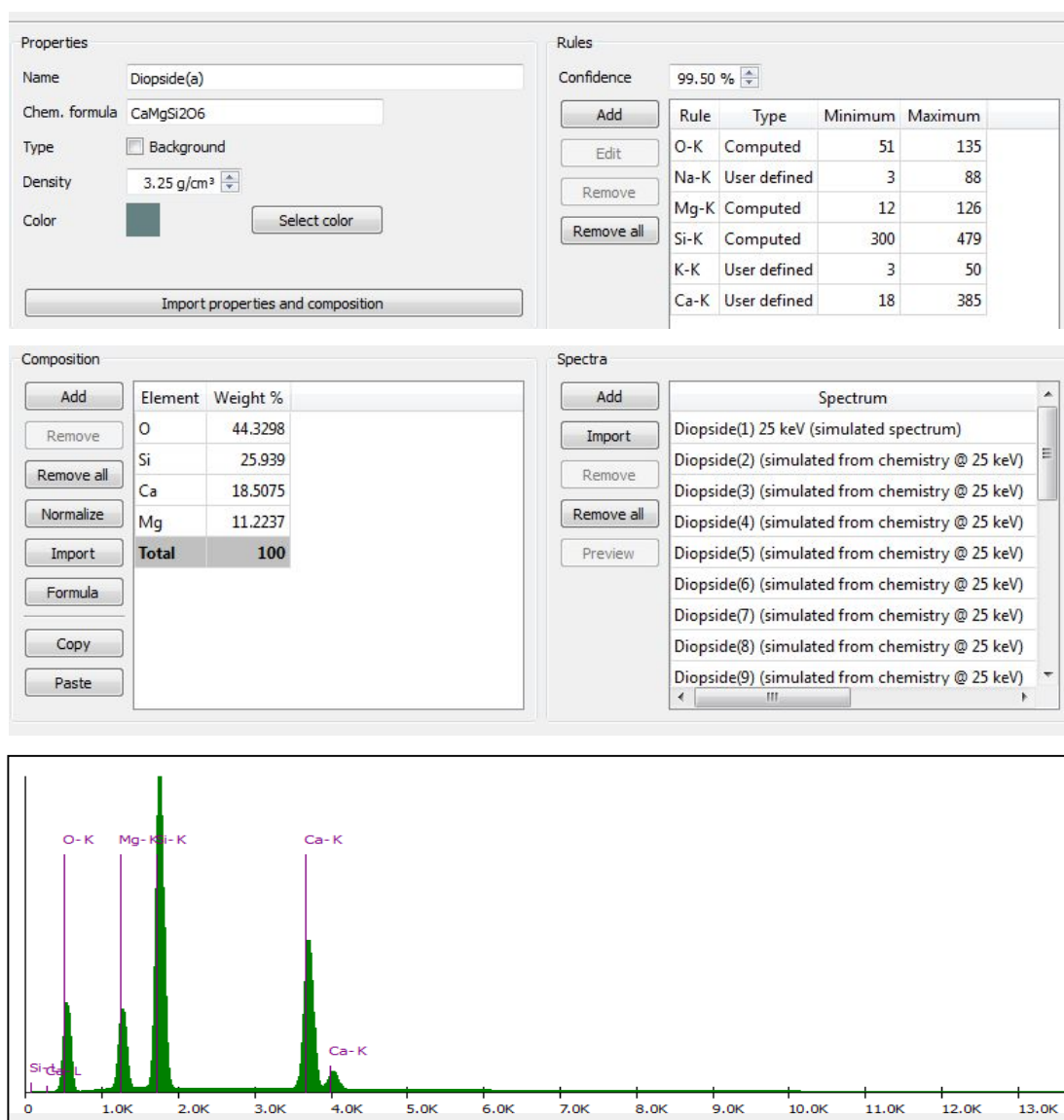


Figura 54: Regras de Classificação, Espectrograma do Diopsídio

1.21 Dravita

Properties

Name

Chem. formula

Type ☐ Background

Density

Color

Rules

Confidence

Rule	Type	Minimum	Maximum
O-K	Computed	196	314
Na-K	Computed	9	49
Mg-K	Computed	48	118
Al-K	Computed	141	239
Si-K	Computed	130	231

Composition

Element	Weight %
O	51.73
Si	17.58
Al	16.89
Mg	7.61
B	3.38
Na	2.4
H	0.42
Total	100.01

Spectra

Spectrum	BSE [%]
Dravite	0

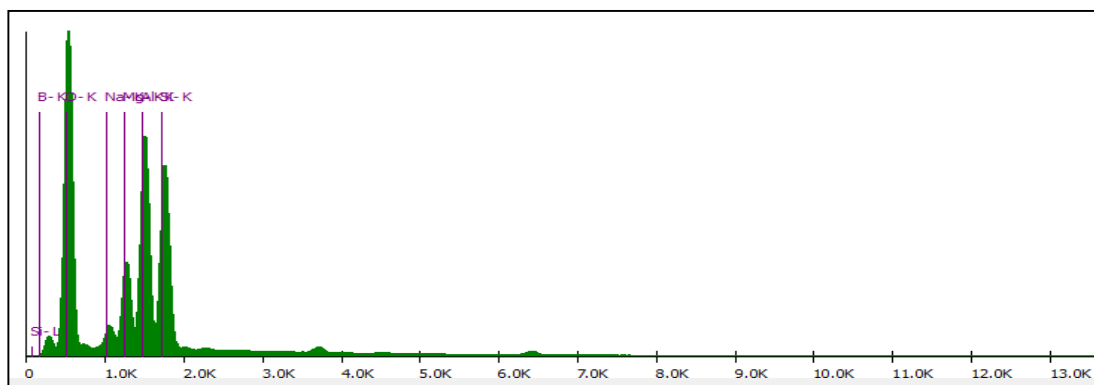


Figura 55: Regras de Classificação, Espectrograma da Dravita

1.22 Elbaita

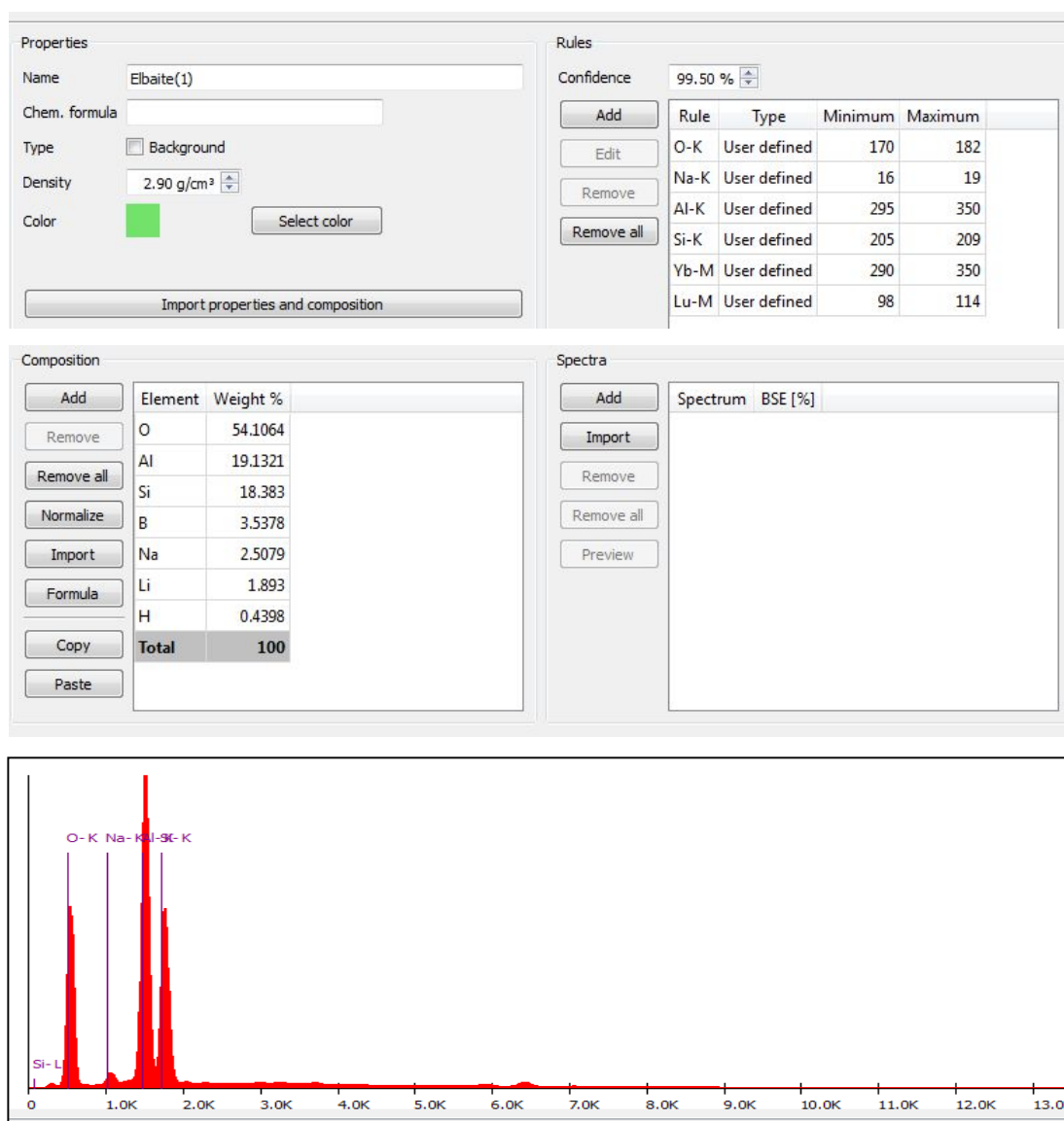


Figura 56: Regras de Classificação, Espectrograma da Elbaita

1.23 Enstatita

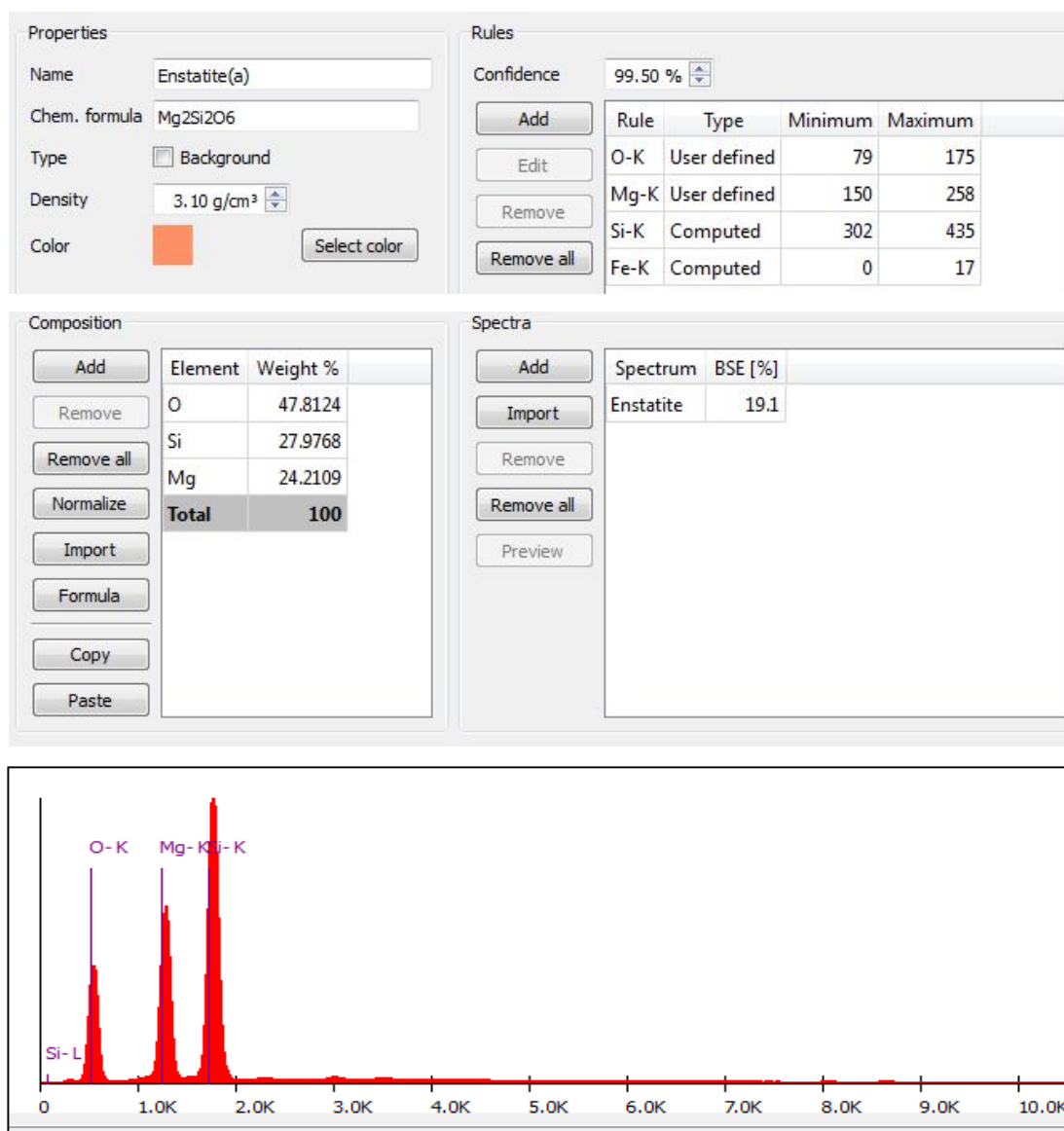


Figura 57: Regras de Classificação, Espectrograma da Enstatita

1.24 Enstatita- (Fe)

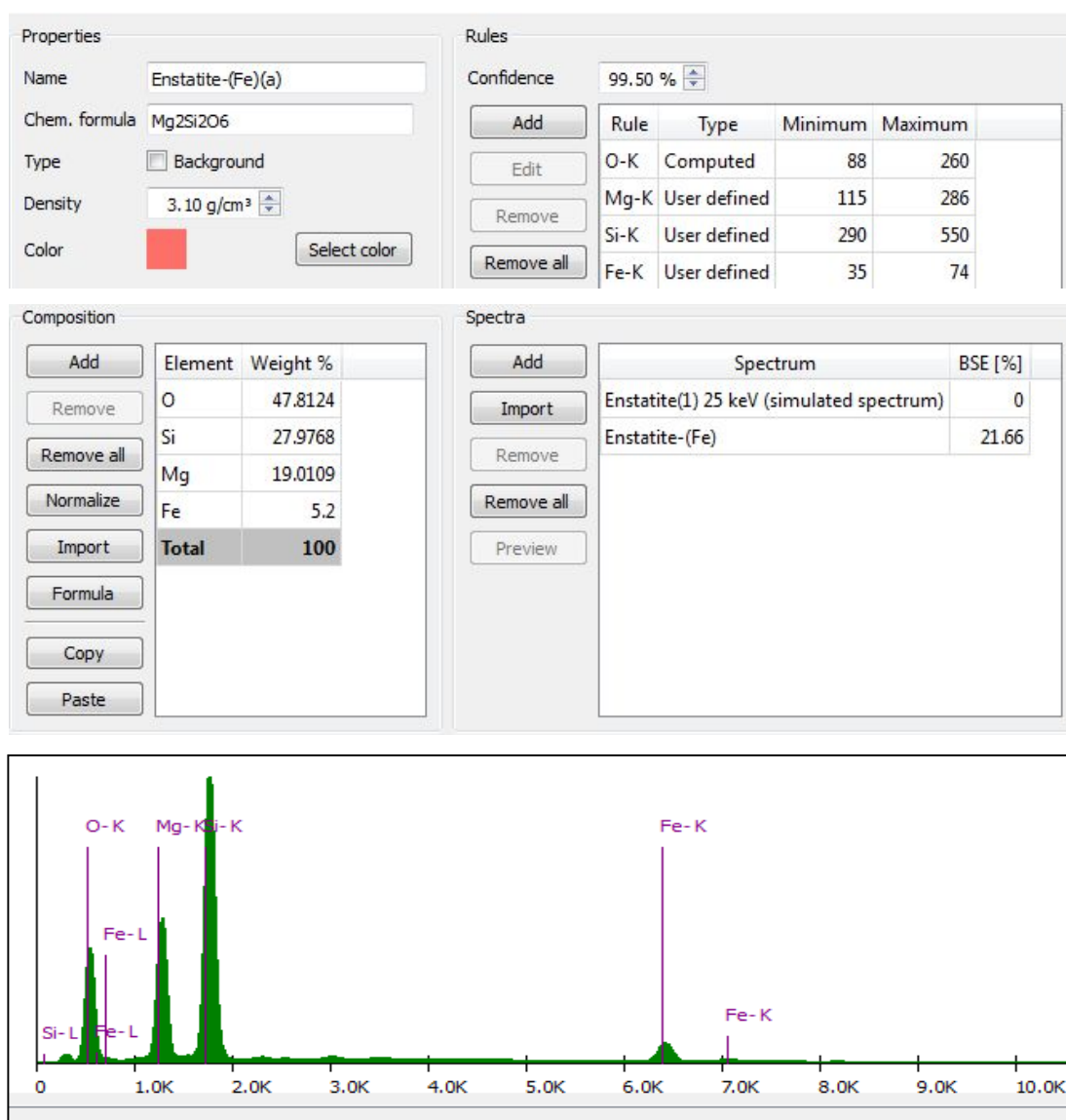


Figura 58: Regras de Classificação, Espectrograma da Enstatita (Fe)

1.25 Epidoto

Properties

Name: Epidote(1)

Chem. formula:

Type: ☐ Background

Density: 3.30 g/cm³

Color: Select color

Import properties and composition

Rules

Confidence: 99.50 %

Add Edit Remove Remove all

Rule	Type	Minimum	Maximum
O-K	User defined	20	100
Al-K	User defined	100	145
Si-K	User defined	140	300
Ca-K	User defined	60	250
Sc-K	User defined	10	24
Fe-K	User defined	30	190

Composition

Add Remove Remove all Normalize Import Formula Copy Paste

Element	Weight %
O	40.0521
Fe	24.1969
Si	16.2249
Ca	15.4353
Al	3.8968
H	0.1941
Total	100

Spectra

Add Import Remove Remove all Preview

Spectrum	BSE [%]
Epidote 25 keV (simulated spectrum)	0
Epidote(2) 25 keV (simulated spectrum)	0
Epidote(3) 25 keV (simulated spectrum)	25.77

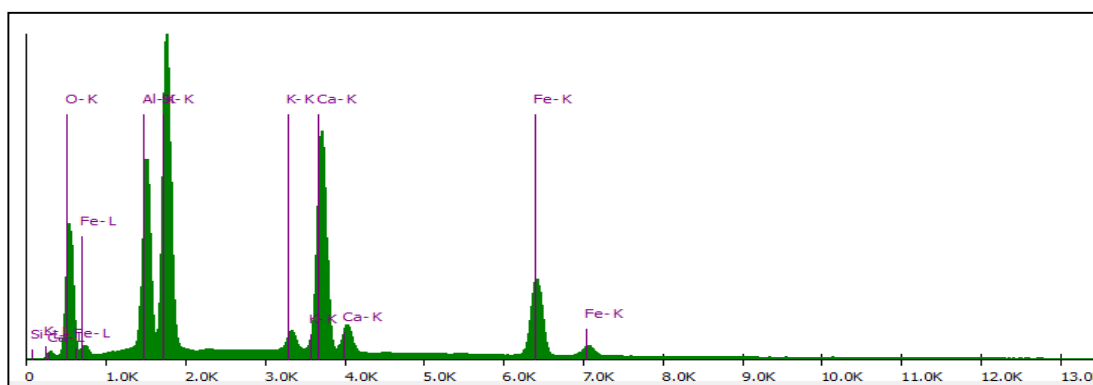


Figura 59: Regras de Classificação, Espectrograma do Epidoto

1.26 . Euclásio

Properties

Name:

Chem. formula:

Type: ☐ Background

Density:

Color:

Rules

Confidence: 99.50 %

Rule	Type	Minimum	Maximum
O-K	User defined	149	165
Al-K	User defined	297	302
Si-K	User defined	260	267
Fe-K	User defined	2	5
As-L	User defined	11	13

Composition

Element	Weight %
O	55.1383
Si	19.3581
Al	18.5972
Be	6.2117
H	0.6947
Total	100

Spectra

Spectrum
Euclase(1) (simulated from chemistry @ 25 keV)
Euclase(2) (simulated from chemistry @ 25 keV)
Euclase(3) (simulated from chemistry @ 25 keV)
Euclase(4) (simulated from chemistry @ 25 keV)
Euclase(5) (simulated from chemistry @ 25 keV)
Euclase(6) (simulated from chemistry @ 25 keV)
Euclase(7) (simulated from chemistry @ 25 keV)
Euclase(8) (simulated from chemistry @ 25 keV)
Euclase(9) (simulated from chemistry @ 25 keV)

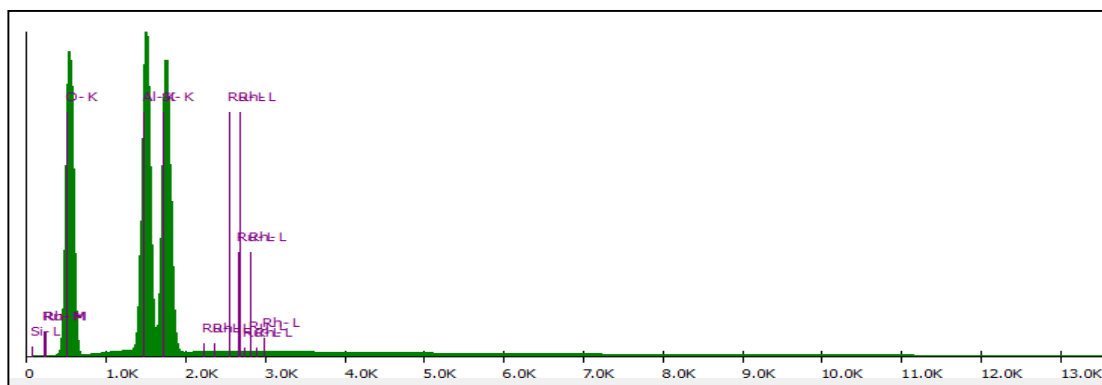


Figura 60: Regras de Classificação, Espectrograma do Euclásio

1.27 . Ferro-Actinolita

Properties

Name: Ferro-Actinolite(a)

Chem. formula: $\text{Ca}_2\text{Fe}_5\text{Si}_8\text{O}_{22}(\text{OH})_2$

Type: ☐ Background

Density: 3.04 g/cm³

Color: Select color

Import properties and composition

Rules

Confidence: 99.50 %

Add Edit Remove Remove all

Rule	Type	Minimum	Maximum
O-K	Computed	32	103
Mg-K	Computed	0	93
Al-K	Computed	1	45
Si-K	Computed	236	360
Ca-K	Computed	131	286
Fe-K	Computed	4	65

Composition

Add Remove Remove all Normalize Import Formula Copy Paste

Element	Weight %
O	39.58
Fe	28.78
Si	23.16
Ca	8.26
H	0.21
Total	99.99

Spectra

Add Import Remove Remove all Preview

Spectrum	BSE [%]
Ferro-Actinolite(1)	23.96
Ferro-Actinolite_sum1	16.3

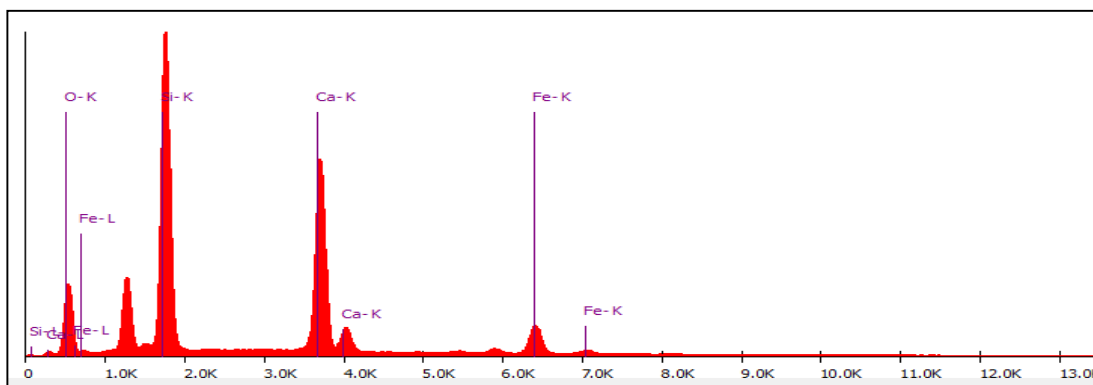


Figura 61: Regras de Classificação, Espectrograma da Ferro- Actinolita

1.28 . Ferrobustamita

Properties

Name:

Chem. formula:

Type: ☐ Background

Density:

Color:

Rules

Confidence: 99.50 %

Rule	Type	Minimum	Maximum
O-K	User defined	25	60
Mg-K	User defined	8	30
Si-K	User defined	9	40
Ca-K	User defined	500	600
Mn-K	User defined	9	25
Fe-K	User defined	9	35
BSE	User defined	20.0	23.9

Composition

Element	Weight %
O	40.0317
Ca	28.4121
Si	23.424
Fe	6.9867
Mn	1.1455
Total	100

Spectra

Spectrum	BSE [%]
Ferrobustamite	20.4

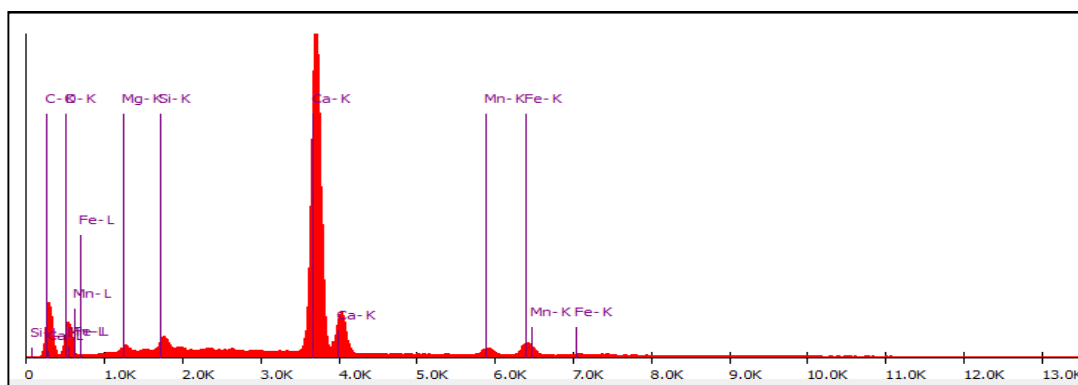


Figura 70: Regras de Classificação, Espectrograma Ferrobustamita

1.29 . Ferrocapholita

Properties

Name: Ferrocapholite

Chem. formula: $(\text{Fe,Mg})\text{Al}_2\text{Si}_2\text{O}_6(\text{OH})_4$

Type: ☐ Background

Density: 3.04 g/cm³

Color: Select color

Import properties and composition

Rules

Confidence: 99.50 %

Add Edit Remove Remove all

Rule	Type	Minimum	Maximum
O-K	Computed	94	182
Al-K	Computed	190	308
Si-K	Computed	183	302
Ca-K	User defined	5	22
Mn-K	User defined	8	15
Fe-K	Computed	21	77

Composition

Add Remove Remove all Normalize Import Formula Copy Paste

Element	Weight %
O	48.6421
Si	17.5618
Al	15.5417
Fe	15.3102
Mg	1.4973
H	1.1301
Mn	0.1692
Ti	0.1475
Total	99.9999

Spectra

Add Import Remove Remove all Preview

Spectrum	BSE [%]
Ferrocapholite_sum1	19.13

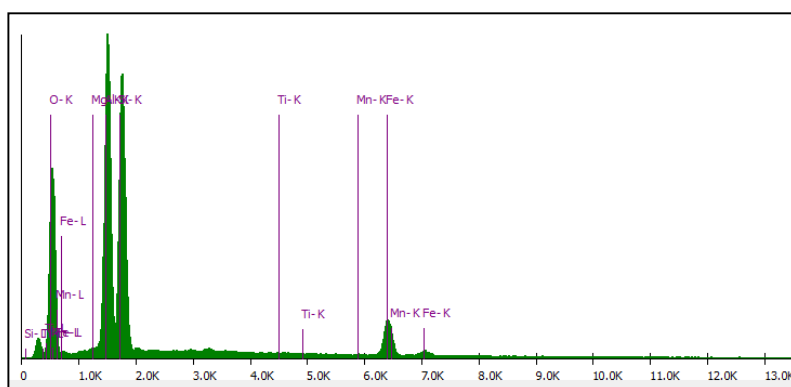


Figura 62: Regras de Classificação, Espectrograma da Ferrocapholita

1.30 Ferrogdrita


Properties

Name: Ferrogdrita

Chem. formula: []Fe++5Al2Si6Al2O22(OH)2

Type: ☐ Background

Density: 3.57 g/cm³

Color:  Select color

Rules

Confidence: 99.50 %

Add Edit Remove Remove all

Rule	Type	Minimum	Maximum
O-K	Computed	85	170
Al-K	Computed	7	44
Si-K	Computed	190	304
Mn-K	Computed	22	72
Fe-K	Computed	138	241

Composition

Add Remove Remove all Normalize Import Formula Copy Paste

Element	Weight %
O	40.7768
Fe	29.653
Si	17.895
Al	11.4611
H	0.2141
Total	100

Spectra

Add Import Remove Remove all Preview

Spectrum	BSE [%]
Ferrogdrite_sum1	27.64

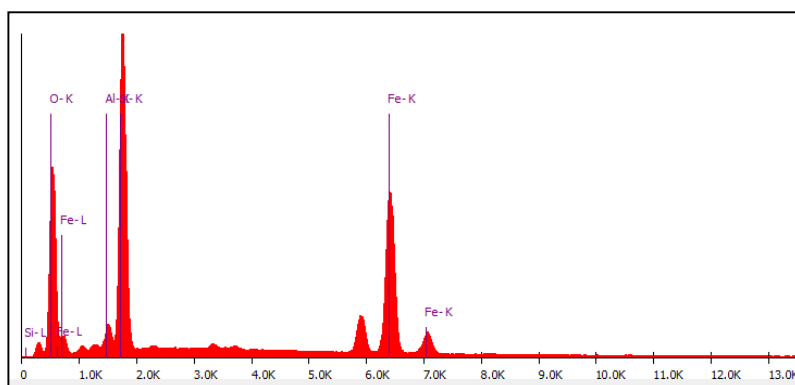


Figura 63: Regras de Classificação, Espectrograma da Ferrogdrita

1.31 Ferrosaponita

Properties

Name: Ferrosaponite

Chem. formula: $(\text{Fe}, \text{Mg}, \text{Fe})_3(\text{Si}, \text{Al})_4\text{O}_{10}(\text{OH})_2 \cdot 4(\text{H}_2\text{O})$

Type: ☐ Background

Density: 2.49 g/cm³

Color: Select color

Import properties and composition

Comments

Rules

Confidence: 99.50 %

Rule	Type	Minimum	Maximum
O-K	User defined	50	193
F-K	User defined	2	10
Mg-K	User defined	20	97
Al-K	User defined	43	120
Si-K	Computed	98	201
K-K	User defined	3	53
Fe-K	User defined	140	264

Composition

Element	Weight %
O	48.6221
Fe	22.3816
Si	15.3099
Al	5.176
Mg	3.924
Ca	2.3598
H	1.9776
Na	0.1747
K	0.0743
Total	100

Spectra

Spectrum	BSE [%]
Ferrosaponite2	27
Ferrosaponite	25

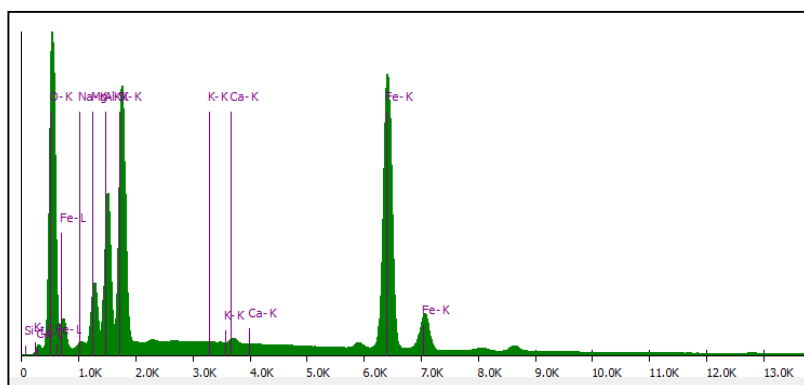


Figura 64: Regras de Classificação, Espectrograma da Ferrosaponita

1.32 Fluorvesuvianita

Properties

Name: Fluorvesuvianite(1)

Chem. formula: $19(\text{Al},\text{Mg})_{13}[\text{SiO}_4]_{10}[\text{Si}_2\text{O}_7]_4(\text{F},\text{OH})_{10}$

Type: ☐ Background

Density: 3.46 g/cm³

Color: Select color

Rules

Confidence: 99.50 %

Rule	Type	Minimum	Maximum
Mg-K / O-K	User defined	0.03	0.04
Al-K / O-K	User defined	0.27	0.43
Si-K / O-K	User defined	0.52	0.77
Ca-K / O-K	User defined	1.03	1.16
Fe-K / O-K	User defined	0.10	0.20

Composition

Element	Weight %
O	38.6932
Ca	26.1853
Si	17.3663
Al	9.5878
F	4.6703
Fe	2.205
Mg	1.1599
Mn	0.0754
H	0.0568
Total	100

Spectra

Spectrum	BSE
Fluorvesuvianite 25 keV (simulated spectrum)	
Fluorvesuvianite(1) 25 keV (simulated spectrum)	
Fluorvesuvianite(2) 25 keV (simulated spectrum)	
Fluorvesuvianite(3) 25 keV (simulated spectrum)	
Fluorvesuvianite(4) 25 keV (simulated spectrum)	
Fluorvesuvianite(5) 25 keV (simulated spectrum)	

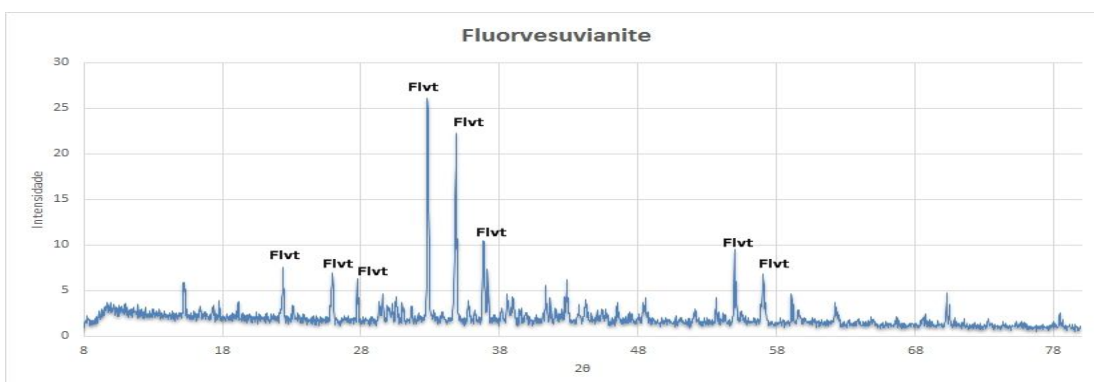
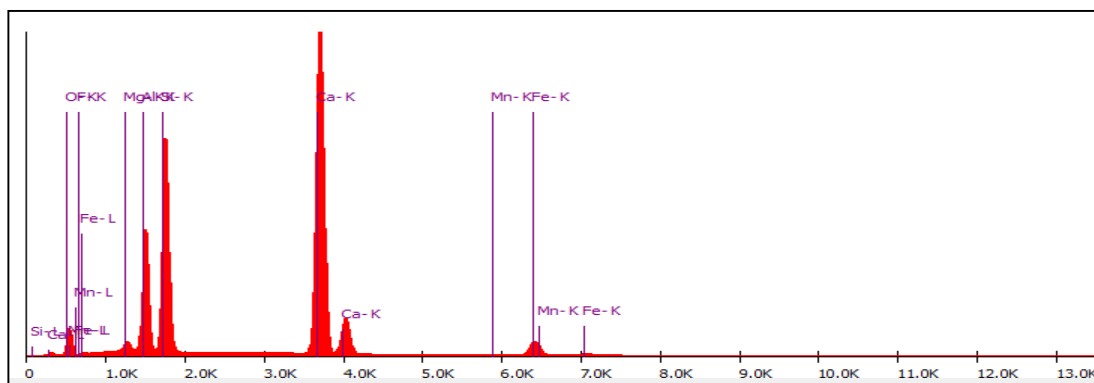


Figura 65: Regras de Classificação, Espectrograma da Fluorvesuvianita

1.33 Forsterita

Properties

Name

Chem. formula

Type ☐ Background

Density

Color

Rules

Confidence

Rule	Type	Minimum	Maximum
O-K	User defined	135	145
Mg-K	User defined	310	365
Si-K	User defined	200	220
Fe-K	User defined	45	65
Dy-L	User defined	25	55

Composition

Element	Weight %
O	45.4874
Mg	34.5504
Si	19.9622
Total	100

Spectra

Spectrum	BSE [%]
Forsterite(1) 25 keV (simulated spectrum)	0
Forsterite(2) 25 keV (simulated spectrum)	18.41

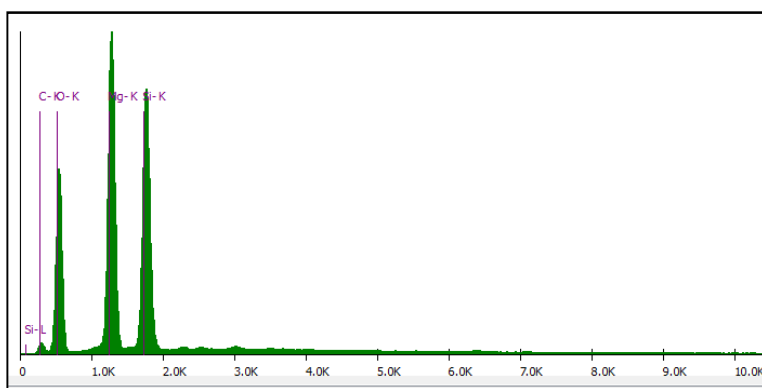


Figura 66: Regras de Classificação, Espectrograma da Forsterita

1.34 Fuchsite

Properties

Name: Fuchsite(1)

Chem. formula: $K(Al,Cr)_3Si_3O_{10}(OH)_2$

Type: ☐ Background

Density: 2.78 g/cm³

Color: Select color

Import properties and composition

Rules

Confidence: 99.50 %

Add Edit Remove Remove all

Rule	Type	Minimum	Maximum
O-K	User defined	10	115
Na-K	User defined	10	15
Al-K	User defined	200	255
Si-K	User defined	240	300
K-K	User defined	100	125
Cr-K	User defined	12	20

Composition

Add Remove Remove all Normalize Import Formula Copy Paste

Element	Weight %
O	47.3514
Si	21.1325
Al	20.3018
K	9.8063
F	0.953
H	0.455
Total	100

Spectra

Add Import Remove Remove all Preview

Spectrum	BSE [%]
Fuchsite(1)	20.11

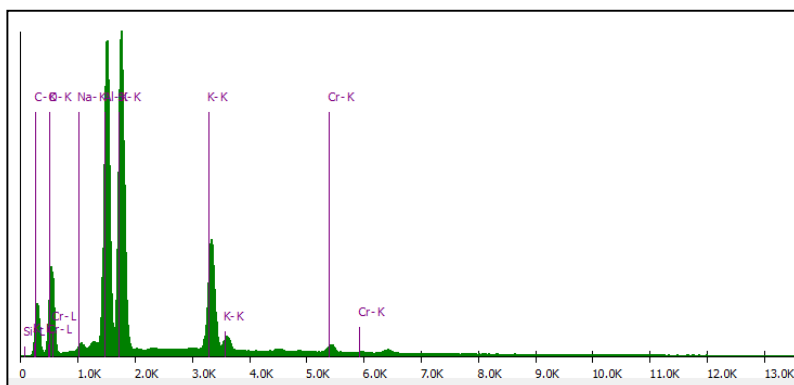


Figura 67: Regras de Classificação, Espectrograma da Fuchsite

1.35 Garnierita

Properties

Name:

Chem. formula:

Type: ☐ Background

Density:

Color:

Rules

Confidence: 99.50 %

Add Edit Remove Remove all

Rule	Type	Minimum	Maximum
O-K	User defined	120	175
Mg-K	User defined	160	240
Si-K	User defined	235	265
Fe-K	User defined	20	65
Ni-K	User defined	23	52

Composition

Add Remove Remove all Normalize Import Formula Copy Paste

Element	Weight %
O	49.0004
Ni	23.4452
Si	22.4389
Mg	3.2364
H	1.879
Total	99.9999

Spectra

Add Import Remove Remove all Preview

Spectrum	BSE [%]
----------	---------

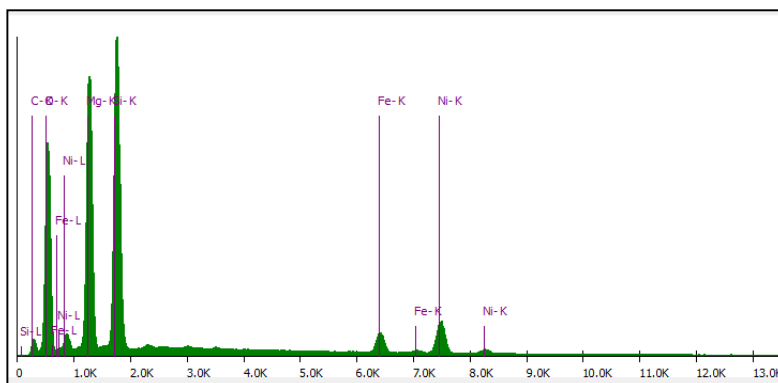


Figura 68: Regras de Classificação, Espectrograma da Garnierita

1.36 Grossular

Properties

Name:

Chem. formula:

Type: ☐ Background

Density:

Color:

Rules

Confidence: 99.50 %

Rule	Type	Minimum	Maximum
O-K	User defined	50	65
Al-K	User defined	130	145
Si-K	User defined	210	225
Ca-K	User defined	300	335
Fe-K	User defined	10	16

Composition

Element	Weight %
O	42.6228
Ca	26.6922
Si	18.7051
Al	11.9799
Total	100

Spectra

Spectrum	BSE [%]
Grossular 25 keV (simulated spectrum)	
Grossular(1) 25 keV (simulated spectrum)	
Grossular(2) 25 keV (simulated spectrum)	
Grossular(3) 25 keV (simulated spectrum)	
Grossular(4) 25 keV (simulated spectrum)	
Grossular(5) 25 keV (simulated spectrum)	
Grossular(6) 25 keV (simulated spectrum)	
Grossular(7) 25 keV (simulated spectrum)	
Grossular(8) 25 keV (simulated spectrum)	

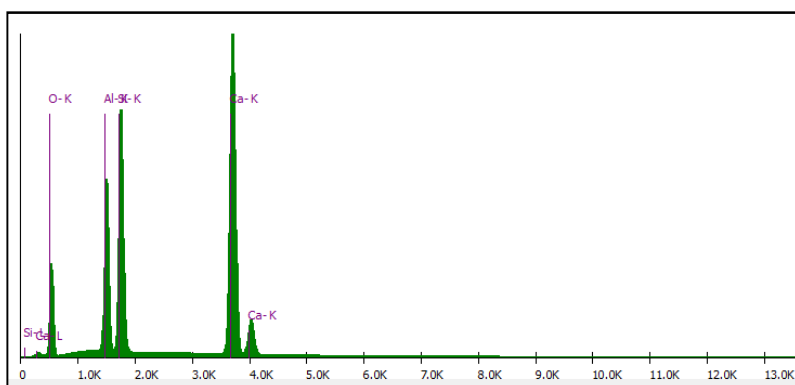


Figura 69: Regras de Classificação, Espectrograma do Grossular

1.37 Grunerita

Properties

Name: Grunerite(1)

Chem. formula:

Type: ☐ Background

Density: 3.40 g/cm³

Color: Select color

Rules

Confidence: 99.50 %

Add
Edit
Remove
Remove all

Rule	Type	Minimum	Maximum
O-K	User defined	86	160
Si-K	User defined	240	360
Fe-K	User defined	180	255
Co-K	User defined	9	30

Composition

Add
Remove
Remove all
Normalize
Import
Formula
Copy
Paste

Element	Weight %
Fe	39.0299
O	38.3367
Si	22.4322
H	0.2013
Total	100

Spectra

Add
Import
Remove
Remove all
Preview

Spectrum BSE [%]

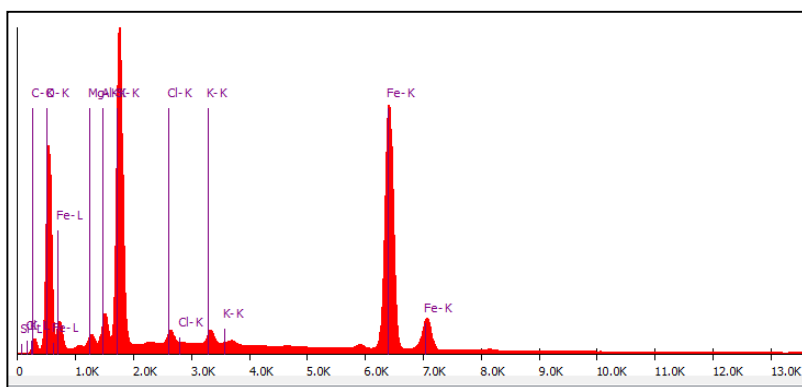


Figura 70: Regras de Classificação, Espectrograma da Grunerita

1.38 Hastingsita

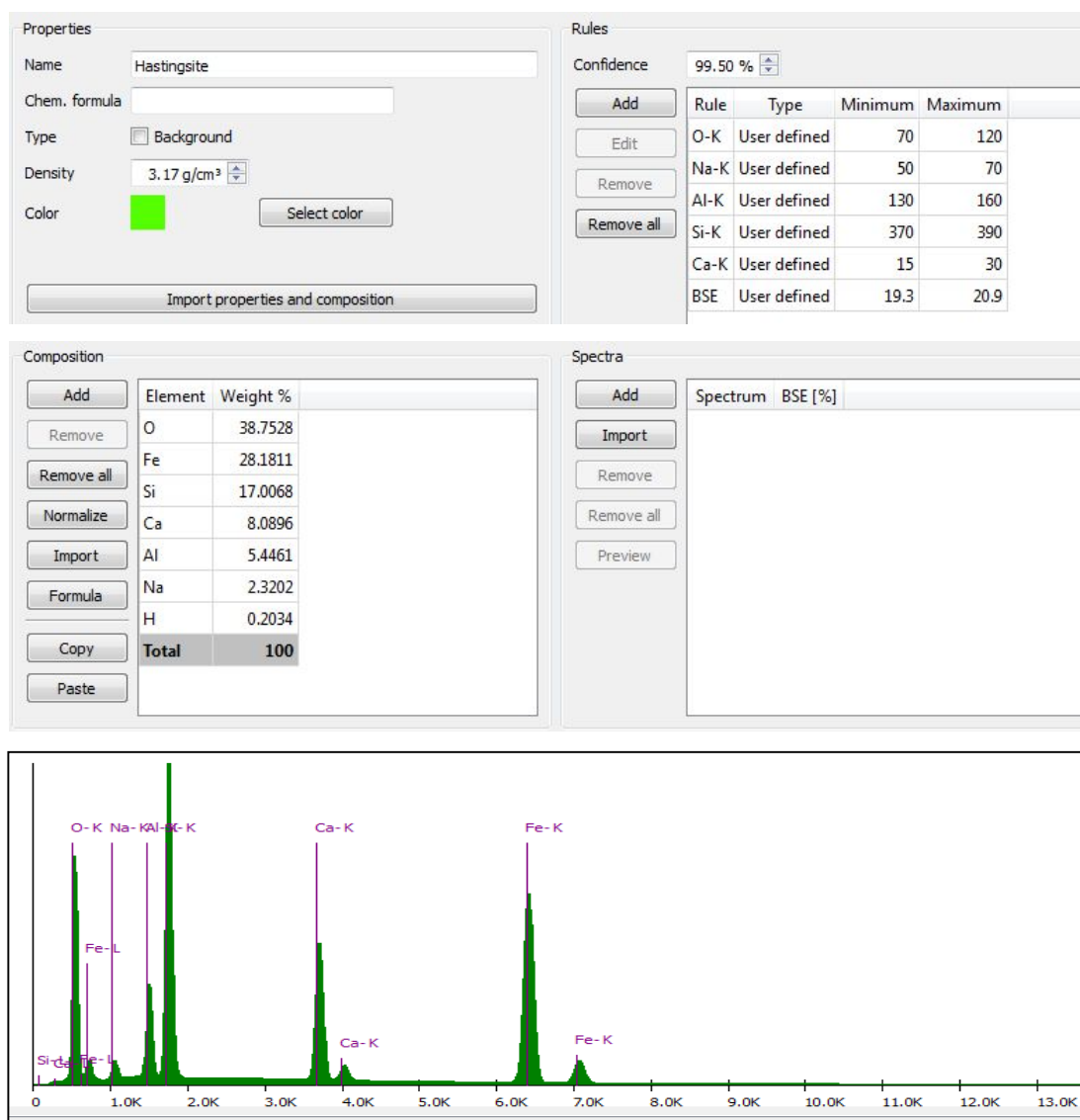


Figura 71: Regras de Classificação, Espectrograma da Hastingsita

1.39 Hornblenda

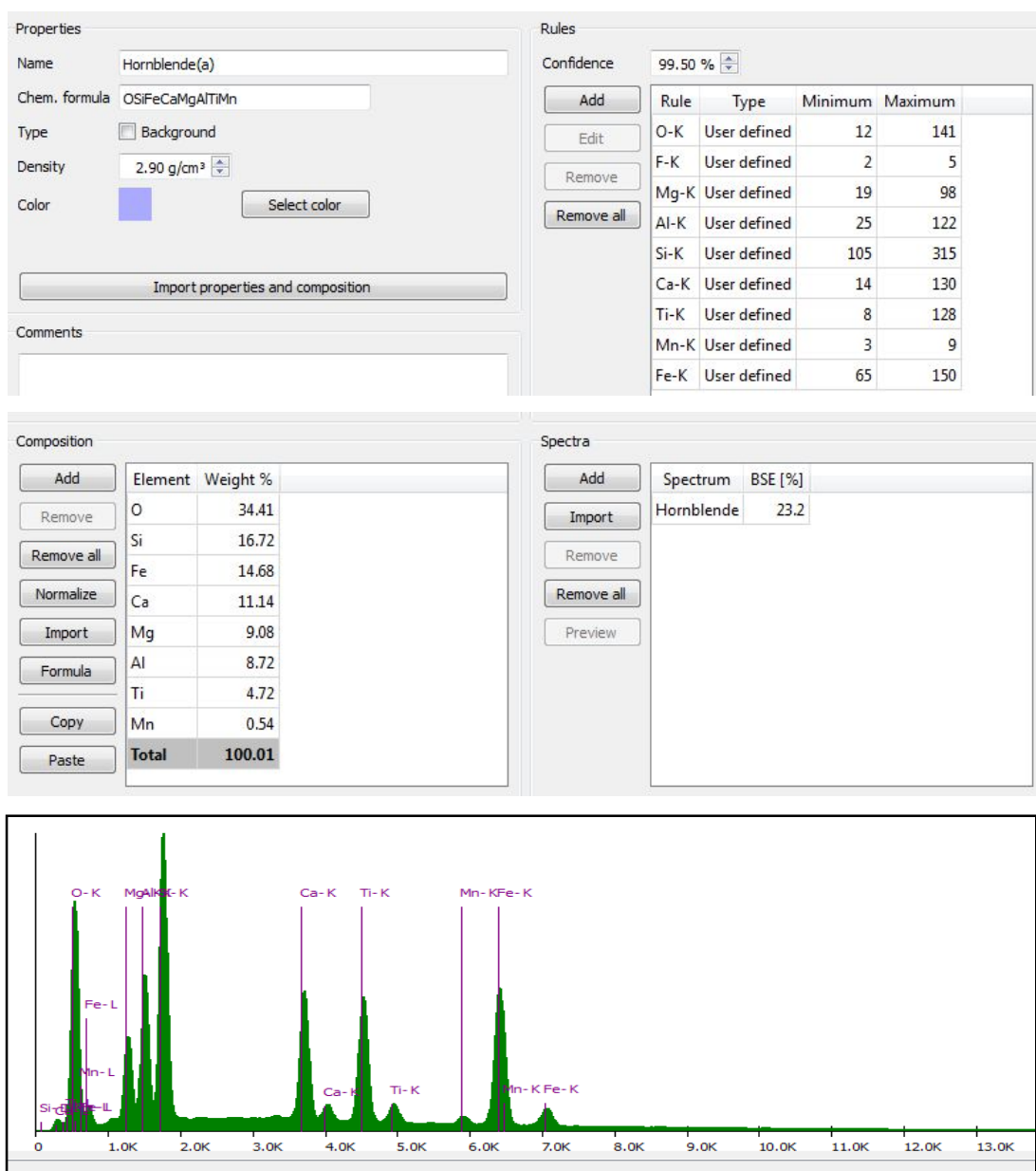


Figura 72: Regras de Classificação, Espectrograma da Hornblenda

1.40 Kaersutita

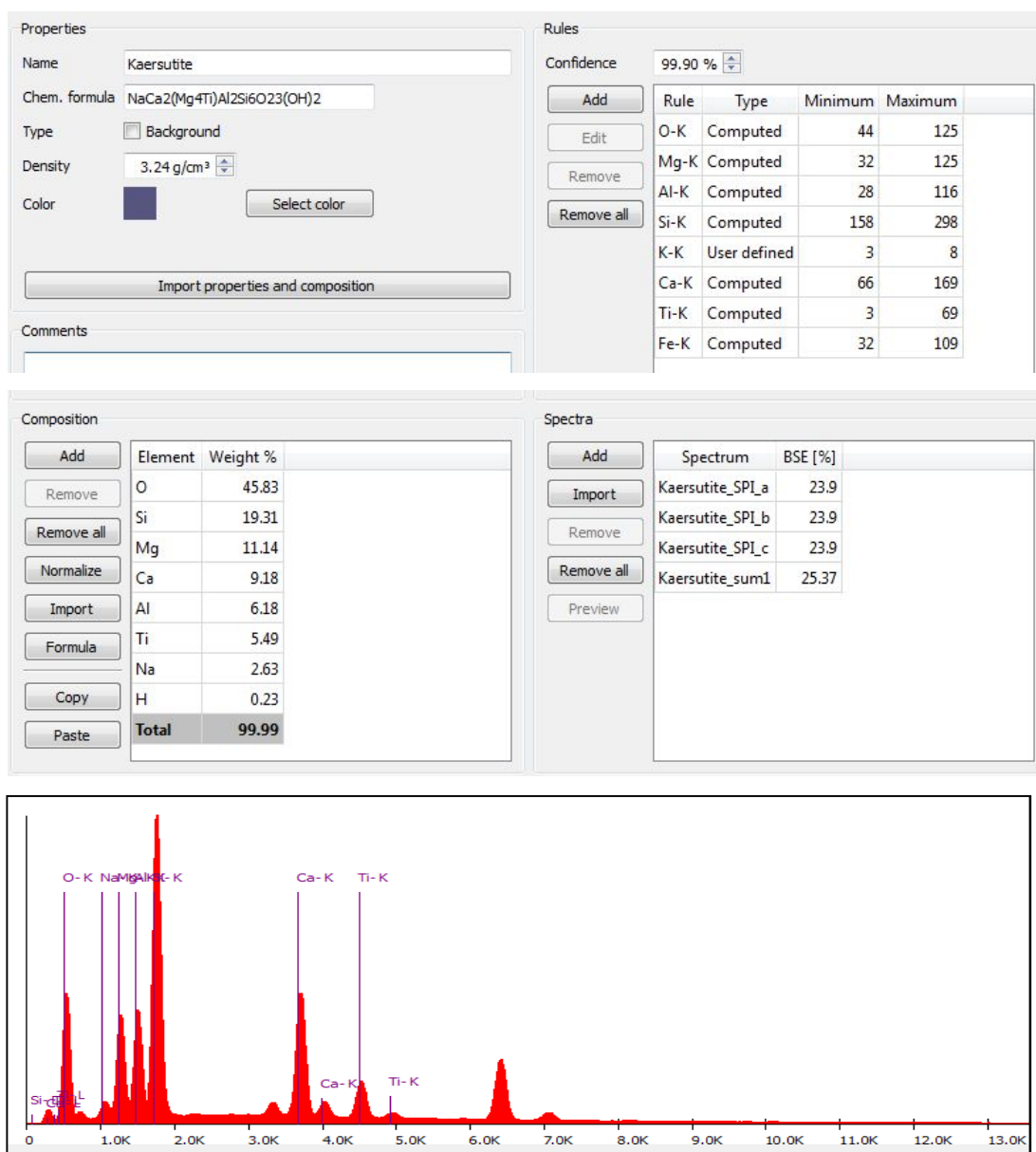


Figura 73: Regras de Classificação, Espectrograma da Kaersutita

1.41 Caolinita

Properties

Name: Kaolinite - Halloysite(1)

Chem. formula: $\text{Al}_2(\text{Si}_2\text{O}_5)(\text{OH})_4$

Type: ☐ Background

Density: 2.60 g/cm³

Color: Select color

Rules

Confidence: 99.50 %

Rule	Type	Minimum	Maximum
O-K	User defined	50	176
Al-K	Computed	233	361
Si-K	Computed	147	308
K-K	User defined	5	21
Fe-K	User defined	0	30

Composition

Element	Weight %
O	55.7772
Si	21.7582
Al	20.9029
H	1.5617
Total	100

Spectra

Spectrum	BSE [%]
Kaolinite2	18.1
Kaolinite	18.2

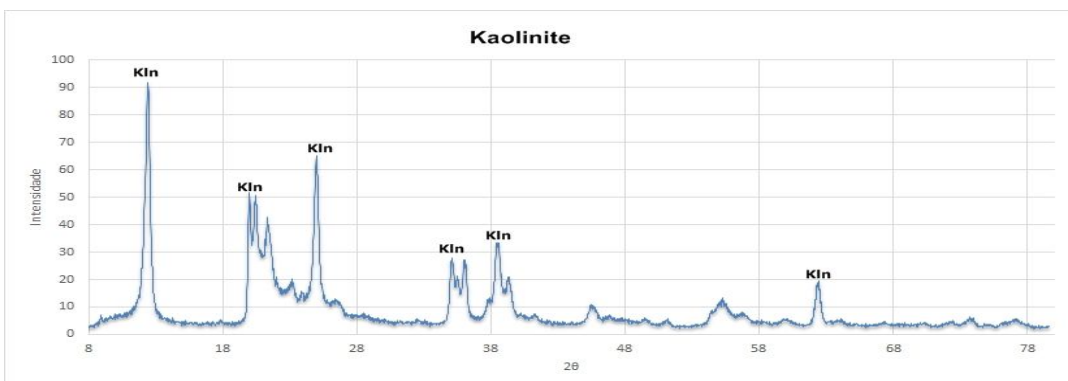
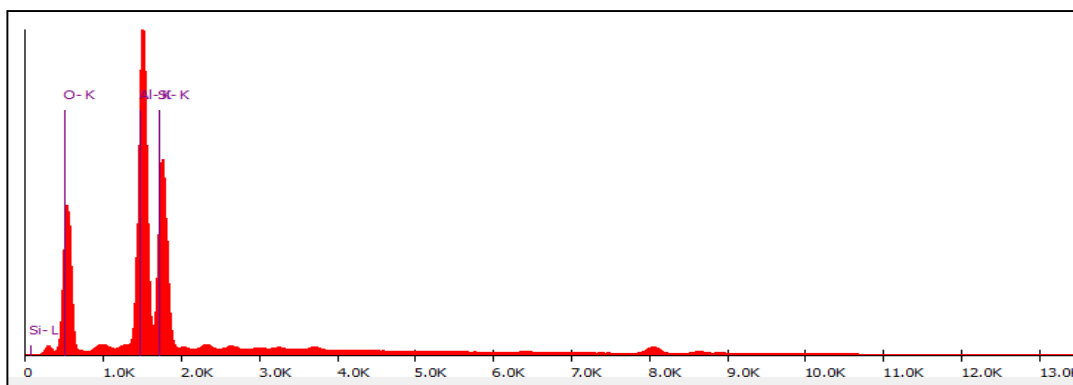


Figura 74: Regras de Classificação, Espectrograma da Caolinita

1.42 K Feldspato

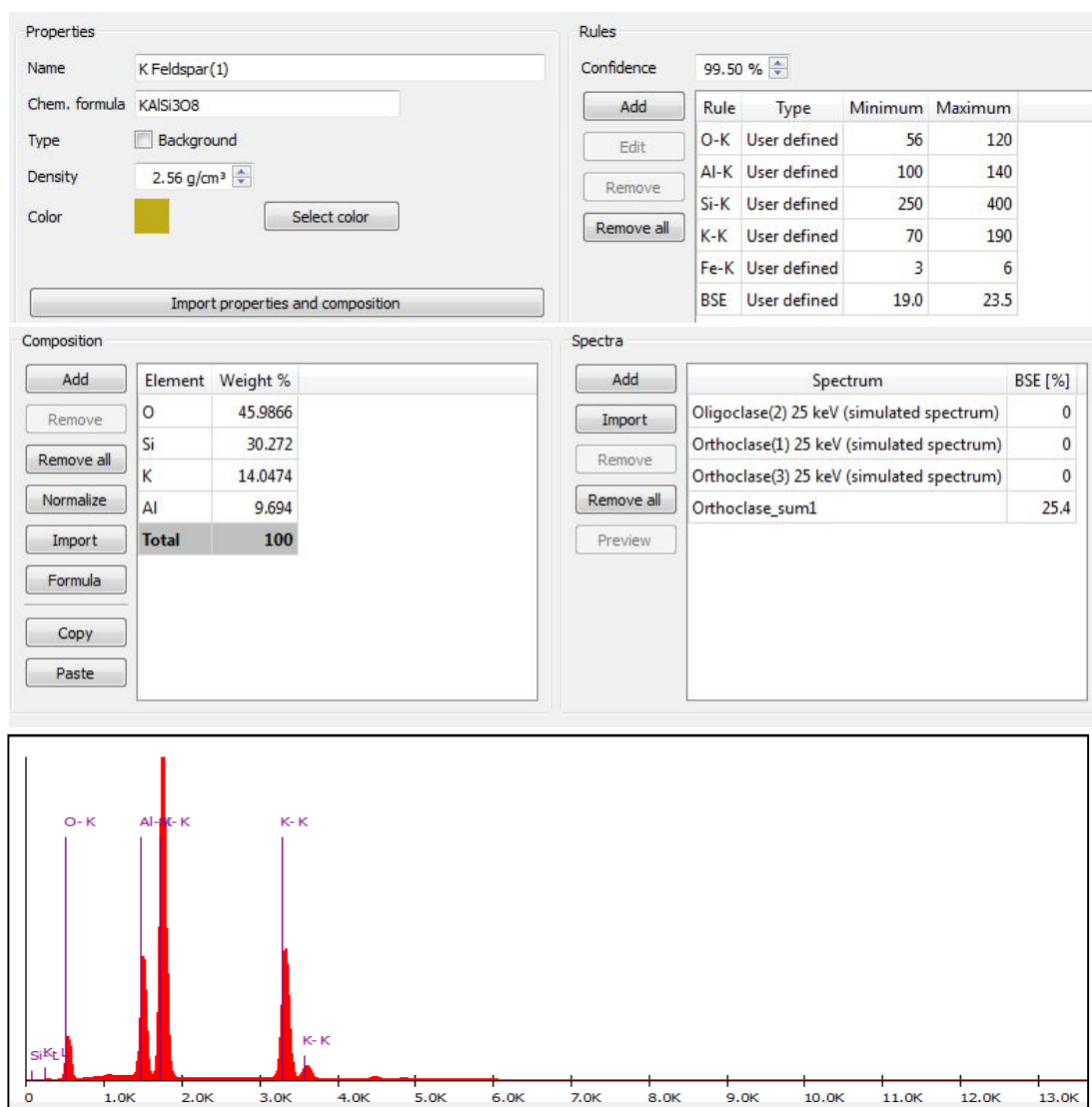


Figura 75: Regras de Classificação, Espectrograma do K Feldspato

1.43 Cianita-Andalusita-Sillimanita

Properties

Name: Kyanite-Andalusite-Sillimanite(a)

Chem. formula: Al_2SiO_5

Type: ☐ Background

Density: 3.56 g/cm³

Color: Select color

Import properties and composition

Comments

Rules

Confidence: 99.50 %

Add Edit Remove Remove all

Rule	Type	Minimum	Maximum
O-K	User defined	57	220
Na-K	User defined	2	30
Mg-K	User defined	5	10
Al-K	User defined	250	750
Si-K	User defined	66	250
K-K	User defined	2	6
Ca-K	User defined	5	32
Mn-K	User defined	2	15

Composition

Add Remove Remove all Normalize Import Formula Copy Paste

Element	Weight %
O	49.367
Al	33.3012
Si	17.3319
Total	100

Spectra

Add Import Remove Remove all Preview

Spectrum	BSE
Kyanite2	1
Kyanite(1) 25 keV (simulated spectrum)	
Kyanite(2) (simulated from chemistry @ 25 keV)	
Kyanite(3) (simulated from chemistry @ 25 keV)	
Kyanite(4) (simulated from chemistry @ 25 keV)	
Kyanite(5) (simulated from chemistry @ 25 keV)	
Kyanite	1

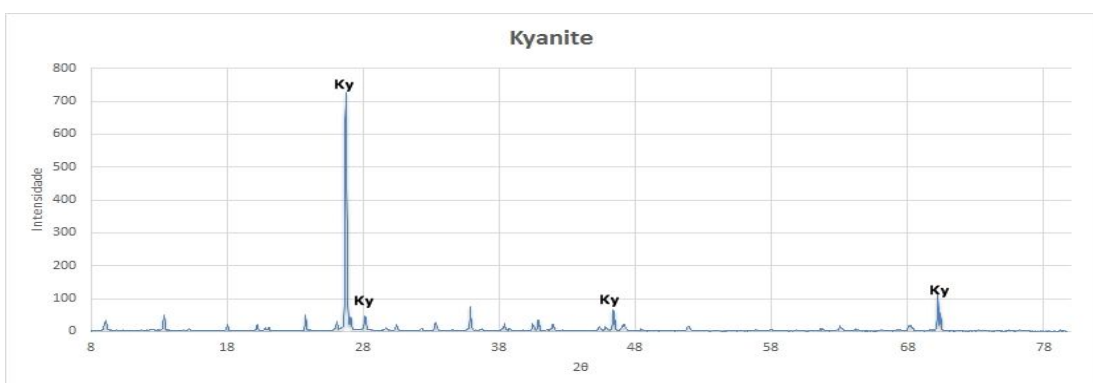
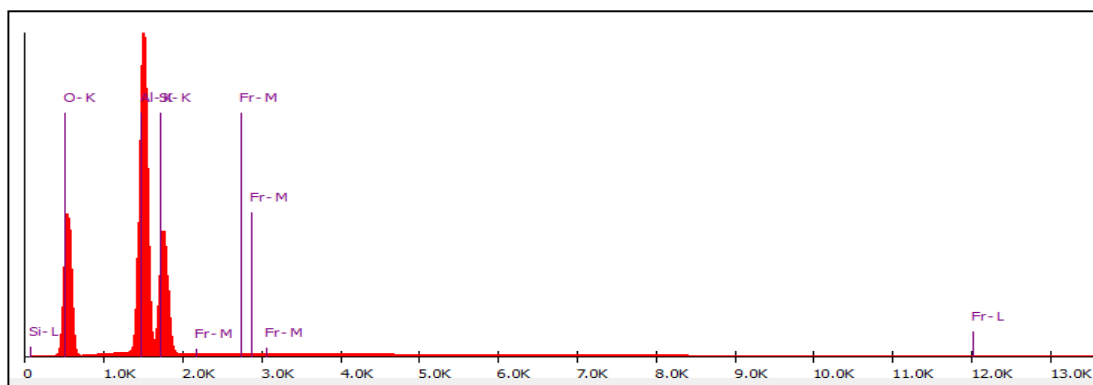


Figura 85: Regras de Classificação, Espectrograma da Cianita.

1.44 Labradorita

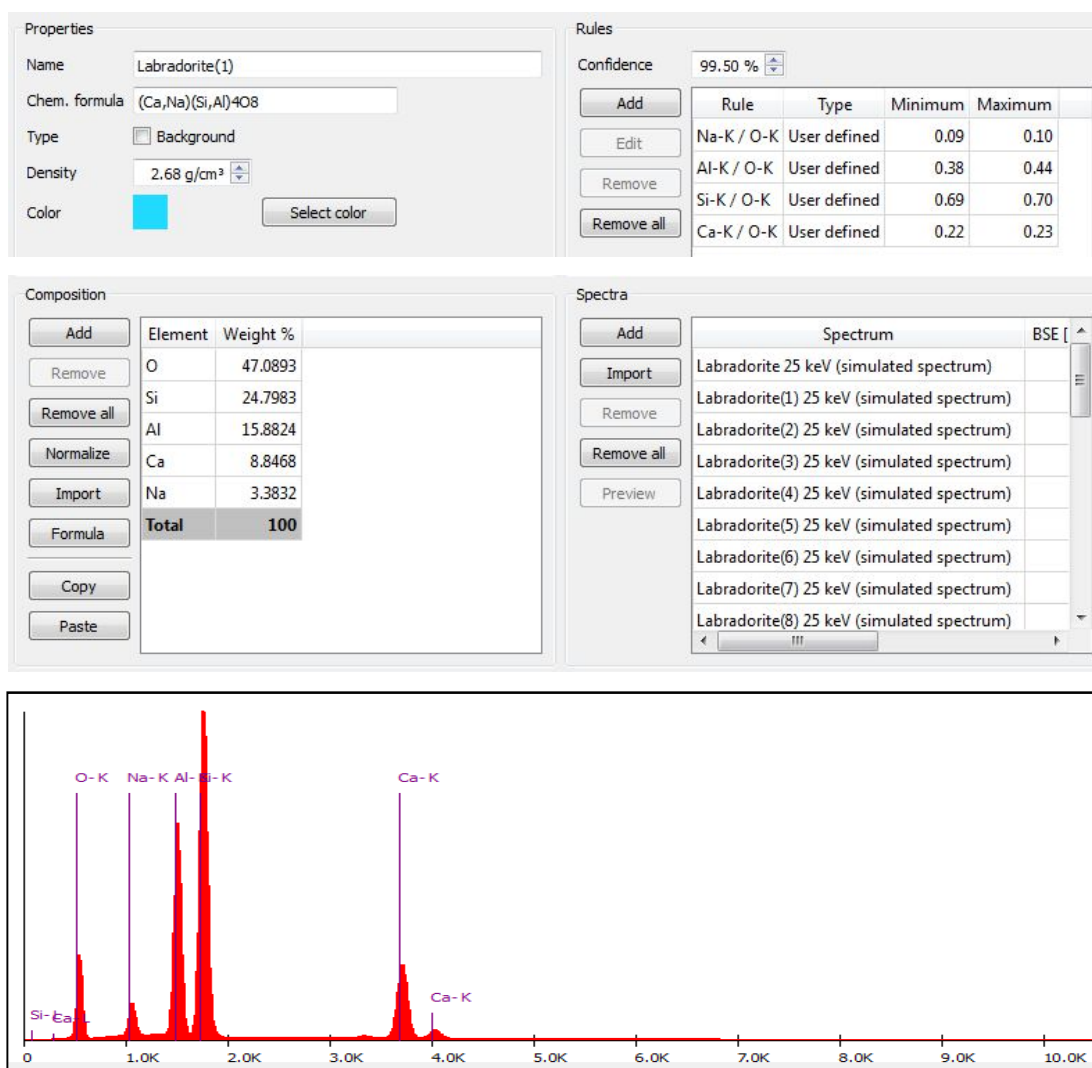


Figura 86: Regras de Classificação, Espectrograma da Labradorita

1.45 Lepidolita

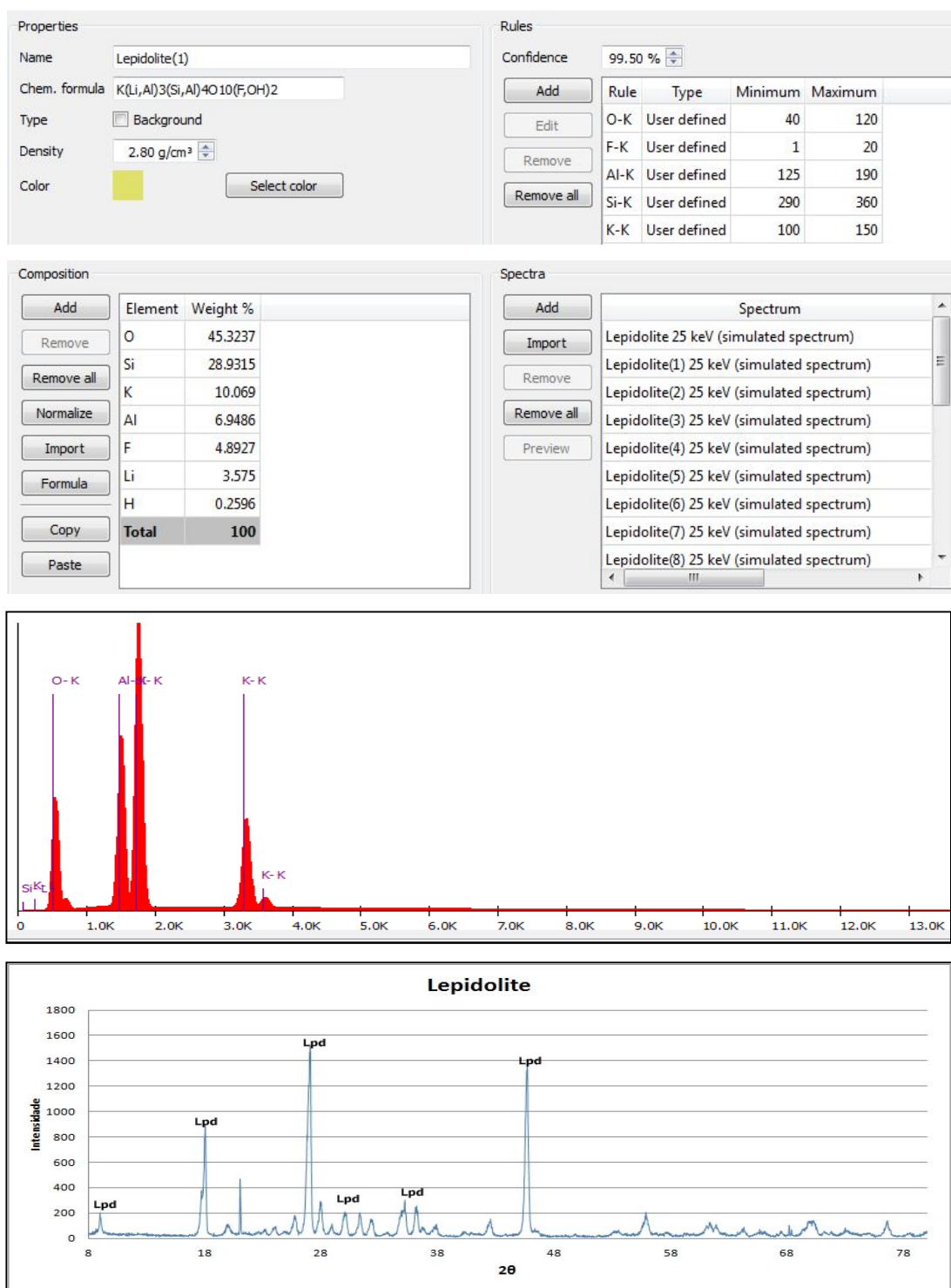


Figura 76: Regras de Classificação, Espectrograma e Difratoograma da Lepidolita

1.46 Leucita

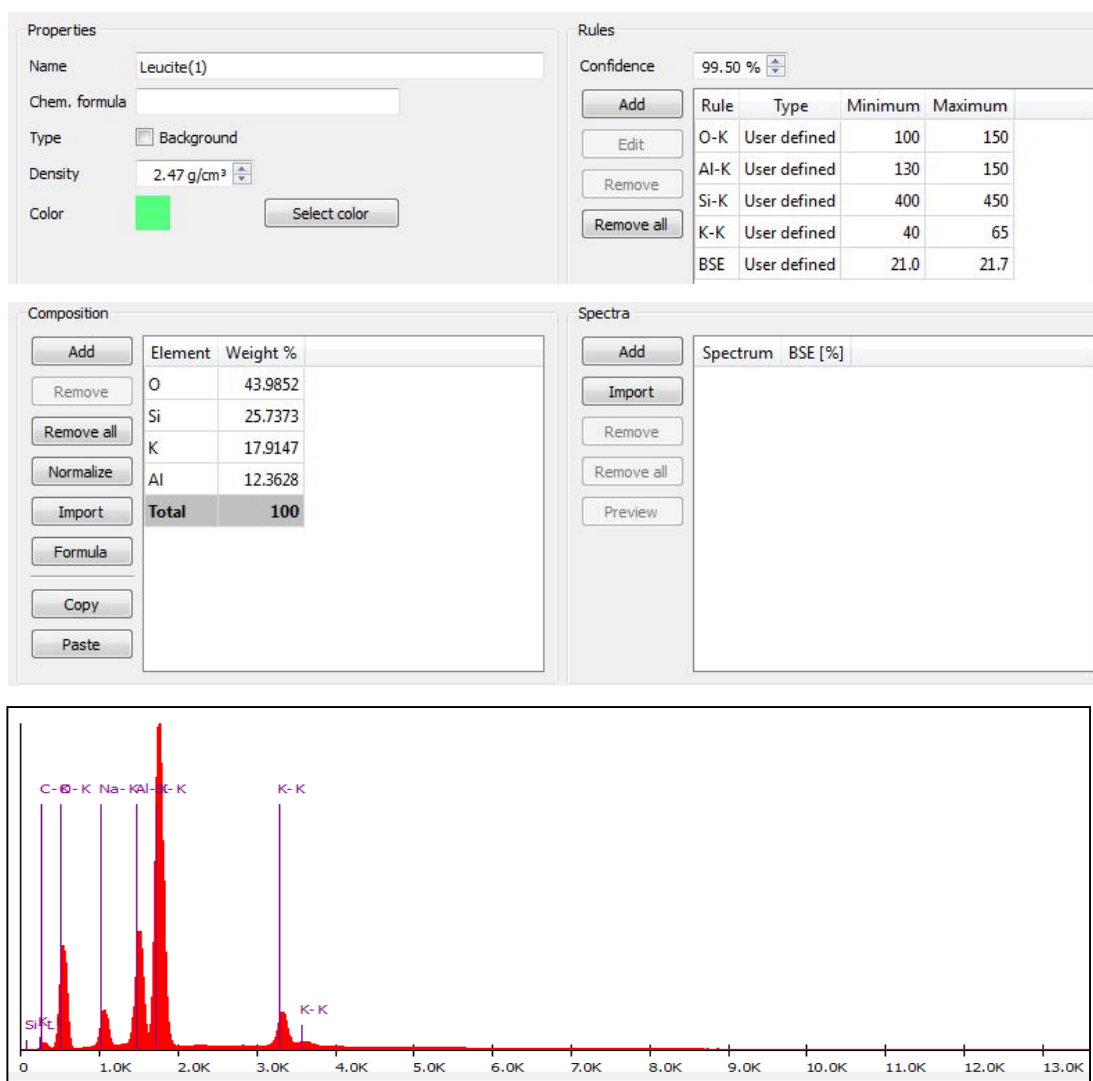


Figura 77: Regras de Classificação, Espectrograma da Leucita

1.47 Marialita

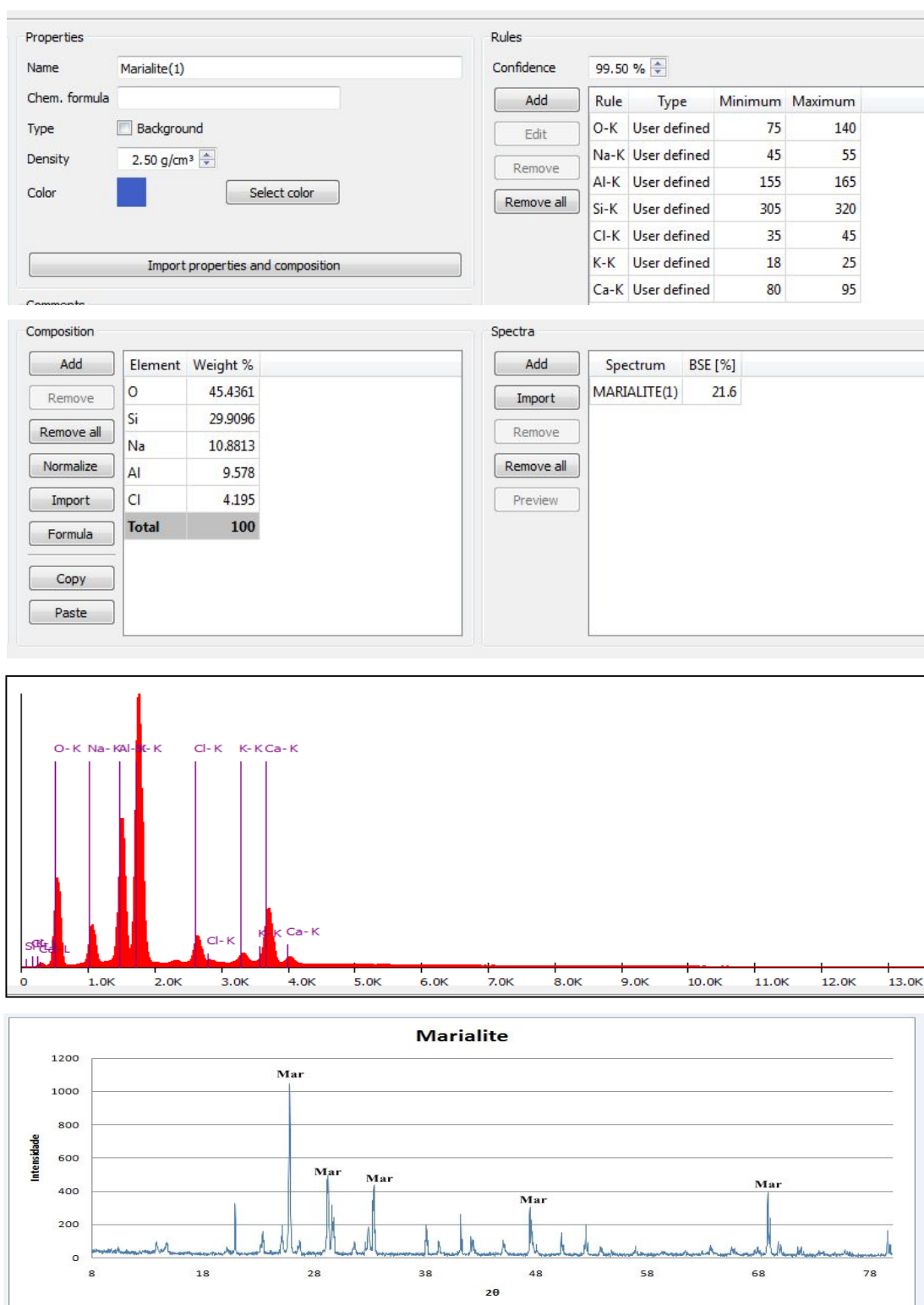


Figura 78: Regras de Classificação, Espectrograma e Difratoograma da Marialita

1.48 Magnesiogedrita

Properties

Name: Magnesiogedrite(a)

Chem. formula: $(\text{Mg,Fe})_5\text{Al}_2\text{Si}_6\text{Al}_2\text{O}_{22}(\text{OH})_2$

Type: ☐ Background

Density: 3.26 g/cm³

Color: Select color

Import properties and composition

Rules

Confidence: 99.50 %

Add Edit Remove Remove all

Rule	Type	Minimum	Maximum
O-K	Computed	111	203
Mg-K	Computed	31	172
Al-K	Computed	70	236
Si-K	Computed	106	251
Ca-K	User defined	18	25
Fe-K	User defined	50	98

Composition

Add Remove Remove all Normalize Import Formula Copy Paste

Element	Weight %
O	45.33
Si	19.89
Fe	13.19
Al	12.74
Mg	8.61
H	0.24
Total	100

Spectra

Add Import Remove Remove all Preview

Spectrum	BSE [%]
Magnesiogedrite_sum1	23.31
Magnesiogedrite_sum2	20.92

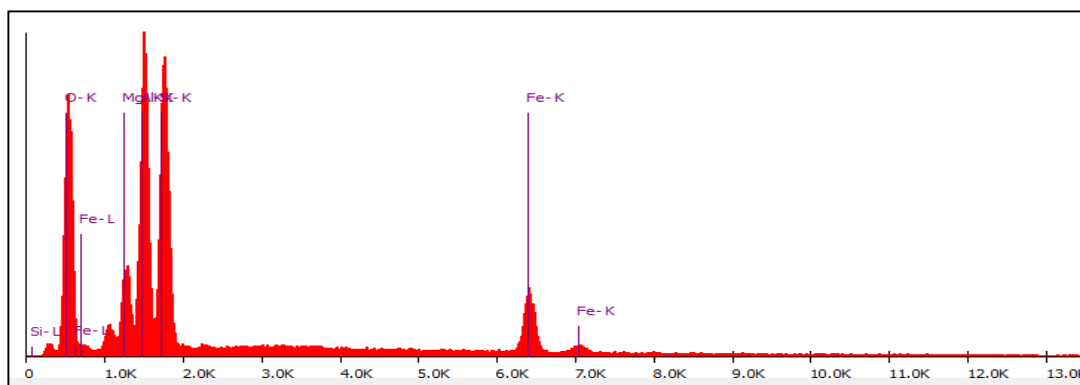


Figura 79: Regras de Classificação, Espectrograma da Magnesiogedrita

1.49 Microclina

Properties

Name:

Chem. formula:

Type: ☐ Background

Density:

Color:

Rules

Confidence: 99.50 %

Rule	Type	Minimum	Maximum
O-K	User defined	55	85
Al-K	User defined	125	150
Si-K	User defined	370	385
K-K	User defined	150	175

Composition

Element	Weight %
O	45.9866
Si	30.272
K	14.0474
Al	9.694
Total	100

Spectra

Spectrum	BSE [%]
Microcline 25 keV (simulated spectrum)	0
Microcline(1) 25 keV (simulated spectrum)	0
Microcline(2) 25 keV (simulated spectrum)	0
Microcline(3) 25 keV (simulated spectrum)	0

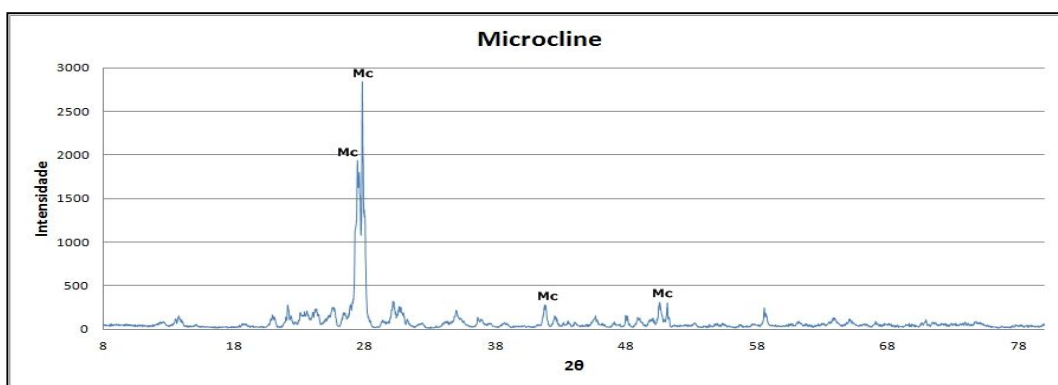
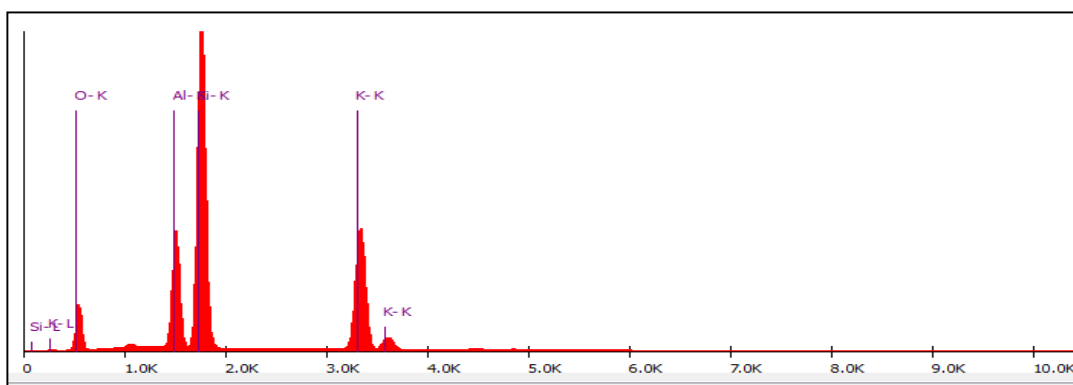


Figura 80: Regras de Classificação, Espectrograma e Difratoograma da Microclina

1.50 Montmorilonita

Properties

Name:

Chem. formula:

Type: ☐ Background

Density:

Color:

Rules

Confidence: 99.50 %

Rule	Type	Minimum	Maximum
O-K	User defined	140	180
Na-K	User defined	15	25
Al-K	User defined	230	250
Si-K	User defined	200	230
Ca-K	User defined	10	30
BSE	User defined	19.5	20.5

Composition

Element	Weight %
O	64.1057
Si	20.4603
Al	9.828
H	4.0386
Na	0.8374
Ca	0.7299
Total	99.9999

Spectra

Spectrum	BSE [%]
----------	---------

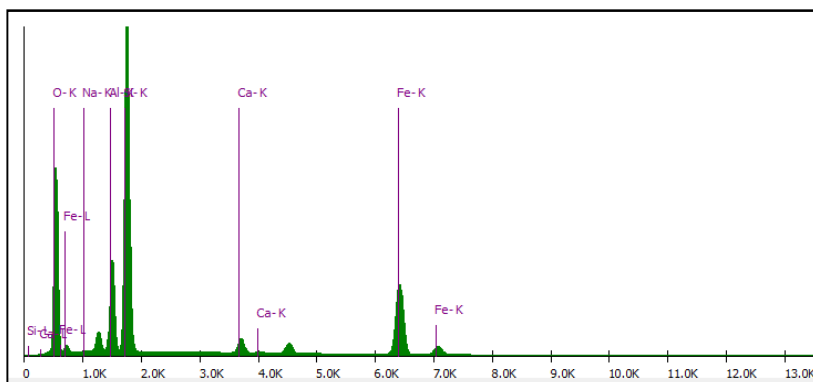


Figura 81: Regras de Classificação, Espectrograma da Montmorilonita

1.51 Muscovita

Properties

Name: Muscovite(a)

Chem. formula: $KAl_2(Si_3Al)O_{10}(OH,F)_2$

Type: ☐ Background

Density: 2.77 g/cm³

Color: Select color

Import properties and composition

Comments

Rules

Confidence: 99.99 %

Add

Rule	Type	Minimum	Maximum
O-K	User defined	33	120
Al-K	User defined	160	280
Si-K	User defined	190	270
K-K	User defined	10	140
Ca-K	User defined	9	25
V-K	User defined	0	10
Cr-K	User defined	2	18
Fe-K	User defined	5	117
BSE	User defined	18.0	23.8

Edit Remove Remove all

Composition

Add

Element	Weight %
O	47.3514
Si	21.1325
Al	20.3018
K	9.8063
F	0.953
H	0.455
Total	100

Remove Remove all Normalize Import Formula Copy Paste

Spectra

Add

Spectrum	BSE [%]
Muscovite(3) 25 keV (simulated spectrum)	0
Muscovite(4) 25 keV (simulated spectrum)	0
Muscovite(5) 25 keV (simulated spectrum)	0
Muscovite(6) 25 keV (simulated spectrum)	0
Muscovite(7) 25 keV (simulated spectrum)	0
Muscovite(8) 25 keV (simulated spectrum)	0
Muscovite(11) 25 keV (simulated spectrum)	0
Muscovite(12) 25 keV (simulated spectrum)	0
Muscovite	21.6

Import Remove Remove all Preview

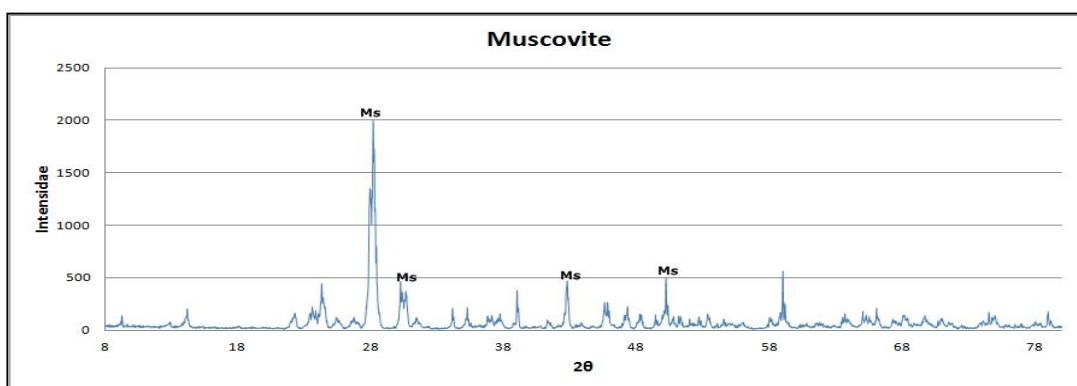
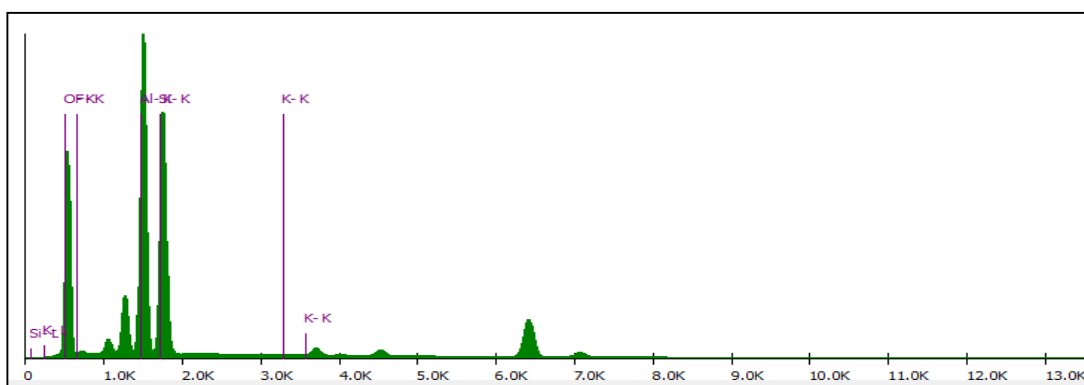


Figura 82: Regras de Classificação, Espectrograma e Difratoograma da Muscovita

1.52 Nefelina

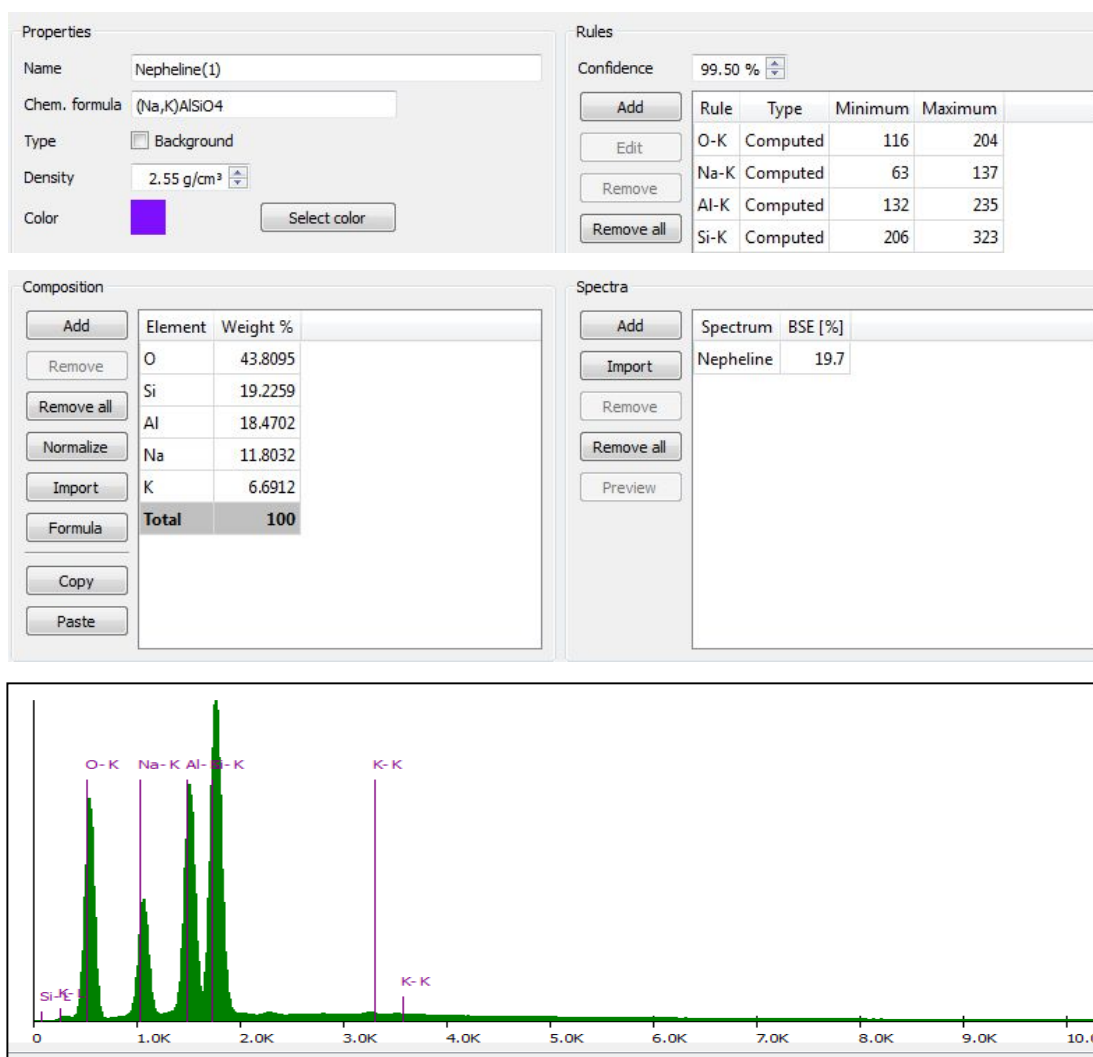


Figura 83: Regras de Classificação, Espectrograma da Nefelina

1.53 Neotocita

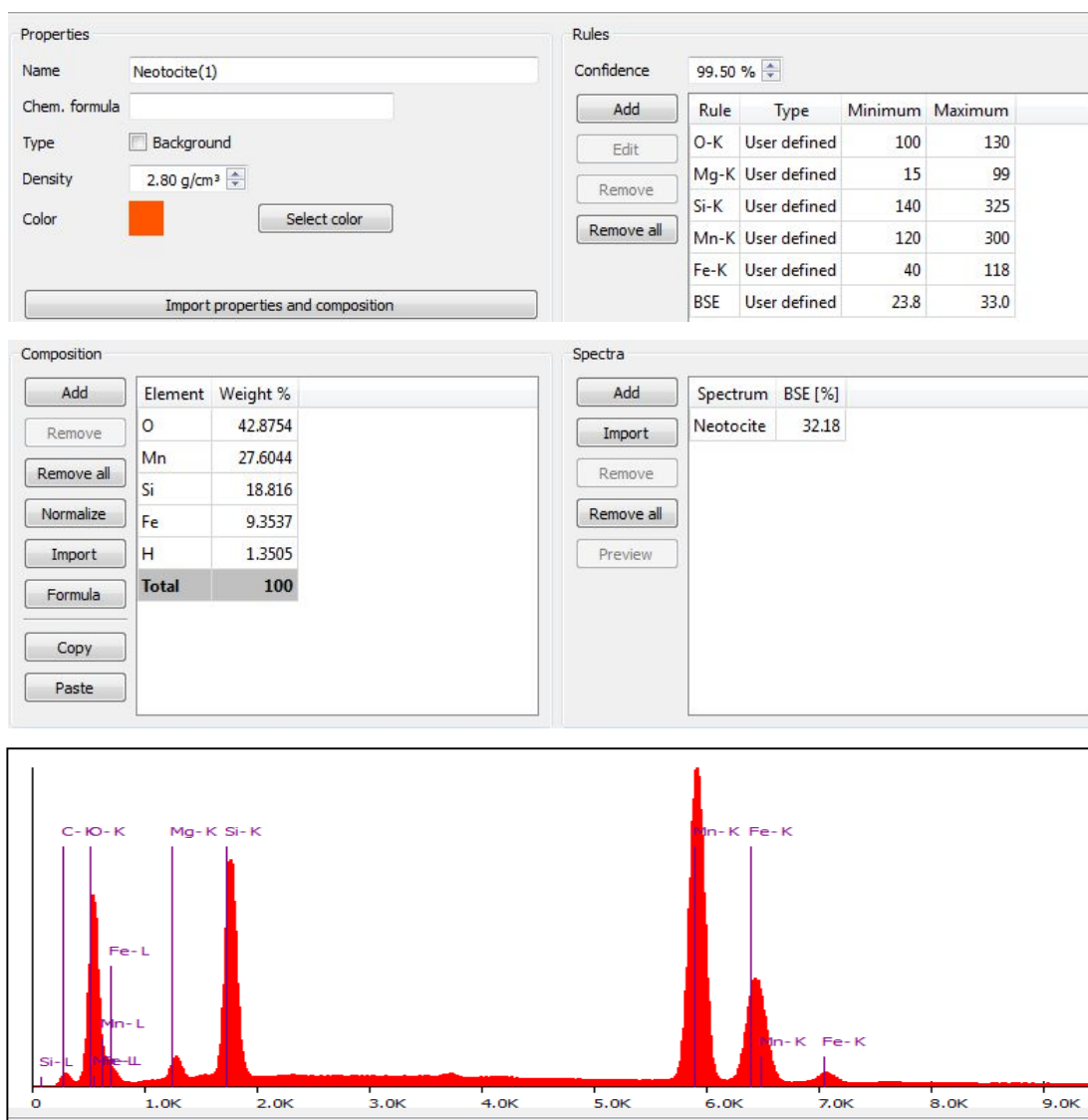


Figura 84: Regras de Classificação, Espectrograma da Neotocita

1.54 Olivina

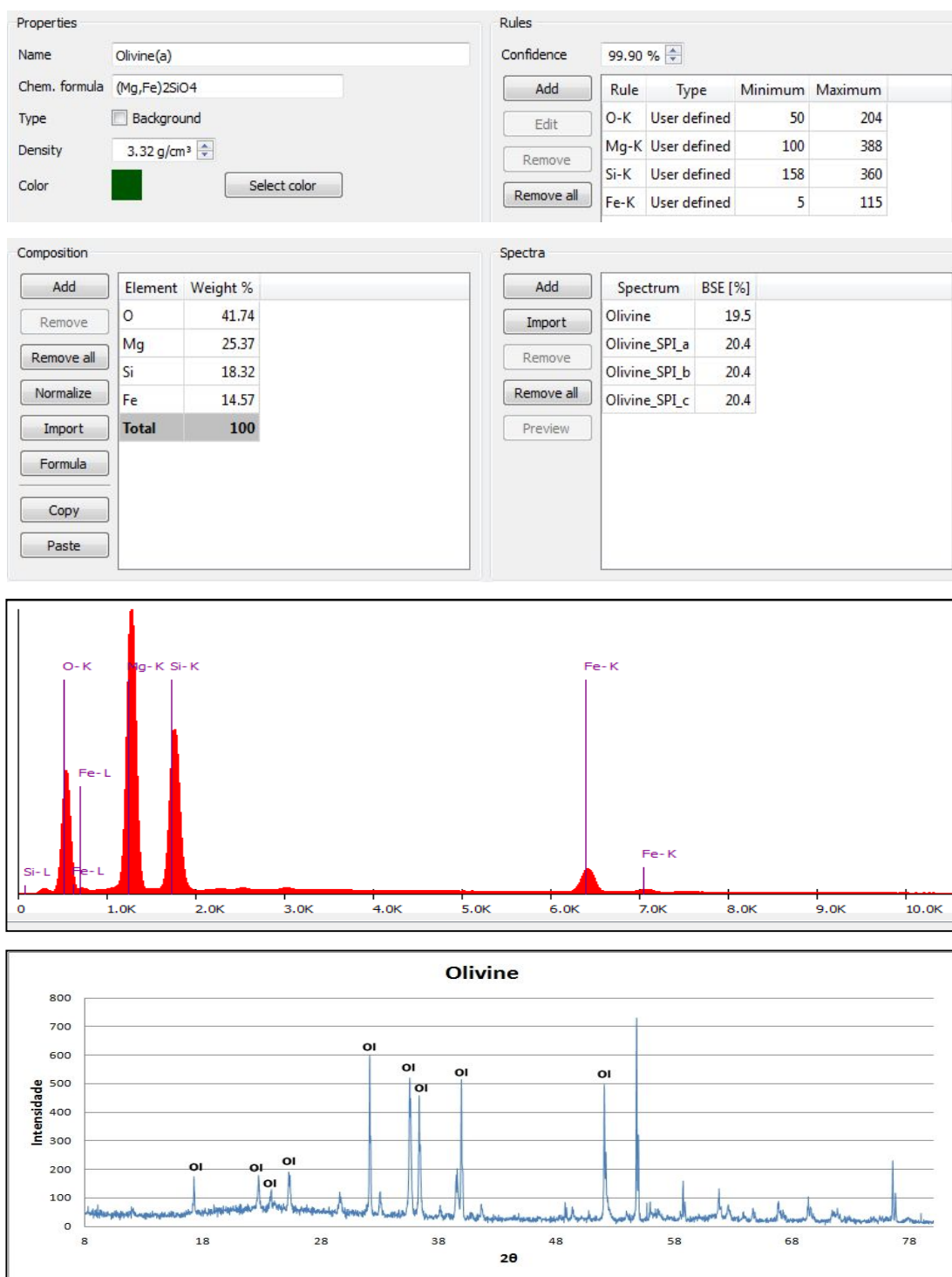


Figura 85: Regras de Classificação, Espectrograma e Difratoograma da Olivina

1.55 Paragonita

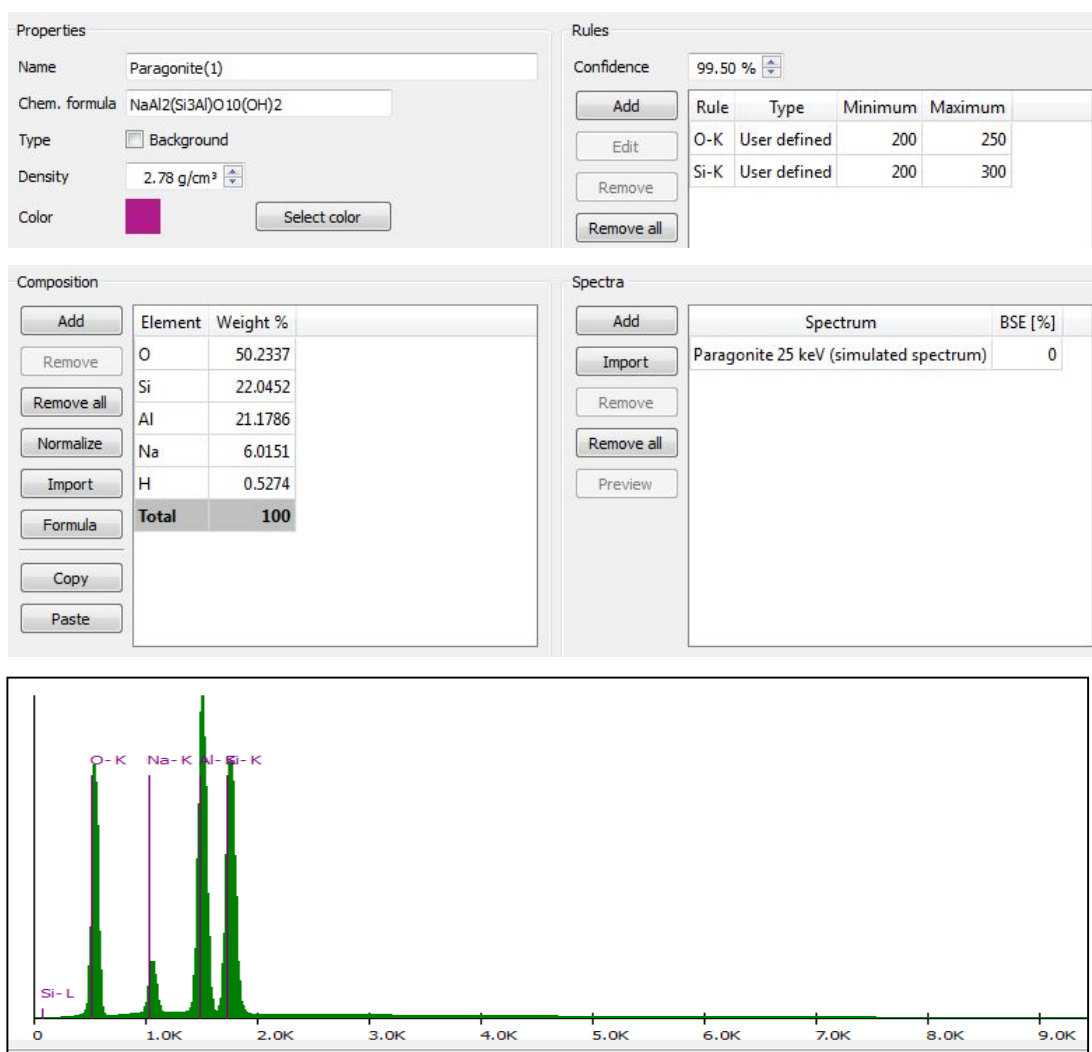


Figura 86: Regras de Classificação, Espectrograma da Paragonita

1.56 Flogopita

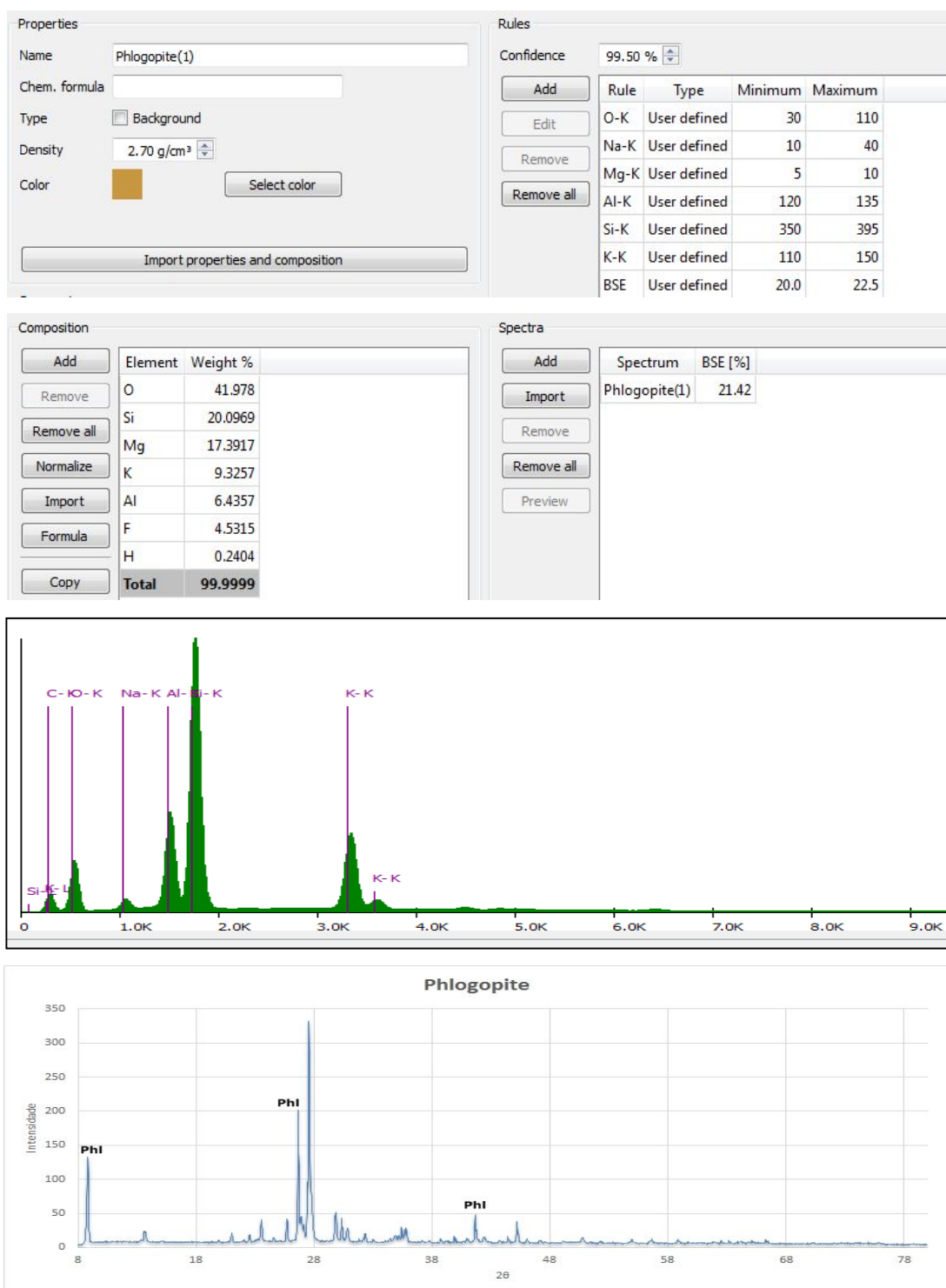


Figura 87: Regras de Classificação, Espectrograma Difratoograma da Flogopita

1.57 Pirofilita

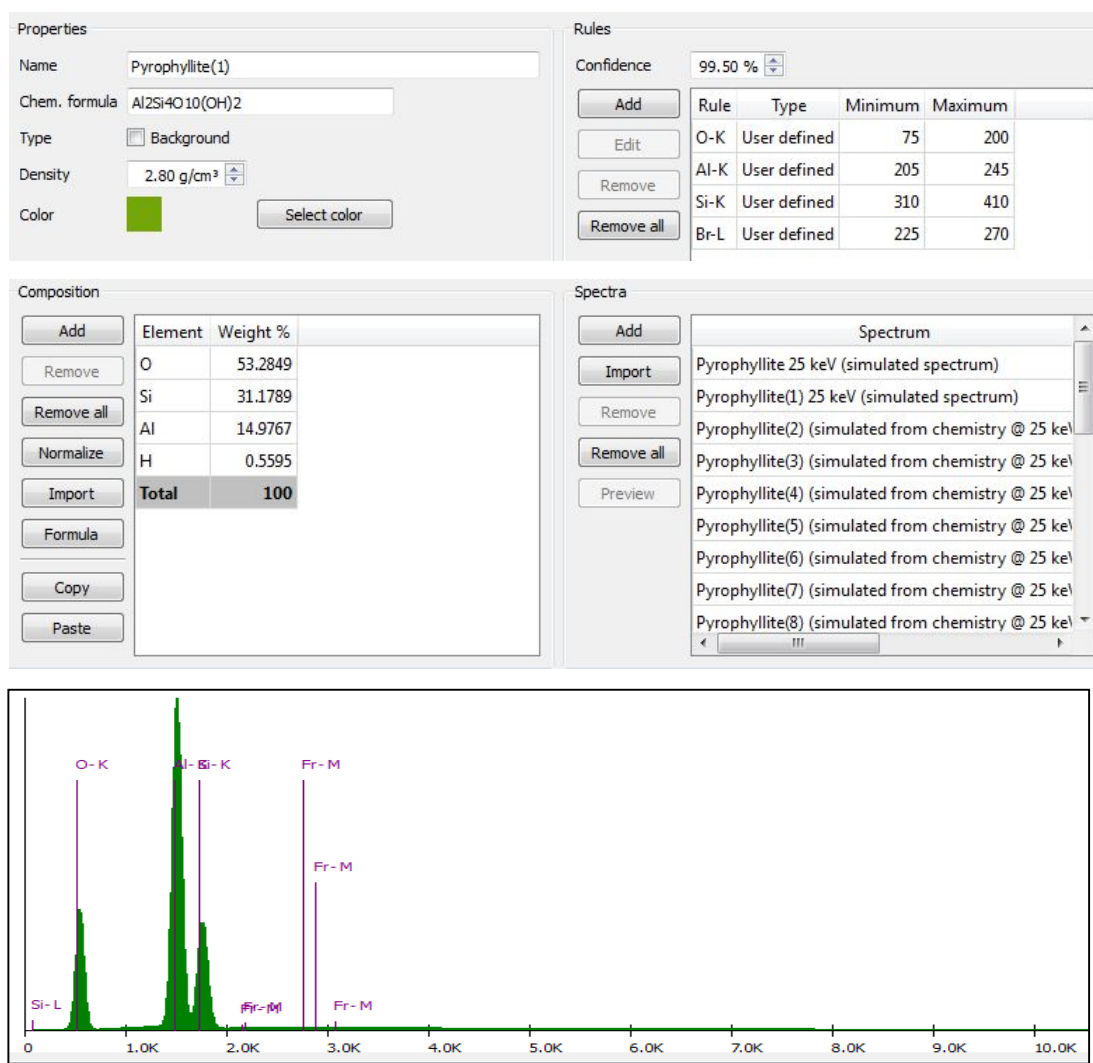


Figura 88: Regras de Classificação, Espectrograma da Pirofilita

1.58 Piropo

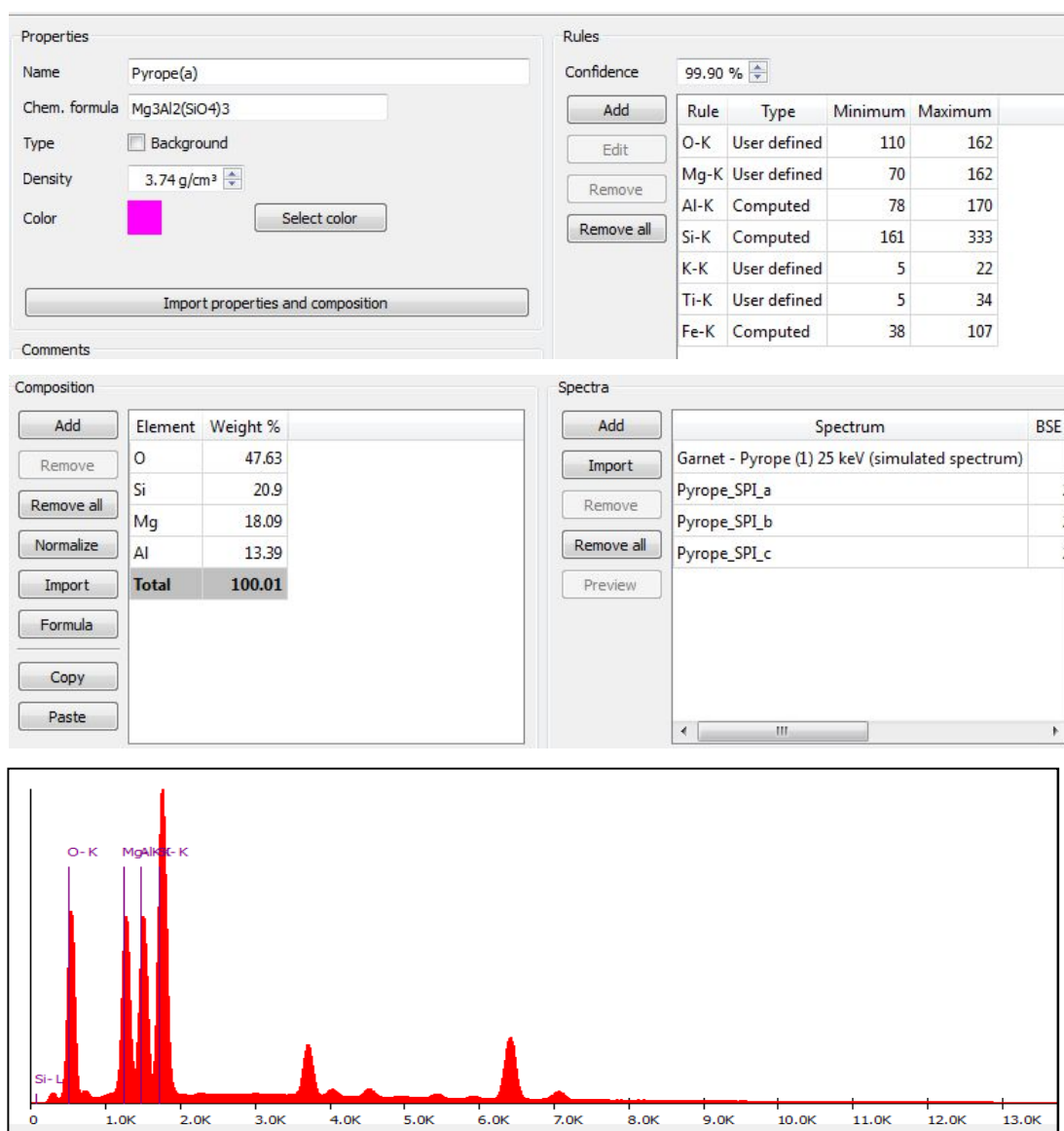


Figura 89: Regras de Classificação, Espectrograma do Piropo

1.59 Quartz

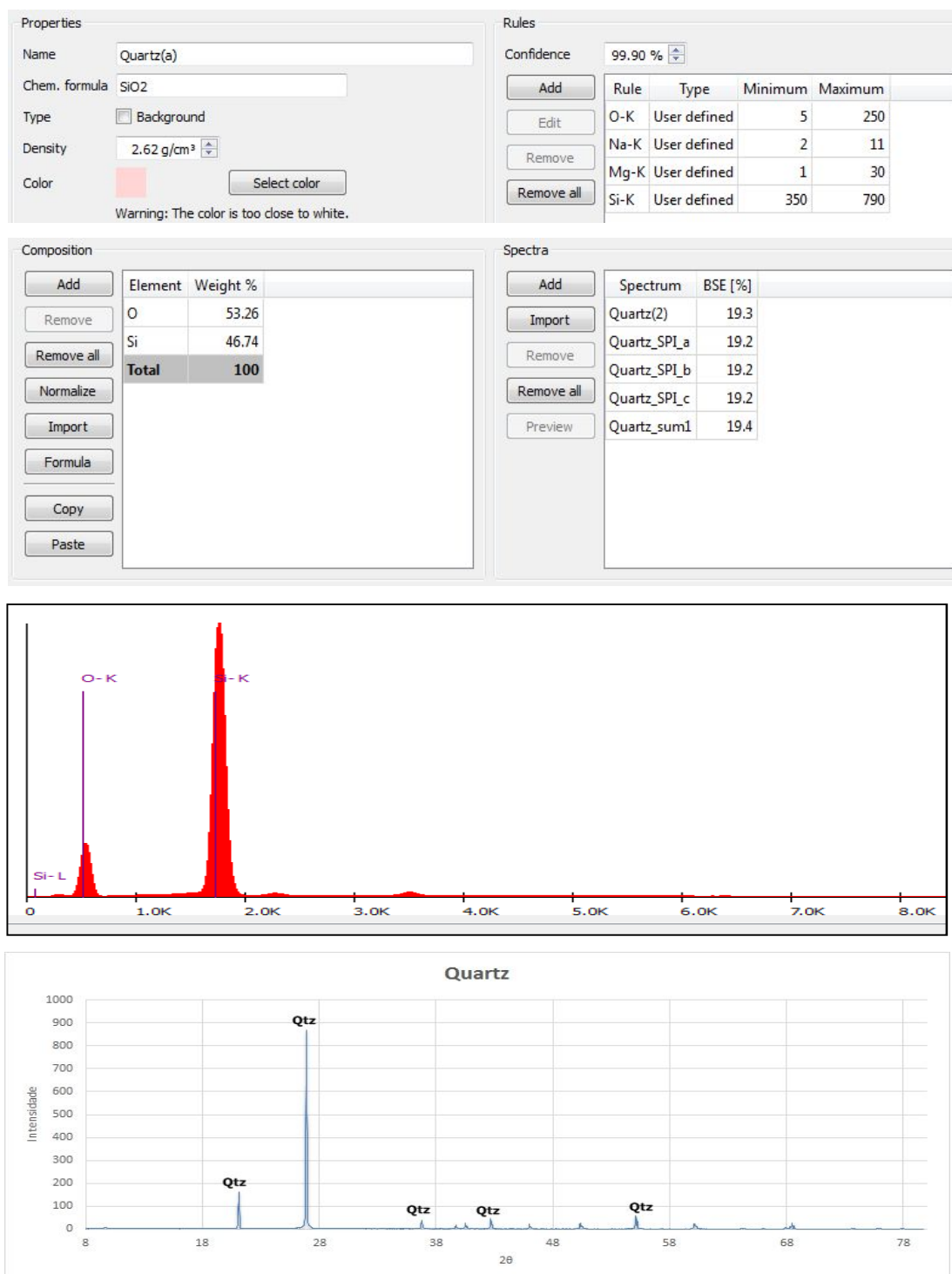


Figura 101: Regras de Classificação, Espectrograma e Difratoograma do Quartzo.

1.60 Riebeckita

Properties

Name: Riebeckite(1)

Chem. formula:

Type: ☐ Background

Density: 3.40 g/cm³

Color: Select color

Rules

Confidence: 99.50 %

Add Edit Remove Remove all

Rule	Type	Minimum	Maximum
O-K	User defined	60	140
Na-K	User defined	19	30
Mg-K	User defined	19	25
Si-K	User defined	299	340
Fe-K	User defined	180	200

Composition

Add Remove Remove all Normalize Import Formula Copy Paste

Element	Weight %
O	41.0285
Fe	29.836
Si	24.0073
Na	4.9129
H	0.2154
Total	100

Spectra

Add Import Remove Remove all Preview

Spectrum	BSE [%]
Riebeckite(1)	26.19

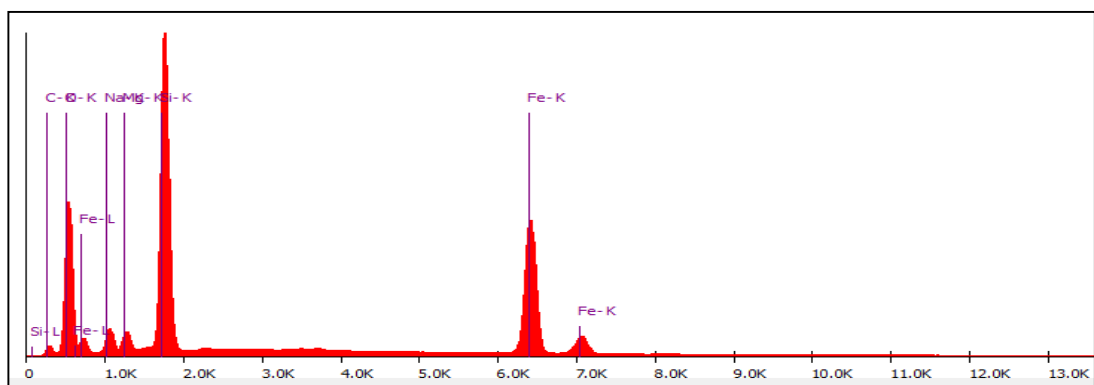


Figura 90: Regras de Classificação, Espectrograma da Riebeckita

1.61 Roscoelita

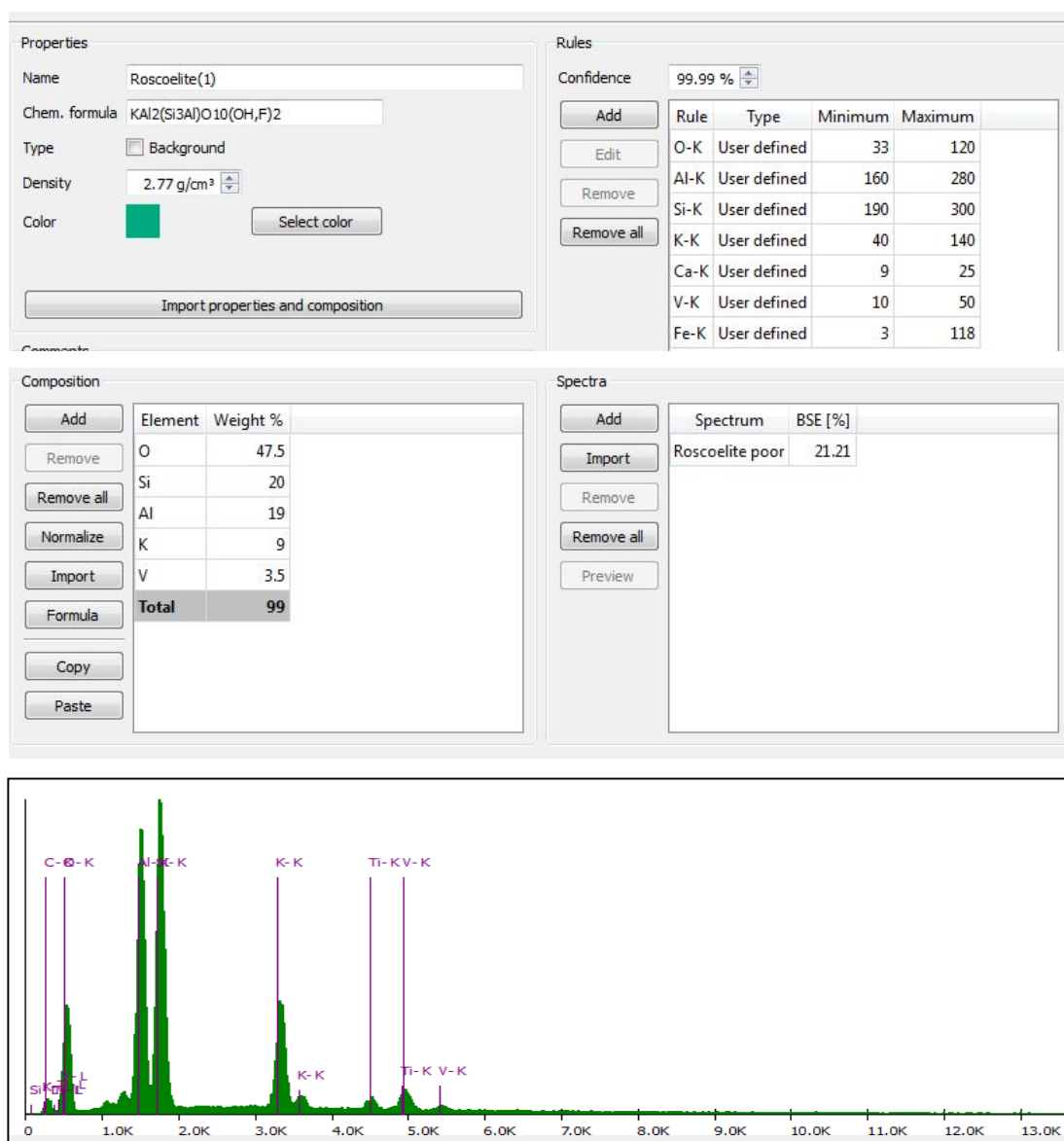


Figura 91: Regras de Classificação, Espectrograma da Roscoelita

1.62 Rodonita

Properties

Name: Rhodonite(1)

Chem. formula: $\text{Mn}_2+0.9\text{Fe}_2+0.02\text{Mg}0.02\text{Ca}0.05\text{SiO}_3$

Type: ☐ Background

Density: 3.50 g/cm³

Color: Select color

Import properties and composition

Rules

Confidence: 99.50 %

Add Edit Remove Remove all

Rule	Type	Minimum	Maximum
O-K	User defined	70	90
Mg-K	User defined	11	15
Si-K	User defined	245	253
Ca-K	User defined	51	55
Mn-K	User defined	250	258
Fe-K	User defined	45	48

Composition

Add Remove Remove all Normalize Import Formula Copy Paste

Element	Weight %
Mn	38.2888
O	37.169
Si	21.749
Ca	1.5518
Fe	0.8649
Mg	0.3764
Total	99.9999

Spectra

Add Import Remove Remove all Preview

Spectrum

- Rhodonite 25 keV (simulated spectrum)
- Rhodonite(1) 25 keV (simulated spectrum)
- Rhodonite(2) (simulated from chemistry @ 25 keV)
- Rhodonite(3) 25 keV (simulated spectrum)
- Rhodonite(4) (simulated from chemistry @ 25 keV)
- Rhodonite(5) (simulated from chemistry @ 25 keV)
- Rhodonite(6) (simulated from chemistry @ 25 keV)
- Rhodonite(7) (simulated from chemistry @ 25 keV)
- Rhodonite(8) 25 keV (simulated spectrum)

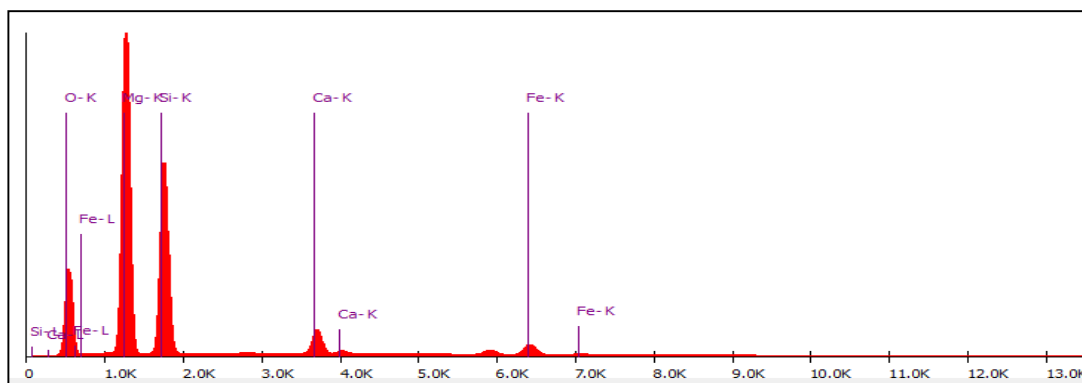


Figura 92: Regras de Classificação, Espectrograma da Rodonita

1.63 Turmalina

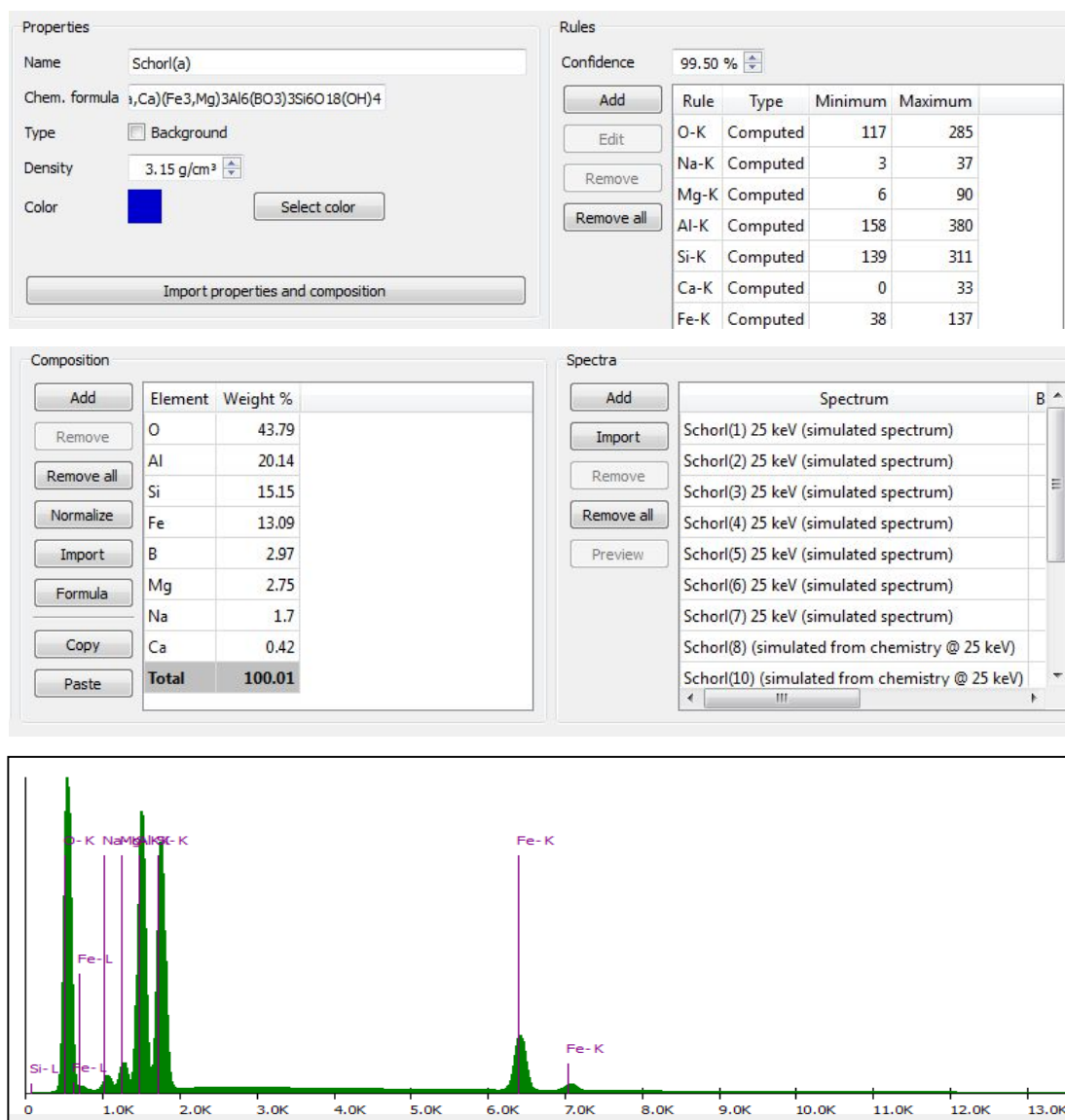


Figura 93: Regras de Classificação, Espectrograma da Turmalina

1.64 Escapolita

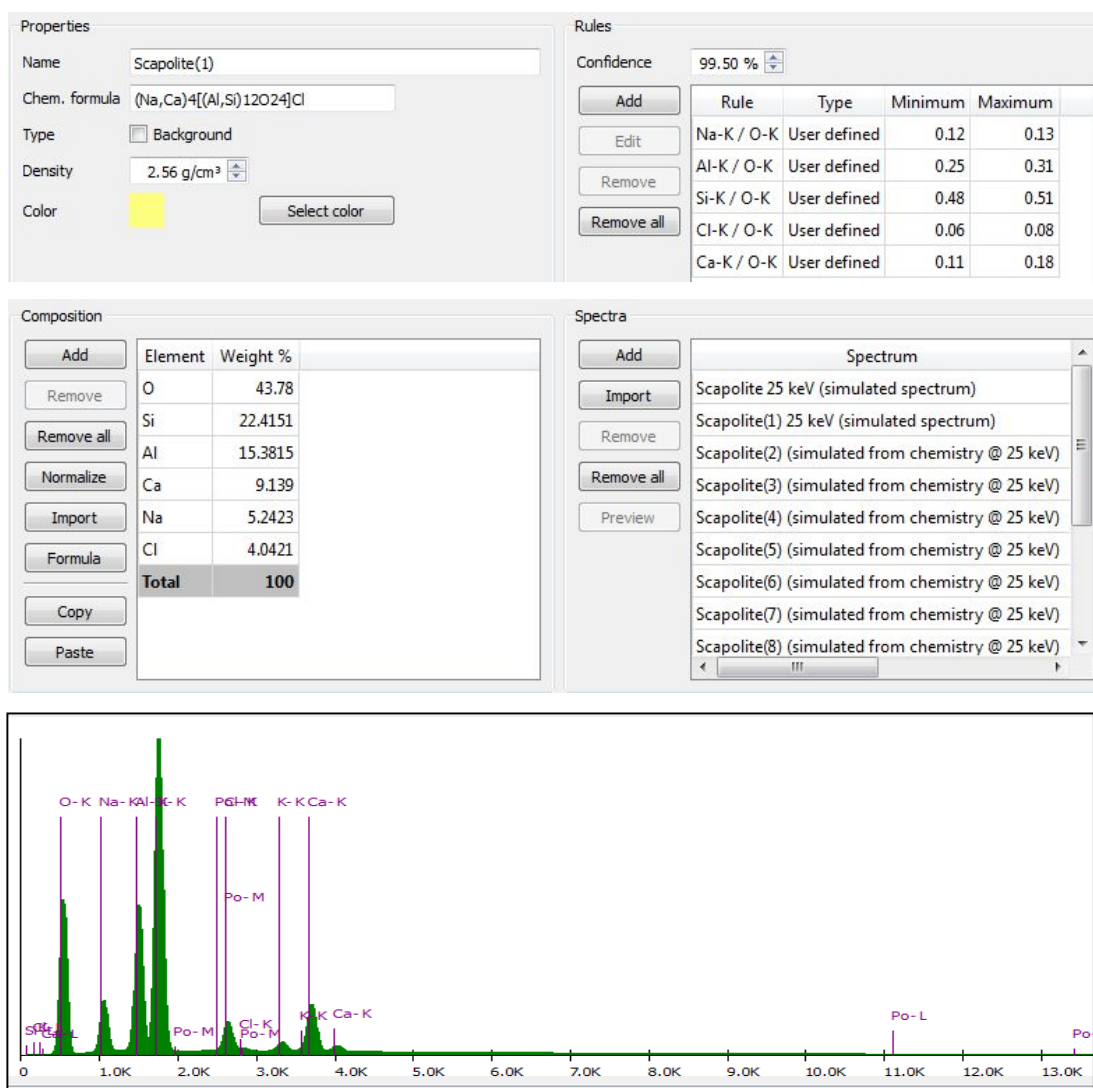


Figura 94: Regras de Classificação, Espectrograma da Escapolita

1.65 Sodalita

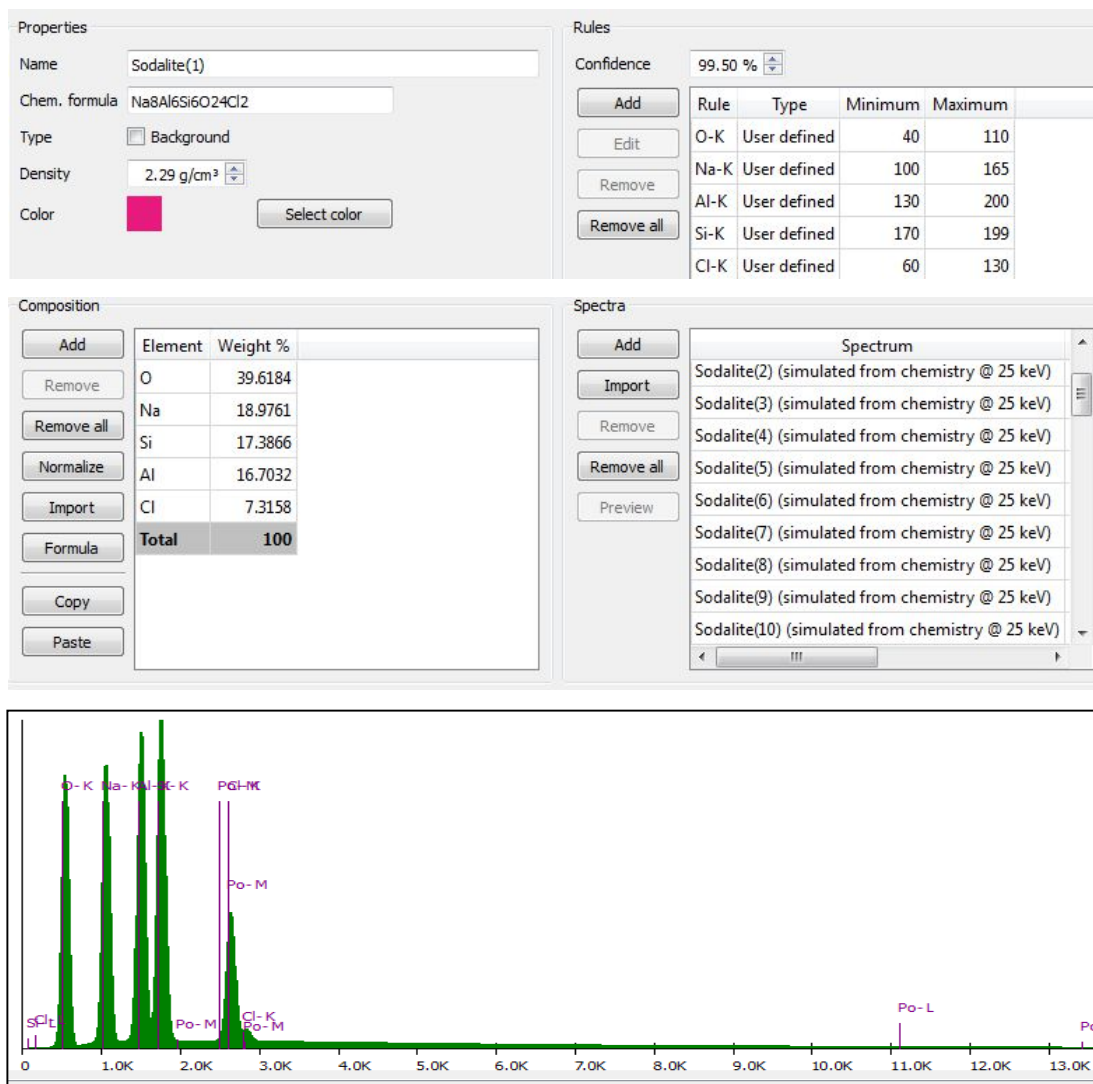


Figura 95: Regras de Classificação, Espectrograma da Sodalita

1.66 Espessartina

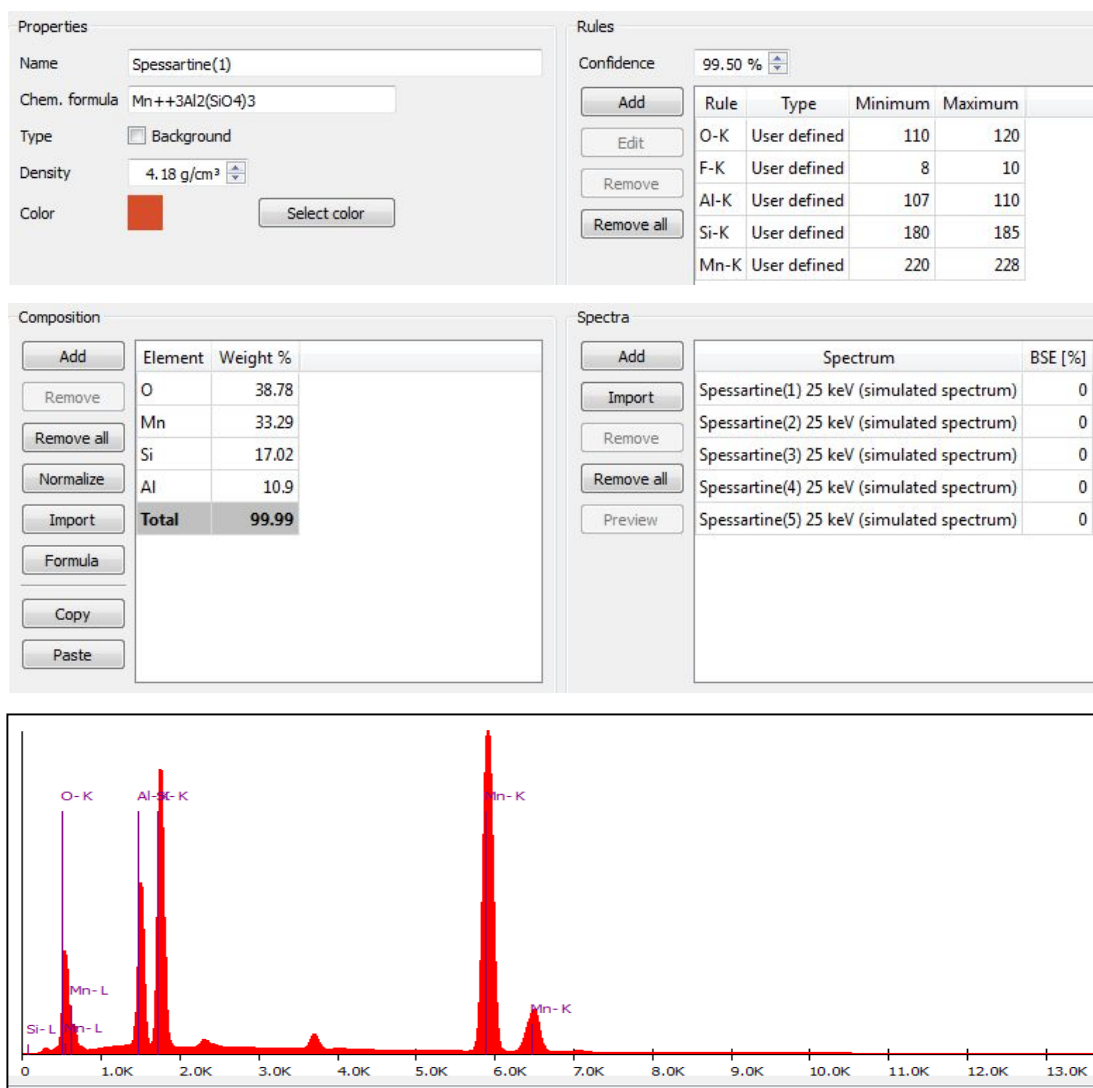


Figura 96: Regras de Classificação, Espectrograma da Espessartina

1.67 Espodumenio

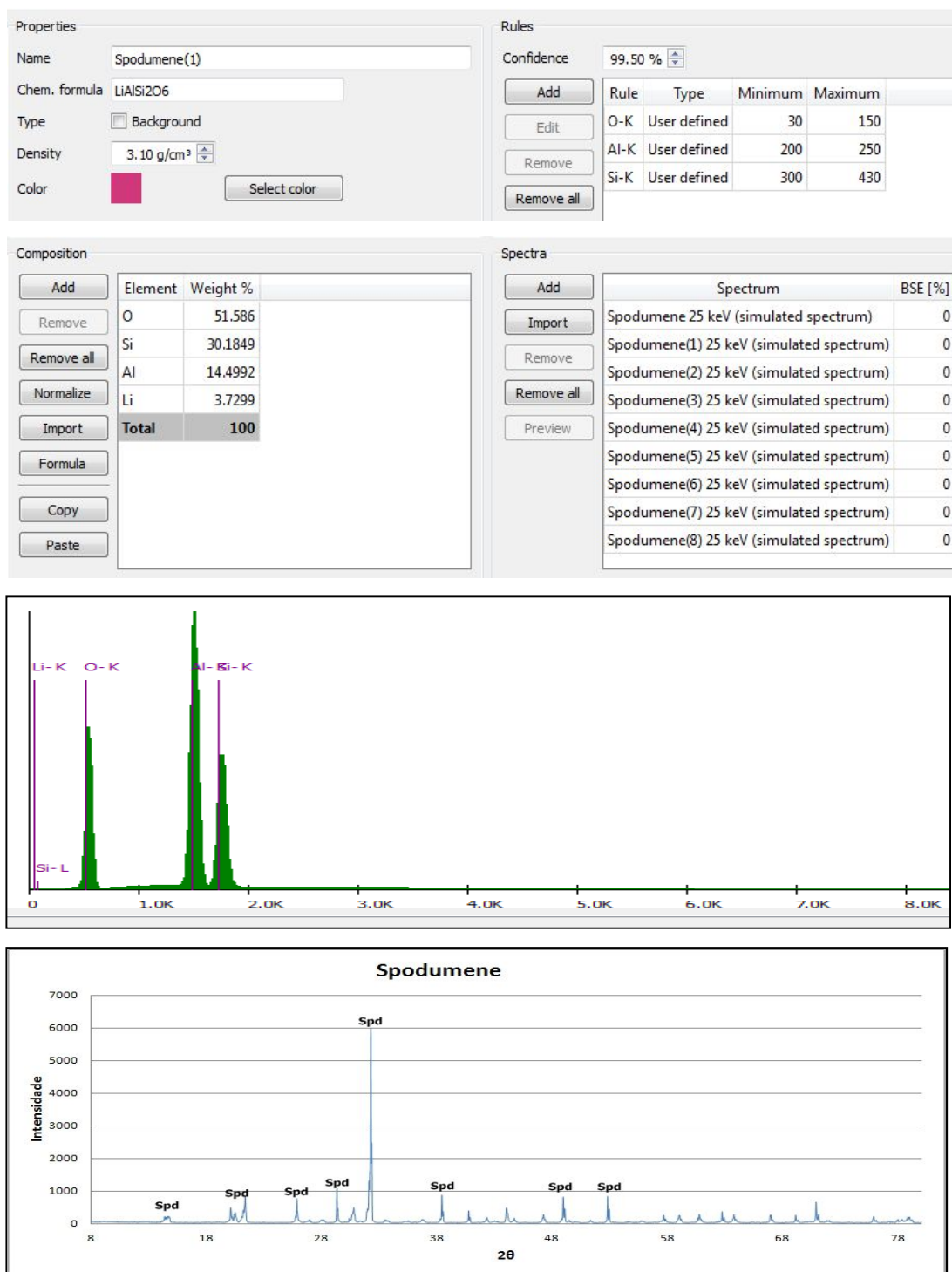


Figura 97: Regras de Classificação, Espectrograma e Difratoograma do Espodumênio

1.68 - Estaurolita

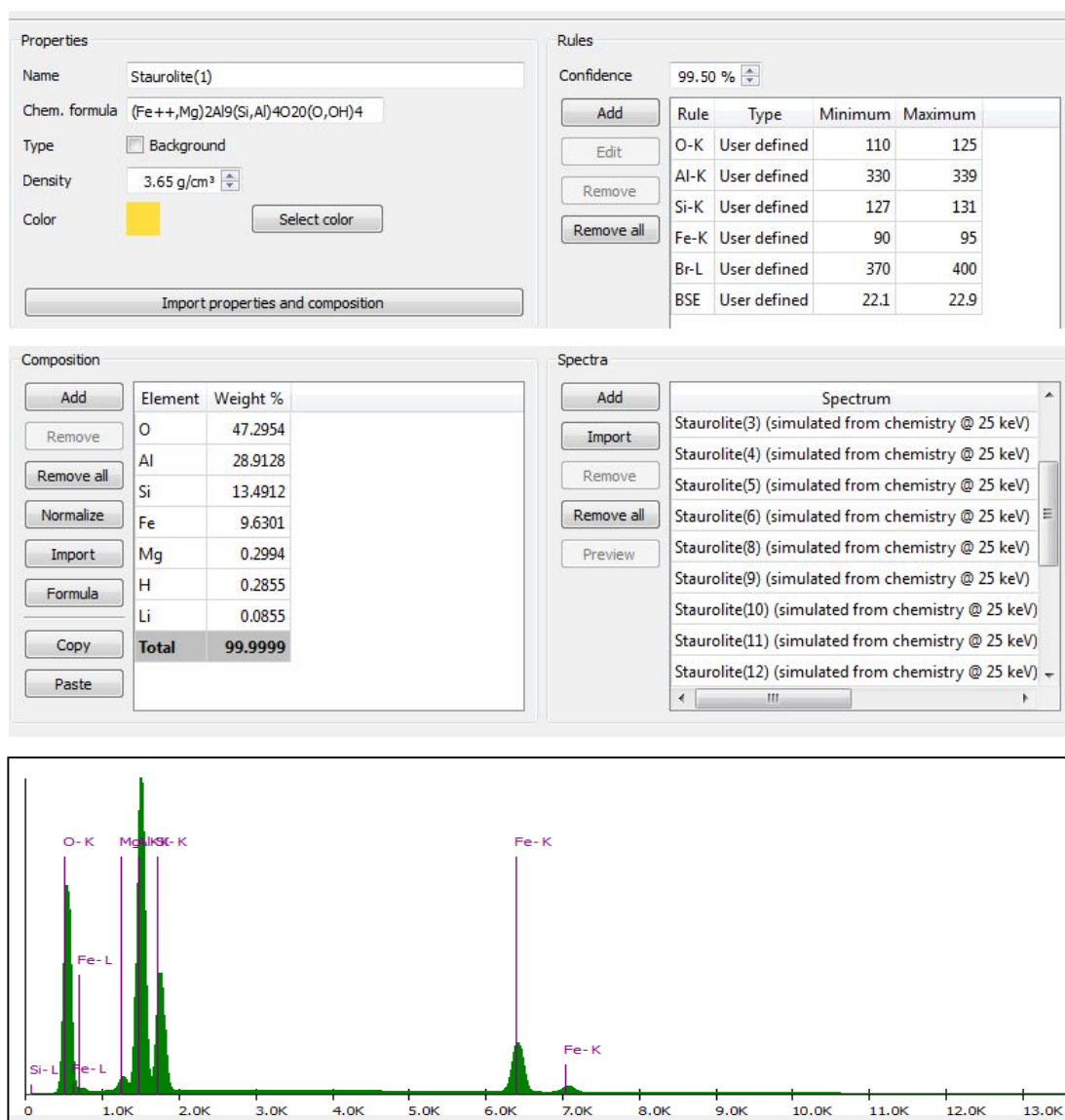


Figura 98: Regras de Classificação, Espectrograma da Estaurolita

1.69 -Talco

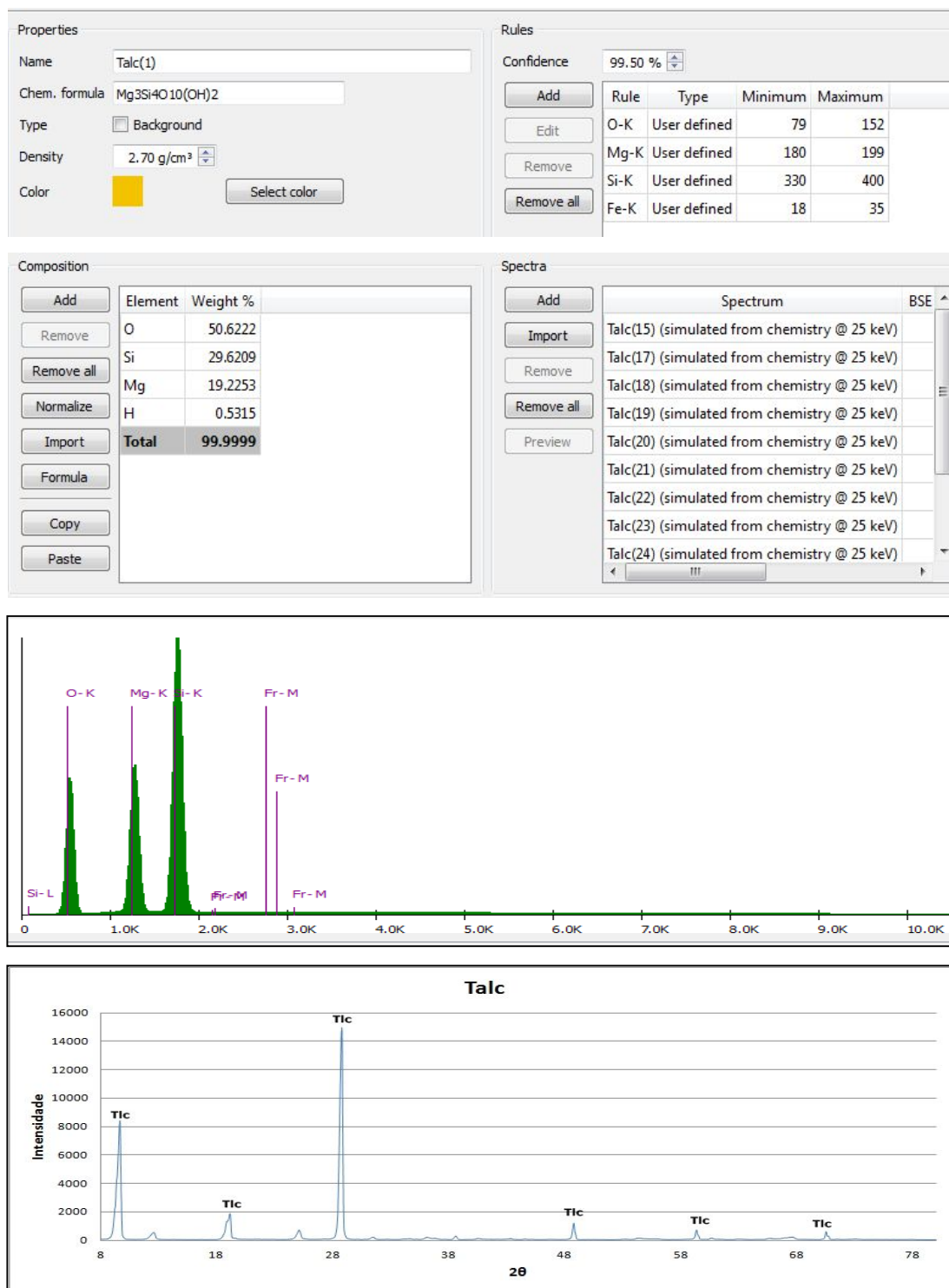


Figura 99: Regras de Classificação, Espectrograma e Difratoograma do Talco

1.70 Titanita

Properties

Name:

Chem. formula:

Type: ☐ Background

Density:

Color:

Rules

Confidence: 99.50 %

Rule	Type	Minimum	Maximum
Al-K	Computed	7	66
Si-K	Computed	126	275
Ca-K	User defined	205	399
Ti-K	Computed	135	270
Fe-K	User defined	1	60

Composition

Element	Weight %
O	36.67
Ti	25.09
Ca	23.32
Si	12.28
Fe	1.61
Al	0.94
Mg	0.05
Mn	0.04
Total	100

Spectra

Spectrum	BSE [%]
Titanite 25 keV (simulated spectrum)	0
Titanite(1) 25 keV (simulated spectrum)	0
Titanite	27.6

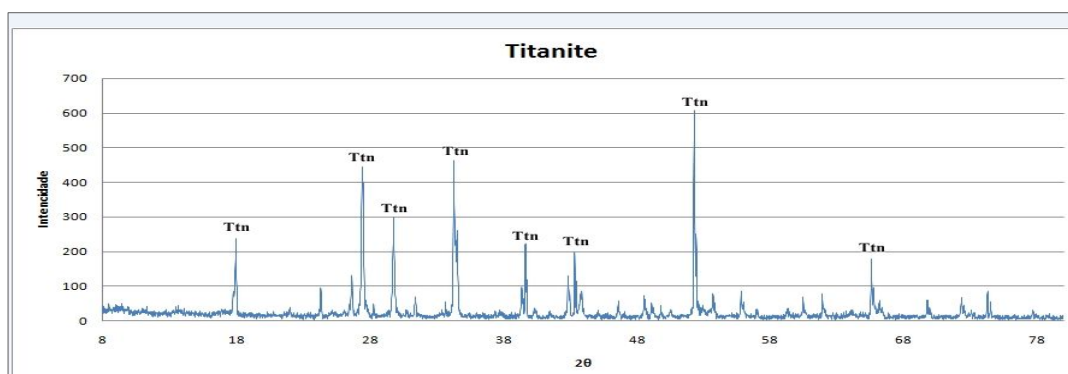
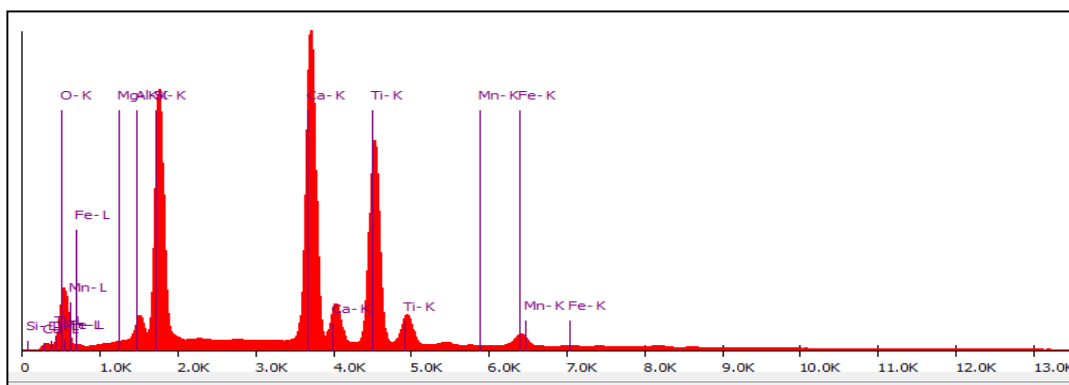


Figura 100: Regras de Classificação, Espectrograma e Difratoograma da Titanita

1.71 Topázio

Properties

Name:

Chem. formula:

Type: ☐ Background

Density:

Color:

Rules

Confidence: 99.50 %

Rule	Type	Minimum	Maximum
O-K	User defined	80	120
F-K	User defined	18	35
Al-K	User defined	400	450
Si-K	User defined	155	175
BSE	User defined	18.5	19.8

Composition

Element	Weight %
O	43.016
Al	29.6092
Si	15.4103
F	11.4667
H	0.4977
Total	99.9999

Spectra

Spectrum	BSE [%]
topaz(1)	18.99
Topaz(2)	18.99

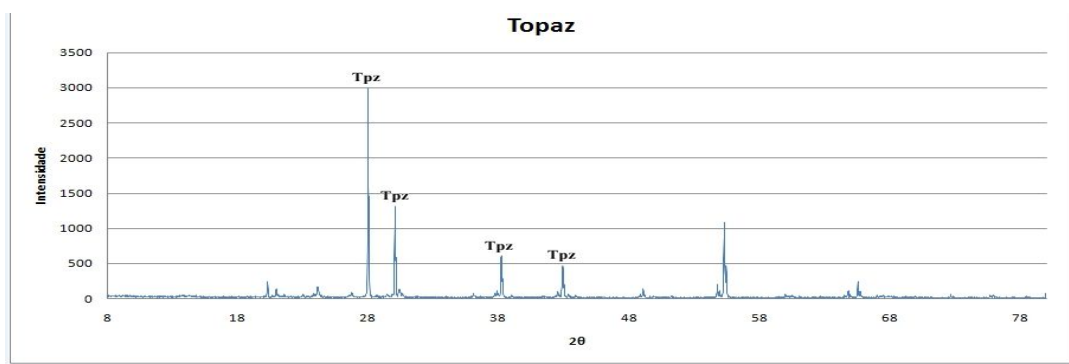
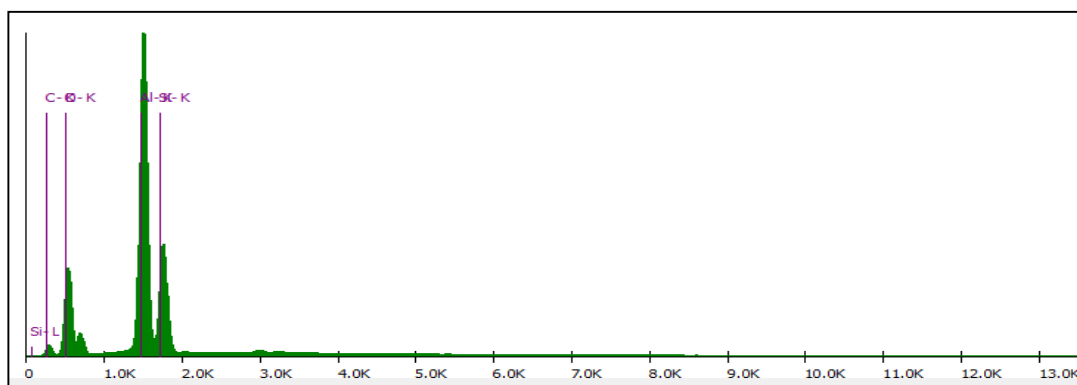


Figura 101: Regras de Classificação, Espectrograma e Difratoograma do Topázio

1.72 -Tremolita

Properties

Name: Tremolite(1)

Chem. formula:

Type: ☐ Background

Density: 2.90 g/cm³

Color: Select color

Import properties and composition

Rules

Confidence: 99.50 %

Add

Rule	Type	Minimum	Maximum
O-K	User defined	68	88
Na-K	User defined	3	8
Mg-K	User defined	99	130
Si-K	User defined	310	335
Ca-K	User defined	130	140
Fe-K	User defined	45	55
BSE	User defined	22.0	22.8

Edit Remove Remove all

Composition

Add

Element	Weight %
O	47.2675
Si	27.658
Mg	14.9594
Ca	9.867
H	0.2481
Total	100

Remove Remove all Normalize Import Formula Copy Paste

Spectra

Add

Spectrum	BSE [%]
----------	---------

Import Remove Remove all Preview

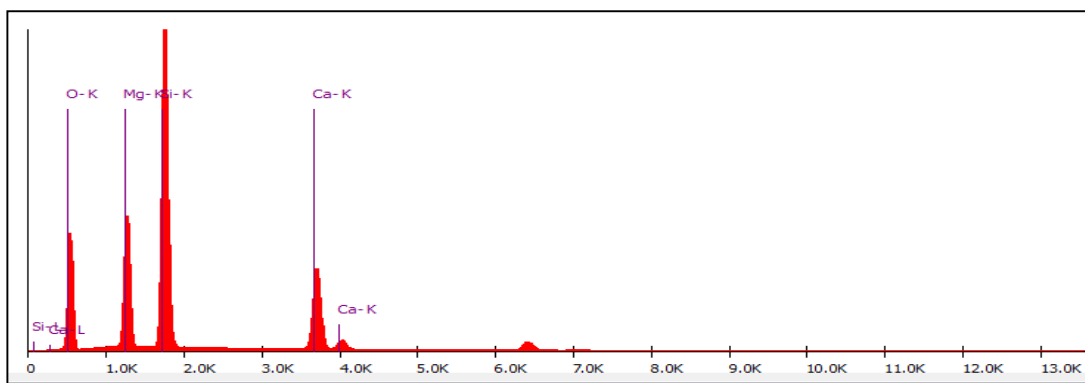


Figura 102: Regras de Classificação, Espectrograma da Tremolita

1.73 - Uvarovita

Properties

Name: Uvarovite(1)

Chem. formula:

Type: ☐ Background

Density: 3.40 g/cm³

Color: Select color

Import properties and composition

Rules

Confidence: 99.50 %

Add Edit Remove Remove all

Rule	Type	Minimum	Maximum
O-K	User defined	30	60
Si-K	User defined	160	198
Ca-K	User defined	250	320
Cr-K	User defined	50	110
Fe-K	User defined	40	98
BSE	User defined	25.6	27.4

Composition

Add Remove Remove all Normalize Import Formula Copy Paste

Element	Weight %
O	38.3621
Ca	24.024
Cr	20.7787
Si	16.8353
Total	100

Spectra

Add Import Remove Remove all Preview

Spectrum	BSE [%]
Uvarovite(1)	36.3

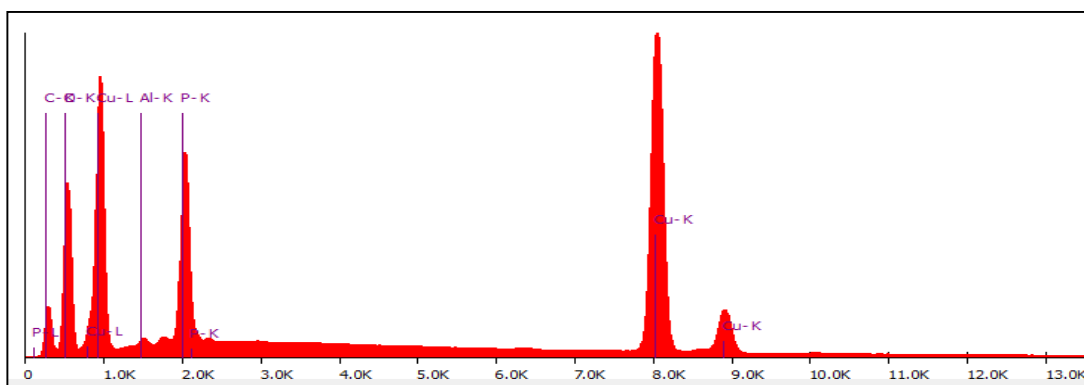


Figura 103: Regras de Classificação, Espectrograma da Uvarovita

1.74 - Vermiculita

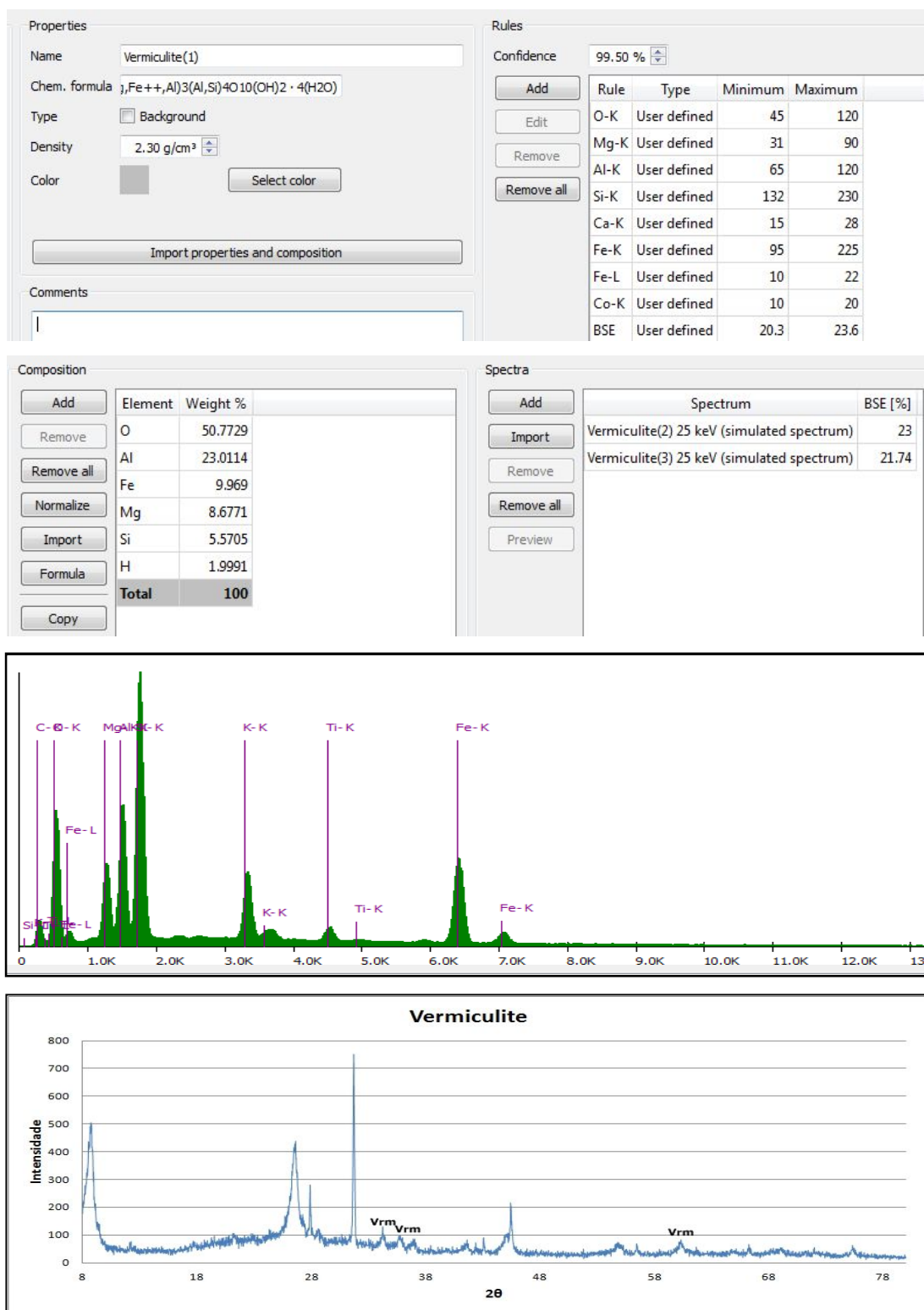


Figura 104: Regras de Classificação, Espectrograma e Difratoograma da Vermiculita

1.75 Vesuvianita

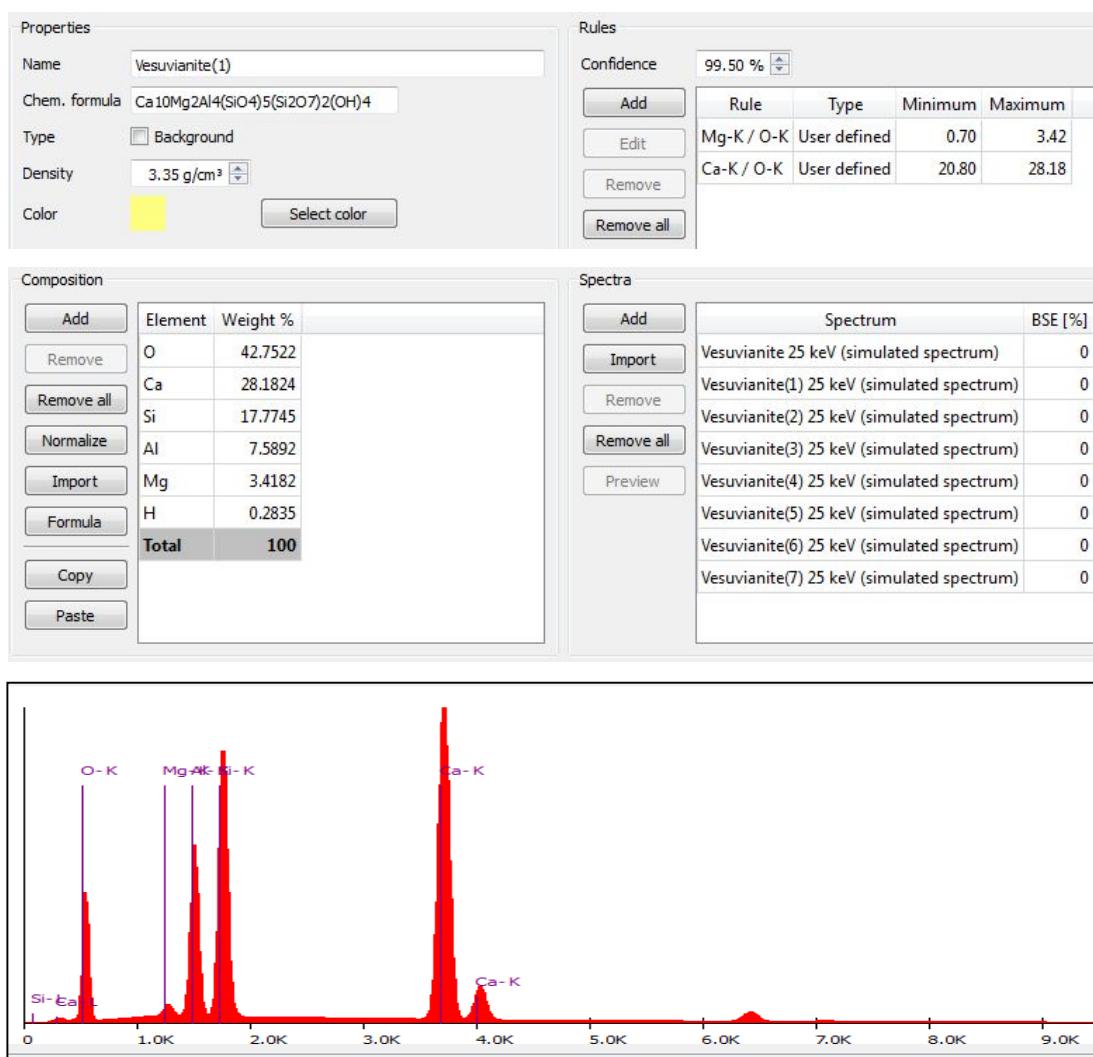


Figura 105: Regras de Classificação, Espectrograma da Vesuvianita

1.76 Wollastonita

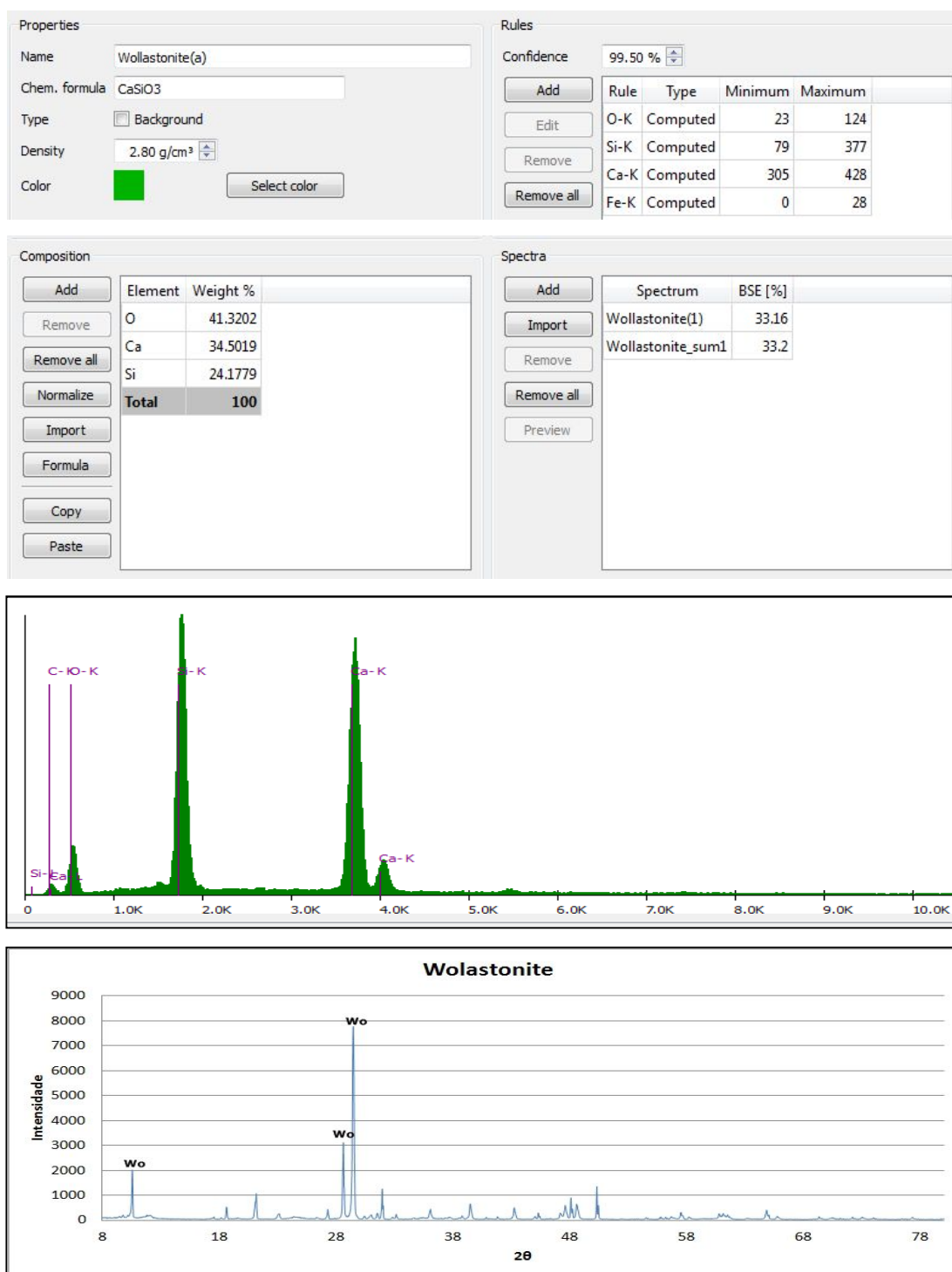


Figura 106: Regras de Classificação, Espectrograma e Difratoograma da Wollastonita

1.77 - Zircão

Properties

Name:

Chem. formula:

Type: ☐ Background

Density:

Color:

Rules

Confidence: 99.50 %

Rule	Type	Minimum	Maximum
O-K	User defined	5	100
Si-K	User defined	105	360
Zr-L	User defined	220	520

Composition

Element	Weight %
Zr	43.1412
O	33.6282
Si	14.7578
Hf	4.6895
REE	3.7833
Total	100

Spectra

Spectrum	BSE [%]
Zircon(1) 25 keV (simulated spectrum)	40
Zircon(2) 25 keV (simulated spectrum)	42
Zircon(3) 25 keV (simulated spectrum)	41
Zircon(4) 25 keV (simulated spectrum)	0
Zircon_sum1	41.1

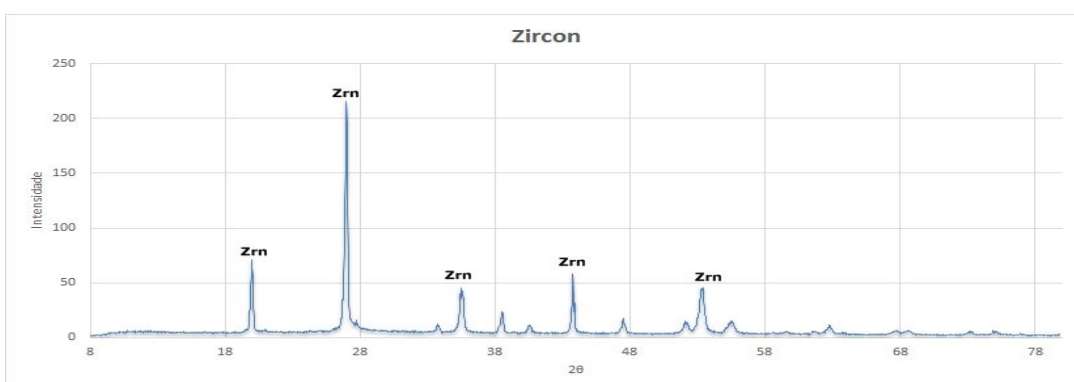
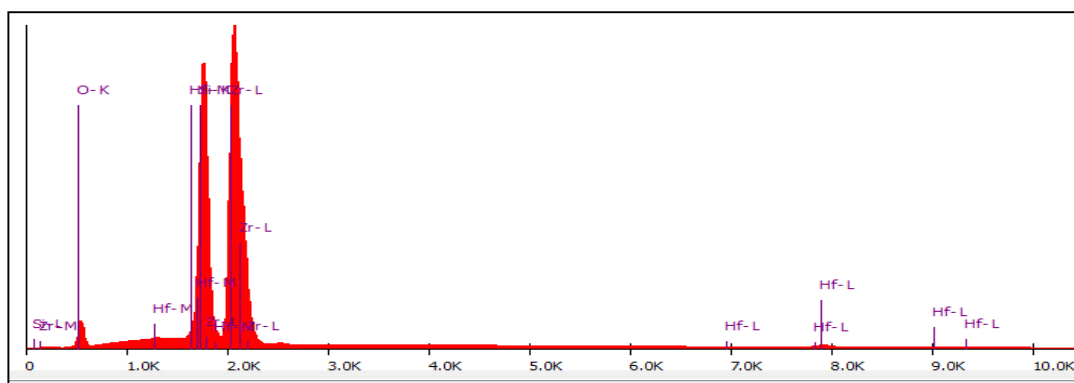


Figura 107: Regras de Classificação, Espectrograma e Difratoograma do Zircão

1.78 - Zoisita

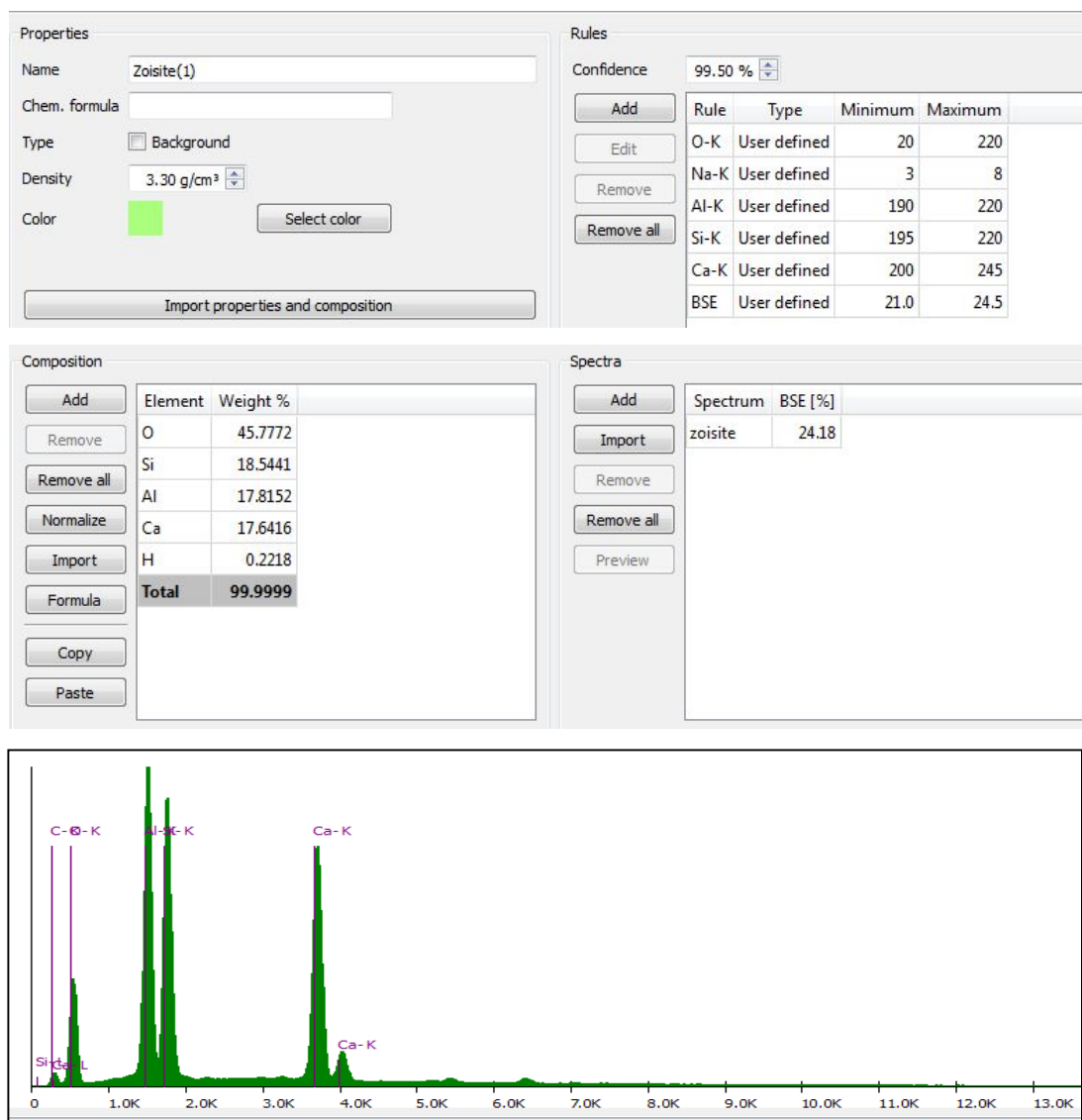


Figura 108: Regras de Classificação, Espectrograma da Zoisita

1.79 - Zunyita

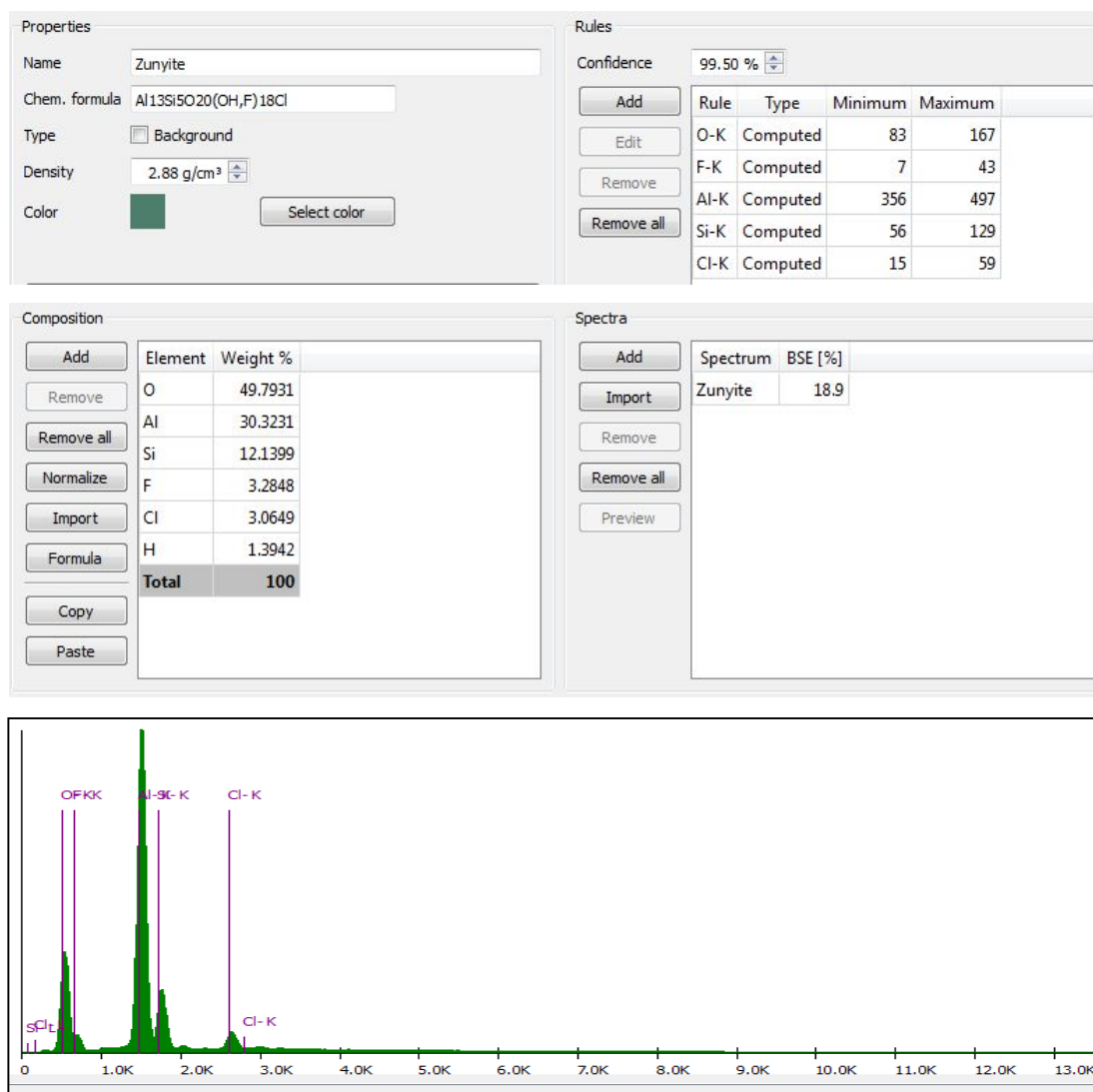


Figura 121: Regras de Classificação, Espectrograma da Zunyita

2. ÓXIDOS E HIDRÓXIDOS

2.1. - Aluminocerita (Ce)

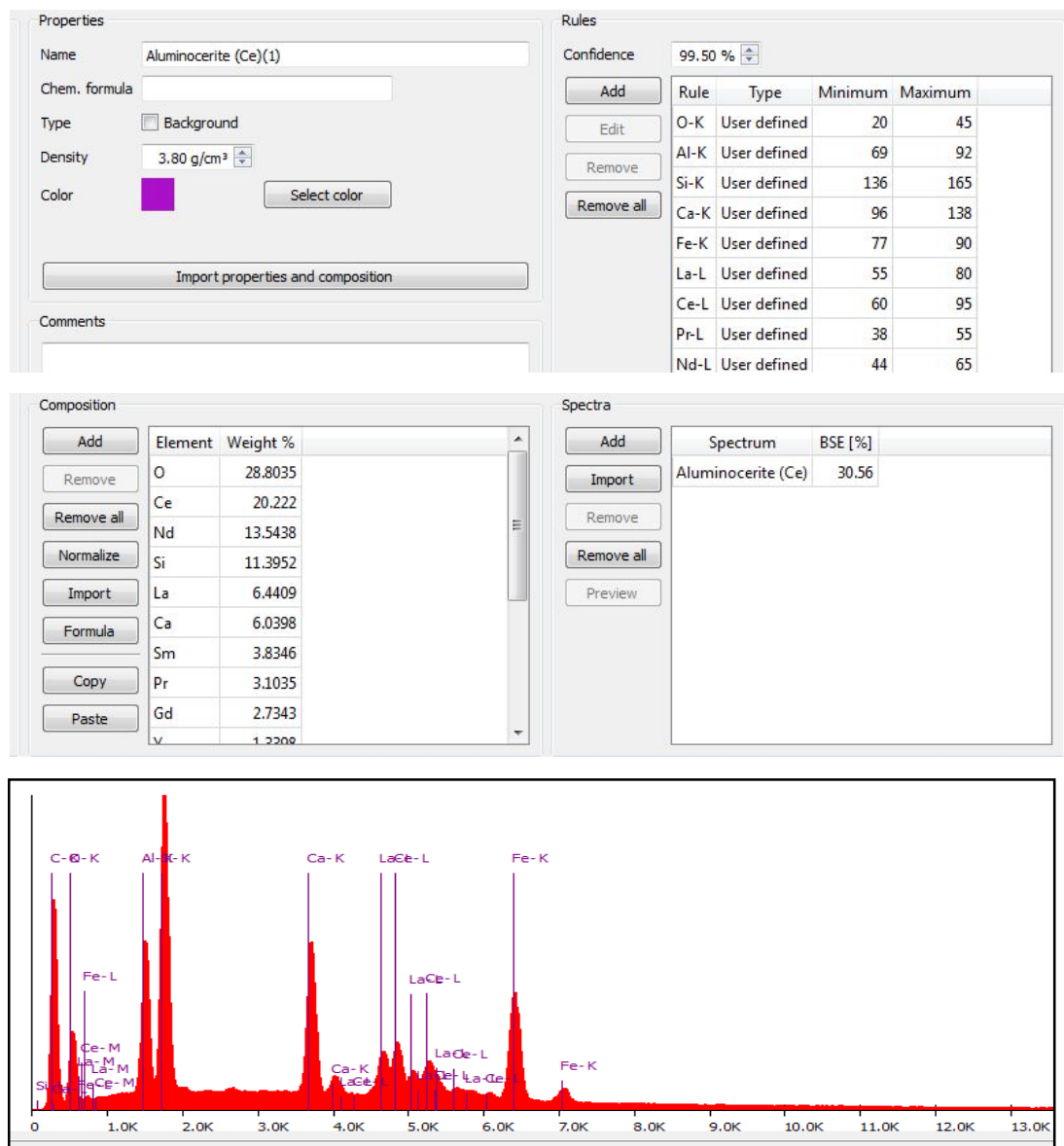


Figura 109: Regras de Classificação, Espectrograma da Aluminocerita (Ce)

2.2. - Badeleyita

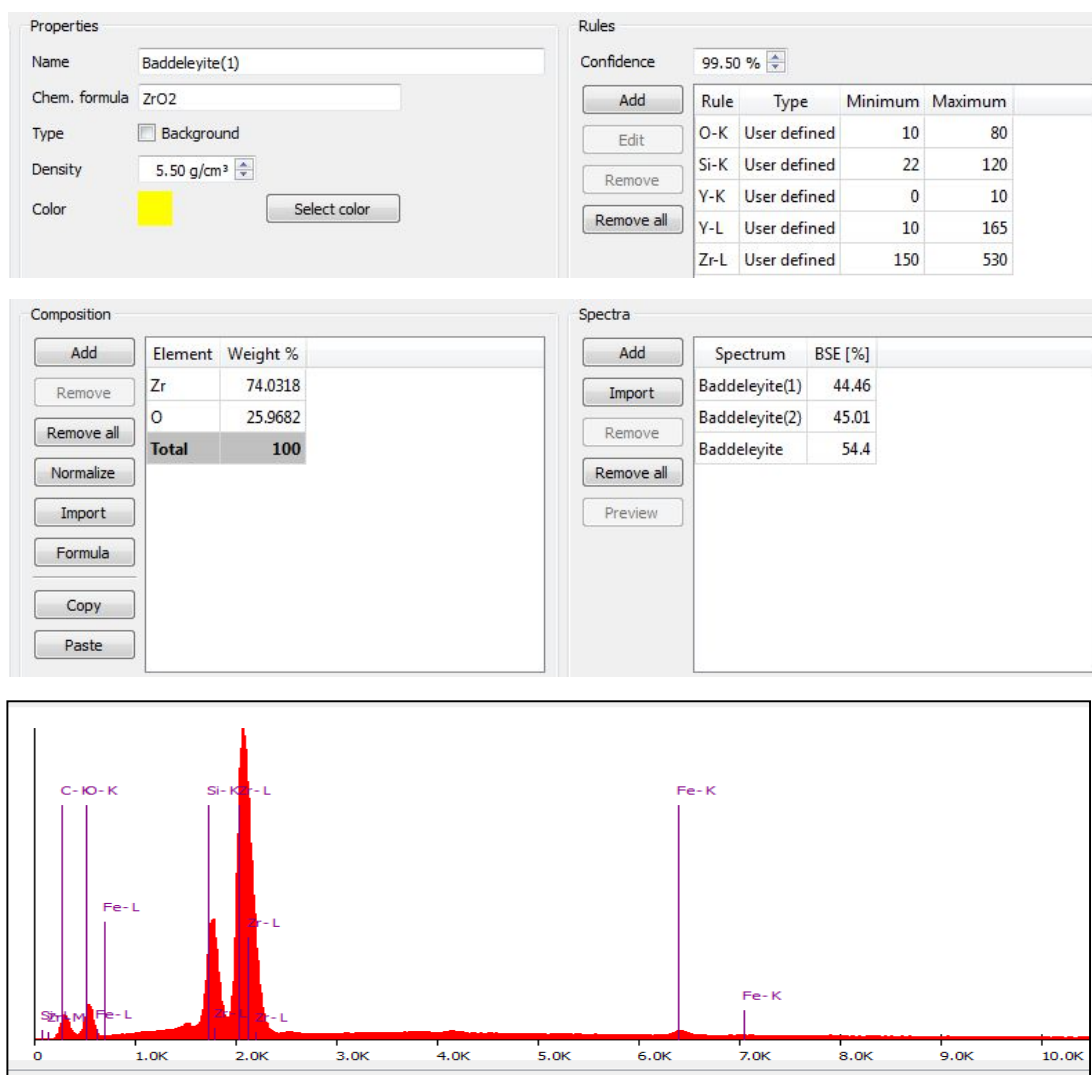


Figura 110: Regras de Classificação, Espectrograma da Badeleyita

2.3. - Badeleyita+Pirolusita

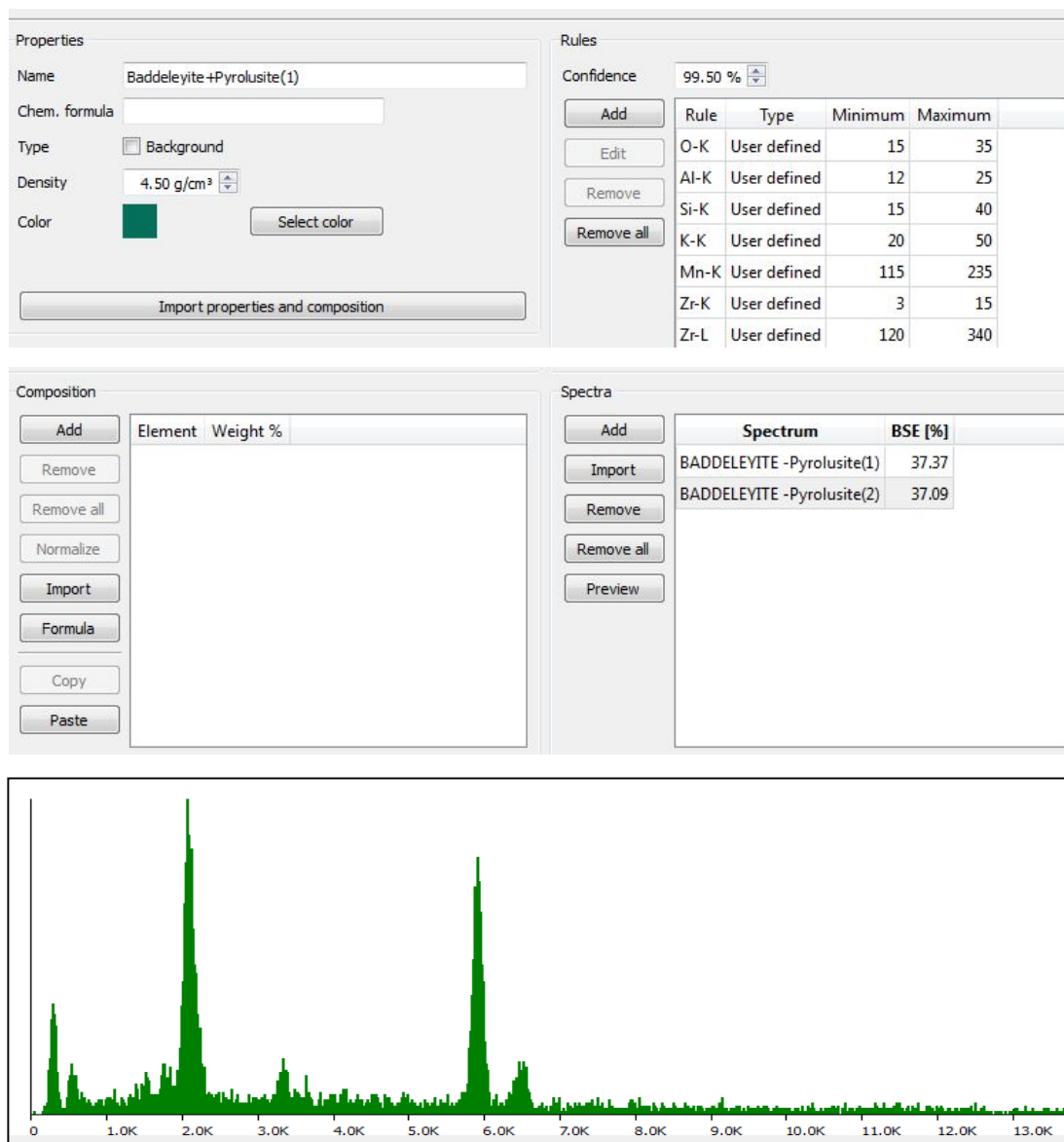


Figura 111: Regras de Classificação, Espectrograma da Badeleyita e Pirolusita

2.4. - Bismutocolumbita

Properties

Name

Chem. formula

Type ☐ Background

Density

Color

Rules

Confidence

Rule	Type	Minimum	Maximum
O-K	Computed	6	42
Ti-K	Computed	21	74
Nb-L	Computed	54	124
Ta-M	Computed	40	100
Bi-M	Computed	149	251

Composition

Element	Weight %
Bi	53.8755
Nb	17.9636
O	16.4987
Ta	11.6622
Total	100

Spectra

Spectrum	BSE [%]
Bismutocolumbite	80.4

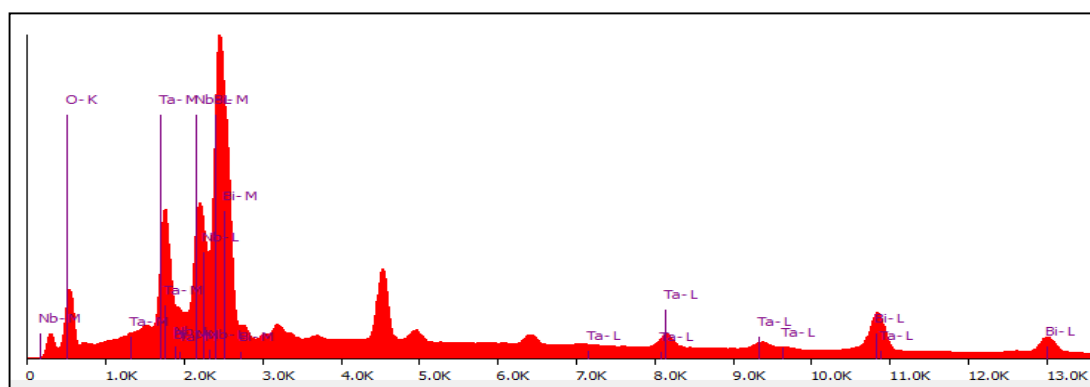


Figura 112: Regras de Classificação, Espectrograma da BismutoColumbita

2.5. - Cassiterita

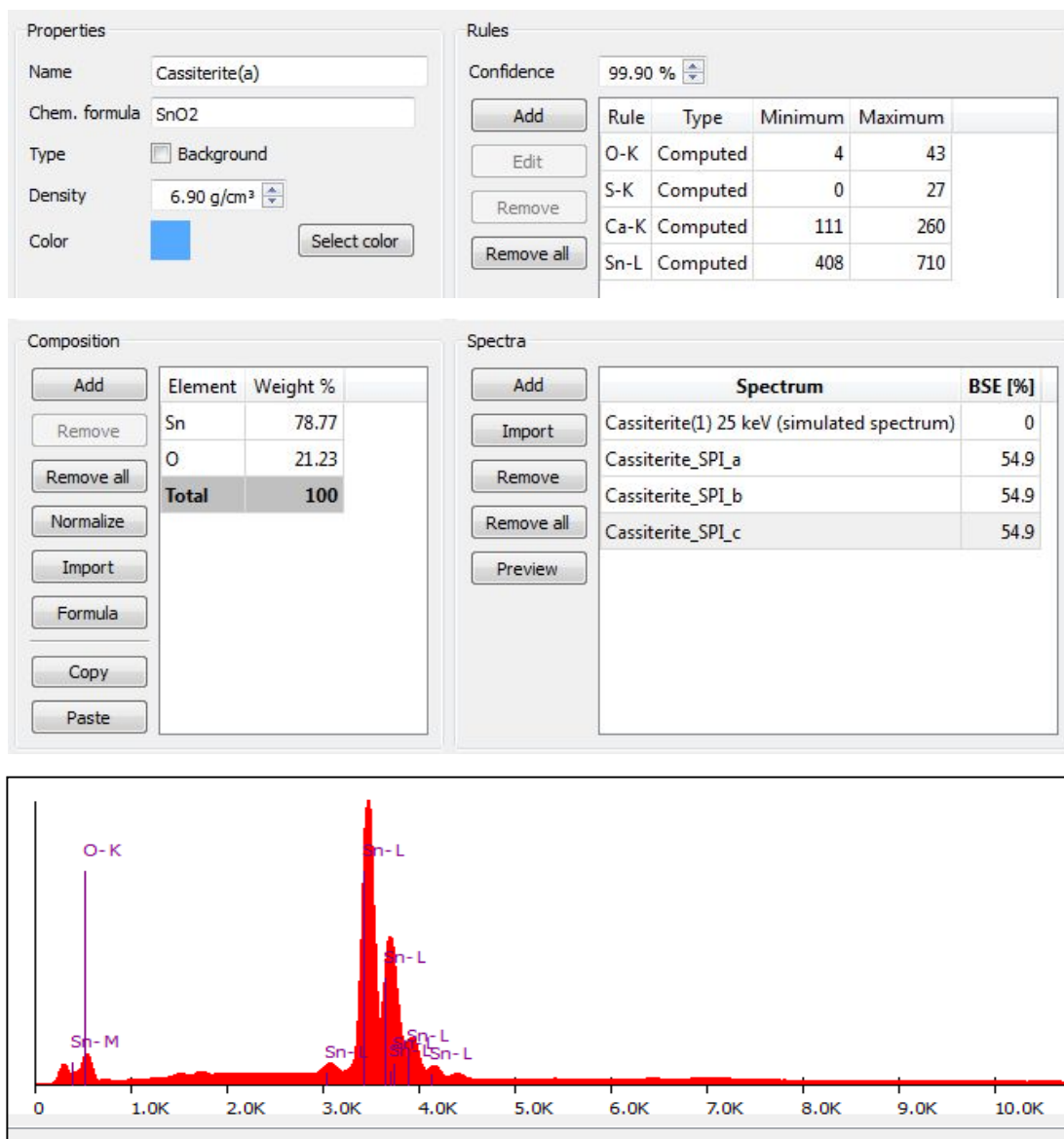


Figura 113: Regras de Classificação, Espectrograma da Cassiterita

2.6. - Cromita

Properties

Name

Chem. formula

Type ☐ Background

Density

Color

Rules

Confidence

Rule	Type	Minimum	Maximum
O-K	User defined	75	253
Mg-K	Computed	12	121
Al-K	User defined	15	252
Cr-K	Computed	116	424
Fe-K	Computed	48	200

Composition

Element	Weight %
Cr	34.71
O	31.76
Fe	14.43
Al	11.19
Mg	7.91
Total	100

Spectra

Spectrum	BSE [%]
Chromite2	32.3
Chromite3	28.4
Chromite(1) 25 keV (simulated spectrum)	0
Chromite	25.6

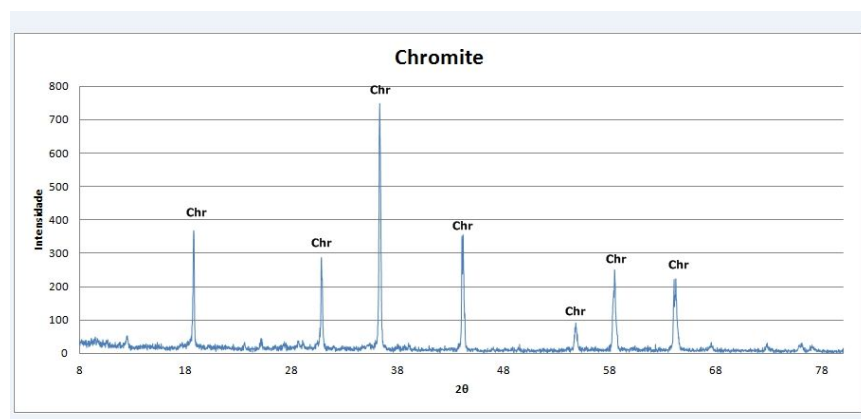
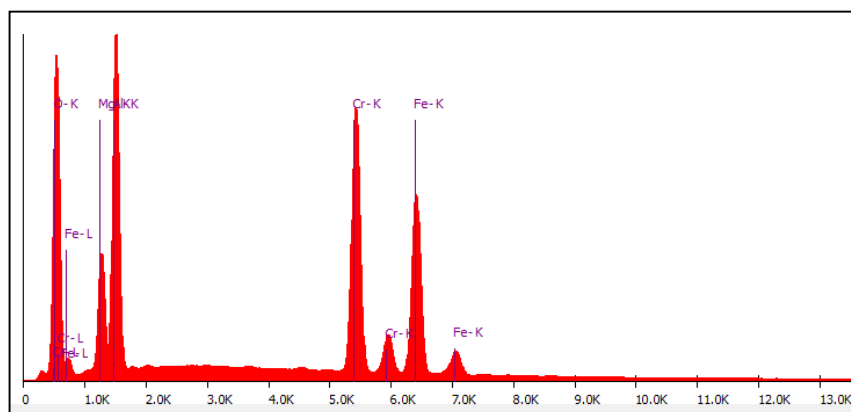


Figura 114: Regras de Classificação, Espectrograma e Difratoograma da Cromita

2.7. - Columbita

Properties

Name:

Chem. formula:

Type: ☐ Background

Density:

Color:

Rules

Confidence: 99.50 %

Rule	Type	Minimum	Maximum
O-K	User defined	10	55
Ti-K	User defined	15	55
Mn-K	User defined	7	119
Fe-K	User defined	3	110
Zr-K	User defined	1	5
Nb-L	User defined	67	387
Ta-M	User defined	24	242

Composition

Element	Weight %
Nb	32.9443
Ta	27.4987
O	24.3143
Fe	7.0726
Mn	6.9574
Ti	1.2127
Total	100

Spectra

Spectrum	BSE [%]
Columbite-(Mn)1	65.1
Columbite-(Mn)2	62.4
Columbite_sum1	54.1
Columbite_sum2	75.5
Columbite_sum3	60.3

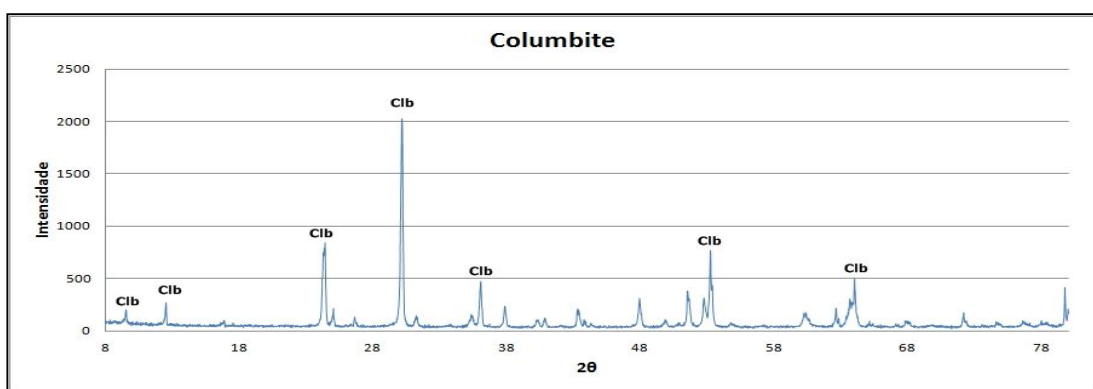
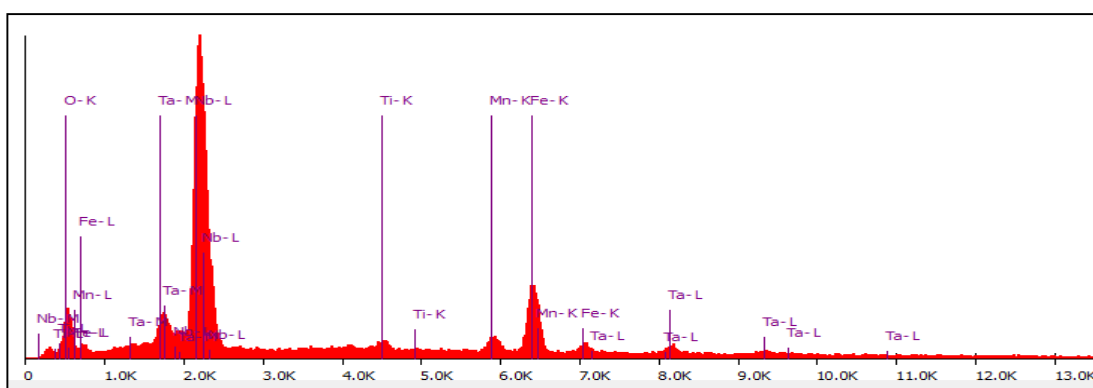


Figura 115: Regras de Classificação, Espectrograma e Difratoograma da Columbita

2.8. - Columbita- (Mn)

Properties

Name: Columbite-(Mn)

Chem. formula: $(\text{Mn,Fe})(\text{Nb,Ta})_2\text{O}_6$

Type: ☐ Background

Density: 5.28 g/cm³

Color: Select color

Rules

Confidence: 99.90 %

Rule	Type	Minimum	Maximum
O-K	Computed	9	49
Ti-K	Computed	10	60
Mn-K	Computed	50	126
Nb-L	Computed	173	324
Ta-M	Computed	40	129

Composition

Element	Weight %
Nb	32.9443
Ta	27.4987
O	24.3143
Fe	7.0726
Mn	6.9574
Ti	1.2127
Total	100

Spectra

Spectrum	BSE [%]
Columbite-(Mn)1	65.1
Columbite-(Mn)2	62.4

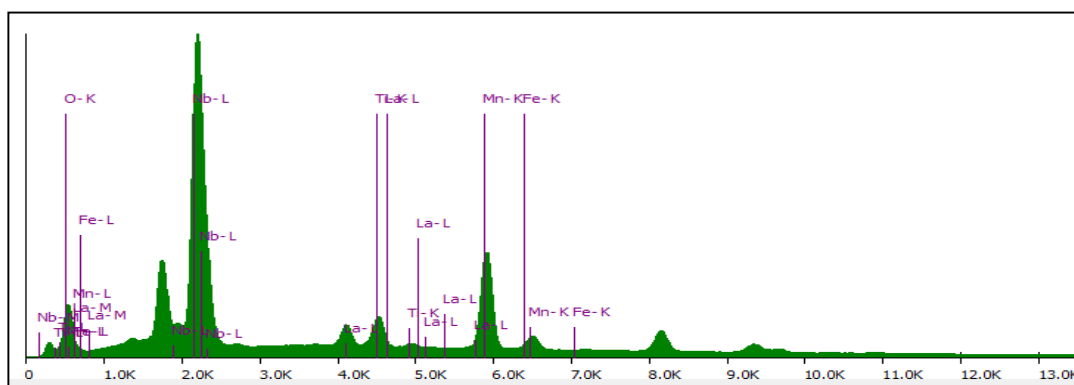


Figura 116: Regras de Classificação, Espectrograma da Columbita- Mn

2.9. - Corindón

Properties

Name:

Chem. formula:

Type: ☐ Background

Density:

Color:

Rules

Confidence: 99.50 %

Rule	Type	Minimum	Maximum
O-K	User defined	20	203
Al-K	User defined	600	950
Si-K	User defined	3	50

Composition

Element	Weight %
Al	52.9251
O	47.0749
Total	100

Spectra

Spectrum	BSE [%]
Corundum(1) 25 keV (simulated spectrum)	0
Corundum(2) 25 keV (simulated spectrum)	0
Corundum	17.9

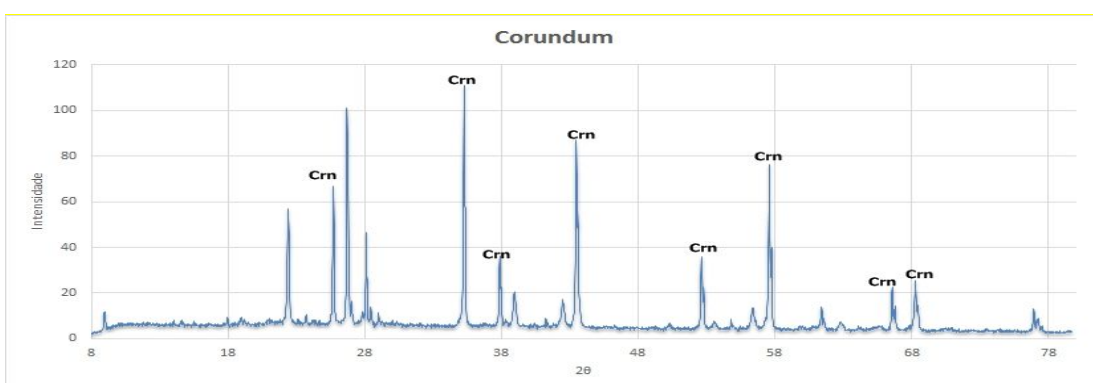
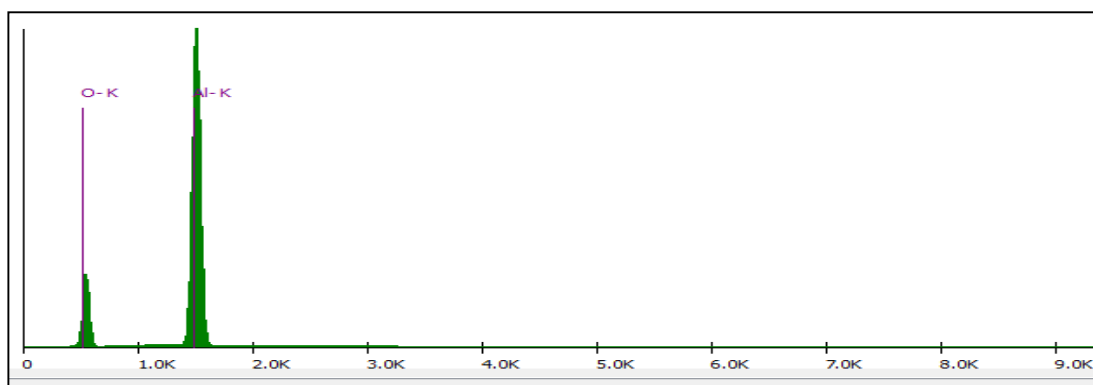


Figura 117: Regras de Classificação, Espectrograma e Difratoograma do Córindon

2.10. Cuprita

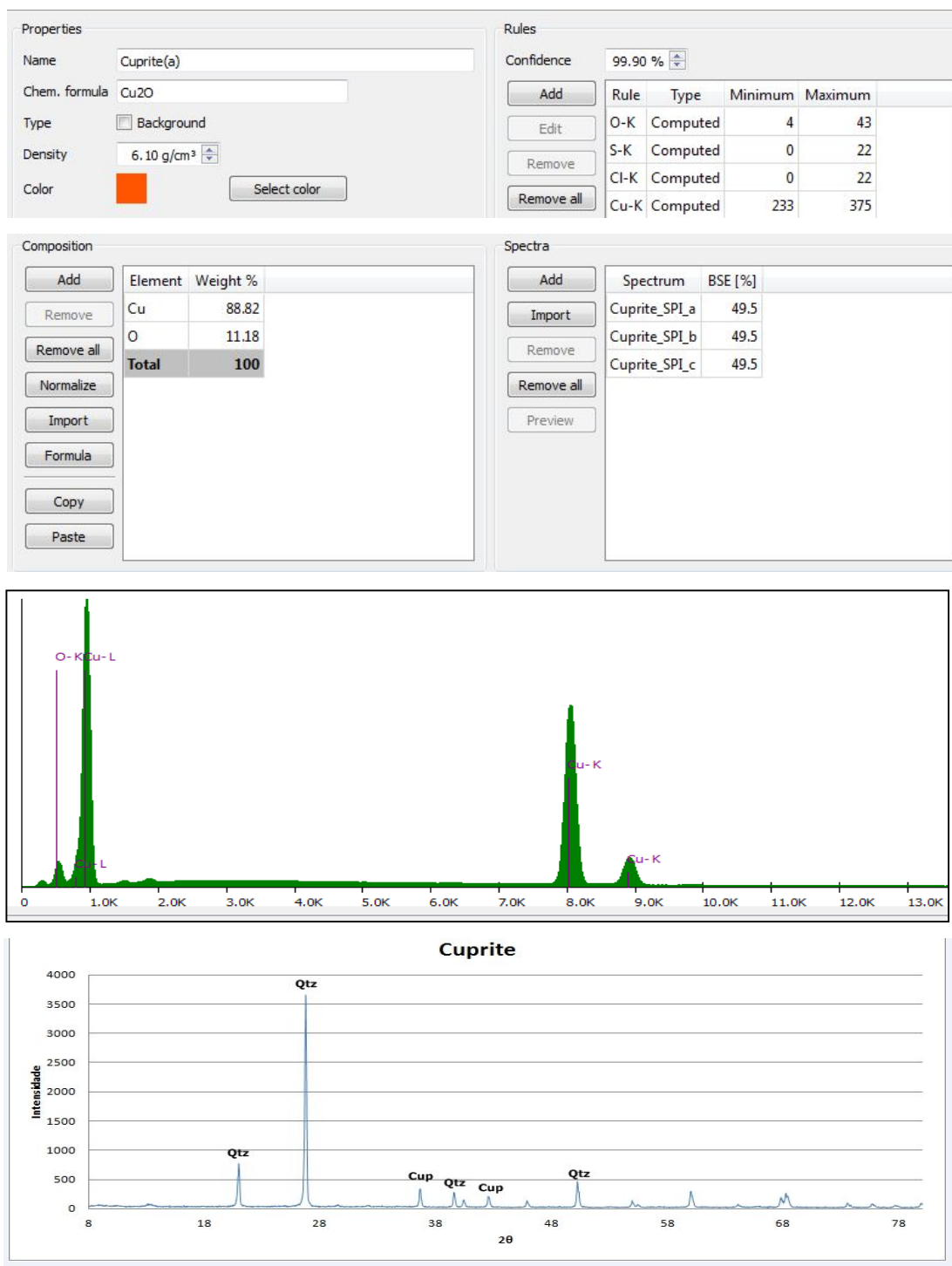


Figura 118: Regras de Classificação, Espectrograma e Difratoograma da Cuprita

2.11. Diásporo

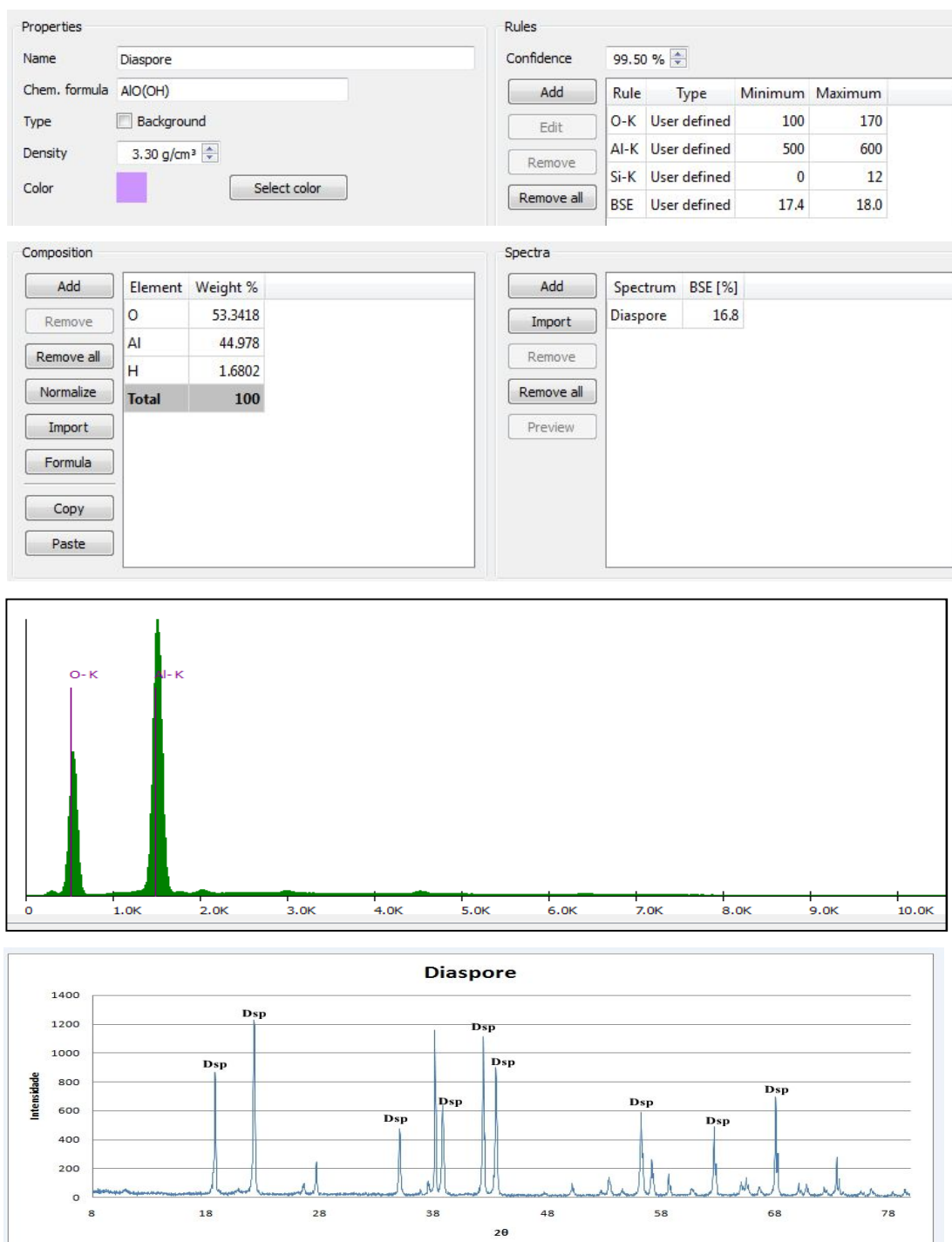


Figura 119: Regras de Classificação, Espectrograma e Difratoograma do Diásporo

2.12. Diásporo- (Fe)

Properties

Name: Diásporo-(Fe)(a)

Chem. formula: $\text{AlO}(\text{OH})$

Type: ☐ Background

Density: 4.00 g/cm³

Color: Select color

Rules

Confidence: 99.50 %

Rule	Type	Minimum	Maximum
O-K	Computed	136	229
Al-K	User defined	230	419
Fe-K	User defined	54	205

Composition

Element	Weight %
O	47
Al	39
Fe	14
Total	100

Spectra

Spectrum	BSE [%]
Diásporo-(Fe)	38.5

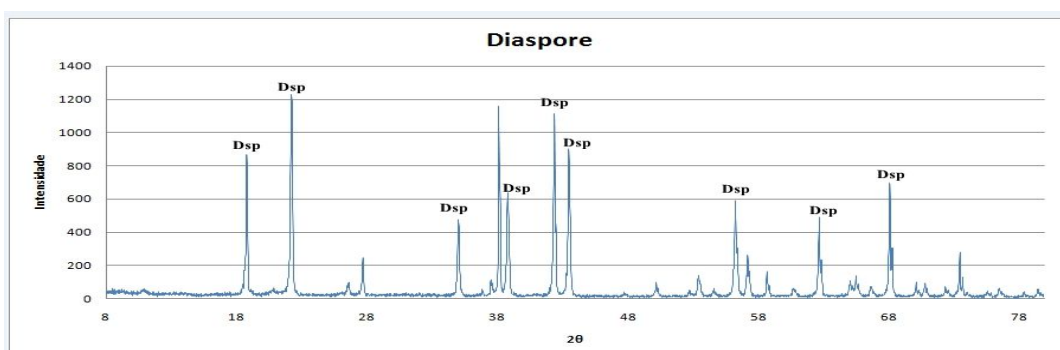
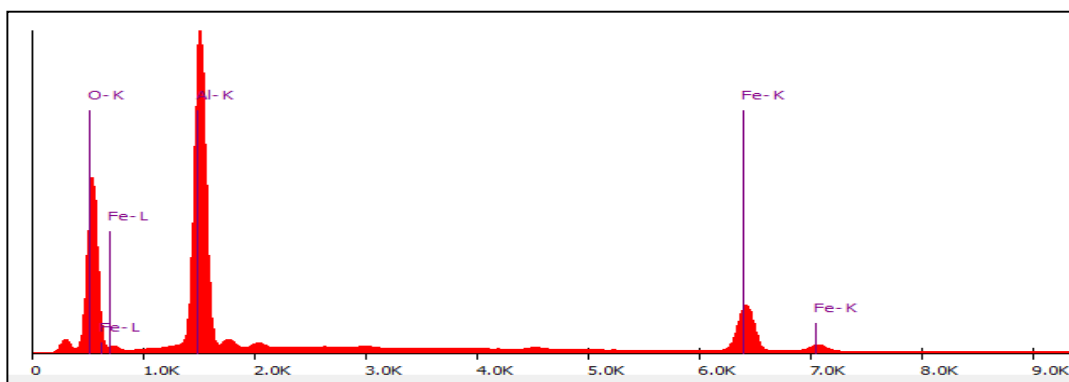


Figura 120: Regras de Classificação, Espectrograma e Difratoograma do Diásporo-Fe

2.13. Diásporo- (Fe-Mn)

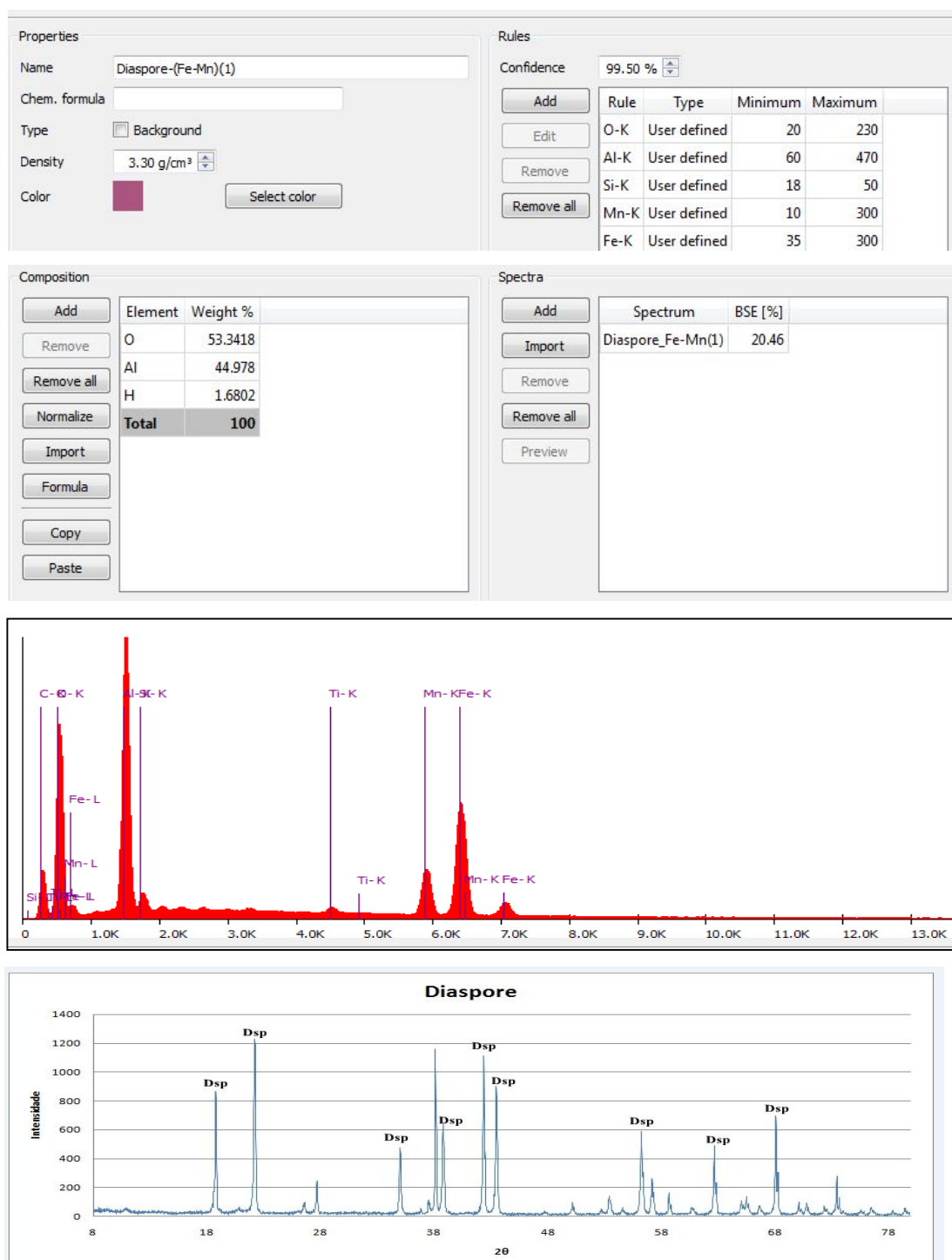


Figura 121: Regras de Classificação, Espectrograma e Difratoograma do Diásporo-Fe-Mn

2.14. Fersmita

Properties

Name: Fersmite

Chem. formula: $(\text{Ca,Ce,Na})(\text{Nb,Ta,Ti})_2(\text{O,OH,F})_6$

Type: ☐ Background

Density: 4.69 g/cm³

Color: Select color

Import properties and composition

Rules

Confidence: 99.50 %

Add Edit Remove Remove all

Rule	Type	Minimum	Maximum
O-K	Computed	12	55
Ca-K	Computed	6	43
Ti-K	Computed	70	154
Y-L	Computed	25	84
Nb-L	Computed	40	110
Ta-M	Computed	28	84
U-M	Computed	57	131

Composition

Add Remove Remove all Normalize Import Formula Copy Paste

Element	Weight %
Nb	40.3986
O	24.5543
Ta	13.885
Ca	7.1759
Ce	7.1678
Th	2.9676
Y	2.2741
Na	0.588
F	0.4859
U	0.2572

Spectra

Add Import Remove Remove all Preview

Spectrum	BSE [%]
Fersmite	59.1

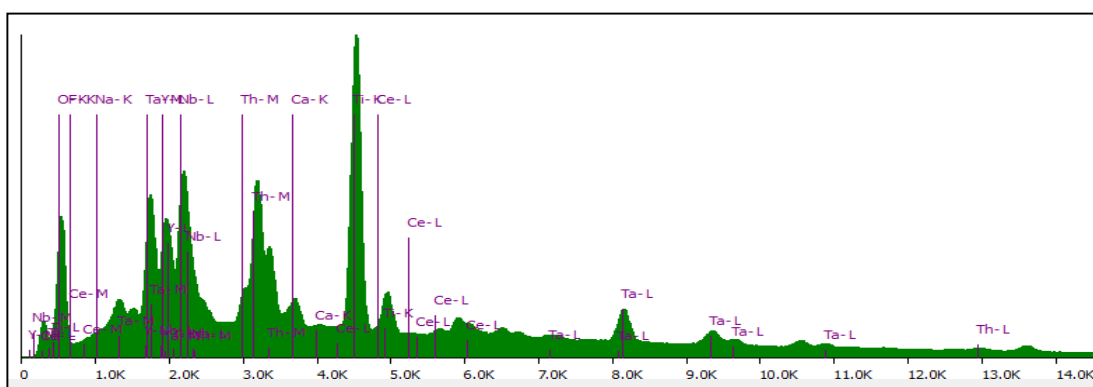


Figura 122: Regras de Classificação, Espectrograma da Fersmita

2.15. Fersmita- (Nb)

Properties

Name: Fersmite-(Nb)

Chem. formula:

Type: ☐ Background

Density: 4.69 g/cm³

Color: Select color

Import properties and composition

Comments

Rules

Confidence: 99.50 %

Add Edit Remove Remove all

Rule	Type	Minimum	Maximum
O-K	Computed	10	63
Ca-K	Computed	3	65
Ti-K	Computed	37	103
Y-L	Computed	31	91
Nb-L	Computed	136	244
Ta-M	Computed	32	103
U-M	Computed	15	64

Composition

Add Remove Remove all Normalize Import Formula Copy Paste

Element	Weight %
Nb	40.3986
O	24.5543
Ta	13.885
Ca	7.1759
Ce	7.1678
Th	2.9676
Y	2.2741
Na	0.588
F	0.4859
Li	0.2578

Spectra

Add Import Remove Remove all Preview

Spectrum	BSE [%]
Fersmite-(Nb)1	59.1
Fersmite-(Nb)2	62.2

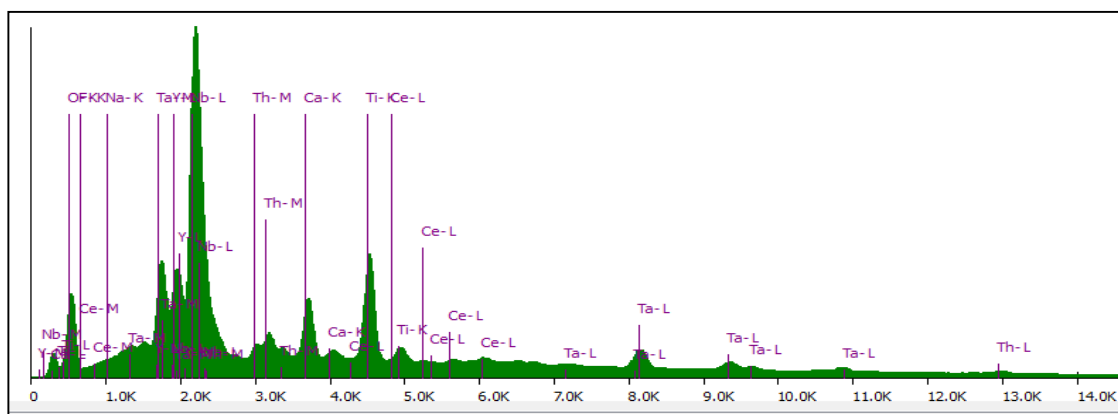


Figura 123: Regras de Classificação, Espectrograma da Fesrmita-Nb

2.16. Fergusonita

Properties

Name

Chem. formula

Type ☐ Background

Density

Color

Rules

Confidence

Rule	Type	Minimum	Maximum
O-K	Computed	9	49
Ca-K	Computed	1	28
Y-L	Computed	66	146
Zr-L	Computed	50	123
Nb-L	Computed	120	219
Ce-L	Computed	18	66
Ta-M	Computed	7	46

Composition

Element	Weight %
Nb	35.67
O	22.06
Y	16.46
Dy	9.62
Gd	8.16
Nd	4.09
Ta	3.54
Ca	0.41
Total	100.01

Spectra

Spectrum	BSE [%]
Fergusonite	62.2

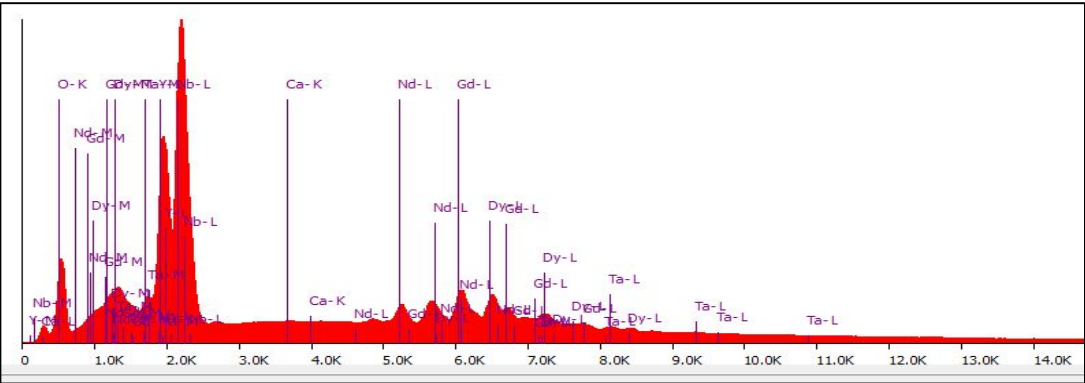


Figura 124: Regras de Classificação, Espectrograma da Fergusonita

2.17. Gibsita

Properties

Name

Chem. formula

Type ☐ Background

Density

Color

Rules

Confidence

Rule	Type	Minimum	Maximum
O-K	User defined	30	336
F-K	User defined	0	11
Al-K	User defined	120	570
Si-K	User defined	5	20
P-K	User defined	4	16
Ca-K	User defined	2	10
BSE	User defined	15.3	23.0

Composition

Element	Weight %
O	61.5333
Al	34.5901
H	3.8765
Total	99.9999

Spectra

Spectrum
Gibbsite 25 keV (simulated spectrum)
Gibbsite(1) 25 keV (simulated spectrum)
Gibbsite(2) (simulated from chemistry @ 25 keV)
Gibbsite(3) (simulated from chemistry @ 25 keV)
Gibbsite(5) (simulated from chemistry @ 25 keV)
Gibbsite(6) (simulated from chemistry @ 25 keV)
Gibbsite(7) (simulated from chemistry @ 25 keV)
Gibbsite(8) (simulated from chemistry @ 25 keV)
Gibbsite(9) (simulated from chemistry @ 25 keV)

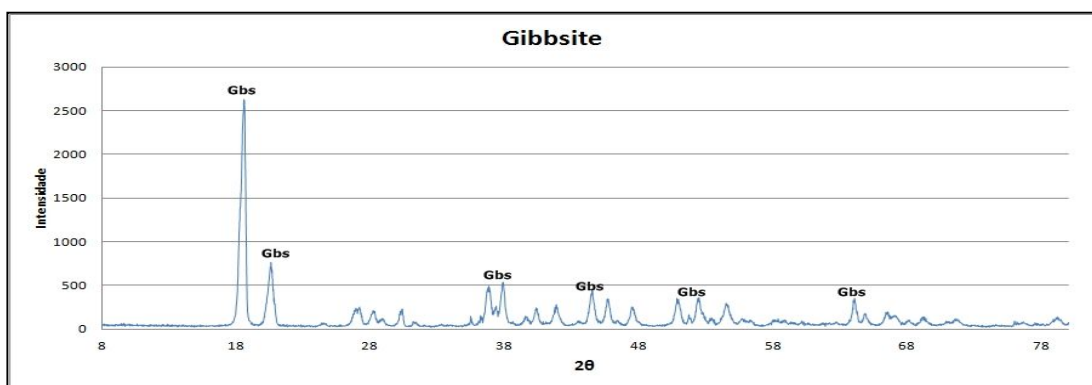
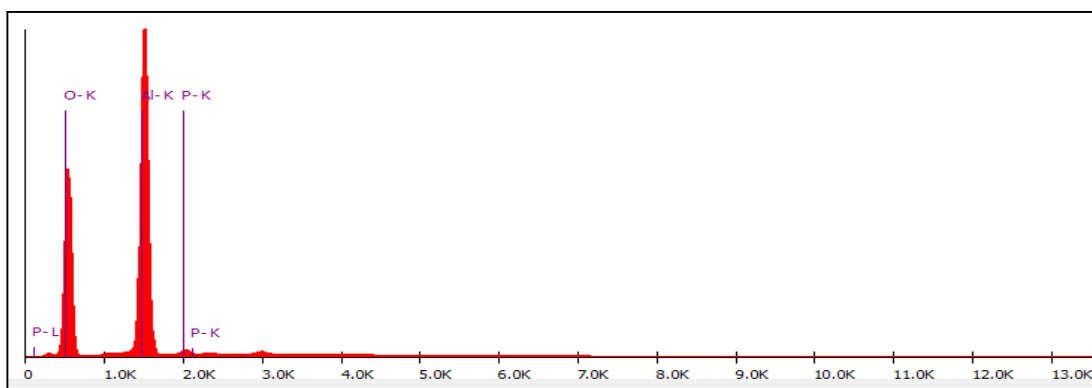


Figura 125: Regras de Classificação, Espectrograma e Difratoograma da Gibsita

2.18. Goethita

Properties

Name:

Chem. formula:

Type: ☐ Background

Density:

Color:

Rules

Confidence: 99.50 %

Rule	Type	Minimum	Maximum
Mg-K	User defined	2	20
P-K	User defined	1	55
Mn-K	User defined	4	40
Cu-K	User defined	3	31
Ba-L	User defined	8	90
Fe-K / O-K	User defined	1.68	39.90
BSE	User defined	18.0	31.0

Composition

Element	Weight %
Fe	62.8527
O	36.0129
H	1.1344
Total	100

Spectra

Spectrum	BSE [%]
Goethite 25 keV (simulated spectrum)	0
Goethite(1) 25 keV (simulated spectrum)	0

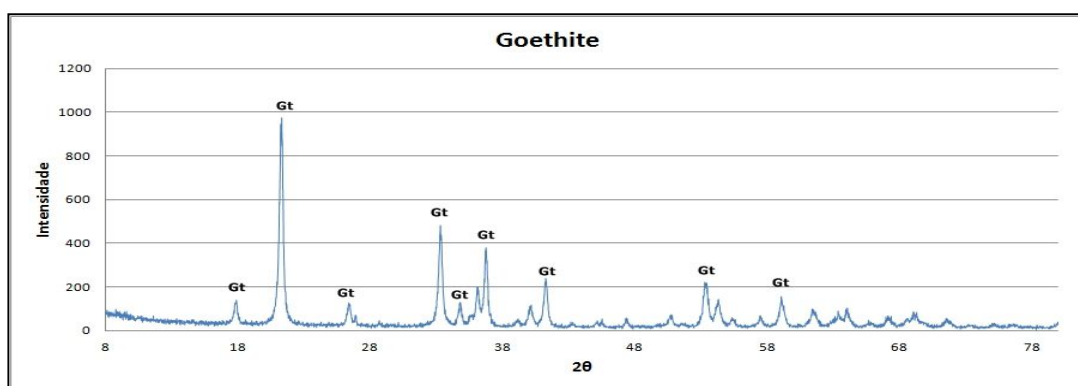
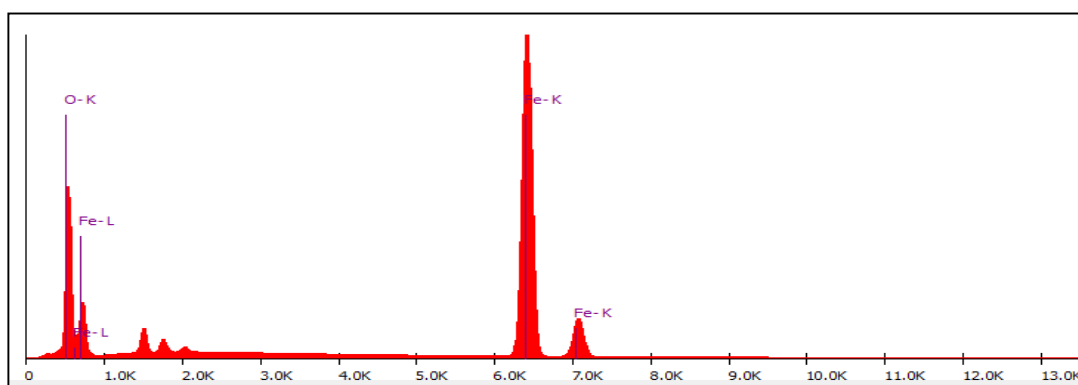


Figura 126: Regras de Classificação, Espectrograma e Difratoograma da Goetita

2.19. Hematita/Magnetita

Properties

Name: Hematite/Magnetite

Chem. formula: $\text{Fe}_2\text{O}_3/\text{Fe}_3\text{O}_4$

Type: ☐ Background

Density: 5.13 g/cm³

Color:

Rules

Confidence: 99.50 %

Rule	Type	Minimum	Maximum
Fe-K / O-K	User defined	2.00	9.85
BSE	User defined	31.0	47.0

Composition

Element	Weight %
Fe	70
O	30
Total	100

Spectra

Spectrum	BSE [%]
Hematite 25 keV (simulated spectrum)	31.4
Hematite(1) 25 keV (simulated spectrum)	34.6
Hematite(2) 25 keV (simulated spectrum)	35.8
Hematite(3) 25 keV (simulated spectrum)	38.6
Hematite(4) 25 keV (simulated spectrum)	31.9
Hematite(5) 25 keV (simulated spectrum)	39.3
Hematite(6) 25 keV (simulated spectrum)	36.8
Hematite(7) 25 keV (simulated spectrum)	34.5
Hematite(8) 25 keV (simulated spectrum)	37.5
Hematite(10) 25 keV (simulated spectrum)	33.2
Hematite(11) 25 keV (simulated spectrum)	30.2
Hematite(12) 25 keV (simulated spectrum)	38.4
Magnetite2 25 keV (simulated spectrum)	37.07
Magnetite 25 keV (simulated spectrum)	35.7
Magnetite(1) 25 keV (simulated spectrum)	34.79
Magnetite(2) 25 keV (simulated spectrum)	37.3
Magnetite(3) 25 keV (simulated spectrum)	35.5
Magnetite(4) 25 keV (simulated spectrum)	37.8
Magnetite(5) 25 keV (simulated spectrum)	33.5
Magnetite(6) 25 keV (simulated spectrum)	37.9
Magnetite(7) 25 keV (simulated spectrum)	44.5
Magnetite(8) 25 keV (simulated spectrum)	46.4
Magnetite(9) 25 keV (simulated spectrum)	45.8

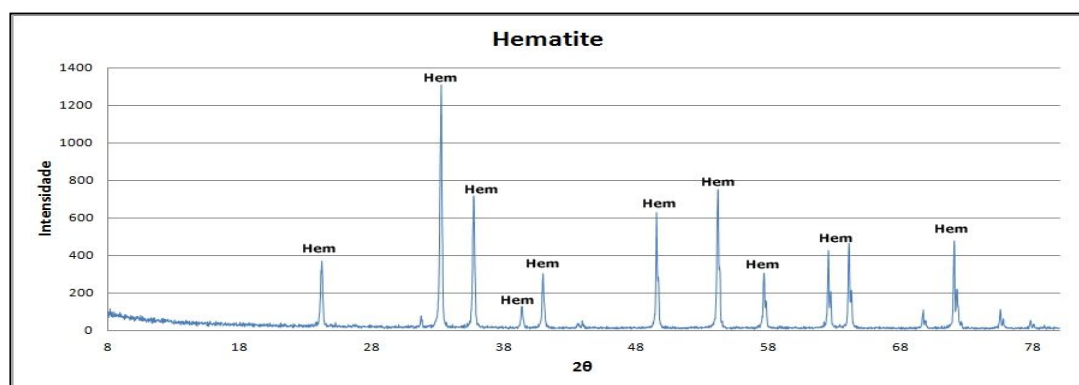
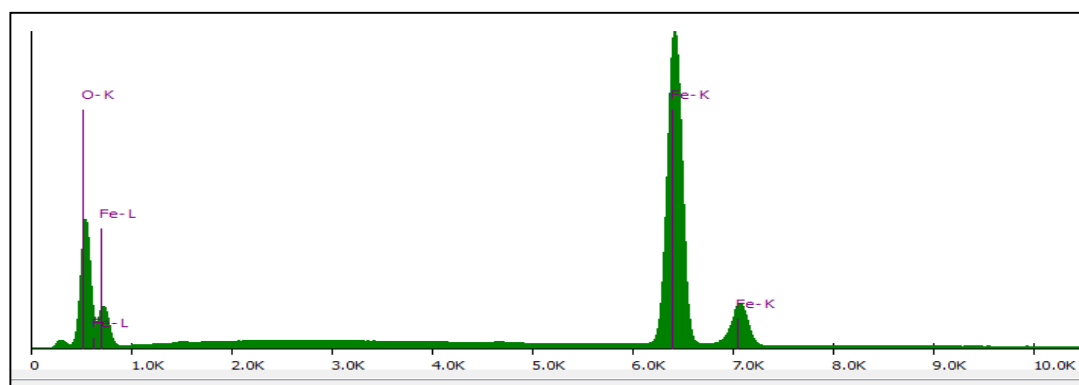


Figura 127: Regras de Classificação, Espectrograma e Difratoograma da Hematita-Magnetita

2.20. Ilmenite

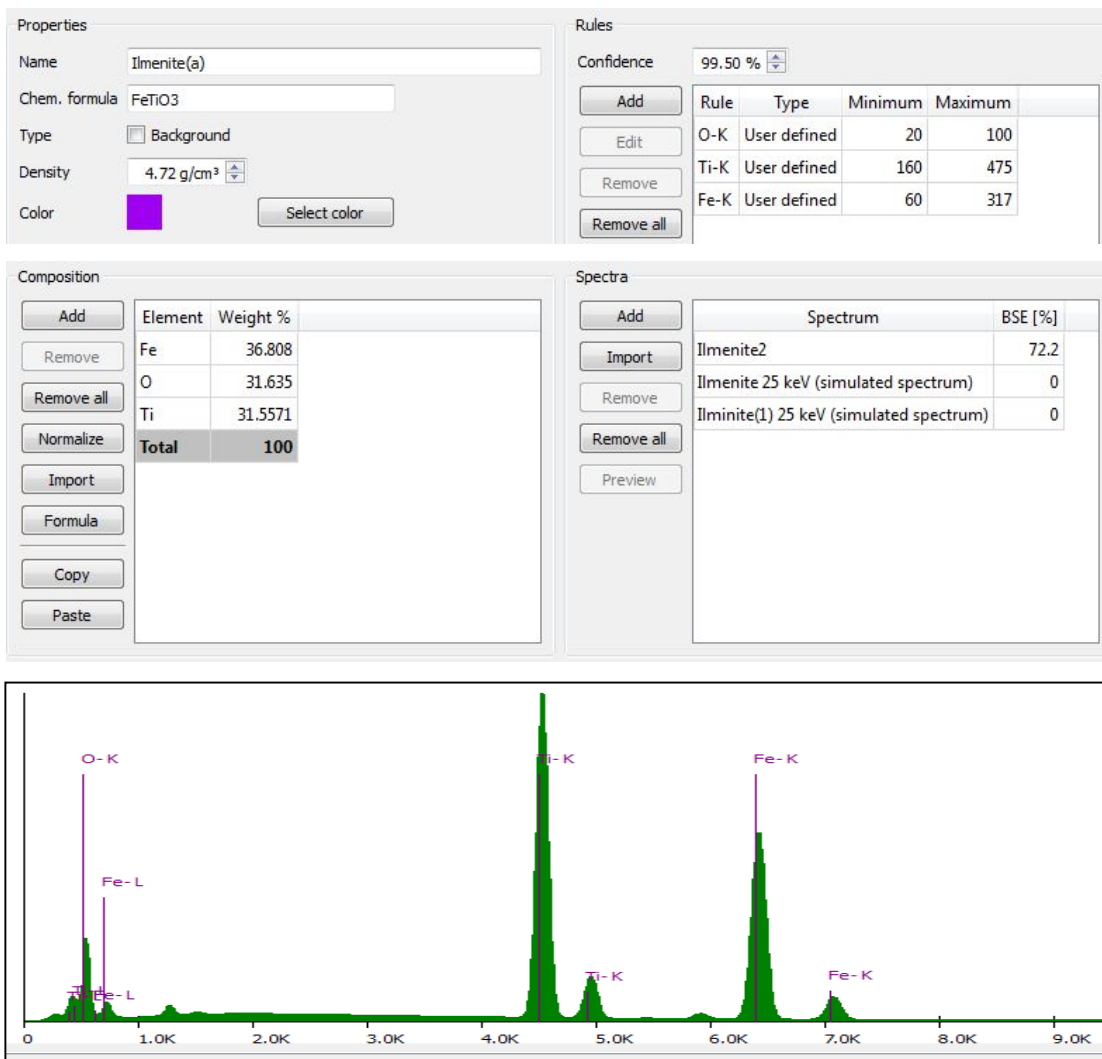


Figura 128: Regras de Classificação, Espectrograma da Ilmenita

2.21. Jacobsite

Properties

Name:

Chem. formula:

Type: ☐ Background

Density:

Color:

Rules

Confidence:

Rule	Type	Minimum	Maximum
O-K	Computed	92	178
Mn-K	Computed	48	160
Fe-K	User defined	190	350
Zn-K	Computed	3	52

Composition

Element	Weight %
Fe	44.2091
O	28.1451
Mn	26.5769
Mg	1.0689
Total	100

Spectra

Spectrum	BSE [%]
Jacobsite2	28.8
Jacobsite3	28.4
Jacobsite	28.8

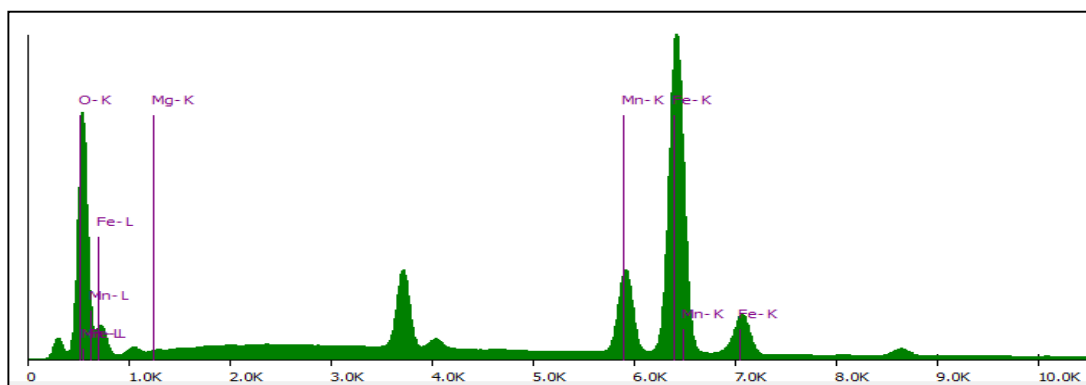


Figura 129: Regras de Classificação, Espectrograma da Jacobsita

2.22. Peroviskita

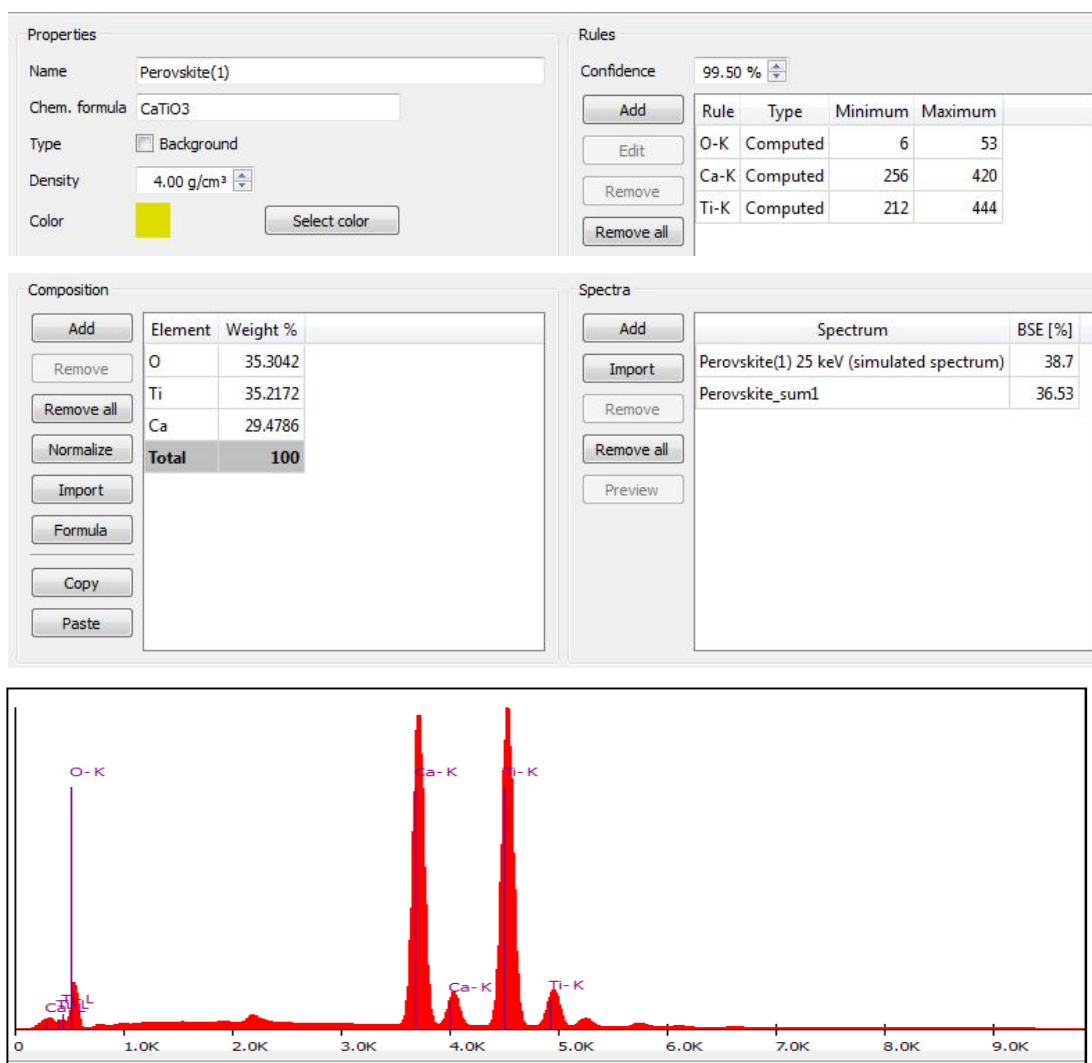


Figura 130: Regras de Classificação, Espectrograma da Peroviskita

2.23. Piromorfita

Properties

Name

Chem. formula

Type ☐ Background

Density

Color

Rules

Confidence

Rule	Type	Minimum	Maximum
O-K	User defined	6	30
P-K	User defined	6	75
Cl-K	User defined	20	35
Pb-L	User defined	80	85
Pb-M	User defined	200	330
BSE	User defined	80.0	83.0

Composition

Element	Weight %
Pb	76.3805
O	14.1549
P	6.8507
Cl	2.6138
Total	99.9999

Spectra

Spectrum	BSE [%]
Pyromorphite(1)	82.91

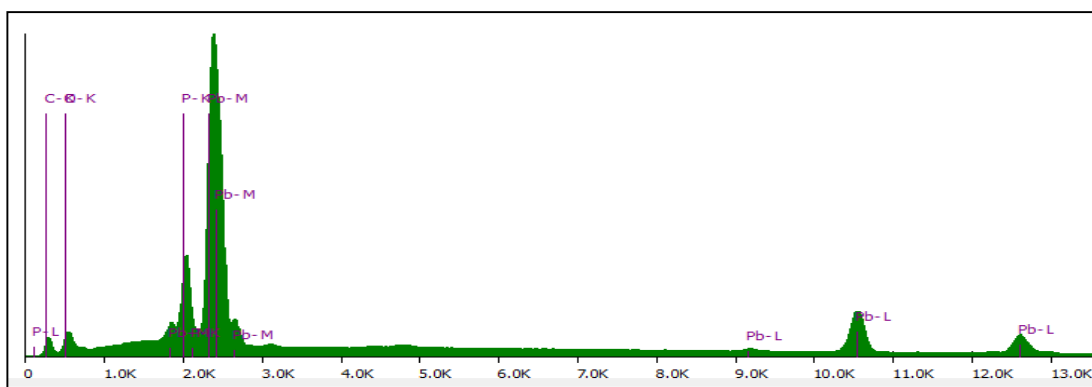


Figura 131: Regras de Classificação, Espectrograma da Piromorfita

2.24. Pirolusita

Properties

Name:

Chem. formula:

Type: ☐ Background

Density:

Color:

Rules

Confidence: 99.50 %

Rule	Type	Minimum	Maximum
O-K	User defined	4	180
Si-K	User defined	5	180
K-K	User defined	6	85
Ca-K	User defined	5	115
Mn-K	User defined	200	650
Fe-K	User defined	20	100

Composition

Element	Weight %
Mn	63.1931
O	36.8069
Total	100

Spectra

Spectrum	BSE [%]
pyrolusite(1)	27.53

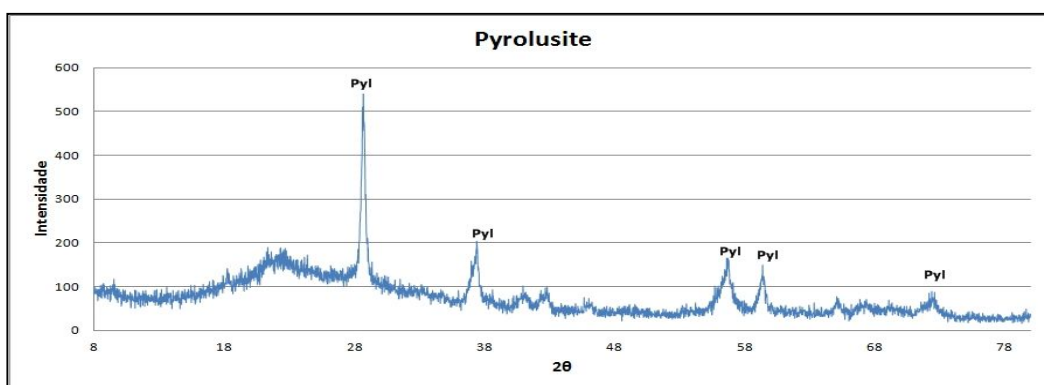
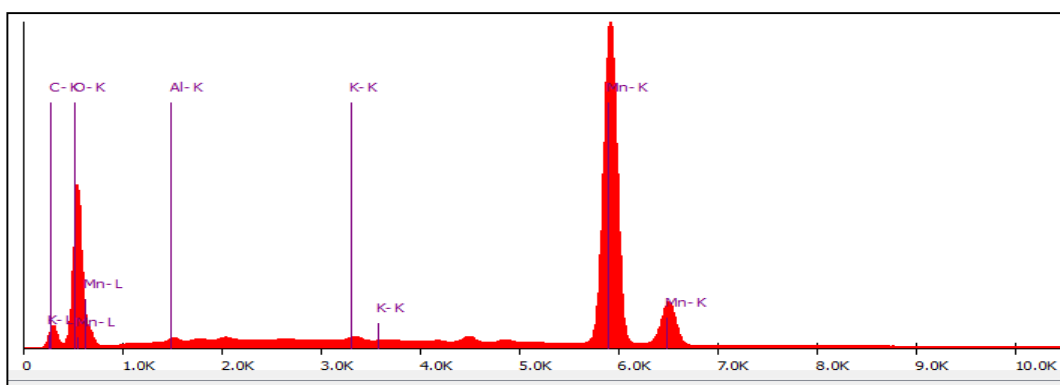


Figura 132: Regras de Classificação, Espectrograma da Pirolusita

2.25. Rutilo-Anatásio

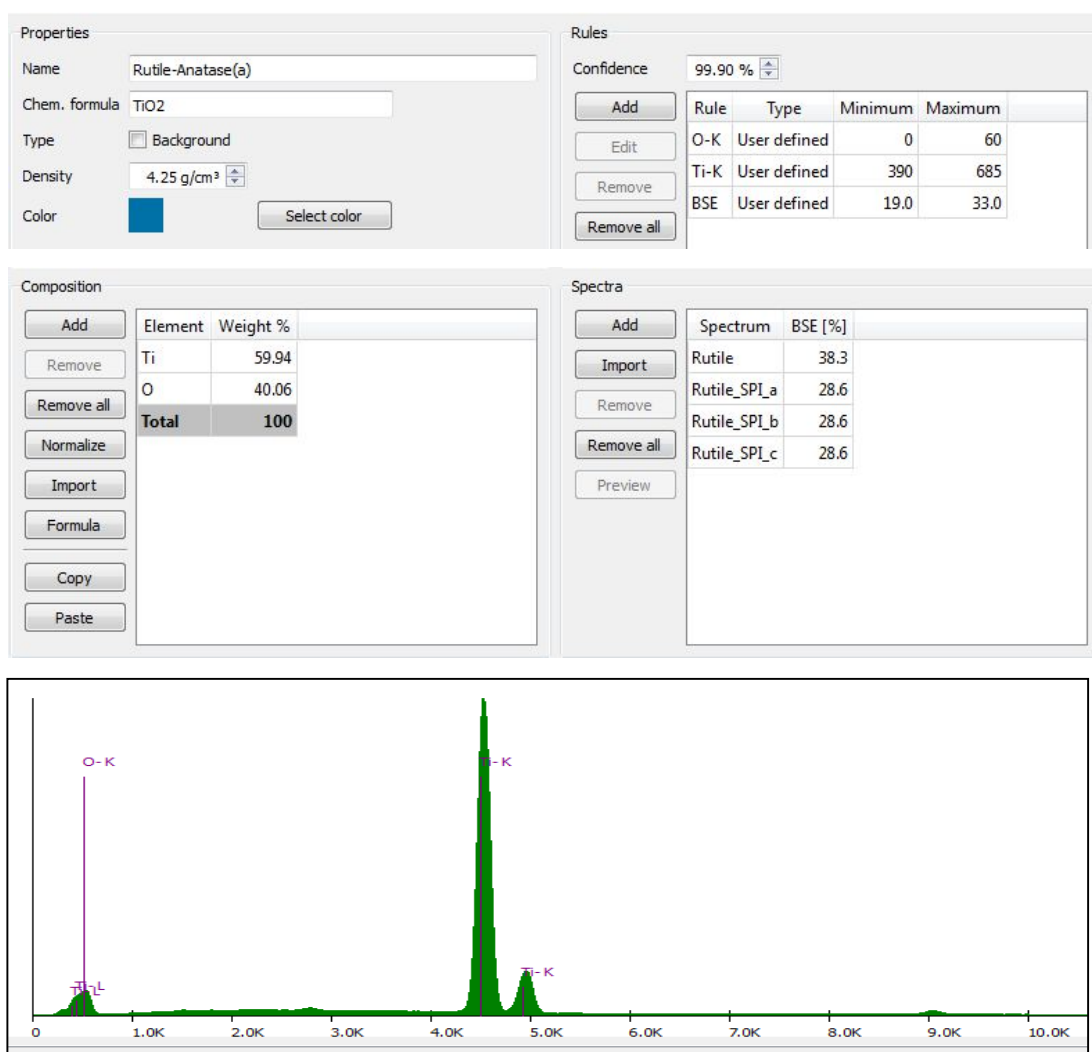


Figura 133: Regras de Classificação, Espectrograma do Rutilo/ Anatásio

2.26. Rinersonita

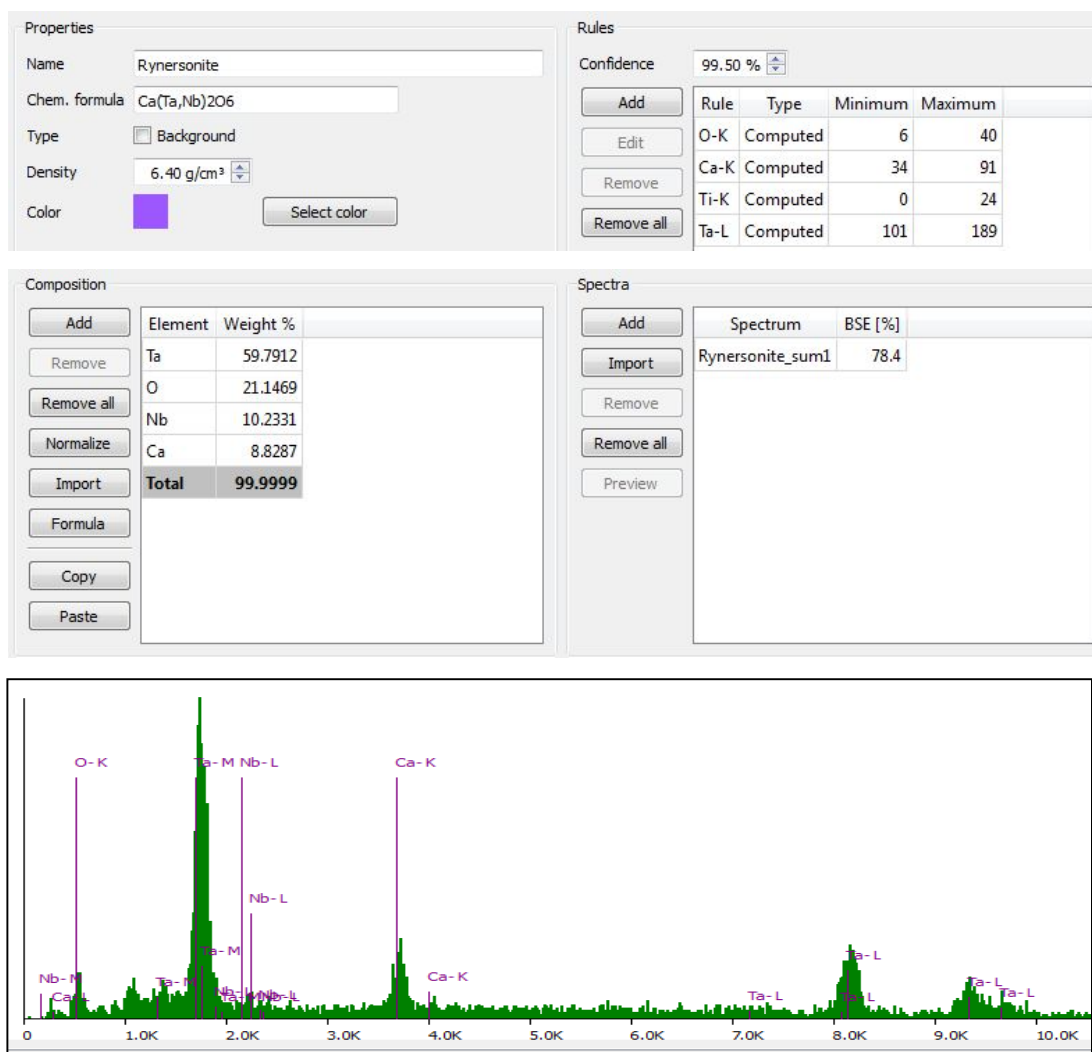


Figura 134: Regras de Classificação, Espectrograma da Rinersonita

2.27. Tantalita- (Fe)

Properties

Name: Tantalite-(Fe)

Chem. formula: FeTa₂O₆

Type: ☐ Background

Density: 8.20 g/cm³

Color: Select color

Import properties and composition

Rules

Confidence: 99.50 %

Add Edit Remove Remove all

Rule	Type	Minimum	Maximum
O-K	Computed	9	50
Ti-K	Computed	6	43
Mn-K	Computed	0	25
Fe-K	Computed	37	104
Cu-K	Computed	34	97
Nb-L	Computed	13	59
Ta-L	Computed	97	182

Composition

Add Remove Remove all Normalize Import Formula Copy Paste

Element	Weight %
Ta	70.4435
O	18.6858
Fe	10.8707
Total	100

Spectra

Add Import Remove Remove all Preview

Spectrum	BSE [%]
Tantalite-(Fe)_sum1	68.4

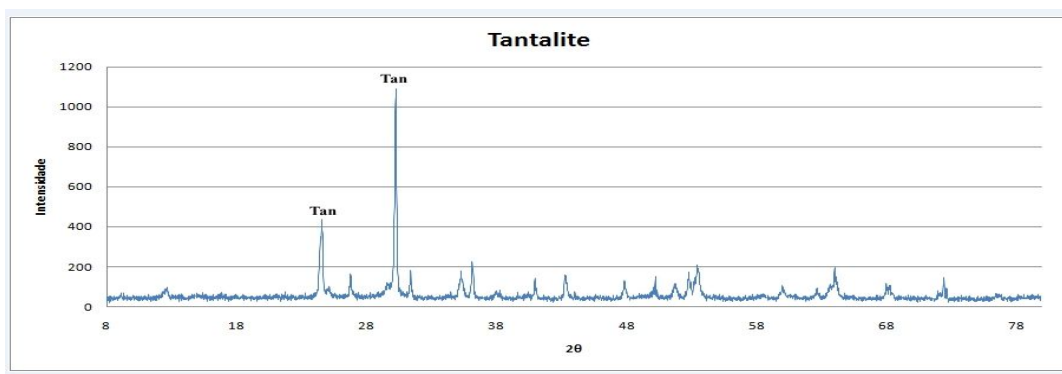
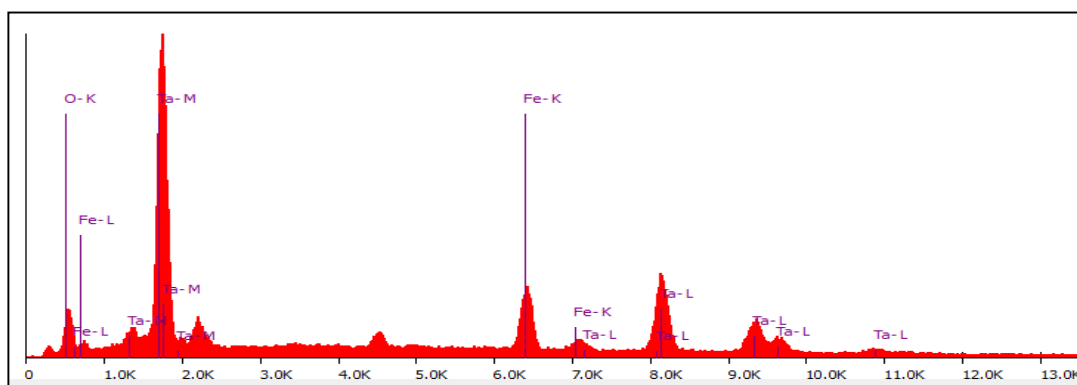


Figura 135: Regras de Classificação, Espectrograma e Difratoograma da Tantalita-Fe

2.28. Tantalita-(Mn)

Properties

Name: Tantalite-(Mn)(1)

Chem. formula:

Type: ☐ Background

Density: 8.10 g/cm³

Color: Select color

Import properties and composition

Rules

Confidence: 99.50 %

Add Edit Remove Remove all

Rule	Type	Minimum	Maximum
O-K	User defined	25	35
Si-K	User defined	130	240
Mn-K	User defined	55	80
Nb-K	User defined	1	8
Nb-L	User defined	12	185
Ta-L	User defined	100	155
Ta-M	User defined	170	310

Composition

Add Remove Remove all Normalize Import Formula Copy Paste

Element	Weight %
Ta	70.5683
O	18.7189
Mn	10.7127
Total	99.9999

Spectra

Add Import Remove Remove all Preview

Spectrum	BSE [%]
----------	---------

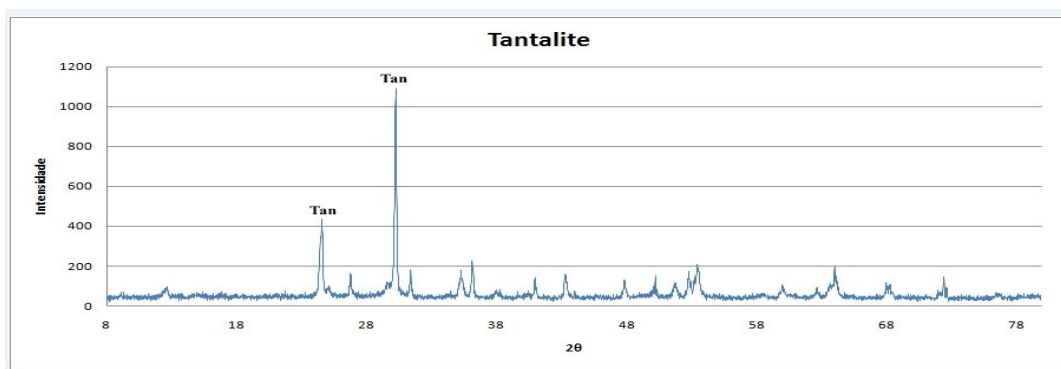
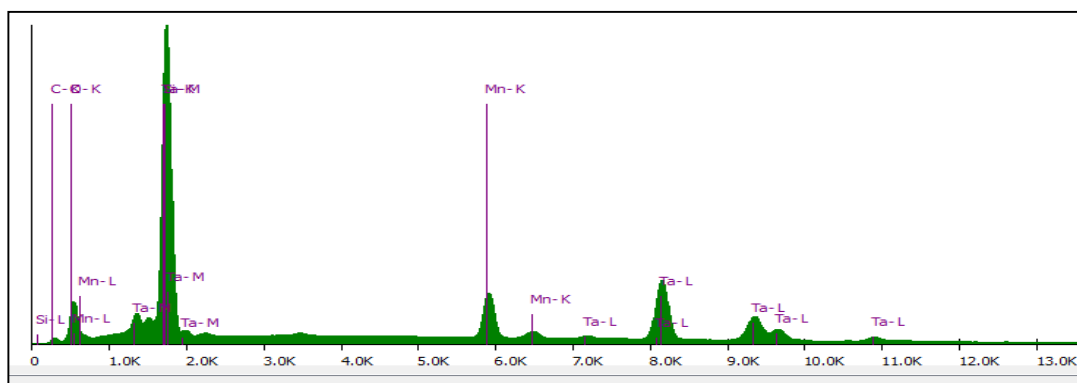


Figura 136: Regras de Classificação, Espectrograma e Difratoograma da Tantalita-Mn

2.29. Titanowodginita

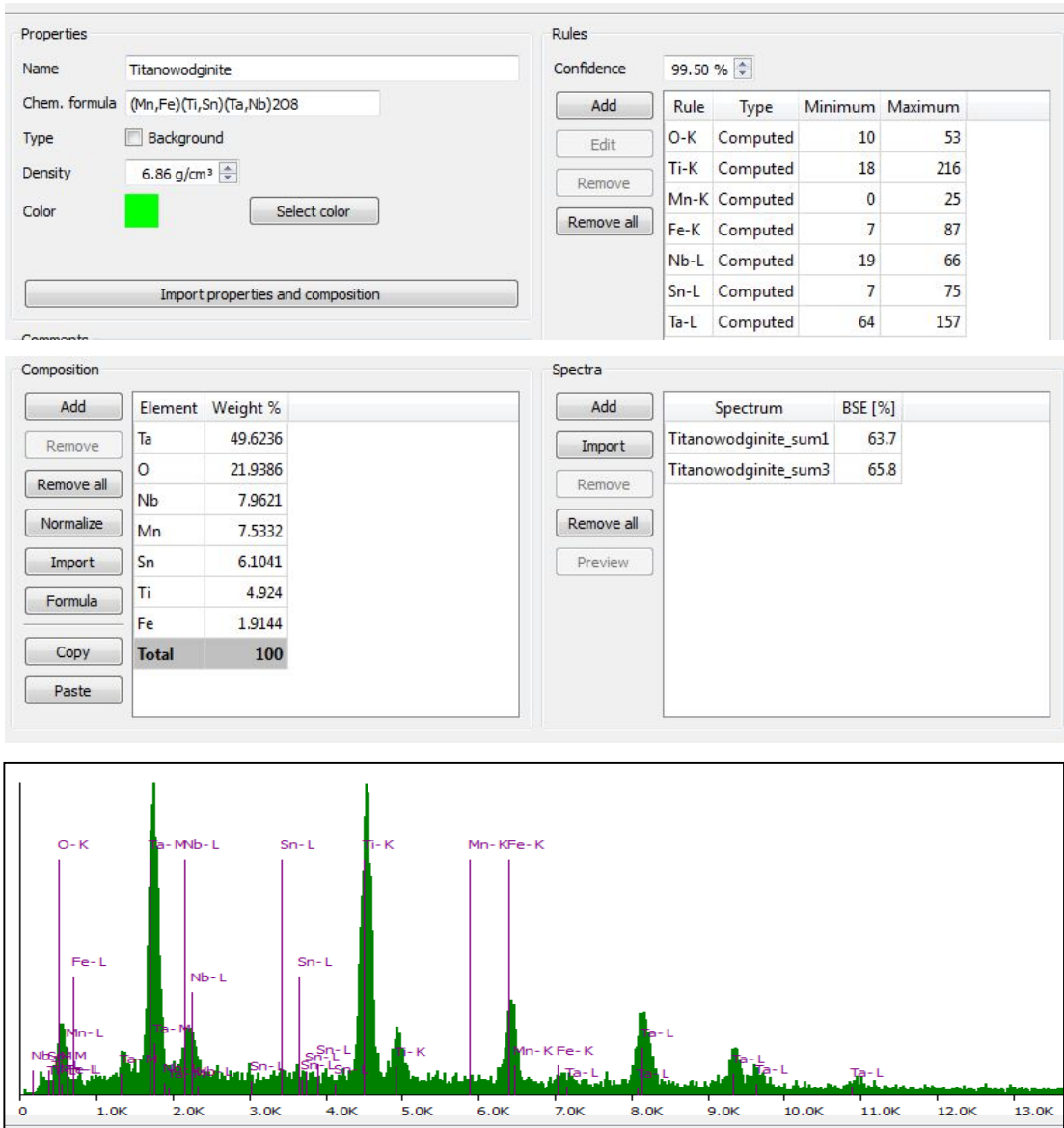


Figura 137: Regras de Classificação, Espectrograma da Titanowodginita

2.30. Uraninita

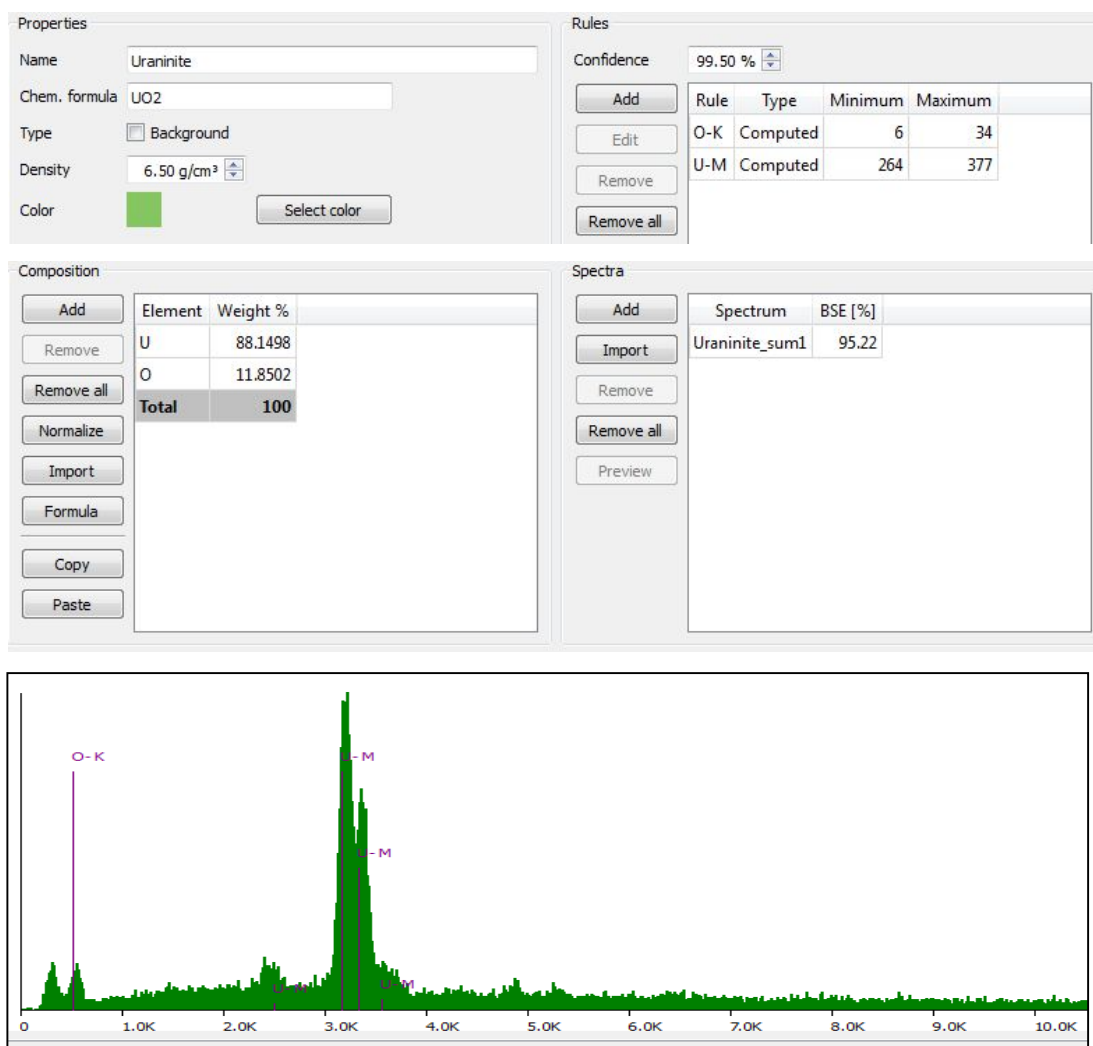


Figura 138: Regras de Classificação, Espectrograma da Uraninita

2.31. Vesuvianita

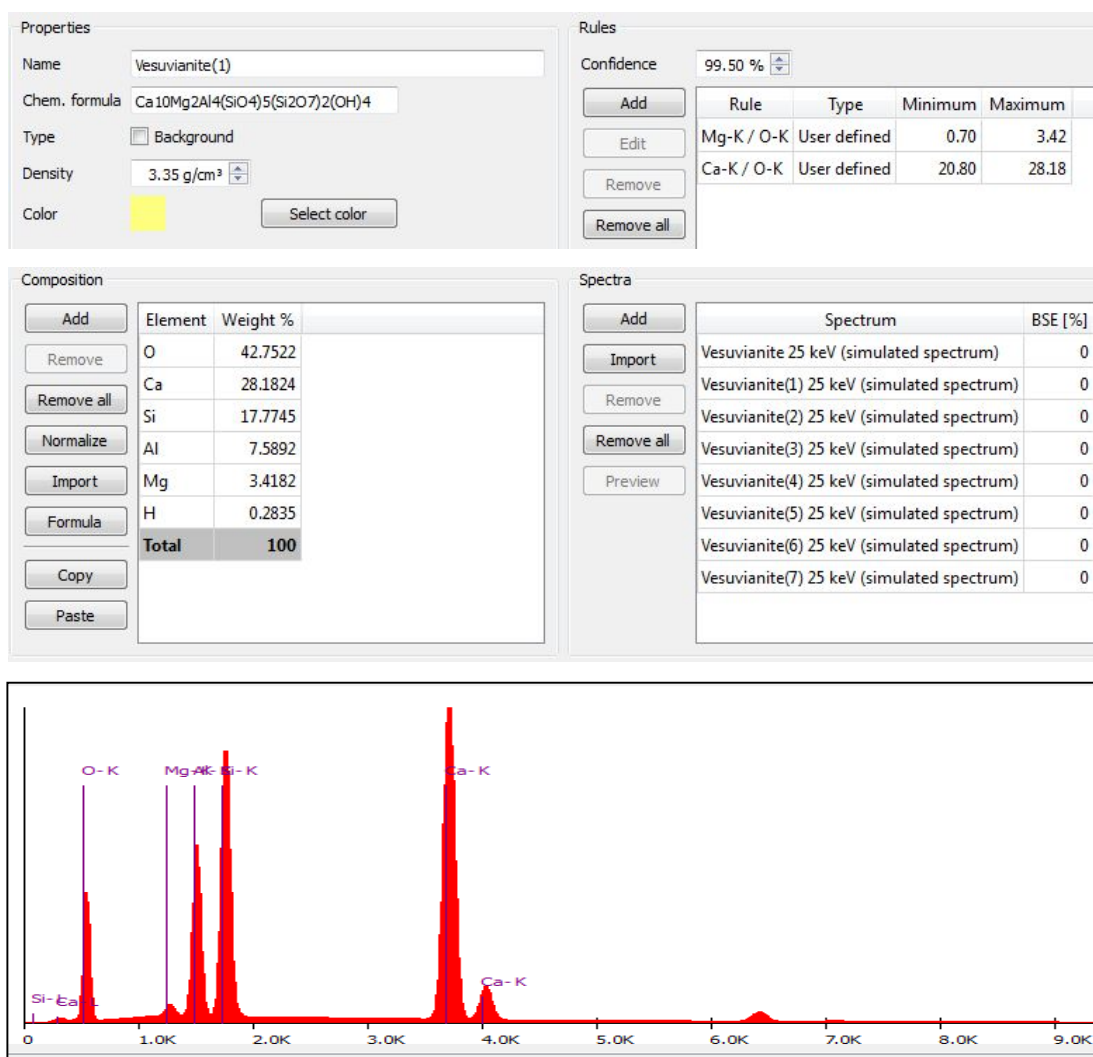


Figura 139: Regras de Classificação, Espectrograma da Vesuvianita

3. SULFETOS

3.1. Ouro Pigmento

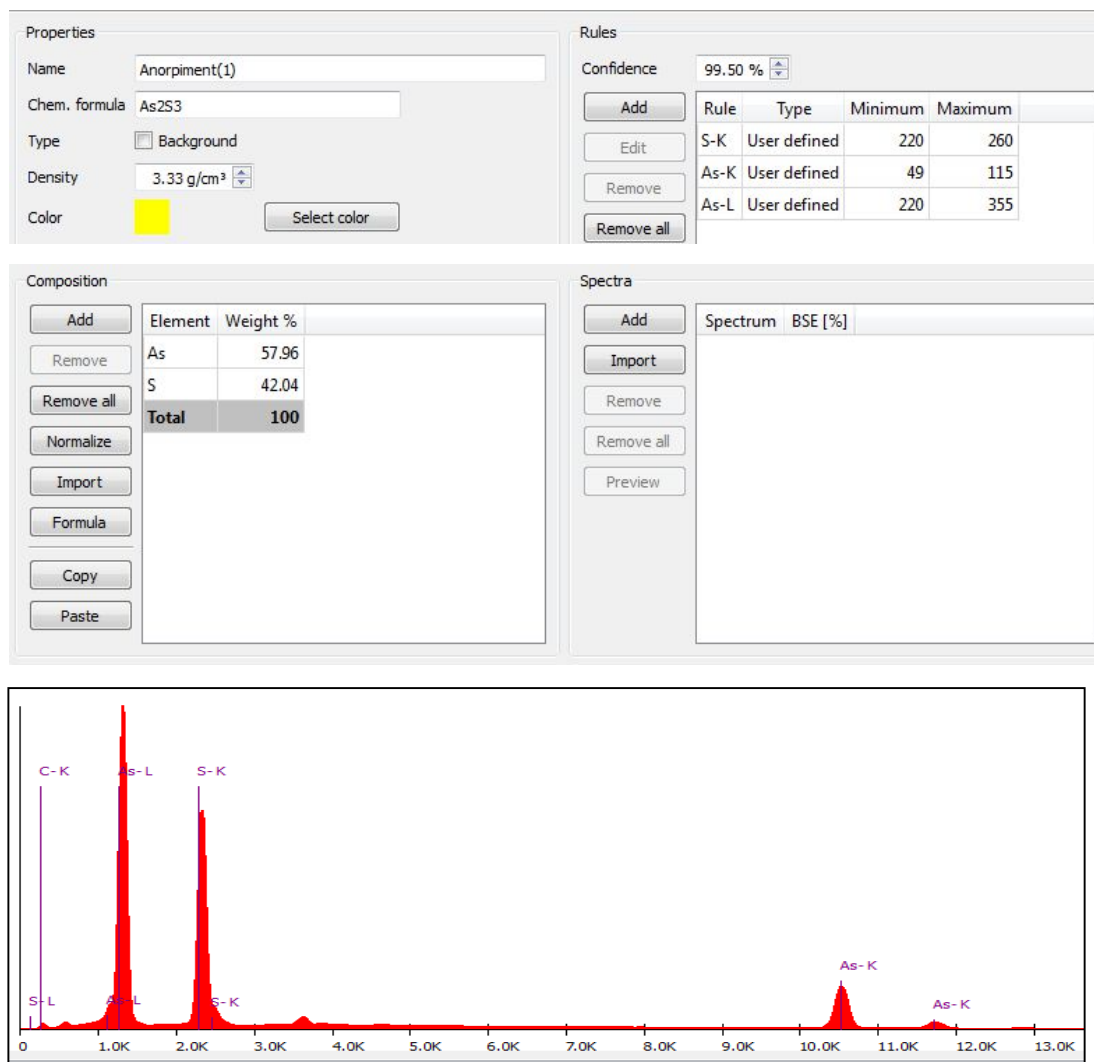


Figura 140: Regras de Classificação, Espectrograma do Ouro Pigmento

3.2. Arsenopirita

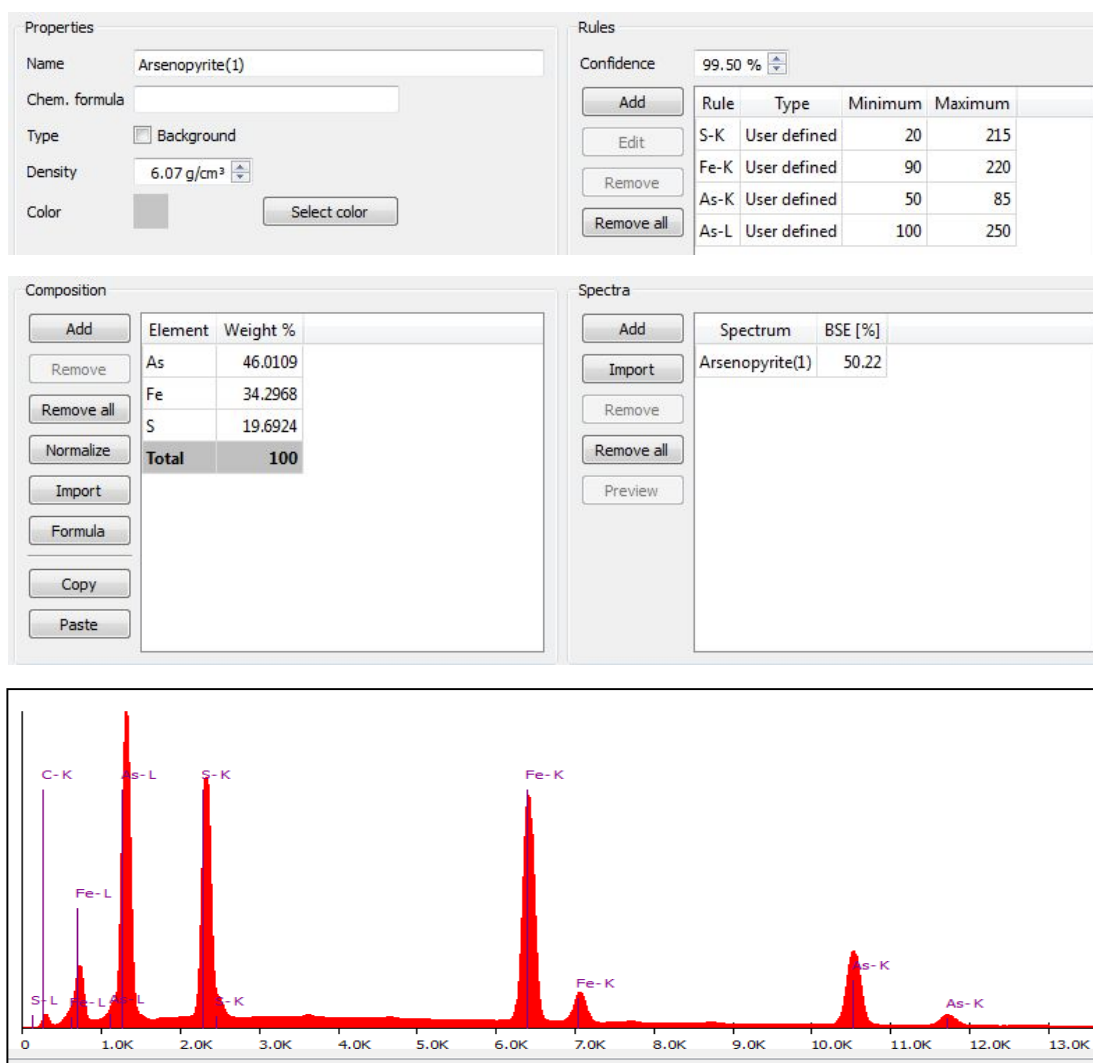


Figura 141: Regras de Classificação, Espectrograma da Arsenopirita

3.3. Berndtita

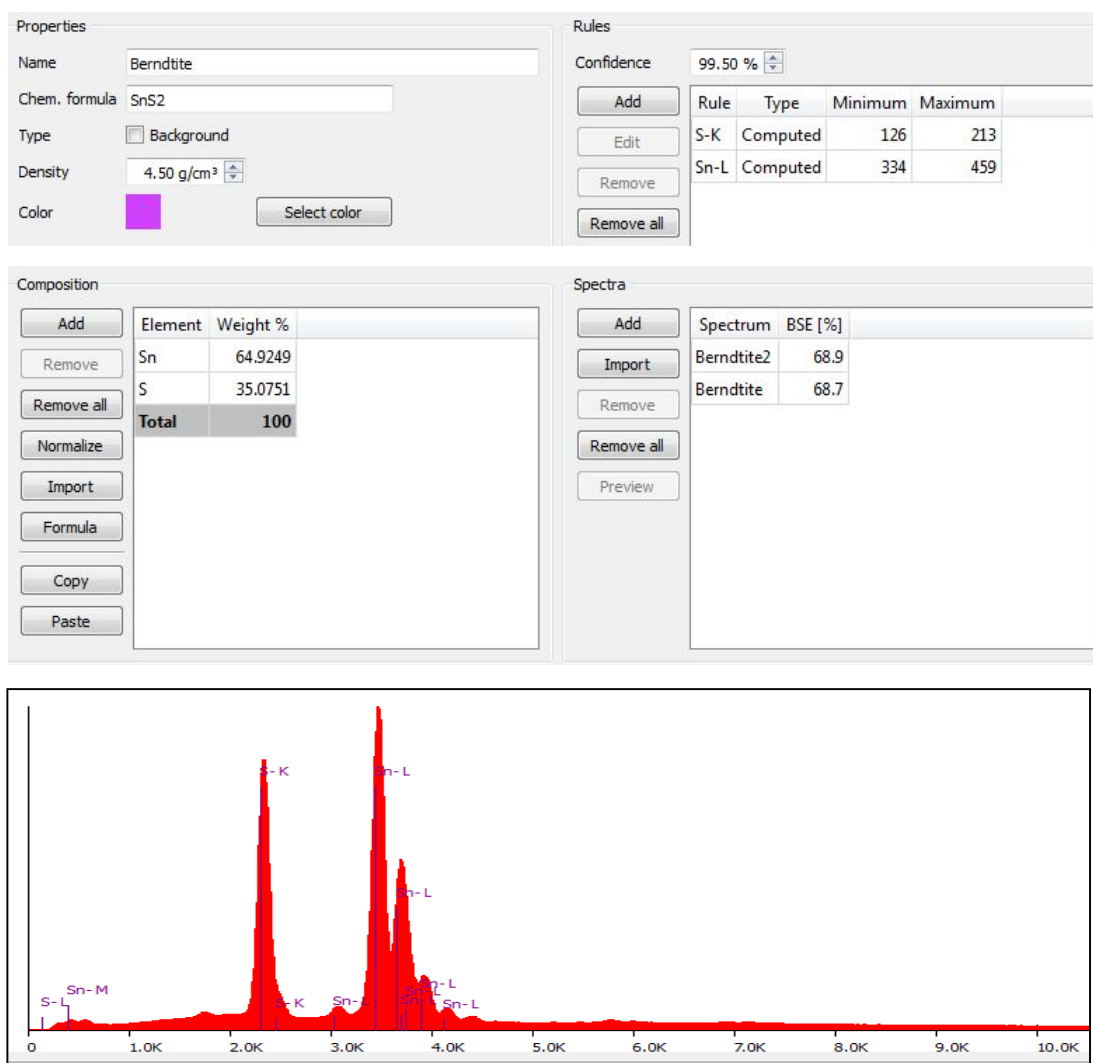


Figura 142: Regras de Classificação, Espectrograma da Berndtita

3.4. Bornita

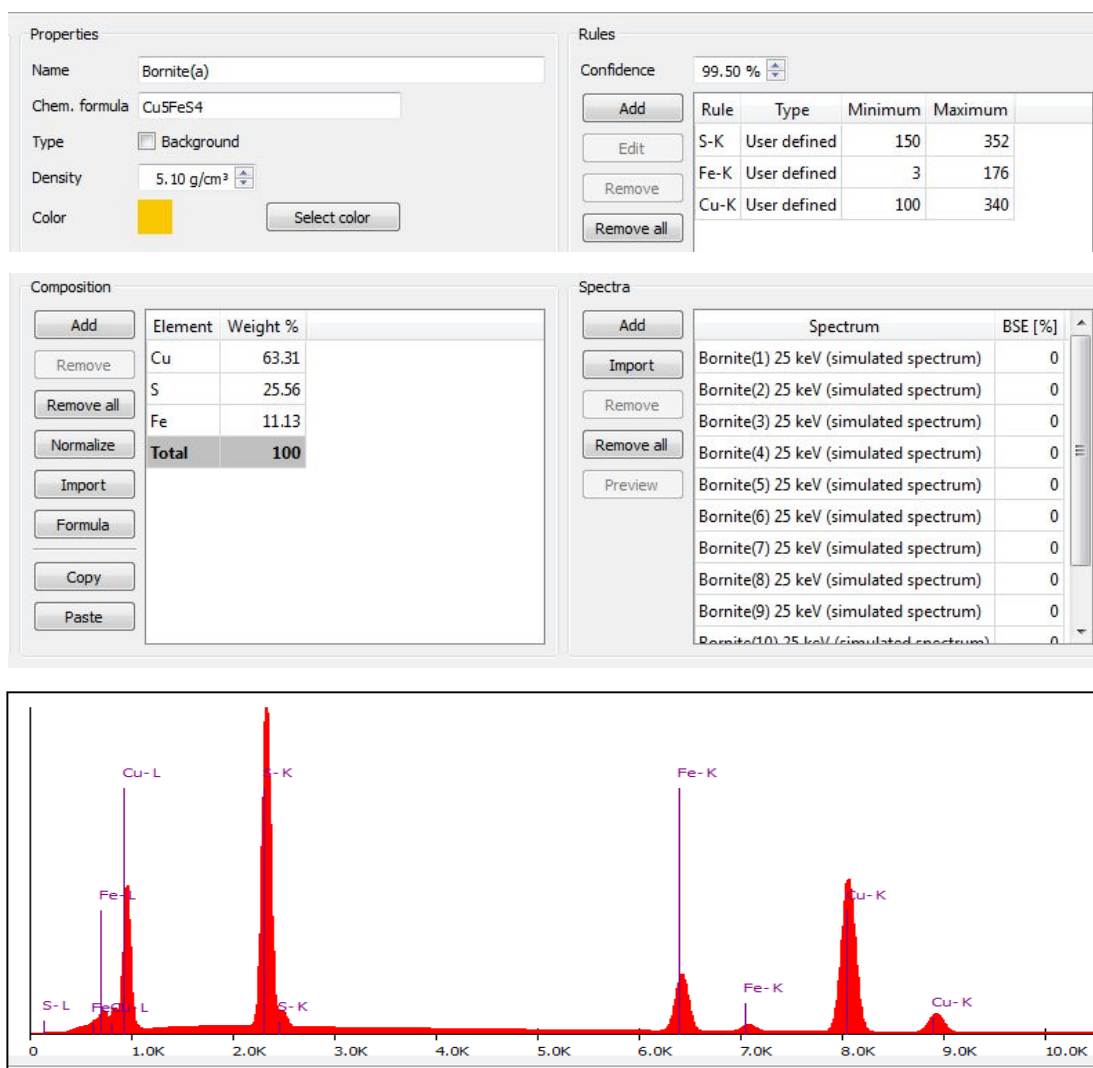


Figura 143: Regras de Classificação, Espectrograma da Bornita

3.5. Cinábrio

Properties

Name

Chem. formula

Type ☐ Background

Density

Color

Rules

Confidence

Rule	Type	Minimum	Maximum
S-K	Computed	184	309
Hg-L	Computed	57	137
Hg-M	Computed	308	454

Composition

Element	Weight %
Hg	86.22
S	13.78
Total	100

Spectra

Spectrum	BSE [%]
Cinnabar_SPI_a	86.7
Cinnabar_SPI_b	86.7
Cinnabar_SPI_c	86.7

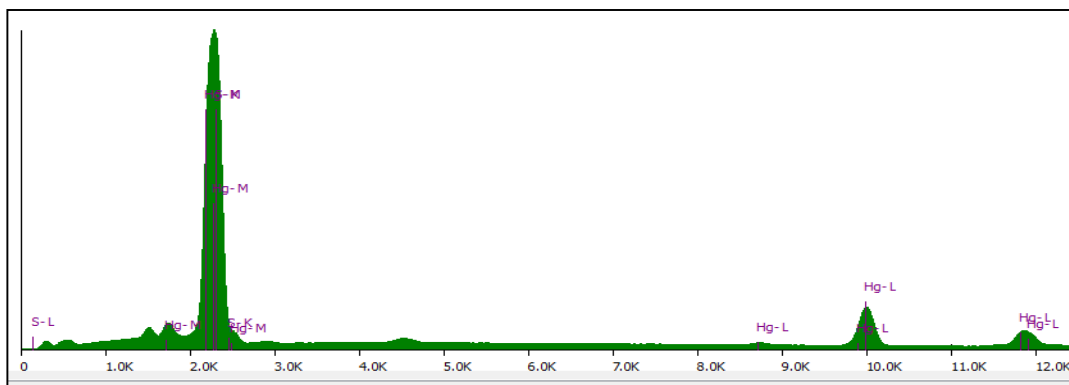


Figura 144 : Regras de Classificação, Espectrograma do Cinábrio

3.6. Calcocita

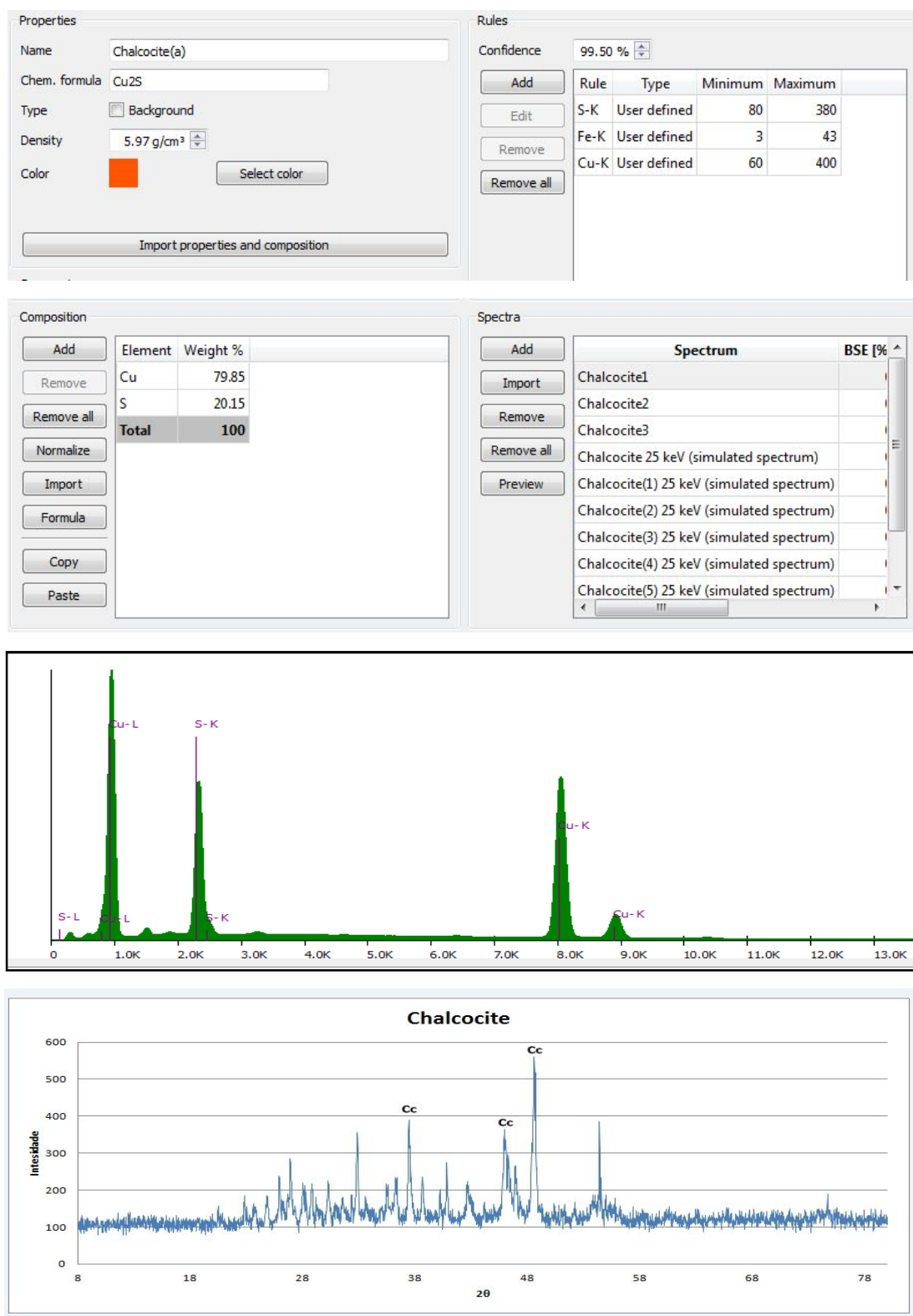


Figura 145: Regras de Classificação, Espectrograma e Difratoograma da Calcocita

3.7. Calcopirita

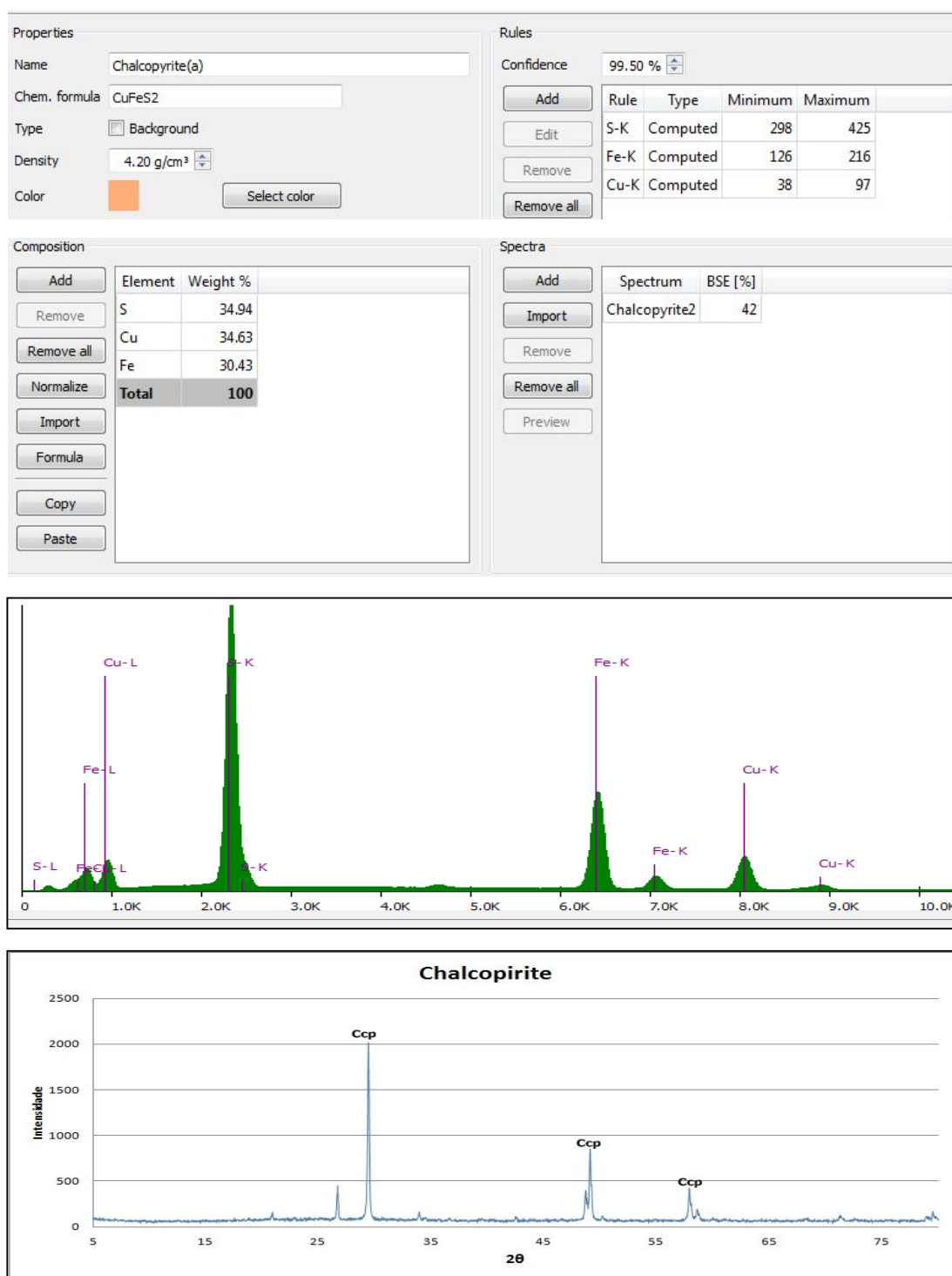


Figura 146: Regras de Classificação, Espectrograma e Difratoograma da Calcopirita

3.8. Covellita

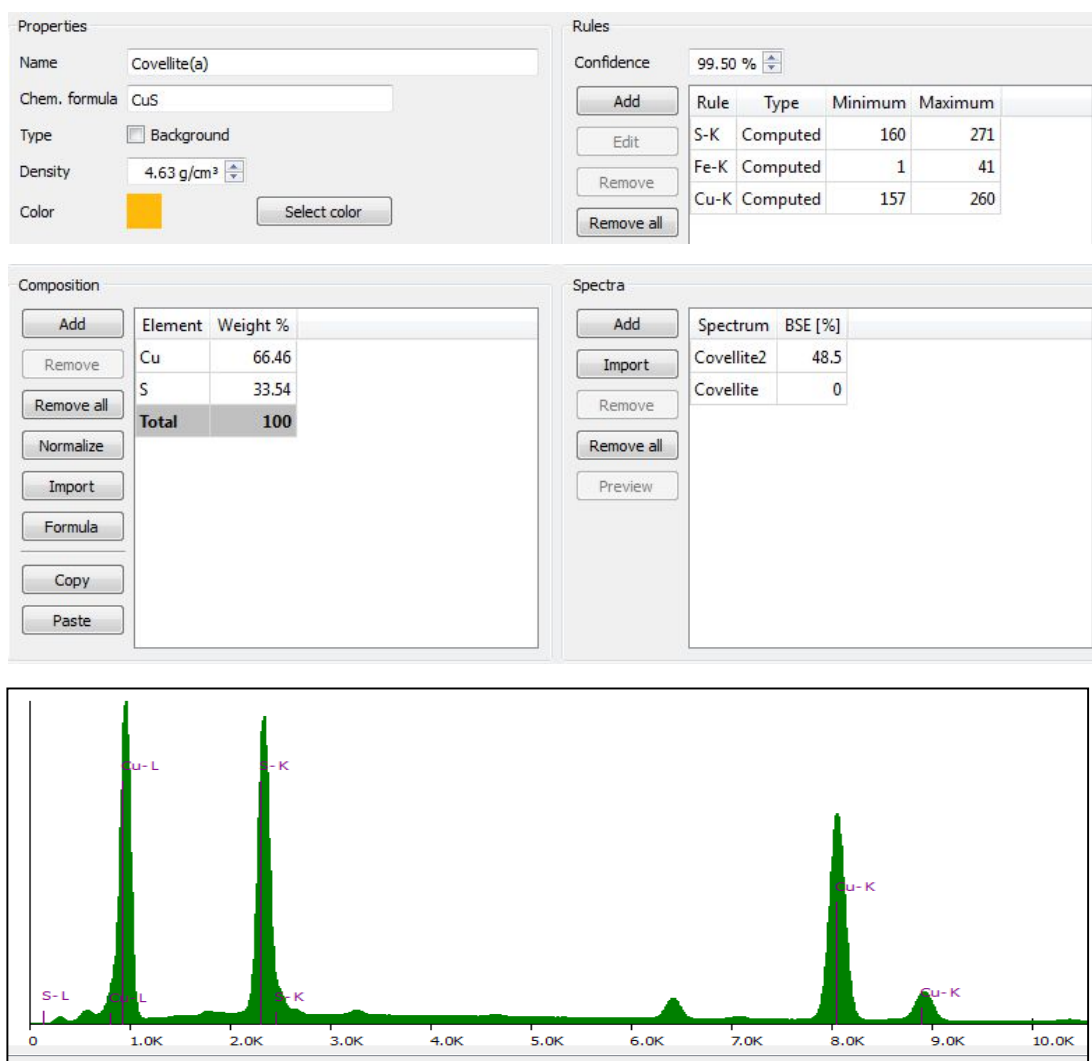


Figura 147: Regras de Classificação, Espectrograma da Covellita

3.9. Cobaltita

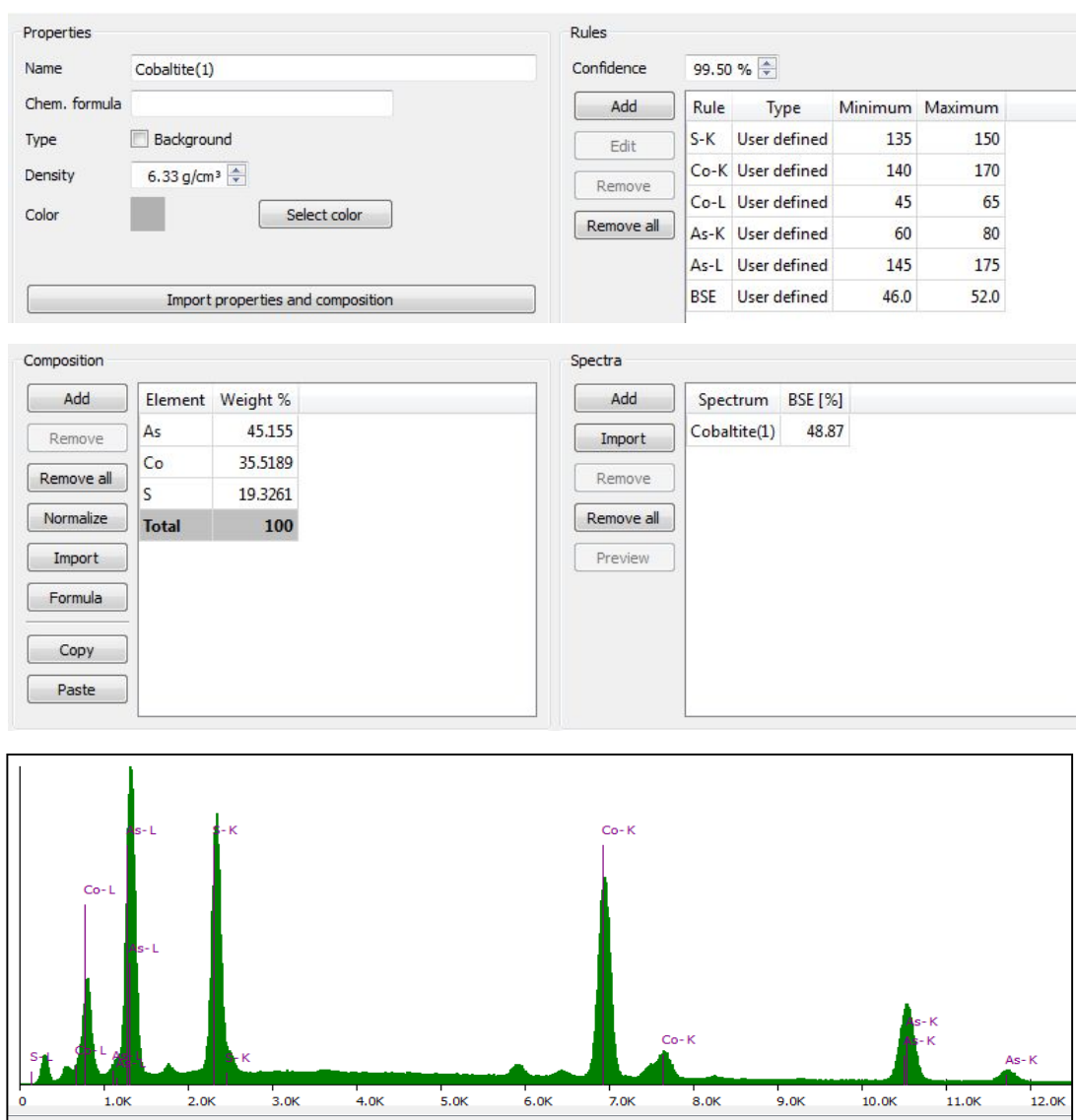


Figura 148: Regras de Classificação, Espectrograma da Cobaltita

3.10. Cobaltpentlandita

Properties

Name: Cobaltpentlandite(1)

Chem. formula:

Type: ☐ Background

Density: 5.27 g/cm³

Color: Select color

Rules

Confidence: 99.50 %

Add Edit Remove Remove all

Rule	Type	Minimum	Maximum
Si-K	User defined	8	10
S-K	User defined	350	360
Co-K	User defined	90	100
Ni-K	User defined	129	135
BSE	User defined	41.0	42.0

Composition

Add Remove Remove all Normalize Import Formula Copy Paste

Element	Weight %
Co	67.4013
S	32.5987
Total	100

Spectra

Add Import Remove Remove all Preview

Spectrum	BSE [%]
Cobaltpentlandite(1)	41.07

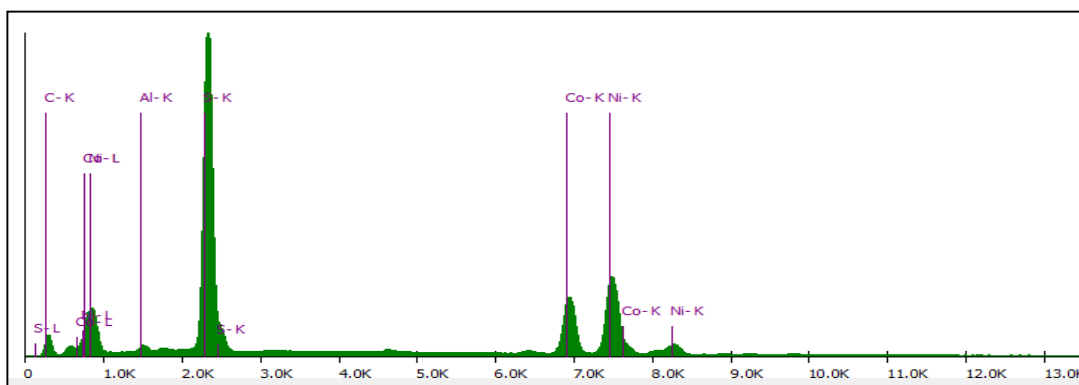


Figura 149: Regras de Classificação, Espectrograma da Cobaltpentlandita

3.11. Cuprocalinitite

Properties

Name: Cuprocalinitite(1)

Chem. formula: CuCr2S4

Type: ☐ Background

Density: 3.40 g/cm³

Color: Select color

Rules

Confidence: 99.50 %

Add

Rule	Type	Minimum	Maximum
S-K	User defined	195	210
Cr-K	User defined	12	26
Cu-K	User defined	155	165
BSE	User defined	21.0	21.7

Edit Remove Remove all

Composition

Add

Element	Weight %
S	43.0928
Cr	34.9382
Cu	21.969
Total	100

Remove Remove all Normalize Import Formula Copy Paste

Spectra

Add

Spectrum	BSE [%]
----------	---------

Import Remove Remove all Preview

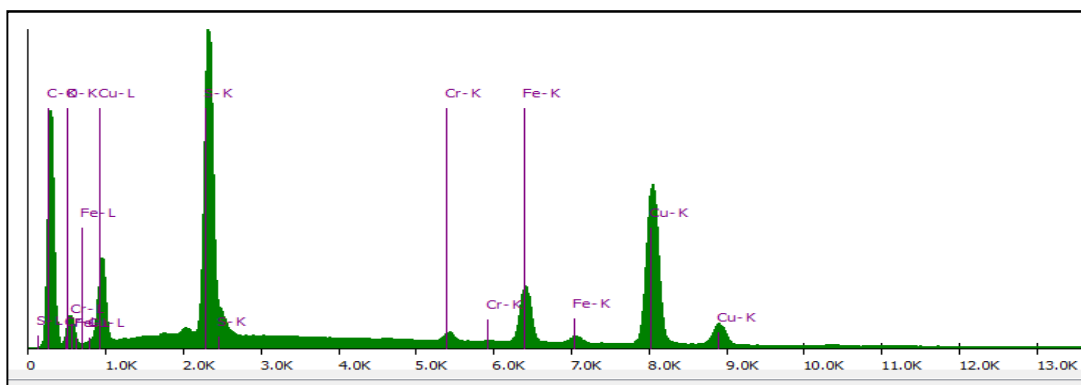


Figura 150: Regras de Classificação, Espectrograma da Cuprocalinitite

3.12. Danaite

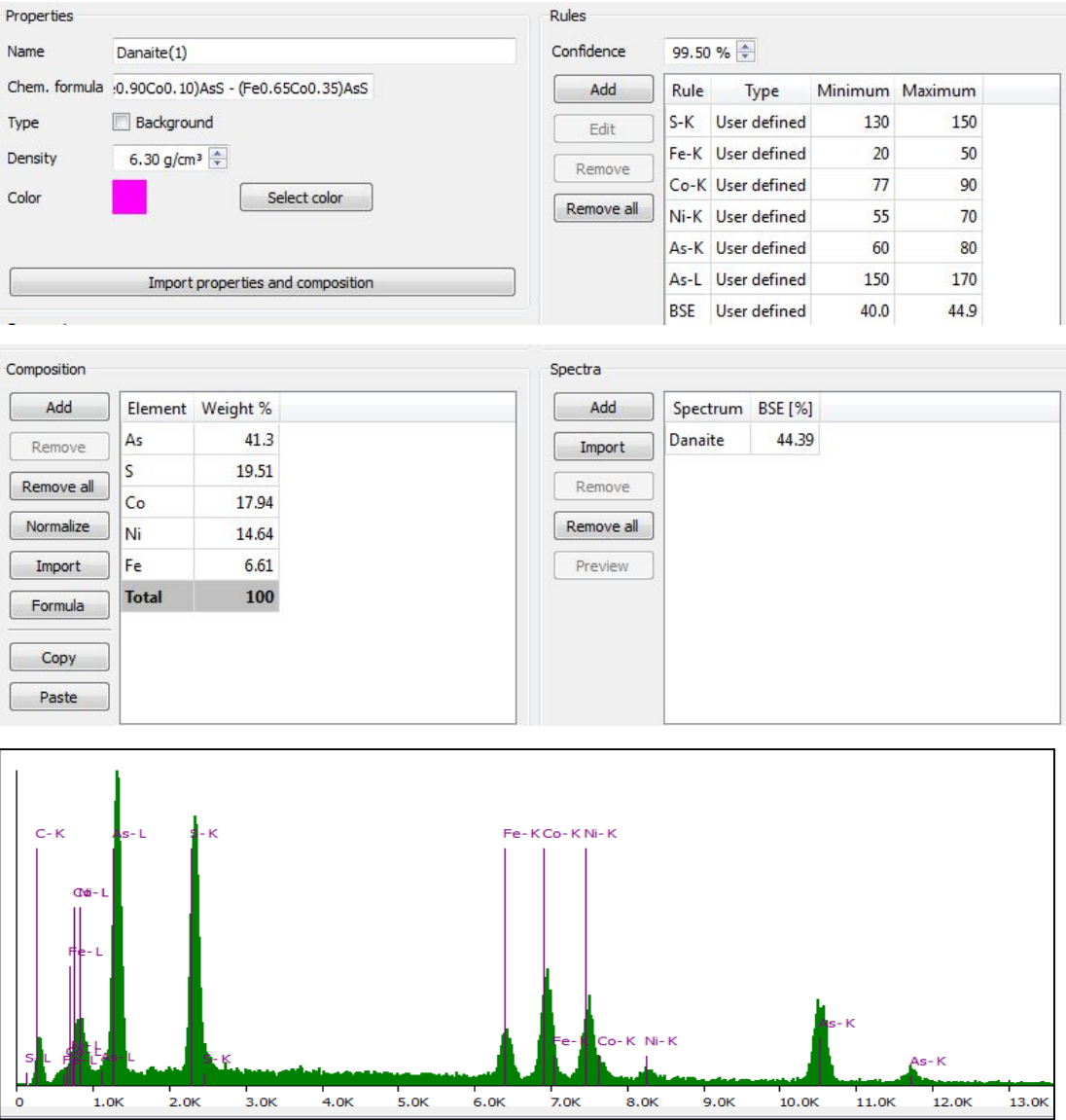


Figura 151: Regras de Classificação, Espectrograma da Danaite

3.13. Galena

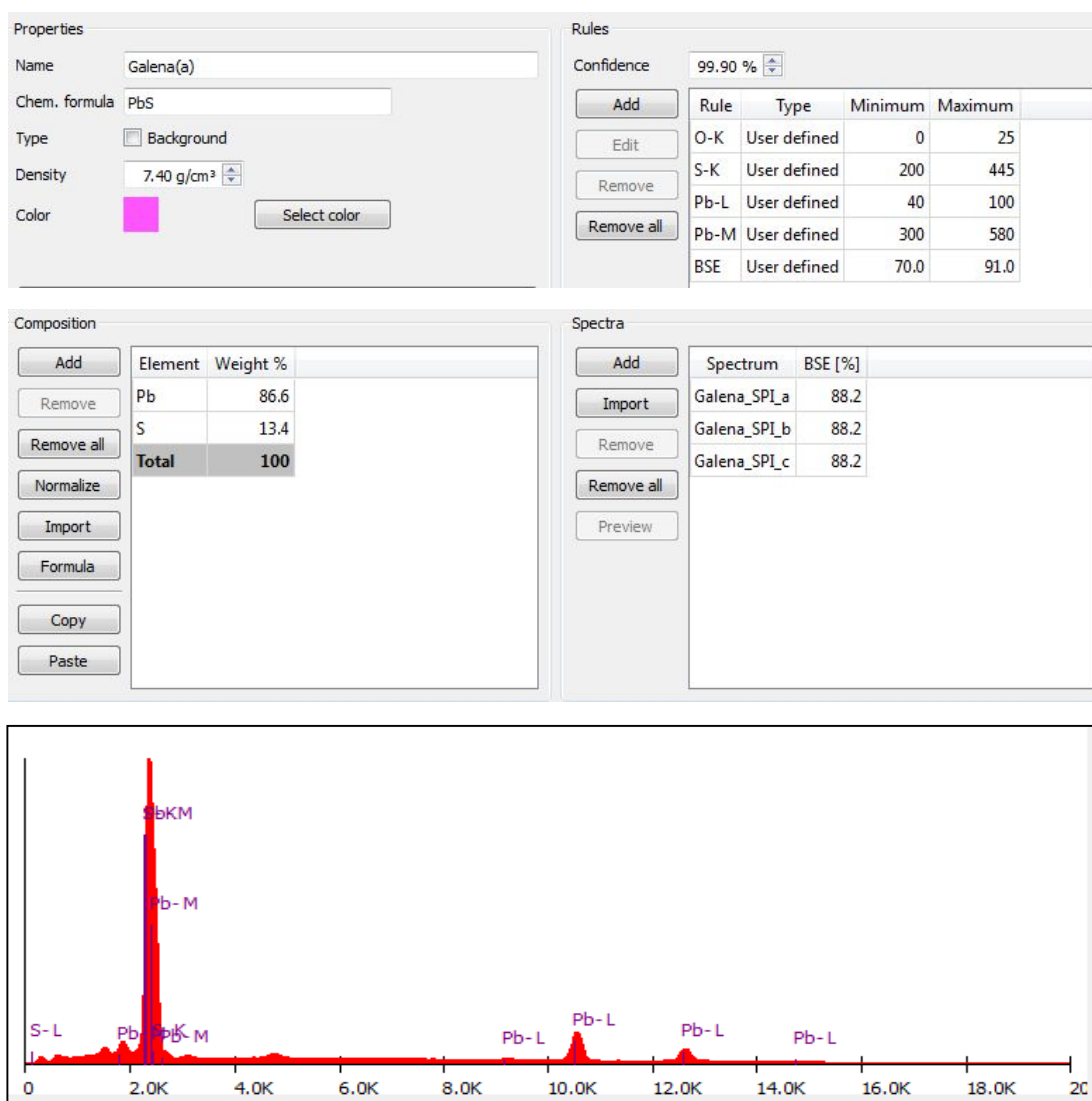


Figura 152: Regras de Classificação, Espectrograma da Galena

3.14. Molibdenita

Properties

Name

Chem. formula

Type ☐ Background

Density

Color

Rules

Confidence

Rule	Type	Minimum	Maximum
S-K	Computed	469	642
Mo-K	Computed	0	15
Mo-L	Computed	640	822
Pb-L	Computed	0	19
BSE	User defined	46.0	56.0

Composition

Element	Weight %
Mo	59.94
S	40.04
Total	99.98

Spectra

Spectrum	BSE [%]
Molybdenite_SPI_a	51.4
Molybdenite_SPI_b	51.4
Molybdenite_SPI_c	51.4

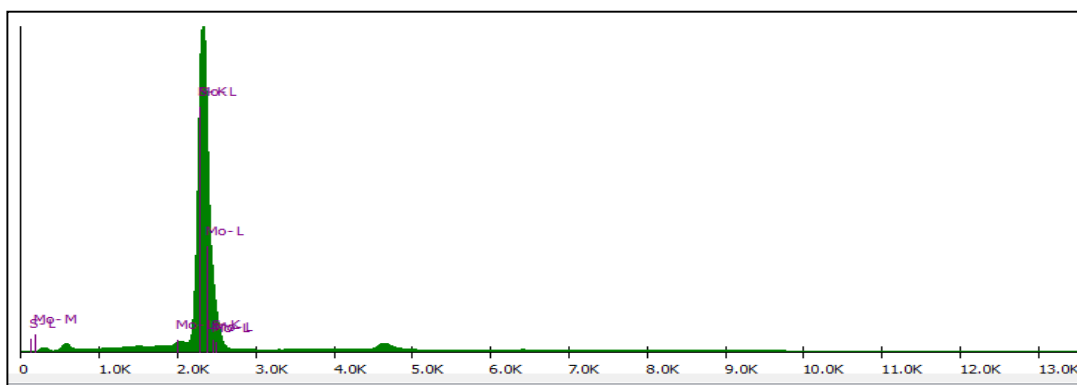


Figura 153: Regras de Classificação, Espectrograma da Molibdenita

3.15. Millerita

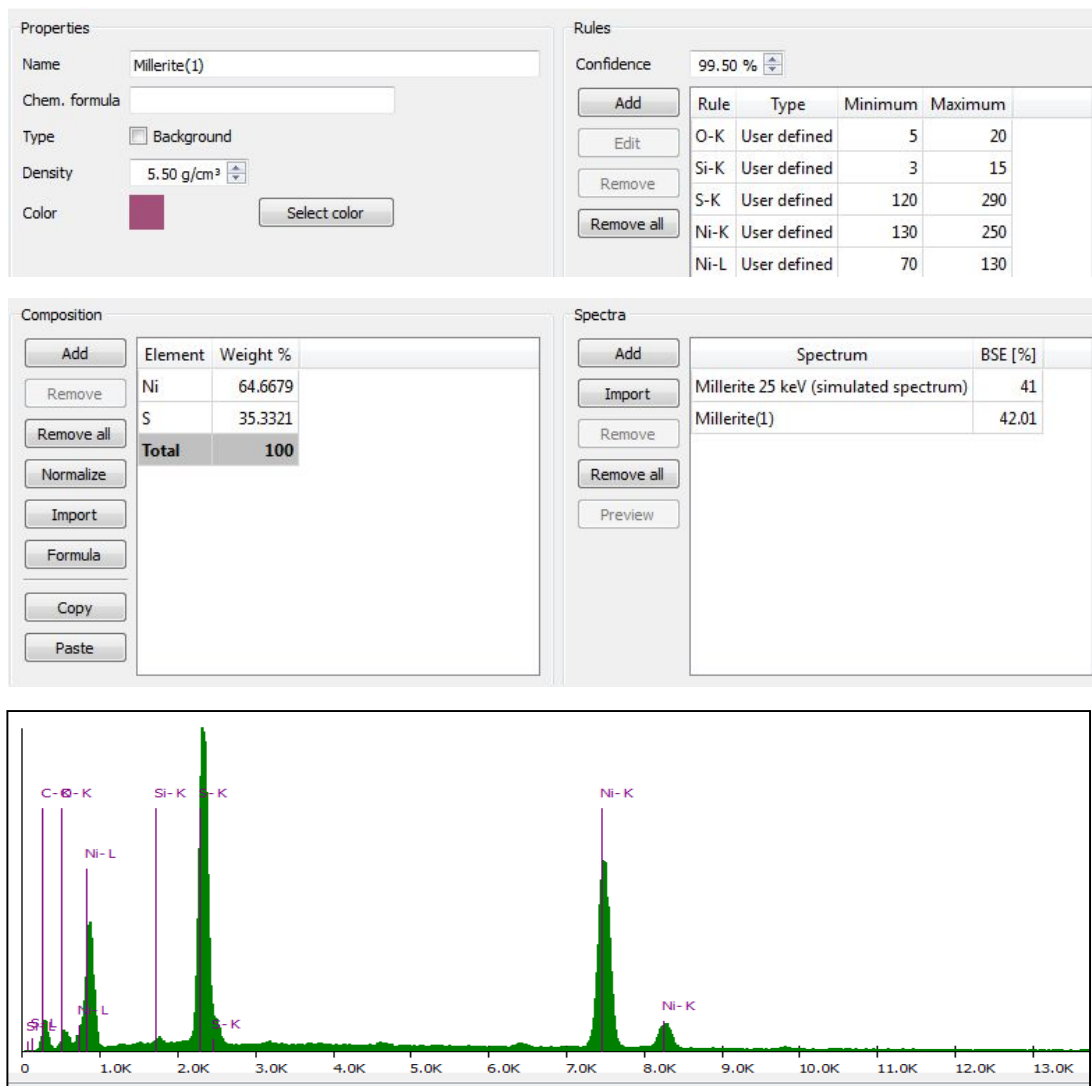


Figura 154: Regras de Classificação, Espectrograma da Millerita

3.16. Pentlandita

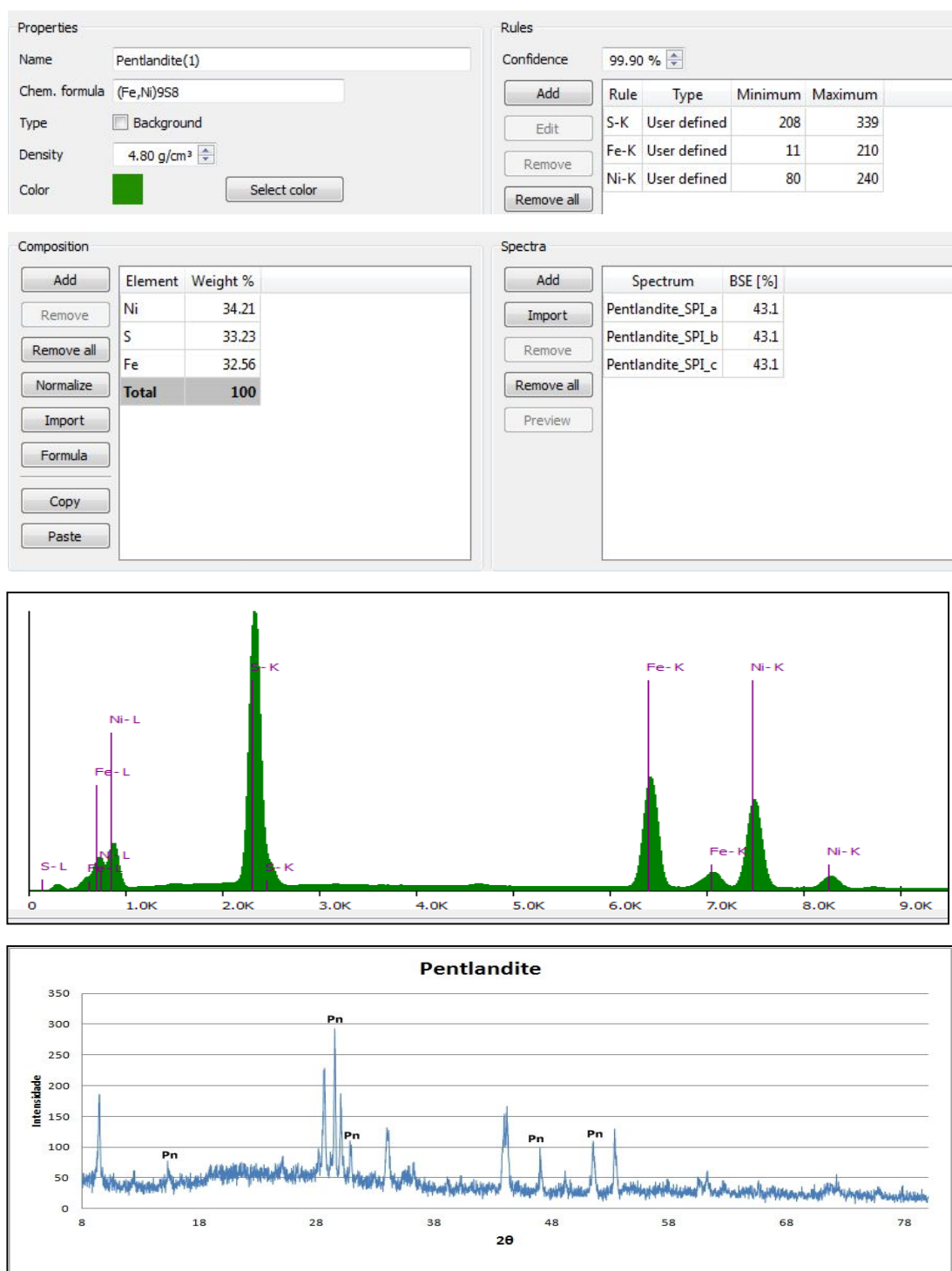


Figura 155: Regras de Classificação, Espectrograma e Difratoograma da Pentlandita

3.17. Pirite

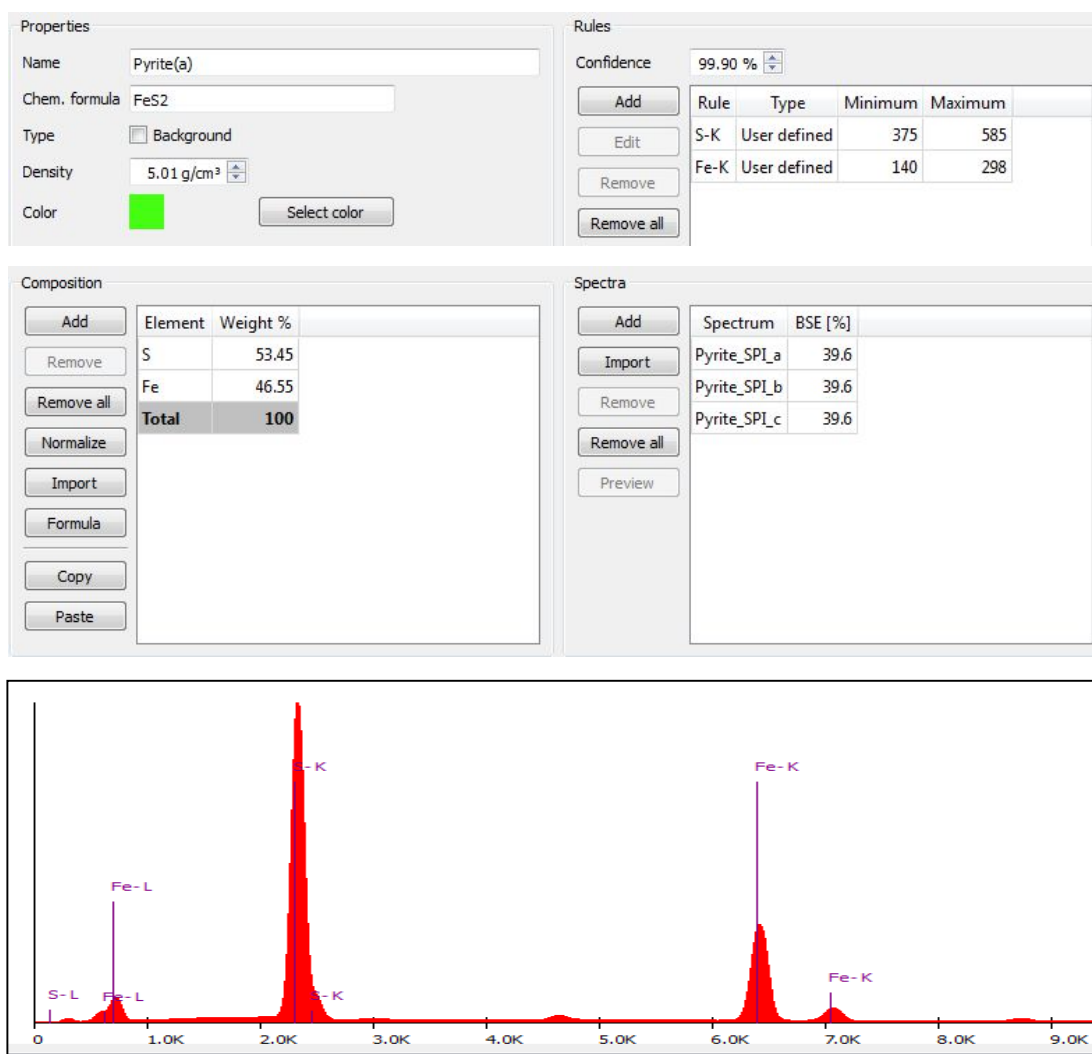


Figura 156: Regras de Classificação, Espectrograma da Pirita

3.18. Pirrotita

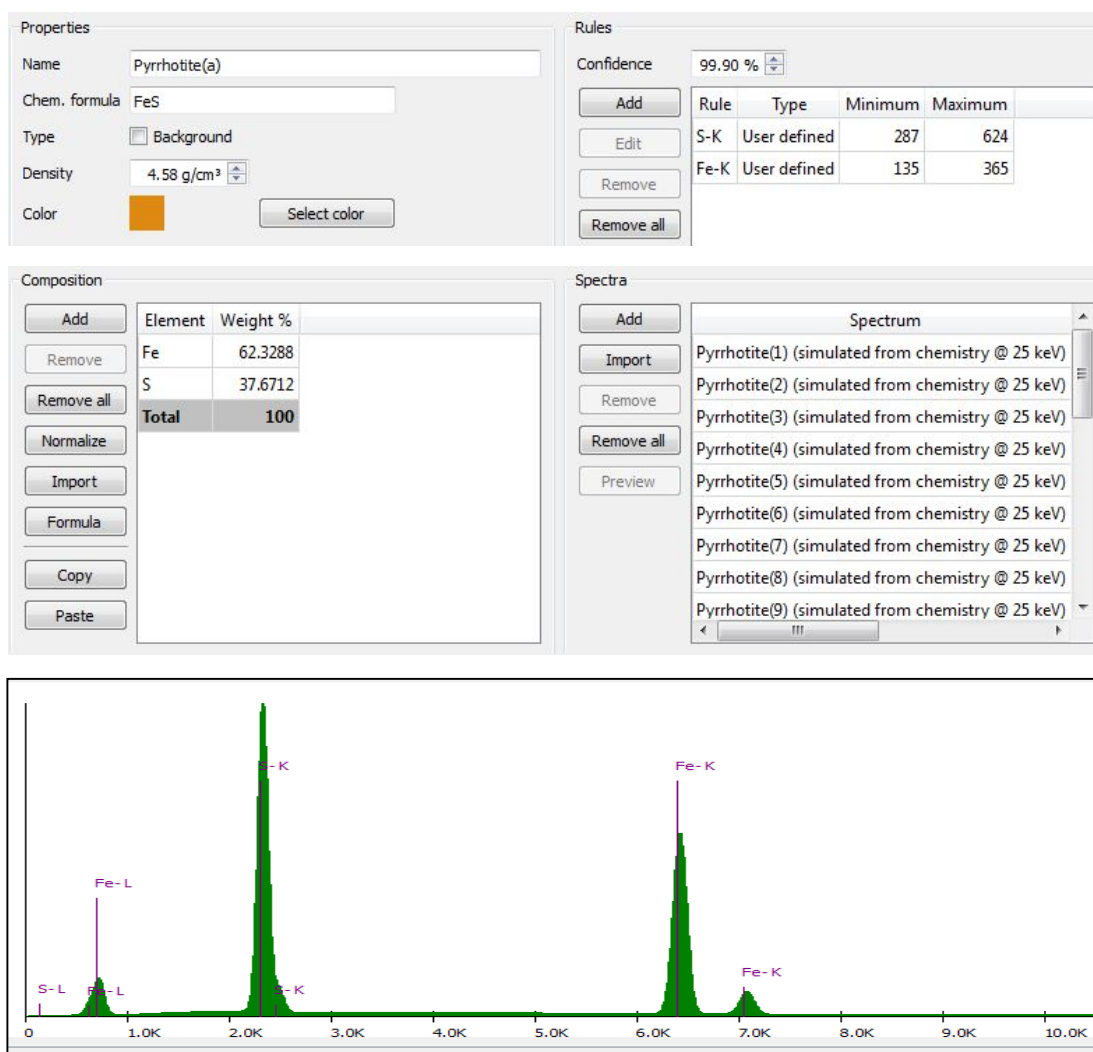


Figura 157: Regras de Classificação, Espectrograma da Pirrotita

3.19. Oregonita

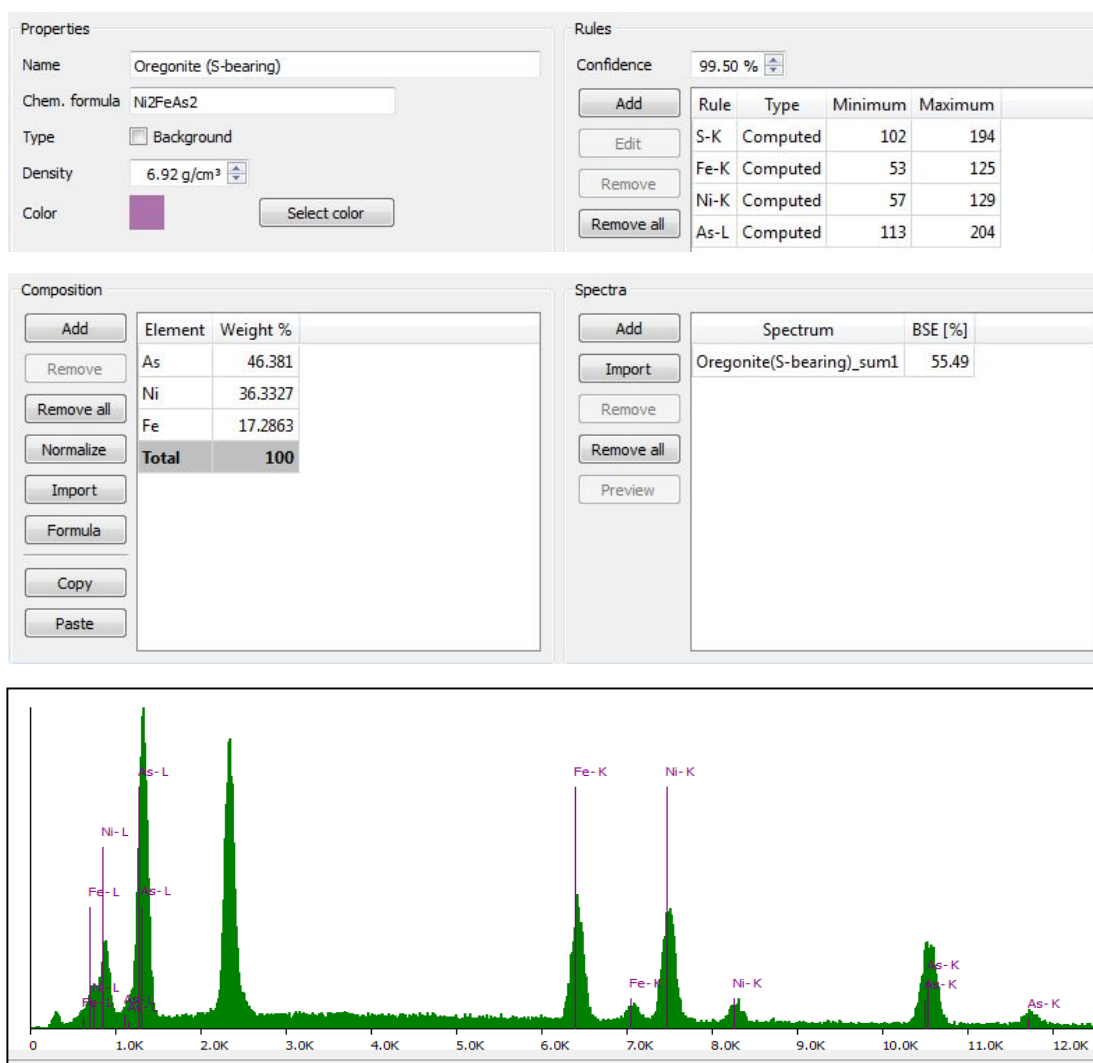


Figura 158: Regras de Classificação, Espectrograma da Oregonita

3.20. Rammelsbergita

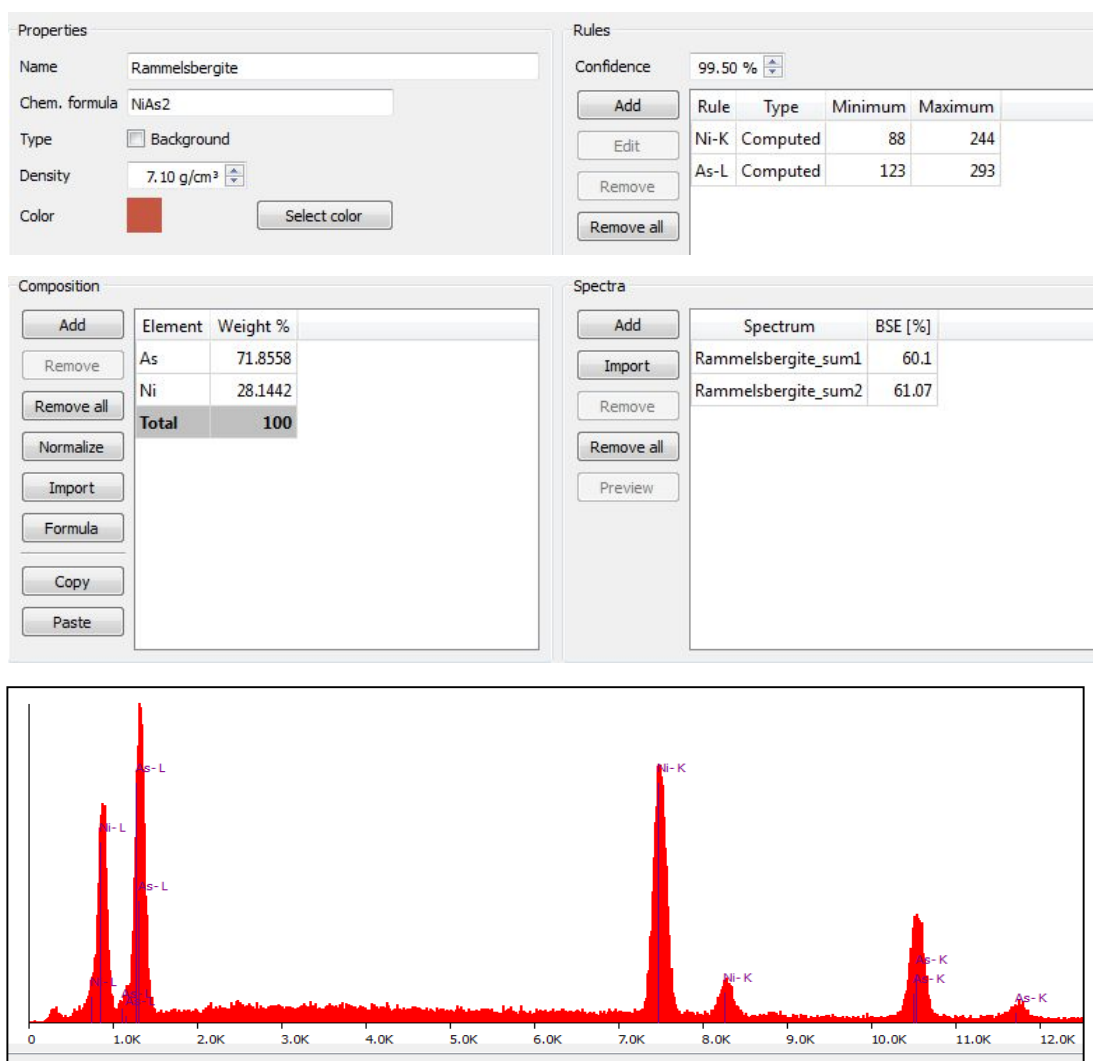


Figura 159: Regras de Classificação, Espectrograma da Rammelbergita

3.21. Realgar

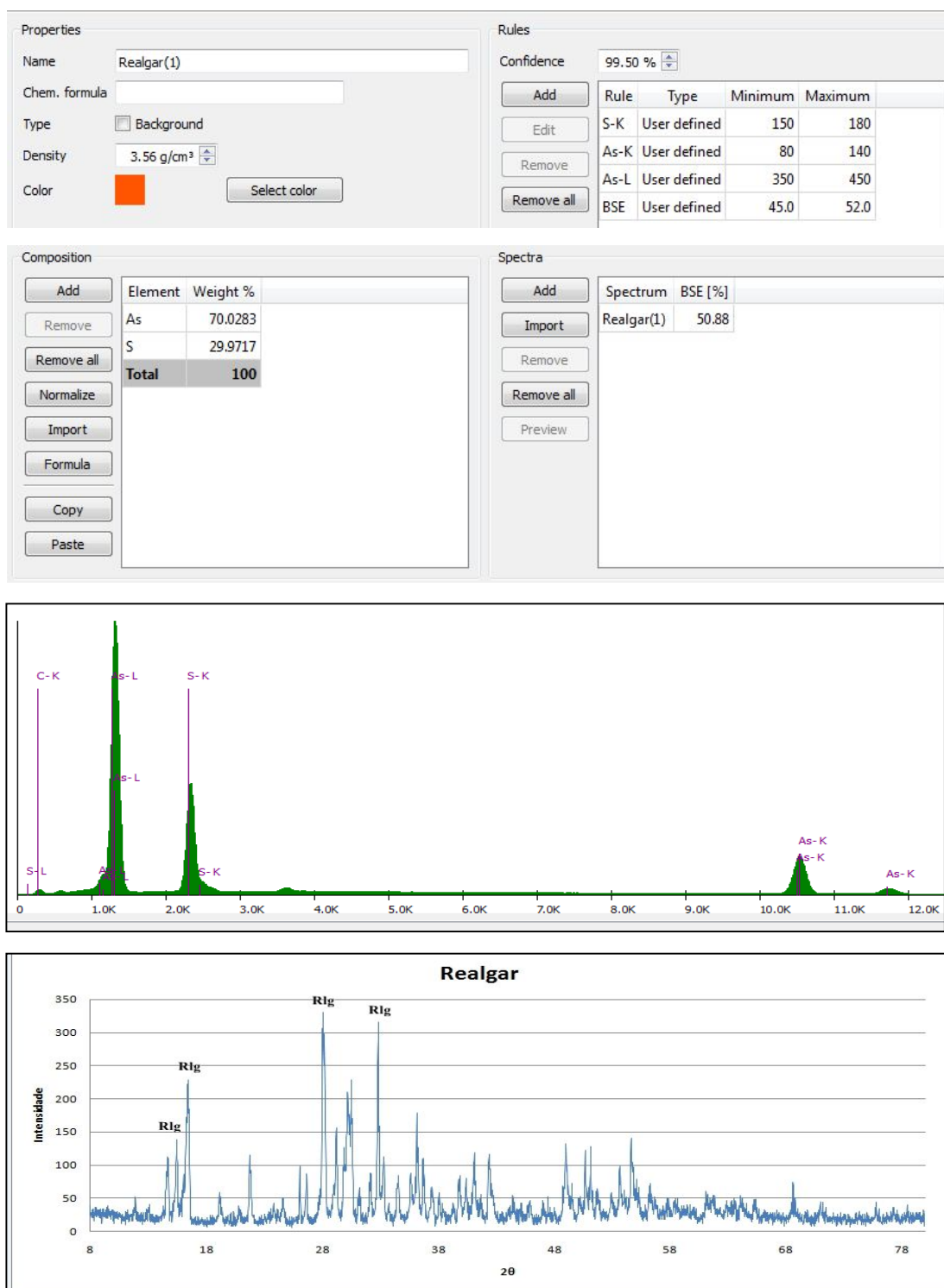


Figura 160: Regras de Classificação, Espectrograma do Realgar

3.22. Skutterudita

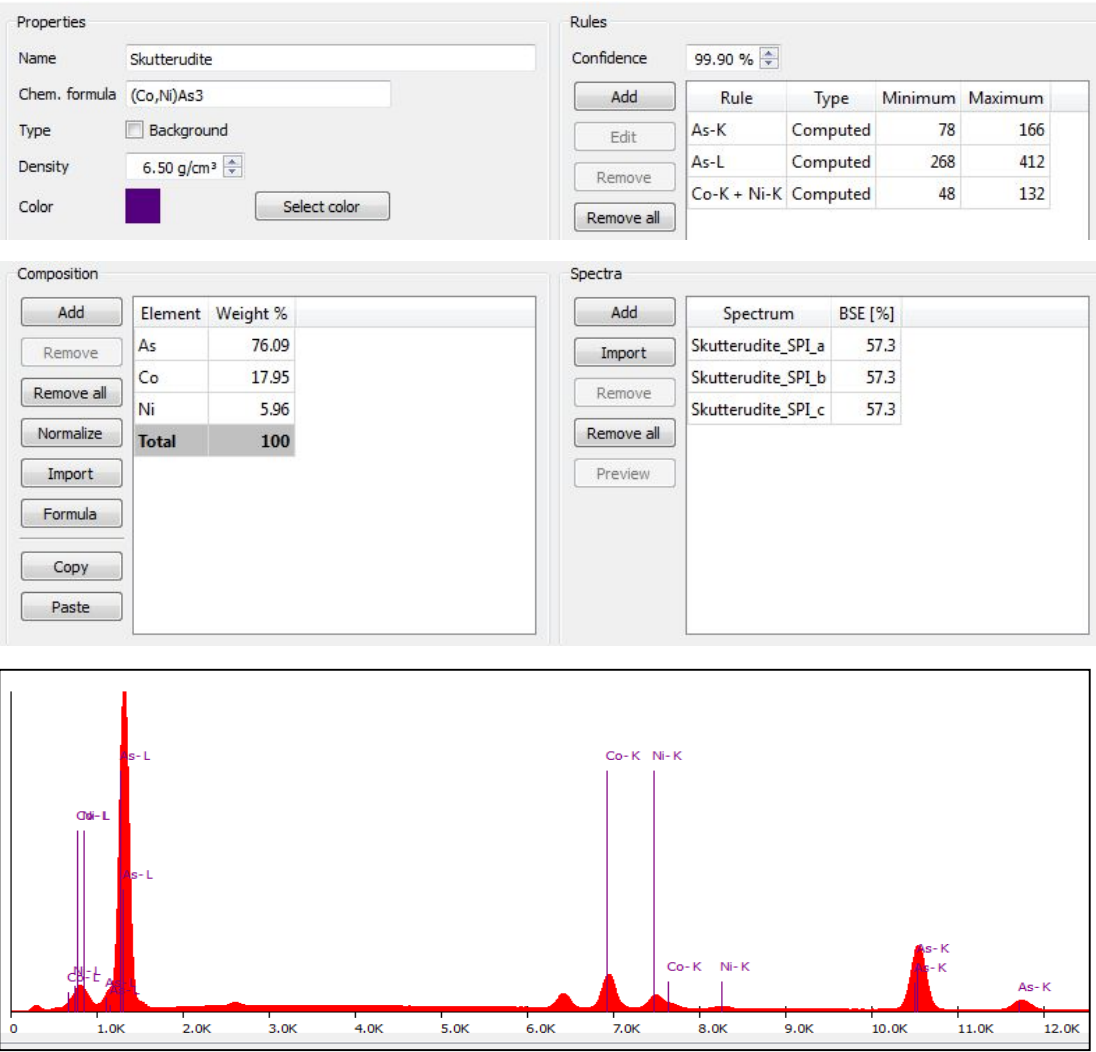


Figura 161: Regras de Classificação, Espectrograma da Skutterudita

3.23. Sobolevskita

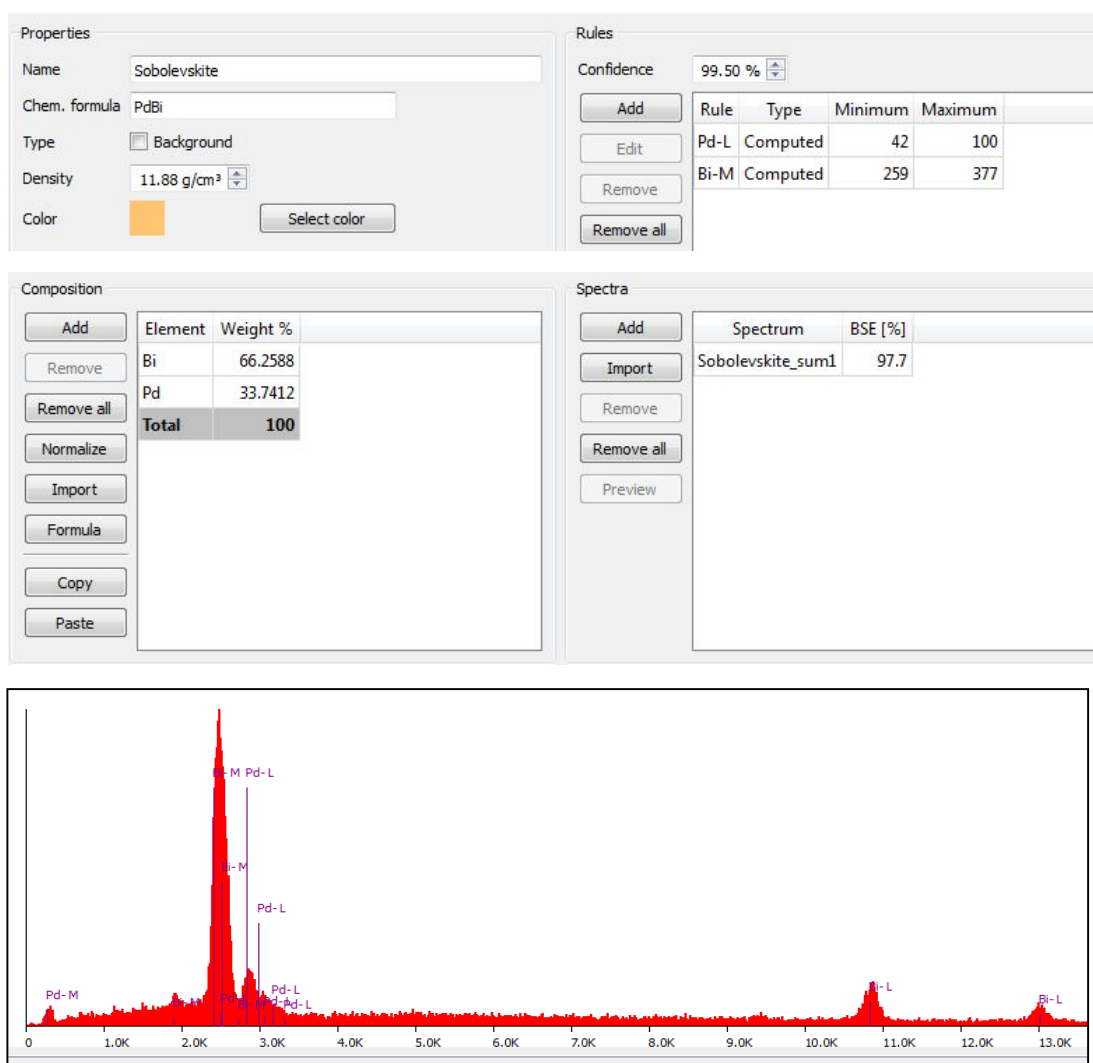


Figura 162: Regras de Classificação, Espectrograma da Sobolevskita

3.24. Esperrilita

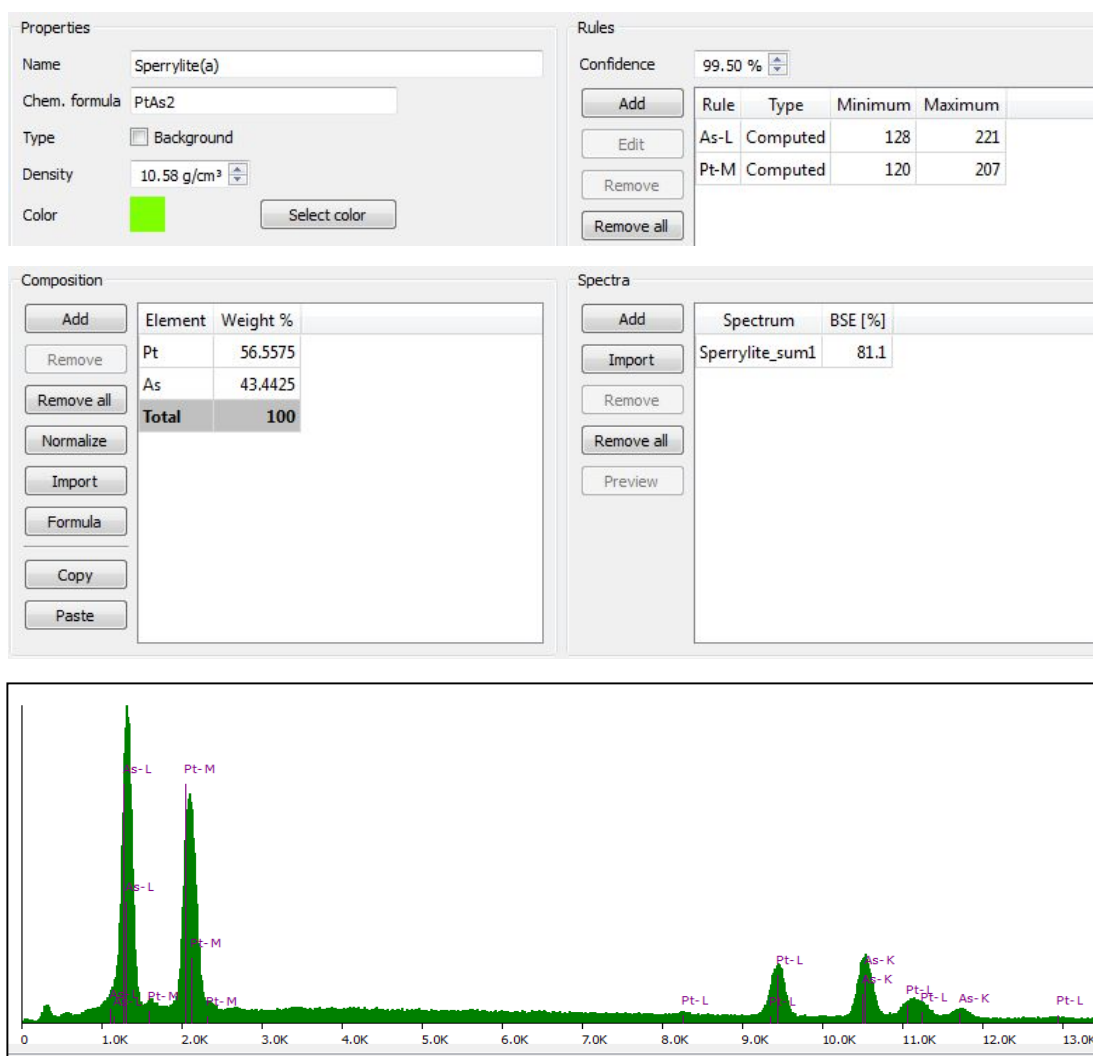


Figura 163: Regras de Classificação, Espectrograma da Esperrilita

3.25. Esfalerita

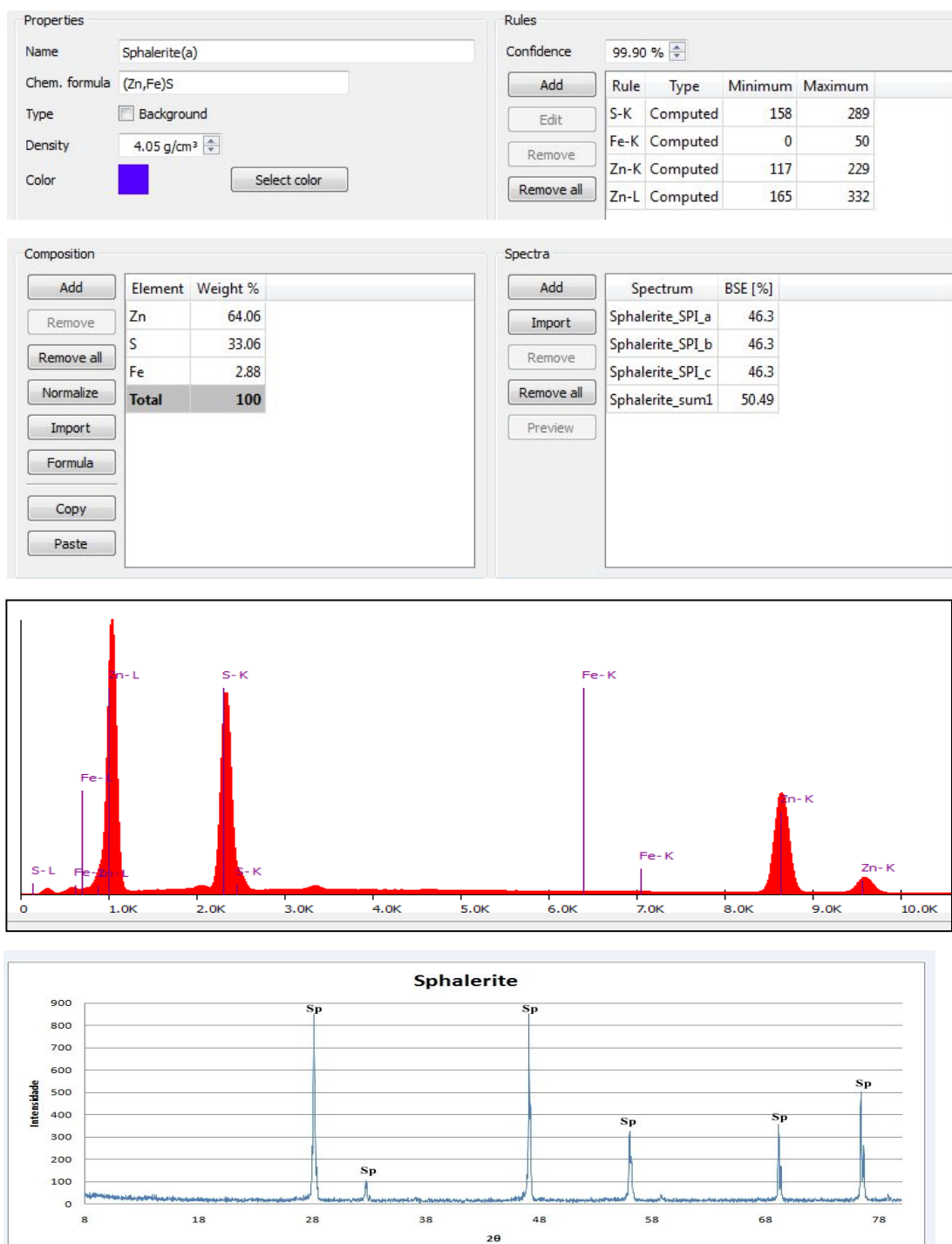


Figura 164: Regras de Classificação, Espectrograma e Difratoograma da Esfalerita

3.26. Estibinita

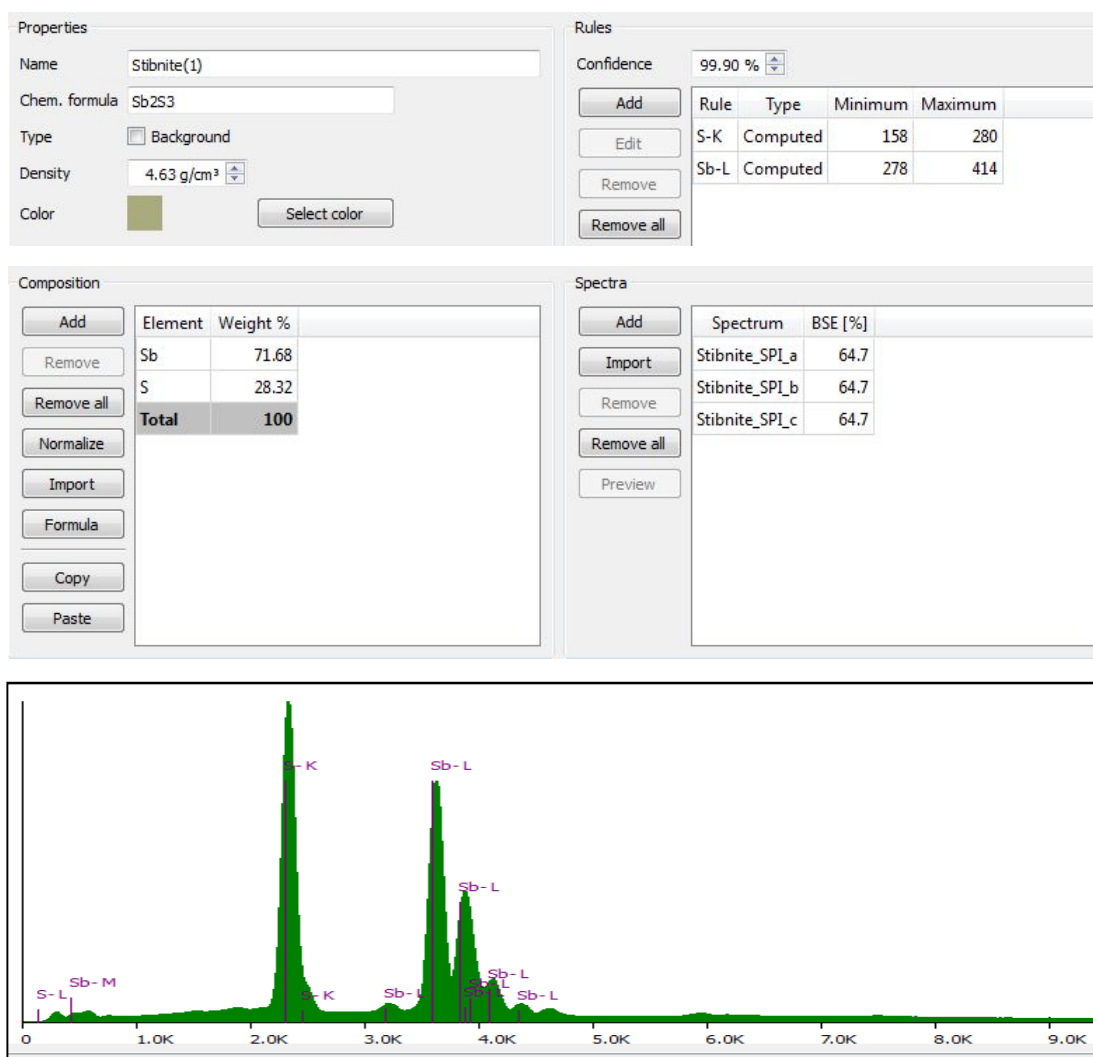


Figura 165: Regras de Classificação, Espectrograma da Estibinita

3.27. Wurtzita

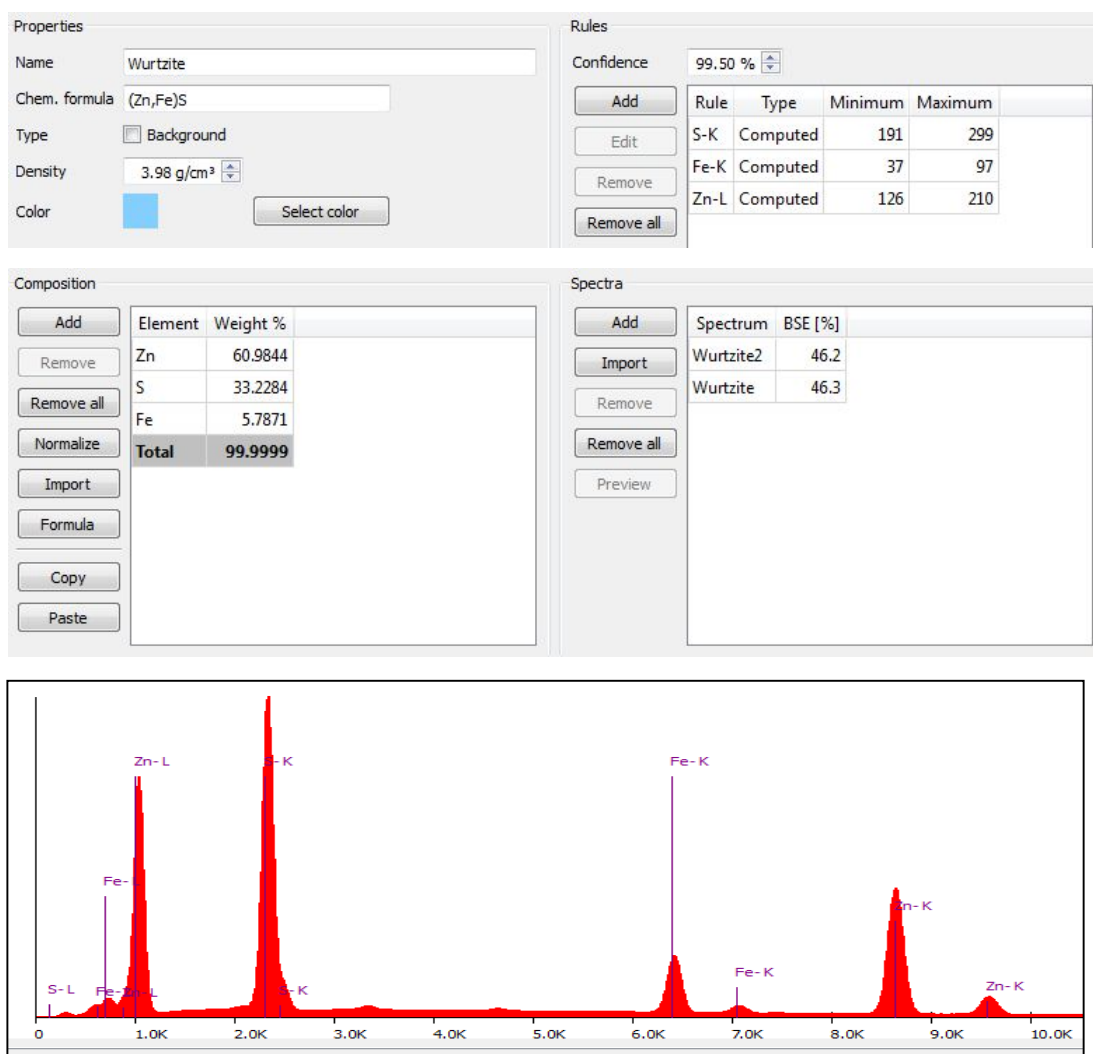


Figura 166: Regras de Classificação, Espectrograma da Wurtzita

4. CARBONATOS

4.1. Ankerita

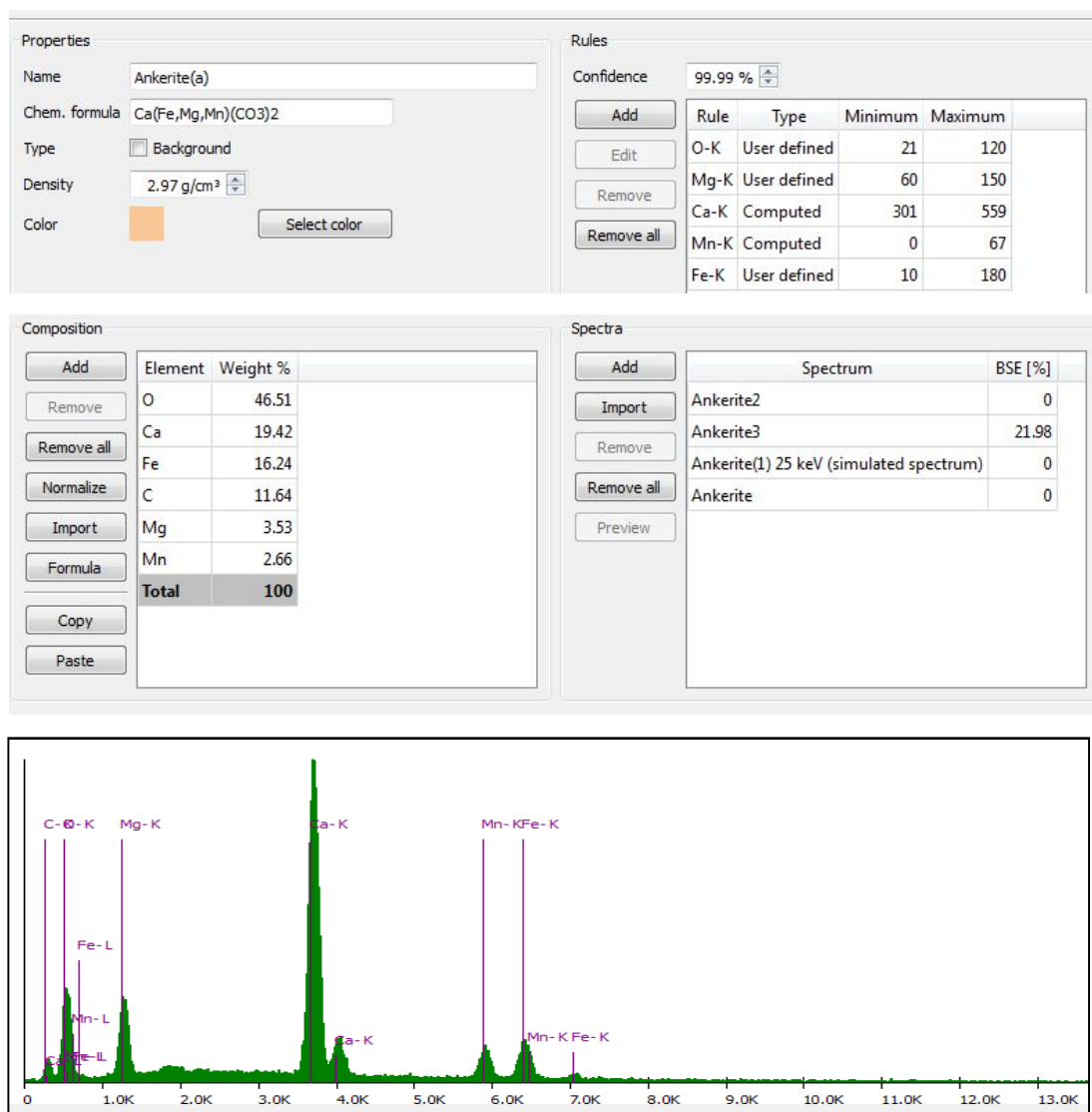


Figura 167: Regras de Classificação, Espectrograma da Ankerita

4.2. Ankerite+Argila

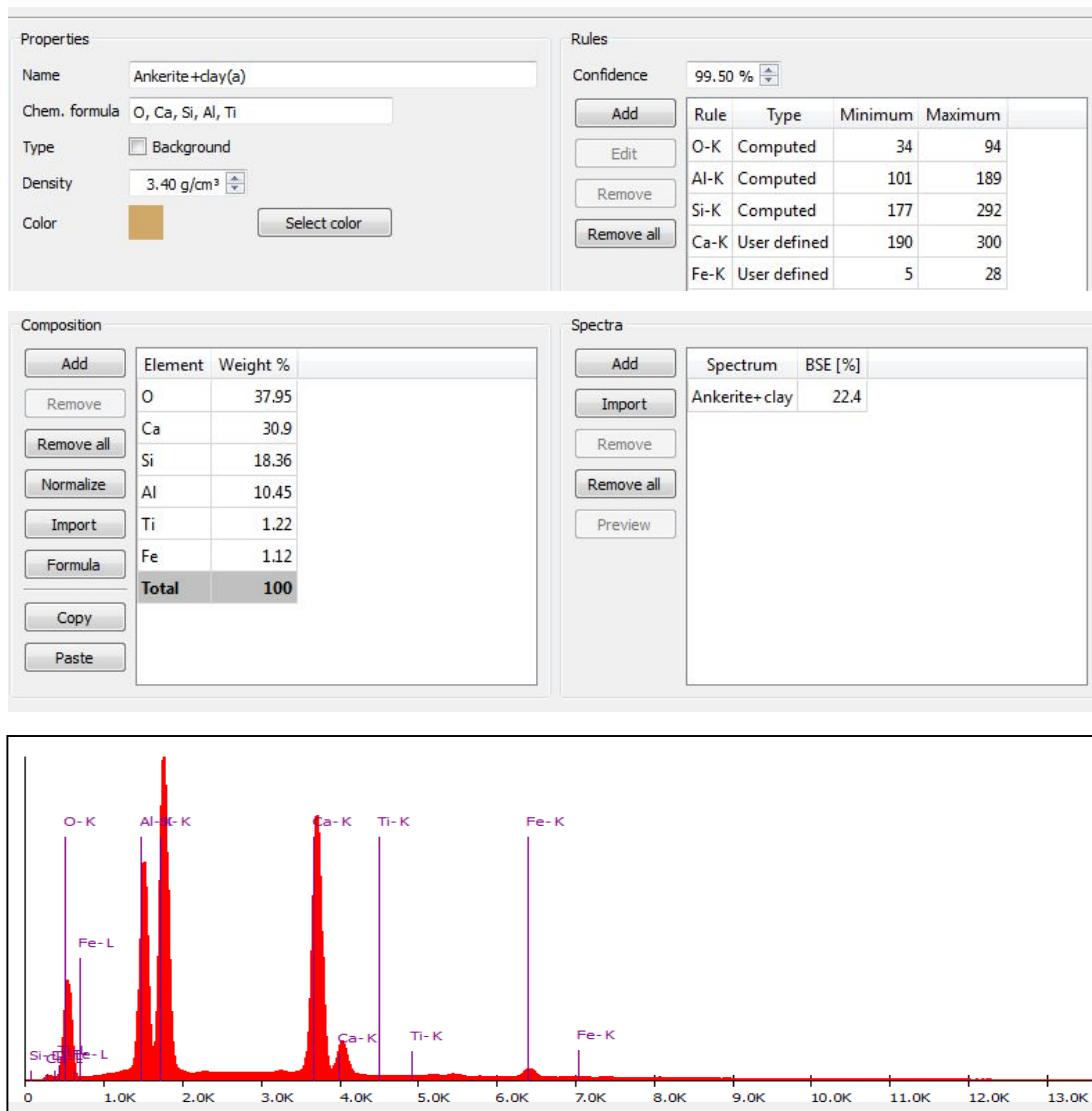


Figura 168: Regras de Classificação, Espectrograma da Ankerita e argila

4.3. Ankerita+ Argila(Fe)

Properties

Name: Ankerite+clay(Fe)

Chem. formula: O, Ca, Si, Fe, Al, Ti

Type: ☐ Background

Density: 3.40 g/cm³

Color: Select color

Rules

Confidence: 99.50 %

Add Edit Remove Remove all

Rule	Type	Minimum	Maximum
O-K	Computed	23	94
Al-K	Computed	37	169
Si-K	Computed	139	244
Ca-K	Computed	176	375
Fe-K	Computed	44	107

Composition

Add Remove Remove all Normalize Import Formula Copy Paste

Element	Weight %
O	37.95
Ca	26.9
Si	14.36
Fe	13.13
Al	6.45
Ti	1.22
Total	100.01

Spectra

Add Import Remove Remove all Preview

Spectrum	BSE [%]
Ankerite+clay(Fe)2	26.5
Ankerite+clay(Fe)	24.8

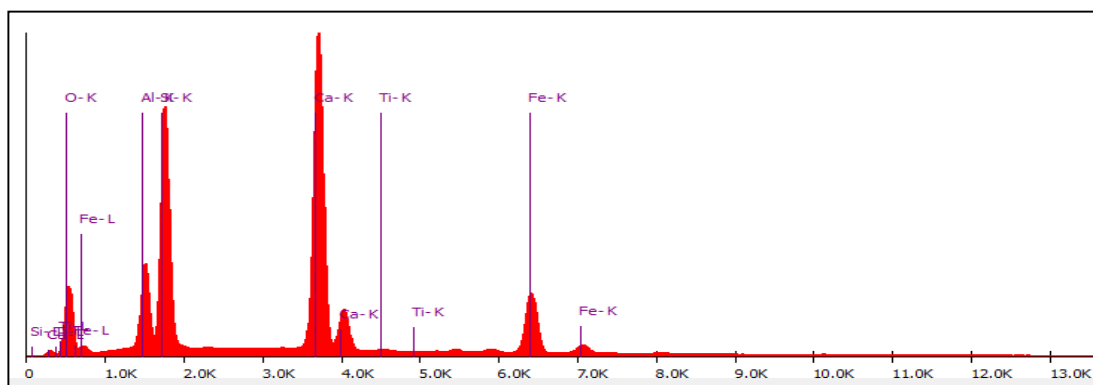


Figura 169: Regras de Classificação, Espectrograma da Ankerita e Argila (Fe)

4.4. Azurita

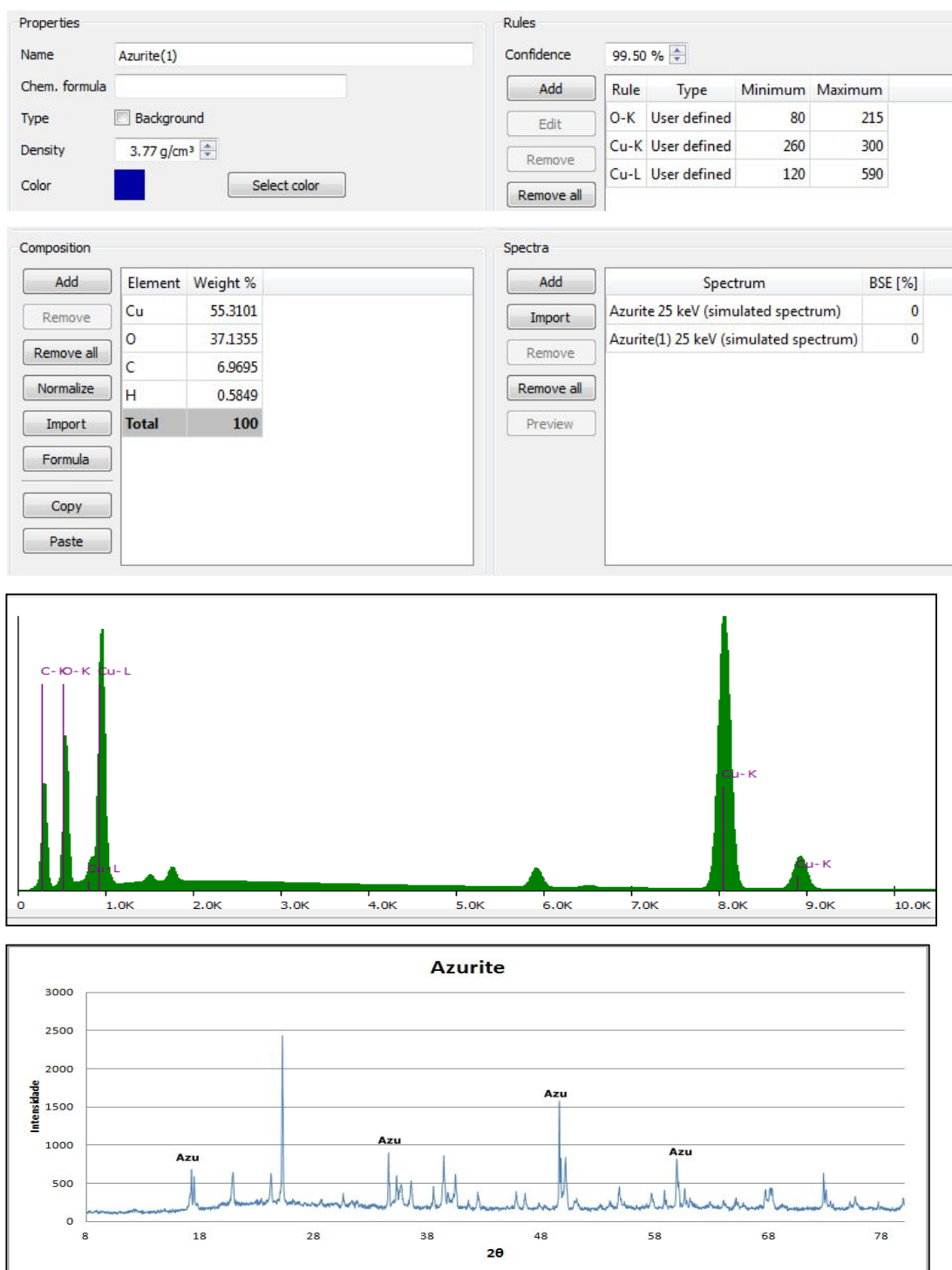


Figura 170: Regras de Classificação, Espectrograma e Difratoograma da Azurita

4.5. Bastnasita

Properties

Name: Bastnasite(a)

Chem. formula: (La,Ce)(CO₃)F

Type: ☐ Background

Density: 4.95 g/cm³

Color: Select color

Import properties and composition

Rules

Confidence: 99.50 %

Add Edit Remove Remove all

Rule	Type	Minimum	Maximum
O-K	Computed	29	100
F-K	Computed	13	58
Al-K	Computed	0	27
Ca-K	Computed	13	65
La-L	Computed	130	227
Ce-L	User defined	158	330

Composition

Add Remove Remove all Normalize Import Formula Copy Paste

Element	Weight %
La	31.9719
Ce	31.9719
O	21.9047
F	8.6702
C	5.4814
Total	100

Spectra

Add Import Remove Remove all Preview

Spectrum	BSE [%]
Bastnasite1	59.8
Bastnasite2	65.2

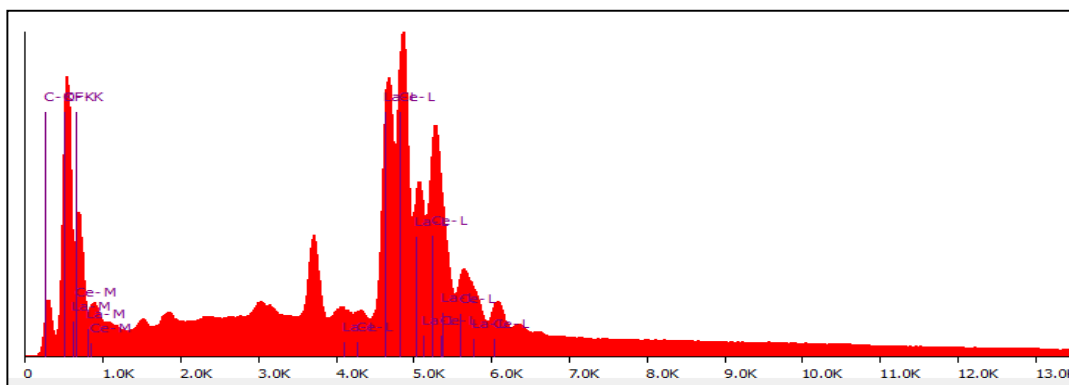


Figura 171: Regras de Classificação, Espectrograma da Bastnasita

4.6. Calcita

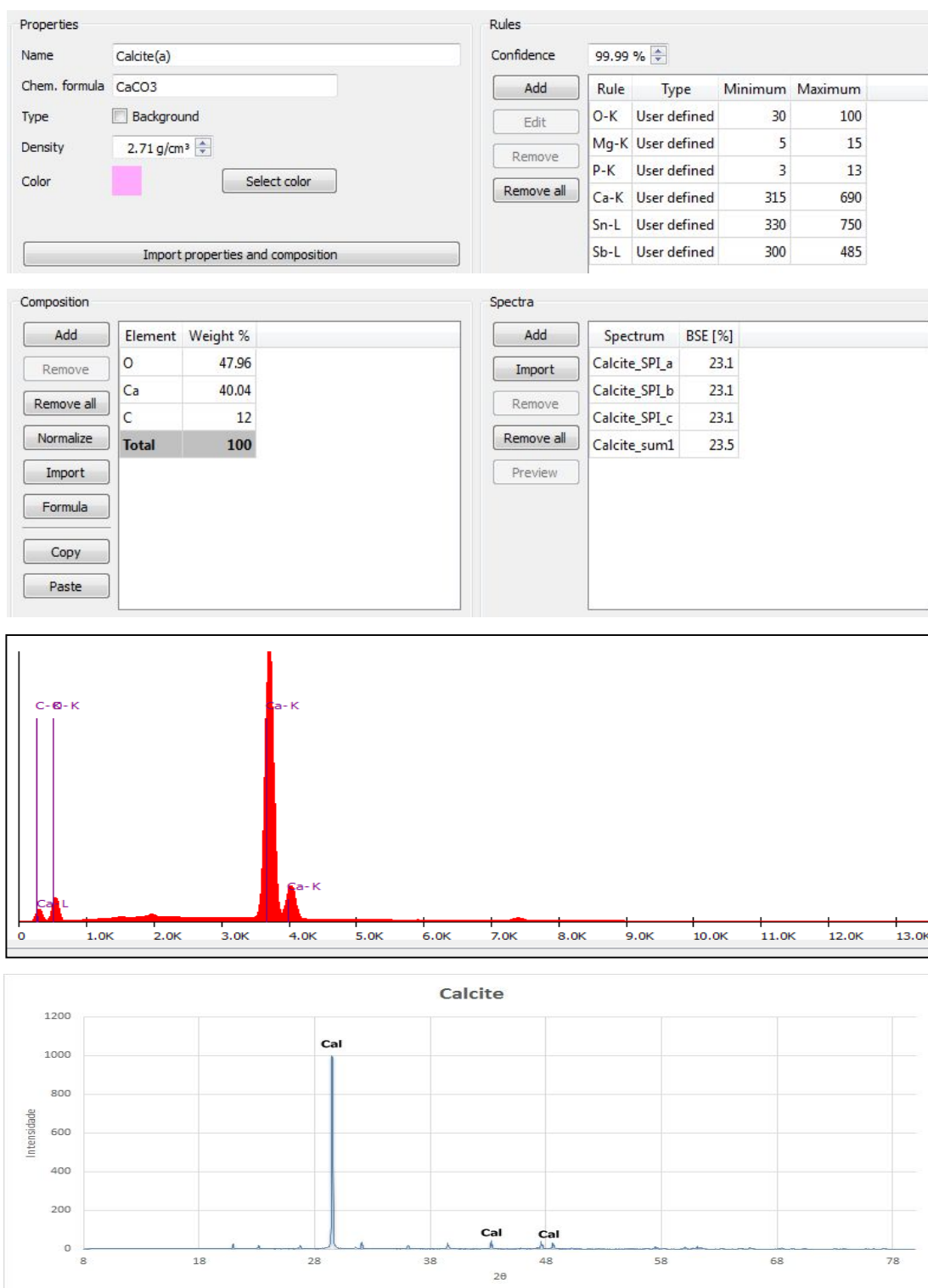


Figura 172: Regras de Classificação, Espectrograma e Difratoograma da Calcita

4.7. Calcioburbankita

Properties

Name: Calcioburbankite

Chem. formula: $\text{Na}_3(\text{Ca},\text{REE},\text{Sr})_3(\text{CO}_3)_5$

Type: ☐ Background

Density: 3.45 g/cm³

Color: Select color

Import properties and composition

Rules

Confidence: 99.50 %

Add Edit Remove Remove all

Rule	Type	Minimum	Maximum
O-K	Computed	37	100
Na-K	Computed	29	87
Ca-K	Computed	29	91
Sr-L	Computed	145	246
La-L	Computed	40	106
Ce-L	Computed	59	131

Composition

Add Remove Remove all Normalize Import Formula Copy Paste

Element	Weight %
O	40.1967
REE	21.707
Ca	12.083
Na	11.5518
C	10.0588
Sr	4.4027
Total	100

Spectra

Add Import Remove Remove all Preview

Spectrum	BSE [%]
Calcioburbankite	39.5

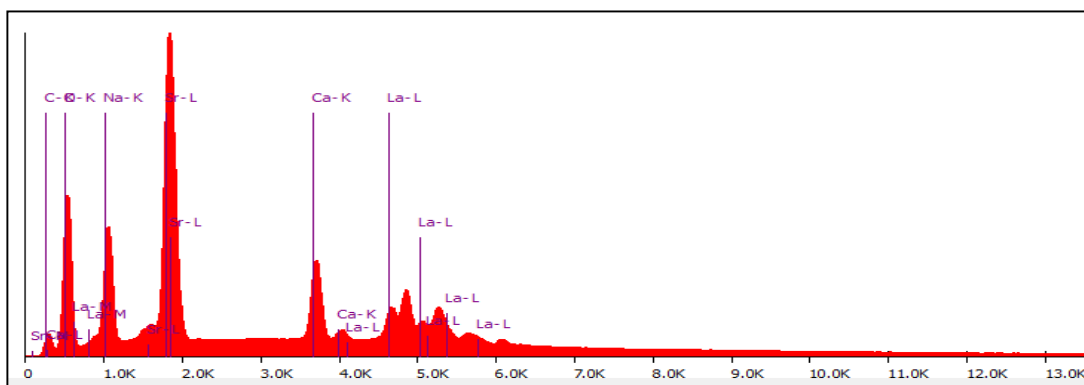


Figura 173: Regras de Classificação, Espectrograma da Calcioburbankita

4.8. Calcioburbankite-Ca

Properties

Name: Calcioburbankite-Ca

Chem. formula: $\text{Na}_3(\text{Ca},\text{REE},\text{Sr})_3(\text{CO}_3)_5$

Type: ☐ Background

Density: 3.45 g/cm³

Color: Select color

Import properties and composition

Rules

Confidence: 99.50 %

Add Edit Remove Remove all

Rule	Type	Minimum	Maximum
O-K	Computed	35	96
Na-K	Computed	9	52
Ca-K	Computed	89	179
Sr-L	Computed	88	169
La-L	Computed	56	134
Ce-L	Computed	82	162

Composition

Add Remove Remove all Normalize Import Formula Copy Paste

Element	Weight %
O	40.1967
REE	21.707
Ca	12.083
Na	11.5518
C	10.0588
Sr	4.4027
Total	100

Spectra

Add Import Remove Remove all Preview

Spectrum	BSE [%]
Calcioburbankite-Ca_sum	39.63

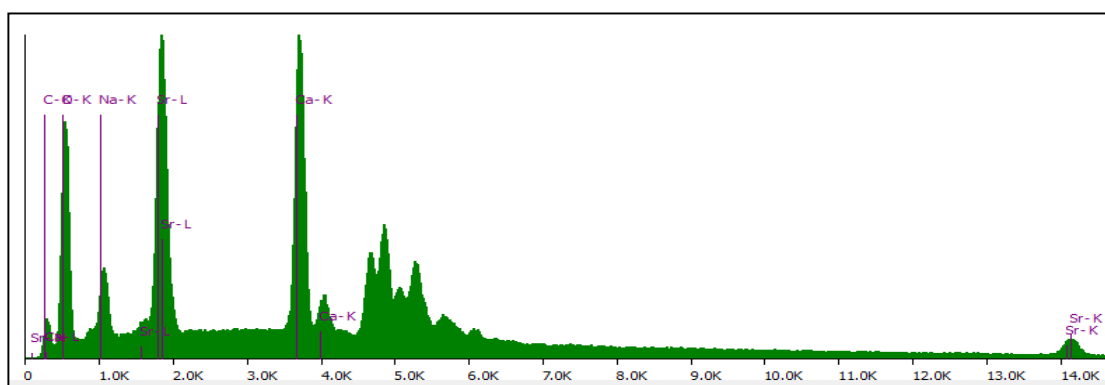


Figura 174: Regras de Classificação, Espectrograma da Calcioburbankita-Ca

4.9. Calcioburbankite-Na

Properties

Name

Chem. formula

Type ☐ Background

Density

Color

Rules

Confidence

Rule	Type	Minimum	Maximum
O-K	Computed	48	115
Na-K	Computed	34	91
Ca-K	Computed	45	116
Sr-L	Computed	78	157
La-L	Computed	63	147
Ce-L	Computed	86	172

Composition

Element	Weight %
O	40.1967
REE	21.707
Ca	12.083
Na	11.5518
C	10.0588
Sr	4.4027
Total	100

Spectra

Spectrum	BSE [%]
Calcioburbankite-Na_sum	38.2

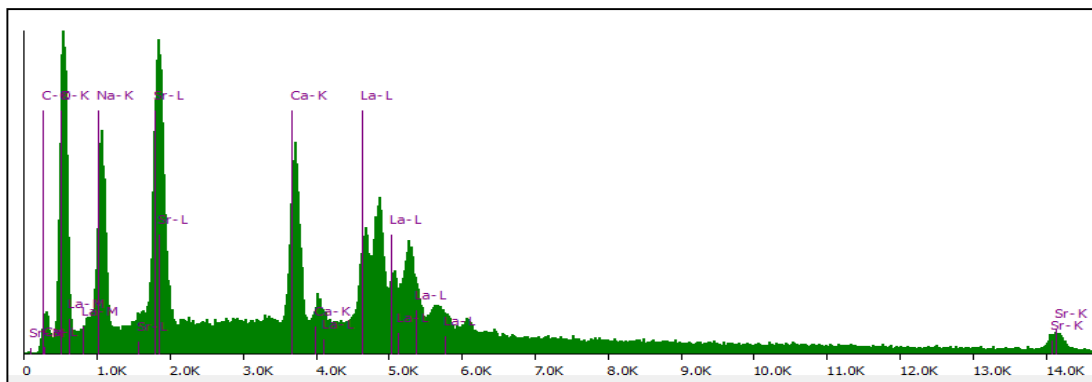


Figura 175: Regras de Classificação, Espectrograma da Calcioburbankita-Na

4.10. Calcioburbankite-Sr

Properties

Name: Calcioburbankite-Sr

Chem. formula: $\text{Na}_3(\text{Ca},\text{REE},\text{Sr})_3(\text{CO}_3)_5$

Type: ☐ Background

Density: 3.45 g/cm³

Color: Select color

Import properties and composition

Rules

Confidence: 99.50 %

Add Edit Remove Remove all

Rule	Type	Minimum	Maximum
O-K	Computed	31	88
Na-K	Computed	28	87
Ca-K	Computed	72	150
Sr-L	Computed	217	340
La-L	Computed	19	65
Ce-L	Computed	22	71

Composition

Add Remove Remove all Normalize Import Formula Copy Paste

Element	Weight %
O	40.1967
REE	21.707
Ca	12.083
Na	11.5518
C	10.0588
Sr	4.4027
Total	100

Spectra

Add Import Remove Remove all Preview

Spectrum	BSE [%]
Calcioburbankite-Sr_sum	34.98

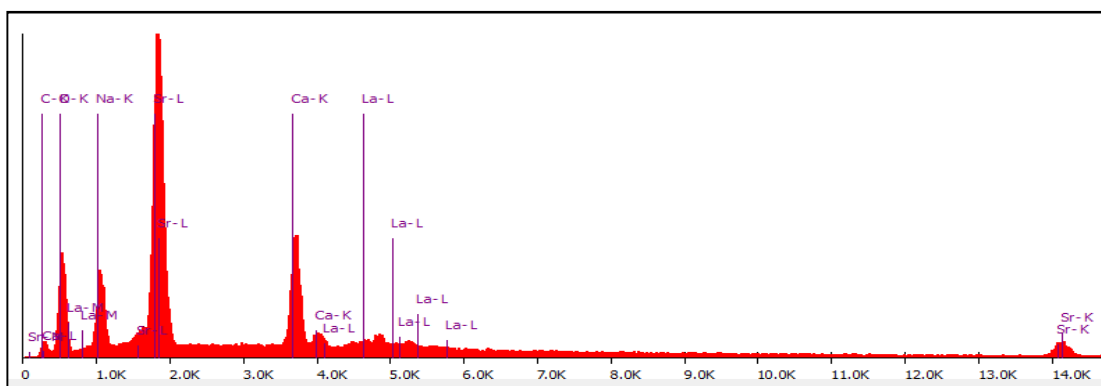


Figura 176: Regras de Classificação, Espectrograma da Calcioburbankita-Sr

4.11. Cerussita

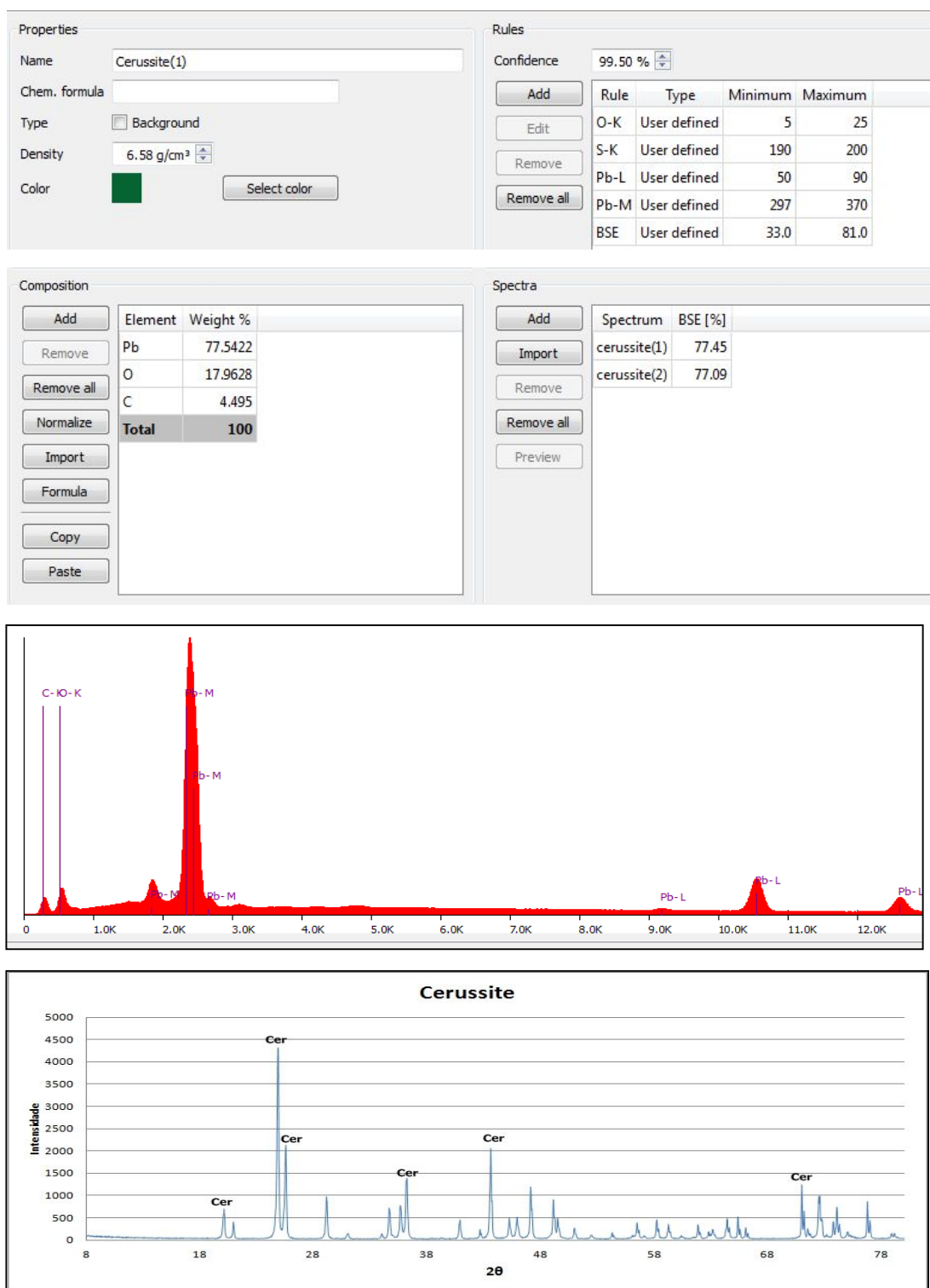


Figura 177: Regras de Classificação, Espectrograma e Difratoograma Cerussita

4.12. Dawsonita

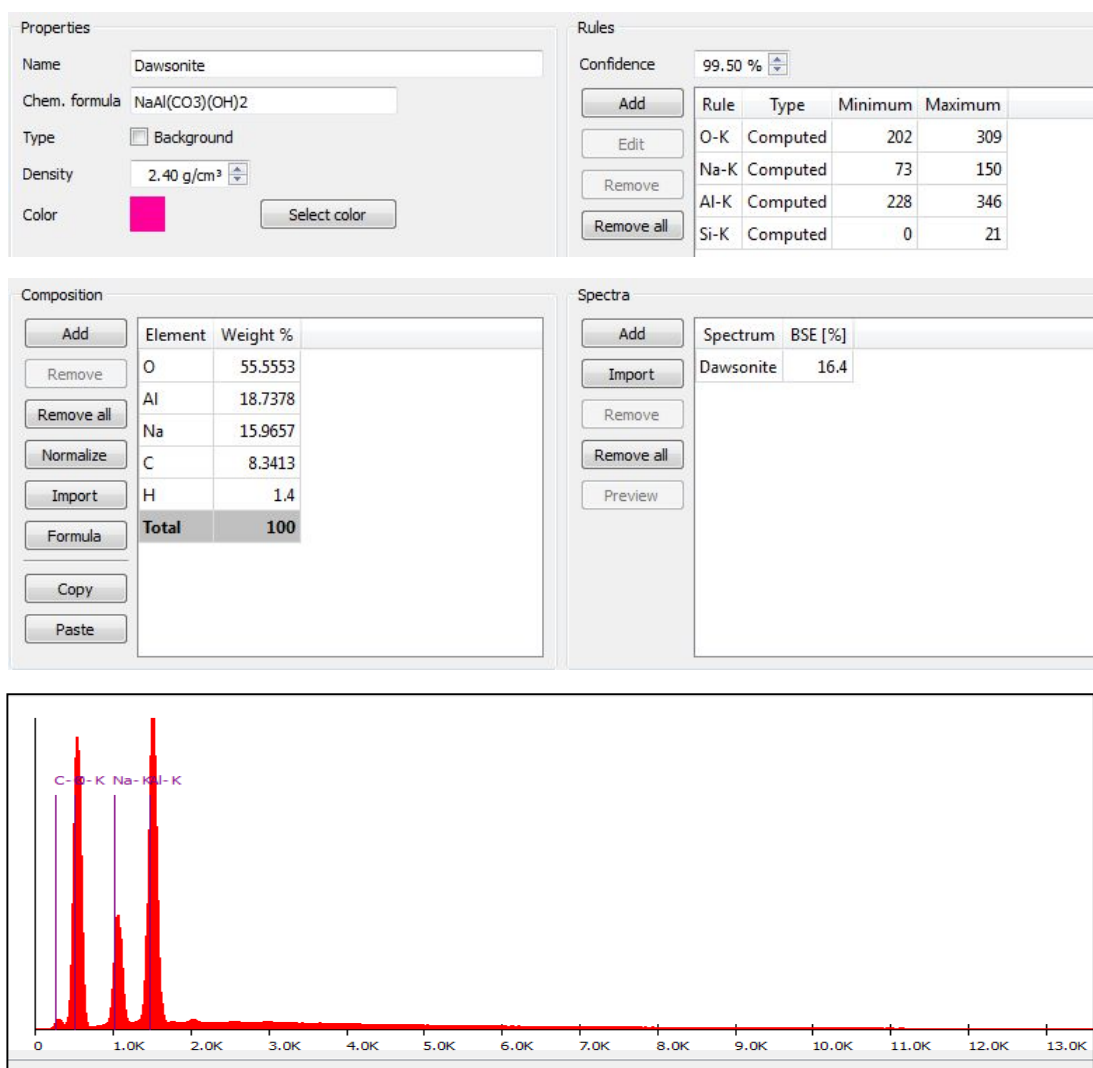


Figura 178: Regras de Classificação, Espectrograma da Dawsonita

4.13. Dolomita

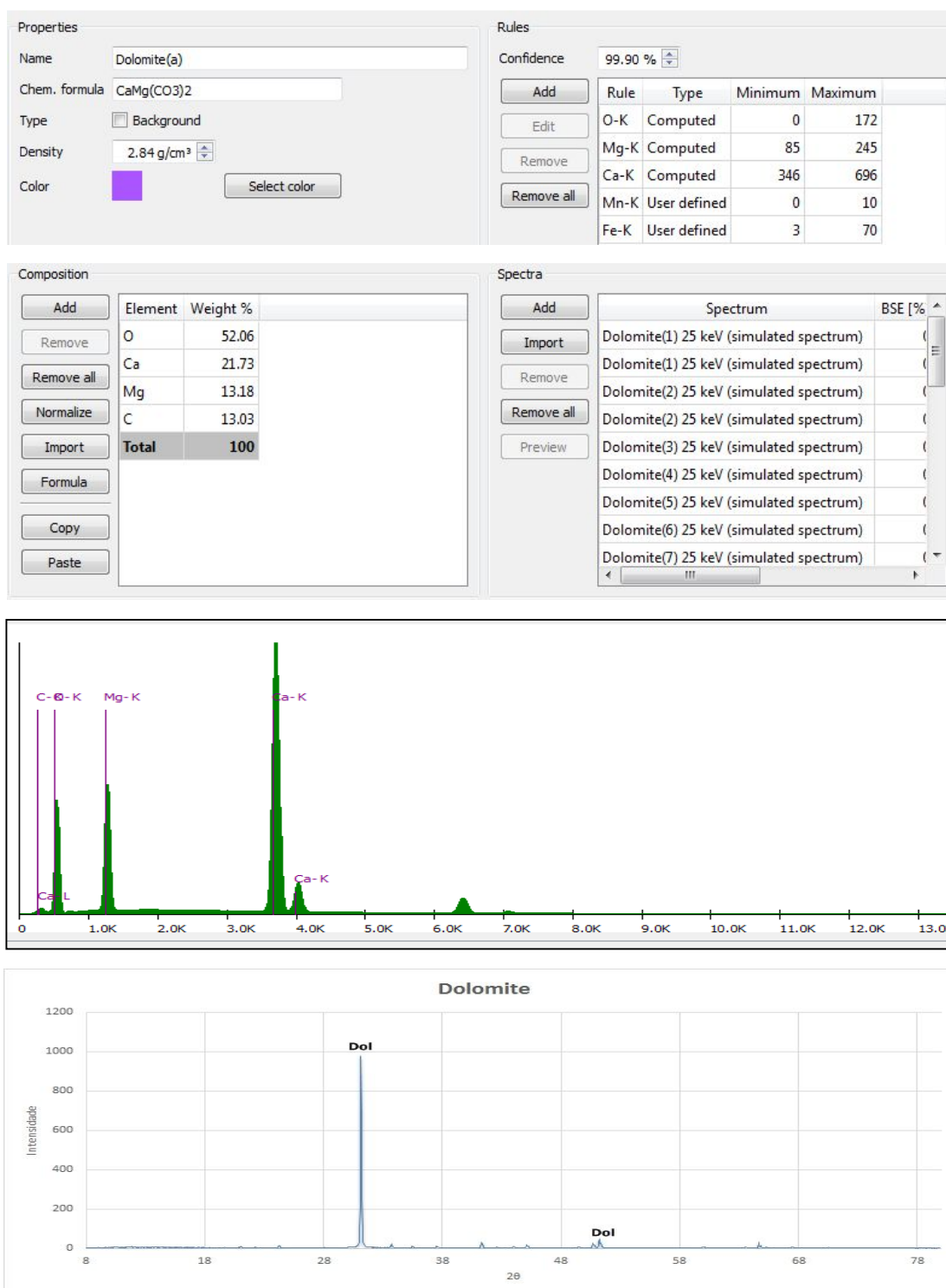


Figura 179: Regras de Classificação, Espectrograma e Difractograma da Dolomita

4.14. Lantanita

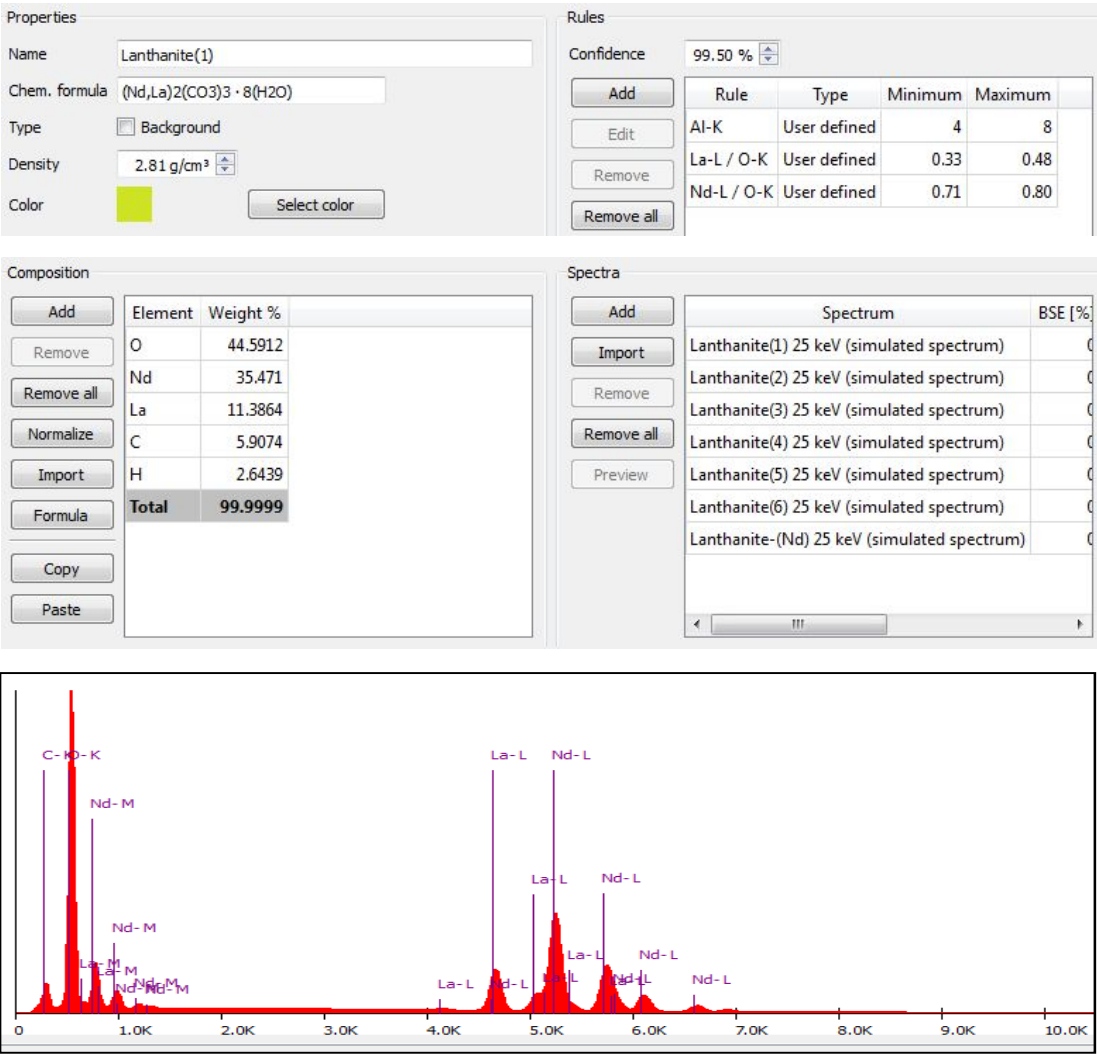


Figura 180: Regras de Classificação, Espectrograma da Lantanita

4.15. Magnesita

Properties

Name

Chem. formula

Type ☐ Background

Density

Color

Rules

Confidence

Rule	Type	Minimum	Maximum
O-K	User defined	230	260
Mg-K	User defined	420	440
Ca-K	User defined	5	20
BSE	User defined	15.3	18.0

Composition

Element	Weight %
O	56.9278
Mg	28.8267
C	14.2455
Total	100

Spectra

Spectrum	BSE [%]
Magnesite(1)	16.03
magnesite(2)	16.09

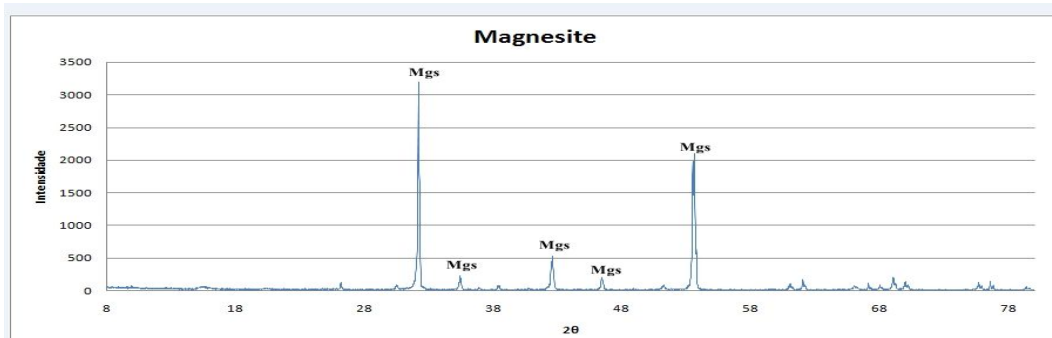
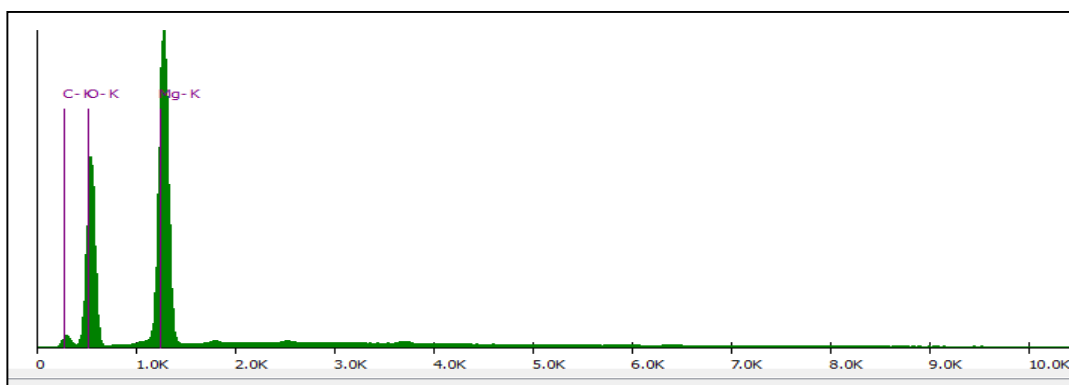


Figura 181: Regras de Classificação, Espectrograma e Difratoograma da Magnesita

4.16. Malaquite

Properties

Name:

Chem. formula:

Type: ☐ Background

Density:

Color:

Rules

Confidence: 99.50 %

Rule	Type	Minimum	Maximum
O-K	User defined	20	80
P-K	User defined	5	15
S-K	User defined	10	96
Cu-K	User defined	130	350
Cu-L	User defined	80	270
Sb-L	User defined	3	10

Composition

Element	Weight %
Cu	57.4776
O	36.1788
C	5.432
H	0.9117
Total	100

Spectra

Spectrum	BSE [%]
malachite(2) 25 keV (simulated spectrum)	34.38
malachite(3) 25 keV (simulated spectrum)	30.84

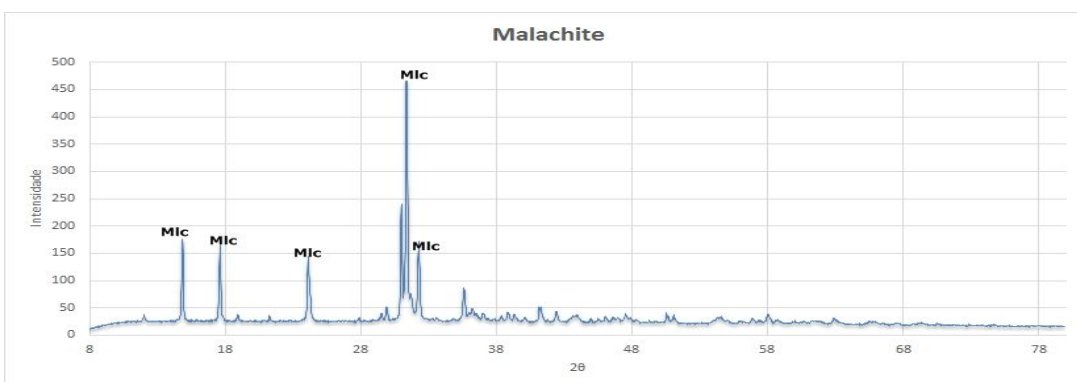
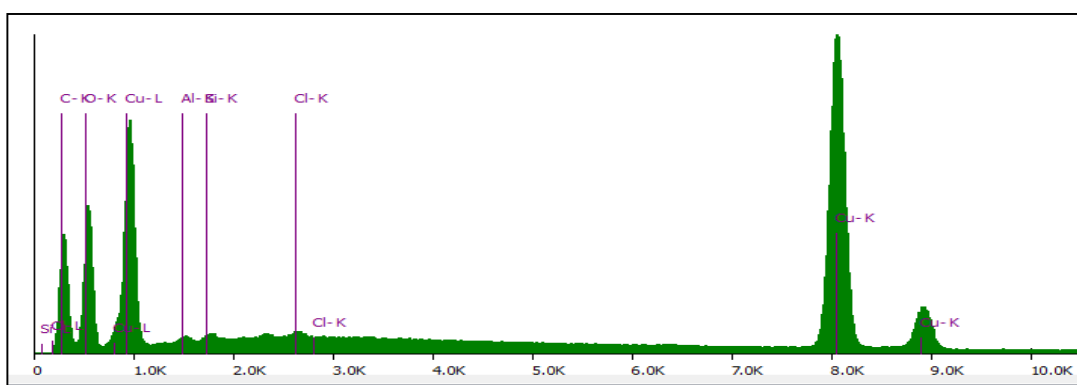


Figura 182: Regras de Classificação, Espectrograma e Difratoograma da Malaquita

4.17. Parasita

Properties

Name:

Chem. formula:

Type: ☐ Background

Density:

Color:

Rules

Confidence: 99.50 %

Rule	Type	Minimum	Maximum
O-K	Computed	25	82
F-K	Computed	3	36
Al-K	Computed	0	19
Ca-K	Computed	73	153
La-L	Computed	91	184
Ce-L	Computed	154	274

Composition

Element	Weight %
Ce	28.6884
O	26.8025
La	23.2697
Ca	7.4599
F	7.0725
C	6.707
Total	100

Spectra

Spectrum	BSE [%]
Parasite1	59.8
Parasite2	59.3

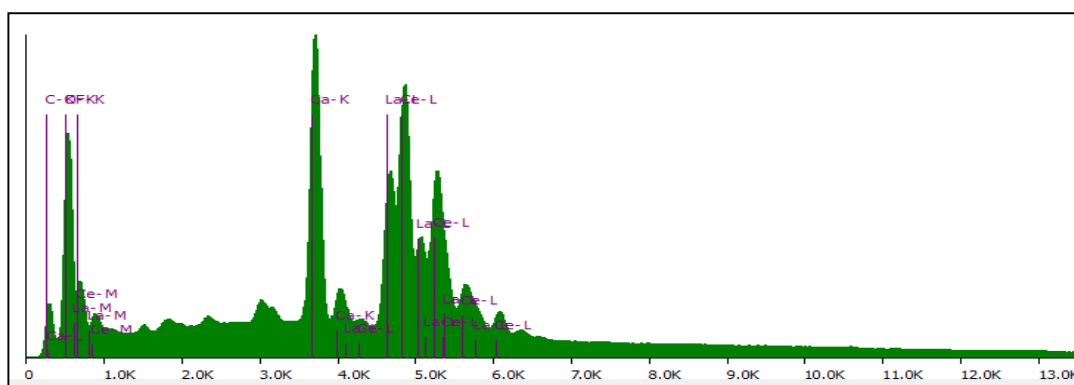


Figura 183: Regras de Classificação, Espectrograma da Parasita

4.18. Rodocrosita

Properties

Name

Chem. formula

Type ☐ Background

Density

Color

Rules

Confidence

Rule	Type	Minimum	Maximum
O-K	User defined	60	120
Si-K	User defined	240	260
Mn-K	User defined	240	270
BSE	User defined	27.0	29.5

Composition

Element	Weight %
Mn	47.7941
O	41.7567
C	10.4491
Total	99.9999

Spectra

Spectrum	BSE [%]
Rhodochrosite(1)	28.5

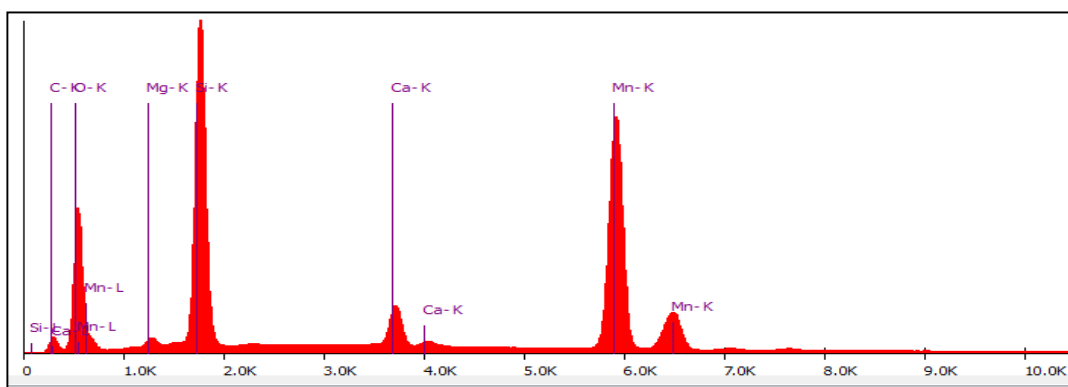


Figura 184: Regras de Classificação, Espectrograma da Rodocrosita

4.19. Siderita

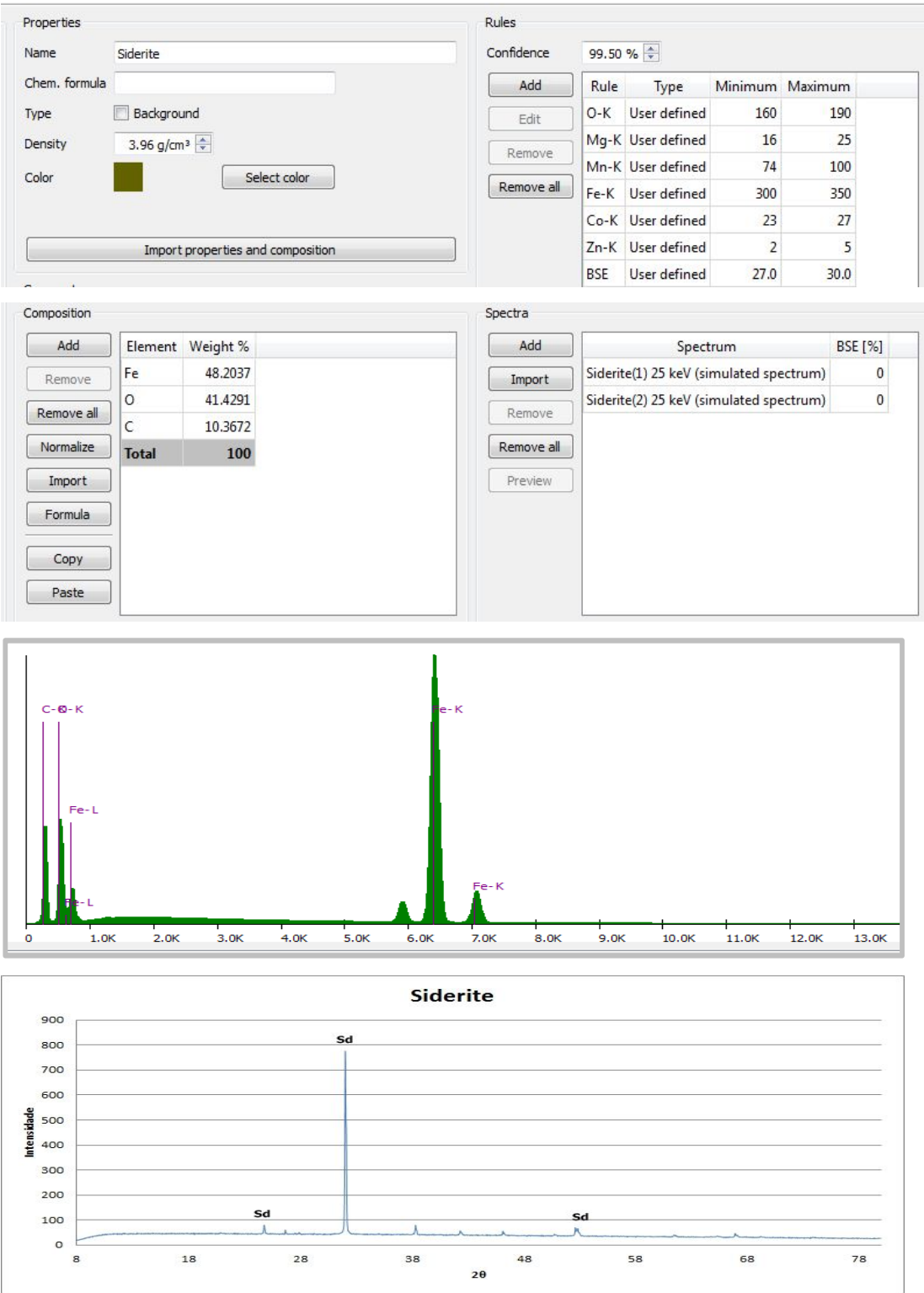


Figura 185: Regras de Classificação, Espectrograma da Siderita

4.20. Estrontianita

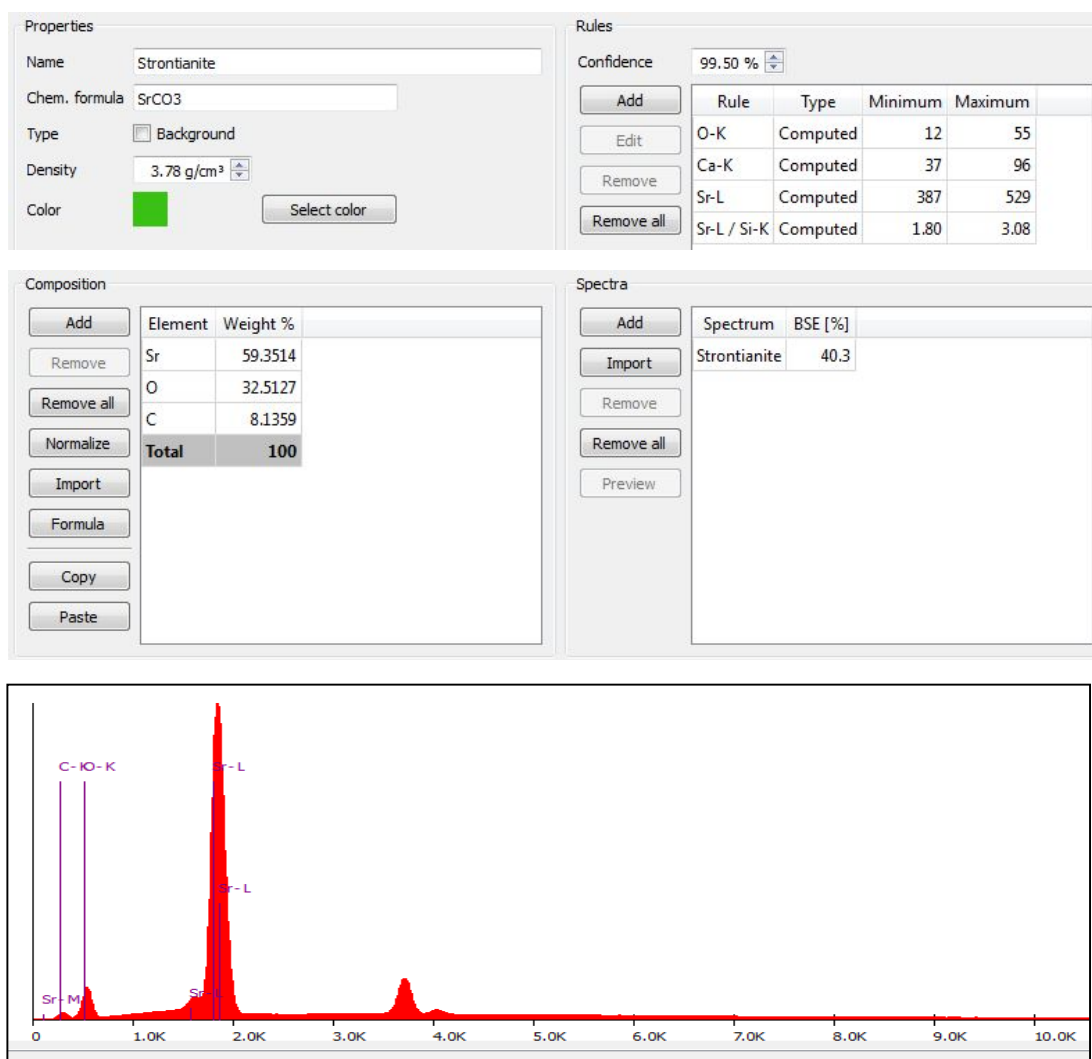


Figura 186: Regras de Classificação, Espectrograma da Estrontianita

4.21. Synchysita

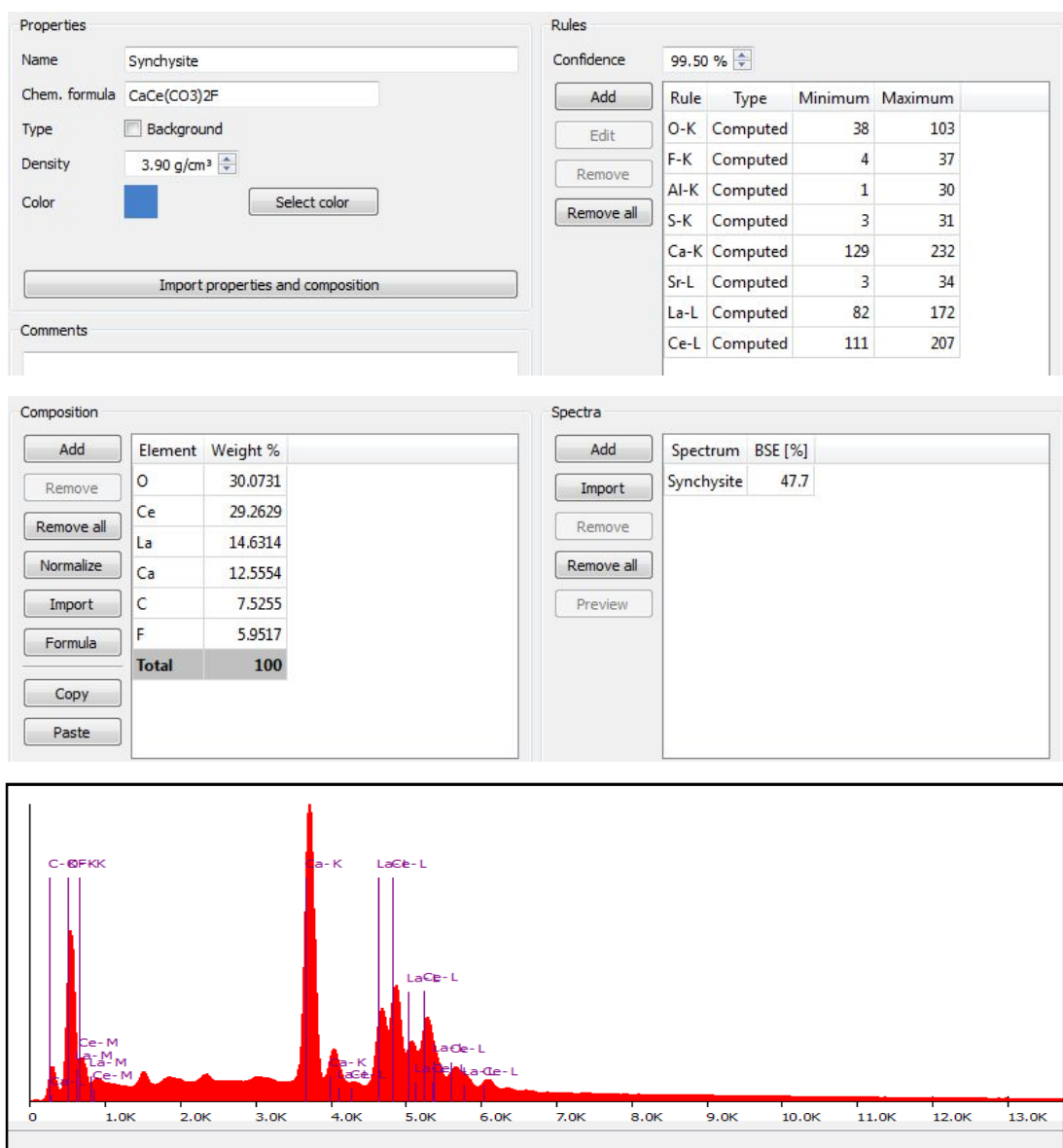


Figura 187: Regras de Classificação, Espectrograma da Synchysita

5. FOSFATOS

5.1. Adamita

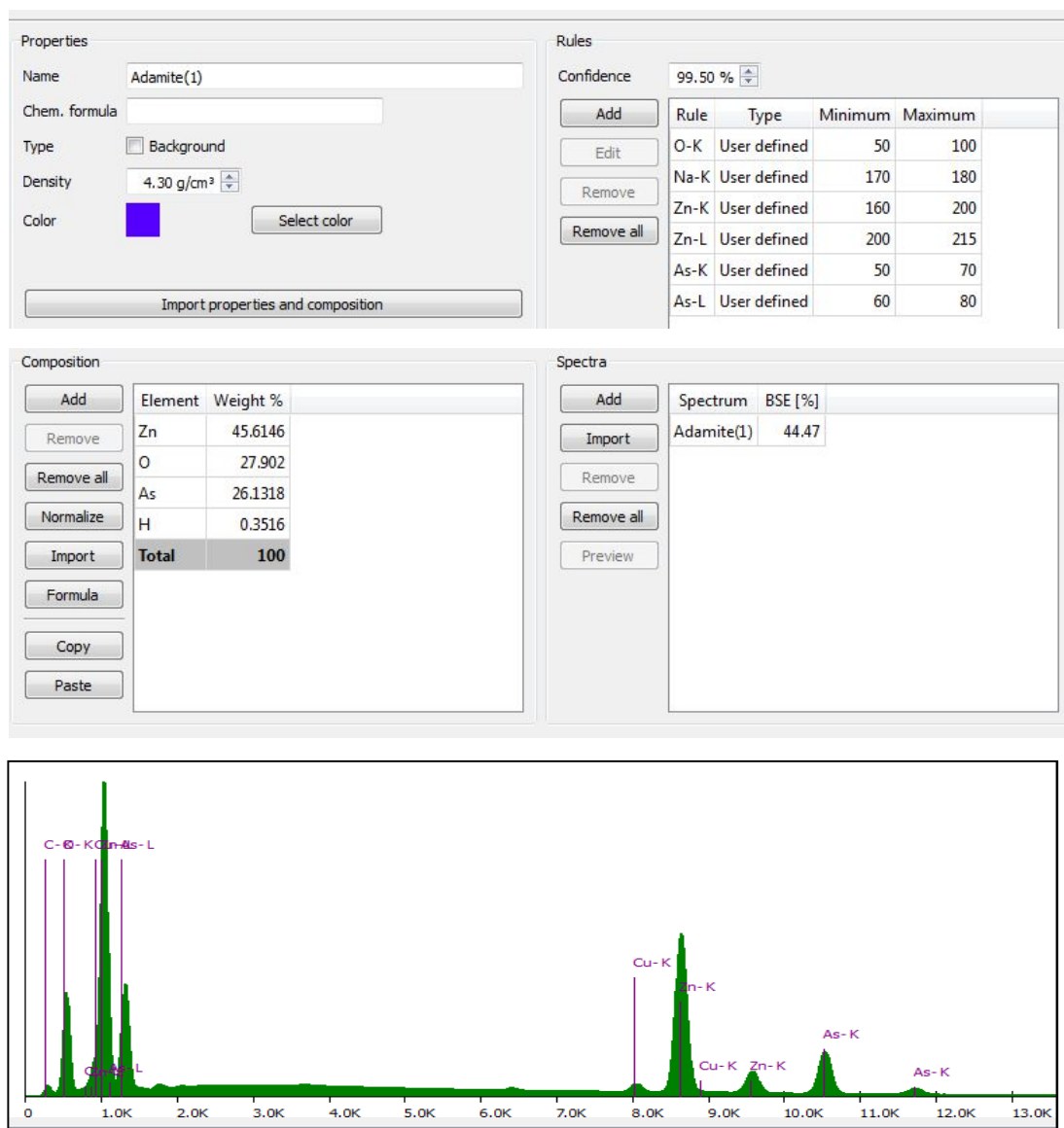


Figura 188: Regras de Classificação, Espectrograma da Adamita

5.2. Apatita

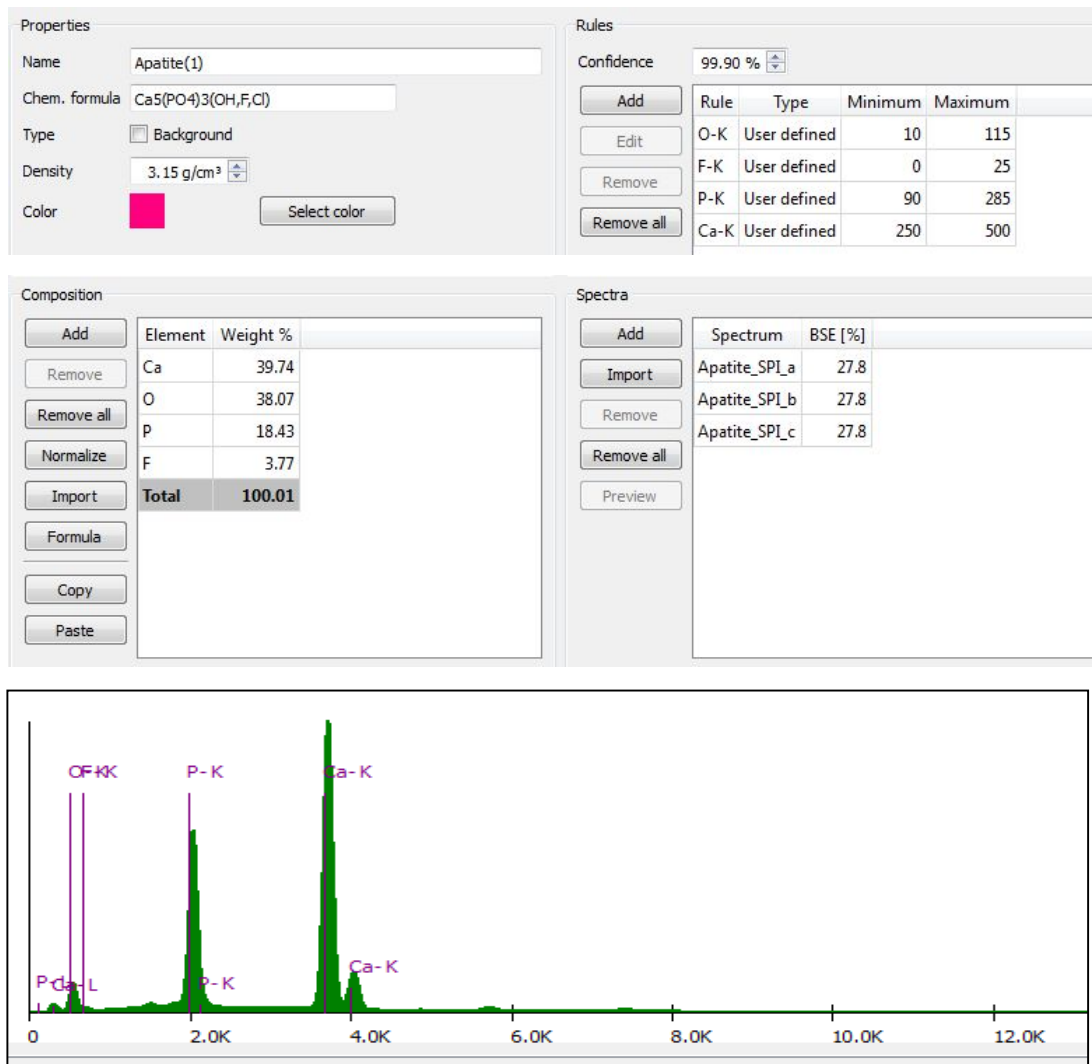


Figura 189: Regras de Classificação, Espectrograma da Apatita

5.3. Berillonita

Properties

Name

Chem. formula

Type ☐ Background

Density

Color

Rules

Confidence

Rule	Type	Minimum	Maximum
O-K	User defined	99	158
Na-K	User defined	143	175
P-K	User defined	400	447
BSE	User defined	17.3	18.6

Composition

Element	Weight %
O	50.4024
P	24.3939
Na	18.106
Be	7.0977
Total	100

Spectra

Spectrum	BSE [%]
beryllonite(1)	18.38

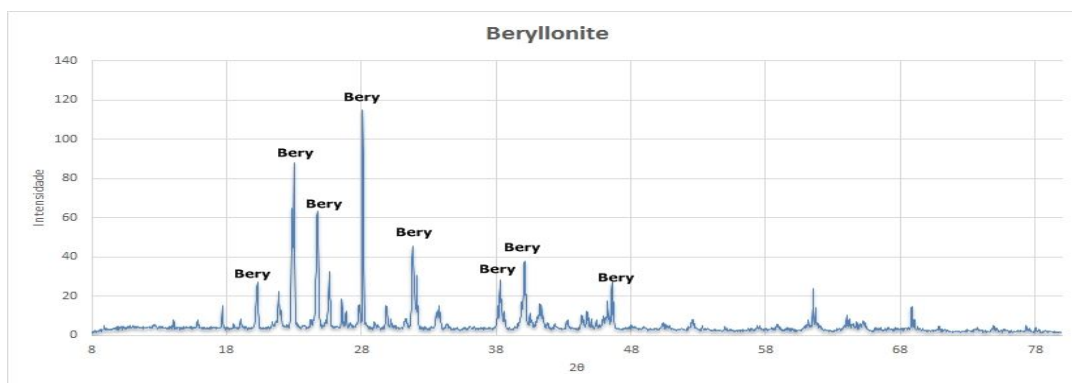
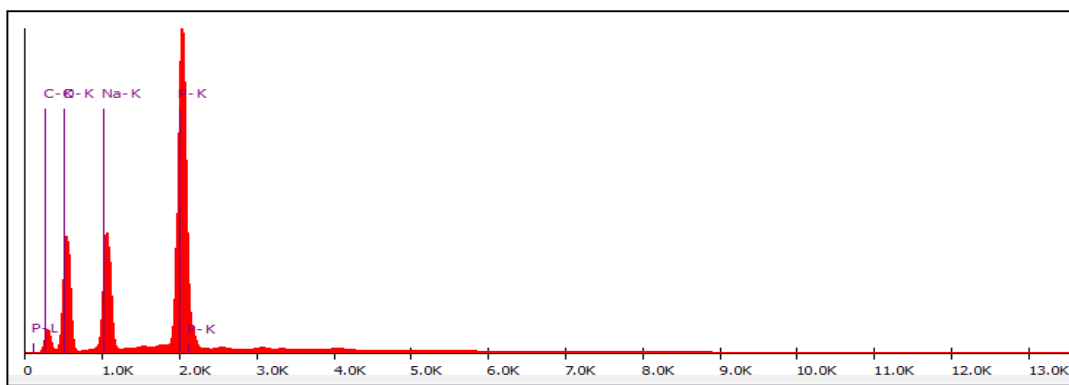


Figura 190: Regras de Classificação, Espectrograma e Difratoograma da Berillonita

5.4. Brazillianita

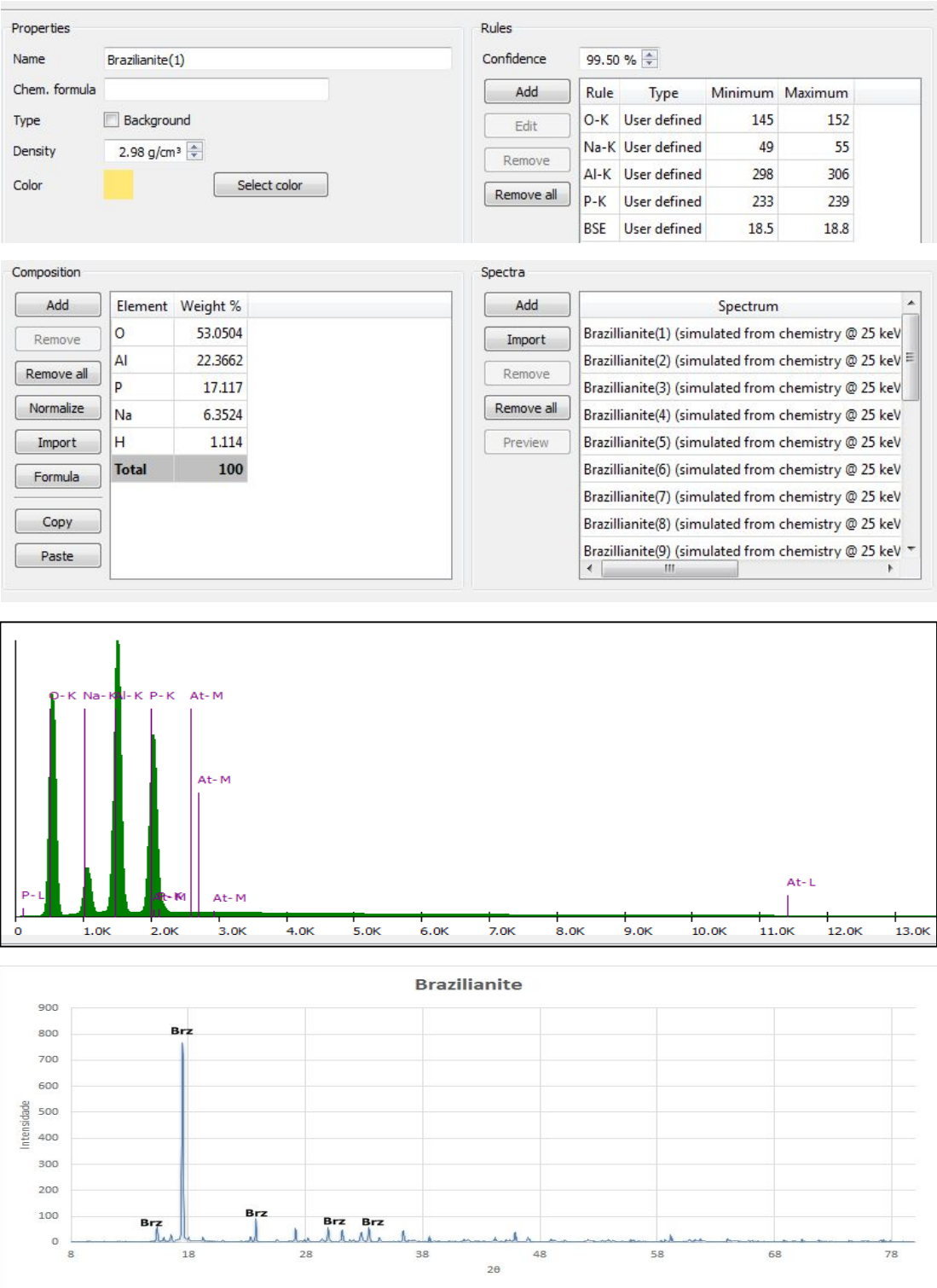


Figura 191: Regras de Classificação, Espectrograma da Brazillianita

5.5. Cuprian Adamita

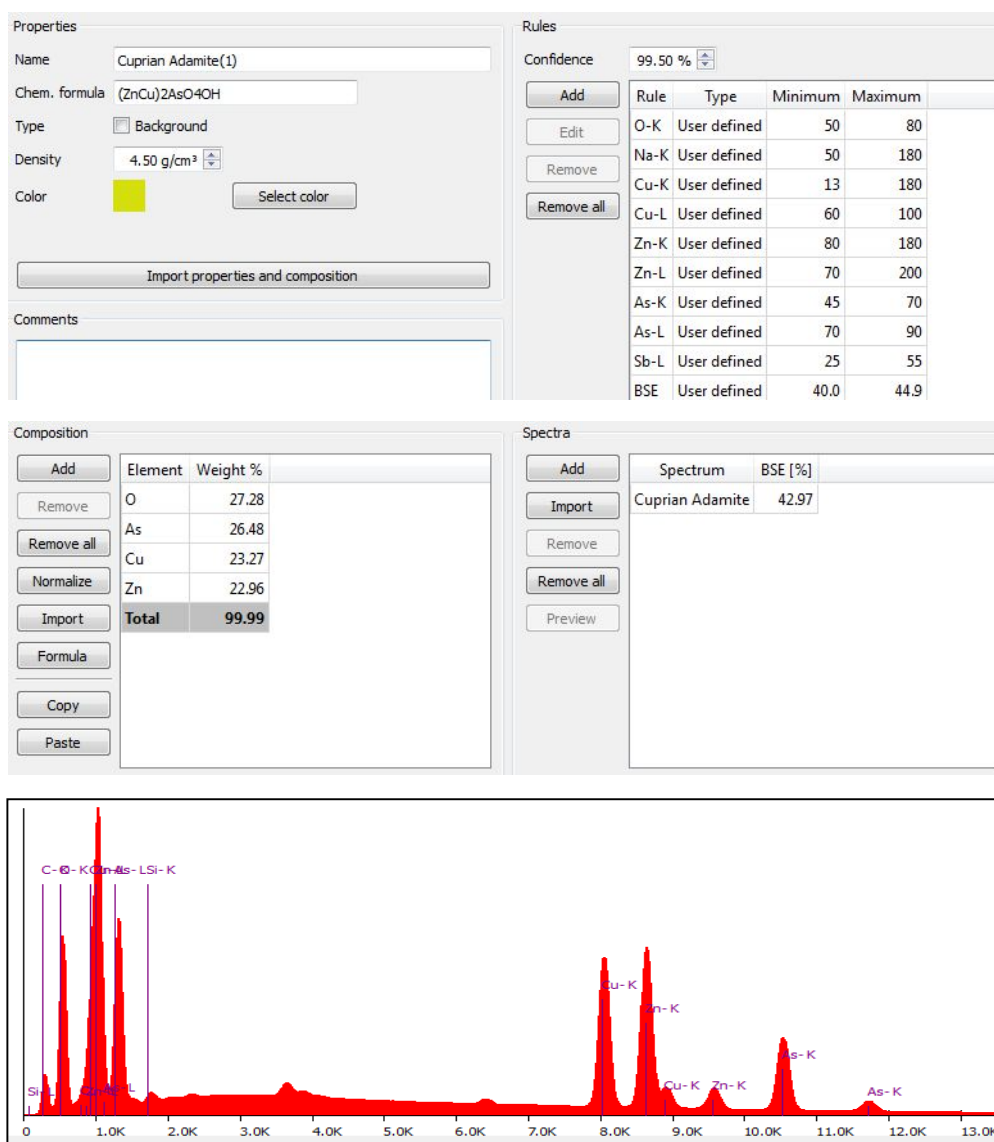


Figura 192: Regras de Classificação, Espectrograma da Cuprian Adamite

5.6. Faustita

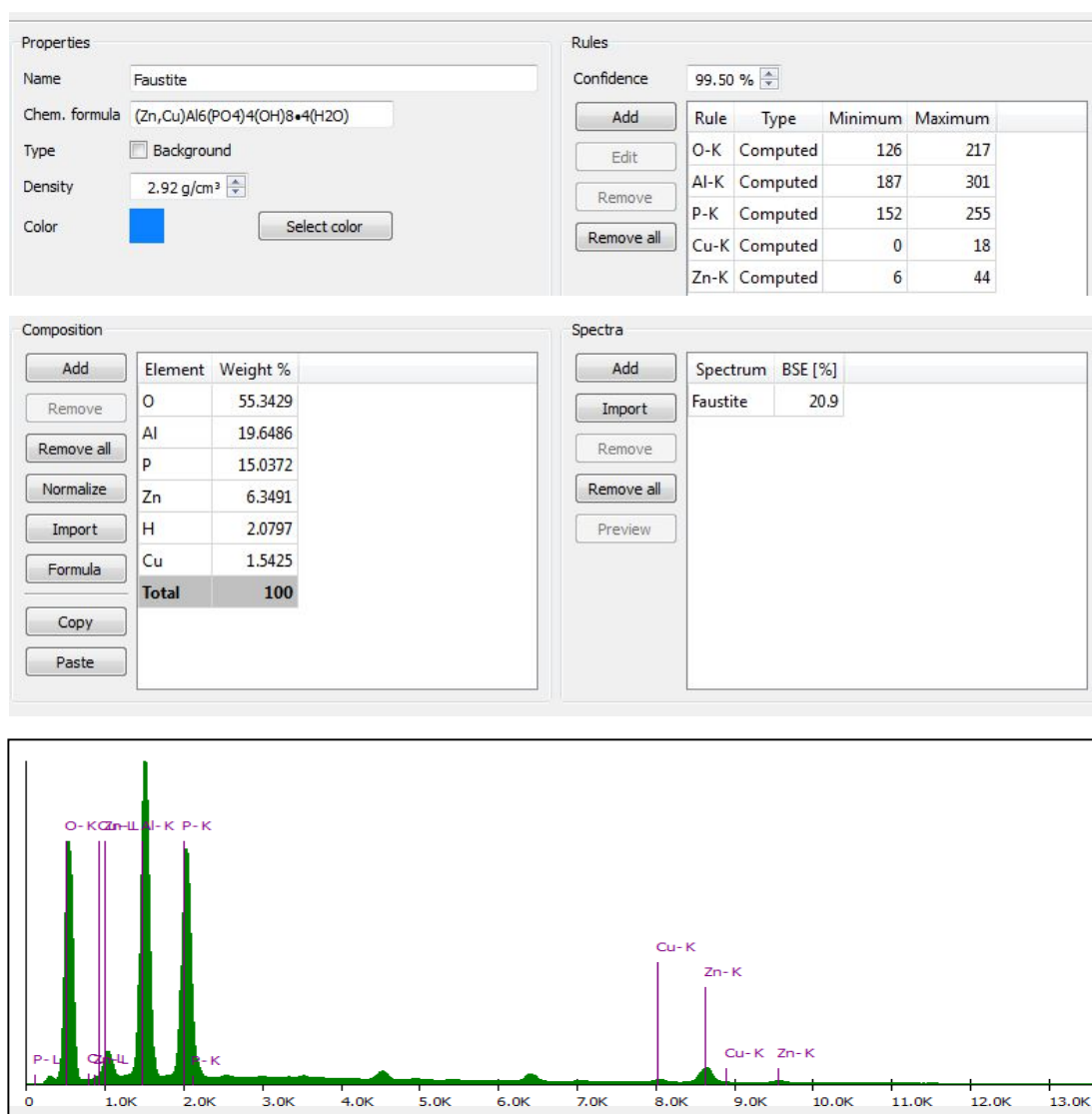


Figura 193: Regras de Classificação, Espectrograma da Faustita

5.7. Frondelita

Properties

Name

Chem. formula

Type ☐ Background

Density

Color

Rules

Confidence

Rule	Type	Minimum	Maximum
O-K	User defined	50	180
P-K	User defined	100	220
Mn-K	User defined	20	100
Fe-K	User defined	200	320
Fe-L	User defined	10	35

Composition

Element	Weight %
O	41.9558
Fe	34.4587
P	14.3336
Mn	8.4745
H	0.7774
Total	100

Spectra

Spectrum	BSE [%]
Frondelite(1)	29.84

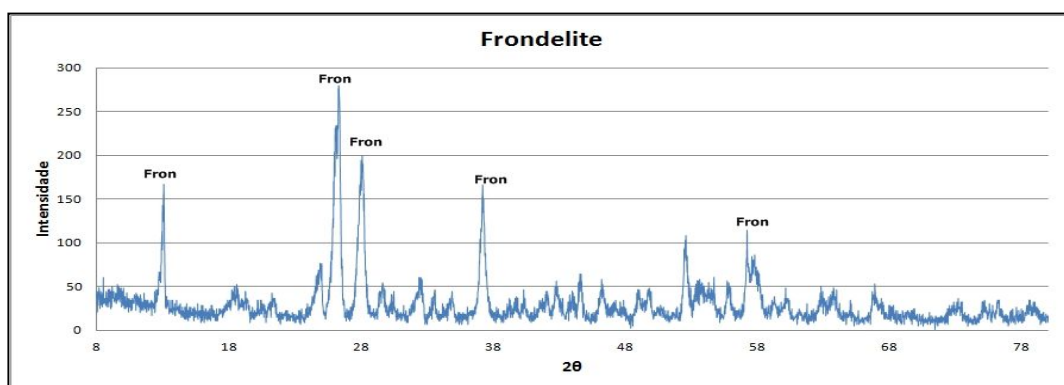
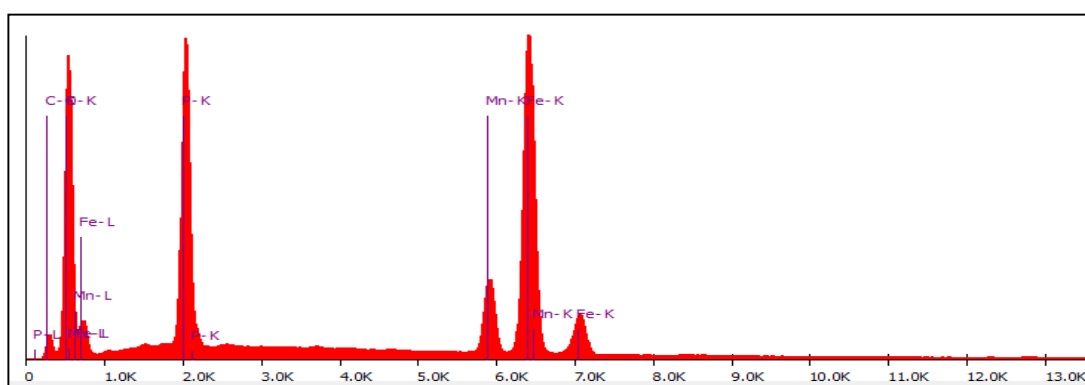


Figura 194: Regras de Classificação, Espectrograma e Difratoograma da Frondelita

5.8. Herderita

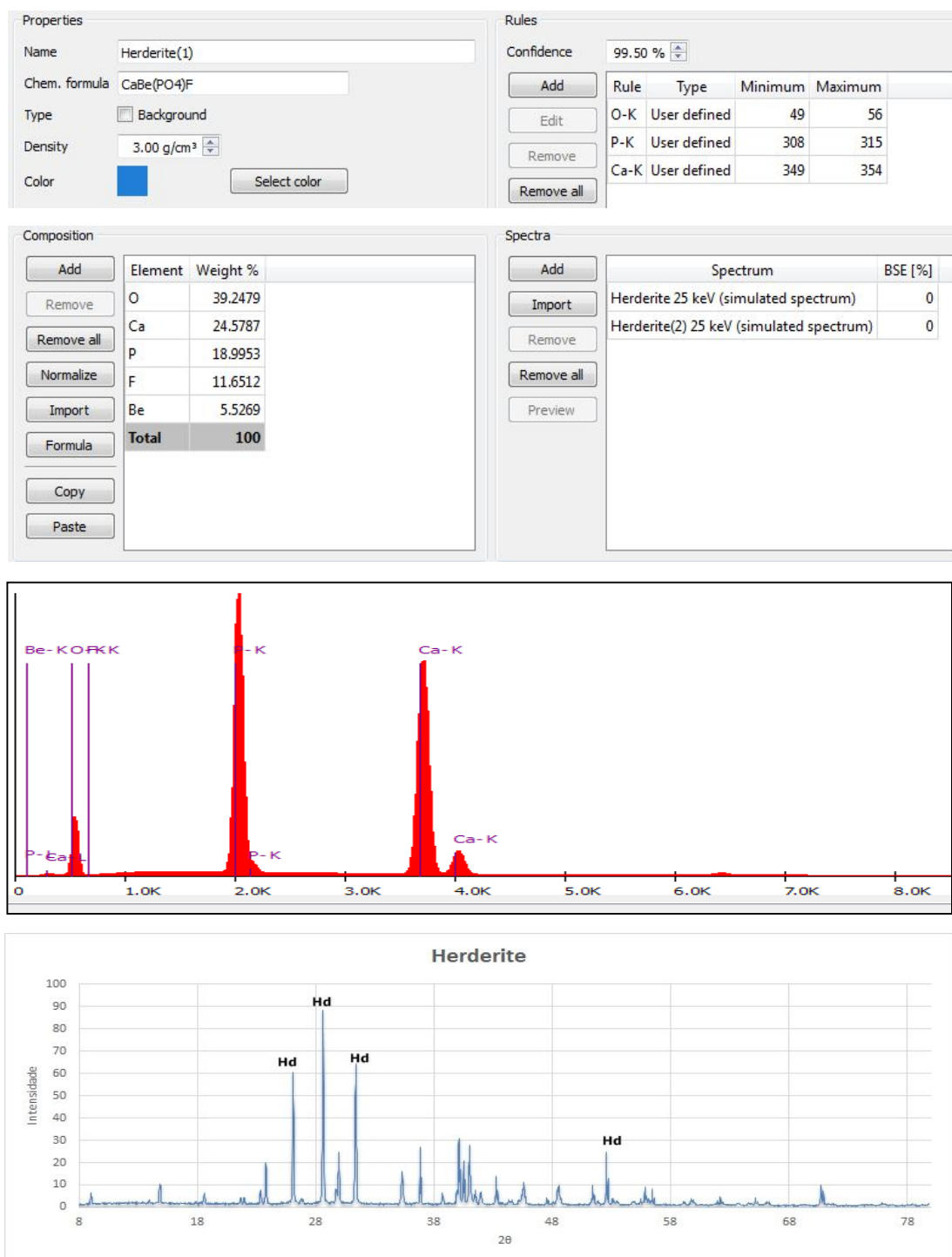


Figura 195: Regras de Classificação, Espectrograma e Difratoograma da Herderita

5.9. Lazulita

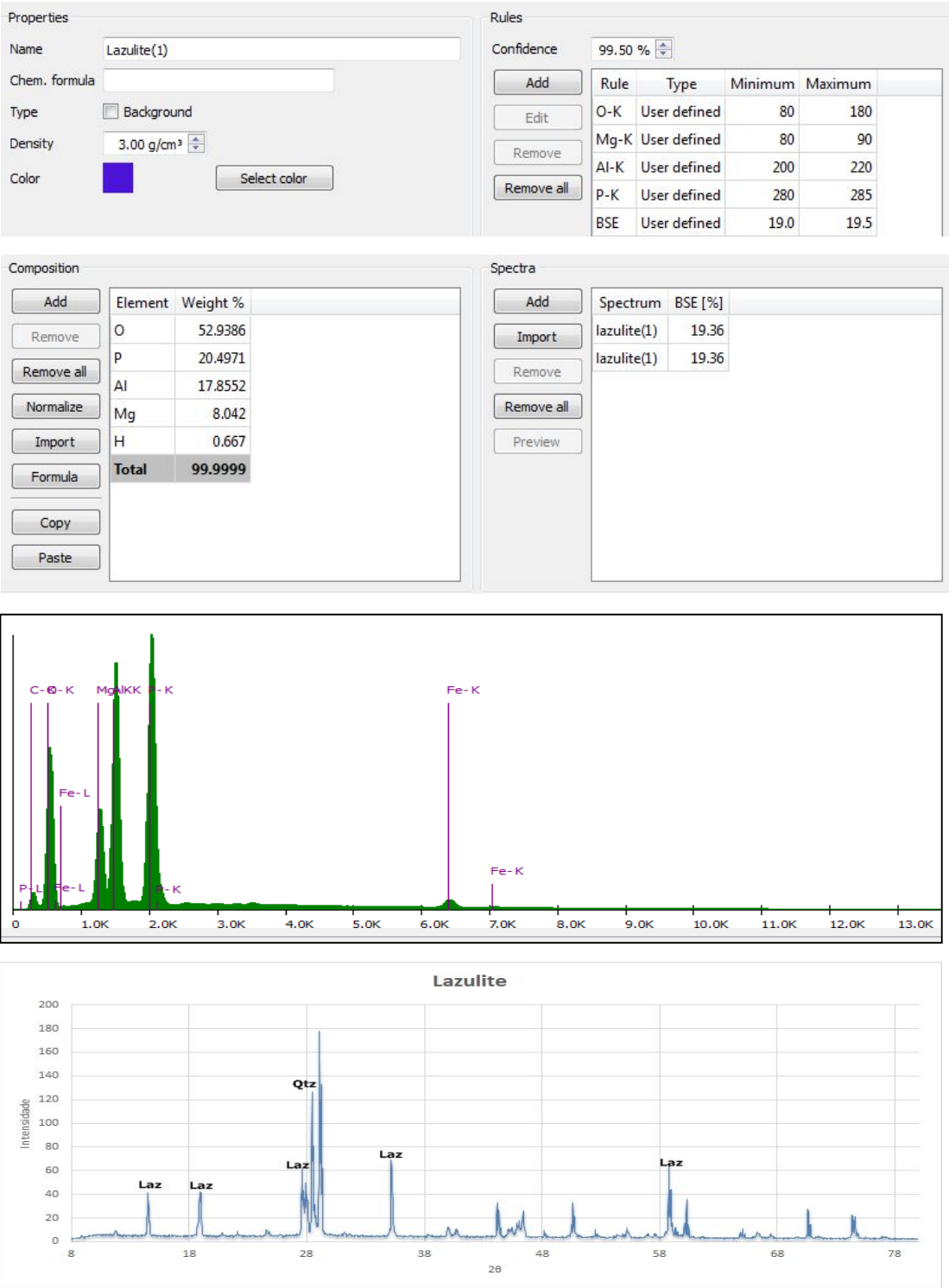


Figura 196: Regras de Classificação, Espectrograma da Lazulita

5.10. Montebrasita

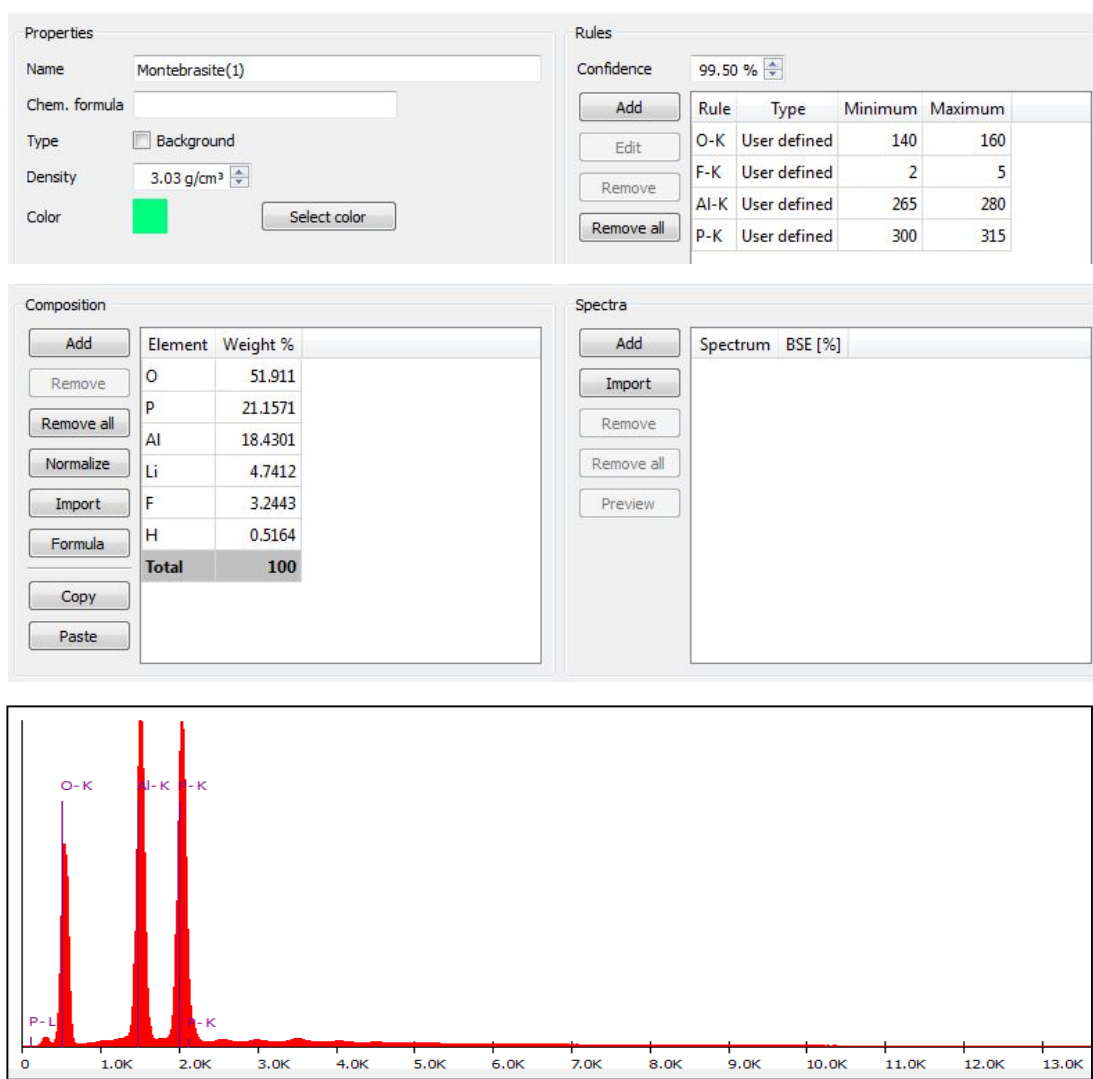


Figura 197: Regras de Classificação, Espectrograma da Montebrasita

5.11. Monazita

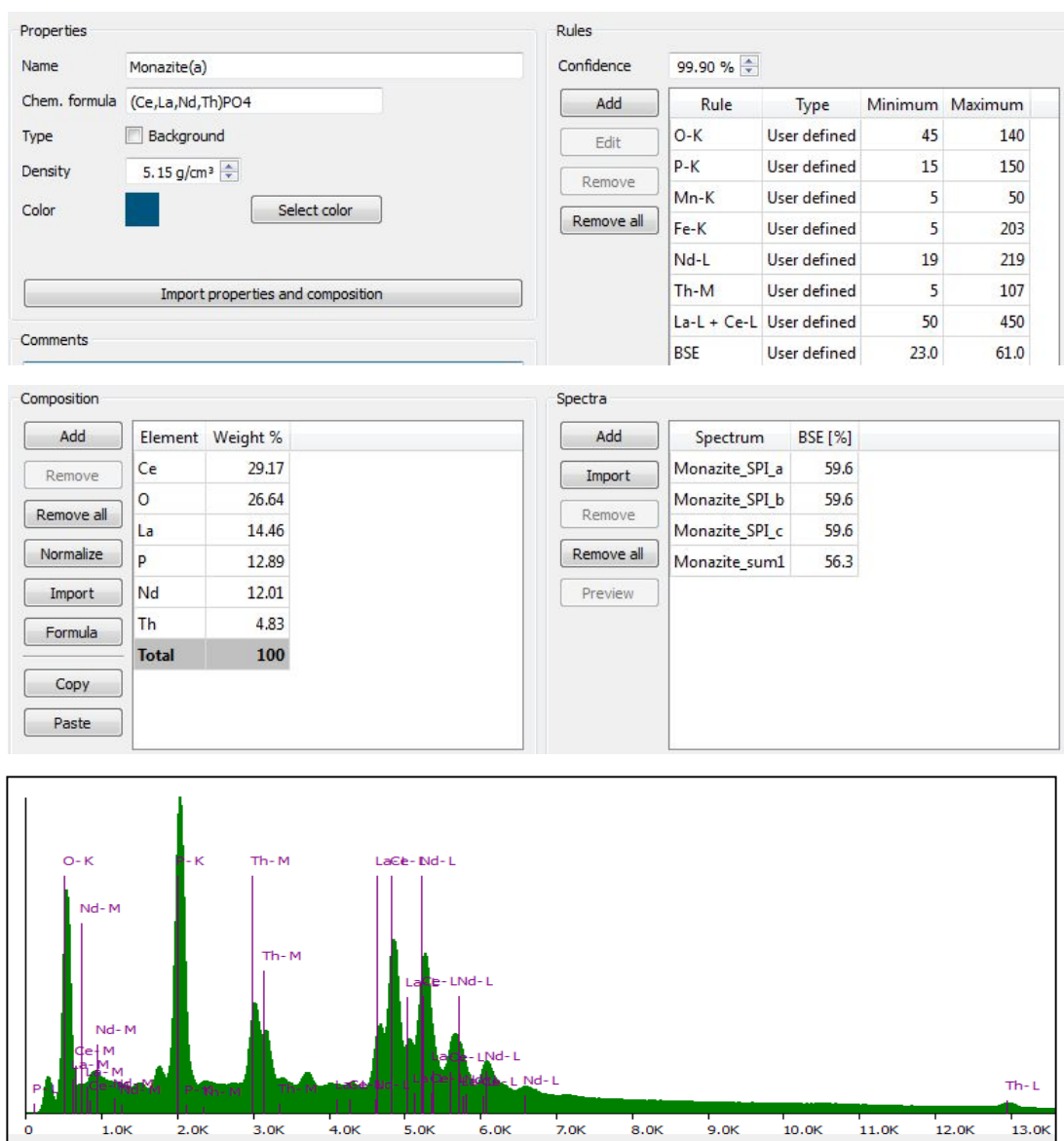


Figura 198 : Regras de Classificação, Espectrograma e Difratoograma da Monazita

5.12. Piromorfita

Properties

Name:

Chem. formula:

Type: ☐ Background

Density:

Color:

Rules

Confidence: 99.50 %

Rule	Type	Minimum	Maximum
O-K	User defined	6	30
P-K	User defined	6	75
Cl-K	User defined	20	35
Pb-L	User defined	80	85
Pb-M	User defined	200	330
BSE	User defined	80.0	83.0

Composition

Element	Weight %
Pb	76.3805
O	14.1549
P	6.8507
Cl	2.6138
Total	99.9999

Spectra

Spectrum	BSE [%]
Pyromorphite(1)	82.91

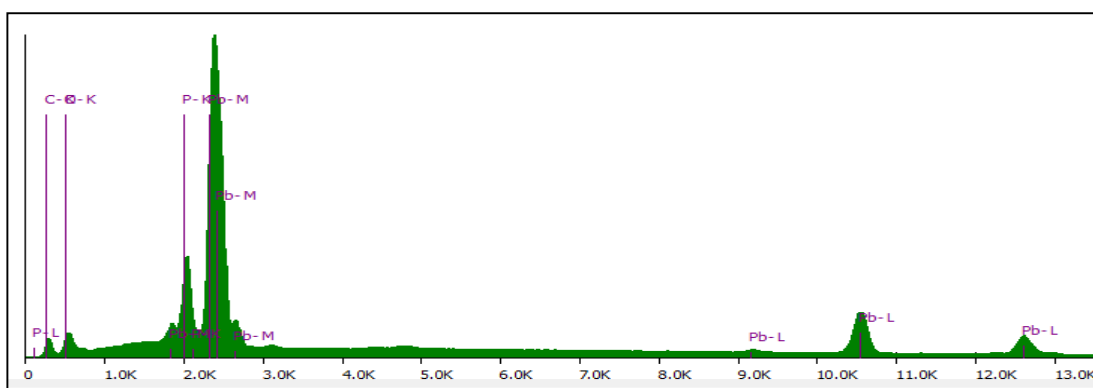


Figura 199: Regras de Classificação, Espectrograma da Piromorfita

5.13. Pseudomalaquite

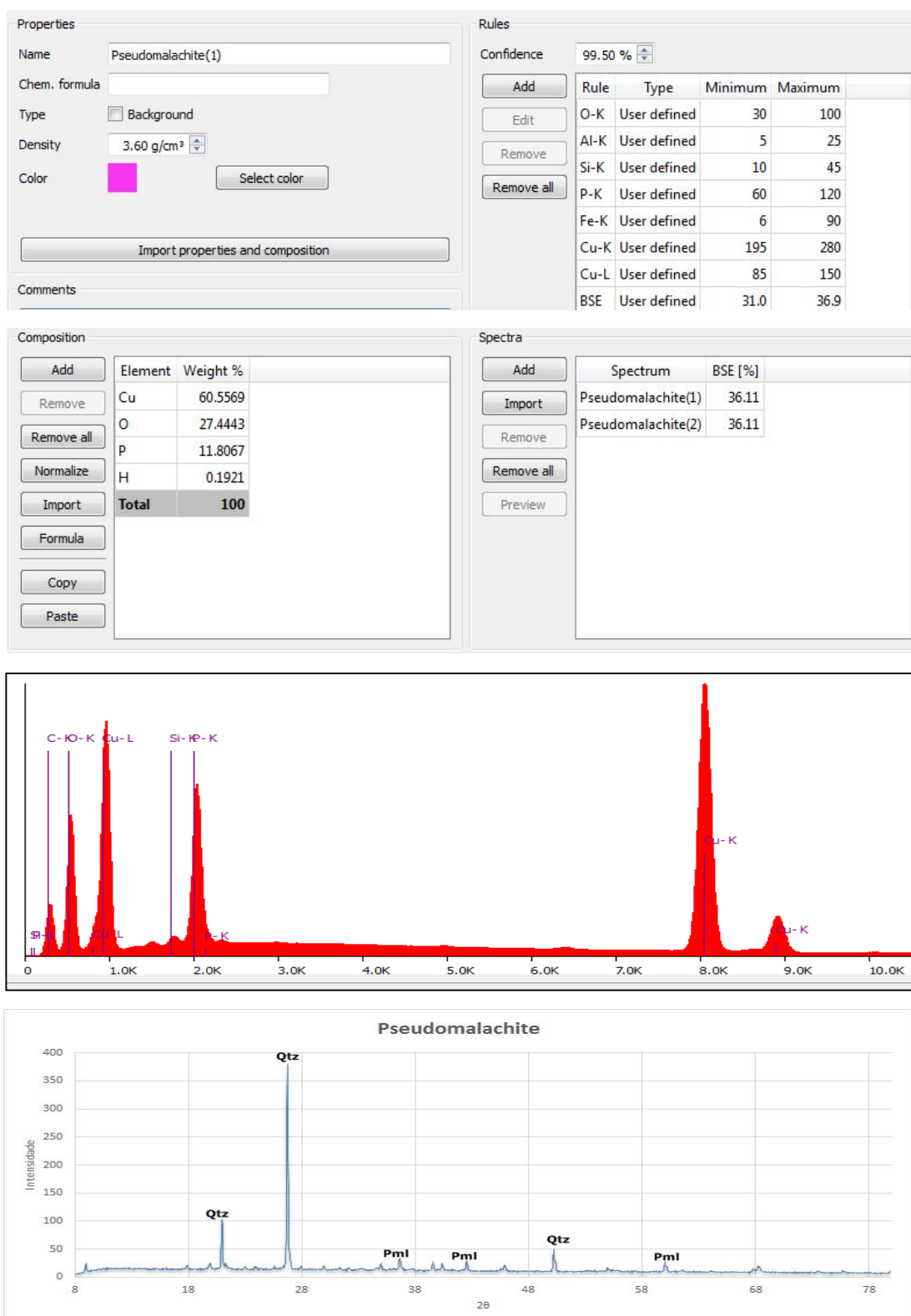


Figura 200: Regras de Classificação, Espectrograma e Difratoograma da Pseudomalaquite

5.14. Theisita

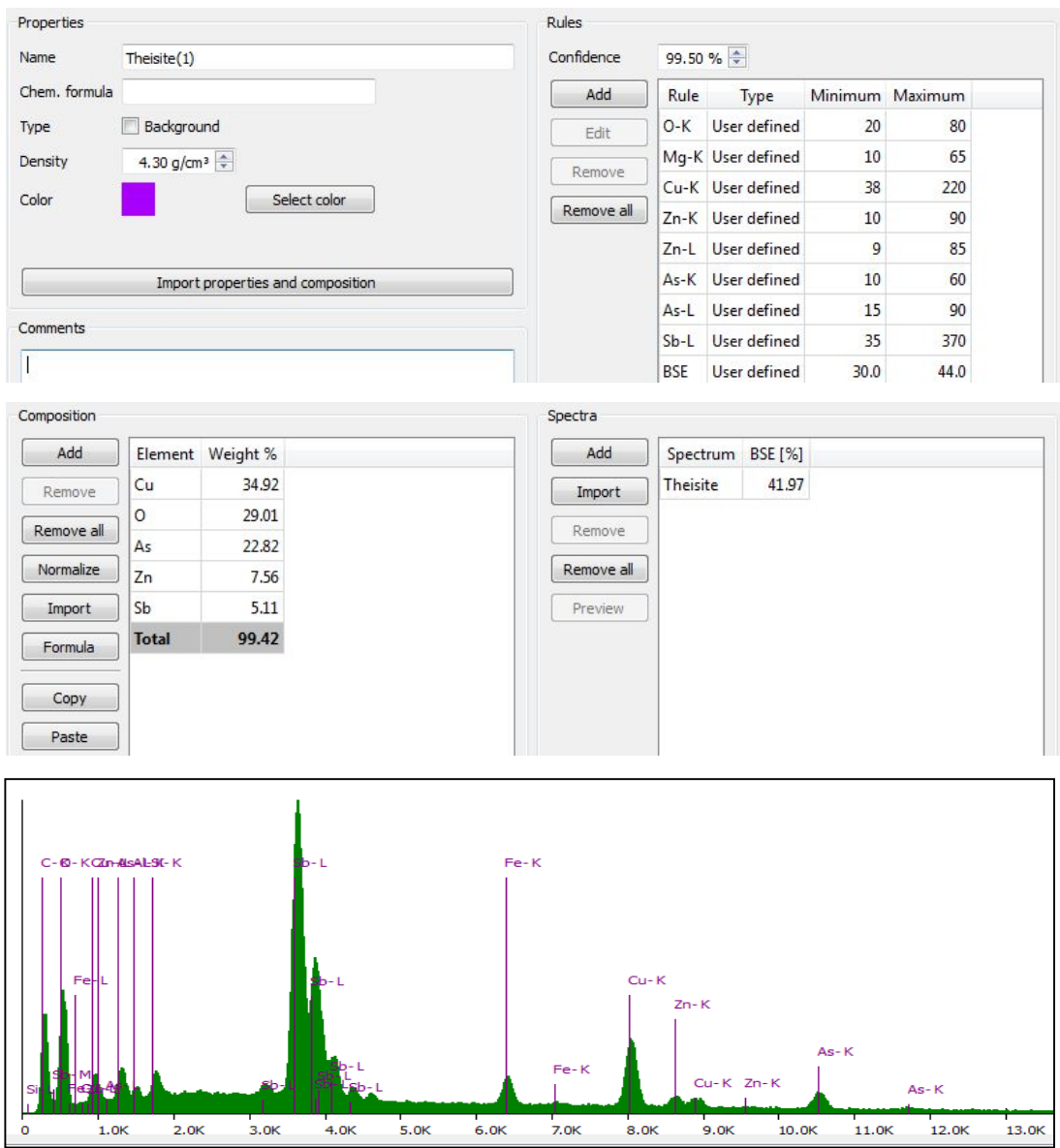


Figura 201: Regras de Classificação e Espectrograma da Theisita

5.15. Xenotime-(Y)

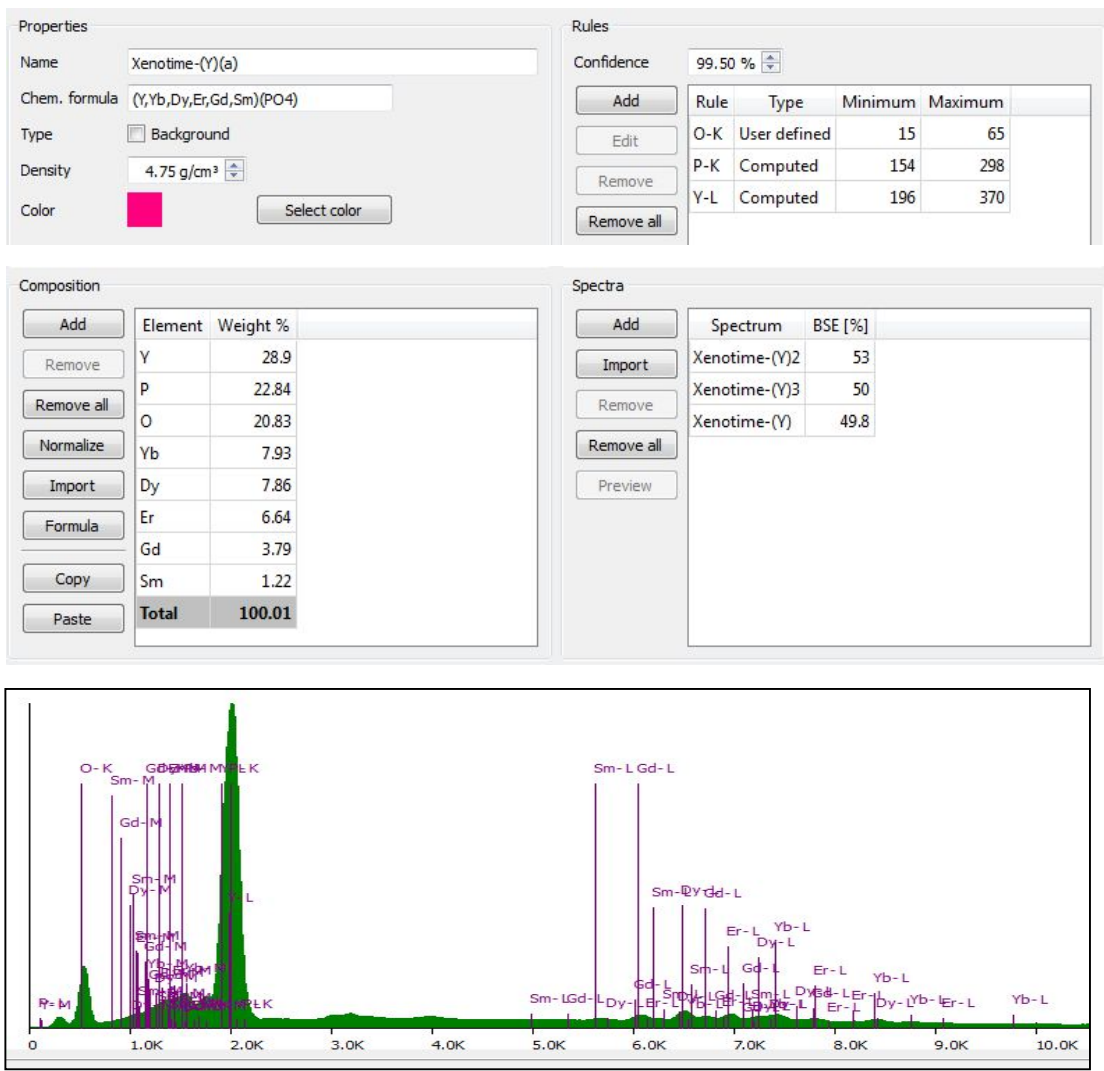


Figura 202: Regras de Classificação, Espectrograma do Xenotime

6. SULFATOS

6.1. Alunita

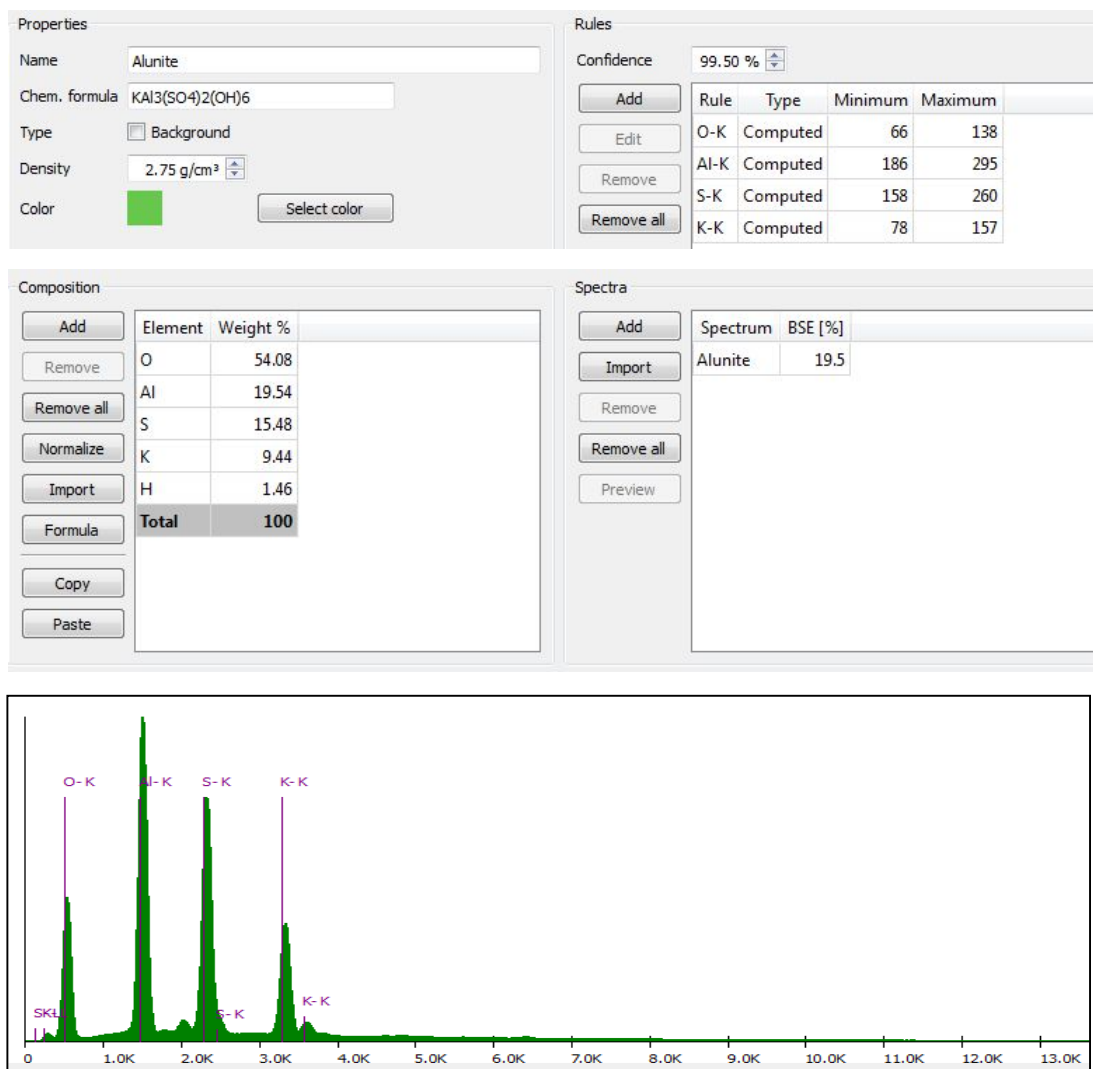


Figura 203: Regras de Classificação, Espectrograma da Alunita

6.2. Anidrita

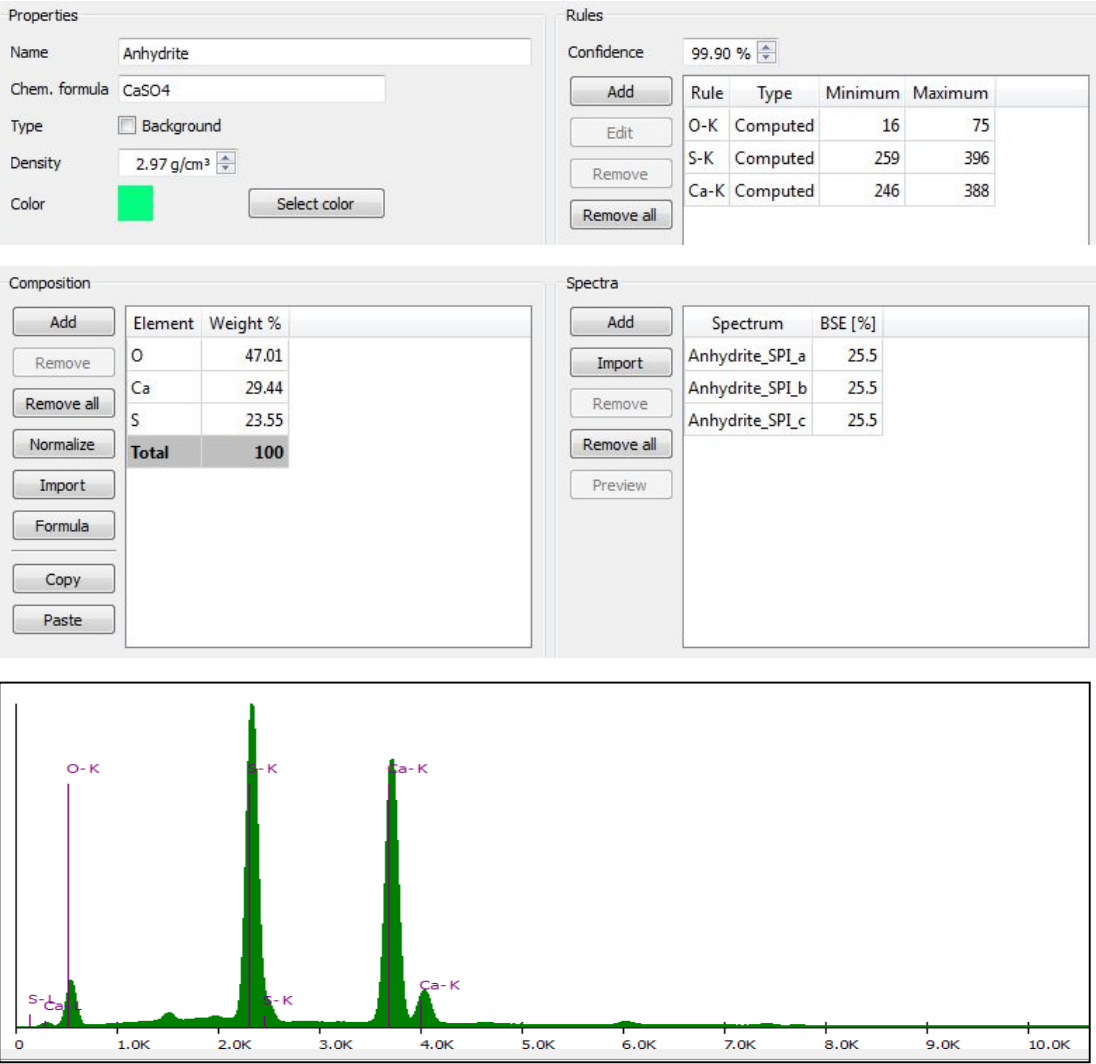


Figura 204: Regras de Classificação, Espectrograma da Anidrita

6.3. Barite

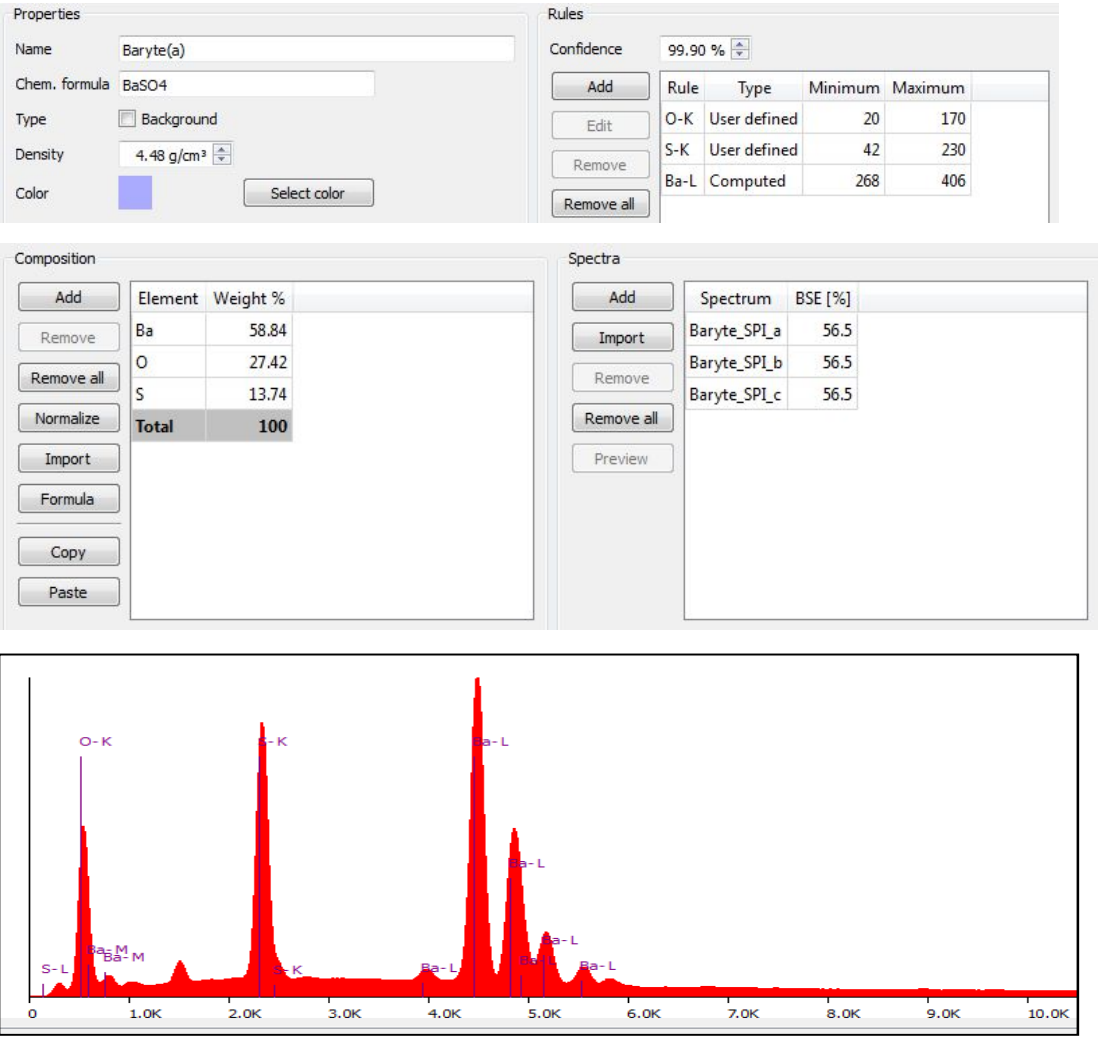


Figura 205: Regras de Classificação, Espectrograma da Barita

6.4. Celestita

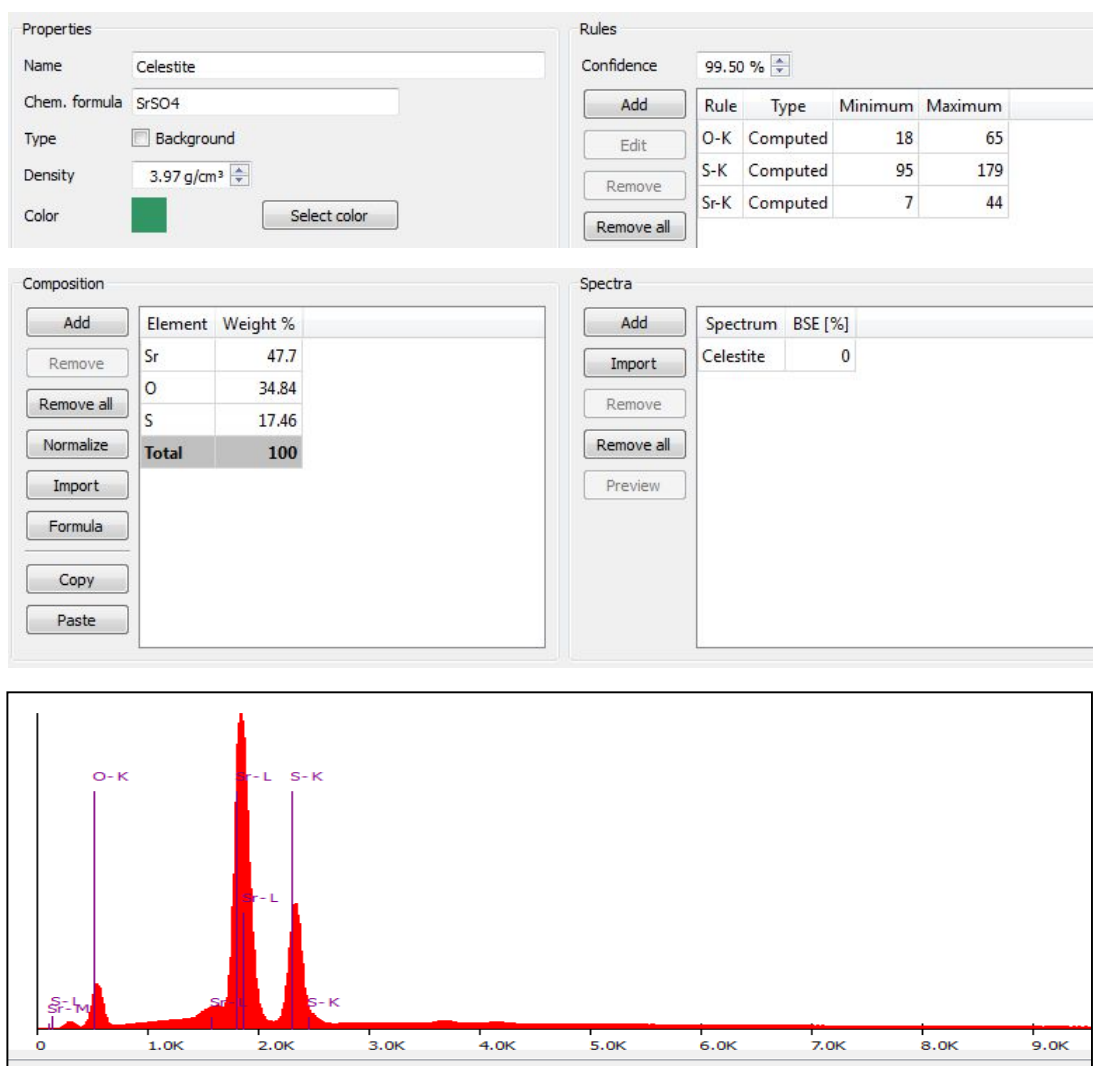


Figura 206: Regras de Classificação, Espectrograma da Celestita

6.5. Gipsita

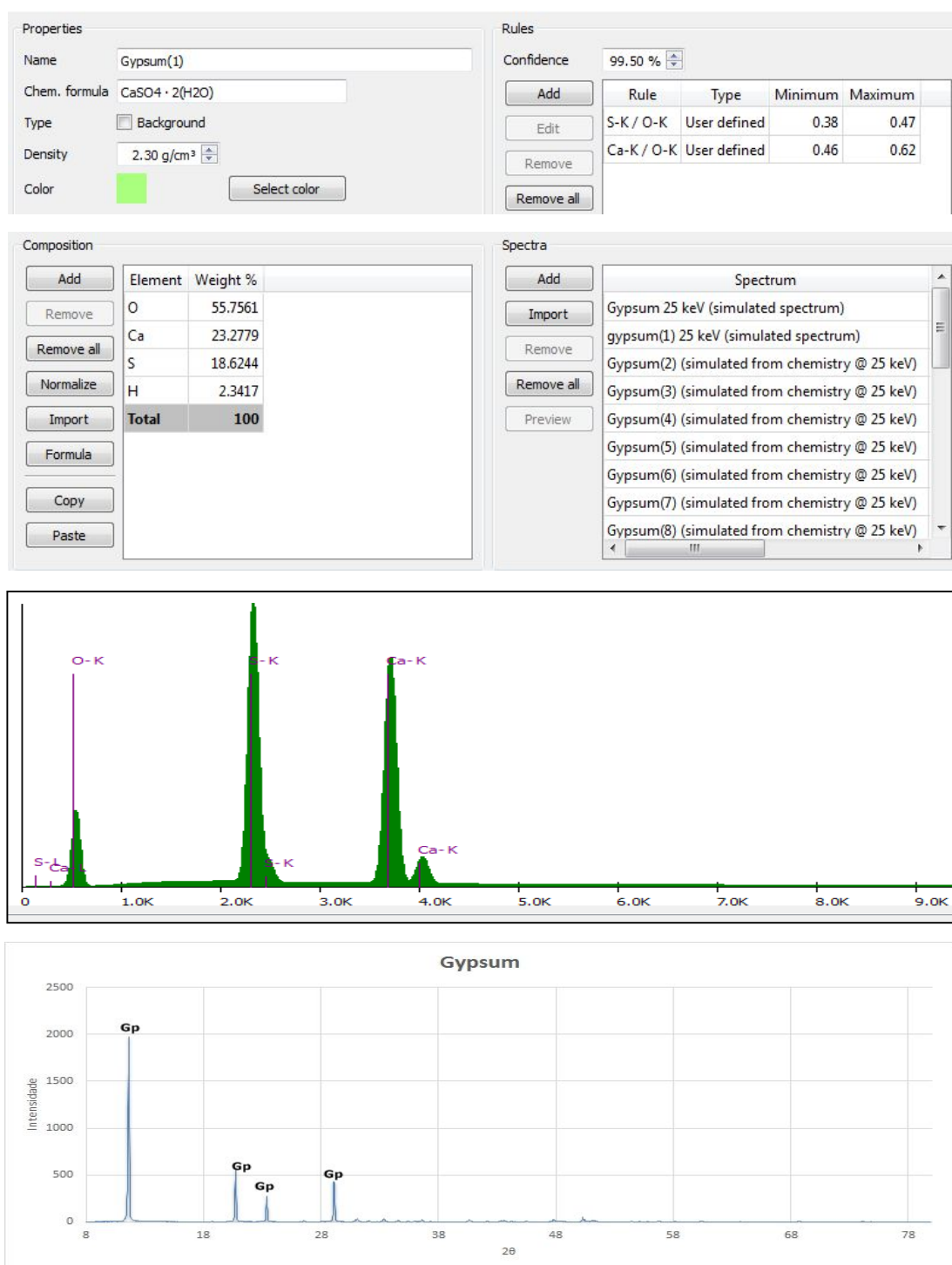


Figura 207: Regras de Classificação, Espectrograma e Difractograma da Gipsita

7. HALÓIDES

7.1. Atacamita

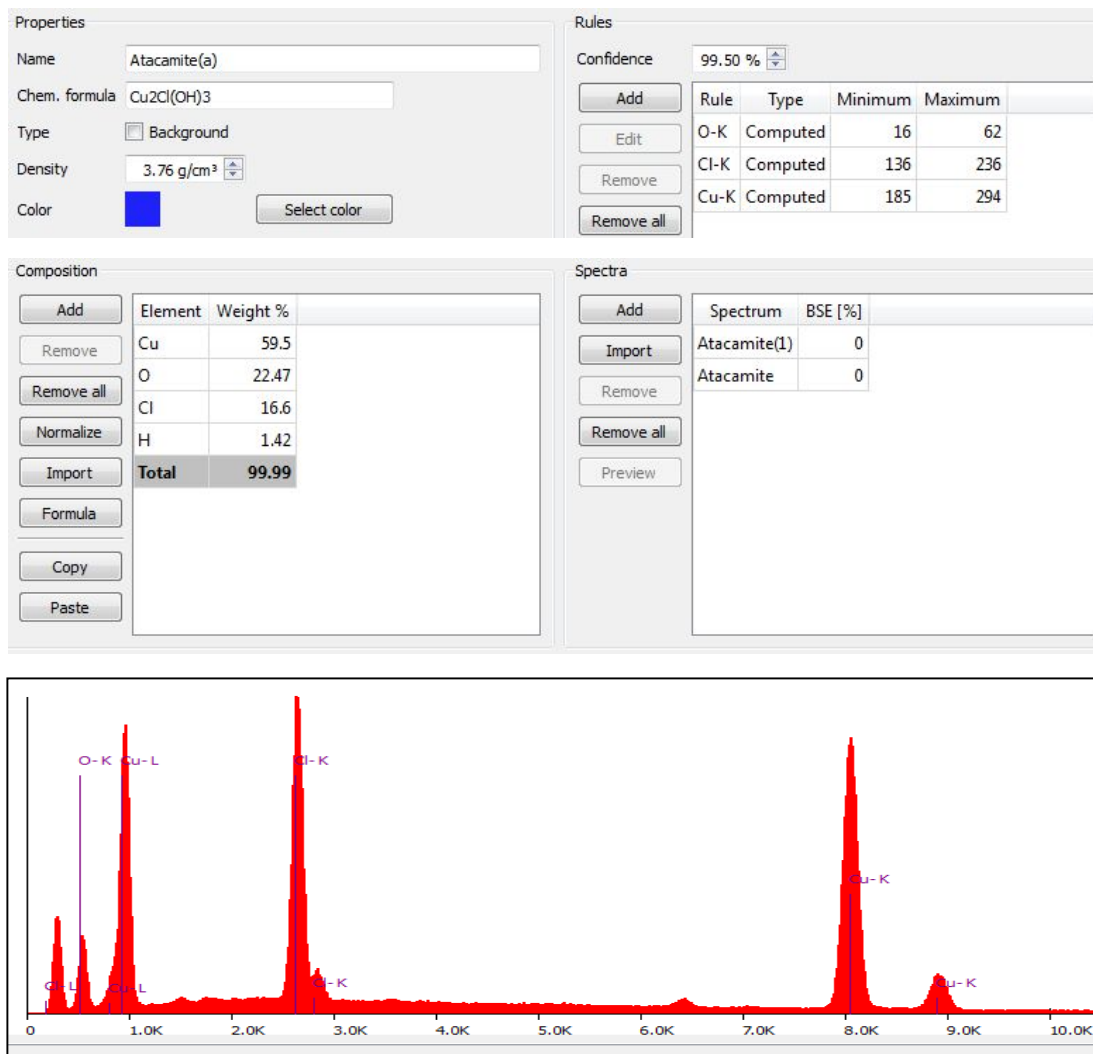


Figura 208: Regras de Classificação, Espectrograma da Atacamita

7.2. Adamita

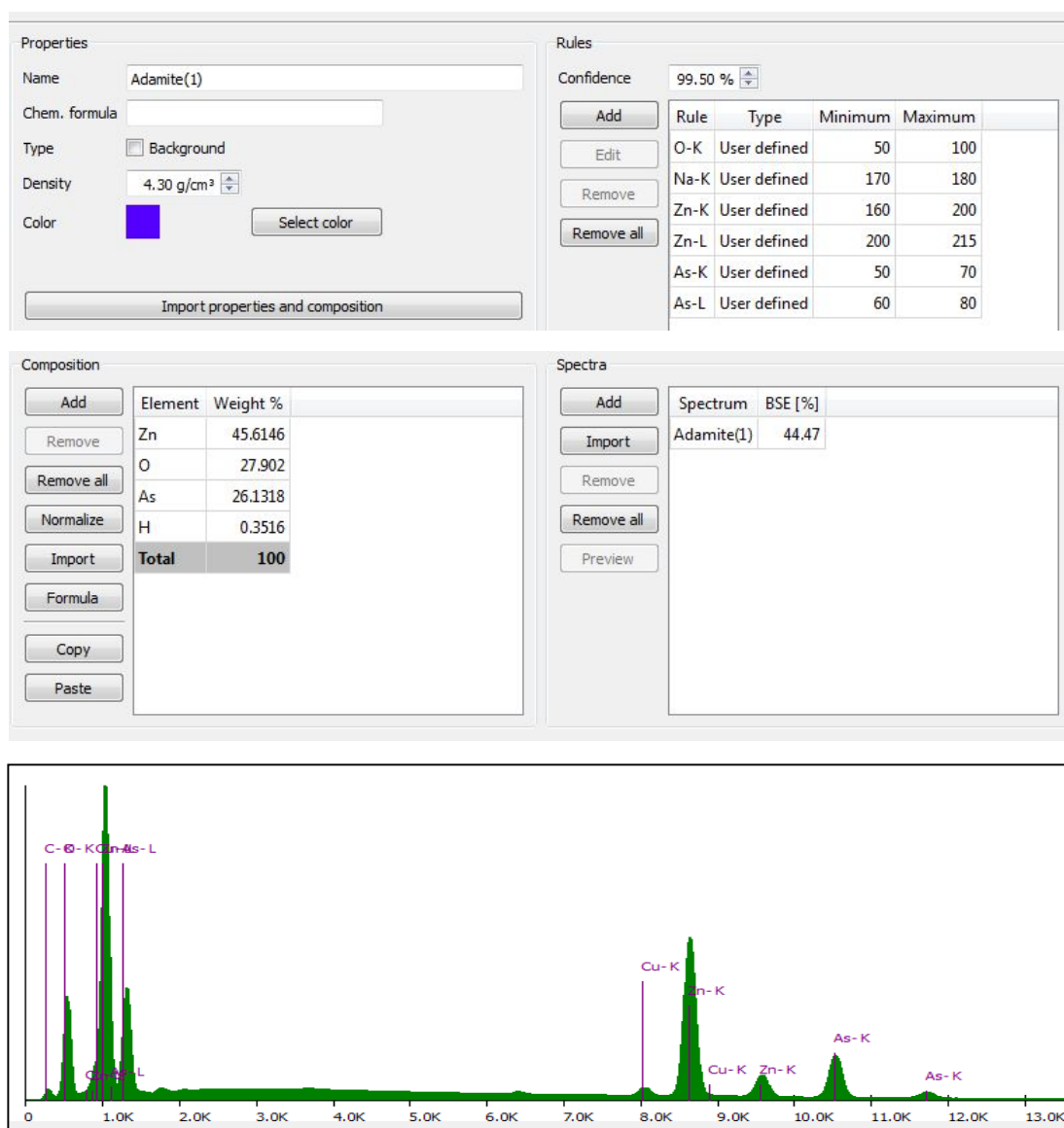


Figura 209: Regras de Classificação, Espectrograma da Adamita

7.3. Fluorita

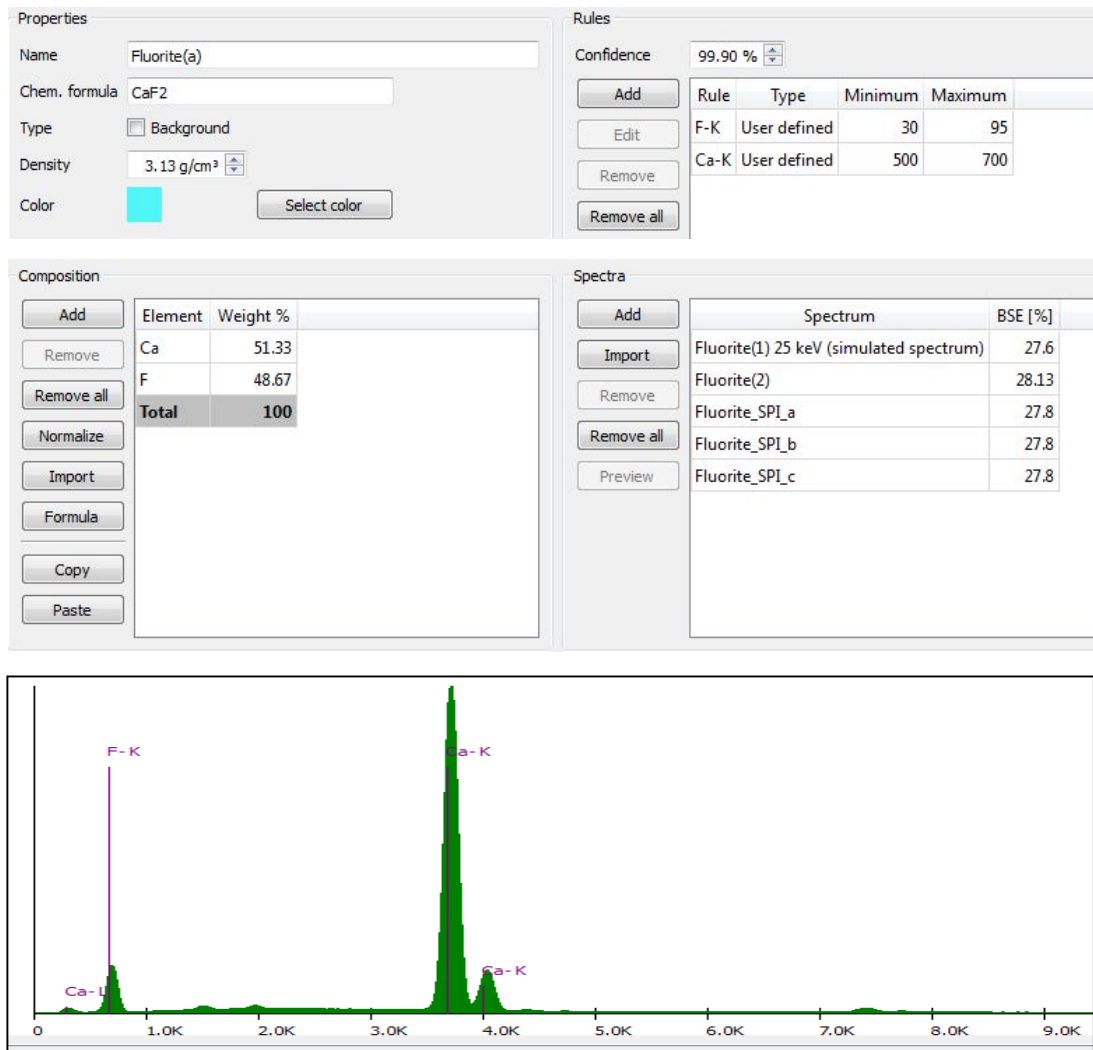


Figura 210: Regras de Classificação, Espectrograma da Fluorita

7.4. Halita

Properties

Name:

Chem. formula:

Type: ☐ Background

Density:

Color:

Rules

Confidence: 99.50 %

Rule	Type	Minimum	Maximum
O-K	User defined	1	100
Na-K	User defined	8	250
Cl-K	User defined	90	610

Composition

Element	Weight %
Cl	60.6626
Na	39.3374
Total	100

Spectra

Spectrum	BSE [%]
Halite 25 keV (simulated spectrum)	0
Halite(1) 25 keV (simulated spectrum)	0

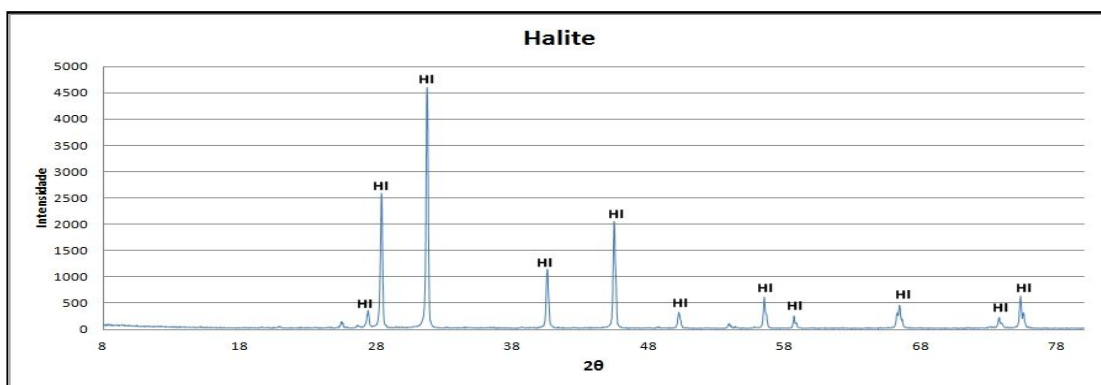
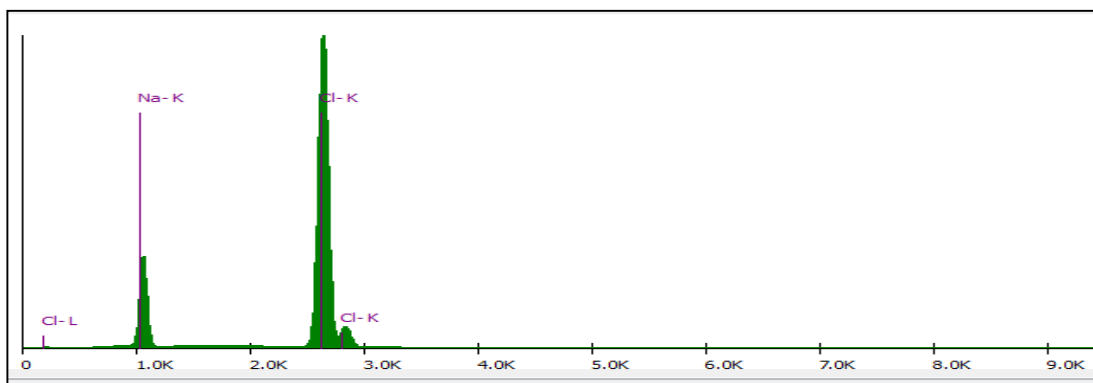


Figura 211: Regras de Classificação, Espectrograma e Difratoograma da Halita

7.5. Silvita

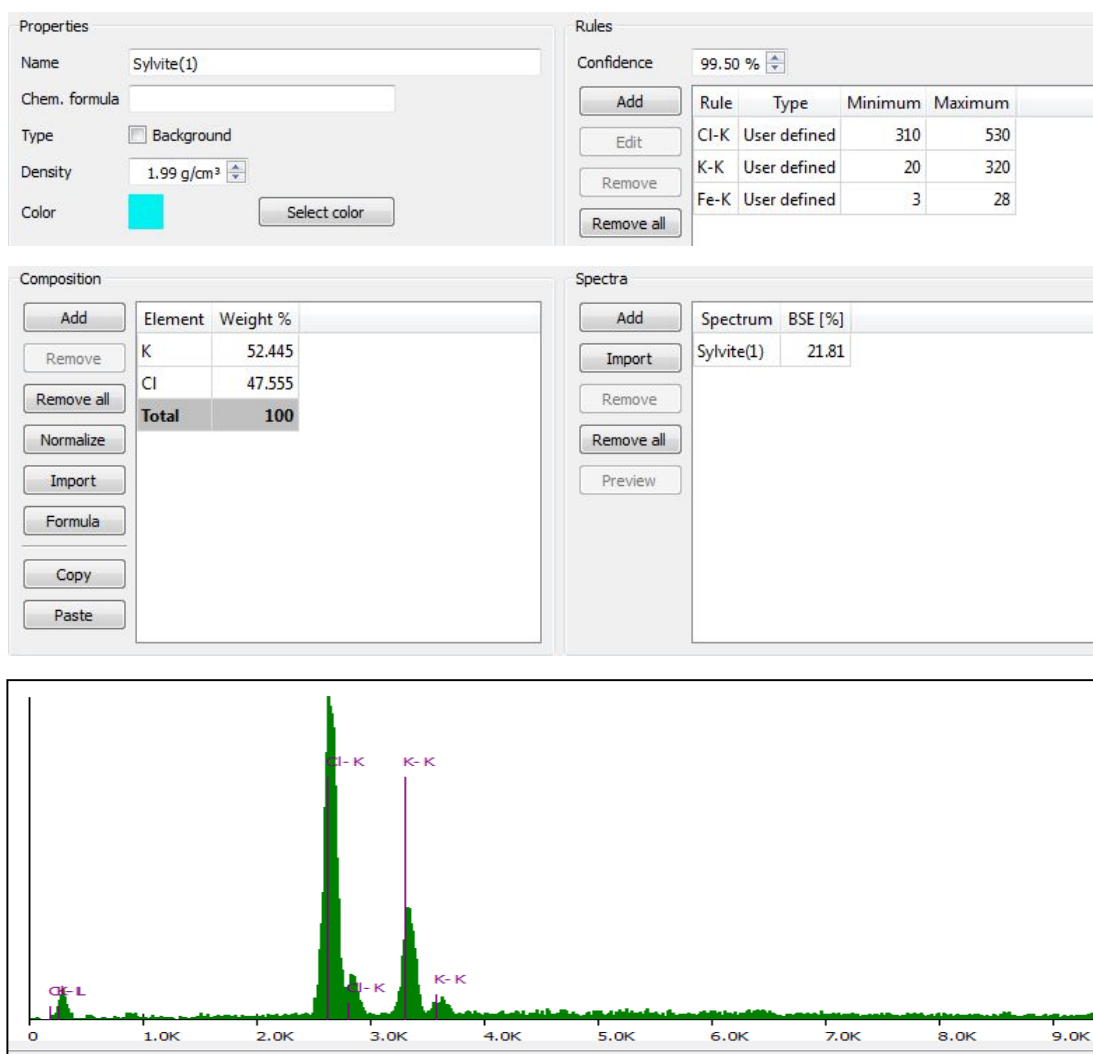


Figura 212: Regras de Classificação, Espectrograma da Silvita

8. ELEMENTOS NATIVOS

8.1. Bismuto

Properties

Name

Chem. formula

Type ☐ Background

Density

Color

Rules

Confidence

Rule	Type	Minimum	Maximum
Bi-M	Computed	315	424

Composition

Element	Weight %
Bi	100
Total	100

Spectra

Spectrum	BSE [%]
Bismuth_sum1	90.19

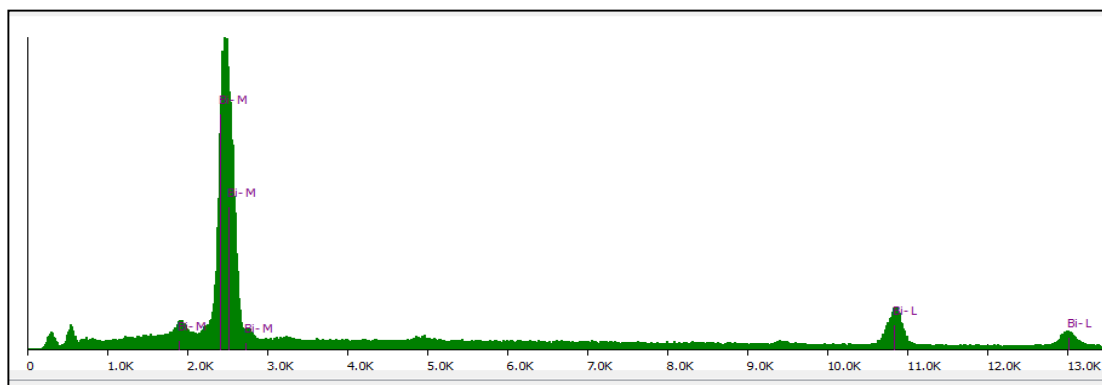


Figura 213: Regras de Classificação, Espectrograma do Bismuto

8.2. Cromferida

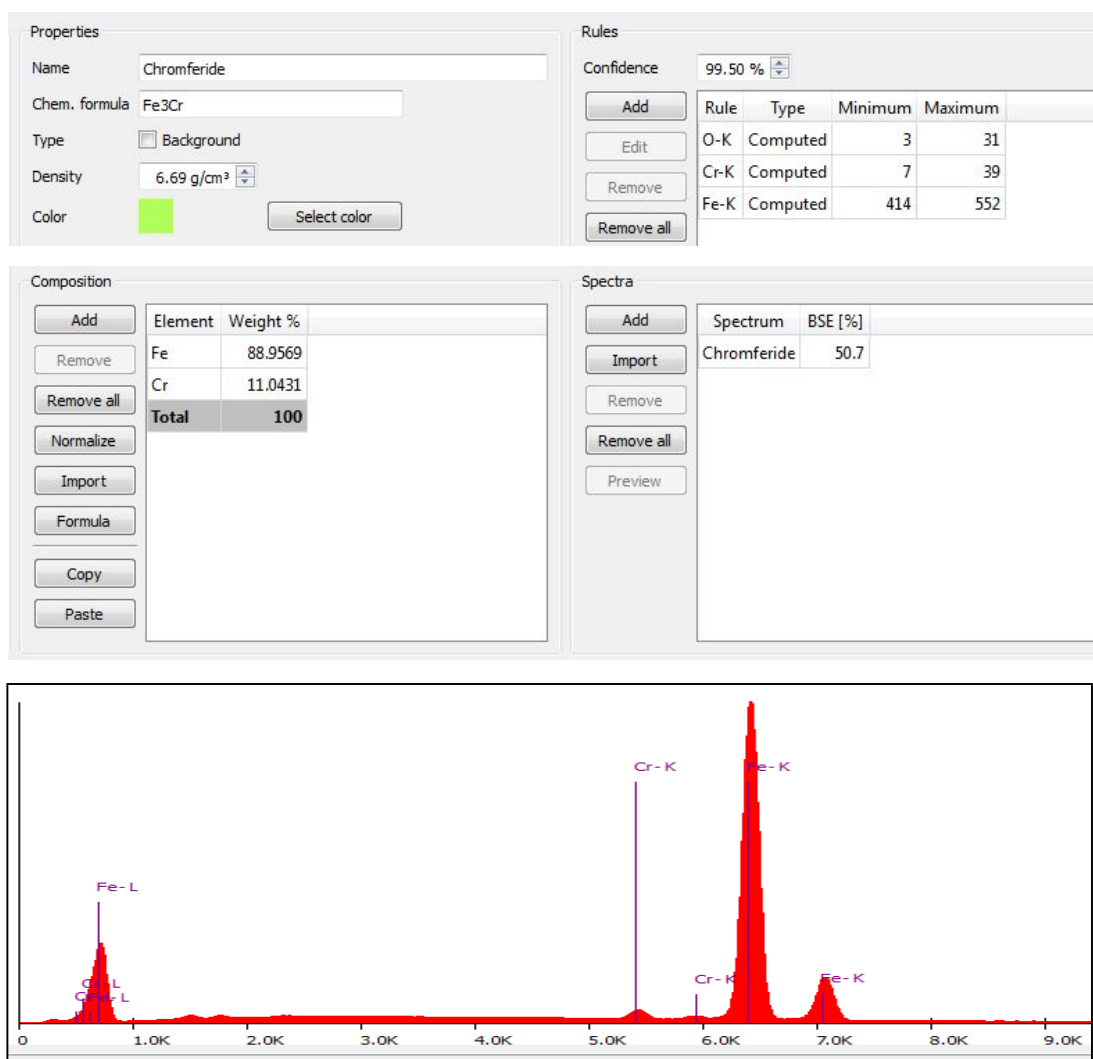


Figura 214: Regras de Classificação, Espectrograma da Cromferida

8.3. Ouro

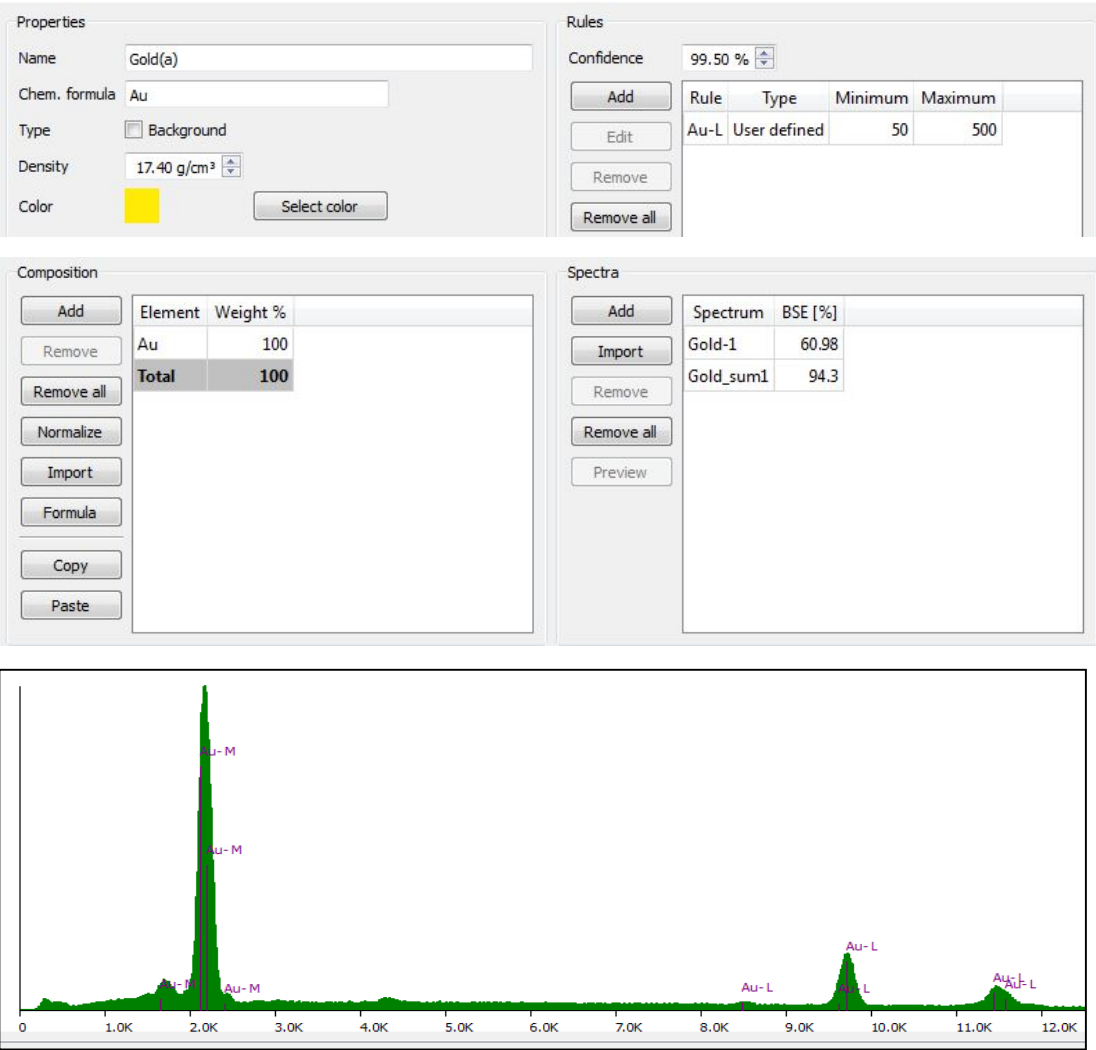


Figura 215: Regras de Classificação, Espectrograma do Ouro

8.4. Prata

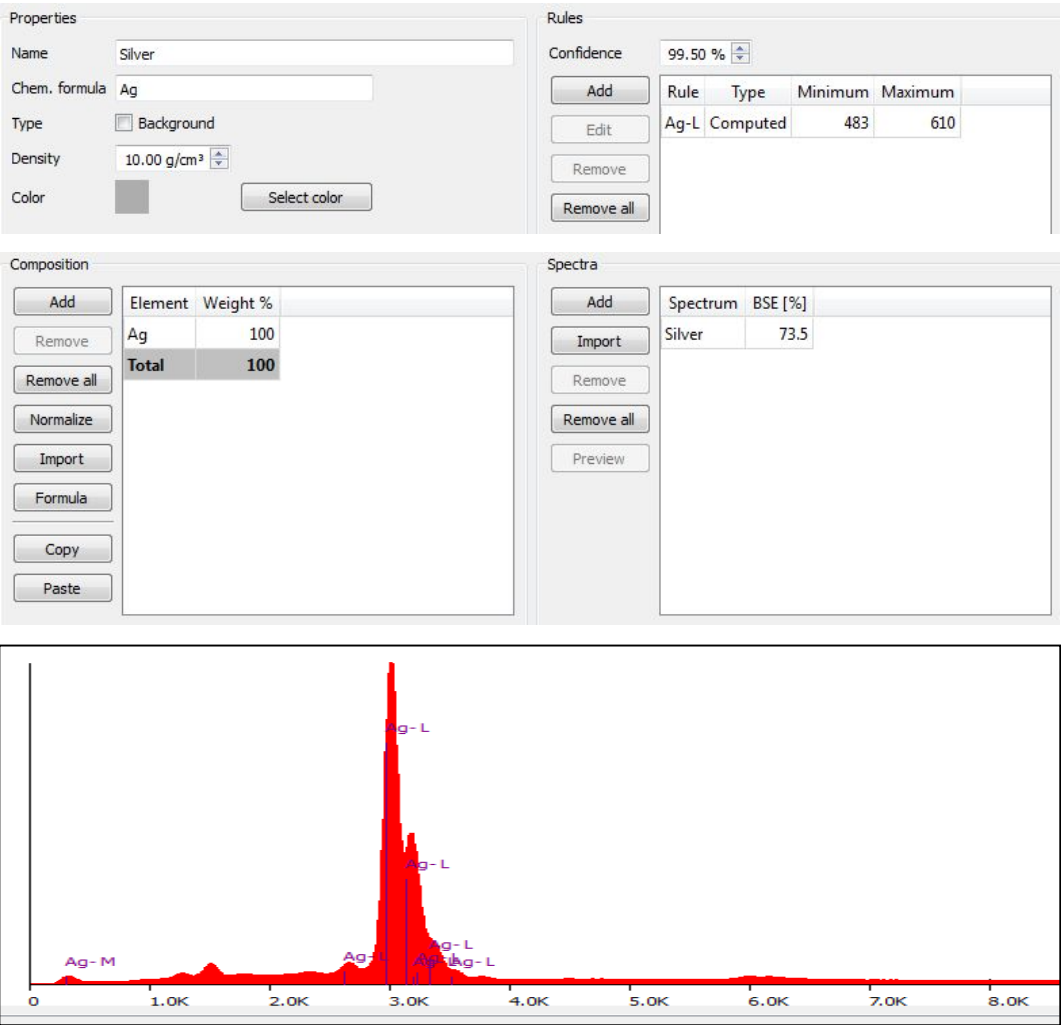


Figura 216: Regras de Classificação, Espectrograma da Prata

8.5. Enxofre

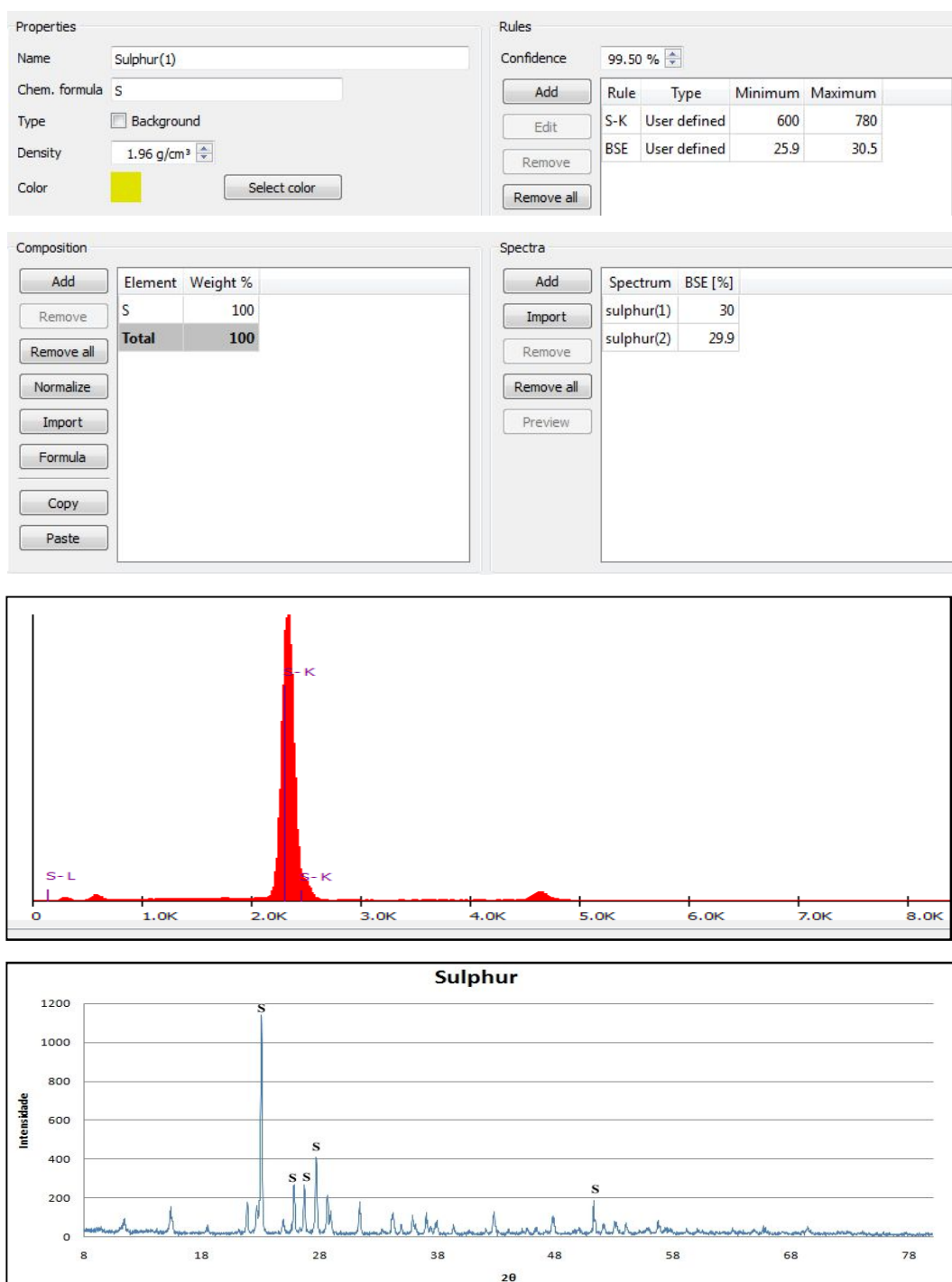


Figura 217: Regras de Classificação, Espectrograma e Difratoograma do Enxofre

9. TUNGSTATOS, MOLIBDATOS E BORATOS

9.1. Scheelita

Properties

Name: Scheelite(1)

Chem. formula: CaWO4

Type: ☐ Background

Density: 5.90 g/cm³

Color: Select color

Rules

Confidence: 99.50 %

Rule	Type	Minimum	Maximum
O-K	User defined	12	45
Ca-K	User defined	95	150
W-L	User defined	50	160
W-M	User defined	170	300

Composition

Element	Weight %
W	63.8533
O	22.2271
Ca	13.9196
Total	100

Spectra

Spectrum	BSE [%]
Scheelite(2)	68.2
scheelite(3)	66.4

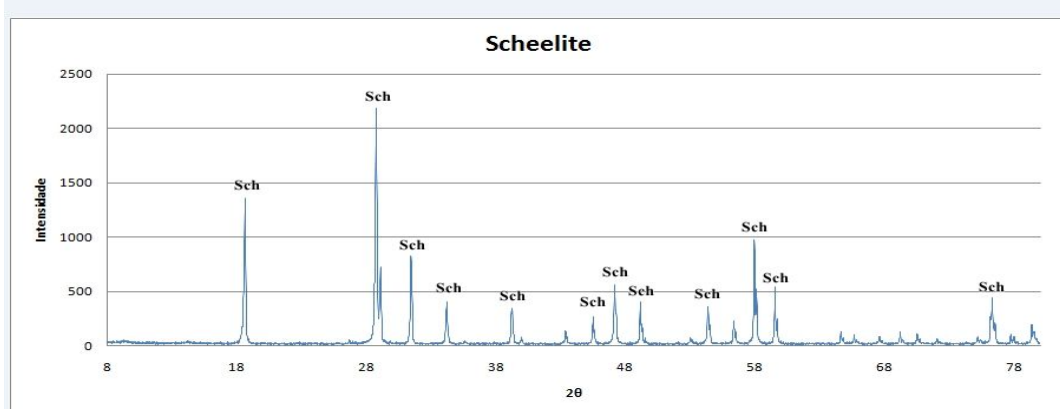
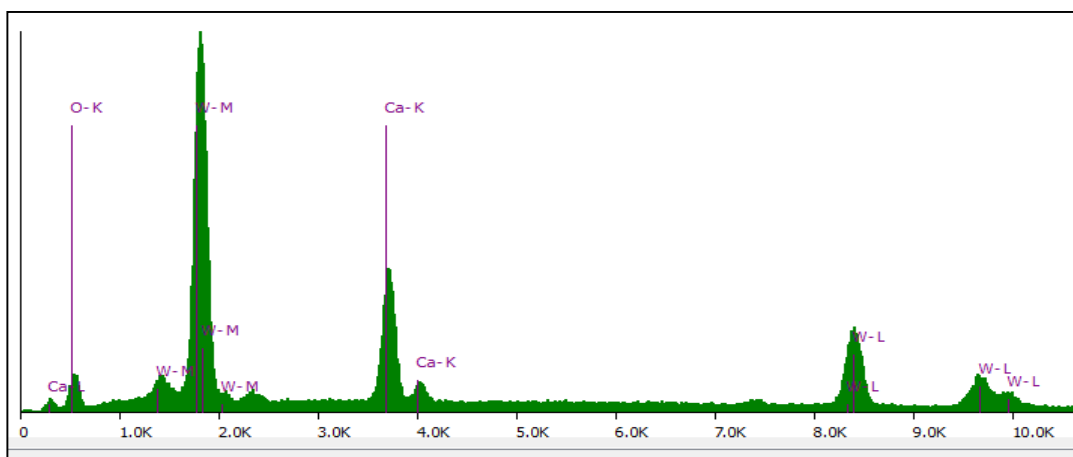


Figura 218: Regras de Classificação, Espectrograma e Difratoograma da Scheelita

9.2. Wolframita

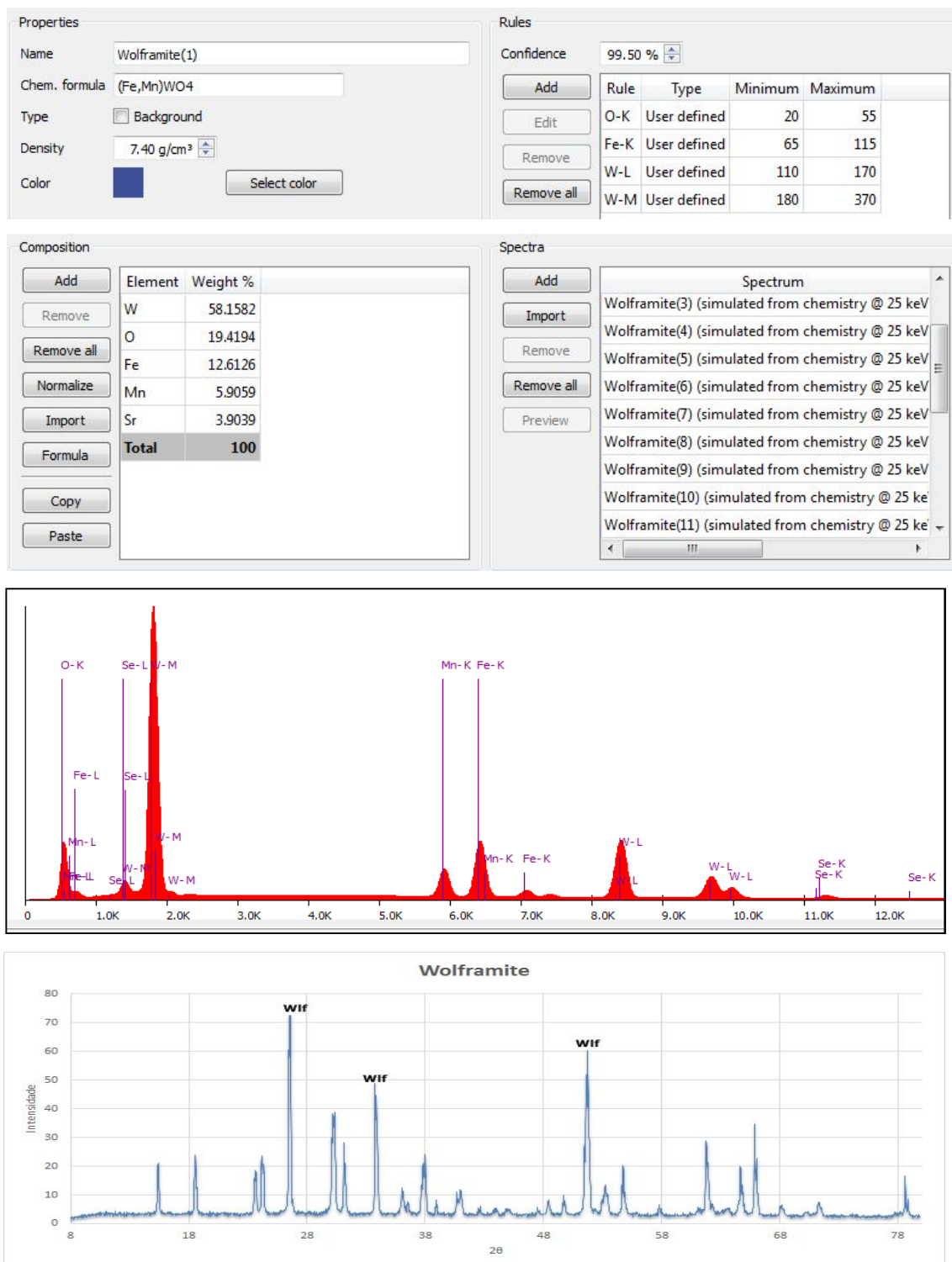


Figura 219: Regras de Classificação, Espectrograma Difratoograma da Wolframita